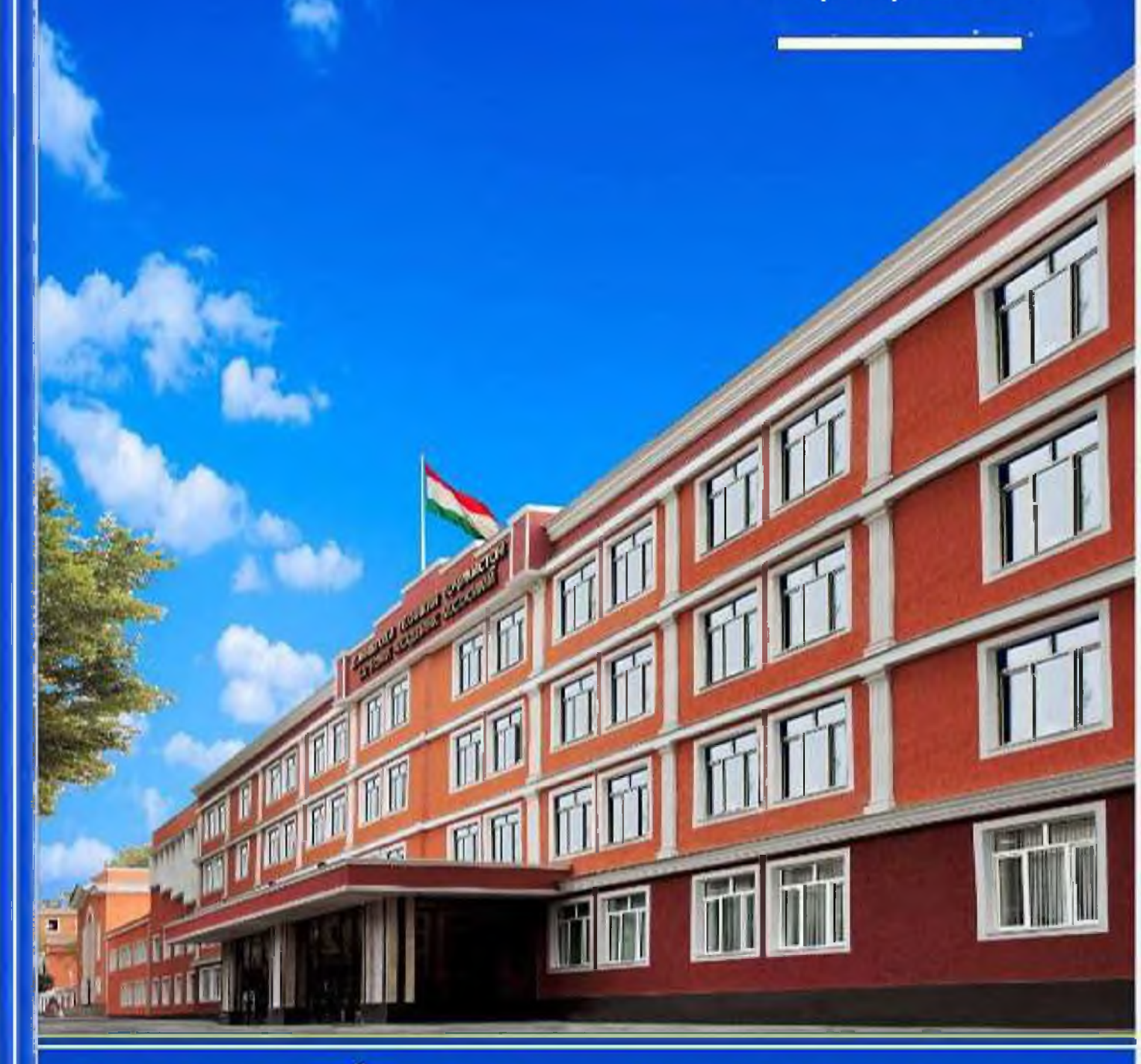
ISSN 2520-2227

ПАЁМИ ПОЛИТЕХНИКИ

Бахши Таҳқиқотҳои муҳандисӣ

2 (66) 2024



ПОЛИТЕХНИЧЕСКИЙ ВЕСТНИК Серия: Инженерные исследования

POLYTECHNIC BULLETIN Series: Engineering studies

ПАЁМИ политехникй

БАХШИ ТАХКИКОТХОИ МУХАНДИСЙ

2520-2227 2(66)

<u>2(66)</u> 2024



МАЧАЛЛАИ ИЛМЙ – ТЕХНИКЙ

http://vp-es.ttu.tj/ E-mail: vestnik_politech@ttu.tj

Published since January 2008

Мачалла ба руйхати нашрияхои такризии КОА-и назди Президенти Чумхурии Точикистон, КОА-и назди Вазорати тахсилоти олй, илм ва инноватсияхои Чумхурии Узбекистон ва равияи металлургияи он ба руйхати нашрияхои такризии КОА-и Федератсияи Россия ворид карда шудааст.

Журнал включен в перечень рецензируемых изданий ВАК при Президенте Республики Таджикистан, ВАК при Министерстве высшего образования, науки и инноваций Республики Узбекистан, а его металлургическое направление в перечень рецензируемых изданий ВАК Российской Федерации.

The journal is included in the list of peer-reviewed publications of the HAC under the President of the Republic of Tajikistan, the HAC under the Ministry of Higher Education, Science and Innovation of the Republic of Uzbekistan, and its metallurgical direction in the list of peer-reviewed publications of the HAC of the Russian Federation.

Мачалла дар Вазорати фарҳанги Ҷумҳурии Точикистон ба қайд гирифта шудааст № 231/МҶ-97 аз 27 январи соли 2022 Индекси обуна 77762

РАВИЯИ ИЛМИИ МАЧАЛЛА	НАУЧНОЕ НАПРАВЛЕНИЕ ЖУРНАЛА	SCIENTIFIC DIRECTION
05.14.00 Энергетика 05.16.00 Металлургия ва маводшиносй 05.17.00 Технологияи кимиёвй 05.22.00 Нақлиёт 05.23.00 Сохтмон ва меъморй	05.14.00 Энергетика 05.16.00 Металлургия и материаловедение 05.17.00 Химическая технология 05.22.00 Транспорт 05.23.00 Строительство и архитектура	05.14.00 Energy 05.16.00 Metallurgy and materials science 05.17.00 Chemical technology 05.22.00 Transport 05.23.00 Construction and architecture

Муассис ва ношир	Учредитель и издатель	Founder and publisher
Донишгохи техникии	Таджикский технический	Tajik Technical University
Точикистон ба номи	университет имени академика	named after academician
академик М.С. Осимй	М.С. Осими	M.S. Osimi
Х ар семоха нашр мешавад	Издается ежеквартально	Published quarterly

Нишонй	Адрес редакции	Editorial office address
734042, г. Душанбе, хиёбони академикҳо Рачабовҳо, 10A Тел.: (+992 37) 227-57-87	734042, г. Душанбе, проспект академиков Раджабовых, 10А Тел.: (+992 37) 227-57-87	734042, Dushanbe, Avenue of Academicians Radjabovs, 10A Tel.: (+992 37) 227-57-87

ПОЛИТЕХНИЧЕСКИЙ ВЕСТНИК СЕРИЯ: ИНЖЕНЕРНЫЕ ИССЛЕДОВАНИЯ

POLYTECHNIC BULLETEN SERIES: ENGINEERING STUDIES

РИЧИТЕ В В В В В В В В В В В В В В В В В В В	РЕДАКЦИОННАЯ КОЛЛЕГИЯ
САРДАБИР	ГЛАВНЫЙ РЕДАКТОР
Қ.Қ. ДАВЛАТЗОДА	К.К. ДАВЛАТЗОДА
доктори илмхои иктисодй, профессор	д.э.н., профессор
доктори илимдой интисоди, профессор	д.з.п., профессор
Р.Т. АБДУЛЛОЗОДА	Р.Т. АБДУЛЛОЗОДА
н.и.т., дотсент, муовини сармухаррир	к.т.н., доцент, зам. главного редактора
Ш.А. БОЗОРОВ	Ш.А. БОЗОРОВ
н.и.т., дотсент, муовини сармухаррир	к.т.н., доцент, зам. главного редактора
п.и.т., дотостт, муовини оармухаррир	к.т.п., доцент, зам. главного редактора
АЪ30ЁН	ЧЛЕНЫ РЕДКОЛЛЕГИИ
А.И. СИДОРОВ	А.И. СИДОРОВ
д.и.т., профессор (Федератсияи Россия)	д.т.н., профессор (Российская Федерация)
А.Г. ФИШОВ	А.Г. ФИШОВ
д.и.т., профессор (Федератсияи Россия)	д.т.н., профессор (Российская Федерация)
3.Ш. ЮЛДАШЕВ	3.Ш. ЮЛДАШЕВ
д.и.т., дотсент	д.т.н., доцент
Л.С. КАСОБОВ	Л.С. КАСОБОВ
н.и.т., дотсент	к.т.н., доцент
А.К. КИРГИЗОВ	А.К.КИРГИЗОВ
н.и.т., и.в. дотсент	к.т.н., и.о. доцента
И.Н. ГАНИЕВ	И.Н. ГАНИЕВ
академики АМИТ, д.и.х., профессор	академик АН РТ, д.х.н. профессор
Х.О. ОДИНАЗОДА	х.о. одиназода
узви вобастаи АМИТ, д.и.т., профессор	член-корр. АН РТ, д.т.н., профессор
Т.Ч. ЧУРАЕВ	Т.Дж. ДЖУРАЕВ
д.и.т., профессор	д.т.н., профессор
М.М. ХАКДОД	М.М. ХАКДОД
узви вобастаи АМИТ, д.и.т., профессор	член-корр. АН РТ, д.т.н., профессор
А.Б. БАДАЛОВ	А.Б. БАДАЛОВ
узви вобастаи АМИТ, д.и.х., профессор	член-корр. АН РТ, д.х.н., профессор
А.С. ФОХАКОВ	А.С.ФОХАКОВ
д.и.т., дотсент	д.т.н., доцент
В.В.СИЛЯНОВ	в.в.сильянов
д.и.т., профессор (Федерацияи Россия)	д.т.н., профессор (Российская Федерация)
Р.А. ДАВЛАТШОЕВ	Р.А. ДАВЛАТШОЕВ
н.и.т., дотсент	к.т.н., доцент
М.Ю. ЮНУСОВ	м.ю. юнусов
H.U.T., U.B. AOTCEHT	к.т.н., и.о. доцента
Р.САЛОМЗОДА	Р.САЛОМЗОДА
н.и.т., дотсент Ч.Н. НИЗОМОВ	к.т.н., доцент Д.Н. НИЗОМОВ
узви вобастаи АМИТ, д.и.т., профессор	член-корр. АН РТ, д.т.н., профессор
и. КАЛАНДАРБЕКОВ	и.каландарыков
д.и.т., и.в. професс	д.т.н., и.о. профессора
А. Г. ГИЯСОВ	А. Г. ГИЯСОВ
д.и.т., профессор (Федератсияи Россия)	д.т.н., профессор (Российская Федерация)
н.н. хасанов	H.H. XACAHOB
доктори меъморй, и.в. профессор	доктор архитектуры, и.о. профессора
Р.С. МУКИМОВ	Р.С. МУКИМОВ
доктори меъморй, профессор	доктор архитектуры, профессор
Ч.Х. САИДЗОДА	Дж.Х. САИДЗОДА
доктори илмхои техникй, профессор	д.т.н., профессор
Р.Х. РАСУЛОВ	Р.Х. РАСУЛОВ
д. и. т., профессор (Ҷумҳурии Узбекистон)	д.т.н., профессор (Республика Узбекистан)
H.M. XACAHOB	H.M. XACAHOB
д.и.т., дотсент	д.т.н., доцент

Материалы публикуются в авторской редакции, авторы опубликованных работ несут ответственность за оригинальность и научно-теоретический уровень публикуемого материала, точность приведенных фактов, цитат, статистических данных и прочих сведений. Редакция не несет ответственность за достоверность информации, приводимой авторами.

Автор, направляя рукопись в Редакцию, принимает личную ответственность за оригинальность исследования, поручает Редакции обнародовать произведение посредством его опубликования в печати.

МУНДАРИЧА – ОГЛАВЛЕНИЕ

ЭНЕРГЕТИКА - ENERGY	5
ОПЫТ ЭКСПЛУАТАЦИИ ГЛУБОКОГО ВВОДА НАПРЯЖЕНИЕМ 35/0,38 кВ В СИСТЕМЕ ЭЛЕКТРОСНАБЖЕНИЯ	
РЕСПУБЛИКИ ТАДЖИКИСТАН	<u>5</u>
М.Д. Додхудоев, М.М. Вохидов	
ВЕРОЯТНОСТНЫЕ ХАРАКТЕРИСТИКИ ФЛУКТУАЦИЙ РЕЖИМНЫХ ПАРАМЕТРОВ ВЕТРОДИЗЕЛЬНОЙ СИСТЕМЫ	11
Р.А. Джалилов	
ПЕРСПЕКТИВЫ ВНЕДРЕНИЯ НЕГЛУБОКИХ ГЕОТЕРМАЛЬНЫХ СИСТЕМ	20
В УСЛОВИЯХ РЕСПУБЛИКИ ТАДЖИКИСТАН	
С.А. Тагоев, Ш.М. Султонзода, У.У. Косимов	
PO PAMM O O A OMA 3 PO A O M O A O 30 A O	
PO A O O	27
О.С. Сайфиддинзода	27
ВЫБОР ВЕТРОЭНЕРГЕТИЧЕСКОЙ УСТАНОВКИ В РЕСПУБЛИКЕ ТАДЖИКИСТАН	22
¹ А.Х. Хабибов, ² Р.З. Юлдашев, ² З.Ш. Юлдашев	32
<u>РАЗРАБОТКА ИМИТАЦИОННОЙ МОДЕЛИ ЦЕНТРАЛИЗОВАННОГО ОБСЛУЖИВАНИЯ РАСПРЕДЕЛЕННОЙ ГЕНЕРА</u>	
Дж.Х. Худжасаидов	39
ЭЛЕКТРИФИКАЦИЯ ТРАНСПОРТА, КАК НАПРАВЛЕНИЕ УСТОЙЧИВОГО РАЗВИТИЯ ТРАНСПОРТНОЙ И	
ЭЛЕКТРОЭНЕРГЕТИЧЕСКОЙ СИСТЕМЫ ТАДЖИКИСТАНА	46
К.Х. Гуломзода	46
_	
МЕТАЛЛУРГИЯ ВА МАВОДШИНОСЙ - МЕТАЛЛУРГИЯ И МАТЕРИАЛОВЕДЕНИЕ -	
METALLURGY AND MATERIALS SCIENCE	54
КОМПЛЕКСХОСИЛКУНИИ МИС (II) БО 1-МЕТИЛ-2-МЕРКАПТОИМИДАЗОЛ ДАР МАХЛУЛХОИ ОБЙ	54
А.Х. Рахимзода, С.М. Сафармамадзода, М.М. Сангов	
ТАДҚИҚОТИ РАВАНДХОИ ХЎРДАШАВИИ КАВИТАТСИОНЙ ВА СУНБОДАГЙ ХАНГОМИ КОРКАРДИ САЙЁРАВИИ	
MAPKA3WITO5	
И. Мирзоалиев, А.И. Мирзоалиев, Т.А. Хочаев, М.А. Иззатуллоев	61
ТЕХНОЛОГИЯИ КИМИЁВЙ - ХИМИЧЕСКАЯ ТЕХНОЛОГИЯ - CHEMICAL TECHNOLOGY	65
<u>ПЕРСПЕКТИВНОСТЬ ПРИМЕНЕНИЯ КАРБОНАТА КАЛЬЦИЯ В КАЧЕСТВЕ ОСНОВНОГО СЫРЬЯ ПРИ ПРОИЗВОДСТЕ</u> БУМАГИ	
Д.Ч. Равшанов¹, Х.А. Бабаханова², О.Д. Хакназарова²	65
ПРОИЗВОДСТВО ОПЫТНОЙ ПАРТИИ ФТОРИСТЫХ СОЛЕЙ ИЗ ПОБОЧНОГО ПРОДУКТА ПРОИЗВОДСТВА	
ПЛАВИКОВОЙ КИСЛОТЫ С ИСПОЛЬЗОВАНИЕМ ХЛОРИДА НАТРИЯ	<u> 70</u>
С.М. Шокаримов¹, Н.А. Наимов², Р.С. Рафиев¹, Дж.Р. Рузиев¹	70
RESEARCH ON THE COMPOSITION OF OFFSET PRINTING PAINTS	75
Kh.A. Babakhanova, D.I. Abdirakhmanova, Z.K. Galimova	75
КИНЕТИКАИ ТАЧЗИЯИ ГИДРОКСИДИ АЛЮМИНИЙ ДАР ОМЕХТАИ КИСЛОТАХОИ ГИДРОГЕНСИЛИТСИЙФТОРИД	Л ВД
ФТОРИД	
С.М. Шокаримов¹, Н.А. Наимов², Р.С. Рафиев¹, Ч.Р. Рузиев¹	79
RAD CODALI MORCECCOMIA DADALIRIA RIADORIANA VOLECUCATVOLI CASTA RAD ERASTANA VARGOLATANI GASTA	00
ДАР БОРАИ МОДЕЛСОЗИИ РАВАНДИ ПИРОЛИЗИ КОНДЕНСАТХОИ ГАЗЙ ДАР ПЛАЗМАИ ХАРОРАТАШ ПАСТ М.Т. Идиев, Б.С. Сафаров, У.Н. Файзуллоев	<u></u> മമ
IVI. 1. FIERIOD. D.O. OGWGDOD. 7.11. YGYISYJIJOOD	00

<u>ТЕХНОЛОГИЯ ИЗГОТОВЛЕНИЯ АКТИВИРОВАННОГО УГЛЯ ИЗ АНТРАЦИТОВ МЕСТОРОЖДЕНИЯ НАЗАРАЙ.</u>	
РАШТСКОЙ ДОЛИНЫ	91
А. Муродиён ¹ , Н.Ю. Пулодов ³ , Б.С. Джамолзода ² , Х.О. Одиназода ² , К. Ботуров ³	91
<u>ОПРЕДЕЛЕНИЕ КОНСТАНТ ИОНИЗАЦИИ ЛИМОННОЙ КИСЛОТЫ МЕТОДОМ ПОТЕНЦИОМЕТРИИ</u>	
Ф. Мираминзода ¹ , М. Рахимова ² , Дж.А. Давлатшоева ² , К.Дж. Суяриён ² , Г.Б. Эшова ¹	99
КОМПЛЕКСООБРАЗОВАНИЕ РТУТИ (II) С N – АЦЕТИЛТИОМОЧЕВИНОЙ	106
ПРИ ИОННОЙ СИЛЕ 0,1 МОЛЬ/Л NaClO4 И ТЕМПЕРАТУРЕ 318К	
Р.С. Халимова, Ф.Ш. Курбонова, С.И. Сафаров	
ПРОЦЕССЫ КОМПЛЕКСООБРАЗОВАНИЯ В СИСТЕМЕ Fe(II)-Fe(III)-H₄Cit-H₂O	
Ф. Мираминзода ¹ , М. Рахимова ² , Дж.А. Давлатшоева ² , К.Дж. Суяриён ² , Г.Б. Эшова ¹	110
HAKEKËT TRAHORORT TRANORORT	447
НАҚЛИЁТ - TPAHCПОРТ - TRANSPORT	117
ВЛИЯНИЕ СОСТОЯНИЯ УЛИЧНО-ДОРОЖНОЙ СЕТИ НА ЭФФЕКТИВНОСТЬ ОРГАНИЗАЦИИ ДОРОЖНОГО ДІ	ВИЖЕНИЯ
В Г. ДУШАНБЕ	
А.М. Умирзоков, Ф.М. Махмудова, Б. Нуралиев	117
HENOTODI JE METO BI I IA BUTIA BODI HIJEHAG CO BEDWALHAG BODOWILLIN OBEWA IA BONDI ITAŬ	422
<u>НЕКОТОРЫЕ МЕТОДЫ И ПУТИ ПОВЫШЕНИЯ СОДЕРЖАНИЯ ДОРОЖНЫХ ОДЕЖД И ПОКРЫТИЙ</u>	122
С.Б. Мирзозода, Ф.С. Мирзоев	122
ТАХЛИЛИ ТАМОЮЛ ВА ҚОНУНИЯТХОИ РУШДИ СИСТЕМАИ МУСОФИРБАРЙ	129
Ф.М. Юнусов, А.А. Рачабов, Ш.Ф. Самиев	129
СОХТМОН ВА МЕЪМОРЙ - СТРОИТЕЛЬСТВО И АРХИТЕКТУРА - CONSTRUCTION AND	
ARCHITECTURE	134
ИССЛЕДОВАНИЕ ФИЗИКО-МЕХАНИЧЕСКИХ СВОЙСТВ ГЛИНОМАТЕРИАЛОВ НА ТЕРРИТОРИИ РЕСПУБЛИКИ ТАДЖИК	истан 134
И.К. Каландарбеков, И.И. Каландарбеков, А.Ш. Шарифзода	
МАГНЕЗИАЛЬНО-КАРНАЛЛИТОВОЕ ВЯЖУЩЕЕ	
О.Б. Косимов ¹ , А.А. Акрамов ² , К.О. Косимов ²	139
ИССЛЕДОВАНИЕ НАПРЯЖЕННО — ДЕФОРМИРОВАННОГО СОСТОЯНИЯ КОНТУРОВ ПОДЗЕМНЫХ СООРУЖ	/ЕШИЙ
МЕТОДОМ ГРАНИЧНЫХ УРАВНЕНИЙ	
С.С. Зарифов, Р.Р. Саидов, И.С. Муминов	
о.о. окрифов, г.н. скидов, и.о. тутинов	
<u>АНАЛИЗ ТИПОВ КРЕПИ ПОРОДЫ НА УЧАСТКЕ РАЗВЕТВЛЕНИЯ СТ-4</u>	
С МЕТОДОМ КОНЕЧНО-ЭЛЕМЕНТНОГО МОДЕЛИРОВАНИЯ	
М.Х. Саидов, Н.М. Хасанов, Д.К. Давронов	149
ТАДҚИҚОТИ ДИАФРАГМАИ МАЗБУТӢ БО МЕТОДИ ДЕФОРМАТСИЯХОИ МУТАМАРКАЗШУДА	155
Р.Р. Саидов, И.С. Муминов, С.С. Зарифов, И.Ш. Ашуров	155
т.т. оаидов, т.о. тууштов, о.о. оарифов, т.ш. лшуров	
<u>МЕТОДЫ ОБЕСПЕЧЕНИЯ КОМФОРТНОЙ СРЕДЫ В ЖИЛЫХ ПОМЕЩЕНИЯХ В УСЛОВИЯХ СУХОГО ЖАРКОГО КЛИМАТА</u>	
И.И. Нигматов, Ш.З. Усмонов	160
HING RELITIOE DELITERING ON BANKA MORNES A BRACTIAN CONTINUES A BETTO BOAR COCCE BOTO	NIELILI IV
<u>ЧИСЛЕННОЕ РЕШЕНИЕ ЗАДАЧИ ИЗГИБА ПЛАСТИН С ЗАЩЕМЛЕННЫМИ КРАЯМИ МЕТОДОМ СОСРЕДОТО</u> ДЕФОРМАЦИЙ	
Д£ФОРМАЦИИ	
д.дж. исвалиев	103
ОПРЕДЕЛЕНИЕ ТОЛЩИНЫ БЕТОНА МОДЕЛЕЙ НЕРАЗРЕЗНЫХ ПОЛОГИХ ОБОЛОЧЕК	
О.Р. Нуманов, Т.С. Сафаров, У.Р.Тешаев	167
HAVINA AUT ANAVOMANTI MODUM VARIVÕIRAD DVINTU HAVOMVOM FOCTORIO	4=4
НАҚШИ АНЪАНАХОИ МЕЪМОРИИ ХАЛҚЙ ДАР РУШДИ ШАХРАКХОИ БОСТОНЙ	
Р.Ш. Зокиров	171
МОДЕЛИРОВАНИЕ НЕРАЗРЕЗНОЙ ПОЛОГОЙ ОБОЛОЧКИ	178
Дж.Н. Низомов. О.Р. Нуманов	

ЭНЕРГЕТИКА - ENERGY

УДК 621.311(07)

ОПЫТ ЭКСПЛУАТАЦИИ ГЛУБОКОГО ВВОДА НАПРЯЖЕНИЕМ 35/0,38 кВ В СИСТЕМЕ ЭЛЕКТРОСНАБЖЕНИЯ РЕСПУБЛИКИ ТАДЖИКИСТАН

М.Д. Додхудоев, М.М. Вохидов

Таджикский технический университет имени академика М.С. Осими

В работе рассматривается эффективность внедрения и эксплуатации глубокого ввода напряжением 35/0,38 кВ для электроснабжения потребителей сельских населённых пунктов в стеснённых горных условиях ГБАО при большом разбросе потребителей, малой плотности нагрузки и сложным рельефом местности. Указываются положительные результаты использования глубокого ввода и даются рекомендации по дальнейшему улучшению системы электроснабжения этого региона и её влияние на энергетическую безопасность всей страны.

Ключевые слова: электрические сети, потребители, глубокий ввод, допустимое напряжение, линия электропередачи, качество электроэнергии.

ТАЧРИБАИ НИГОХУБИНИ ШИДДАТИ ЧУҚУР ДАРОВАРДАШУДАИ 35/0,38 кВ ДАР СИСТЕМАИ ЭЛЕКТРОТАЪМИНКУНИИ ЧУМХУРИИ ТОЧИКИСТОН

М.Д. Додхудоев, М.М. Вохидов

Дар мақола самаранок чорй ва нигохубин намудан шиддати чукур даровардашудаи 35/0,38 кВ барои электротаъминкунии хочагихои кишлок дар шароити кўхистони ВАБК дар холати кам будани зичй ва парокандагии борхои электрикй дида баромада шудааст. Тарафхои мусбати истифодабарии схемахои чукур даровардашуда нишон додашуда, тавсияхо барои боз хам бехтар намудани системаи электротаъминкунии ин минтика ва таъсири он ба баланд бардоштани дарачаи бехатарии энергетикии тамоми Чумхурй пешкаш карда шудааст.

Калимахои калиді: шабакаҳои электрикії, истеъмолкунандаҳо, чуқур даровардашуда, шиддати имконпазир, хати интиқоли электрикії, сифати энергияи электрикії.

EXPERIENCE OF OPERATION OF DEEP ENTRYING VOLTAGE 35/0.38 kV IN THE POWER SUPPLY SYSTEM OF THE REPUBLICTAJIKISTAN

M.D. Dodkhudoev, M.M. Vohidov

In this article examines the effectiveness of the implementation and operation of deep input voltage 35/0.38 kV for power supply to consumers in rural settlements in the cramped mountainous conditions of the Badakhshan Autonomous Mountain Region with a wide spread of consumers, low load density and difficult terrain. The positive way of using deep input are indicated and recommendation are given for further improvement of the power supply system of this region and its impact on the energy security of the entire country.

Keywords: electrical networks, consumers, deep input, permissible voltage, power line, quality.

Напряжение 35 кВ считается глубоким вводом только в том случае, когда оно преобразовывается непосредственно на напряжение до 1000 В, т.е. 35/0,38-0,66 кВ. В условиях промышленных предприятий при соблюдении определённых условий, применения глубокого ввода напряжением 35/0,38 кВ рекомендуется всегда и даёт большой экономический эффект [1]. Причём оно уже применяется не только на обычных предприятиях, но и в горных выработках шахт [2]. В системе электроснабжения городов и сельских населённых пунктов с обычными условиями применение напряжения 35 кВ пока явно нецелесообразно.

Практика применения глубокого ввода напряжением 35/0,38 кВ в сельской местности при низкой плотности нагрузки имеется в системе электроснабжения Республики Таджикистан, впервые реализованного в системе электроснабжения ГБАО ООО «Памир Энержи». Целесообразность использования напряжения 35/0,38 кВ обусловлена тем, что в условиях горного рельефа местности плотность нагрузки очень мала, а расстояние между отдельными населёнными пунктами чрезмерно велико. Применение в этих условиях тройной трансформации напряжения с прокладкой по узкому ущелью линий электропередачи трёх напряжений абсолютно неэффективно [3, 4, 5].

Система электроснабжения сельских населённых пунктов Горно-Бадахшанской автономной области начала образовываться в 70-е годы, постепенно вводилась в эксплуатацию до начала 90-х годов прошлого столетия. До образования единой системы электроснабжения электроэнергией в основном обеспечивались областной центр г. Хорог и ближайшие к нему населённые пункты, а также районные центры от собственных маломощных автономно работающих гидравлических электрических станций. Наиболее отдалённые, относительно большие населённые пункты только в ночное время снабжались электроэнергией от дизельных электростанций.

По мере расширения электрификации сельских населённых пунктов, расположенных вдоль ущелья между районными центрами, производилось строительство новых и реконструкция старых малых ГЭС.

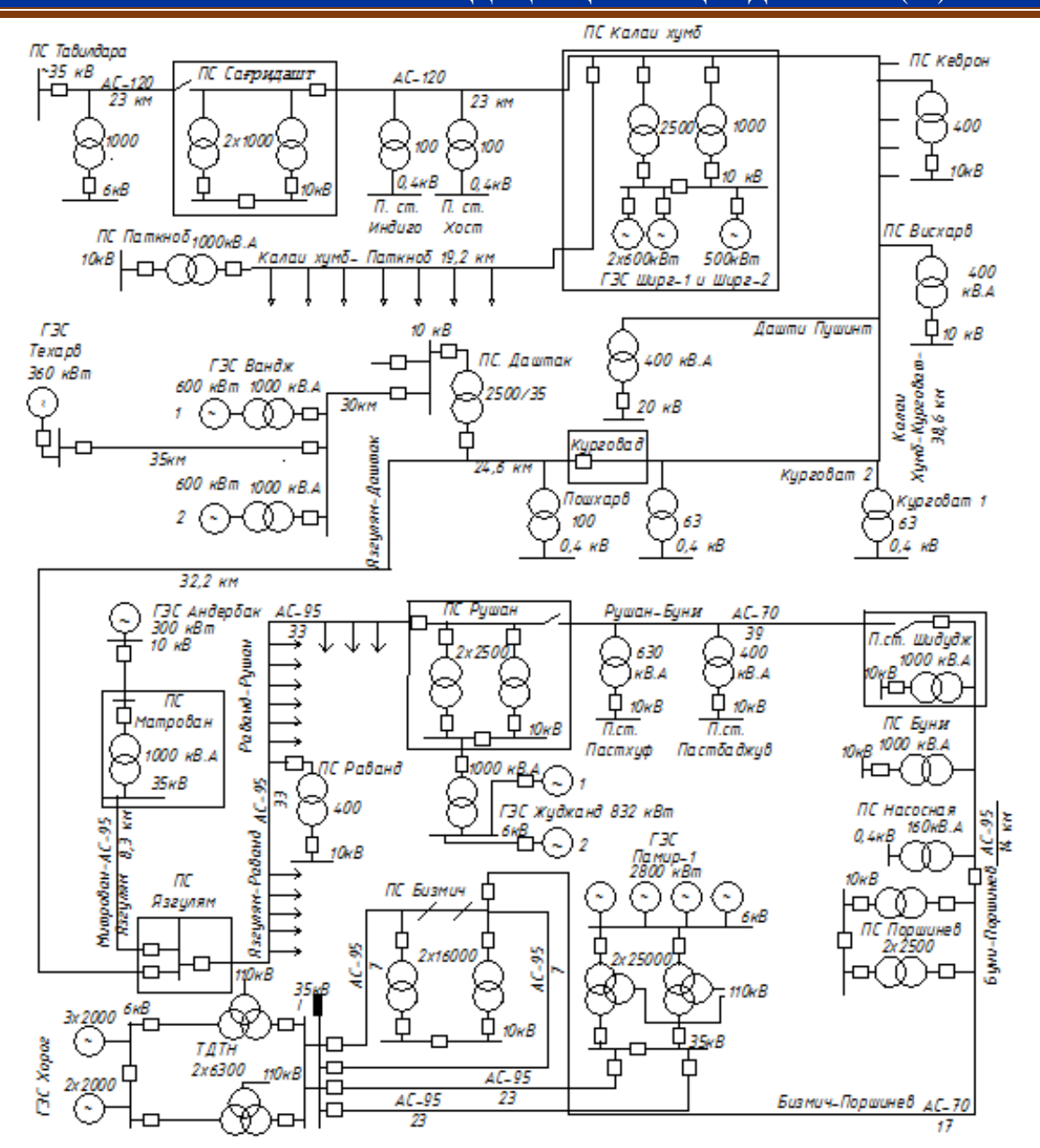
Поскольку потребители электроэнергии в основном располагаются между этими источниками, электрическая связь между ними образовалась естественным путём по мере присоединения к ним отдельных сельских населённых пунктов и сближения их между собой.

К концу 80-х годов прошлого столетия, то есть еще до развала Советского Союза, образовалась единая электроэнергетическая система ГБАО, присоединенная к общей электроэнергетической системе Таджикской ССР. Однако недостаточная мощность источников питания, значительные расстояния между ними, а также значительная длина линии распределительной сети напряжением 6-10 кВ и 0,38 кВ приводили к значительным потерям напряжения и мощности, а, следовательно, и электроэнергии в сетях этих трёх напряжений.

Линии напряжением 6-10 кВ в горных условиях часто прокладываются в двух направлениях от понижающей ПС 35/6-10 кВ по ущелью, где расположены потребители электроэнергии. Нагрузка на электрическую сеть настолько мала, что для полной загрузки трансформатора потребуется значительное увеличение длины передачи электроэнергии с целью большего охвата потребителей. Тем самым длина линий электропередачи увеличивается настолько, что независимо от незначительной нагрузки потери напряжения велики. Для снижения потери напряжения требуется сокращения длины линий электропередачи и увеличения количества ПС напряжением 35/6-10 кВ, что с экономической точки зрения явно нецелесообразно. Не менее сложным оказывается выполнение распределительной сети напряжением 0,38 кВ. Отдельные потребители в условиях высокогорья находятся на больших расстояниях друг от друга (порой до 1,5 -2 км). Поэтому количество потребителей, присоединённых к одной ПТП, должно быть ограничено с тем, чтобы сократить длину линий и уменьшить потери напряжения в них. Для этого требуется разукрупнение ПТП. Разукрупнение ПТП и приближение их к потребителям в прошлом, как было выше изложено, было невозможно, так как трансформаторы малой мощности не выпускались. Поэтому для наиболее отдалённых потребителей потери напряжения были значительны. Из-за этого даже в летнее время, когда нагрузка электрической сети была минимальная, в отдалённых населённых пунктах на вводах потребителей напряжение снижалось настолько, что использование бытовых электроприборов было невозможно. Реально при наличии электрической сети для освещения использовались керосиновые лампы. Бытовые электроприёмники не могли выполнять свои функции. Один из авторов этой статьи был свидетелем такого качества электроэнергии в одном из отдалённых населённых пунктов Шугнанского района (село Ванкала) и Ванчского района (село Пянджшанбе), расположенного около районного центра, недалеко от ГЭС «Вандж».

В этих условиях с целью привлечения инвестиции для реконструкции системы электроснабжения в начале 90-х годов прошлого столетия с приобретением нашей страной государственного суверенитета система электроснабжения ГБАО была преобразована в компанию ОАО «Памир Энерджи», как самостоятельное подразделение при Министерстве энергетики Республики Таджикистан. При поддержке Правительства страны и Управления фонда Ага Хана по экономическому развитию компания ОАО «Памир Энерджи» приступила к решению существующих проблем с дефицитом мощности и качеством электрической энергии и в особенности отклонения напряжения на вводах потребителей. Началась реконструкции старых и строительство новых мини-ГЭС в районных центрах и в местах возможного их сооружения, и реконструкции линий электропередач. В это же время на рынке электрооборудования уже имелись трансформаторы малой мощности напряжением 35/0,38 кВ, позволяющие переходить на схему глубокого ввода с установкой ПТП непосредственно у небольшого количества потребителей, имеющих незначительную нагрузку, и способствующие отказу от тройной трансформации напряжения. В больших населённых пунктах, где использование напряжения 35 кВ для распределения электроэнергии между ПТП оказалось нецелесообразным, сохраняется схема с использованием тройной трансформации напряжения. Ныне существующая схема электроснабжения приведена на рис. 1, системообразующая часть которой по существу осталась неизменной, то есть она и в прошлом имела такую же конфигурацию и напряжение 35 кВ.

Анализ этой схемы показывает, что длина линии электропередачи системообразующих электрических сетей напряжением 35 кВ, которая в отдельных местах также является распределительной электрической сетью, превышает 500 км. Она проложена вдоль ущелья на границе с Афганским эмиратом, и начиная от ПС «Тавилдара», расположенном в предгорье Памира со стороны центральной части страны, и кончая восточной границей страны, находящейся в конце Ишкашимского района. При этом на всём протяжении сети к ней подключены мины ГЭС, расположенные на достаточно большом расстоянии друг от друга. В частности, на промежутке между ПС «Тавилдара» и ПС «Калаи хумб» расстояние составляет 61,5 км. К ПС «Калаи хумб» подключена ГЭС «Ширг-1» с установленной мощностью 1200 кВт и ГЭС «Ширг-2» с установленной мощностью 500 кВт. Поскольку на этом промежутке источники питания расположены с двух сторон линии электропередачи, реальная длина линии по потере напряжения составляет 30,75 км. От ПС «Калаи хумб» до ПС «Даштак» Ванчского района 98,6 км, где к сети подключены ГЭС «Вандж» мощностью 1200 кВт, находящегося на расстоянии 30 км и ГЭС «Техарв» мощностью 360 кВт, находящегося на расстоянии 65 км от магистрали.



Pисунок I-Cокращённая системообразующая схема электроснабжения ΓBAO

Таким образом, между ближайшими источниками электроэнергии ГЭС «Ширг» и ГЭС «Вандж» расстояние магистрали составляет 128,6 км. При двухстороннем питании точка токораздела приблизительно находится на расстоянии 64,3 км. Далее подстанция «Даштак» соединяется с ПС «Язгулям» (32 км), к которой присоединяется ГЭС «Андербак» мощностью 300 кВт, находящаяся на расстоянии 8,3 км от подстанции «Язгулям». По такой же схеме магистральная сеть подводится к подстанции «Рушан», к которой подключена ГЭС «Шуджанд», с установленной мощностью 832 кВт. Расстояние между этими подстанциями 66 км. От ПС «Шуджанд» линия 35 кВ с расстоянием 77 км доходит до ГЭС «Хорог» с установленной мощностью 10000 кВт, а оттуда до ГЭС «Памир -1» с установленной мощностью 28000 кВт, находящейся на расстоянии 23 км от ГЭС «Хорог».

Основная магистральная линия напряжением 35 кВ от ПС. «Бизмич», расположенный в г. Хороге, идёт в направлении районного центра Ишкашим Ишкашимского района, где к этой магистрали присоединяется ГЭС «Намангут» с установленной мощностью 3500 кВт. От этой же ПС продолжение этой магистральной линии идёт по другому ущелью в направлении районного центра Рошткала Рошткалинского района. В этом районе сооружается ГЭС «Себзор» с установленной мощностью 10 МВт, которая в ближайшее время присоединится

к этой системе. От ГЭС «Памир-1» магистральная линия 35 кВ продолжается до ПС «Вир», от которой на напряжение 10 кВ производится электроснабжение группы населённых пунктов Гунтского ущелья до конечных населённых пунктов Шугнанского района.

На рис.2 приведена скелетная схема магистральной сети в промежутке между ПС «Язгулям» и ПС «Рушан». На этом участке к этой магистрали подключено большое количество ПТП напряжением 35/0,38 кВ для электроснабжения мелких населённых пунктов с небольшой нагрузкой, которые на схеме (рис. 1) указаны в виде стрелки.

Мощность трансформаторов таких ПТП, как видно (рис.2), колеблется в пределах 10÷160 кВ.А. Именно в таких местах в прошлом использовалась тройная трансформация 35/6-10/0,38 кВ, которая была вынужденным решением.

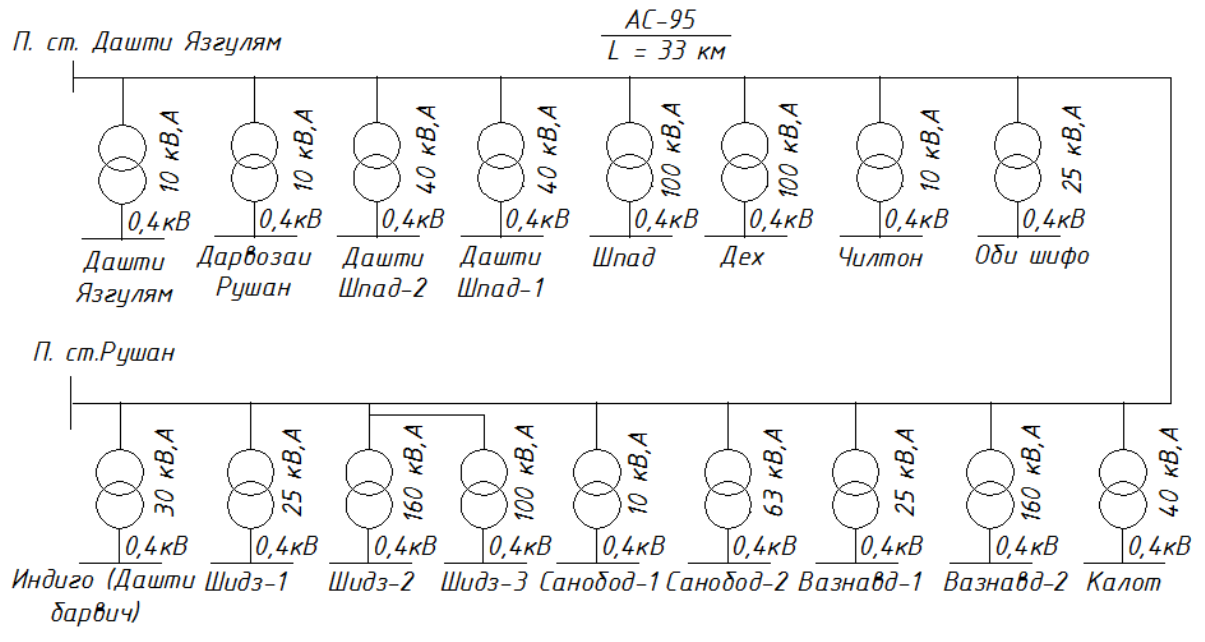


Рисунок 2 — Схема участка магистральной сети от ΠC «Дашти язгулям» до ΠC «Рушан» с ответвлением к $\Pi T\Pi$ 35/0,38 кВ

Схемы наподобие (рис.2) использованы на участках сети ПС «Бизмич» в направлении Ишкашимского и Рошткалинского районов, а также в других направлениях от основной магистрали. В частности, одно из таких ответвлений показано на рис. 1 от ПС «Калаи хумб» до ПС «Паткноб». Другие ответвления на схеме (рис.1) не показаны

Непосредственное преобразование напряжения 35 кВ на напряжения 0,38 кВ на участках с малой плотностью нагрузки и разукрупнения ПТП дало возможность приблизить их к центру электрических нагрузок. Это привело к уменьшению длины распределительной сети 0,38 кВ и снижению потери напряжения в сети, повышению уровня напряжения на вводах потребителей. Заметим, что в этих условиях понятие «центр нагрузок» в принципе не соответствует принятой терминологии. Скорее всего, можно говорить о равновеликом расстоянии между ПТП и потребителями по двум направлениям от неё.

Глубокий ввод напряжением 35 кВ в сложных климатических условиях и горного рельефа местности привел не только к улучшению качества электроэнергии, что очень важно, но и к значительному сокращению распределительной сети 6-10 кВ, что в целом повышает технико-экономические показатели всей системы электроснабжения региона. Значительно снизились технические потери активной мощности в сети за счёт сокращения сети 6-10 кВ, что очень важно при дефиците мощности в зимний период в системе электроснабжения в целом по стране [6, 7]. За счёт сокращения трансформаторных подстанций напряжением 35/6-10 кВ и линий электропередачи напряжением 6-10 кВ произошло сокращение первоначальных капитальных затрат. Сократились естественно эксплуатационные расходы на сети 6-10 кВ. Инженернотехнический персонал, обслуживающий систему электроснабжения, сократился приблизительно на 32%. В целом, по предварительным расчётам, в зависимости от различных условий, затраты по системе электроснабжения снижаются в пределах от 1,8 до 2,6 раза. При этом снизились аварийные простои в 1,42 раза, а соответственно повысилась надёжность электроснабжения потребителей.

Из рассмотренной схемы (рис.1) на первый взгляд создаётся впечатление, что при такой длине линий электропередачи напряжением 35 кВ невозможно обеспечить нормальный уровень напряжения на вводах потребителей. Однако сеть выполнена по замкнутой схеме с двухсторонним питанием каждого участка. В пределах этих участков нагрузка для сети 35 кВ минимальная, что и обеспечивает минимальные потери напряжения. Поэтому основную проблему, связанную с качеством электроэнергии на данном этапе, можно считать решённой.

Наряду с глубоким вводом для повышения напряжения и снижения технологических потерь активной мощности целесообразно осуществить компенсацию реактивной мощности в сети. Известно, что в нынешних условиях в сельских населённых пунктах используются различные электроприёмники, имеющие низкий коэффициент мощности. Например, это такие электроприёмники как ручные электроинструменты разного назначения (дрель, болгарка, электропила и т.д.), электрокосилки, электрические освещения и им подобные приёмники электроэнергии. Передача реактивной мощности по элементам электрической сети от источников питания (ГЭС) приводит к дополнительным потерям напряжения и мощности от протекания по ним реактивной мощности. Для снижения дополнительных потерь напряжения и мощности необходимо повышение коэффициента мощности в сети до номинального значения коэффициента мощности генераторов электрических станций. Для этого необходимо на всех ПТП напряжением 10/0,38 кВ и 35/0,38 кВ установить конденсаторные батареи на стороне напряжения 0,38 кВ для выработки реактивной мощности, что позволяет разгрузить все вышестоящие элементы электрической сети от протекания по ним реактивной мощности, в том числе генераторов ГЭС. Тем самым снижаются потери напряжения в узлах схемы электроснабжения, что также приводит к снижению технологических потерь мощности во всех элементах сети.

Статические косинусные конденсаторы на напряжение до 400 В имеют как небольшую стоимость, так и малые габаритные размеры, не требуют больших эксплуатационных затрат, но дают невообразимо колоссальный эффект. Отпадает необходимость перевода части генераторов в режим синхронного компенсатора. Тем более, что современные конденсаторные батареи имеют автоматическое регулирование выдачи реактивной мощности в зависимости от различных факторов.

С ростом нагрузок напряжение 35 кВ не может дальше использоваться в качестве системообразующего напряжения. Поэтому параллельно прокладывается сеть напряжением 110 кВ, которая уже существует между ГЭС «Памир-1» и ГЭС «Хорог» и прокладывается дальше в сторону центральной части страны по той же трассе, что и сеть напряжения 35 кВ. Очевидно, в пунктах с большой электрической нагрузкой будут установлены понижающие трансформаторные ПС напряжением 110/35 кВ для подключения к ней существующей сети 35 кВ. Сети напряжением 110 кВ обеспечивают полноценную связь между центральной электроэнергетической системой страны и ОАО «Памир Энерджи». Тем самым создаётся единая объединённая электроэнергетическая система страны. При сооружении ГЭС «Санобод» мощностью в 500 МВт в некоторой степени увеличивается уровень энергетической безопасности страны [8].

В условиях ГБАО на реках и речушках, возможно, сооружать в зависимости от конкретных условий каскад мини- и малых ГЭС разного типа. Они могут работать автономно или в составе системы в зависимости от места нахождения и мощности. Использование автоматизированных удалённых от системы мини- и малых ГЭС позволяет в быту заменить все виды топлива электроэнергией, эффективность использования которой можно регулировать тарифом на электроэнергию [9].

Опыт сооружения и эксплуатации глубокого ввода ОАО «Памир Энержи» даёт возможность её использования не только в других регионах нашей страны, но и в других странах с горным рельефом местности.

Рецензент: Сидоров А.И. — д.т.н., профессор, зав. қафедрой БЖД ЮУрГУ

Литература

- 1. Ермилов А.А. Основы систем электроснабжения промышленных предприятий. 4-е изд. перераб. и доп. М.: Энергоатомиздат, 1983.—208 с.
- 2. Напряжение 35 кВ в системе электроснабжения подземных электроприёмников /А. Г. Мнухин [и др.] Уголь Украины, сентябрь 2012, С. 21-25.
- 3. Додхудоев М. Д., Шарипов М. М. Электроснабжение горных районов с глубоким вводом на напряжение 35 кВ. Материалы межд. научн.-практ. конф. Электроэнергетика. Проблемы и перспективы развития региона. Душанбе, ТТУ, 21 декабря 2018 г. С.262-265.
- 4. Додхудоев М. Д., Вохидов М. М. Анализ схемы электроснабжения Варзобского района и оценки целесообразности её реконструкции //Политехнический вестник. Серия: Инж. иссл. № 4 (51) 2020. С. 26-29.

- 5. Додхудоев М. Д. Пути повышения качества напряжения в электроэнергетической системе компании «Памир-Энерджи» Республики Таджикистан. Материалы межд. науч. практ. конф. «Энергетика- состояние и перспективы». Душанбе 20 декабря 2021. С.45-50.
- 6. Практические мероприятия по снижению потерь электроэнергии в электроэнергетической системе Республики Таджикистан/М. Д. Додхудоев [и др.]//"Перспективы развития науки и образования Ч.1". Мат. VII Междунар. науч.-практ. конф. 22 окт. 2014 г., Душанбе, 2016. С. 74-78.
- 7. Мираков О.А., Додхудоев М.Д., Таваров С.Ш. Возможности энергосбережения в системе электроснабжения Республики Таджикистан. // Политехнический вестник, Серия: Инженерные исследования. № 2 (42). 2018. С. 27-31.
- 8. Додхудоев М. Д. О возможных путях обеспечения энергетической безопасности Республики Таджикистан //Политехнический вестник, Серия: Инженерные исследования № 3 (51). 2020. С.24-28.
- 9. Додхудоев М. Д., Ниёзи С. Р. Тарифы на электроэнергию как средства повышения эффективности электроэнергетических систем с преобладанием ГЭС. // Политехнический вестник, Серия: Инженерные исследования. № 2 (50). 2020. С. 28-31.

СВЕДЕНИЯ ОБ АВТОРАХ – МАЪЛУМОТ ДАР БОРАИ МУАЛЛИФОН – INFORMATION ABOUT AUTHORS

TJ	RU	EN	
Додхудоев Мамадризо Додхудоевич	Додхудоев Мамадризо Додхудоевич	Dodkhudoev Mamadrizo Dodkhudoevich	
н.и.т. дотсенти кафедраи «Электротаъминкунй»	к.т.н., доцент кафедры «Электроснабжение»	Candidate of Technical Sciences., acting Associate Professor, Department of Power Supply	
Донишгохи техникии Точикистон ба номи академик М.С. Осимй	Таджикский технический университет имени академика М.С. Осими	Tajik Technical University named after academic M.S.Osimi	
	e. mail: rizo-1917@mail.ru		
TJ	RU	EN	
Вохидов Миробид Мирвохидович	Вохидов Миробид Мирвохидович	Vohidov Mirobid Mirvohidovich	
н.и.т. и.в. дотсенти кафедраи «Электротаъминкунй»	к.т.н., и.о. доцента кафедры «Электроснабжение»	Candidate of Technical Sciences., acting Associate Professor, Department of Power Supply	
Донишгохи техникии Точикистон	Таджикский технический	Tajik Technical University named after	
ба номи академик М.С. Осимй	университет имени академика М.С. Осими	academic M.S.Osimi	

УДК 621.311.24

ВЕРОЯТНОСТНЫЕ ХАРАКТЕРИСТИКИ ФЛУКТУАЦИЙ РЕЖИМНЫХ ПАРАМЕТРОВ ВЕТРОДИЗЕЛЬНОЙ СИСТЕМЫ

Р.А. Джалилов

Таджикский технический университет им. М.С. Осими

В статье рассмотрены флуктуации режимных параметров ветродизельной системы, обусловленные пульсациями скорости ветра. Получено выражение для комплексной амплитуды отклонения мощности ветроэлектрического генератора. Рассчитаны и построены частотные и спектральные характеристики режимных параметров ветродизельной системы. Показано, что в рассчитанных спектрах взаимного угла, электромагнитной мощности, тока статорной цепи генераторов ветродизельной системы падал удельный вес как малых, так и собственных частот, что в свою очередь благоприятно сказывалось на показателях качества режимных параметров. Применение стабилизирующих параметров в автоматическом регулировании возбуждения генераторов и регулирование дизеля могут позволить существенно демпфировать электромеханические колебания.

Ключевые слова: ветроэлектрический генератор, ветродизельная система, частотная характеристика, спектральная характеристика, режимные параметры.

ТАВСИФОТХОИ ЭХТИМОЛИИ ТАҒЙИРЁБИИ ПАРАМЕТРХОИ РЕЧАВИИ СИСТЕМАИ БОДЙ-ДИЗЕЛЙ

Р.А. Чалилов

Дар мақола тағйирёбии параметрхои речавии системаи бодй-дизелй вобаста ба каму зиёдшавии суръати шамол баррасй карда шудааст. Муодила барои муайян намудани амплитудаи комплексии тағйирёбии иқтидори генератори бодй хосил карда шудааст. Тавсифотхои басомадй ва спектралии системаи бодй-дизелй хисоб ва сохта шудааст. Нишон дода шудааст, ки дар спектрхои кунчи мутақобила, иқтидори электромагнитй, чараёни занчири статори генераторхои система бодй-дизелй вазни хоси хам басомадхои хурд ва хам басомадхои хусусй кохиш меёбад, ки ин ба нишондихандахои сифати параметрхои речавй таъсири мусбат мерасонад. Истифодаи параметрхои тасбиткунанда дар танзими автоматии ангезиши генераторхо ва танзими дизел барои қатъиян как намудани лаппишхои электромеханикй имконият медихад.

Калимахои калидй: генератори бодй, системаи бодй-дизелй, тавсифоти басомадй, тавсифоти спектралй, параметрхои речавй.

PROBABILISTIC CHARACTERISTICS OF FLUCTUATIONS OF WIND-DIESEL SYSTEM OPERATING PARAMETERS

R.A. Dzhalilov

The article examines fluctuations in the operating parameters of a wind-diesel system caused by pulsations of wind speed. An expression is obtained for the complex amplitude of the power deviation of a wind-electric generator. The frequency and spectral characteristics of the operating parameters of the wind-diesel system are calculated and constructed. It is shown that in the calculated spectrums of the mutual angle, electromagnetic power, and current of the stator circuit of wind-diesel system generators, the proportion of both low and natural frequencies decreased, which in turn had a beneficial effect on the quality indicators of operating parameters. The use of stabilizing parameters in the automatic regulation of excitation of generators and regulation of diesel engines can significantly dampen electromechanical oscillations.

Keywords: wind-electric generator, wind-diesel system, frequency response, spectral response, operating parameters.

Введение

Порывистость ветра является метеорологическим фактором, могущим вызвать существенные отклонения режимных параметров ветроэлектрических агрегатов от их установившихся, а в ряде случаев и номинальных значений.

При исследовании параллельной работы ветроэлектрического генератора с мощной сетью и дизельгенераторами важное место занимают вопросы, связанные с оценкой отклонений его режимных параметров вследствие пульсаций скорости ветра и анализом мероприятий, направленных на снижение этих отклонений. В [1,2] были выполнены расчетные исследования в различных ветровых условиях режимов работы синхронных, асинхронных и асинхронизированных ветроэлектрических генераторов с сетью.

Рассмотрим особенности параллельной работы на автономную нагрузку синхронных ветроэлектрических генераторов с дизель-генераторами. Данную задачу целесообразно решать как в детерминированной, так и вероятностной постановке.

Частотные характеристики режимных параметров

Согласно теории стационарных случайных процессов, спектральная плотность выходного сигнала $S_{\text{вых}}$ (ω) любой динамической системы связана со спектральной плотностью входного возмущающего воздействия $S_{\text{еx}}$ (ω), представленного стационарной случайной функцией, соотношением:

$$S_{\text{вых}}(\omega) = |\Phi(\omega)|^2 S_{\text{вх}}(\omega) \tag{1}$$

где $|\Phi(\omega)|$ - модуль частотной характеристики системы, определяемый отношением амплитуд колебаний выходного параметра км входному при гармоническом изменении последнего.

В этой связи прежде всего возникает необходимость в определении частотных характеристик режимных параметров, под которыми понимают отношение в комплексной форме какого-либо режимного параметра (мощности, напряжения, тока статорной цепи, угла и т.д.) генератора к входному возмущающему воздействию [3].

Линеаризованное уравнение процессов ветроэлектрического генератора в осях d и q, жестко связанных с ротором, имеет вид:

$$p\Delta\Psi_{r1} - \omega_{s}\rho_{r}(\Delta U_{f1} - \Delta E_{q1}) = 0,$$

$$p\Delta\Psi_{r1} - \omega_{s}\rho_{r}(\Delta U_{f1} - \Delta E_{q1}) = 0,$$

$$p\Delta\Psi_{r1} - \omega_{s}\rho_{r}(\Delta U_{f1} - \Delta E_{q1}) = 0,$$

$$p\Delta\Psi_{r1} - \omega_{s}\rho_{r}(\Delta U_{f1} - \Delta E_{q1}) = 0,$$

$$T_{j1}p\Delta S_{1} + \Delta M_{e1} = \Delta M_{B},$$

$$p\Delta\delta_{1} - \omega_{s}\Delta S_{1} = 0,$$

$$\Delta M_{e1} - U_{d01}\Delta I_{d01} - I_{d01}\Delta U_{d1} - U_{q01}\Delta I_{q01} - I_{q01}\Delta U_{q1} = 0$$

$$x_{d1}\Delta I_{d1} + \Delta E_{q1} + \Delta E_{rq1} - \Delta U_{q1} = 0$$

$$x_{q1}\Delta I_{q1} + \Delta E_{rd1} + \Delta U_{d1} = 0$$

$$\Delta\Psi_{r1} - \mu_{d1}x_{d1}\Delta I_{d1} - \Delta E_{q1} - g_{11}\Delta E_{rq1} = 0$$

$$\Delta\Psi_{rd1} - \mu_{d1}^{\dagger}x_{d1}\Delta I_{d1} - g_{21}\Delta E_{q1} - \Delta E_{rq1} = 0$$

$$\Delta\Psi_{rq1} - \mu_{q1}x_{q1}\Delta I_{q1} - \Delta E_{rd1} = 0$$

где I_d , I_q-d , q составляющие тока статорной цепи; U_d , U_q- проекции вектора напряжения на оси d, q соответственно; Ψ_r , Ψ_{rd} , $\Psi_{rq}-$ потокосцепления обмотки возбуждения, продольного и поперечного демпферных контуров соответственно; E_r , E_{rd} , $E_{rq}-$ э.д.с., индуктируемые в фазах статора обмотками возбуждения, продольного и поперечного демпферных контуров соответственно; s- скольжение; $\delta-$ угол между осью q генератора и синхронной осью; x_d , x_q- индуктивные сопротивления генераторов в продольной и поперечной осях; μ_d , μ_d , μ_q — коэффициенты магнитной связи отдельных контуров генератора; ρ_r , ρ_{rq} , ρ_{rd} — декременты роторных контуров; ω_s — синхронная угловая частота; M_B — момент на валу ветроколеса; p- символ дифференцирования.

Аналогичный вид после замены индекса «1» на «2» и ΔM_B на ΔM_D имеют уравнения процессов, протекающих в дизель-генераторе.

Уравнения процессов во внешней сети в осях d, q первого генератора:

$$\Delta U_{d1} - \Delta U_{d\text{II}}^{(1)} - X_{\text{BH1}} \Delta I_{q1} = 0
\Delta U_{q1} - \Delta U_{q\text{II}}^{(1)} + X_{\text{BH1}} \Delta I_{d1} = 0
\Delta U_{d2}^{(1)} - \Delta U_{d\text{II}}^{(1)} - X_{\text{BH2}} \Delta I_{q2}^{(1)} = 0
\Delta U_{q2}^{(1)} - \Delta U_{q\text{II}}^{(1)} + X_{\text{BH2}} \Delta I_{d2}^{(1)} = 0$$
(4)

где $U_{d\mathrm{III}}^{(1)}, U_{q\mathrm{III}}^{(1)}$ – проекции вектора узла коммутации на оси d, q первого генератора; $U_{d1}, U_{q1}, I_{d1}, I_{d2}^{(1)}$ – проекции напряжения тока генераторов на оси d, q первого генератора.

Уравнения процессов в нагрузке, заданной шунтом постоянной проводимости в осях d, q первого генератора:

$$\Delta U_{q_{\text{III}}}^{(1)} g_{\text{H}} + \Delta U_{d_{\text{III}}}^{(1)} b_{\text{H}} - \Delta I_{q_{\text{H}}}^{(1)} = 0
-\Delta U_{q_{\text{III}}}^{(1)} b_{\text{H}} + \Delta U_{d_{\text{III}}}^{(1)} g_{\text{H}} - \Delta I_{d_{\text{H}}}^{(1)} = 0$$
(5)

где $g_{\rm H}$, $b_{\rm H}$ – активные и реактивные проводимости нагрузки; $I_{d{\rm H}}^{(1)}$, $I_{q{\rm H}}^{(1)}$ - проекции тока нагрузки на оси d, q первого генератора.

Уравнения баланса токов в осях d, q первого генератора:

$$\Delta I_{q1} + \Delta I_{q2}^{(1)} - \Delta I_{qH}^{(1)} = 0
\Delta I_{d1} + \Delta I_{d2}^{(1)} - \Delta I_{dH}^{(1)} = 0$$
(6)

Линеаризованные уравнения преобразования координат:

$$\Delta I_{q2}^{(1)} - \Delta I_{q2} \cos \delta_{210} + \left(I_{q20} \sin \delta_{210} + I_{d20} \cos \delta_{210} \right) \Delta \delta_{210} + \Delta I_{d2} \sin \delta_{210} = 0$$

$$\Delta I_{d2}^{(1)} - \Delta I_{q2} \sin \delta_{210} - \left(I_{q20} \cos \delta_{210} - I_{d20} \sin \delta_{210} \right) \Delta \delta_{210} - \Delta I_{d2} \cos \delta_{210} = 0$$
(7)

$$\Delta U_{q2}^{(1)} - \Delta U_{q2} \cos \delta_{210} + \left(U_{q20} \sin \delta_{210} + U_{d20} \cos \delta_{210} \right) \Delta \delta_{210} + \Delta U_{d2} \sin \delta_{210} = 0$$

$$\Delta U_{d2}^{(1)} - \Delta U_{q2} \sin \delta_{210} - \left(U_{q20} \cos \delta_{210} - U_{d20} \sin \delta_{210} \right) \Delta \delta_{210} - \Delta U_{d2} \cos \delta_{210} = 0$$
(8)

Закон регулирования возбуждения генераторов:

$$\Delta U_{f1}(1+pT_{\rm B}^{1}) + K_{0U}^{(1)}\Delta U_{1} - \frac{1}{1+pT_{\rm Bq}} \left(\frac{K_{0\omega}^{(1)}}{1+pT_{0\omega}} p\Pi_{1} + \frac{K_{1\omega}^{(1)}}{1+pT_{1\omega}} p\Pi_{1} \right) = 0$$
 (9)

$$\Delta U_{f2}(1+pT_{\rm B}^1) + K_{0U}^{(1)} \Delta U_2 - \frac{1}{1+pT_{\rm BH}} \left(\frac{K_{0\omega}^{(2)}}{1+pT_{0\omega}} p\Pi_1 + \frac{K_{1\omega}^{(2)}}{1+pT_{1\omega}} p\Pi_1 \right) = 0$$
 (10)

где П1, П2 — параметры стабилизации, в качестве которых в дальнейшем используются частота напряжения, частота э.д.с., либо разность частот э.д.с. генераторов; $T_{\rm Eq}$, $T_{0\omega}$, $T_{1\omega}$ — постоянные времени блока частоты и измерительных органов, формирующих отклонения частоты от входного значения и ее производную; $K_{0\omega}^{(1)}$, $K_{1\omega}^{(2)}$, $K_{0\omega}^{(2)}$, $K_{1\omega}^{(2)}$ -коэффициенты усиления.

Режимные частотные характеристики генераторов рассчитывались при гармоническом возмущении по скорости ветра. Найдем взаимосвязь между гармоническим изменением скорости ветра и соответствующим ему изменением момента ветроколеса. Полагая, что скорость ветра претерпевает периодические во времени с угловой частотой ω изменения около среднего u(t) значения, т.е.

$$u = u(T) + u_n \sin \omega t \tag{11}$$

 $(u_n$ – амплитуда пульсации скорости ветра) подставляем это выражение в уравнение момента ветроколеса [4]:

$$M_{\rm B} = \frac{\pi R^3 \delta u^3}{2\omega} \xi(z, \varphi) \tag{12}$$

где R- радиус ветроколеса, ρ - массовая плотность воздуха, u -скорость ветра, $z=\frac{\omega R}{u}$ - число модулей

быстроходности колеса, φ - угол разворота лопастей, ξ - коэффициент использования энергии ветра, представляющий собой отношение полезной механической мощности вращающегося колеса к полной мощности воздушного потока, ометаемого ветроколесом.

После преобразований приходим к следующему выражению:

$$\begin{split} M_{\rm B} &= A(\xi) \left[u(T) \left(u^2(T) + \frac{3}{2} u_n^2 \right) + 3 u_n \left(u^2(T) \right) + \frac{1}{4} u_n^2 \right) sin\omega t - \frac{3}{2} u(T) u_n^2 cos 2\omega t \\ &- \frac{1}{4} u_n^3 sin3\omega t \right] \end{split} \tag{13}$$

где

$$A(\xi) = \frac{\pi R^2 \rho}{2\omega} \xi(z, \varphi)$$

Анализ $A(\xi)$ показывает, что при гармоническом изменении скорости ветра около ее среднего значения u(T) момент ветроколеса содержит наряду с основной гармонической, изменяющейся с частотой ω , составляющие двойной и утроенной частоты колебаний, а также постоянную составляющую.

В таблице 1 приводятся величины отдельных составляющих момента ветроколеса, вызванных пульсациями скорости ветра, при различных u_n , неизменном $A(\xi)$ и расчетной скорости ветра $u(T)=u_p=1$, при которой мощность агрегата равна номинальной, $P_0=0.8$.

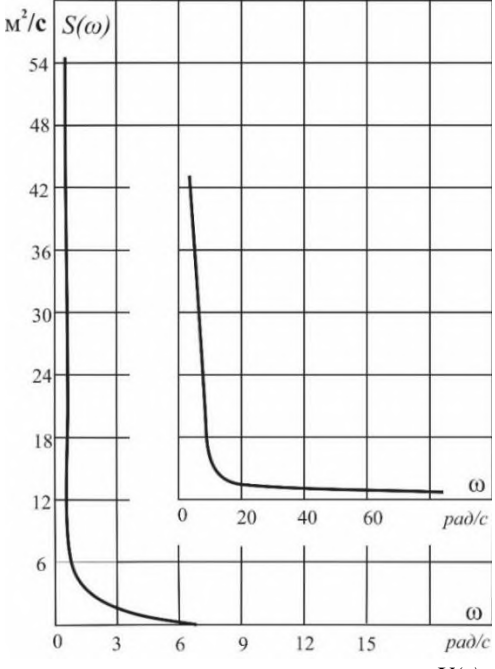
Таблица 1

	Амплитуды различных составляющих момента $M_{\scriptscriptstyle B}$			
	Постоянная составляющая	Основная	Вторая	Третья
u_n		гармоническая	гармоническая	гармоническая
11		частоты	частоты	частоты
0,1u(T)	0,012	0,241	0,012	0,0002
0,2u(T)	0,108	0,736	0,108	0,007
0,3u(T)	0,3	1,275	0,3	0,031

Анализ данных таблицы показывает, что даже при значительных пульсациях скорости ветра амплитуды второй и третьей гармоник значительно меньше амплитуды основной гармонической составляющей и в первом приближении можно принять:

$$\Delta M_{\rm B} = A(\xi) - 3u_n^2 u_n \tag{14}$$

Записав уравнения (2...14) в комплексных амплитудах были рассчитаны частотные характеристики отклонений основных режимных параметров генераторов. Активные мощности ветро- и дизель-генераторов, приведенные к полной установленной мощности ветроагрегата составляли: P_{10} =0,8; P_{20} =0,4 и P_{10} = P_{20} =0,8 при соотношении установленных мощностей 1:1 и 1:2 соответственно. Коэффициент загрузки двигателя принимался K_0 =0,5. Профиль лопастей ветроколеса соответствовал профилю NASA-230; в исходном режиме рабочей точки на характеристике $\xi(z, \varphi)$ соответствовало положение на максимуме характеристики. Другие данные исходного режима: Q_{10} =0,4, Q_{20} =0,2; 0,4 (при соотношениях мощностей P_0 : P_0 =1:1, 2:1 соответственно), внутренние углы генераторов, - δ_{10} =33,8°, δ_{20} =20°; узловые напряжения и э.д.с., - U_{10} =1,04, U_{20} =1,019, U_{20} =1,01,0, E_{q10} =1,61, E_{q20} =1,25. Амплитуда гармонического возмущения при расчете частотных характеристик задавалась равной 0,1 U_0 . Спектральные характеристики отыскивались при задании спектра ветра в виде рис.1.



Pисунок I-Cпектральная плотность скорости ветра при U(t)=10 м/с, $\varepsilon=100$ см $^2/c^3$

На рис. 2,3 приведены частотные характеристики отклонений электромагнитного момента ветроэлектрического генератора $|\Delta \underline{M}_{e1}|$ от его исходного значения (характеристика $|\Delta \underline{M}_{e2}|$ практически идентична $|\Delta \underline{M}_{e1}|$), взаимного угла $|\Delta \underline{\delta}_{21}|$ между осями q генераторов, напряжения $|\Delta \underline{U}_{III}|$ и частоты $|\Delta \underline{f}|$ напряжения в узле нагрузки при P_{∂} : P_{e} =1:1 (рис.2) и P_{∂} : P_{e} =2:1 (рис.3) и отсутствии регулирования возбуждения генераторов (ΔU_{ff} =0, ΔU_{f2} =0) и момента первичных двигателей (ϕ =const, ΔM_{∂} =0). Сравнительный анализ полученных характеристик с режимными частотными характеристиками синхронного ветроэлектрического генератора при параллельной его работе с мощной сетью в тех же расчетных условиях [5] показывает, что амплитудно-частотные характеристики $|\Delta \underline{M}_{e1}|$ и $|\Delta \underline{\delta}_{21}|$ при работе ветроэлектрического и дизель-генераторов на

общую нагрузку заметно ниже амплитудно-частотных характеристик аналогичных параметров при параллельной работе ветроэлектричеких генераторов с мощной сетью. Это можно пояснить следующими аналитическими выкладками.

Представим уравнение взаимного движения генераторов ветродизельной системы в линеаризированной форме:

$$\frac{p^2(\Delta \delta_{21})}{\omega_0} = \frac{\Delta P_{\rm B} - \Delta P_1}{T_{J1}} - \frac{\Delta P_{\rm A} - \Delta P_2}{T_{J2}},\tag{15}$$

где $\Delta P_{\text{в}},~\Delta P_{\text{д}},~\Delta P_{1},~\Delta P_{2}$ – вариации мощности ветроколеса, дизеля и сопряженных с ними генераторов соответственно.

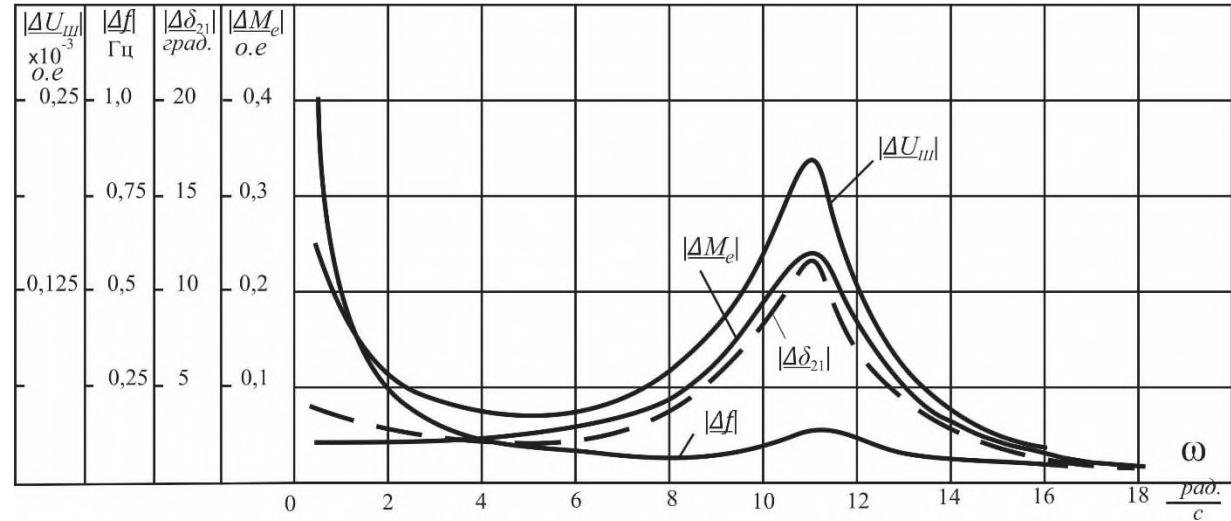


Рисунок 2 — Режимные частотные характеристики при P_{∂} : P_{θ} =1:1 и отсутствии регулирования возбуждения генераторов и момента первичных двигателей

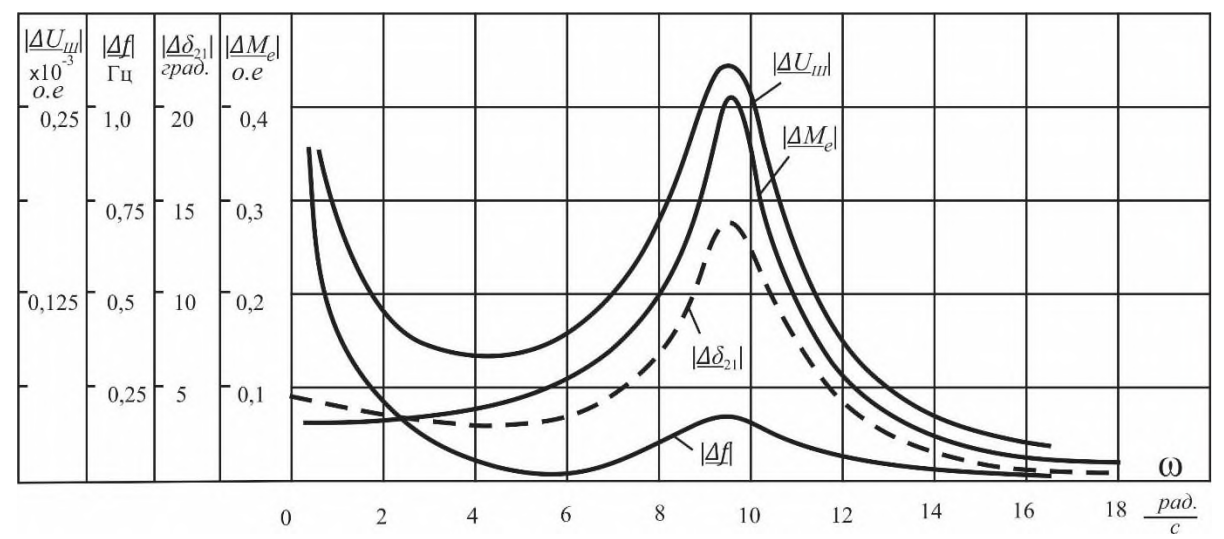


Рисунок 3 — Режимные частотные характеристики при P_{∂} : P_{θ} =2:1 и отсутствии регулирования возбуждения генераторов и момента первичных двигателей

Полагая, что возмущенное движение во времени близко к гармонически изменяющемуся с частотой β, в случае с нерегулируемым дизелем (ΔР_д=0) можно записать:

$$(j\beta^2)\frac{\Delta\underline{\delta}_{21}}{\omega_0} = \frac{\Delta\underline{P}_{\rm B}}{T_{J1}} - \frac{\Delta\underline{P}_{1}}{T_{J1}} + \frac{\Delta\underline{P}_{2}}{T_{J2}}$$

$$\tag{16}$$

При неизменном U_{UU} (такое возмущение как видно из рис.3 является приемлемым)

$$\Delta P_1 + \Delta P_2 = \frac{2P_{\text{H0}}}{U_{\text{III}0}} \Delta U_{\text{III}},$$

т.е. $\Delta P_2 = -\Delta P_1$. Следовательно,

$$-\beta^2 \frac{\Delta \underline{\delta}_{21}}{\omega_0} = \frac{\Delta \underline{P}_{B}}{T_{I1}} - \Delta \underline{P}_{1} \left(\frac{1}{T_{I1}} + \frac{1}{T_{I2}} \right)$$
 (17)

Принимая $\Delta P_1 = (S_E + D_P)$ или в комплексных амплитудах $\Delta P_1 = (S_E + D_j \beta) \Delta \delta_{21}$ (S_E — синхронизирующая мощность - коэффициент демпфирования), окончательно имеем:

$$\Delta \delta_{21} \left[-\frac{\beta^2}{\omega_0} + S_E \left(\frac{1}{T_{J1}} + \frac{1}{T_{J2}} \right) + D \left(\frac{1}{T_{J1}} + \frac{1}{T_{J2}} \right) j\beta \right] = \frac{\Delta P_B}{T_{J1}}$$
 (18)

Отсюда,

$$\Delta \underline{P}_{1} = \frac{(S_{E} + Dj\beta)\Delta \underline{P}_{B}}{T_{J1} \left[-\frac{\beta^{2}}{\omega_{0}} + S_{E} \left(\frac{1}{T_{J1}} + \frac{1}{T_{J2}} \right) + D \left(\frac{1}{T_{J1}} + \frac{1}{T_{J2}} \right) j\beta \right]}$$
(19)

При затухании α =0,4 1/c (как будет показано далее, данная величина отвечает декременту рассматриваемой ветродизельной системы при отсутствии регулирования) коэффицент демпфирования составит:

$$D = \frac{2\alpha}{\left(\frac{1}{T_{J1}} + \frac{1}{T_{J2}}\right)} = 2,67$$

Поскольку S_E не превышает 1,5...2,0, то на частоте свободных электромеханических колебаний исследуемой системы (β =11рад/с) справедливо неравенство:

$$|Dj\beta| >> S_E$$

С учетом сказанного,

$$\left|\Delta \underline{P}_{1}\right| + \left|\Delta \underline{P}_{2}\right| = \frac{\left|\Delta \underline{P}_{B}\right| T_{J2}}{T_{J1} + T_{J2}} \tag{20}$$

При работе ветроэлектрического генератора с сетью на основании аналогичных выкладок нетрудно получить:

$$\left|\Delta \underline{P}_{1}\right| = \left|\Delta \underline{P}_{B}\right| \tag{21}$$

При гармоническом возмущении нулевой частоты (Δu=0,1u_p) уравнения для нового установившегося режима рассматриваемой системы при принятой выше идеализации (не учёте зависимостей характеристик всех элементов системы от изменения частоты) можно записать в виде:

ы) можно записать в виде.
$$P_{1} = \frac{E_{q1}U_{\text{III}}}{x_{1}} sin\delta_{1U}$$

$$P_{2} = \frac{E_{q2}U_{\text{III}}}{x_{2}} sin\delta_{2U}$$

$$P_{1} + P_{2} = P_{\text{H}}$$

$$Q_{1} = \frac{U_{\text{III}}}{x_{1}} + \frac{E_{q1}U_{\text{III}}}{x_{1}} cos\delta_{1U}$$

$$Q_{2} = \frac{U_{\text{III}}}{x_{2}} + \frac{E_{q2}U_{\text{III}}}{x_{2}} cos\delta_{2U}$$

$$Q_{1} + Q_{2} = Q_{\text{H}}$$

$$Q_{H} = U_{\text{III}}^{2}b_{H}$$

$$P_{H} = U_{\text{III}}^{2}b_{H}$$

$$P_{H} = U_{\text{III}}^{2}B_{H}$$

$$P_{H} = V_{\text{III}}^{2}D_{H}$$

$$P_{H} = V_{\text{III}}^{2}D_{H}$$

где P_{θ} , P_{∂} — мощности турбин ветро- и дизель-генераторов, P_{1} , P_{2} , Q_{1} , Q_{2} , P_{H} , Q_{H-} активные и реактивные мощности генераторов и нагрузки, δ_{1U} , δ_{2U} — угол между осью q каждого из генераторов и вектором напряжения U_{UU} .

После линеаризации уравнения (21), полагая, как и прежде, ΔU_{ω} =0, после преобразований приходим к выражениям, аналогичным (19), а именно:

$$\Delta P_1 = \frac{\Delta P_{\rm B} T_{J2}}{T_{I1} + T_{I2}},\tag{23}$$

$$\Delta P_2 = -P_1 = \frac{\Delta P_{\rm B} T_{J2}}{T_{J1} + T_{J2}},\tag{24}$$

На нулевой частоте при параллельной работе ветроэлектрического генератора с сетью, очевидно, что $\Delta P_1 = \Delta P_B$.

Из изложенного следует, что как в областях малых (близких к нулю) частот, так и на частоте свободных электромеханических колебаний генераторов при принятых соотношениях P_{20} : P_{10} и реальных значениях T_{J1} и T_{J1} отклонения ΔP_1 и ΔP_2 существенно ниже ΔP_8 ; тогда как при параллельной работе ветроэлектрического генератора с мощной сетью отклонения мощности генератора и ветроколеса равны между собой. Однако при этом в области малых частот значительный подъем имеет амплитудно-частотная характеристика частоты напряжения в узле нагрузки, изменение которой на нулевой частоте при принятой идеализации можно записать в виде [3]:

$$p\Delta f = \frac{\Delta P_{\rm B} 50}{T_{J\Sigma}} \tag{25}$$

где $T_{I\Sigma} = T_{I1} + T_{I2}$ - эквивалентная постоянная агрегатов.

Сказанное физически можно объяснить тем, что в автономной системе значительная часть отклонения мощности ветроколеса, обусловленного изменением скорости ветра, расходуется на изменение частоты системы, снижая тем самым возмущаемость других режимных параметров.

Спектральные характеристики режимных параметров

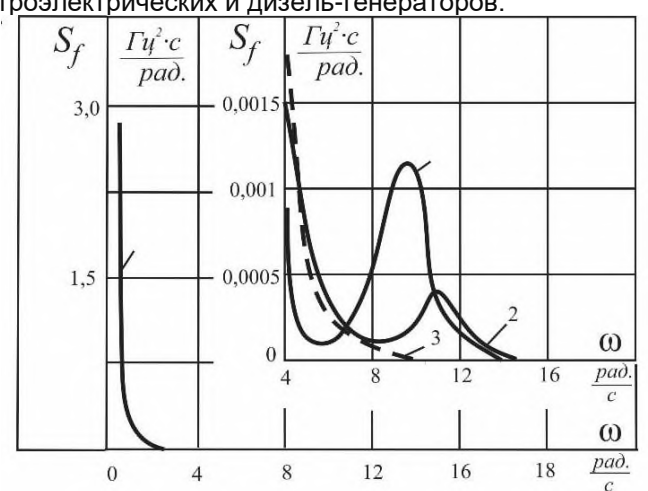
Рассчитанные по частотным спектральным характеристикам режимные параметры системы приведены на рис. 4 и 5.

Сравнение кривых рис. 4 и 5. показывает, что спектральные характеристики электромагнитного момента и взаимного угла генераторов системы значительно ниже таковых для синхронного ветроэлектрического генератора, работающего параллельно с мощной сетью. При этом в спектрах S_{Me} , $S_{\partial 21}$ в существенной мере падает вес как малых, так и собственных частот, что в свою очередь, благоприятно сказывается на показателях

качества этих режимных параметров. Величины дисперсий D_{Me} , $D_{\delta 21}$ и среднеквадратичных отклонений ${m \sigma}_{Me}$,

 σ_{21} для нерегулируемых агрегатов при различном соотношении их установленных мощностей сведены в табл.2.

Из сопоставления приведенных результатов и данных табл. 3, полученных при параллельной работе ветроэлектрического генератора с сетью, видно, что в последнем случае величины среднеквадратичных отклонений электромагнитного момента и угла много больше их значений при параллельной работе ветроэлектрических и дизель-генераторов.



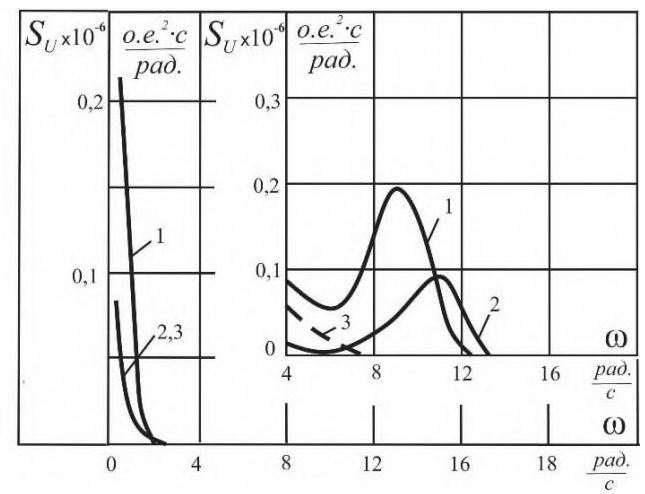
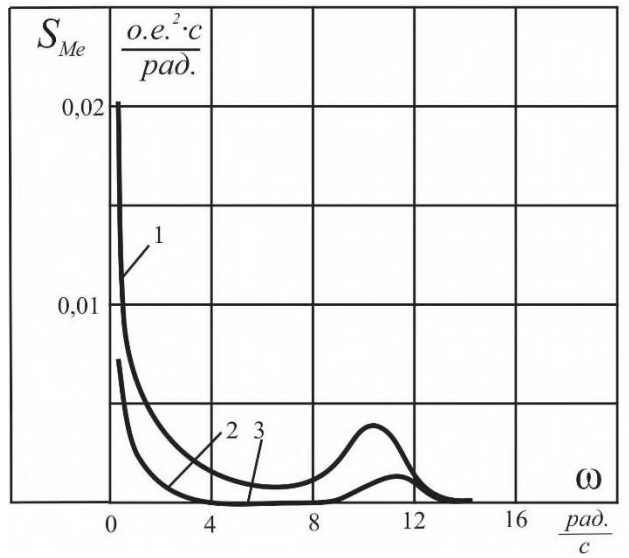


Рисунок 4 — Спектральные характеристики системы $1 - P\partial:Pe=2:1; 2 - P\partial:Pe=1:1; 3 - P\partial:Pe=1:1,$ генераторы с APB-CД



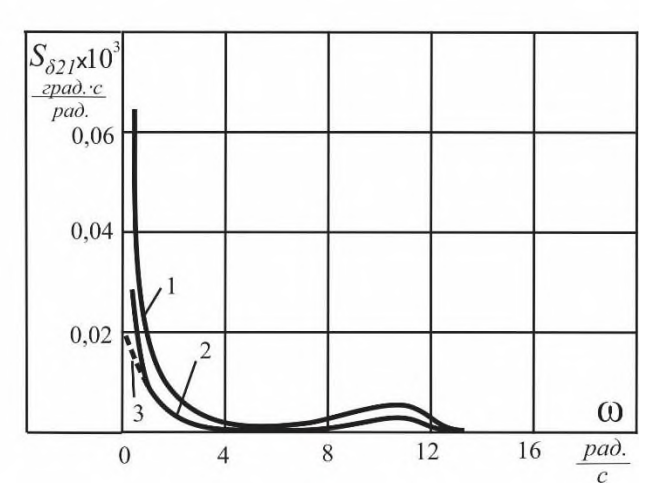


Рисунок 5 — Спектральные характеристики системы $1 - P_0: P_8 = 2:1; \ 2 - P_0: P_8 = 1:1; \ 3 - P_0: P_8 = 1:1,$ генераторы с APB-CД

Таблица 2

Параметр	Соотношение мощностей агрегатов	
	$P_{20}:P_{10}=1:1$	P ₂₀ :P ₁₀ =2:1
Дисперсия D_{Me} , (o.e.) ²	0,0068	0,025
Среднеквадратичное отклонение σ_{Me} , о.е.	0,082	0,16
Дисперсия $D_{\delta 21}$, град. ²	25	45,8
Среднеквадратичное отклонение $\sigma_{\delta 2I}$, град.	5,0	6,7

Таблица 3

Параметр	Me	δ	I
Дисперсия, D	D_{Me} =0,48 (o.e.) ²	D_{δ} =845,9 град. ²	$D_I = 0.41 (\text{o.e.})^2$
Среднеквадратичное отклонение $\sigma = \sqrt{D}$	σ_{Me} =0,69 o.e.	$oldsymbol{\sigma}_{\delta}$ =29 град.	σ_{I} =0,64 o.e.

Среднеквадратичные отклонения напряжения в узле нагрузки от его номинального уровня, рассчитанные по спектральным характеристикам S_{UU} (рис. 5), даже при отсутствии регулирования возбуждения, не превышали 0,02% при соотношении мощностей P_{20} : P_{10} =1:1 и 0,05% при P_{20} : P_{10} =2:1. Спектральные характеристики напряжения на шинах нагрузки представлены на рис. (рис.5). Величины среднеквадратичных отклонений \mathbf{O}_f при соотношении мощностей P_{20} : P_{10} =1; P_{20} : P_{10} =2:1 составили 0,71 Гц и 0,69 Гц соответственно.

Применение стабилизирующих параметров в APB генераторов может позволить существенно повысить демпфирование их электромеханических колебаний.

Улучшение демпфирования обуславливало и регулирование дизеля по обычно реализуемому в нем закону. При этом заметно снизятся и среднеквадратичные отклонения режимных параметров.

Заключение

Анализ флуктуаций режимных параметров показал, что величины дисперсий и среднеквадратичных отклонений режимных параметров (мощности, тока статорной цепи и т.д.) агрегатов ветродизельной системы значительно ниже таковых при работе ветроэлектрического генератора с сетью.

В автономной системе значительная часть отклонения мощности ветроколеса, обусловленного изменением скорости ветра, расходуется на изменение частоты системы, снижая тем самым возмущаемость других режимных параметров.

В спектре флуктуаций режимных параметров системы преобладают как низкие частоты, обусловленные большим удельным весом их в спектре скорости ветра, так и частоты, близкие к частоте собственных электромеханических колебаний. Удельный вес последних значительно может быть снижен за счет регулирования частоты вращения дизеля. Дополнительный эффект здесь может быть получен за счет применения регулирования возбуждения генераторов по производным режимных параметров.

Рецензент: Сидоров А.И. — д.т.н., профессор, зав. қафедрой БЖД ЮУрГУ

Литература

- 1 Рагозин А.А., Пинегин А.Л. Анализ условий работы асинхронных и синхронных ветроэлектрических установок в энергосистеме // Электричество -1996 -№2 С. 16- 24.
- 2 Джалилов Р.А. Режимы работы асинхронизированных синхронных ветроэлектрических генераторов в энергосистеме // ВЕСТНИК Института энергетики Таджикистана (Научный журнал) Серия инженерных, инновационных и инвестиционных исследований №3 (3) Кушониён, 2022. с. 9-14.
- 3 Костин В.Н., Пинегин А.Л. Характеристики режимных параметров ветроагрегата при параллельной работе с дизель-генератором // Естественные и технические науки 2005 №3(81) С. 111-116.
- 4 Ahmed G. Abo-Khalil., Saeed Alyami., Khairy Sayed., Ayman Alhejji. Dynamic modeling of wind turbines based on estimated wind speed under turbulent conditions// Energies 2019, 12, 1907; doi:10.3990/en12101907.
- 5 Пинегин А.Л., Рагозин А.А. Режимы работы синхронного ветроэлектрического генератора в энергосистеме // Электричество -1994 -№5 С. 17 24.

СВЕДЕНИЯ ОБ АВТОРЕ – МАЪЛУМОТ ДАР БОРАИ МУАЛЛИФ – INFORMATION ABOUT AUTHOR

TJ	RU	EN	
Ч алилов Рустам Абдуҳамидович	Джалилов Рустам	Dzhalilov Rustam Abduhamidovich	
	Абдухамидович		
н.и.т., дотсент	к.т.н., доцент	Candidate of Technical Sciences.,	
		associate professor	
Донишгохи техникии Точикистон ба номи академик М.С. Осимй	Таджикский технический университет имени академика М.С. Осими	Tajik Technical University named after academic M.S.Osimi	
e. mail: <u>drustam@mail.ru</u>			

УДК 620.9-62

ПЕРСПЕКТИВЫ ВНЕДРЕНИЯ НЕГЛУБОКИХ ГЕОТЕРМАЛЬНЫХ СИСТЕМ В УСЛОВИЯХ РЕСПУБЛИКИ ТАДЖИКИСТАН

С.А. Тагоев, Ш.М. Султонзода, У.У. Косимов

Таджикский технический университет имени академика М.С. Осими

В работе рассматриваются перспективы внедрения и развития неглубоких геотермальных систем в условиях Республики Таджикистан. Проведен анализ опытов зарубежных стран в области использования геотермальной энергии и направления применения неглубоких геотермальных систем – теплонасосных установок для теплоснабжения. Проведена оценка параметров теплонасосных установок в условиях г. Душанбе.

Ключевые слова: геотермальная энергетика, тепловой насос, трансформация тепла, низкопотенциальное геотермальное тепло.

ДУРНАМОИ ИСТИФОДАБАРИИ СИСТЕМАХОИ ГЕОТЕРМАЛИИ НАЧАНДОН ЧУҚУР ДАР ШАРОИТИ ЧУМХУРИИ ТОЧИКИСТОН

С.А. Тағоев, Ш.М. Султонзода, У.У. Қосимов

Дар кори мазкур дурнамои чоринамой ва рушди системахои геотермалии начандон чукур дар шароити чумхурии Точикистон баррасй карда мешавад. Тахлили тачрибахои кишвархои хоричй дар сохаи истифодаи энергияи геотермалй ва самти истифодаи системахои геотермалии начандон чукур бо имстифодаи насосщои гарми барои гармитаъминкунй гузаронида шудааст. Параметрхои насосхои гармидихй дар шароити шахри Душанбе арзёбй карда шудаанд.

Калидвожахо: энергетикаи геотермалй, насоси гармй, трансформатсияи гармй, гармии геотермалии потенсиалаш паст

PROSPECTS FOR THE INTRODUCTION OF SHALLOW GEOTHERMAL SYSTEMS IN THE REPUBLIC OF TAJIKISTAN

S.A. Tagoev, Sh.M. Sultanzoda, U.U. Qosimov

The paper examines the prospects for the introduction and development of shallow geothermal systems in the Republic of Tajikistan. The analysis of the experiences of foreign countries in the field of geothermal energy use and the direction of application of shallow geothermal systems – heat pump installations for heat supply is carried out. An assessment of the parameters of heat pump installations in the conditions of Dushanbe was carried out.

Keywords: geothermal energy, heat pump, heat transformation, low-potential geothermal heat, geothermal probes.

Введение

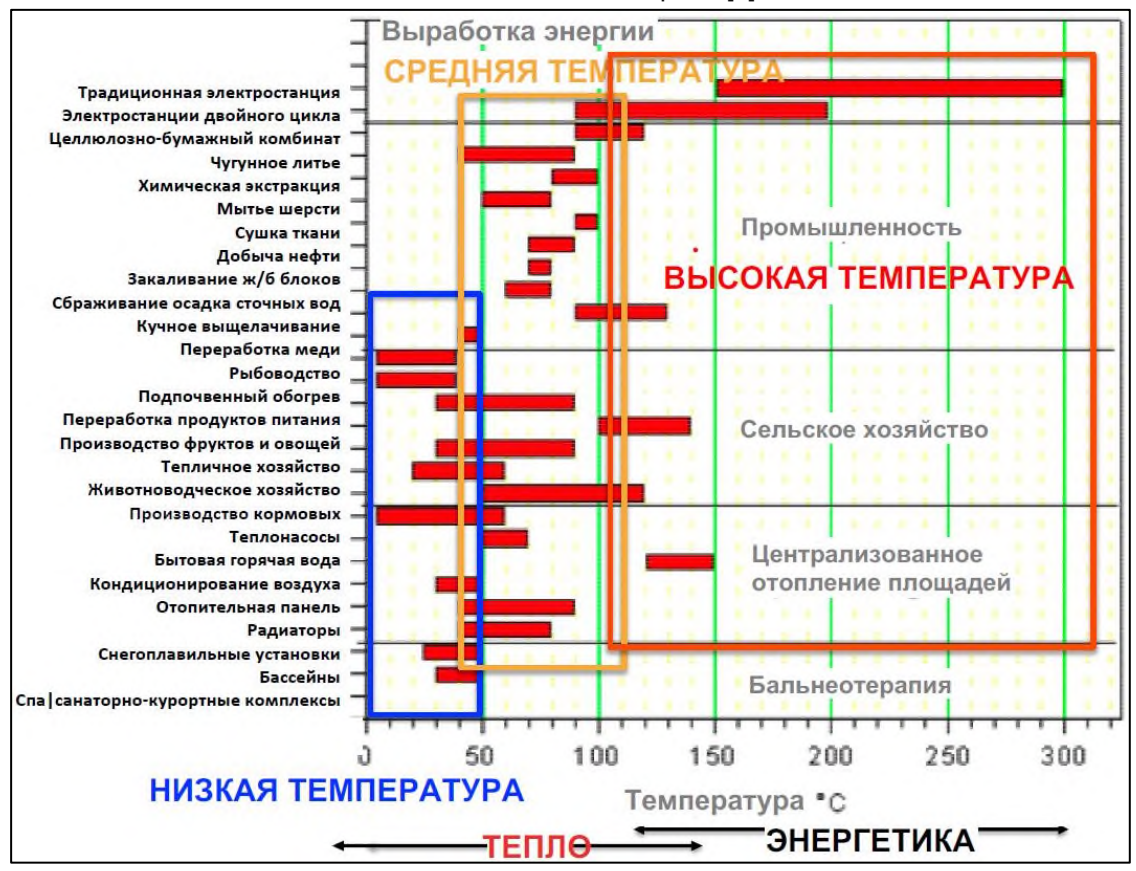
Геотермальная энергетика — это использование естественной энергии, исходящей из недр Земли, за счет тепла радиоактивного распада минералов и геологической активности планеты. Неглубокая геотермальная энергетика — это использование энергии под поверхностью земли глубиной примерно до 50-100 м, а также в глубине водоемов и рек (гидротермальная энергия). Геотермальные энергетические ресурсы могут находиться на различной глубине под поверхностью земли. С увеличением глубины под земной поверхностью температура постепенно повышается (1°С на каждые 33 м), а в некоторых местах эта энергия выходит наружу (вулканы, горячие источники). Поверхность суши и воды также нагревается за счет поглощения солнечного излучения, в результате чего происходит аккумулирование энергии в толще земли и воды. Использование этой низкопотенциальной энергии возможно посредством трансформаторов тепла — теплонасосными установками. Геотермальная энергия используется в различных отраслях (рис. 1).

Обзор использования геотермальной энергии в мире

Геотермальная энергетика наиболее распространена в регионах с высокой тектонической активностью. Лидерами в области прямого использования геотермальной энергии (теплоснабжения), включая теплонасосные установки, являются Китай, США, Швеция, Германия, Турция и др. Тепловые насосы обеспечивают теплом Стокгольм, используя в качестве низкопотенциального источника Балтийское море со среднегодовой температурой воды всего +8 °C. В Швеции теплонасосы обеспечивают половину всего тепла, в США — 37% [1]. К достоинствам геотермальных ресурсов можно отнести [2]: а) использование местных энергетических ресурсов; б) замена традиционных источников энергии на геотермальные обеспечивает существенное улучшение экологической обстановки и здоровья населения; в) экономия дефицитного органического топлива (природный газ, нефть).

По данным Международного энергетического агентства (МЭА), к 2020 году во всем мире было установлено 177 миллионов тепловых насосов. Большинство этих тепловых насосов было в Китае (33%), за ним следовали Северная Америка (23%) и Европа (12%). Однако до недавнего времени рынок тепловых насосов рос гораздо медленнее, чем того требовали сценарии декарбонизации МЭА или Комитета по изменению климата Великобритании (ССС). Это очевидно из данных МЭА по глобальным запасам тепловых насосов: при нынешних темпах к 2030 году в мире будет установлено только 253 миллиона тепловых насосов

по сравнению с 600 миллионами единиц, необходимыми к этому году в сценарии МЭА с нулевым балансом - дефицит 58%. Сюда входят тепловые насосы «воздух-воздух», «воздух-вода», «вода-вода» и «земля-вода». В Европе четырьмя странами с наибольшей долей тепловых насосов являются Норвегия (60% домохозяйств), Швеция (43% домохозяйств), Финляндия (41% домохозяйств) и Эстония (34% домохозяйств). Эти четыре страны также сталкиваются с самыми холодными зимами в Европе [3].



Pисунок I-Использование геотермальной энергии в различных отраслях

Данные МЭА показывают, что мировой рынок тепловых насосов в 2020 году вырос всего на 3%. До этого рынок рос примерно на 10% в год. Путь «чистого нуля», предложенный МЭА, требует роста рынка на глобальном уровне примерно на 13% в годовом исчислении до 2030 года.

Первоначальные данные свидетельствуют о том, что после замедления в 2020 году рынок тепловых насосов резко восстановился в 2021 году, при этом в некоторых странах, где доступны данные, рост выражается двузначными числами.

Например, Европейская ассоциация тепловых насосов (ЕНРА) ожидает, что в Европе рост рынка превысит 25% в 2021 году, впервые достигнув 2 млн единиц, продаваемых в год.

Польская ассоциация тепловых насосов Port PC сообщила об увеличении количества тепловых насосов на 60% в 2021 году, главным образом благодаря правилам о поэтапном отказе от угольного отопления в частных домах в стране.

В Германии рынок тепловых насосов вырос на 28% в 2021 году, когда было продано 154 000 единиц – в основном из-за расширения продаж воздушных тепловых насосов. Наблюдаемый рост частично объясняется введением налога на выбросы углерода в топливе для отопления в 2021 году.

США, еще один мировой лидер по производству воздушных тепловых насосов, в 2021 году прибавили 15%, ограничив период последовательного ежегодного роста выше 5% с 2015 года.

По данным Финской ассоциации тепловых насосов, в 2021 году Финляндия продемонстрировала аналогичный рост, что и Германия, с увеличением на 25% до 130 000 установленных тепловых насосов. Учитывая небольшой размер страны с точки зрения численности населения, это примечательно: в 2021 году почти 5% всех домов установят тепловой насос.

А сравнивать крупнейшие в мире системы тепловых насосов сложно, поскольку зачастую они состоят из нескольких меньших по размеру тепловых насосов, соединенных вместе. Возьмем, к примеру, систему

централизованного теплоснабжения в Стокгольме, Швеция, которую часто называют крупнейшей системой тепловых насосов в мире. Их максимальная мощность составляет 215 МВт, но эта сумма представляет собой сумму семи тепловых насосов, двух устройств по 40 МВт и пяти устройств по 27 МВт, согласно утверждению представителя энергетической компании Stockholm Exergi. В другом месте Швеции, в Гетеборге, имеется система тепловых насосов мощностью 160 МВт, состоящая из четырех агрегатов. Две из них больше, чем в Стокгольме, их мощность составляет 50 МВт каждая.

В Европе основное внимание уделяется стимулам до тех пор, пока рынок не вырастет до таких размеров, что потребуется регулирование/нормативы. Наиболее эффективными субсидиями являются те, которые направлены на затраты на установку и бурение.

Швеция: это зрелый рынок. Многие банки предлагают кредиты с нулевым процентом. Кроме того, цены на жилье напрямую зависят от геотермальных тепловых насосов. В 2022 году дома с ГТН продавались на 10-12 000 евро дороже. В 2023 году цены на недвижимость упали на 11 %, но только на 5 % для домов с ГТН. Регулярные опросы, проводимые компаниями, занимающимися продажей недвижимости, показывают, что геотермальные тепловые насосы занимают 4-е или 5-е место по важности при покупке дома.

Германия: скидка 40% на общую стоимость установки теплового насоса. Дополнительные 5% даются за геотермальную установку. В настоящее время очередь на бурение составляет 18 месяцев из-за нехватки бурильщиков. Это примерно 18 000 евро для ГТН и 15 000 евро для Тепловых насосов с воздушным источником тепла. Стоимость установки составляет €22-18 000 для ГТН.

Франция: MaPrimeRenov предоставляет €15000 для малообеспеченных и €12000 для среднеобеспеченных домохозяйств на установку геотермальных тепловых насосов и €9000 на установку тепловых насосов с воздушным источником тепла. Средняя стоимость установки составляет €18000 для жилых домов с ГТН.

Нидерланды: субсидии в размере 3750-5000 евро для ГТН и 1900-3500 евро для ТН с воздушным источником тепла.

Польша: 19 400 злотых (4 500 евро) - для высокоэффективного теплового насоса с воздушным источником тепла и 28 500 злотых (6 500 евро) - для ГТН. Средняя стоимость установки составляет 10-12 000 евро в зависимости от региона.

Эстония: электроэнергия, используемая в ГТН, оплачивается по коммерческой ставке НДС в размере 5%, а не по некоммерческой ставке в 12%.

Россия обладает огромными запасами геотермальной энергии, потенциал которой в 8-12 раз превышает потенциал всех углеводородных видов топлива. Перспективность освоения геотермальных месторождений с целью выработки электроэнергии очевидна. Технология выработки электрической энергии на основе глубинного тепла Земли позволяет конкурировать с традиционными тепловыми станциями. В 2010 году себестоимость электроэнергии на Мутновских ГеоЭС (Камчатка), являющихся флагманами геотермальной энергетики России, за киловатт-час по отношению к обычным ТЭС была в 3,7 раза ниже [4].

В Казахстане тепловые насосы производятся в промышленном масштабе.

На территории Республики Таджикистан также имеются геотермальные источники. Они отличаются физико-химическим составом и географическим положением. В северной части Таджикистана (Согдийская область) источники расположены, в основном, на равнинах и в предгорьях, в центральной и южной части они находятся в долинах, предгорьях и среднегорье, в Горно-Бадахшанской автономной области они находятся в предгорьях [5]. Основная доля геотермальных ресурсов Таджикистана расположена в Горно-Бадахшанской автономной области. Геотермальные воды представляют интерес для выработки электроэнергии, если их температура не ниже 150 и даже 300°С. Термальная вода с температурой более 60°С представляет интерес для отопления. По сути, любую энергию можно преобразовать в электрическую или тепловую энергию. В этом случае особый интерес представляет геотермальная тепловая энергетика, поскольку с точки зрения электроэнергии она не является существенной. В то же время, как источник тепловой энергии, он может представлять большой интерес, особенно при использовании современных технологий в виде тепловых насосов. В этом случае можно использовать все низкопотенциальное тепло геотермального источника, соответствующее температуре воды выше 15°С [6].

Особенности работы теплонасосной установки

Тепловой насос — это установка, позволяющая концентрировать низкотемпературное тепло и переносить его от теплоносителя с низкой температурой (4-5°C) к теплоносителю с более высокой температурой (до 80°C). По-другому, тепловой насос — это трансформатор тепловой энергии, повышающий температуру теплоносителя. Основными элементами теплового насоса являются четыре элемента: испаритель, компрессор, конденсатор и дроссель (рис. 2).

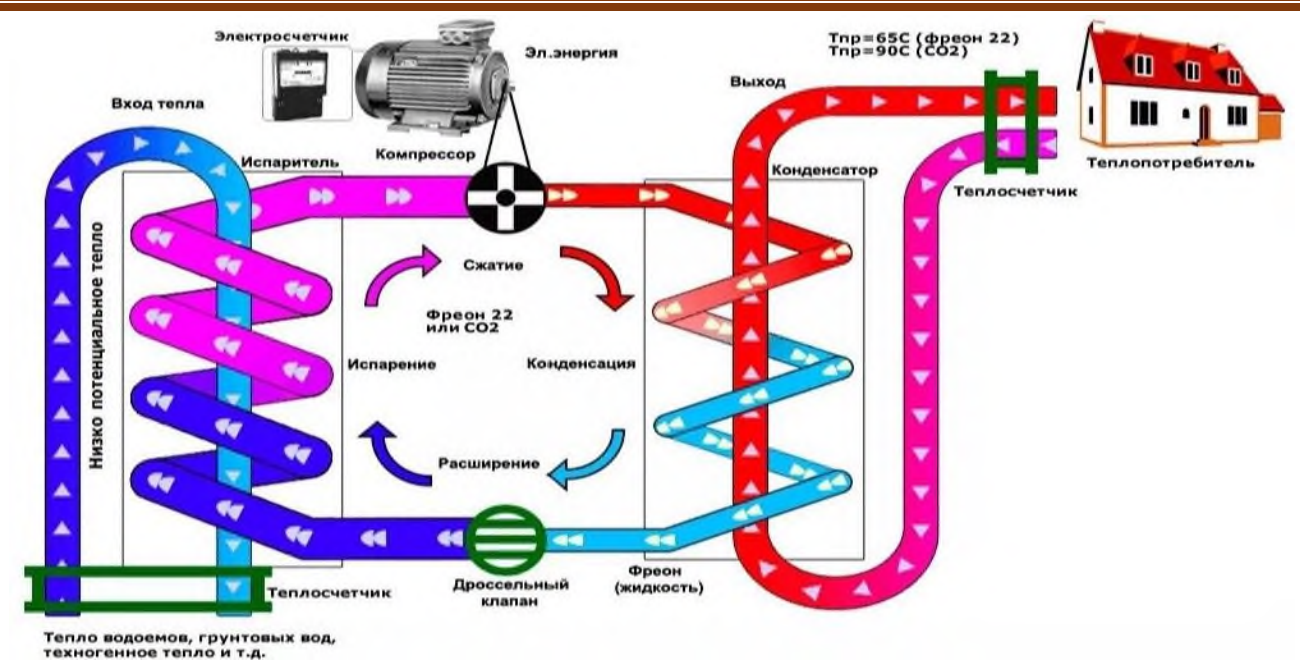


Рисунок 2 – Принцип работы теплового насоса

По испарителю теплонасоса циркулирует хладагент — фреон. Эта незамерзающая и легкоиспаряющаяся жидкость, которая закипает и преобразуется в пар при получении низкопотенциального (низкотемпературного) геотермального тепла, доставленная другим теплоносителем (вода, антифриз), циркулирующей по внешнему контуру, расположенному в толще земли или воды.

Парообразный фреон поступает в компрессор, где затрачивается электроэнергия, под воздействием высокого давления пар хладагента разогревается, температура сжатых паров фреона может достигать до 128 °C.

В конденсаторе горячий фреоновый пар передаёт тепловую энергию в контуре отопления на нагрев воды, охлаждается и снова переходит в жидкое состояние, но сохраняет при этом высокое давление.

Для того, чтобы продолжить цикл, необходимо понизить давление и температуру фреона, поэтому после конденсатора фреон проходит через дроссельный вентиль, где понижается его давление и температура. После этого фреон проходит испаритель для прохождения повторного цикла.

Получение низкопотенциального тепла из земли и водоема.

На практике применяется три варианта получения низкопотенциального геотермального тепла из грунта и водного объекта (рис. 3):

- геотермальные зонды (металлопластиковые трубы диаметром 25–40 мм), уложенные в траншеи глубиной 1,2–2 м [7];
- геотермальные зонды (U-образные трубы диаметром 25–40 мм), опущенные в вертикальные скважины глубиной 20-100 м;
- геотермальные зонды (металлопластиковые трубы диаметром 25–40 мм), погруженные в водный объект глубиной 1,2–2 м;

Трубы также можно укладывать в виде спиралей в широкую траншею глубиной 2–4 м. По данным зарубежных компаний, срок службы траншей и скважин составляет более 100 лет.

Съем тепла с каждого метра трубы зависит от глубины укладки, наличия грунтовых вод, свойства грунта и т.д. Для траншей он составляет: сухая глина – 20, влажная глина – 25, глина с водой – 35 Вт/м. Разницу температуры теплоносителя в прямой и обратной линии петли при расчетах принимают обычно равной 3°С. На участке над горизонтальным зондом не следует возводить строений, чтобы тепло земли пополнялось за счет солнечной радиации.

Минимальное расстояние между проложенными трубами должно быть 0,7–0,8 м. Длина одной траншеи составляет от 30 до 100 м. Длина каждой ветви горизонтальной трубы не должна превышать 100 м, иначе потери давления в трубе и требуемая мощность насоса становятся слишком велики. В качестве теплоносителя первичного контура можно использовать воду или 25-процентный раствор гликоля (антифриза) для предотвращения замерзания при температурах ниже 0°С. При использовании антифриза потери давления в

трубах в 1,5 раза больше, чем при циркуляции воды. В условиях Таджикистана во внешнем контуре и контуре отопления можно использовать в качестве теплоносителя воду, так как вероятность замерзания низкая.

Количество трансформируемого тепла, а, следовательно, и размер необходимой поверхности для расположения грунтового коллектора существенно зависят от теплофизических свойств грунта и климатических условий местности. Теплофизические свойства, такие как теплоемкость и теплопроводность, очень сильно зависят от состава и состояния грунта. В этом отношении определяющими являются доля воды, содержание минеральных составляющих (кварц, полевой шпат), доля и размер пор, заполненных воздухом. Аккумулирующие свойства и теплопроводность грунта тем выше, чем больше доля воды, минеральных составляющих и чем ниже содержание пор.

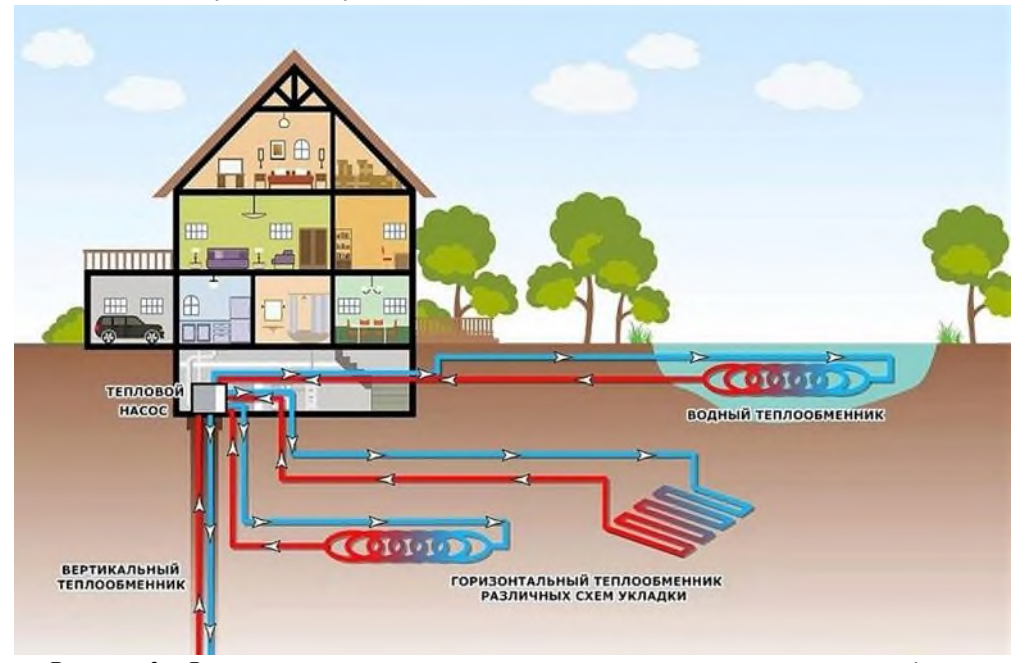


Рисунок 3 – Варианты получения низкопотенциального тепла из земли и водоема

Оценка параметров и выбор оборудования

Расчет необходимой тепловой мощности теплонасоса:

$$Q=V_{\Pi}\times\Delta t\times K$$
, κB_{T} , (1)

где V_n - Объем обогреваемого помещения, M^3 ; Δt - разница температур между наружного воздуха и необходимой температурой внутри помещения, C; K - коэффициент рассеяния (зависит от типа конструкции и изоляции помещения), K = 1,0 - 1,9 - стандартная конструкция, двойная кирпичная кладка, небольшое число окон, стандартная кровля, средняя теплоизоляция.

Например, при объеме помещения V_{Π} = 293 м², Средней температуре наружного воздуха в январе th=+2°C, температуре внутри помещения th=+20°C, разности температур ∆t=20-2=18°C получим:

$$Q=292\times18\times1,9=9986,4 \text{ Bt} \approx 10 \text{ kBt}.$$

Требуемая площадь для расположения горизонтального зонда (коллектора) рассчитывается по формуле:

$$S = Q_x/q, (2)$$

где: Qx - холодопроизводительность, Bт; q — удельная мощность грунтового коллектора, Bт/м2. Холодопроизводительность:

$$Q_{x} = Q_{T} - P_{H}, \tag{3}$$

где: Qт — теплопроизводительность теплонасоса, Вт; Рн — потребляемая мощность теплонасоса от сети, Вт. Например, если холодопроизводительность теплонасоса составит 10 кВт, то во влажном грунте (q = 25 Вт/м2) для размещения коллектора потребуется площадь:

$$S = Q_x/q = 10000/25 = 400 \text{ m}^2$$
.

Чтобы трансформировать тепло с такой площади, необходимо проложить в грунте полиэтиленовые трубы диаметром 25×2,3 мм и длиной I = 400×1,4 = 560 м (1,4 — удельный расход трубы на квадратный метр площади). Трубы необходимо прокладывать отдельными контурами по 94 м каждый, т.е. 6 контуров.

При вертикальном варианте расположении труб бурится скважина глубиной 60–200 м, в которую опускается несколько U-образных трубопроводов (рис. 2). В глинистом влажном грунте (теплосъем q = 100 Вт/м) при холодопроизводительности теплового насоса 10 кВт длина зонда (глубина скважины) должна быть:

$$L_c = Q_x/q = 10000/100 = 100 \text{ M}.$$

Можно сделать две U-образных трубопроводов диаметром Dy = 32×3 мм с глубиной скважины Lc = 50 м. Общая длина труб составит Lтр =200 м. Скважина с трубами заливается бетонитом, хорошо проводящим тепло. Количество теплоносителя определяется внутренним объемом труб коллектора (зонда) и подводящих труб:

$$V = (nL_{\kappa}S_{\kappa} + L_{\Pi}S_{\Pi}) \times 10^{3}, \, \Pi, \tag{4}$$

где: n – количество трубопроводов; Lк – длина одного U-образного трубопровода, м; Sк – площадь сечения трубопровода коллектора, м²; Lп - длина подводящего трубопровода, м; Sп – площадь сечения подводящего трубопровода коллектора, м²; 103 переводной коэффициент от м³ на л.

Диаметр подводящих труб берут на размер большим, чем труба коллектора. Например, при длине U-образного трубопровода коллектора Lк = 100 м с диаметром Dyк = 32×3 мм и длине подводящей трубы Lп = 100 м с диаметром Dyп = 40×2,3 мм объем теплоносителя составит:

$$V = (2 \times 100 \times 0.00053066 + 10 \times 0.00098373) \times 10^3 = 116 \text{ J}$$

где сечения трубопроводов:

$$S_{\text{\tiny K}} = \pi (D_{\text{\tiny YK}}/2)^2 = 3,14(0,026/2)^2 = 0,00053066 \text{ m}^2;$$

 $S_{\text{\tiny II}} = \pi (D_{\text{\tiny YII}}/2)^2 = 3,14(0,0354/2)^2 = 0,00098373 \text{ m}^2.$

Расход теплоносителя теплового насоса находят по паспорту на тепловой насос. Выбираем циркуляционный насос внешнего контура с объемным расходом теплоносителя GV = 1600 л/ч, тогда расход на один U-образный трубопровод коллектора составит GV1 = 800 л/ч. Потери давления в трубах зависят от диаметра труб, плотности и расхода теплоносителя и определяется по данным завода-изготовителя труб. Например, для труб HDPE (полиэтилен высокой плотности) диаметром 32×3 мм и расходе 800 л/ч величина потерь составляет Δ рк = 154,78 Па/м, а для труб диаметром $40 \times 2,3$ — Δ рп = 520,61 Па/м. Общее падение давления в сети составит:

$$\Delta P_c = L_{TP} \Delta p_K + L_{II} \Delta p_{II} = 200 \times 154,78 + 10 \times 520,61 = 36162 \text{ }\Pi a,$$

что необходимо учесть при выборе циркуляционного насоса.

Срок службы грунтового коллектора зависит от кислотности почвы: при нормальной кислотности (pH = 5) эта величина составляет 50–75 лет, при повышенной (pH>5) — 25–30 лет.

Поскольку температура теплоносителя меняться, в первичном контуре теплонасосной установки необходим расширительный бак. Рекомендуется также установить на возвратной линии накопительный бак: компрессор теплового насоса работает в режиме «включено-выключено». Слишком частые пуски могут привести к ускоренному износу его деталей. Бак полезен и как аккумулятор энергии — на случай отключения электроэнергии. Его минимальный объем принимается из расчета 10—20 л на 1 кВт мощности теплового насоса. При использовании второго источника энергии (электрического, газового, жидко- или твердотопливного котла) он подключается к схеме через смесительный клапан, привод которого управляется тепловым насосом или общей системой автоматики.

Мощность теплового насоса можно подбирать исходя из моновалентного или бивалентного режима его работы. В первом случае предполагается, что тепловой насос используется как единственный генератор тепловой энергии.

Следует принимать во внимание, что в условиях Таджикистана продолжительность периодов с низкой температурой воздуха составляет незначительную часть отопительного сезона. Например, для Душанбе температура наружного воздуха для расчета отопления принята –13 °C, продолжительность отопительного сезона — 112 суток, а средняя температура января составляет примерно +2°C. Поэтому наиболее целесообразной является работа теплового насоса в бивалентном режиме, предусматривающая включение дополнительного теплогенератора в периоды, когда температура воздуха опускается ниже определенного значения, например –5 °C. Это позволяет снизить стоимость теплового насоса и, особенно, работ по монтажу первичного контура (прокладка траншей, бурение скважин и т.п.), которая сильно увеличивается при возрастании мощности установки.

В условиях Таджикистана для примерной оценки при подборе теплового насоса, работающего в бивалентном режиме, можно ориентироваться на соотношение 70/30: 70 % потребности в тепле покрываются тепловым насосом, а оставшиеся 30 — электрическим котлом или другим теплогенератором.

Отметим, что при установке тепловых насосов в первую очередь следует позаботиться об утеплении здания и установке стеклопакетов с низкой теплопроводностью.

Выводы

Геотермальная низкопотенциальная энергия практически доступна везде, использование которой возможно посредством трансформаторов тепла — теплонасосными установками. Преимуществом геотермального теплового насоса является универсальность - с помощью теплового насоса можно решить не только задачу отопления, но и охлаждения. Тепловой насос не зависит от наличия источника тепла. Геотермальная система долговечна, единственный элемент которой подвергается механическому износу — это компрессор. Тепловой насос является пожаробезопасным — получение тепла не сопровождается процессом горения. Срок окупаемости низкий (3-5 лет). Источник энергии является возобновляемым. Недостатком является высокая стоимость начальных затрат. Геотермальную низкопотенциальную энергию можно применять в условиях Республики Таджикистан с учетом опытов передовых зарубежных стран.

Рецензент: Зоиров Х.А. — қ.т.н., начальник КЛПД ФОЛГЭЦ-2 ОАО "Барқи Почик"

Литература

- 1 John W. Lund, Aniko N. Toth. Direct Utilization of Geothermal Energy: 2020 Worldwide Review. Proc. of the 2020 World Geothermal Congress. Reykjavik, Iceland. 2020. 39 p.
- 2 Богуславский Э.И. Освоение тепловой энергии недр [Электронный ресурс]: монография. СПб.: Наукоемкие технологии, 2020. 435 с. URL: https://publishing.intelgr.com/archive/osvoenie-teplovoy-energii-nedr.pdf..
- 3 Rosenow, J., Gibb, D., Nowak, T. et al. Heating up the global heat pump market. Nat Energy 7, 901–904 (2022). https://doi.org/10.1038/s41560-022-01104-8.
- 4 А.Н. Шулюпин, А.А. Чермошенцева / Современные тенденции в освоении геотермальных ресурсов // Известия ТулГУ. Науки о Земле. 2022. Вып. 1. С. 165-175.
- 5 Inom Normatov / Geothermal Water Resources of the Republic of Tajikistan and a Perspective on Their Use // Proceedings World Geothermal Congress 2010. Bali, Indonesia, 25-29 April 2010. pp. 1-6.
- 6 Mamadsho Ilolov, Ahmadsho Ilolov, Sakina Karimova, Anvar Kodirov, Artur Khudonazarov / Geothermal Resources of Tajikistan // Proceedings World Geothermal Congress 2020+1 Reykjavik, Iceland, April October 2021. pp. 1-12.

7 http://teplovoi-nasos.com.

СВЕДЕНИЯ ОБ АВТОРАХ – МАЪЛУМОТ ДАР БОРАИ МУАЛЛИФОН – INFORMATION ABOUT AUTHORS

TJ	RU	EN	
Тагоев Сафовидин Асоевич	Тагоев Сафовидин Асоевич	Tagoev Safovidin Asoyevich	
н.и.т., дотсент	к.т.н., доцент	Candidate of Technical Sciences,	
		Associate Professor	
Донишгохи техникии Точикистон ба номи академик М.С. Осимй	Таджикский технический университет имени академика М.С. Осими	Tajik Technical University named after academic M.S.Osimi	
	e. mail: safovidin.tagoev@yandex.ru	<u>1</u>	
TJ	RU	EN	
Султонзода (Султонов)	Султонзода (Султонов)	Sultonzoda (Sultonov)	
Шерхон Муртазо	Шерхон Муртазо	Sherkhon Murtazo	
н.и.т., дотсент	к.т.н., доцент	Candidate of Technical Sciences,	
пппп, дотосит	***	Associate Professor	
Донишгохи техникии Точикистон ба номи академик М.С. Осимй	Таджикский технический университет имени академика М.С. Осими	Tajik Technical University named after academic M.S.Osimi	
	e. mail: <u>sultonzoda.sh@mail.ru</u>		
TJ	RU	EN	
Қосимов Улуғбек Умриевич	Косимов Улугбек Умриевич	Qosimov Ulugbek Umrievich	
н.и.т., и.в. дотсент	к.т.н., и.о. доцента	Candidate of Technical Sciences, Associate Professor	
Донишгохи техникии Точикистон ба номи академик М.С. Осимй	Таджикский технический университет имени академика М.С. Осими	Tajik Technical University named after academic M.S.Osimi	
e. mail: <u>Ulugbek.78@mail.ru</u>			

УДК 681.3 (075.8) + 621.3.053

ПРОГРАММНОЕ ОБЕСПЕЧЕНИЕ АВТОМАТИЗИРОВАННОЙ СИСТЕМЫ ОЦЕНКИ НАДЁЖНОСТИ И БЕЗОПАСНОСТИ ЭЛЕКТРОУСТАНОВОК

О.С. Сайфиддинзода

Таджикский технический университет имени академика М.С. Осими

Для решения проблемы надёжности и безопасности электроустановок необходимо знание состояния элементов заземляющего устройства (ЗУ). В настоящее время для оценки и контроля состояния элементов ЗУ существует множество стандартов и нормативнотехнических документов. Суть всех действующих методов заключается в оценке состояния заземляющих устройств путём проведения измерения их электрических параметров и визуальных осмотров. Дело в том, что визуальный осмотр производят при вскрытии грунта над элементами заземлителя, и при измерении электрических параметров применяются различные виды измерительных приборов, т.е. для оценки фактического состояния заземляющих устройств требуется большое количество трудовых, финансовых и временных затрат.

В данной статье рассматриваются основные вопросы, связанные с созданием совершенного программного обеспечения автоматизированной системы, повышающего безопасность и надёжность электроустановок. Изложены этапы разработок данного устройства для оценки и контроля состояния ЗУ, которое было разработано на основе программируемого микроконтроллера Atmega328P. Также приводятся назначения основных алгоритмов, которые были использованы в программном обеспечении микроконтроллера. Применение таких современных микроконтроллеров по заданным алгоритмам позволяет определить состояние элементов ЗУ и возможные повышение надёжности электроустановок и обеспечение безопасности обслуживающих персоналов.

Ключевые слова: надежность, безопасность, автоматизированная система, заземляющее устройство, Atmega328P, GSM-модуль, программный код, программируемый микроконтроллер.

ТАЪМИНОТИ БАРНОМАВИИ СИСТЕМАИ АВТОМАТОНИДАШУДА БАРОИ БАХОДИХИИ ЭЪТИМОДИЯТ ВА БЕХАТАРИИ ТАЧХИЗОТИ БАРКЙ

О.С. Сайфиддинзода

Барои ҳалли масъалаҳои эътимодият ва бехатарии таҷҳизоти баркӣ донистани ҳолати кории унсур таҷҳизоти заминваслак (ТЗ) лозим аст. Дар айни ҳол барои арзёбӣ ва назорати ҳолати унсурҳои заминваслак стандартҳо ва ҳуҷчатҳои меъёрӣ-теҳникии зиёд мавҷуд мебошанд. Моҳияти ҳамаи усулҳои мавҷуда дар баҳодиҳии ҳолати таҷҳизоти заминваслак бо роҳи ченкунии параметрҳои электрикии он ва гузаронидани санҷиши айёнӣ мебошад. Мушкилӣ дар он аст, ки дар ваҳти ченкунии параметрҳои электрикӣ ва гузаронидани корҳои санҷиши айёнӣ асбобҳои зиёди ченкуна истифода мешаванд, яъне борои муайян кардани ҳолати воҳеии таҷҳизоти заминваслак ҳарҷи зиёди қувваи корӣ, ваҳт ва маблағи зиёд ба назар мерасад.

Дар мақолаи мазкур масъалаҳои асосй доир ба таҳияи таъминоти барномавии системаи автоматонидашуда барои баҳодиҳии эътимодият ва беҳатарй аз назар гузаронида шудааст. Марҳилаҳои коркарди таъминоти барномавии таҷҳизоти мазкур барои санҷиши ҳолати заминваслак оварда шудаанд, ки ин таҷҳизот дар асоси микроконтроллери барномарезишавандаи Atmega328P соҳта шудааст. Ҳамчунин таъйиноти алгоритмҳои асосие, ки дар таъминоти барномавии микроконтроллер истифода шудаанд, оварда шудаанд. Истифодаи чунин микроконтроллерҳои ҷадид бо алгоритмҳои барномарезишуда имкон медиҳад, ки ҳолати унсурҳои ТЗ муайян шавад, эътимодияти таҷҳизоти барҡӣ ва таъмини беҳатарии ҳайати ҳизматрасон баланд бардошта шавад.

Калимахои калидū: эътимодият, бехатарū, системаи автоматонидашуда, тацхизоти заминваслак, Atmega328P, GSM-модул, рамзи барнома, микроконтроллери барномарезишаванда.

SOFTWARE FOR AUTOMATED SYSTEM FOR ASSESSING RELIABILITY AND SAFETY OF ELECTRICAL INSTALLATIONS

O.S. Sayfiddinzoda

To solve the problem of reliability and safety of electrical installations, it is necessary to know the state of the elements of the grounding device (GD). Currently, there are many standards and regulatory documents for assessing and monitoring the state of GD elements. The essence of all current methods is to assess the state of grounding devices by measuring their electrical parameters and visual inspections. The fact is that a visual inspection is carried out when opening the soil above the grounding elements, and when measuring electrical parameters, various types of measuring devices are used, i.e. to assess the actual state of grounding devices, a large number of labor, financial and time costs are required.

This article discusses the main issues related to the creation of perfect software for an automated system that increases the safety and reliability of electrical installations. The stages of development of this device for assessing and monitoring the state of the ZU, which was developed on the basis of the Atmega328P programmable microcontroller, are described. The purposes of the main algorithms that were used in the microcontroller software are also given. The use of such modern microcontrollers according to specified algorithms allows determining the state of the ZU elements and possible increases in the reliability of electrical installations and ensuring the safety of service personnel.

Keywords: reliability, safety, automated system, grounding device, Atmega328P, GSM module, program code, programmable microcontroller.

Повышение надёжности электроустановок и обеспечение безопасности обслуживающих персоналов зависят от успешного решения комплекса вопросов, среди которых видное место занимают вопросы устройства ЗУ. Повреждаемость ЗУ является одним из важнейших показателей, определяющих надёжность и безопасность электроустановок. В связи с этим исследование состояния ЗУ важное значение как при

проектировании, так и при эксплуатации электроустановок имеет обобщенная оценка надёжности и безопасности основных элементов.

Таким образом, ЗУ считается одним из важнейших узлов электрических сетей, которое необходимо для обеспечения надёжности работы электроустановок и электробезопасности обслуживающих персоналов. При работе ЗУ подвергается воздействию различных факторов окружающей среды. При этом все электрические параметры элементов заземлителей постоянно изменяются. Одним из факторов, характеризующих фактическое состояние заземлителей, является ее коррозия, которая существенно влияет почти на все электрические параметры и долговечность ЗУ [1-8]. Согласно действующим нормативно-техническим документам коррозийность элементов заземлителей определяют путем вскрытия грунта над ее элементами и измерения различных электрических параметров [9-12].

Характеристики ЗУ должны отвечать требованиям обеспечения электробезопасности обслуживающего персонала и обеспечивать в нормальных и аварийных условиях следующие эксплуатационные функции электроустановки [13 – 17]:

- надежность релейной защиты узлов электрических сетей от замыкания на землю;
- обеспечение электробезопасности обслуживающих персоналов;
- надежность защиты от атмосферного перенапряжения;
- отвод токов несимметрии электрических сетей в нормальных режимах;
- обеспечение электромагнитной совместимости;
- выравнивание потенциалов между электрическим оборудованием и землей.

В системе микропроцессорной релейной защиты применяют функциональное заземление, которое необходимо для обеспечения нормального режима работы микропроцессорных терминалов и обеспечения электробезопасности обслуживающего персонала.

Контроль параметров ЗУ всегда считается актуальным вопросом. С целью осуществления автоматического контроля состояния заземлителей нами было разработано микропроцессорное устройство [18, 19] на основе программируемых микроконтроллеров.

Сущность данной разработки заключается в постоянной проверке параметров ЗУ с помощью соответствующих датчиков, обработке полученных данных с помощью действующих алгоритмов в программируемом микроконтроллере Atmega328P и их перадаче через GSM-модуль в пункт назначения.

В программируемом микроконтроллере можно загрузить программу, которая будет управлять всеми элементами по заданному алгоритму. Программы для Arduino пишутся на языке C++, дополненным простыми и понятными функциями для управления вводом-выводом на контактах. С помощью программы можно определить влажность грунта и передавать полученные данные в удаленное устройство посредством GSM-модуля, а также можно будет задавать время замера влажности грунта и значение тока.

С помощью **const int dry = 550**; и **const int wet = 380**; автоматизированная система контролирует влажность грунта. Назначением **short smsSend = 0** является отправка информации посредством GSM-модуль. Время замера влажности грунта управляет **const long timeInterval = 3600000**; // **1h**, которое определяет минимальный интервал времени между показаниями датчика, измерение значения тока в заземлителе и влажность грунта в месте нахождения заземлителя производятся автоматически каждые 60 минут. Посредством кода **double currentIrms = emon1.calcIrms(1480)/10**; // **Calculate Rims only** датчик тока обрабатывает значение тока заземлителя и отправляет его на программируемый микроконтроллер для обработки и передачи на GSM-сеть [20].

Ниже приводятся основные программные алгоритмы, которые были использованы в процессе разработки программного обеспечения автоматизированной системы контроля и оценки состояния ЗУ. Алгоритмы:

- #include "Adafruit_FONA.h"- эта функция необходима для включения и отключения «Библиотека» Arduino включить библиотеку Adafruit FONA. Все программные элементы Arduino находятся в ее «Библиотеке»;
- #define FONA_RX 2 строка #define FONA_RX 2 код Arduino необходим для директивы препроцессора программируемого микроконтроллера, которая определяет постоянные величины с именем FONA_RX со значением 2:
- #define FONA_TX 3 строка #define FONA_TX 3 код Arduino соответствует основному принципу, который необходим во всех этапах программирования #define FONA_RX 2;
- #define FONA_RST 4 строка #define FONA_RST 4 код Arduino соответствует тому же шаблону, что и предыдущие строки #define FONA_RX 2 и #define FONA_TX 3;
- #define BUTTON_PIN 8 строка #define BUTTON_PIN 8 код Arduino определяет постоянные величины с именем BUTTON PIN со значением 8;

- #include "EmonLib.h" эта строка включает библиотеку EmonLib в ваш эскиз Arduino. Эта библиотека предоставляет функции и классы для работы с датчиками тока (напряжения для расчета различных электрических параметров).
- const int dry = 550 строка определяет постоянную целочисленную переменную с именем Dry со значением 550. Это представляет собой показания аналогового датчика, когда окружающая среда вокруг датчика сухая;
- const int wet = **380** строка определяет постоянную целочисленную переменную с именем «мокрый» и значением **380**. Это представляет собой показания аналогового датчика, когда среда вокруг датчика влажная;
- const long timeInterval = 3600000; // 1h в этой строке определяется постоянная длинная переменная с именем time Interval со значением 3600000. Это значение представляет один час в миллисекундах (1 час * 60 минут * 60 секунд * 1000 миллисекунд). Эта константа определяет минимальный интервал времени между показаниями датчиков влажности грунта и тока;
- short smsSend = 0 назначение этой переменной указывает, было ли отправлено SMS или нет (0 = не отправлено, 1 = отправлено), через GSM-модуль;
- char smsMessage в этой строке представляется массив символов с именем SMS Message размером 20. В этом массиве будет храниться содержимое текстового сообщения, которое будет отправлено через SMS;
- char *smsNumber = "+992*******" эти строки определяют указатель на символ с именем SMS Number. Получателем SMS-сообщения может быть любая телекоммуникационная компания;

unsigned short guslsSend_Bef = 0 — фрагмент, кода unsigned short guslsSend_Bef = 0; объявляет переменную с именем guslsSend_Bef и инициализирует ее значением 0. Разбивка компонентов приводится в таблице 1.

№	Функции	Назначение
1	unsigned:	это ключевое слово указывает, что переменная gusIsSend_Bef может хранить
1		только неотрицательные целые значения (0 и положительные числа).
2	short:	это указывает на то, что переменная представляет собой короткое целое число,
		которое обычно использует 16 бит памяти.
3	gusIs Send_Bef:	это имя, присвоенное переменной. Значение «gus» и «Bef», вероятно, зависит от
3		вашего кода и может быть аббревиатурой чего-то, связанного с отправкой SMS.

Таблица 1 – Разбивка компонентов функции gusIsSend_Bef

- char imei = {0}; // MUST use a 16-character buffer for IMEI! Эта строка объявляет массив символов с именем imei размером 16 элементов. = {0} инициализирует все элементы значением 0, обеспечивая чистоту хранения цифр IMEI. В комментарии подчеркивается важность 16-значного размера для размещения 15-значного номера IMEI и нулевого терминатора;
- double currentirms = emon1.calcirms(1480)/10; // Calculate irms only Строка double currentirms = emon1.calcirms(1480)/10; // Calculate irms вычисляет только среднеквадратическое значение тока (RMS).

Приведенные алгоритмы были использованы в программном обеспечении устройства контроля ЗУ.

В структурной схеме автоматизированной системы оценки и контроля состояния заземлителей (рис. 1) показана последовательность действия всех взаимосвязанных элементов. Блок питания подключается к источнику переменного тока и на ее выходе всегда обеспечивается выпрямленный ток напряжением 3,0-3,5 В.

Питание датчиков влажности грунта и тока, программируемый микроконтроллер и устройство отображения информации непосредственно обеспечиваются за счет блока питания. После подключения источника питания цифровые сигналы от датчиков влажности грунта и тока поступают в порты микроконтроллера Atmega328P. Обработка цифровых сигналов происходит по разработаным нами алгоритмам. В датчиках влажности грунта и тока формируются цифровые сигналы. Принцип действия датчика влажности грунта основан на изменении емкости встроенных конденсаторов измерительных электродов. Датчик тока действует как обычный трансформатор тока, не имеющий первичной обмотки. Завершение обработки сигналов сопровождается передачей информации в GSM сеть и отображением информации в дисплее автоматизированной системы оценки и контроля состояния заземлителей.

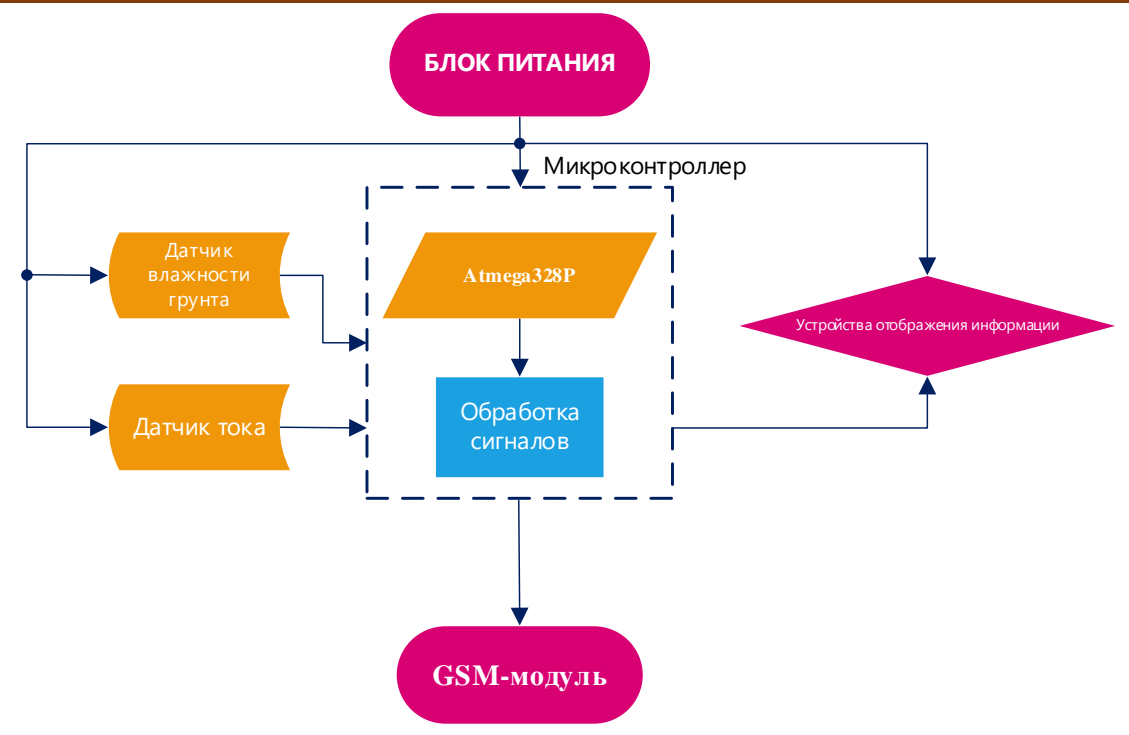


Рисунок 1 – Структурная схема автоматизированной системы оценки и контроля состояния заземлителей

Приведенные программные коды позволяют осуществлять сбор данных с помощью автоматизированной системы оценки и контроля состояния заземлителей. Программа позволяет отправить полученные данные о состоянии заземляющих устройств, а также о влажности грунта посредством GSM-модуля на мобильных устройствах.

Применение современного программного обеспечения автоматизированной системы оценки и контроля состояния заземлителей позволяет определить надёжность и безопасность электроустановок на любых производственных объектах и возможные снижения возникновения аварийных ситуаций.

Таким образом, усовершенствование программного обеспечения автоматизированной системы оценки и контроля состояния заземлителей существенно влияет на сокращение количества применяемых измерительных приборов и проведение визуальных осмотров над элементами ЗУ.

Рецензент: Сидоров А.И. — д.т.н., профессор, зав. қафедрой БЖД ЮУрГУ

Литературы

- 1. Сидоров, А.И. К вопросу о влиянии различных параметров грунта на коррозию заземляющих устройств / А.И. Сидоров, А.И. Солдатов, Б.Т. Абдуллоев, Р.Т. Абдуллоев, Н.Х. Табаров, А.Ш. Маджидов // Энергобезопасность и энергосбережение. Серия «Энергобезопасность и охрана труда». -2017. № 6 (78). C. 5 8. DOI 10.18635/2071-2219-2017-6-5-8.
- 2. Сидоров, А.И. Двухфакторный эксперимент по исследованию процесса коррозии заземляющего устройства / А.И. Сидоров, М.Д. Додхудоев, Б.Т. Абдуллоев, Р.Т. Абдуллоев // Материалы Международной научно-практической конференции студентов, аспирантов, молодых ученых и специалистов «Энергосбережение и инновационные технологии в топливно-энергетическом комплексе» Т.2 / Тюмень: ТИУ. 2016. С. 396 398.
- 3. R.T. Abdulloev, A.B. Tryapitsyn and O.A. Khanzhina, "The electrochimical corrosion processes simulating of grounding devices," 2016 2nd International Conference on Industrial Engineering, Applications and Manufacturing (ICIEAM), Chelyabinsk, Russia, 2016, pp. 1-4. DOI: 10.1109/ICIEAM.2016.7911694/
- 4. Method for determining the state of an grounding device // A Sidorov, R Abdullozoda, S Sadullozoda, O Saifiddinzoda and I Abdullozoda / III international scientific and practical conference "current problems of the energy complex: mining, production, transfer, processing and environmental protection" (apec2021), IOP Conference Series: IOP Conf. Series: Earth and Environmental Science 808 (2021) 012005 doi:10.1088/1755-1315/808/1/012005/
- 5. Абдуллоев, Р.Т. Факторы, влияющие на коррозию заземляющих устройств / Р.Т. Абдуллоев, А.И. Сидоров, А.Б. Тряпицын // Материалы LIV Международной научно-технической конференции «Достижения науки —

агропромышленному производству» / под ред. докт. техн. наук П.Г. Свечникова. — Челябинск: ЧГАА, 2015. - 4. IV. — С. 93 - 96.

- 6. Сидоров, А.И. Разработка плана отсеивающего эксперимента по исследованию влияния различных факторов на процесс коррозии заземляющих устройств / А.И. Сидоров, Р.Т. Абдуллоев // Вестник ЮУрГУ. Серия «Энергетика». 2016. Т. 16, № 2. С. 52 58. DOI: 10.14529/power 160207/
- 7. Абдуллоев, Р.Т. Планирование эксперимента по исследованию влияния внешних факторов на техническое состояние заземляющих устройств / Р.Т. Абдуллоев, А.И. Сидоров, А.Б. Тряпицын // Электробезопасность. 2015. №2. С. 38 42.
- 8. Абдуллоев, И.Т. Способ определения состояния заземляющего устройства / И.Т. Абдуллоев, Д.Х. Каримов, З.В. Кобулиев, Р.Т. Абдуллозода // Политехнический вестник. Серия: Инженерные исследования. №4 (44). 2018. С. 23 27.
- 9. Методические указания по контролю состояния заземляющих устройств электроустановок / РД-153-34.0-20.525-00. М: СПО ОРГРЭС, 2000.–64 с.
- 10. Методические указания по контролю состояния заземляющих устройств электроустановок / СТО 56947007 29.130.15.105-2011. М.: OAO «ФСК ЕЭС» <math>2011.-75 с.
- 11. Сидоров, А.И. Технические средства для определения состояния заземляющих устройств / А.И. Сидоров, А.Б. Тряпицын, Р.Т. Абдуллоев // Безопасность жизнедеятельности в третьем тысячелетии: сборник материалов VI-й научнопрактической конференции: в 2 т. / под. ред. А.И. Сидорова Челябинск: Издательский центр ЮУрГУ, 2015. Т.1. С. 245 249.
- 12. Абдуллоев, Р.Т. Физическое моделирование элементов заземлителей при учете электромагнитных процессов / Р.Т. Абдуллоев, А.И. Сидоров // Наука ЮУрГУ: Материалы 67-й научной конференции. Секции технических наук. Челябинск: Издательский центр ЮУрГУ, 2015. С. 467 473.
- 13. СТО 56947007-29.130.15.105-2011. Методические указания по контролю состояния заземляющих устройств электроустановок. Стандарт организации АОА «ФСК ЕЭС». 12 с.
- 14. Абдуллоев, Р.Т. Стенд для исследования заземляющих устройств / Р.Т. Абдуллоев, А.Б. Тряпицын // Материалы LIII Международной научно-технической конференции «Достижения науки агропромышленному производству» / под ред. докт. техн. наук П.Г. Свечникова. Челябинск: ЧГАА, 2014. Ч. IV. С. 98 103.
- 15. Пат. 161812 Российская Федерация: МПК G01R 19/45 (2006.01). Установка для исследования влияния факторов окружающей среды и блуждающих токов на процесс коррозии заземляющих устройств / Р.Т. Абдуллоев, А.И. Сидоров, А.Б. Тряпицын. № 2015145568/28; заявл. 22. 10. 2015; опубл. 28. 03. 2016, Бюл. №13-2016.-2.
- 16. Сидоров, А.И. Технические средства для определения состояния заземляющих устройств / А.И. Сидоров, А.Б. Тряпицын, Р.Т. Абдуллоев // Безопасность жизнедеятельности в третьем тысячелетии: сборник материалов VI-й научнопрактической конференции: в 2 т. / под. ред. А.И. Сидорова Челябинск: Издательский центр ЮУрГУ, 2015. Т.1. С. 245 249.
- 17. Абдуллоев, Р.Т. Особенности конструктивного выполнения заземляющих устройств тяговых подстанций / Р.Т. Абдуллоев, А.Б. Тряпицын, А.И. Сидоров // Наука ЮУрГУ: Материалы 66-й научной конференции. Секции технических наук. Челябинск: Издательский центр ЮУрГУ, 2014. С. 551 554.
- 18. Малый патент. 2401928 Республика Таджикистан: МПК G01B 17/00. Устройство для определения коррозионного состояния элементов заземлителей / Сайфиддинзода О.С., Абдуллозода Р.Т., Абдуллоев Б.Т., Бобоев Х.Д. − № 2401928; заявл. 07.02. 2024; опубл. 20.05. 2024, Бюл. № ТЈ 1498.
- 19. Свидетельство на компьютерную программу. №177 (Республика Таджикистан), МКИ А 61N 1/42. Программа контроллера для проведения мониторинга состояния заземляющих устройств / Сайфиддинзода О.С., Абдуллозода Р.Т., Бобоев Х.Д. Опубл. 30.11.2023.
- 20. Прокопенко В.С. Программирование микроконтроллеров ATMEL на языке С. СПб.: КОРОНА-ВЕК, 2012. 307 с.

СВЕДЕНИЯ ОБ АВТОРЕ – МАЪЛУМОТ ДАР БОРАИ МУАЛЛИФ – INFORMATION ABOUT AUTHOR

TJ	RU	EN					
Сайфиддинзода Одилчон Сайфиддин	Сайфиддинзода Одилджон Сайфиддин	Sayfiddinzoda Odiljon Sayfiddin					
Докторанти PhD, мухандиси кафедраи химояи релей ва автоматикунонии системахои энергетикй	Докторант PhD, инженер кафедры "Релейная защита и автоматизация энергосистем"	PhD student, Engineer, Department of Relay Protection and Automation of Power Systems					
Донишгохи техникии Точикистон ба номи академик М.С. Осимй	Таджикский технический университет имени академика М.С. Осими	Tajik Technical University named after academic M.S.Osimi					
e. mail: odil0210@gmail.com							

УДК 621.311

ВЫБОР ВЕТРОЭНЕРГЕТИЧЕСКОЙ УСТАНОВКИ В РЕСПУБЛИКЕ ТАДЖИКИСТАН

¹А.Х. Хабибов, ²Р.З. Юлдашев, ²З.Ш. Юлдашев

¹Центральное диспетчерское управление ОАО "Барки Точик"

²Таджикский аграрный университет имени Шириншох Шотемур

В статье рассмотрены вопросы выбора ветроэнергетических установок для частных домов в отдаленных (горных) районах Республики Таджикистан для энергоснабжения. Проведены обзор существующих ветроэнергетических установок различных производителей и анализ по их применению, приведены типы и их технические характеристики. Проведена сравнительная оценка двух видов ветроэнергетических установок (горизонтальные и вертикальные оси вращения) и предложены эффективные варианты для применения в Республике Таджикистан.

Ключевые слова: ветроэнергетическая установка, скорость ветра, электроэнергия, горизонтальная и вертикальная оси вращения, индивидуальный дом, КПД

ИНТИХОБИ ТАЧХИЗОТИ БАРКИ БОДЙ ДАР ЧУМХУРИИ ТОЧИКИСТОН А.Х. Хабибов, Р.З. Юлдашев, З.Ш. Юлдашев

Дар мақола масъалаҳои интихоби неругоҳҳои шамолӣ барои хонаҳои шахсӣ дар ноҳияҳои дурдасти (куҳистонии) Ҷумҳурии Тоҷикистон барои таъмини нерӯи барқ баррасӣ шудааст. Баррасии нерӯгоҳҳои барқи шамолии мавҷудаи истеҳсолкунандагони гуногун ва таҳлили истифодаи онҳо гузаронида шуд, намудҳо ва ҳусусиятҳои теҳникии онҳо дода шуданд. Арзёбии муқоисавии ду намуди нерўгоҳҳои шамол (меҳварҳои уфукӣ ва амудии гардиш) гузаронида шуда, вариантҳои самараноки истифода дар Ҷумҳурии Тоҷикистон пешниҳод карда шуданд.

Калидвожаҳо: нерўгоҳи барқи шамол, суръати шамол, нерўи барқ, меҳварҳои уфуқū ва амудии гардиш, хонаи инфиродū, зариби кори фоиданок

CHOICE OF WIND POWER INSTALLATION IN THE REPUBLIC OF TAJIKISTAN A.H. Habibov, R.Z. Yuldashev, Z.Sh. Yuldashev

The article discusses the issues of choosing wind power plants for private houses in remote (mountainous) regions of the Republic of Tajikistan for energy supply. A review of existing wind power plants from various manufacturers and an analysis of their application were carried out, their types and technical characteristics were given. A comparative assessment of two types of wind power plants (horizontal and vertical axes of rotation) was carried out and effective options for use in the Republic of Tajikistan were proposed.

Keywords: Wind power plant, wind speed, electricity, horizontal and vertical axes of rotation, individual house, efficiency

Введение

Малые ветроэнергетические установки (ВЭУ) как альтернативные источники электроэнергии широко внедрены по всему миру. Они являются дополнением в энергопотреблении. Данные установки целесообразно устанавливать на объектах, которые расположены в значительном расстоянии от основных электросетей.

ВЭУ можно эффективно использовать на следующих объектах: частные дома и домохозяйства, предприятия, фермерские хозяйства, которые требуют автономного энергоснабжения в отдаленных (горных) районах Республики Таджикистан. Они размещаются на открытых площадках, где есть хороший ветровой потенциал: поле, море, озеро вдали от места проживания населения. Одиночное или преимущественно, групповое размещение ВЭУ целесообразно использовать для энергоснабжения масштабных предприятий.

В работе [1] приведены данные установленной мощности генерирующих источников возобновляемых источников энергии (ВИЭ) (без ГЭС) - 1218,9 ГВт или 16,3% от суммарной установленной мощности генерирующих источников всего мира (179 стран), в том числе: 623,9 ГВт или 8,3% - ветряные электростанции (ВЭС), 580,7 ГВт или 7,8% - солнечные электростанции (СЭС), 13,8 ГВт или 0,2% - геотермальные электростанции (ГеоТЭС) и 0,52 ГВт-приливные.

В основном ВИЭ широко развивается в таких странах как Индии, Китая, США и ЕС.

Последние пять лет ветряная энергетика растет примерно на 50 ГВт в год. Сегодня все ВЭУ планеты генерируют 591 ГВт. Global Wind Energy Council (GWEC) ожидает, что еще через пять лет в мире станет больше на 300 ГВт новых мощностей.

Ветровая энергия как важная часть ВИЭ

Ветер считается источником возобновляемой зеленой энергии. Его достоинства очевидны по сравнению с традиционными источниками энергии. Мировые общие запасы энергии ветра в мире оценены в 170 трлн. кВт·ч, или 170 тыс. ТВт·ч, в год. Этот показатель в восемь раз превышает нынешнее мировое потребление электроэнергии. То есть, мировая ветровая энергия может обеспечить мировое потребление энергии [2].

Если для АЭС коэффициент использования установленной мощности составляет 84%, для ГЭС - 42%, то для ВЭС - лишь 20%, что обусловлено характером самого источника энергии скорость ветра имеет

случайный характер и не всегда с достаточной скоростью, необходимое для ВЭУ. То есть, ВЭУ на 25...50% менее продуктивны, чем электростанции традиционных типов. Потребуются дополнительные территории и материалы, а значит, больший экологический ущерб с учетом вырабатываемой энергии [2, 3].

Принцип работы

В современных ВЭУ преобразование энергии происходит следующим образом:

- 1. Энергия ветра преобразуется в механическую энергию.
- 2. Механическая энергия преобразуется в электрическую энергию.

Для преобразования энергии ветра в механическую энергию используются ветряные двигатели (ветряные турбины). Под воздействием воздушного потока ветряной двигатель начинает вращаться. Численное значение кинетической энергии зависит от типа установки, омечаемой площади ветроколеса и режима его работы [4].

В работе [5] приведена последовательность подключения элементов преобразования энергии (рис. 1):

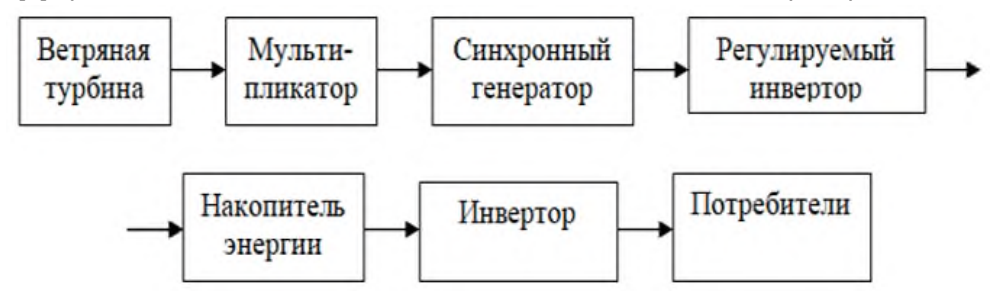


Рисунок 1 – Последовательность подключения элементов преобразования энергии

Данная схема широко используется и считается практической.

Разновидности и особенности ВЭУ для индивидуального дома

В зависимости от расположения ротора ВЭУ делятся на следующие:

- 1. с вертикальным расположением ротора;
- 2. с горизонтальным расположением ротора.

ВЭУ с вертикальным расположением ротора считается менее эффективным для выработки электроэнергии: его КПД ниже, чем у горизонтальных в три раза. Достоинство – простота сборки и надежность. Есть возможность установить такое ВЭУ на крыше дома и на уровне земли, они устойчивы к плохим погодным условиям (ураган, лед). Минимальная скорость ветра составляе 1-2 м/с [6, 7].

При горизонтальном расположением ротора скорость ветра должна быть не менее 3,5 м/с, такие установки самые распространенные. Величина КПД равняется 0,5, при этом шумовые и вибрационные характеристики достаточно высоки, потребуется больше площади [6, 7].

Мощность ВЭУ рассчитывается исходя из кубической зависимости скорости ветра.

В эксплуатации вертикальные ВУ на мировом рынке достигает 35%. Наиболее распространенными являются ВЭУ мощностью до 50 кВт, более мощные - на рынке практически нет [6, 7].

С теоретической позиции, мощность ВЭУ определяется по формуле:

$$N=C_p*p*S*V^3/2$$
,

где: p – плотность воздушных масс; S – общая ометаемая площадь лопастей винта; V - скорость воздушного потока; N - мощность потока воздуха.

Ресурсы ветровой энергии в Республике Таджикистан

Скорость ветра (ветряная энергия) распределена по всей территории Таджикистана неравномерно. Среднегодовая скорость ветра 4,1...4,8 м/с наблюдаются на перевалах Шахристан, Анзоб, Хайдарабад, населенных пунктах Худжанд, Файзабад, Ховалинг, Бустанабад. На леднике Федченко среднегодовая скорость составляет 6,0 м/с. Другие районы с несколько меньшей среднегодовой скоростью ветра (3,0...3,7 м/с) включают населенные пункты Шурабад, Дехауз, Санглок, перевал Чормагзак и озеро Каракуль. В таких районах, как Пенджикент, Гарм, Шахринау, Вахдат, Яван, Вахш, Джиликуль, а также в Мургабе, Рушане, Ишкашиме и Хороге среднегодовые скорости ветра составляют 2,0...2,7 м/с [8].

В [8] приведен годовой ход средней скорости ветра (т.е. разница между максимумом и минимумом среднесуточных скоростей) в большинстве районов Таджикистана незначителен и варьирует в пределах от 0.9-4.8 м/с. Потенциал ветроэнергетики Таджикистана можно оценить только очень приближенно. Суммарная величина кинетической энергии ветра на земле оценивается величиной порядка [6]: $7 \cdot 10^{20}$ Дж = $1,94 \cdot 10^{11}$ МВт*ч. Можно принять, что на долю Таджикистана приходится часть этой энергии, соответствующая ее площади (143,1 тыс. км²) в общей площади Земли (510,2 х106 км²), то есть: $1,94 \cdot 10^{11} \times 143.1/(510.2 \times 10^6) = 5.45 \times 10^7$ МВт*ч, что

соответствует мощности 62214,6 МВт. Эти величины можно принять в качестве потенциальных ресурсов ветроэнергетики в Таджикистане [8].

Технический потенциал ветроэнергетики можно оценить исходя из условий ее размещения. Известно, что наиболее подходящими территориями для массового размещения ВЭУ являются равнины и прибрежные зоны. В Таджикистане из общей территории только 7% занимают равнины. Это составляет: 143,1×0.07 = 1 тыс. км². Принимая, что общая площадь размещения ВЭУ будет составлять 10% этой территории, и учитывая, что по опыту развитых стран удельная площадь размещения ВЭУ равна 260 м²/кВт, определим технический потенциал ветроэнергетики Таджикистана: 1000 км²×106/(260 м²/кВт) = 3852.7 МВт Круглогодичной работе станций такой мощности будет соответствовать выработка 33,7 млрд. кВт*ч/год [8].

С учетом некоторой перспективы можно принять необходимый и реализируемый потенциал ветроэнергетики Таджикистана равным 50% от технического, то есть: 20,1 млрд. кВт*ч/год по выработке электроэнергии 1926,35 МВт по мощности ВЭУ [8].

Таким образом, ресурсы ветровой энергетики в Таджикистане могут быть оценены следующими величинами:

- -валовый потенциал 62257,3 MBт = 163 млн. т.у.т/год,
- -технический потенциал 3852.7 MBт = 10.12 млн. т.у.т/год.
- -экономически целесообразный потенциал-1926.35 МВт = 5.06 млн. т.у.т/год [8, 9].

Анализ и выбор ВЭУ

Порядок выбора и основные критерии для выбора ВЭУ.

Воздушные потоки не всегда имеют одинаковую направленность. Сегодня ураган, завтра – полная тишина. Перед тем, как купить ВЭУ для частного дома, следует определиться с мощностью ветра в данном регионе. Это оценивается с использованием среднегодовой скорости ветра. Этот параметр легко найти в Интернете.

Если скорость ветра на вашем участке менее 4 м/с, не стоит устанавливать ВЭУ, потому что он не будет работать эффективно. После того, как вы определились с установкой ВЭУ, нужно выбрать генератор по мощности.

На таблицах 1 и 2, соответственно, приведены технические характеристики горизонтальных и вертикальных ВЭУ. На рис. 2 и 3, соответственно, приведены графики зависимости параметров горизонтальных и вертикальных ВЭУ.

Таблица 1 – Технические характеристики горизонтальных ВЭУ

$N_{\overline{0}}$		Марка	Pmax,	Рном,	U, B	Миним	Рабочая	Рекоменд.	Диаметр	КПД,	Срок
	Наименование		кВт	кВт		скор.	скорость,	высота	ротора,	%	эксп.,
						м/с	_M /c	мачты, м	M		лет
1	Fortis	Fortis	10	10	240/120	3	14	12-24	7	0,85	20
	(Нидерландия)	Alize-10									
2	Condor	Condor	11,2	10	240/120	2,5	9	12	12	0,85	20
	(Россия)	Air 10									
3	Aeolos Wind	Aeolos-	13	10	300/440	3	10	12-18	8	0,85	20
	Turbine	H10									
	(Дания)										
4	Zonhan (KHP)	DMWT-	15	10	96380	3	12	-	7	0,85	15
		10KW									
5	Lely Aircon	Lely	10	10	-	2,5	11	24	7,5	0,85	25
	(Германия)	Aircon									
		10									
6	ALTEK	ALTEK	11	10	240	2,5	10	12	8	0,85	25
	(Украина)	FD 10									
7	Yashel	Yashel	13	10	92240	3	15	12	5,7	0,85	15
	(Россия)	FT-									
		10kw									
8	Apekom	AWG -	15	10	380	3	10	16,19,28	8	0,85	-
	(Эстония)	10000									

Таблица 2 – Технические характеристики вертикальных ВЭУ

					THE HEAD WILL						
№		Марка	Pmax,	Рном,	U, B	Миним	Рабочая	Рекоменд.	Диаметр	КПД,	Срок
	Наименование		кВт	кВт	1	скор.	скорость,	высота	ротора,	%	эксп.,
						_M /c	м/с	мачты, м	M		лет
1	Falcon	Falcon Euro	1,1	1	12	2	11	4	2,1	0,85	3
	(Россия)	1кВт									
2	SMARAAD	FH-1кВт	1,2	1	24/380	4	11	2	1,6	0,85	20
	(KHP)										
3	Ropatec	Ropatec-	1	1	12/24	3	14	-	1,8	0,80	-
	(Италия)	1000									
4	SH Tech	SH-X1000	1	1	12/24/48	2,5	12	1,45	0,8	0,85	5
	(KHP)										
5	V-AIR	VisionAIR3-	2,0	1,5	24	4	12	3,2	1,8	0,85	20
	(UGE)(США)	1,5		L 1							
6	Coldwind	Coldwind-	1,05	1,0	24/48	2	10	2-12	0,9	0,9	20
	(KHP)	1кВт									
7	Helix	RX-VS1000	1,1	1	12/24/48	2,5	12	9	-	0,9	15
	Shape(KHP)			L 1						<u></u>	
8	SkyWind NG	SkyWind	1	1	12/24	3	14	10	1,5	0,9	-
	(Германия)	NG -1kBt			Į .		1		1		

^{*-} https://www.eeseaec.org/ustanovlennaa-mosnost-vie, https://www.nkj.ru/archive/articles/22733/ (Наука и жизнь), http://elibrary.ru, Energyland.info, https://termoteh.in.ua/article/obzor-vertikalnyh-vetrogeneratorov, kranigruz.ru

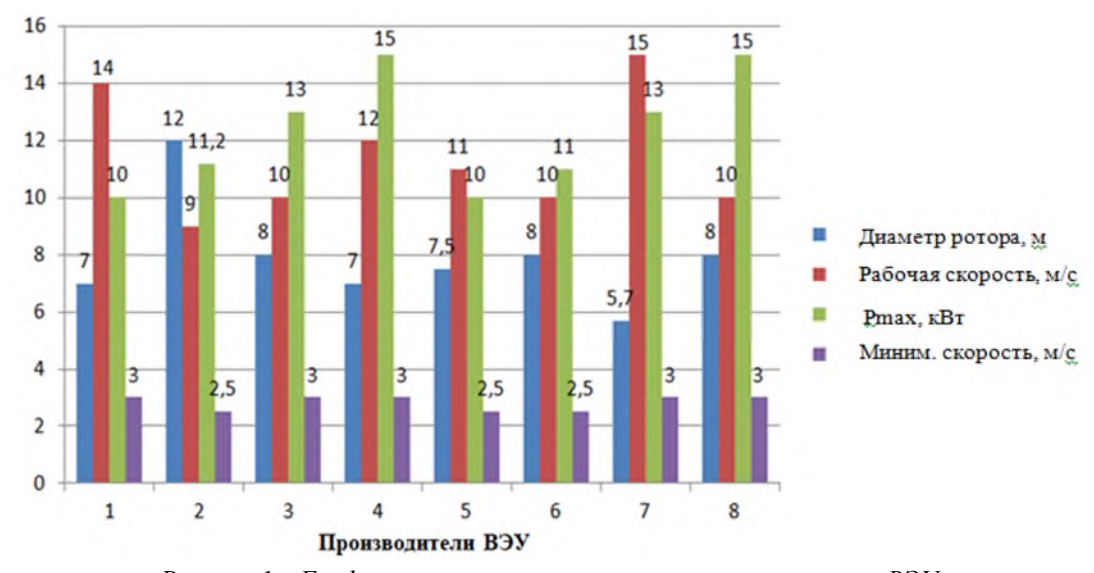


Рисунок 1 – График зависимости параметров горизонтальных ВЭУ

Анализ выбора ВЭУ по энергоэффективности. Горизонтальные ВЭУ.

Для анализа рассмотрим критерии номинальной мощности, рабочей скорости и диаметр ротора ВЭУ. Как видно из таблицы 1, некоторые характеристики не изменны или близки друг к другу: КПД, напряжение, срок службы и минимальная скорость эксплуатации эти характеристики не помогут определить производителя.

Наиболее оптимальным вариантом из списка являются вариант 2 (Condor Air 10) (производства России) и вариант 4 (DMWT-10KW) (производство KHP). Вариант 2 вырабатывает 11,2 кВт мощности при рабочей скорости 9 м/с. Следует отметить, что один основных показателей, который влияет на мощность ВЭУ - это диаметр ротора. Минимальная скорость ветра, для вращения ротора составляет 2,5 м/с, что играет тоже немаловажную роль, при малых скоростях ветра.

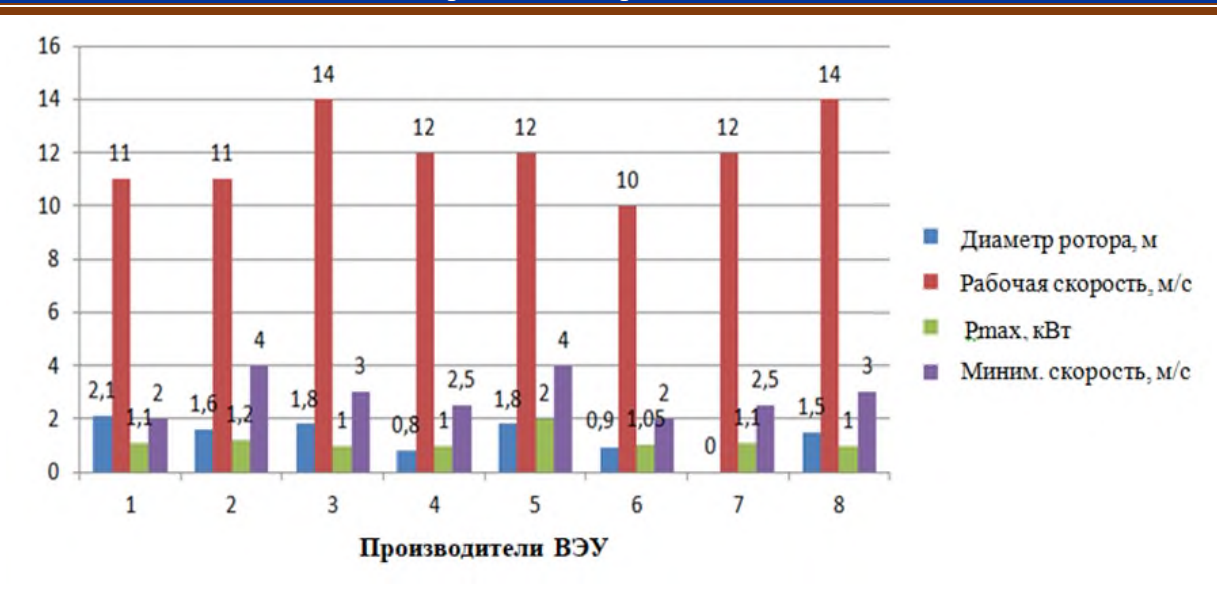


Рисунок 2 – График зависимости параметров вертикальных ВЭУ

Вариант 4 (DMWT-10KW), также имеет хорошие показатели, при этом имеет меньший диаметр ротора по сравнению со 2 вариантом (Condor Air 10). Диаметр ротора влияет на цену ВЭУ, чем меньше размер ротора - тем меньше расходуется материал. Рабочая скорость 4 варианта (DMWT-10KW) выше по сравнению со 2 вариантом (Condor Air 10), что при малых ветрах мало эффективна.

Вариант 8 (<u>AWG - 10000</u>) имеет мощность 15 кВт при малом диаметре ротора (8 м) и рабочей скорости 10 м/с.

Остальные варианты тоже имеют свои плюсы и минусы, например, вариант 6 (ALTEK FD 10) или вариант 3 (Aeolos-H10), тоже наряду с выбранными вариантами сопоставимы, так как характеристики не сильно отличаются от остальных.

Если необходимо выбирать производительный вариант, то рекомендуется выбрать варианты 8 (<u>AWG - 10000</u>) и 4 (DMWT-10KW) горизонтальных ВЭУ.

С точки зрения финансовых затрат, рекомендуется выбрать вариант 4 (DMWT-10KW), по эффективности - вариант 4 (DMWT-10KW), который считается эффективный по всем характеристикам.

Вертикальные ВЭУ

Для анализа рассмотрим критерии номинальной мощности, рабочей скорости и диаметра турбин производителей ВЭУ.

Рассмотрим вариант 6 (Coldwind-1кВт). При меньшем диаметре 0,9 м по сравнению с другими моделями имеет больше мощность 1,05 кВт. Главным преимуществом данной модели является минимальная скорость, при которой может находиться в рабочем состоянии (2 м/с).

Вариант 5 (VisionAIR3-1,5) с большей номинальной мощностью, но в зависимости от этого рабочая скорость и диаметр ротора больше. Следует отметить, что для установки данной модели минимальная скорость 4 м/с также окажет влияние на выбор местности.

Вариант 4 (SH-X1000), основным плюсом этого варианта является диаметр ротора, который требует наименьших затрат материалов.

Вариант 2 (FH-1кВт) имеет свои преимущества, если рассмотреть по рабочей скорости турбин, а по максимальной мощности выше на 20 %, чем другие варианты, эффективнее и производительнее.

Для вертикальных ВЭУ, самый производительным является вариант 5 (VisionAIR3-1,5), с финансовой точки зрения вариант 4 (SH-X1000) и самый эффективный вариант 6 (Coldwind-1кВт) с минимальной скоростью и рабочей скоростью турбин.

Как выбрать ВЭУ

К подбору ВЭУ для индивидуального дома необходима базовая информация:

- 1. Определить номинальное и максимальное количество потребляемой электроэнергии.
- 2. Получить данные, о среднегодовой скорости ветра в зоне проживания, чтобы определить периоды, когда ВЭУ будет работать не эффективно.
- 3. Учесть климатические особенности местности.

- 4. Измерить интенсивность создаваемого шума и вибрации при работе ВЭУ.
- 5. Сравнить технические характеристики ВЭУ от разных производителей [10].

Акцентировать внимание нужно и на том, что мощность ветряного генератора зависит от диаметра ротора. При увеличении размеров в 2 раза ВЭУ при той же скорости ветра будет производить в 4 раза больше электричества.

Дополнительно на что обратить внимание при покупке ВУ:

Важно учитывать высоту ВЭУ, чем выше высота, тем больше скорость ветра. Стандартная высота дерева - 10 метров. Каждые следующие десять метров, мощность ветрового потока будет увеличиваться в полтора раза [10].

Рекомендации по применению ВЗУ в условиях Таджикистана

Вертикальные ВЭУ являются одной из самых эффективных разработок. Основными преимуществами вертикальных ВЭУ является простота монтажа, доступность во время эксплуатации и круглогодичная работа без снижения производительности в осенне-зимний период.

Для энергоснабжения индивидуального дома, в котором проживает семья, потребуется в среднем 300-400 кВт*ч в месяц (ВЭУ на 1 кВт). Если низкий ветровой потенциал, то понадобится дублирование ВЭУ или комплексное использование ВИЭ.

Экономически ветроэнергетика сейчас в Таджикистане не может конкурировать с действующей гидроэнергетикой. Сегодня в Таджикистане действующие тарифы на электроэнергию в среднем составляет 2,1 цента/кВт*ч. в то же время минимальные тарифы на ветроэнергетику в мире не ниже 4 цент/кВт*ч. В этих условиях, также как и в случае с солнечной энергетикой, можно говорить не об экономической эффективности, а только о социально-экономической целесообразности ветроэнергетики [11].

Выводы

Для автономного электроснабжения индивидуальных домов использование ВЭУ позволяют обеспечить необходимым количеством энергии в течение года. ВЭУ малой и средней мощностей обеспечат необходимым количеством энергии в энерготехнологических процессах сельскохозяйственного назначения. В регионах, где средняя годовая скорость ветра около 3...5 м/с, можно использовать простые ВЭУ, мощностью в несколько кВт. Использование ВЭУ имеет ряд достоинств перед использованием дизельных генераторов, где используется дизельное топливо, наносящий вред окружающей среде. Дизельные генераторы по стоимости выше чем ВЭУ. На ВЭУ отсутствует топливная составляющая расходов на содержание.

Важно отметить, перед покупкой ВЭУ для дома необходимо рассчитать потребляемую электроэнергию, повысить эффективность использования энергии в быту и решать вопросы энергосбережения.

Главные преимущества ветровой энергетики: безопасность и экологичность (нет вредных выбросов в атмосферу), а также неисчерпаемость (в отличие от нефти, газа или угля).

К недостаткам относят изменение направления и скорости ветра. Чтобы сократить потери, необходимо предусмотреть увеличение емкости аккумуляторных батарей. Также вращающееся части (лопасти) ВЭУ создают потенциальную угрозу для летящих птиц.

Следует отметить, применение ВЭУ в условиях Таджикистана как альтернатива центральному энергоснабжению не рентабельна, из-за дороговизны оборудования. Возможно использование ВЭУ в местах, где отсутствует централизованное энергоснабжение.

Главным положительным моментом использования ВЭУ является переход Таджикистана на зеленую энергетику и стремление сохранить экологическую безопасность планеты.

Рецензент: Сафаров А.Г. — д.т.н., доцент, главный научный сотрудник ФПИ имени С.У. Умарова НАН Паджикистана.

Литература

- 1. Установленная мощность ВИЭ. https://www.eeseaec.org/ustanovlennaa-mosnost-vie.
- 2. Ветреная ветряная энергетика. https://www.nkj.ru/archive/articles/22733/ (Наука и жизнь).
- 3. Ветроэнергетика как возобновляемый источник энергии. http://elibrary.ru
- 4. Energyland.info Аналитика. ВЭУ с вертикальной осью вращения: сравнительная оценка технических решений и перспективы развития
 - 5. Обзор вертикальных ветрогенераторов. https://termoteh.in.ua/article/obzor-vertikalnyh-vetrogeneratorov
 - 6. Топ-7 лучших ветрогенераторов для дома. https://gradusdom.ru/interer/vetryanye-melnicy-dlya-elektrichestva.html
 - 7. Ветрогенератор для частного дома: рейтинг Топ-7 в 2024 году (kranigruz.ru)
- **8.** Петров Г.Н., Ахмедов Х.М., Кабутов К., Каримов Х.С. Общая оценка ситуации в энергетике в мире и Таджикистане. Известия Академии наук Республики Таджикистан отделение физико-математических, химических, геологических и технических наук №2 (135),2009 С. 108-109.

- 9. Юлдашев З.Ш. Возобновляемые источники энергии в Республике Таджикистан. Исследование энергетических характеристик фотоэлектрического преобразователя солнечной энергии. Учебно-методическое пособие. –Душанбе: 2020. С. 147.
 - 10. Ветрогенератор для частного дома: виды, как выбрать, обзор лучших вариантов (sovet-ingenera.com).
- 11. Программы области энергетики. Министерство энергетики и водных ресурсов PT.https://www.mewr.tj/?page_id=585.

МАЪЛУМОТ ДАР БОРАИ МУАЛЛИФОН-СВЕДЕНИЯ ОБ ABTOPAX-INFORMATION ABOUT AUTHORS

TJ	RU	EN
Хабибов Абдуманнон	Хабибов Абдуманнон	Habibov Abdumannon
Хакимбоевич	Хакимбоевич	Hakimboevich
Унвончу	Соискатель	Applicant
Раёсати марказии диспетчерии ЧСК «Барқи точик»	Центральное диспетчерское управление ОАО "Барки Точик"	Central dispatch department of JSC "Barki Tojik"
	E-mail: abdu05@mail.ru	
TJ	RU	EN
Юлдашев Рауф Зарифчонович	Юлдашев Рауф Зарифджанович	Yuldashev Rauf Zarifdzhanovich
Номзади илмхои техникй	Кандидат технических наук	Candidate of technical sciences
Донишгохи аграрии Точикистон	Таджикский аграрный	Tajik Agrarian University named after Shirinsho Shotemur
ба номи Шириншох Шотемур	университет	after Shirinsho Shotemur
	имени Шириншох Шотемура	
	E-mail: zarfjan_yz@mail.ru	
TJ	RU	EN
Юлдашев Зарифчон Шарифович	Юлдашев Зарифджан Шарифович	Yuldashev Zarifdzhan Sharifovich
Доктори илмхои техникй,	Доктор технических наук, доцент,	Doctor of technical sciences,
дотсент, профессори кафедра	профессор кафедры	assistant professor, professor of the department
Донишгохи аграрии Точикистон	Таджикский аграрный	Tajik Agrarian University named
ба номи Шириншох Шотемур	vниверситет	after Shirinsho Shotemur
	имени Шириншох Шотемура	
	E-mail: zarfjan_yz@mail.ru	

УДК.621.31

РАЗРАБОТКА ИМИТАЦИОННОЙ МОДЕЛИ ЦЕНТРАЛИЗОВАННОГО ОБСЛУЖИВАНИЯ РАСПРЕДЕЛЕННОЙ ГЕНЕРАЦИИ

Дж.Х. Худжасаидов

Таджикский технический университет имени академика М.С. Осими

В статье рассмотрены вопросы создания иммитационной модели централизованного обслуживания и обеспечения исправного технического состояния объектов распределенной генерации. В целях перехода к «зеленой экономике», повышения эффективности использования природных запасов, капиталовложения, применения новых технологий и укрепления межгосударственного сотрудничества Республика Таджикистан приняла «Стратегию развития зеленой экономики на 2023 год». «Зеленая экономика» включает в себя «озеленение» не только одной отрасли промышленности, но и трансформацию всех отраслей экономики. Немалую роль в развитии "зеленой экономики" играет энергетический сектор, а именно широкое применение возобновляемых источников энергии. В связи с этим для повышения надёжности электроснабжения потребителей возникает необходимость обеспечить должное функционирование объектов генерации.

Ключевые слова: модель, агент, моделирование, состояние, функция.

ТАХИЯИ МОДЕЛИ ХИЗМАТРАСОНИИ МАРКАЗОНИДАШУДАИ ТАВЛИДИ ТАҚСИМ ШУДА Ч.Х. Хучасаидов

Дар мақола масъалаҳои таҳияи модели хизматрасонии марказонидашуда ва таъмини ҳолати хуби техникии иншооти тавлиди тақсимшуда баррасй карда мешавад. Бо мақсади гузариш ба «иқтисоди сабз», баланд бардоштани самаранокии истифодаи заҳираҳои табий, сармоягузорй, истифодаи технологияҳои нав ва таҳкими ҳамкориҳои байнидавлатй Ҷумҳурии Тоҷикистон «Стратегияи рушди иқтисоди сабз барои соли 2023»-ро қабул кард. «Иқтисоди сабз» на танҳо соҳаи саноат, балки дигаргунсозии тамоми соҳаҳои иқтисодиётро дар бар мегирад. Баҳши энергетика дар рушди иктисоди сабз, яъне истифодаи густурдаи манбаъҳои барқароршавандаи энергия нақши муҳим мебозад. Вобаста ба ин, барои баланд бардоштани эътимоднокии таъминоти барқ, зарурати таъмини кори муътадили иншооти истеҳсолӣ ба миён меояд.

Калидвожахо: модел, агент, моделсозй, холат, функсия.

DEVELOPMENT OF A SIMULATION MODEL OF CENTRALIZED SERVICE FOR DISTRIBUTED GENERATION

J.Kh. Khujasaidov

The article discusses the issues of creating a simulation model of centralized maintenance and ensuring the serviceable technical condition of distributed generation objects. In order to transition to a "green economy," increase the efficiency of the use of natural reserves, capital investments, the use of new technologies and strengthen interstate cooperation, the Republic of Tajikistan adopted the "Strategy for the development of a green economy for 2023." The "green economy" includes the "greening" of not only one industry, but also the transformation of all sectors of the economy. The energy sector plays a significant role in the development of the green economy, namely, the widespread use of renewable energy sources. In this regard, in order to increase the reliability of power supply to consumers, it becomes necessary to ensure the proper functioning of generation facilities.

Keywords: model, agent, modeling, state, function.

Интенсивное и при этом неэффективное использование невозобновляемых источников энергии с точки зрения экологии может привести к негативным климатическим последствиям, с одной стороны, а с другой, к истощению природных запасов для будущего поколения. В связи с этим в основе направления «зеленой» экономики лежат такие принципы как надежность, энергосбережение, энергоэффективность и применение возобновляемых источников в качестве альтернативных.

Продолжительность солнечного сияния в стране составляет 2100-3166 часов в году, а количество солнечных дней в году примерно 280-330 дней. Этот аспект дает хорошую возможность использовать солнечную энергию в качестве дополнительного источника, особенно в горных районах, где нет линий электропередачи. По оценке экспертов, для частичного покрытия дифицита электроэнергии (около 70%) в горных районах, где проживают не менее 70% населения республики, страна обладает достаточным потенциалом солнечной энергии.

По данным экспертов, потенциал солнечной энергии нашей страны составляет 25,16 млрд кВт/час в год. Этого достаточно, чтобы обеспечить около 20% потребности нашей экономии в энергии и 60-80% общих потребностей населения нашей страны не меньше 300 дней в году.

Стоит отметить, что в нашей стране энергетический баланс нарушается в летний и зимний периоды: летом наблюдается избыток электроэнергии, а зимой – ее дефицит.

В 2023 году начали строительство солнечной электростанции мощностью 600 кВт. Ранее в этом регионе была сдана в эксплуатацию солнечная станция мощностью более 200 кВт. Практика Таджикистана в применении энергии ветра небольшая. Еще в конце 80-х годов первая ветроэлектростанция с установленной

мощностью 25 кВт на перевале Анзоб была пилотным вариантом. Замеры производились и других регионах, вблизи метеостанции, где было зафиксировано колебание ветра от 4 до 6,5 м/сек [1]. Для развития «зеленой» экономики в связи с климатическими изменениями, с целью минимизации выбросов парниковых газов, повышения эффективности использования природных запасов, капиталовложения а также применения новых технологий в ближайшие годы (с 2023 по 2037гг.) в стране будет реализована разработанная и принятая стратегия по развитию "зеленой экономики" [2].

Для повышения надёжности электроснабжения потребителей и обеспечения потребителей электрической энергией в необходимом количестве и соответствующем качестве немаловажную роль играет технический аудит.

В основе требований для долгой эффективной и в тоже время безопасной работы энергетического оборудования лежит проведение регулярного технического обслуживания в соответствии с требованиями условий эксплуатации, которые регламентированы заводом-изготовителем.

Задачи технического обслуживания включают в себя плановые осмотры, диагностику оборудования, замену деталей, которые обречены на быстрый износ в зависимости от интенсивности использования. Зачастую возникают большие затруднения при покупке запчастей, поскольку большая часть эксплуатируемого оборудования иностранного производства. Имеют место риски, которые могут повлечь за собой сбои в поставках и невозможность обслуживания.

Технический аудит позволяет определить реальные показатели, позволяющие оценивать генерацию электроэнергии, показатели надежности электрооборудования, влияющие на бесперебойность работы данного оборудования, а также определить технико-экономические показатели уже действующей солнечной или ветровой электростанции. С течением времени характеристики электрооборудования ухудщаются. Чтобы точно оценить фактическое состояние объекта с последующими выявлениями возможных повреждений и дефектов, необходимо проведение периодических ревизий эксплуатируемых источников генерации. Своевременная и профессиональная оценка ситуации дает возможность минимизировать нежелательные потери при выработке электричсекой энергии, вследствии которых генерирующие компании могут нести колосальные потери в годовом интервале времени.

К примеру, плановая ревизия солнечных электростанций является неотъемлемой частью эффективного функционирования данных источников. В выполнении гарантийных обязательств поставщиками оборудования такие проверки имеют огромную необходимость. Контролировать качественные характеристики солнечных панелей зачастую возможно в рабочем состоянии, когда объект находится в рабочем режиме, т.е. под нагрузкой. Рекомендуется проводить плановые проверки солнечных панелей не менее 3-4 раза в годовом интервале [3].

Технический аудит позволяет выявить неисправности в работе оборудования и в последующем устранить имеющиеся проблемы. На солнечных панелях со временем из-за затенения либо перегрева могут появиться горячие точки. Также к распространенным повреждениям относится появление трещин, которые невооруженным глазом невозможно заметить. Трещины могут быть заводским браком либо появиться при нарушении условий и правил транспортировки и монтажа. В результате отмеченных выше дефектов может повредиться не только сама панель, но и вся цепочка подключенных к ней модулей [3, 4].

Таким образом, услуги центра по оказанию технического обслуживания функционирующих солнечных и ветровых электростанций, должны иметь следующий перечень:

Анализ и оценка технического состояния оборудования;

Аэротермографическая оценка солнечных модулей;

Наземная термография фотоэлектрических модулей;

Оценка ВАХ солнечных панелей;

Проверка крепёжных частей и металлоконструкций солнечной установки;

Контроль запыленности фотоэлектрических модулей;

Выявление причин снижения КПД и разработка рекомендаций по повышению данного показателя.

Лопасти ветроустановки

Проверка на отсутствие трещин / повреждений;

Обработка защитным воском/антиобледенителем;

Проверка балансировки ротора.

Мачта

Проверка вибрации;

Проверка удерживающих тросов;

Проверка вертикальности мачты;

Проверка фундаментных болтов;

Проверка сварочных соединений на наличие трещин.

Ветрогенератор

Проверка креплений ВГ к мачте и болто лопастей.

Электрические провода

Проверка на отсутствие повреждений.

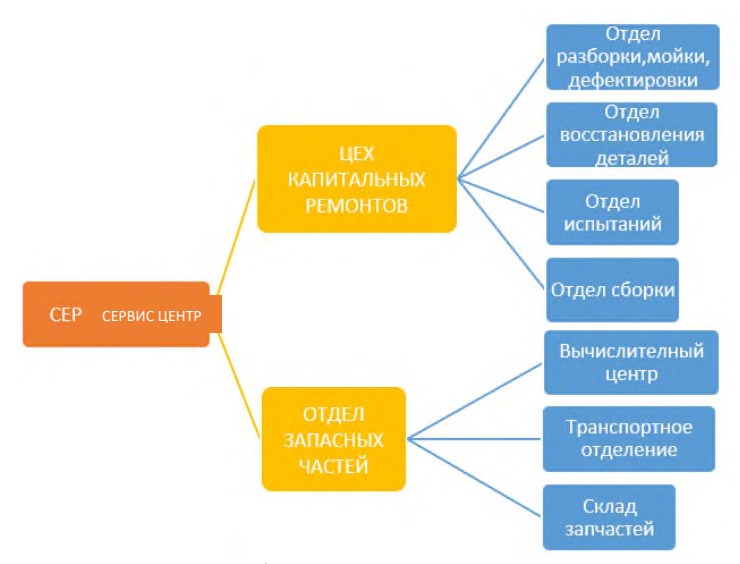


Рисунок 1 – Иерархия сервисного центра

В статье рассмотрен вопрос реализации технического обслуживания объектов распределенной генерации путем создания имитационной модели на основе агентного подхода к решению вопроса. Задача состоит в создании модели, которая позволила бы проигрывать различные динамические процессы и при этом иметь возможность учета различных факторов, управлять масштабом времени для быстроты протекания процессов, а также введение модификаций в саму модель.

Модель создавалась в програмном комплексе Anilogic, который имеет многоподходное имитационное моделирование, идея такого рода моделирования заключается в совмещении и комбинировании методов моелирования так, чтобы достоинства одних компенсировали недостатки других.

Создание модели

Агент – в моделировании под агентом понимается элемент, имеющий определенное поведение, собственную память, контакты и тому подобное. Они могут моделировать людей, проекты, оборудования и т.д.

Внутри агента создаются переменные, события либо определенное состояние рассматриваемого объекта.

На первом этапе создания модели необходимо выбрать единицу модельного времени (секунды, часы, дни и т.д.). Далее необходимо создать агенты в зависимости от рассматриваемой задачи. В нашем случае нужно создать агенты, представляющие сервисный центр, обслуживающий транспорт, агенты для моделирования ветряных турбин и солнечных панелей, а также агент, который будет представлять запросы на обслуживание. Внутри каждого агента необходимо задать процессы, относящие к агенту.

На рисунке 2 представлен интерфейс созданной модели, которая состоит из здания (центр принятия решений), обслуживающего транспорта (грузовики и вертолеты), ветренной турбины и солнечных панелей.

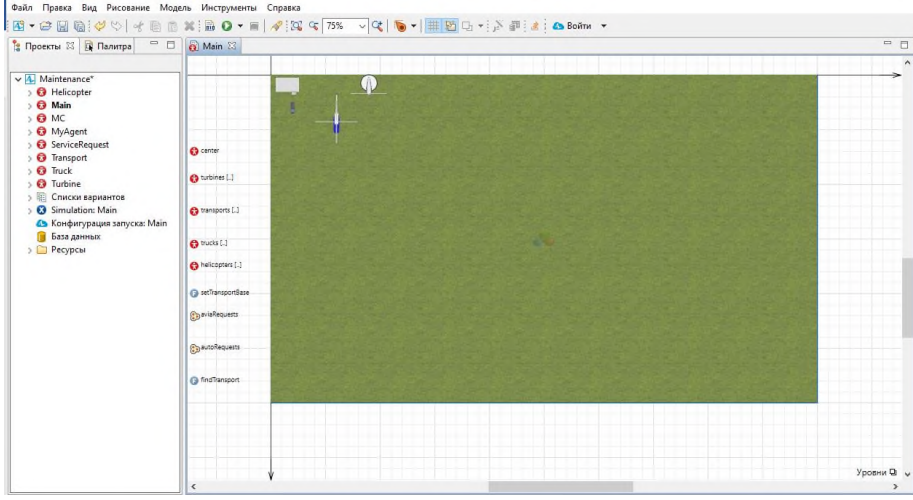


Рисунок 2 – Интерфейс программы-созданная модель

Следующий этап включает в себя настройку логистики процессов обслуживающего транспорта. Для этого была создана диаграмма состояний, состоящая из нескольких переходов. Задачей данного агента является принятие решений по выбору транспорта в зависимости от запроса и доступности этого вида транспорта в сервисном центре. В разработанной модели были созданы следующие возможные состояния (рисунок 3):

Станция техобслуживания;

Движение к станции ТО;

Движение к турбине;

Движение к солнечной панели;

Обслуживание турбины;

Обслуживание панели.

На следующем шаге необходимо было настроить поведение сервисного центра. Для моделирования динамических характеристик объекта или для хранения результатов используются переменные. Также необходимо создать функцию *findTransport* для выбора свободного обслуживающего транспорта, чтобы выполнить работу. В зависимости от условий request.type == AUTO или request.type == AVIA на следующем этапе происходит интеграция популяции trucks.

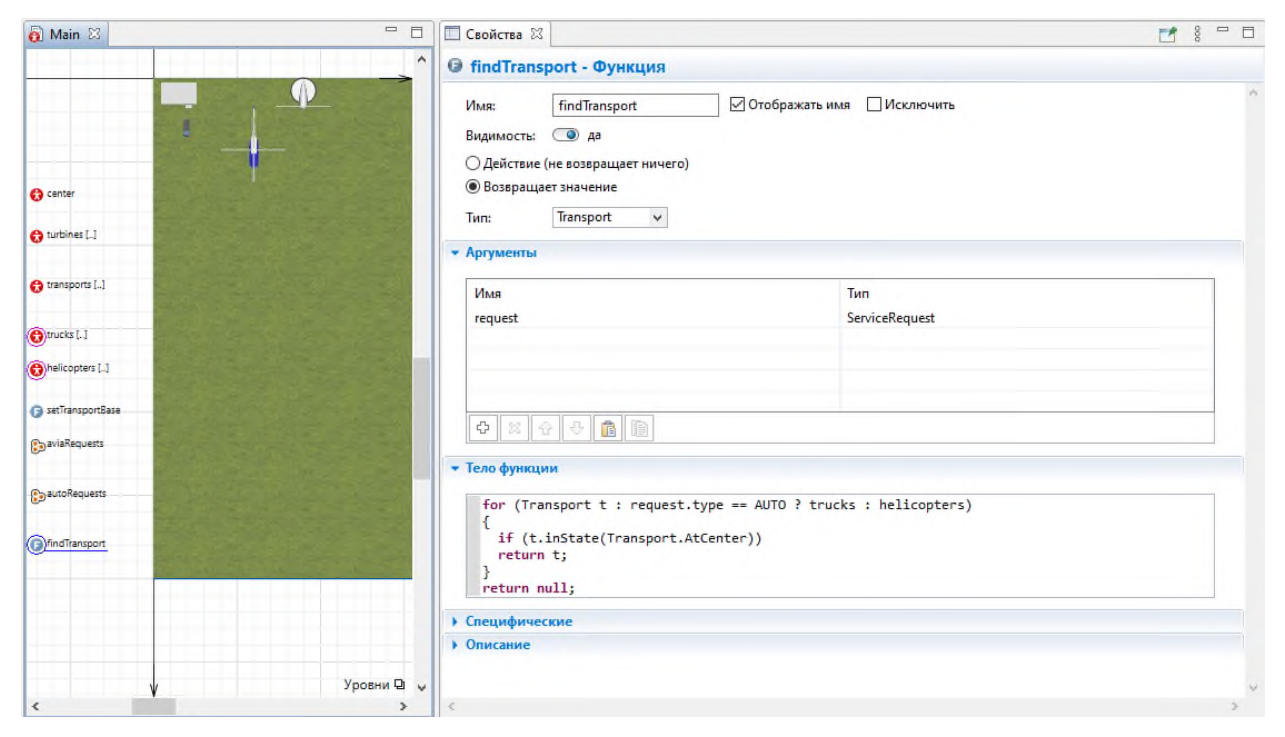
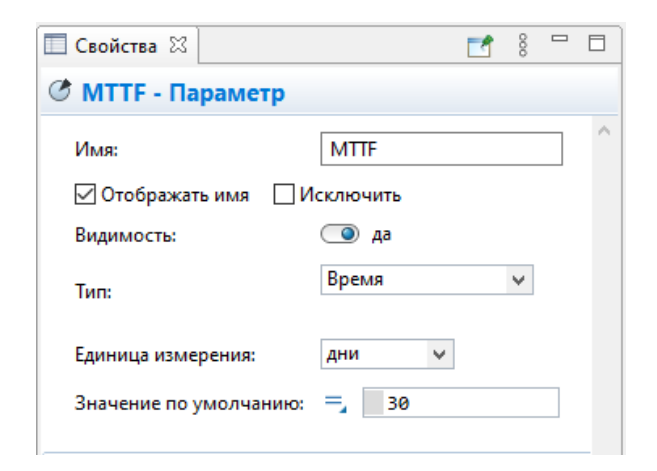


Рисунок 3 – Настройка поведения сервисного центра

Для настройки поведения турбин необходимо задать временные интервалы работы ветряной турбины. Для этого нужно в параметрах агента задать среднее время до аварии (рисунок 4).



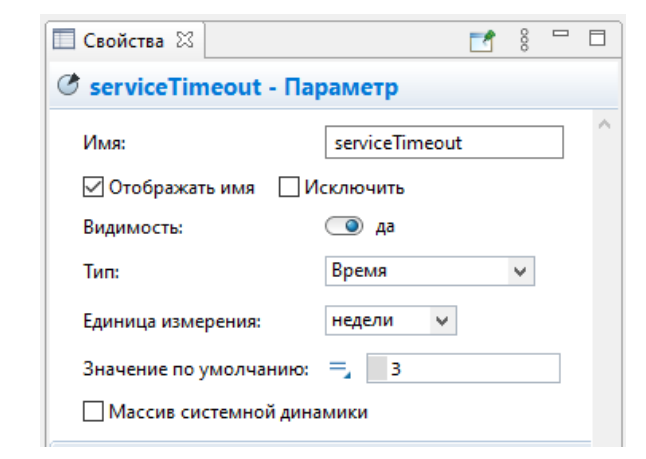


Рисунок 4 – Настройка поведения ветровой турбины

Функция, которая управляет запросами **sendRequest,** ссылается на ранее созданную фукнцию для поиска необходимого транспорта. При поступлении от турбины запроса на обслуживание сервисный центр должен отправлять тип транспорта AUTO или AVIA в зависимости от запроса.

Настройки состояния агента

Normal-нормальный режим

Failure-аварийный режим

Scheduled-плановый осмотр

Необходимо задавать определенные действия для каждого состояния ветровой турбины (солнечной панели). Например: если ветровая турбина или солнечная установка находится в аварийном режиме *Failure*, то должен поступить запрос на отправку транспортного вертолёта. При наступлении плановых осмотров поступает запрос на отправку транспортного грузовика. Нужно задавать переход от состояния *Operating* к состоянию *Failure* с заданной интенсивностью (1-2 раза за среднее время до аварии 30 дней) (рисунок 5).

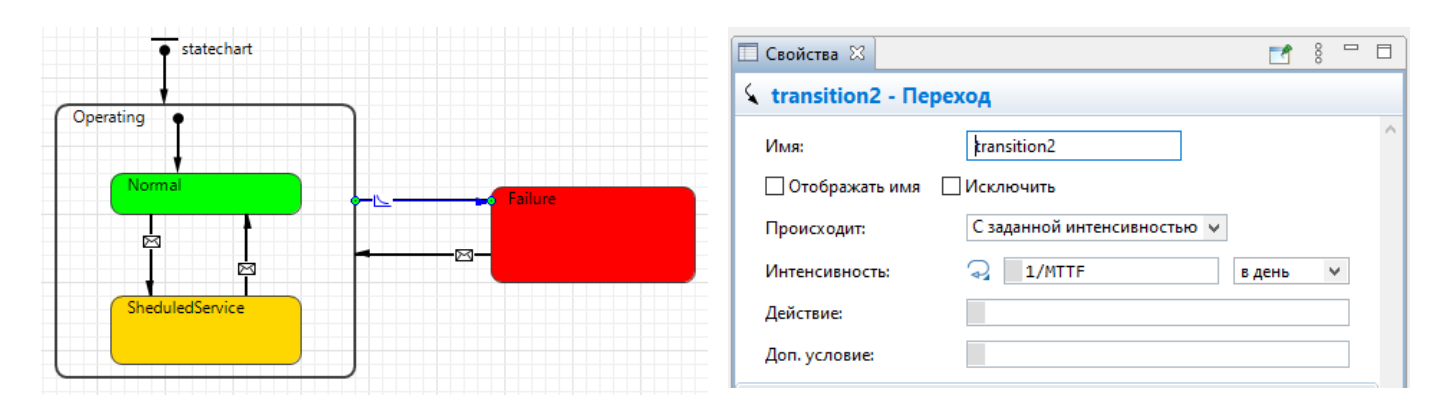


Рисунок 5 – Настройки поведения турбины

На следующем этапе нужно настроить анимацию текущего состояния турбины (солнечной панели) с тем, чтобы лопасти турбины перестали вращаться при аварии, а также настроить световую индикацию состояния объекта.

Настройка логистики обслуживающего транспорта (рисунок 6) настраивается следующим образом.

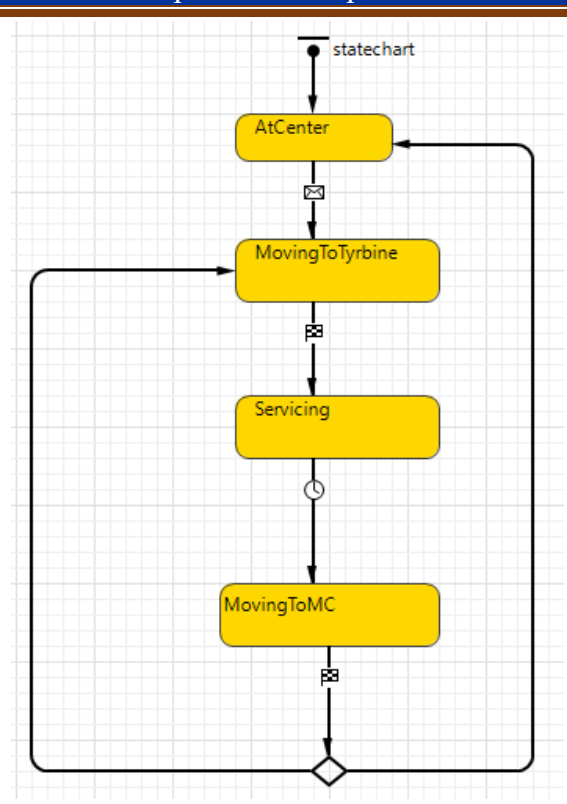


Рисунок 6 – Логистика обслуживающего транспорта

На рисунке выше вы видите, что последний переход из MovingToMC в ветвление, откуда транспорт может направиться либо в состояние MovingToTurbine-обслуживание турбины, либо вернуться в AtCenterвернуться на базу, происходит по прибытии агента. Когда он происходит, выполняется проверка, при прохождении которой транспортное средство либо выезжает на обслуживание очередной турбины, либо отправляется обратно в сервисный центр и остается там, пока снова не понадобится для обслуживания.

Запуск модели

На этом этапе дозволяется область просмотра созданной модели в режиме 3D. Настраивается текстура в качестве заливки площадки модели, местоположение по осям X, Y, Z. После нажатия кнопки ЗАПУСК модель запустится (рисунок 7).

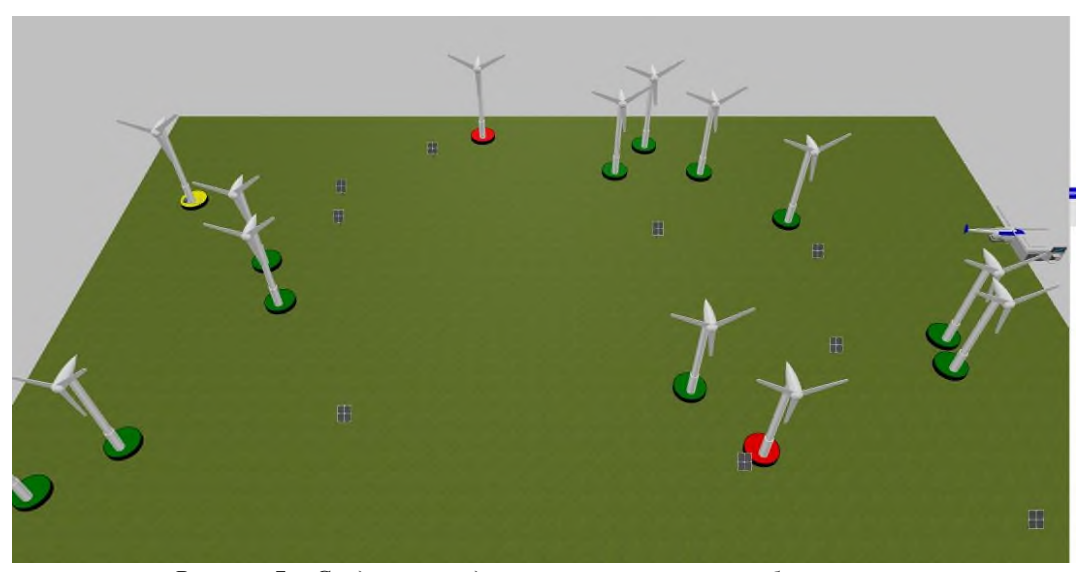


Рисунок 7 – Созданная модель централизованного обслуживания

На этом этапе завершается создание модели. В соответствии с поставленной задачей внести необходимую аналитику и можно приступить к проведению экспериментов, и решить оптимизационные задачи.

Выводы

Достоинством имитационного моделирования являются динамическое отображение текущих процессов и состояние моделируемого объекта. Непрерывность текущей деятельности реального объекта дает возможность описывать процессы в действительноти, что, несомненно, является приемуществом имитационного моделирования. Имитационное моделирование позволяет учитывать большое количество случайных факторов, провести динамические эксперименты, ввести различные модификации в модель и управлять масштабом времени, что, безусловно, является достоинством данного метода моделирования. Разработанная модель позволяет ввести в нее различную аналитику и провести эксперименты оптимизации.

Рецензент: Гулахмадов А.А. — д.т.н., старший научный сотрудник лаборатории «Водные ресурсы и гидрофизические процессы» Института водных проблем, гидроэнергетики и экологии НАНПГ

Литература

- 1. Диёров Р.Х. Ветроэнергетический потенциал районов республиканского подчинения Республики Таджикистан. /Диёров Р.Х.// Политехнический вестник. Серия Инженерные исследования. №2 (58) 2022, С. 11-17.
- 2. Пресс-служба Президента Таджикистана [Электронный ресурс] Режим доступа: URL. www.prezident.tj (дата обращения 05.06.2023).
- 3. Усков А.Е. Солнечные фотоэлектрические станции: перспективы, особенности работы и расчёта экономической эффективности / Усков А.Е., Дайбова Л.А., Гиркин А.С., Дауров А.В., Дизендорф А.В., Горбачёв В.А., Попучиева М.А. // Политематический сетевой электронный научный журнал кубанского государственного аграрного университета. №114 − 2015, С. 902-917.
- 4. Силин Н.В. К вопросу создания виртуальной электростанции для повышения эффективности распределенных энергетических источников/ Силин Н.В., Рахимов Ф.М. // СОВРЕМЕННЫЕ ТЕХНОЛОГИИ И РАЗВИТИЕ ПОЛИТЕХНИЧЕСКОГО ОБРАЗОВАНИЯ. Международная научная конференция "Современные технологии и развитие политехнического образования". Владивосток, 19–23 сентября 2016, С. 404-407.

СВЕДЕНИЯ ОБ АВТОРЕ – МАЪЛУМОТ ДАР БОРАИ МУАЛЛИФ – INFORMATION ABOUT AUTHOR

110111011					
TJ	RU	EN			
Хучасаидов Чахонгир	Худжасаидов Джахонгир	Khujasaidov Jahongir			
Хучасаидович	Худжасаидович	Khujasaidovich			
н.и.т.	к.т.н.	Candidate of technical sciences, associate professor			
Донишгохи техникии Точикистон ба номи академик М.С. Осимй	Таджикский технический университет имени академика М.С. Осими	Tajik Technical University named after academic M.S.Osimi			
E-mail: jahon nstu@mail.ru					

УДК 629.3.01: 621.33

ЭЛЕКТРИФИКАЦИЯ ТРАНСПОРТА, КАК НАПРАВЛЕНИЕ УСТОЙЧИВОГО РАЗВИТИЯ ТРАНСПОРТНОЙ И ЭЛЕКТРОЭНЕРГЕТИЧЕСКОЙ СИСТЕМЫ ТАДЖИКИСТАНА

К.Х. Гуломзода

ГУ «Автомобильный транспорт и логистическое обслуживание» Министерства транспорта Республики Талжикистан.

Таджикский технический университет имени академика М.С. Осими

В данной статье представлены результаты расчетов эксплуатационных показателей электротранспорта в условиях Республики Таджикистан, проведен анализ развития электротранспорта, подчеркнуты актуальные проблемы в области эксплуатации автомобилей на электрической тяге в условиях Республики Таджикистан. Рассмотрены возможности и преимущества эксплуатации электромобилей в условиях Таджикистана.

Ключевые слова. Электромобиль, электротранспорт, энергосистема, гибридный автомобиль, Таджикистан

БАРҚИКУНОНИИ НАҚЛИЁТ ХАМЧУН САМТИ РУШДИ УСТУВОРИ СИСТЕМАИ ЭНЕРГЕТИКӢ ВА НАҚЛИЁТИИ ТОЧИКИСТОН

К.Х. Ғуломзода

Дар ин мақола натичаҳои ҳисоботи нишондиҳандаҳои истифодабарии нақлиёти барқй дар шароити Ҷумҳурии Тоҷикистон пешниҳод шудаанд, инчунин таҳлили рушди нақлиёти барқй гузаронида шудааст, масъалаҳои мавҷуда дар соҳаи истифодаи нацлиёти барқй дар шароити Ҷумҳурии Тоҷикистон таҳлил карда шудаанд, имкониятҳо ва афзалиятҳои истифодаи электромобилҳо дар шароити Тоҷикистон таҳлил шудаанд.

Калидвожахо. Электромобил, нақлиёти барқū, системаи энергетикū, автомобили гибридū, Точикистон

ELECTRIFICATION OF TRANSPORT AS A DIRECTION OF SUSTAINABLE DEVELOPMENT OF THE TRANSPORT AND ENERGY SYSTEMS OF TAJIKISTAN

K.H. Gulomzoda

This article presents the results of calculations of the operational performance of electric transport in the conditions of the Republic of Tajikistan, analyzes the development of electric transport, and highlights current issues in the operation of electric vehicles in the conditions of the Republic of Tajikistan. The possibilities and advantages of operating electric vehicles in the conditions of Tajikistan are considered.

Keywords. Electric vehicle, electric transport, energy system, hybrid vehicle, Tajikistan

Введение

Транспортная сфера является основой современной экономики и ключевым фактором мобильности населения в современном мире.

И проблема его адаптации к глобальному изменению климата, а также вопросы охраны окружающей среды и улучшения экологического состояния страны, достижения целей устойчивого развития, в том числе борьбы с изменением климата, обеспечения здорового образа жизни и содействия благополучию для всех, обеспечения всеобщего доступа к недорогим, надежным, устойчивым и современным источникам энергии, обеспечения перехода к рациональным моделям потребления и производства, объявленными Генеральной Ассамблеей Организации Объединенных Наций, на сегодняшний день являются не только актуальными, но и глобальным вызовом для всех [4].

Особенность современной транспортной отрасли в том, что она развивается в тесной связи со сферой энергетики, поскольку современный транспорт это не только потребитель нефтяных ресурсов, но и электрической энергии, потребление которой в последние годы растет стремительными темпами.

На национальном уровне Республика Таджикистан в качестве безусловной цели указывает на сокращение выбросов парниковых газов для транспортного сектора, и достижения этой цели включают переход на более чистые виды топлива, например, использование гибридных, а также полностью электрических транспортных средств.

Транспортная отрасль Республики Таджикистан, учитывая активность рынка, развивается стремительными темпами и в ближайшей перспективе появится потребность в большом количестве импорта нефтепродуктов в страну.

Транспортная отрасль, являющаяся одной из основных потребителей энергоресурсов, сталкивается с проблемами, связанными с загрязнением окружающей среды, из-за увеличивающихся выбросов «парниковых газов». Существенным недостатком транспортных средств традиционной конструкции является прямая зависимость от нефтепродуктов.

Дальнейшее совершенствование конструкции двигателей внутреннего сгорания (ДВС) также, как и используемых технологий по оптимизации рабочих процессов последних, неспособно в полной мере решить

вопросы энергетической зависимости автотранспорта от нефтепродуктов. Наряду с этим, высокие темпы и уровень автомобилизации усугубляют экологические проблемы, связанные с загрязнением атмосферы токсичными выбросами от ДВС.

Актуальность темы исследования

На фоне обострения нехватки энергоносителей и ухудшения экологического состояния окружающей среды автопроизводители все больше вкладывают силы и средства в разработку автомобилей, работающих на альтернативном топливе. Преимущественно развивается технология производства электромобилей и автомобилей с гибридной силовой установкой, объединяющих в себе преимущества электромобиля и автомобиля с двигателем внутреннего сгорания (ДВС) [5,9].

В этой связи электромобили и автомобили с комбинированными энергоустановками, как альтернатива традиционным транспортным средствам (ТС), становятся все более привлекательными на фоне обострения указанных проблем.

Электромобили имеют большие преимущества по сравнению с автомобилями на основе ДВС с точки зрения бесшумности и экологии. В последние годы развитие данной отрасли отличается стремительностью, и при условии дальнейшей разработки и улучшения технических характеристик, электромобили и автомобили с гибридными энергоустановками могут стать альтернативой автомобилям традиционной конструкции. В связи с этим ведущие автопроизводители вкладывают значительные средства в развитие и совершенствование технических характеристик электромобилей и автомобилей с комбинированными энергоустановками (КЭУ).

Несмотря на большие достижения в области электромобилестроения на сегодняшний день одной из главных причин, препятствующих массовому производству и распространению электромобилей во всем мире, является недостаточная энергоемкость, большой вес и высокая стоимость существующих тяговых аккумуляторных батарей (ТАБ), применяемых в качестве накопителя энергии.

Учитывая сильную зависимость транспортной отрасли от нефтепродуктов и экологическую проблему во всем мире, появившимся вследствие их ежедневного потребления в огромных объемах на протяжении десятилетий, в последние годы интенсивно разрабатываются и внедряются новые технологии по разработке и производству экологически чистых транспортных средств.

По мнению агентства Bloomberg New Energy Finance (BNEF), прогноз производства и продажа электромобилей в мире к 2030 году составит 31% от продаж новых и 20% мирового автопарка (рис.2) [6]. Это прежде всего вызвано тем, что к тому времени будут существенно улучшены технологии производства аккумуляторных батарей, являющихся на сегодняшний день самым дорогостоящим элементом, препятствующим массовому производству экономически доступных электромобилей. Кроме этого, будут улучшены другие элементы силового электрооборудования, такие как разработка высокоэффективных тяговых электродвигателей, силовых преобразователей напряжения и т.д.

В последние годы в автомобильной отрасли разработка и выпуск экологичных автомобилей динамично развивается, так как автопроизводителями вкладываются все больше сил и средств для усовершенствования компонентов и тяговых систем этих видов транспортных средств [6,10].

Результатом этих усилий можно считать снижение цен на литий-ионные тяговые аккумуляторные батареи (АБ), которые используют почти все производители, в том числе в современных электромобилях таких как Tesla Model S, Model X, Nissan Leaf, BMW i3, BYD E2 и др.

По подсчетам BNEF, с 2007 по 2014 годы цены на данные типы АБ снизились с \$1200 до \$410 за кВт*ч, а в 2021 году в целом упали на 89% по сравнению с 2010 годом до 132 долларов США за кВт*ч, и эта тенденция к снижению пока сохраняется (BNEF, puc.1) [8].

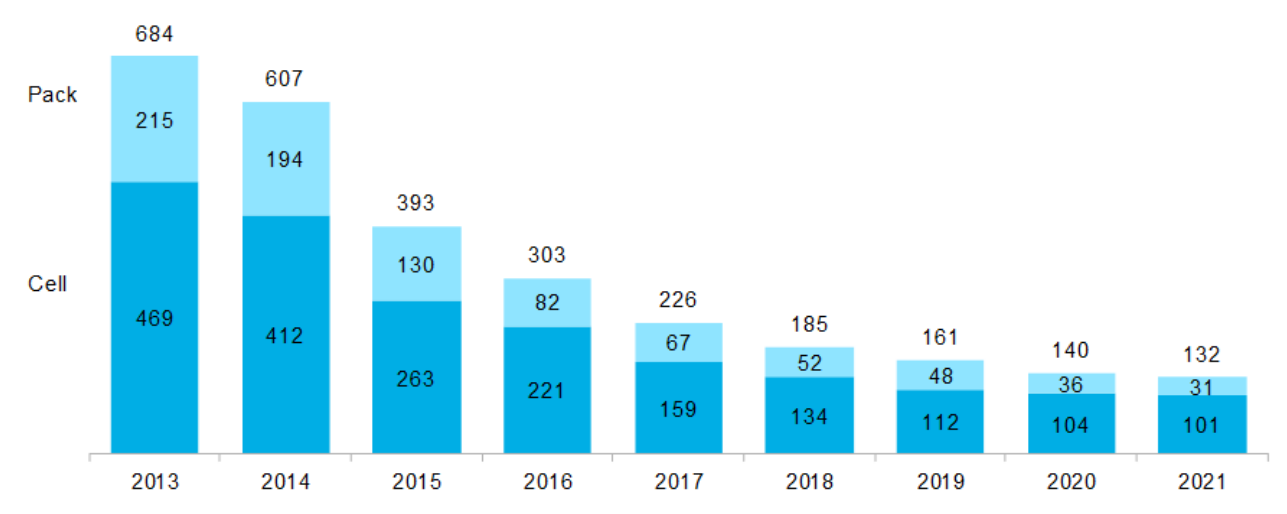


Рисунок 1 — Исторические цены на литий-ионные аккумуляторные батареи по данным BNEF в период 2013-2021 годы, (долл. за кBm*4) [8].

По прогнозам BNEF к 2025 году средние цены на батареи должны быть ниже 100 долларов США за кВт*ч. Примерно в этой ценовой категории автопроизводители должны иметь возможность производить электромобили для массового рынка по той же цене, что и аналогичные автомобили с ДВС.

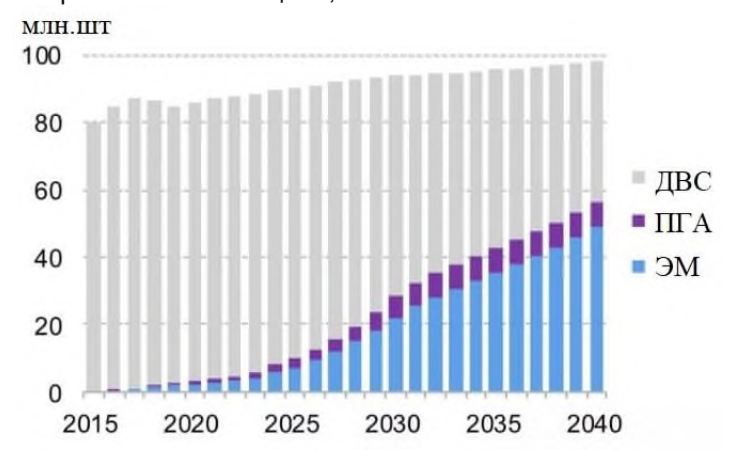


Рисунок 2 — Рост продаж автомобилей согласно BNEF [8] (где: ПГА подключаемый гибридный автомобиль) Однако при массовом производстве автомобилей на электрической тяге возникает проблема готовности инфраструктуры зарядных станций и генерация новых мощностей для обеспечения питания этих электромобилей.

Опыт эксплуатации и преимущество использования электромобилей в условиях Республики Таджикистан

В современном динамично меняющемся мире актуальность вопроса устойчивости энергетического сектора и доступа к чистым видам энергии сохраняется, поскольку именно электрическая энергия является основой промышленности и в свою очередь локомотивом экономики любой промышленной страны. Таджикистан, почти не имея запасов нефтепродуктов, входит в ряды стран с достаточно уязвимой экономикой и достаточно остро реагирует на колебания цен на нефтепродукты. Поэтому переход транспортной отрасли на электрифицированный транспорт является перспективной задачей, которую необходимо решить в ближайшем будущем для обеспечения устойчивого развития и снижения зависимости от ископаемых видов топлива. Таджикистан как горная страна, обладающая огромным потенциалом возобновляемых источников энергии [3], такие как гидроэнергия, солнечная и ветроэнергия, является привлекательной для развития парка электромобилей с точки зрения экологичности и экономии топлива.

Поскольку экологичность электротранспорта в большей степени определяется происхождением используемой электрической энергии и при их генерации в тепловых и других видах электростанций, выработка которых достигается сжиганием нефтепродуктов, экологическая привлекательность будет ниже. Кроме этого, как известно, при эксплуатации электромобилей, использующих электроэнергию, выработанную в подобных электростанциях, учитывая низкую их эффективность (например КПД ТЭЦ около 35%), а также учитывая потери электроэнергии при его транспортировке, эффективность использования энергоресурсов будет ниже, чем непосредственное сжигание топлива в двигателе внутреннего сгорания (ДВС) автомобилей традиционной конструкции.

На данный момент более 98% электроэнергии в Таджикистане вырабатывается в гидроэлектростанциях [1]. Этот показатель очень важен с точки зрения регионального вклада по сокращению выброса углекислого газа в атмосферу.

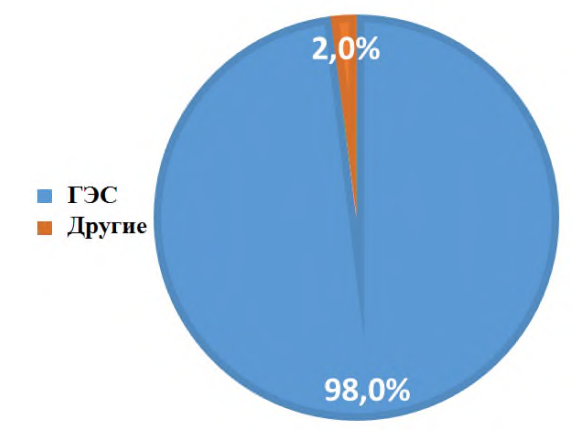


Рисунок 3 – Структура выработки электроэнергии в Республике Таджикистан

Кроме этого, как известно, выработка электроэнергии в возобновляемых электростанциях, особенно гидроэлектростанциях, считается одной из самых дешевых, и этот благоприятный фактор даёт возможность развить транспорную отрасль в Республике Таджикистан, особенно пассажирский и железнодорожный преимущественно электрифицированным.

Таблица 1 – Стоимость электроэнергии в мире за май 2024 г. по данным информационно-аналитического центра global petrol prices.com

	Стоимость, доллары США			
Страна	Для населения	Промышленность и бизнес		
Германия	0.402	0.274		
Япония	0.221	0.194		
Франция	0.281	0.217		
США	0.172	0.151		
Беларусь	0.075	0.099		
Россия	0.058	0.083		
Турция	0.051	0.113		
Казахстан	0.049	0.072		
Азербайджан	0.047	0.065		
Узбекистан	0.023	0.047		
Таджикистан*	0,028	0,064		

В связи с этим, учитывая прямую зависимость транспортной отрасли республики от импорта нефтепродуктов, а также турбулентность в ценовой политике этого продукта в мире, целесообразным является постепенный переход транспортной отрасли от углеводородного топлива на электрифицированный.

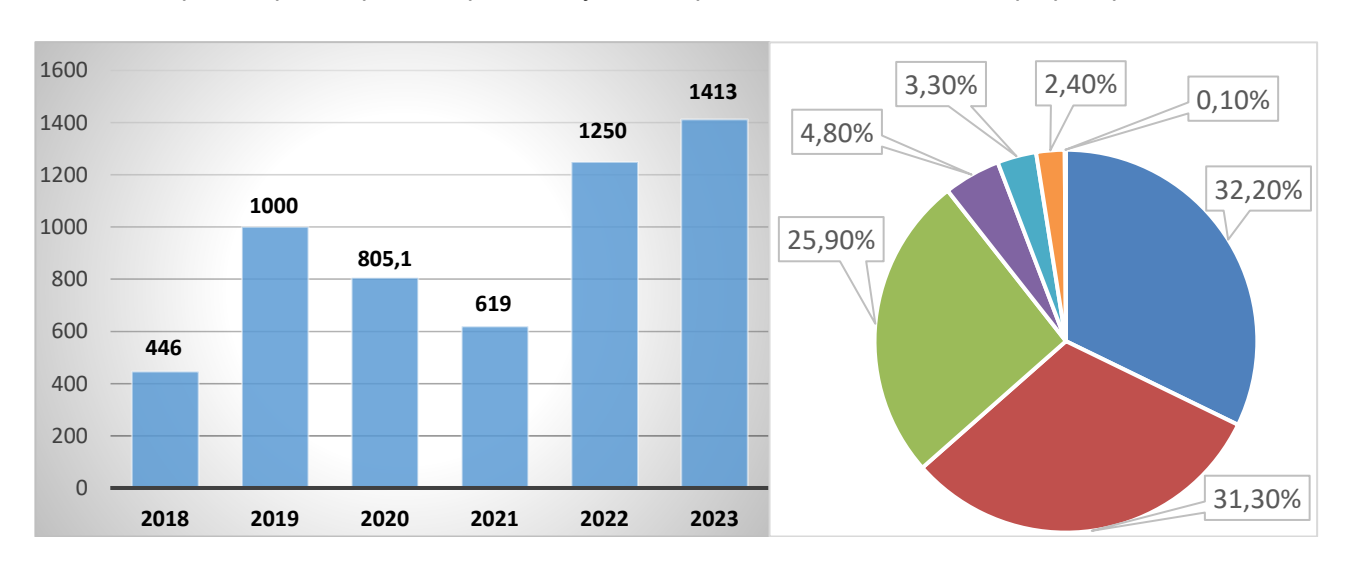


Рисунок 4 — Импорт нефтепродуктов в Таджикистан за 2018-2023 годы, а также структура нефтепродуктов тыс. тонн [2]

Для сравнения экономической эффективности автомобилей с электрической тягой и автомобилей традиционной конструкции в ценовых условиях Республики Таджикистан в табл.2 представлены результаты технико-экономических расчетов эксплуатационных показателей электромобиля с автомобилем, работающем на ДВС.

Таблица 2 – Технико-экономическое сравнение показателей электромобиля с автомобилем, движимым от ДВС, в ценовых условиях Республики Таджикистан

Модель автомобиля – JAC S7 Модеь электромобиля – BYD E2					
Параметр	Знач.	Ед. изм.	Параметр	Знач.	Ед. изм.
Среднесуточный пробег	50	КМ	Среднесуточный пробег	50	KM
Средний годовой пробег (288 рабочих дней)	14400	КМ	Средний годовой пробег (288 рабочих дней)	14400	КМ
Цена бензина АИ-92	10,8**	сомони/л	Цена электроэнергии для электротранспорта	0,307***	сомони/ кВт*ч
Объем топливного бака автомобиля	64	Л	Ёмкость АБ с учетом КПД 95%	45,6	кВт*ч
Расход средств для полного бака горючего	691,2	сомони	Расход средств для полного заряда АБ (с учетом потерь в процессе заряда)	15	сомони
Расход горючего на 100 км пробега	9	Л	Расход электроэнергии на 100 км пробега	14,2	кВт*ч
Общий пробег за один полный бак горючего	711	КМ	Общий пробег за один полный заряд аккумулятора	320	КМ
Расход средств для 100 км пробега	97,2	сомони	Расход средств для 100 км пробега	4,3	сомони
Расход средств для горючего при годовом пробеге	14000	сомони	Расход средств для электроэнергии при годовом пробеге	631	сомони

^{(**} цена бензина марки АИ92 на момент 25 марта 2024 года в РТ; ***цена на электроэнергию на момент 25 марта 2024 года согласно данным Министерства энергетики и водных ресурсов РТ)

Как видно из данных, годовой расход на энергоносители автомобиля с ДВС по сравнению с автомобилем на электрической тяге (табл. 2) примерно в 20 раз, а при самой высокой цене электроэнергии, которая соответствует тарифам для промышленности, в 9 раз экономичнее. Этот показатель является существенным фактором для развития электротранспорта в стране. В подтверждение этому стремительный рост импорта электромобилей в страну за последние 3 года представлен на рис.6.

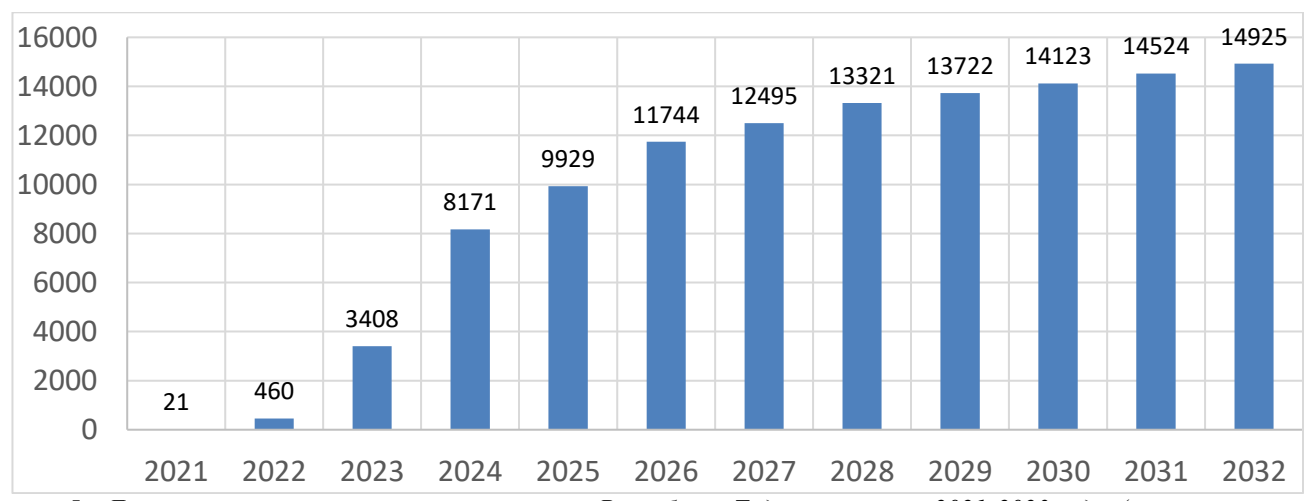


Рисунок 5 — Динамика импорта электротранспорта в Республику Таджикистан за 2021-2023 годы (с учетом местного производства) и прогноза их количества до 2032 г.

Следует отметить, что расчеты табл.2 приведены без учёта отопления и охлаждения салона и АБ в зимний и летний периоды. Учет последних ограничивает пробег от 15 до 40%.

Другим благоприятным фактором, положительно влияющим на развитие электротранспорта в условиях Таджикистана, является умеренно теплый климат. Как известно, суровые климатические условия и чрезмерно

холодная погода сильно ограничивают пробег электромобилей, т.к. существенная часть запасенной энергии АБ расходуется на обогрев салона автомобиля и поддержание температурного режима тягового аккумулятора. Однако чрезмерно жаркая погода, особенно в летний период, когда температура окружающей среды достигает 50°С и выше, существует проблема охлаждения аккумуляторной батареи и кондиционирования салона автомобиля, которая также требует дополнительных затрат энергии.

Анализ текущего потребления и прогноз спроса электроэнергии электротранспортом в Республике Таджикистан

Согласно статистическим данным [7,11-13] количество электротранспорта в стране (по состоянию на 1 января 2024 года, включая электромобили отечественного производства) составляет 3868 единиц, включая: 3794 ед. электромобилей, 13 ед. импортированных электробусов и микроавтобусов, 30 ед. электробусов отечественного производства, 10 ед. грузового электротранспорта и 21 единица электрического грузоподъёмного транспорта.

Допущения при определении емкости аккумуляторов различных типов электротранспорта.

Большую часть электромобилей, импортируемых в Таджикистан, составляют модели BYD E2, емкость аккумулятора которых равна 43 кВт*ч. Учитывая потери в процессе зарядки, составляющей 5-7%, среднее потребление электроэнергии 1 электромобиля за один цикл заряда аккумулятора принимается равным 45 кВт*ч.

Аккумулятор электробуса AKIA ULTRA LF12-T отечественной сборки, согласно его спецификации, имеет емкость 350 кВт*ч, и с учетом потерь при зарядке 5-7% средний расход электроэнергии 1 электробуса за один цикл заряда аккумулятора принимается равным 370 кВт*ч.

В связи с неопределенностью емкости аккумуляторов импортированных электробусов и микроавтобусов, грузового и грузоподъёмного электротранспорта, с учетом 5-7% потерь при зарядке, усредненное потребление электроэнергии 1 транспорта данного типа за один цикл заряда принимается примерно 63 кВт*ч.

Режимы зарядки электромобилей. Согласно информации на состояние 1 января 2024 года для службы такси используется 1576 единиц электромобилей, заряжающих аккумуляторы один раз за 1-3 дня. Остальные электромобили, то есть 2218 единиц, используются обычными водителями, заряжая аккумуляторы в среднем раз в 5-7 дней. [2,3,7]

Режим зарядки электробусов. Учитывая то, что электробусы курсируют по государственному маршруту в городе Душанбе с плотной загруженностью, график зарядки данных транспортных средств устанавливается на ежедневной основе.

Учитывая неопределенность графика работы остальных импортированных электробусов и микроавтобусов, грузового и грузоподъемного электротранспорта, их график работы принимается соответствующим усредненному общему пользованию, то есть один раз в 4 дня.

Средние затраты электроэнергии для электромобилей в год

1. Суммарный расход электроэнергии для 1576 электромобилей в режиме такси, т.е. 1 зарядка за каждые два дня в течение года:

$$E_{EVtaxi} = N_{EVtaxi} \times C_{EV} \times K_z \times D/2 = 1576 \times 45 \times 0,8 \times 366/2 = 10,4$$
 млн к B т*ч в год;

2. Суммарный расход электроэнергии для 2218 электромобилей в режиме общего пользования, то есть в режиме ее подзарядки один раз в 6 дней в течение года:

$$E_{\text{EVcomm}} = N_{\text{EVcomm}} \times C_{\text{EV}} \times K_z \times D/6 = 2218 \times 45 \times 0.8 \times 366/6 = 4.87 \text{ млн кВт*ч в год;}$$

3. Суммарная расход электроэнергии для 30 электробусов в режиме ежедневной зарядки в течение года:

$$\Theta_{\Theta B} = H_{\Theta B} \times C_{\Theta B} \times K_z \times D = 30 \times 370 \times 0.8 \times 366 = 3.2$$
 млн к B_T *ч в год;

4. Суммарный расход электрической энергии для 44 различных электромобилей в режиме общего пользования, то есть режиме ее подзарядки одного раза в 4 дня в течение года:

$$E_{EVdiff} = N_{EVdiff} \times C_{EVdiff} \times K_z \times D/4 = 44 \times 63 \times 0,8 \times 366/4 = 0,2$$
 млн к B т*ч в год;

5. Общие затраты электрической энергии на все виды электротранспорта в течение года:

$$E_{EV} = E_{EVtaxi} + E_{EVcomm} + E_{EB} + E_{EVdiff} = 10,38+4,87+3,2+0,2 = 18,6$$
 млн кВт*ч в год.

где:

Е_{Е / tахі} - количество электроэнергии, потребляемой электромобилем в режиме такси;

N_{EVtaxi} - количество электромобилей, работающих в режиме такси;

 $\mathsf{E}_{\mathsf{Evcomm}}$ - количество электрической энергии, потребляемой электромобилем в режиме общего пользования;

N_{EVcomm} - количество электромобилей в режиме общего пользования;

Сев - средняя емкость аккумулятора электромобиля;

Э_{ЭБ} - количество электрической энергии, потребляемой электробусом в режиме ежедневного использования;

Неб - количество электробусов в ежедневной эксплуатации;

Сев - средняя емкость аккумулятора электробуса;

Е_{Е∨diff} - количество электрической энергии, потребляемой различными транспортными средствами в режиме общего использования;

N_{EVdiff} - количество различных транспортных средств в режиме общего использования;

С_{ЕУ diff} - средняя емкость аккумулятора различных автомобилей;

E_{EV} - суммарное количество электрической энергии, потребляемой электротранспортом;

Kz – коэффициент использования емкости аккумулятора (в среднем около 20% емкости аккумулятора сохраняется в резерве, и не используется);

D – количество дней в году;

Принимая во внимание, что средний объем произведенной электроэнергии в энергосистеме Таджикистана в 2023 году составил 21,8 млрд кВт*ч в год [3], суммарный объем потребления электроэнергии электротранспортом в Таджикистане, по данным проведенного расчета, составляет 18,6 млн кВт*ч в год, что примерно равно 0,1% от общего объема электроэнергии, производимой в Таджикистане за год.

Заключение

Таджикистан, имеющий теплое климатическое условие, где продолжительность солнечного сияния колеблется от 2100 до 3170 часов в год имеет оптимальные климатические условия для эффективной эксплуатации автомобилей на электрической тяге с автономным источником энергии.

На сегодняшний день во всем мире наблюдается постепенный отказ от автомобилей, работающих на нефтепродуктах, и переход на экологически чистые транспортные средства. Это является одним из альтернативных и, несомненно, перспективных направлений развития и "эволюции" транспортной отрасли, способствующим снижению вредных выбросов и улучшению экологической ситуации.

Таким образом, исследование в данной области является актуальным, поскольку поставленная цель по снижению зависимости транспортной отрасли от нефтепродуктов и целесообразному использованию возможностей энергетической системы страны сейчас и в будущем будет оставаться актуальной.

преимушества и потенциал энергетического сектора Республики Таджикистан, целесообразным является равитие инфраструктуры зарядных станций для электромобилей, а также увеличение троллейбусно-электробусного парка в крупных городах и в последующем в более мелких городах с соответствующей инфрастурктурой энергообеспечения. Также перспективным шагом в дальнесрочной развитие инфраструктуры преимущественно перспективе может быть железных дорог электрифицированными. Для этого темпы развития инфраструктуры зарядных станций должны опережать темпы расширения парка электротранспорта. Кроме этого, должен быть решен вопрос беспрепятственного размещения зарядного оборудования личного пользования на парковочных зонах жилых районов.

Развитие электрифицированного транспорта, во-первых, даст возможность реализовать недоиспользованный потенциал электростанций (особенно летом в период снижения спроса со стороны населения, а также при завершении строительства Рогунской ГЭС), во-вторых, даст возможность развития транспортной отрасли при использовании более дешевой и чистой, с точки зрения экологии, энергии, а также стимулирования экономики для дальнейшего его развития, так как ценообразование продовольственных продуктов прежде всего зависит от цен углеродного топлива, импортируемого из-за рубежа.

Как показывает практика, государственная политика в вопросе развития электротранспорта играет ключевую роль, поэтому описанные мероприятия должны активно внедряться государством для достижения целевых показателей развития альтернативного транспорта.

Рецензент: Мирзозода Б.М. — қ.т.н., доцент қафедры РЗ и АЭ, ПППУ им. ақад. М.С. Осими

Литература

- 1. Послание Президента Республики Таджикистан уважаемого Эмомали Рахмона «Об основных направлениях внутренней и внешней политики республики» город Душанбе 23.12.2022;
- 2. Электронный pecypc: https://tj.sputniknews.ru/20221215/import-nefteprodukti-tajikistan-1053543656.html (дата обращения 31.12.2022г);
- 3. Электронный ресурс: https://tj.sputniknews.ru/20240305/elektrichestvo-vyrabotka-eaeu-tajikistan-1061946058.html (дата обращения 24.06.2024г);

- 4. Постановление Правительства Республики Таджикистан "О программе развития электротранспорта в Республике Таджикистан", №532 от 31 октября 2022 года. Электронный ресурс: https://adlia.tj/show_doc.fwx?Rgn=143617 (дата обращения 24.06.2024г);
- 5. Колян Н. С. Прогнозная оценка потенциального рынка электромобилей и эффектов снижения выбросов парниковых газов в России / Колян Н. С., Плесовских А. Е., Гордеев Р. В // Journal of Applied Economic Research 2023. Т.22, № 3. С. 497–521.
- 6. Электронный ресурс: https://www.tadviser.ru/index.php/Статья:Электромобили(мировойрынок)#citenote-17 (дата обращения 24.06.2024г);
- 7. Электронный ресурс: https://asiaplustj.info/ru/news/tajikistan/economic/20230801/mintrans-tadzhikistana-nazval-glavnuyu-problemu-s-ispolzovaniem-elektromobilei?ysclid=lxt4z25lx7480552313 (дата обращения 24.06.2024);
- 8. Электронный pecypc: https://about.bnef.com/blog/lithium-ion-battery-pack-prices-rise-for-first-time-to-an-average-of-151-kwh/ (дата обращения 1.07.2024г);
- 9. Асадов Д.Г. Обоснование оптимального количества зарядных станций электромобилей // Международный научный журнал. -2011. -№ 5. С. 131-135.
- 10. Aiqiang Pan, Teng Zhao, Haidong Yu, Yan Zhang. Deploying Public Charging Stations for Electric Taxis: A Charging Demand Simulation Embedded Approach // IEEE Access. $-2019.-N_{2}7.-C.$ 17412-17424.
- 11. Электронный ресурс: https://halva.tj/news/zhiteli_tadzhikistana_za_2023_god_priobreli_okolo_3_3_tys_elektromobiley_/ (дата обращения 1.07.2024г);
- 12. Электронный ресурс: https://avesta.tj/2023/12/29/tadzhikistan-uvelichil-import-elektromobiliej-v-uhodyashhem-godu/?ysclid=ly2wqntw3z16804519 / (дата обращения 1.07.2024г);
- 13. Электронный ресурс: https://www.statista.com/outlook/mmo/passenger-cars/tajikistan/ (дата обращения 1.07.2024г);

СВЕДЕНИЯ ОБ ABTOPE – МАЪЛУМОТ ДАР БОРАИ МУАЛЛИФ – INFORMATION ABOUT AUTHOR

AUTHOR						
TJ	RU	EN				
Буломзода Камол Хикмат	Гуломзода Камол Хикмат	Gulomzoda Kamol Hikmat				
н.и.т., сардори шуъбаи рушди	к.т.н., начальник отдела развития	Ph.D., Head of the Department for				
хизматрасонихои логистикй,	логистических услуг, проектов и	Development of Logistics Services,				
лоихахо ва равобити	международного	Projects and International Cooperation,				
байналмилалй, м.калон	сотрудничества,	senior lecturer				
	ст.преподаватель					
Муассисаи давлатии "Наклиёти	Государственное учреждение "Автомобильный транспорт и	State Institution "Automobile transport				
автомобили ва хизматрасонии	"Автомооильный транспорт и	and logistics services" of the Ministry				
логистикй"-и вазорати наклиёти	логистическое обслуживание"	of Transport of the Republic of				
Чумхурии Точикистон,	министерства транспорта	Tajikistan, TTU named after				
ДТТ ба номи академик	Республики Таджикистан,	acadevician M.S.Osimi				
М.С.Осимй	ТТУ имени академика					
	М.С.Осими					
	e. mail: kamol-1804@mail.ru					

METAЛЛУРГИЯ ВА МАВОДШИНОСЙ - МЕТАЛЛУРГИЯ И MATEPИAЛОВЕДЕНИЕ - METALLURGY AND MATERIALS SCIENCE

УДК 546.56

КОМПЛЕКСХОСИЛКУНИИ МИС (II) БО 1-МЕТИЛ-2-МЕРКАПТОИМИДАЗОЛ ДАР МАХЛУЛХОИ ОБЙ

А.Х. Рахимзода, С.М. Сафармамадзода, М.М. Сангов

Донишгохи миллии Точикистон

Бо усули потенсиометрй раванди комплексхосилшавии Cu (II) бо 1-метил-2-меркаптоимидазол (L) омухта шуд. Нишон дода шуд, ки Cu (II) бо 1-метил-2-меркаптоимидазол метавонад вобаста ба таносуби моддахои ба реаксия дохилшаванда пайвастахои таркибашон Cu₂L, CuL₂, CuL₄ ва CuL₆ –ро хосил кунад. Коркарди натичаи тадқиқотхои потенсиометрй бо истифода аз барномаи компютерии Constant Evaluator (KEV) имконият дод, ки собитахои устувории хосилшавй ва баромади комплексхо муайян карда шавад: $lg\beta_1=7,62,\ lg\beta_2=13,36\ lg\beta_3=18,43,\ lg\beta_{(димер)}=7,83$.

Калидвожахо: комплексхосилкунй, мис (II), 1-метил-2-меркаптоимидазол, собитахои устуворй.

КОМПЛЕКСООБРАЗОВАНИЕ МЕДИ (II) С 1-МЕТИЛ-2-МЕРКАПТОИМИДАЗОЛОМ В ВОДНОМ РАСТВОРЕ

А.Х. Рахимзода, С.М. Сафармамадзода, М.М. Сангов

Потенциометрическим методом изучен процесс комплексообразования Cu(II) с 1-метил-2-меркаптоимидазолом (L). Показано, что Cu(II) с 1-метил-2-меркаптоимидазолом может образовывать соединения Cu_2L , CuL_2 , CuL_4 и CuL_6 в зависимости от соотношения реагентов. Обработка результатов потенциометрических исследований с помощью компьютерной программы Constant Evaluator (KEV) позволила определить константы устойчивости образования и выхода комплексов: $lg\beta1=7,62$, $lg\beta2=6,74$, $lg\beta3=507$, $lg\beta$ (димер)=7,83.

Ключевые слова: комплексообразование, медь (II), 1-метил-2-меркаптоимидазол, константы устойчивости.

COMPLEXFORMAIOH OF COPPR (II) WITH 1-METHUL-2-MERKAPTOIMIDAZOLE IN ABUEOUS SOLUTION

A.H. Rahimzoda, S.M. Safarmamadzoda, M.M. Sangov

The complexation process of Cu (II) with 1-methyl-2-mercaptoimidazole (L) was studied using the potentiometric method. It was shown that Cu (II) with 1-methyl-2-mercaptoimidazole can produce Cu2L, CuL2, CuL4 and CuL6 compounds, depending on the ratio of the reactants. The processing of the results of the potentiometer studies using the Constant Evaluator KEV computer program made it possible to determine the stability constants of the formation and output of the complexes: $lg\beta 1=7,62$, $lg\beta 2=13,36$, $lg\beta 3=18,43$, $lg\beta$ (dimer)=7.83.

Keywords: complexation, copper (II), 1-methyl-2-mercaptoimidazole, stability constants.

Мукаддима

Мис барои организмҳои зинда яке аз элементҳои муҳим ба шумор рафта, дар раванди фотосинтез ва аз худкунии нитроген аз чониби растаниҳо иштирок мекунад. Нақши мис дар синтези сафедаҳо, крахмал ва витаминҳо низ хеле калон аст. Дар замони ҳозира таваччуҳи тадқиқотчиёни соҳаи химияи пайвастҳои координатсионие, ки хосияти баланди биологӣ ва каталитикӣ доранд, нигаронида шудааст. Пайвастҳои координатсионӣ, дар баробари дигар пайвастҳои химиявӣ, дар соҳаҳои гуногуни хочагии халқ аз қабили истеҳсолоти химиявӣ, фарматсевтӣ, биотехнологӣ ва ғайра мавриди истифодаи васеъ қарор доранд. Дар бисёр маврид хосияти баланди биологӣ ё каталитикии пайвасти координатсионӣ аз табиати металл ё лиганд вобастагӣ дорад. Мис яке аз элементҳои аз чиҳати биологӣ фаъол буда, комплексҳосилкунандаҳои хуб ба ҳисоб меравад.

Дар адабиёт оид ба раванди комплексхосилкунии мис (II) бо лигандхои органикй ва 1-метил-2-меркаптоимидазол (L) бо d-металлхои интиколй маълумот оварда шудааст. Муаллифони кори [1] усули титронидани потенсиометрро барои муайянкардани собитахои устувории комплексхои Cu(II), Zn(II), Ni(II), Co(II), Mn(II) бо L-треонин ва кислотаи аденозинтрифосфат дар махлули обй истифода намудаанд. Муайян карда шудааст, ки заррахои комплексии шакли димерии ин металхо бо L-треонин ва кислотаи аденозинтрифосфат аз шаклхои мономерии онхо дида устувортаранд. Дар кори [2] мухаккикон раванди комплексхосилкунии мис (II)-ро бо 1,2,4-триазолтиол дар консентратсияхои гуногуни кислотахои H₂SO₄, HBr, HNO₃ ва HCl дар хароратхои 273-338 К омухта, собитахои устувории онхоро вобаста ба харорат ва консентратсияи кислота муайян кардаанд. Холикова Л.Р. шароити синтези пайвастагихои комплексии мис (II) -ро бо бензалтиосемикарбозон ва парааминобензолсулфамид коркард намуда, таркиб ва сохти пайвастхоро бо усулхои гуногуни физикй-химиявй муайян намудааст [3]. Раванди комплексхосилкунии мис (II) бо 1-метил-2-меркаптомидазол дар махлулхои НХ,

ки X CI-, Br-, SO42-, NO3- мебошад, дар консентратсияхои 0,5-7 мол/л ва харорати 273-338К бо усули титронидани потенсиометрй дар кори [4] омухта шудааст. Муайян шудааст, ки мис (II) бо 1-метил-2-меркаптомидазол зинагй ба реаксия дохил шуда чор зарраи комплексии таркибашон [CuL(H_2O) $_5$] $^{2+}$, [CuL $_2$ (H_2O) $_4$] $^{2+}$, [CuL $_3$ (H_2O) $_3$] $^{2+}$, ва [CuL $_4$ (H_2O) $_2$] $^{2+}$ -ро хосил мекунанд. Қиматхои собитахои комплексхои хосилшуда дар харорати 298К мувофикан чунинанд: lgK $_1$ = 5,57, lgK $_2$ = 4,52 lgK $_3$ = 3,71 lgK $_4$ = 2,87. Дар кори [5] муаллифон шароити оптималии синтези пайвастагихои комплексии рений (V)-ро бо 1-метил-2-меркаптоимидазолом коркард намуда, пайвастагихои комплексии таркибашон аз як то чор молекулаи лиганд доштаро хосил намудаанд. Муаллифон дар кори [6] бо усули препаративии химиявй шароити хосилкунии пайвастхои комплексии нукраи (I)-ро бо 1-метил-2-меркаптоимидазол дар махлули обй коркард намуда, таркиб, сохт, собитахои устуворй ва функсияхои термодинамикии пайвастагихои комлексии хосилнамудаашонро муайян намуданд. Нишон дода шудааст, ки нукраи (I) бо 1-метил-2-меркаптоимидазол хангоми барзиёд будани лиганди органикй пайвастагии дар об халшавандаи таркибаш [AgL $_3$]+-ро хосил мекунад.

Аз таҳлили адабиёт бармеояд, ки комплексҳосилкунии мис (II) бо 1-метил-2-меркаптомидазол дар маҳлулҳои кислотаҳои минералии консентратсияшон баланд омуҳта шуда, чунин таҳқиқот дар маҳлулҳои обӣ ва ҳалкунандаҳои органикӣ гузаронида нашудаанд. Аз ин рӯ, омуҳзиши раванди комплексҳосилкунии мис (II) бо 1-метил-2-меркаптомидазол дар маҳлули обӣ ва муайянкунии собитаҳои уствории пайвастаҳои комплексии ҳосилшаванда аҳаммияти муҳимми назариявӣ ва амалӣ дорад

Қисми тацрибавй

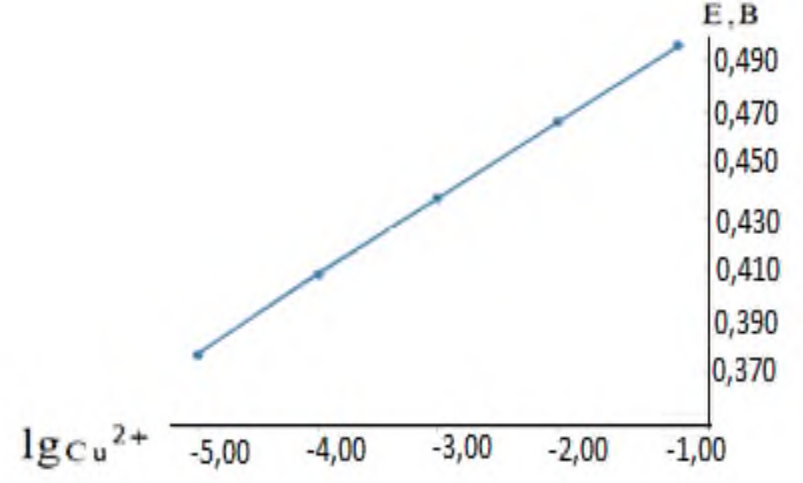
Дар кори мазкур ба сифати моддахои ибтидой $Cu(NO_3)_2$ бо тозагии (т.б.т.) ва 1-метил-2-меркаптомидазол бо тозагии (х.т) истифода шудааст. Консентратсияи аввалаи $(CuNO_3)_2$ $1\cdot 10^{-3}$ мол/л буда, аз 1-метил-2-меркаптомидазол ба $1\cdot 10^{-2}$ мол/л баробар буд. Барои ом \bar{y} зиши раванди комплексхосилкунии мис (II) бо 1-метил-2-меркаптомидазол усули титронидани потенсиометр \bar{u} истифода карда шуд. Потенсиали система хангоми титркунии потенсиометр \bar{u} бо истифода аз pH-метри модели PHS-3CB бо дақиқии ± 0.1 мВ чен карда шуд. Қимати потенсиали мувозинатии электроди индикатор \bar{u} дар давоми 5-10 дақиқа гирифта мешуд. Ба сифати электроди индикатор \bar{u} электроди индикатор \bar{u} электроди индикатор \bar{u} электроди хлорнукраг \bar{u} истифода гардид. Раванди комплексхосилшав \bar{u} дар мухитхои об \bar{u} бо қувваи ионии 0,1 мол/л (КСІ) ом \bar{u} хта шудааст. Титронидани потенсиометр \bar{u} се маротиба гузаронида шуда, барои хисобкунихо қимати миёнаи потенсиал истифода гардид. Харорат дар ячейка бо ёрии хаммомчаи об \bar{u} ба таври доим \bar{u} нигох дошта шуд. Барои муайянкунии собитахои умумии устувории комплексхои мис (II) бо 1-метил-2-меркаптомидазол барномаи муосири компютерии онлайнии KEV [7] истифода бурда шуд.

Мухокимаи натичахо

Таҳлили адабиёти илмй нишон дод, ки электродҳои навъи якум ва электродҳои ион-селективй барои омӯзиши комплексҳосилкунии ионҳои металлҳо васеъ истифода бурда мешавад. Барои санҷидани баргардандагии электроди ион-селективии Cu²+, тағйирёбии потенсиали элементи галвании Cu²+/ Cu,C_{1м-2-ми} | Ag,AgCl/Cl⁻-ро дар ҳудуди консентратсияҳои 1⋅10⁻¹ -1⋅10⁻⁵ мол/л Cu(NO₃)₂ вобаста ба тағйирёбии консентратсияи ионҳои Cu²+ бо роҳи таҷрибавй санҷидем, ки натиҷаи он дар ҷадвали 1 оварда шудааст.

№	С _{Си2+} , мол/л	Е, мВ
1	1·10 ⁻¹	273,5
2	1.10-2	244,6
3	1.10-3	215,3
4	1.10-4	186,4
5	1.10-5	155,4

Кунчи майли росхаттаи муодилаи вобастагии $E=E^{\theta}+\theta lg_{Cu}^{2+}$ (расми 1) 0,02944±0,001В-ро ташкил дод, ки он ба кунчи назариявй (аз руи муодилаи Нернст) хеле наздик аст. Потенсиали стандартии электродии электроди ионселективй, ки аз вобастагии $E=-lg_{Cu}^{2+}$ муайян карда шуд, ба 0,525 В баробар аст.



Расми 1 – Вобастагии E аз консентратсияи ионхои Cu^{2+}

Барои ҳисоб намудани собитаҳои устувории зарраҳои комплексие, ки дар системаи Cu^{2+} -L- H_2O ҳосил мешаванд, аз барномаи компютерии онлайни "KEV", ки дастурамали истифодаи он дар кори [7] оварда шудааст, истифода намудем. Барои ҳисоб намудани собитаҳои устуворӣ бо барномаи компютерии "KEV" тағйирёбии потенсиали электродии системаи Cu^{2+} / Cu^0 ҳангоми титронидани потенсиометрӣ, кунҷи майли система, консентратсияҳои мис ва лиганд дар ҳар як нуқтаи титронӣ, инчунин, реаксияи протонизатсияи 1-метил-2-меркаптоимидазол (IgK=2,55) [9], реаксияи гидролизи намаки мис аз рӯи зинаи якум ва константаи гидролизи он, IgK=9,86 [8], инчунин, реаксияҳое, ки эҳтимолияти гузариши онҳо ҳангоми таъсири Cu^{2+} бо L мавҷуд аст, дар шакли матритса ба барнома ворид карда мешавад:

$$H^+ + L \stackrel{\longrightarrow}{\longleftarrow} HL^+$$
 (1)

$$Cu^{2+} + \rightleftharpoons (CuOH)^+$$
 (2)

$$2Cu^{2+}+L \rightleftharpoons [Cu_2L]^{2+} \tag{3}$$

$$Cu^{2+} + L \rightleftharpoons [CuL]^{2+}$$
 (4)

$$Cu^{2+} + 2L \rightleftharpoons [CuL_2]^{2+}$$
 (5)

$$Cu^{2+} + 4L \rightleftharpoons [CuL_4]^{2+} \tag{7}$$

Дар чадвали 2 консентратсияҳои мувозинатии он зарраҳои комплексие, ки баромади ҳосилшавиашон дар системаи Cu²+ -L-H₂O аз 10% зиёд аст, оварда шудааст (консентратсияҳои мувозинатӣ бо истифода аз барномаи "KEV" ҳисоб карда шудаанд).

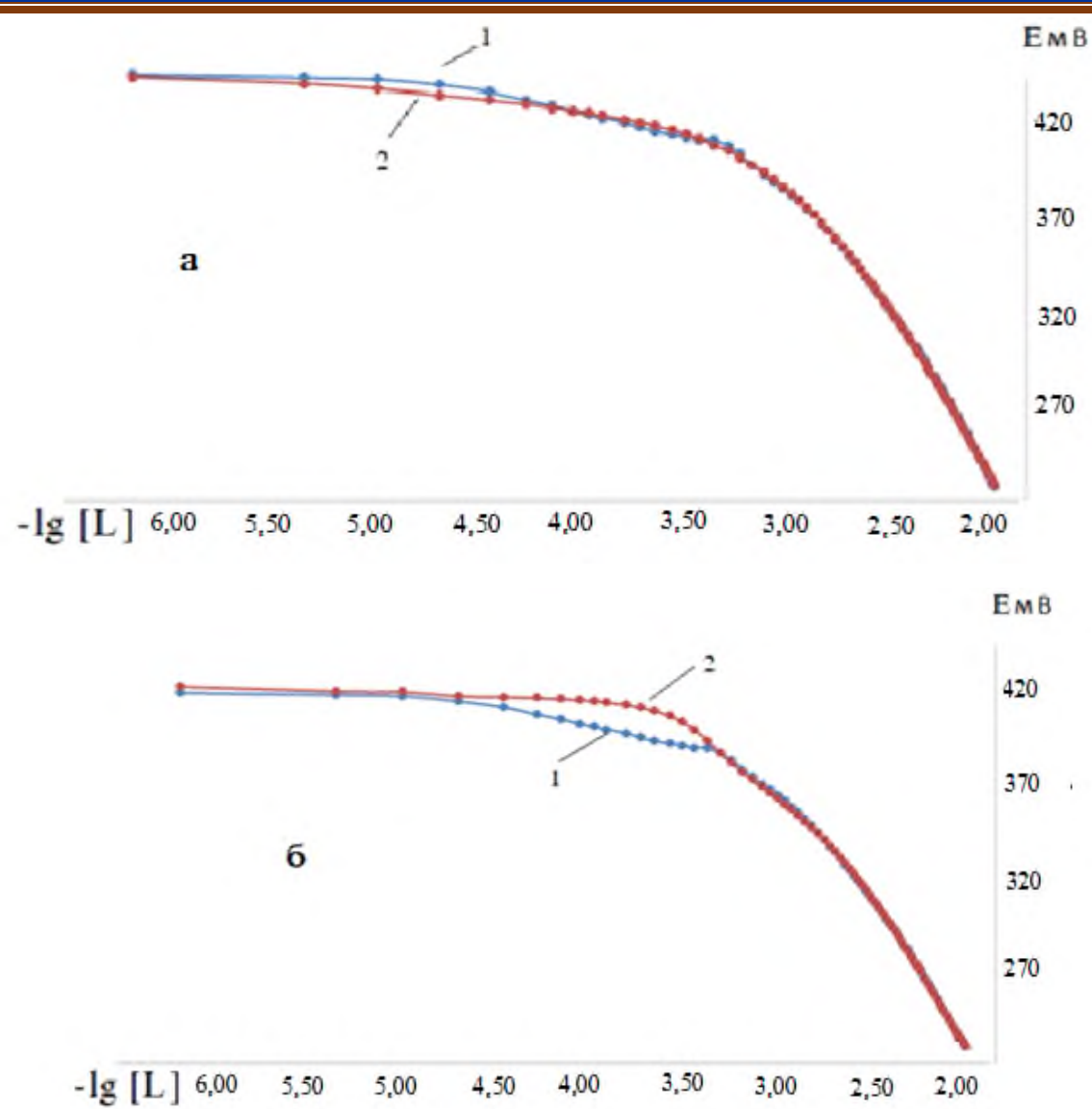
Хамин тавр барномаи KEV дар системаи Cu^{2+} -L- H_2O хосилшавии заррахои комплексии таркибашон $[Cu_2L]^{2+}$, $[CuL_2]^{2+}$, $[CuL_4]^{2+}$, $[CuL_6]^{2+}$ -ро аз р \bar{y} и реаксияхои 3, 5, 7 ва 9 имконпазир мешуморад. Дигар шаклхои заррахои комплекс \bar{u} ба андозаи кам хосил мешаванд ва муайян кардани консентратсия ва собитахои устувории онхо ғайриимкон аст.

Эътимоднокии хосилшавии заррахои комплексй аз р \bar{y} и реаксияхои 3, 5, 7 ва 9 бо қаноатбахш мувофиқ омадани тағйиребии потенсиали назарияв \bar{u} ($E_{\text{наз}}$) бо потенсиали тачрибав \bar{u} ($E_{\text{тач}}$) дар хар як нуқтаи титронидан исбот карда мешавад (расми 2 а). Дар сурати ба назар нагирифтани хосилшавии пайвастаи комплексии шакли димер \bar{u} $E_{\text{тач}}$ бо $E_{\text{наз}}$ аз якдигар фарк мекунанд (расми 2 б).

 $\mbox{\sc Var}$ Чадвали 2 — Тағйирёбии потенсиали системаи $\mbox{\sc Cu}^{2+}/\mbox{\sc Cu}^0$ ҳангоми титронидани потенсиометр $\mbox{\sc B}$ ва ҳисобкуниҳои консентратсияҳои мувозинатии моддаҳои аввала ва маҳсули реаксия, дар ҳарорати 298 К (бо истифода аз барномаи "KEV")

E, мВ [Cu] [L] [HL] [Cu ₂ L] ²⁺ [CuL ₂] ²⁺ [CuL ₂] ²⁺ [CuL ₄] (тачр.) мол/л мол/л мол/л мол/л мол/л мол/л 444,9 0,00092 6,85E-07 1,14E-11 3,92E-05 1,81E-08 4,63E	
	т І мол/л
$ 14449 000000 685F_07 114F_11 302F_05 181F_08 462F_08 462F_$	
443,7 0,000686 4,81E-06 7,98E-11 0,000153 6,63E-07 8,38E	
442,9 0,000544 1,1E-05 1,83E-10 0,000221 2,76E-06 1,83E	
439,7 0,000426 2,24E-05 3,71E-10 0,000275 8,94E-06 2,45E	
436,0 0,000341 3,93E-05 6,51E-10 0,000309 2,2E-05 1,86E	
431,6 0,000284 5,94E-05 9,82E-10 0,000325 4,2E-05 8,1E	
428,7 0,000246 8,05E-05 1,33E-09 0,00033 6,68E-05 2,36E	
397,4 2,24E-05 0,000783 1,24E-08 2,67E-05 0,000576 0,000	
392,5 1,65E-05 0,000886 1,39E-08 1,64E-05 0,000544 0,000	233 2,14E-05
388,0 1,22E-05 0,000993 1,55E-08 9,93E-06 0,000502 0,000	271 3,12E-05
385,2 8,96E-06 0,001103 1,71E-08 6E-06 0,000457 0,000	304 4,32E-05
381,7 6,64E-06 0,001216 1,88E-08 3,63E-06 0,000411 0,000	332 5,73E-05
378,8 4,95E-06 0,00133 2,04E-08 2,21E-06 0,000367 0,000	355 7,32E-05
374,0 3,71E-06 0,001446 2,2E-08 1,35E-06 0,000325 0,000	9,06E-05
371,3 2,8E-06 0,001563 2,37E-08 8,31E-07 0,000287 0,000	0,000109
366,1 1,99E-06 0,001713 2,57E-08 4,57E-07 0,000244 0,000	391 0,000134
362,7 1,42E-06 0,001865 2,78E-08 2,53E-07 0,000206 0,000	392 0,000159
358,0 1,02E-06 0,00202 2,99E-08 1,42E-07 0,000174 0,000	0,000185
353,6 7,38E-07 0,002177 3,19E-08 8,03E-08 0,000147 0,00	0,00021
349,4 5,39E-07 0,002338 3,4E-08 4,59E-08 0,000123 0,000	368 0,000235
346,4 3,96E-07 0,0025 3,61E-08 2,65E-08 0,000104 0,000	0,000258
342,7 2,93E-07 0,002665 3,82E-08 1,55E-08 8,71E-05 0,000	0,00028
337,9 2,18E-07 0,002832 4,02E-08 9,14E-09 7,34E-05 0,000	322 0,000301
334,9 1,64E-07 0,003001 4,23E-08 5,47E-09 6,19E-05 0,000	0,00032
331,5 1,24E-07 0,00317 4,43E-08 3,32E-09 5,24E-05 0,000	0,000337
328,2 9,51E-08 0,003341 4,64E-08 2,04E-09 4,44E-05 0,000	0,000353
325,6 7,33E-08 0,003511 4,84E-08 1,28E-09 3,78E-05 0,000	0,000367
321,8 5,7E-08 0,003682 5,03E-08 8,08E-10 3,23E-05 0,00	0,000379
318,5 4,47E-08 0,003852 5,23E-08 5,2E-10 2,78E-05 0,000	0,00039
316,2 3,53E-08 0,004021 5,42E-08 3,4E-10 2,39E-05 0,000	211 0,000399
313,2 2,82E-08 0,00419 5,61E-08 2,25E-10 2,07E-05 0,000	199 0,000407
311,0 2,27E-08 0,004357 5,79E-08 1,51E-10 1,8E-05 0,000	0,000414
~ ~ ~ ~ ~ ~ ~	~
258,3 3,52E-10 0,008651 9,88E-08 7,25E-14 1,1E-06 4,51E	-05 0,000394
254,5 2,65E-10 0,00903 1,02E-07 4,29E-14 9,05E-07 4,04E	-05 0,000384
251,0 2,05E-10 0,009385 1,05E-07 2,67E-14 7,56E-07 3,64E	-05 0,000374
248,0 1,62E-10 0,009718 1,08E-07 1,72E-14 6,4E-07 3,31E	-05 0,000364
244,2 1,24E-10 0,010107 1,11E-07 1,05E-14 5,3E-07 2,96E	-05 0,000353
241,2 9,72E-11 0,010468 1,13E-07 6,69E-15 4,46E-07 2,67E	-05 0,000342
238,2 7,79E-11 0,010804 1,16E-07 4,44E-15 3,81E-07 2,43E	-05 0,000331
235,0 6,12E-11 0,011177 1,19E-07 2,83E-15 3,2E-07 2,19E	
232,2 4,92E-11 0,011522 1,21E-07 1,89E-15 2,74E-07 1,99E	
229,6 4,03E-11 0,01184 1,24E-07 1,3E-15 2,37E-07 1,81E	
227,5 3,36E-11 0,012136 1,26E-07 9,28E-16 2,07E-07 1,67E	· · ·

Бояд қайд кард, ки пайвастаи комплексии димерй дар аввали титронидани потенсиометрй ҳангоми дар маҳлул барзиёд будани консентратсияи мис (II) аз 1-метил-2-меркаптоимидазол ҳосил мешавад. Баъдан бо зиёдшавии консентратсияи 1-метил-2-меркаптоимидазол дар маҳлул ҳосилшавии ин шакли комплексй ҳеле суст шуда, пайвастаҳои мономерй ҳосил мешаванд.



Расми 2 — Вобастагии 1- E_{may} ва 2- E_{has} аз логарифмаи манфии консентратсияи 1-метил-2-меркаптоимидазол ҳангоми титронидани потенсиометр \bar{u} : а) бо назардошти ҳосилшавии пайвастаи комплексии шакли димер \bar{u} ; б) ҳангоми ба назар нагирифтани ҳосилшавии пайвастаи комплексии шакли димер \bar{u}

Дар чадвали 3 қиматҳои собитаҳои умумии устувории комплексҳои мис (II) бо 1-метил-2-меркаптоимидазол, ки бо истифода аз барномаи "KEV" ҳисоб шудаанд, оварда шудааст.

4адвали 3 — Қиматҳои собитаҳои умумии устувории комплексҳои мис (II) бо 1-метил-2-меркаптоимидазол дар харорати 298~K~(J=0,1~мол/л~KCl)

T,K	$lg\beta[Cu_2L]^{2+}$,	$lg\beta_1[CuL_2]^{2+}$	$lg\beta_2[CuL_4]^{2+}$	$lg\beta_3[CuL_6]^{2+}$
298	7,83±0,02	7,62±0,025	13,36±0,017	18,43±0,04

Аз чадвали 3 дида мешавад, ки барои пайвастахои комплексии мономерй бо зиёдшавии шумораи молекулахои 1-метил-2-меркаптоимидазол дар сфераи дохила устуворй кам мешавад (собитахои зинагии устуворй дар назар дошта шудааст).

Байни энергияи Гиббс ва собитахои устувори вобастагии зерин чой дорад:

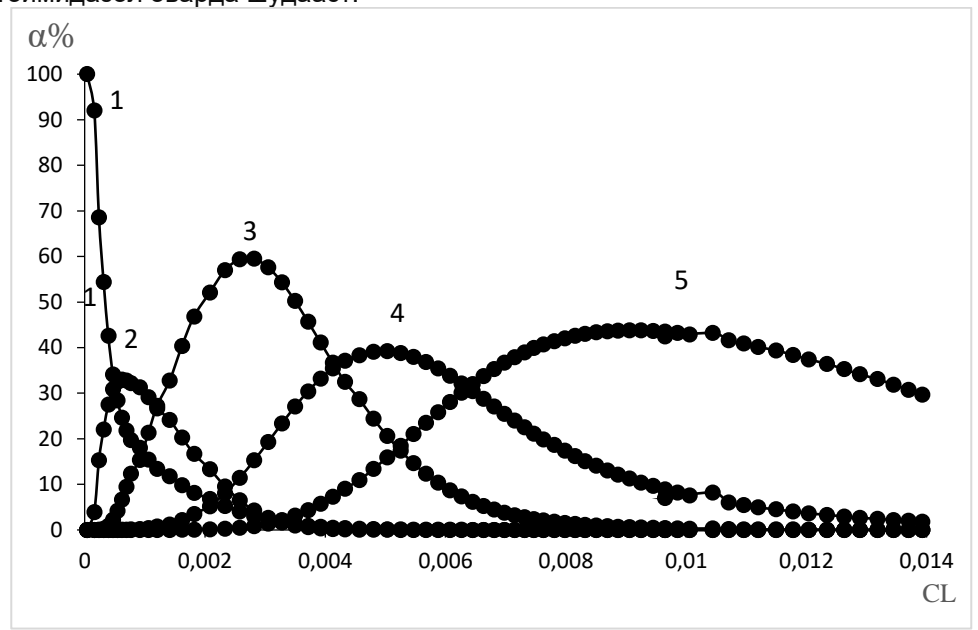
 $\Delta G=-2,3RTlgB_i$.

Бо истифода аз муодилаи ΔG =-2,3RTlgBi энергияи Гиббси хосилшавии пайвастахои комплекси хисоб карда шуд:(чадвали 4)

•	$[Cu_2L]^{2+}$	$[Cu(L)_2]^{2+}$	$[Cu(L)_4]^{2+}$	$[Cu(L)_6]^{2+}$
ΔG	- 44.62	-43.42	-76.13	-105.02
кДж/мол				

Чи тавре дар чадвали 3 дида мешавад, энергияи Гиббс барои ҳамаи зарраҳои комплексй қимати манфй дорад ва барои зарраҳои комплексии шакли мономерй бо тартиби муайян кам мешавад. Қимати манфй гирифтани энергияи Гиббс як омили худ ба худ гузаштани реаксия мебошад.

Дар расми 3 диаграммаи тақсимшавии пайвастҳои комплексй вобаста ба зиёдшавии консентратсияи 1-метил-2-меркаптоимидазол оварда шудааст.



Расми 3 — Диаграммаи тақсимшавии мис ва заррахои комплекс \bar{u} дар системаи Cu —L — H_2O . 1-Cu; 2- $[Cu_2L]^{2+}$; 3- $[CuL_2]^{2+}$; 4- $[CuL_4]^{2+}$ ва 5- $[CuL_6]^{2+}$

Аз расм дидан мумкин аст, ки бо зиёдшавии консентратсияи 1-метил-2-меркаптоимидазол дар система консентратсияи ионхои мис бо як конунияти муайян кам мешавад. Инчунин, мушохида мешавад, ки заррахои комплексй худуди муайяни хосилшавй, чамъшавй ва баъдан гузаришро ба дигар шакли заррахои комплексй доранд. Масалан, зарраи комплексии таркибаш $[CuL_2]^{2+}$ ба таври максималй дар худуди консентратсияхои 0,0025-0,0035 мол/л—и 1-метил-2-меркаптоимидазол хосил мешавад, баъдан бо зиёдшавии консентратсияи 1-метил-2-меркаптоимидпзол дар махлул баромади ин зарраи комплексй кам мешавад, ки сабабаш комплексхосилшавии зинагй буда, комплекси таркибаш $[CuL_2]^{2+}$ ба шакли комплексии таркибаш $[CuL_4]^{2+}$ мегузарад.

Диаграммахои тақсимшавй ҳамчун восита барои муайян кардани ҳудуди ҳосилшавии зарраҳои комплексй ва баромади онҳо вобаста аз консентратсия лиганди органикй васеъ истифода мешаванд. Агар аз диаграммаи тақсимшавй, ки дар расми 3 оварда шудааст, дар дилхоҳ нуқта хатти горизонталй гузаронем, метавонем баромади ҳар як заррачаро вобаста ба консентратсия 1-метил-2-меркаптоимидазол ҳисоб кунем. Масалан, ҳангоми ба 0,0025 мол/л баробар будани консентратсияи 1-метил-2-меркаптоимидазол ҳосилшавии зарраҳои комплексй бо фоиз чунин аст: $[Cu_2L]^{2+}$ -4,25%, $[CuL_2]^{2+}$ -59,49%, $[CuL_4]^{2+}$ -15,26% ва $[Cu(L)_6]^{2+}$ -0,83%.

Хулоса

- **1.** Бо усули потенсиометрй раванди комплексҳосилшавии Cu (II) бо 1-метил-2-меркаптоимидазол (L) омӯхта шуд.
- 2. Нишон дода шуд, ки Cu (II) бо 1-метил-2-меркаптоимидазол метавонад вобаста ба таносуби моддахои ба реаксия дохилшаванда пайвастахои таркибашон Cu₂L, CuL₂, CuL₄ ва CuL₆ –ро хосил кунад.

3. Коркарди натичаи тадқиқотҳои потенсиометрй бо истифода аз барномаи компютерии KEV имконият дод, ки собитаҳои устувории ҳосилшавй ва баромади комплексҳо муайян карда шавад: $lg\beta_1=7,62, lg\beta_2=13,36 lg\beta_3=18,43, lg\beta_{(димер)}=7,83.$

Муқарриз: Пағоев М.М. — н.и.х., ходими пешбари илмии озмоишгохи қорқарди қомплеқсии ашё ва партовҳои саноатии Институти қимиёи ба номи В.И. Ниқитини АМИП

Адабиёт

- 1. Ахусси Аканни Леон. Комплексные соединения меди (II), цинка (II), никеля (II), кобальта (II) и марганца (II) с L-треонином, цитозином и аденозинтрифосфорной кислотой: автореферат дис. кандидата химических наук: 02.00.01 / Рос. ун-т дружбы народов. Москва, 1994. 19 с.
- 2. Гамал Абделазиз, Хуссейн Абделрахман, Комплексные соединения рения (V) и меди(II) с 2-этил-1,3,4-тиадиазоломи 1,2,4-триазолтиолом: автореферат дис. кандидата химических наук: 02.00.01 / Гамал Абделазиз Хуссейн Абделрахман. Душанбе, 2012. 23 с.
- 3. Холикова Лутфия Розыковна. Комплексные соединения меди (II) с производными 1,3,4-тиадиазола и парааминобензолсульфамида: автореферат дис. ... кандидата химических наук: 02.00.01. - Душанбе, 2000. - 19 с.
- 4. Манонов Камолиддин Абдужалилович. Комплексные соединения меди(II) с 1-метил-2-меркаптоимидазолом автореферат дис. . кандидата химических наук: 02.00.01. Душанбе, 2020. 25 с.
- 5. Аминджанов А. А. Комплексные соединения рения (V) с амидными и тиомидными лигандами: диссертация. доктора химических наук: 02.00.01 Иваново, 1992. 42 с
- 6. Содатдинова А.С., Сафармамадзода С.М., Сангов М.М., Абдурахмонов Б.Ф., Ёдалиева М.З. Комплексные соединения серебра с 1-метил-2-меркаптоимидазолом: устойчивость, термодинамические свойства, практическое приложение. Известия АН РТ. 2021.№1 (182). С. 90-99.
- 7. Mehkov, A.N. KEV: a free software for calculating the equilibrium composition and determining the equilibrium constant using UV-Vis and potentiometric data. / A.N. Mehkov, G.A Gamov // Talanta, 2019, Vol. 198, 200 p.
- 8. Назаренко В.А., Антонович В.П., Невская Е.М. Гидролиз ионов металлов в разбавленных растворах. М.: Атомизлат, 1979, 120 с.
- 9. Содатдинова А.С., Сафармамадзода С.М. Устойчивость комплексов серебра с 1-метил-2-меркаптоимидазолом в водно-метанольном растворителе (статья). Химические науки. Международный научно-исследовательский центр. Казахстан-2022. 174-178.

МАЪЛУМОТ ДАР БОРАИ МУАЛЛИФОН-СВЕДЕНИЯ ОБ ABTOPAX-INFORMATION ABOUT AUTHORS

TJ	RU	EN			
Рахимзода Афзалшо Хотам	Рахимзода Афзалшохи Хотам	Rahimzoda Afzalsho Hotam			
докторанти (PhD)	докторант (PhD)	doctoral student (PhD)			
Донишгохи миллии Точикистон	Таджикский национальный	Tajik National University			
	университет				
	E-mail: rakhimafzal@mail ru				
TJ	RU	EN			
Сафармамадзода Сафармамад	Сафармамадзода Сафармамад	Safarmamadzoda Safarmamad			
Муборакшо	Муборакшо	Muboraksho			
доктори илмхои химия,	доктор химических наук,	doctor of chemical sciences,			
профессор, муовини ректор оид	профессор, проректор по науке	professor, vice-rector for science			
ба илм					
Донишгохи миллии Точикистон	Таджикский национальный	Tajik National University			
	университет				
	E-mail: sash65@ mail.ru				
TJ	RU	EN			
Сангов Максуд Махмадюсуфович	Сангов Максуд Махмадюсуфович	Sangov Maksud Makhmadousovich			
ходими пешбари илмии	ведущий научный сотрудник	leading scientific worker of the			
институти илмию тадкикотй	научно-исследовательского	research institute of the			
	института				
Донишгохи миллии Точикистон	Таджикский национальный	Tajik National University			
	университет				
E-mail: sangov2019@mail.ru					

УДК 620

ТАДҚИҚОТИ РАВАНДХОИ ХЎРДАШАВИИ КАВИТАТСИОНЙ ВА СУНБОДАГЙ ХАНГОМИ КОРКАРДИ САЙЁРАВИИ МАРКАЗШИТОБ

И. Мирзоалиев, А.И. Мирзоалиев, Т.А. Хочаев, М.А. Иззатуллоев

Донишгохи техникии Точикистон ба номи академик М.С. Осимй

Дар мақолаи мазкур тадқиқоти равандхои хурдашавии кавитатсионй ва сунбодагй омухта шудааст. Натичаи татқиқотхо нишон медиханд, ки хубобчаи кавитатсионй метавонад дар муддати 0,002 с то диаметри 6 мм афзоиш ёбад ва дар муддати 0,001 с тамоман нобуд шавад. Хангоми кафидани хубобчахо дар хачми хурд, зарбаи нихоят калон ба амал меояд, ки хангоми раванди коркард, онхо аз сатхи маводи коркардашаванда, заррачахои онро канда мегиранд. Инчунин, тахти таъсири кавитатсия хурдашавии сунбодагй низ меафзояд.

Калидвожахо: кавитатсия, гидромеханика, коркарди сайёравии марказшитоб, инерсияи Кориолис.

ИССЛЕДОВАНИЕ ПРОЦЕССОВ КАВИТАЦИОННОГО И АБРАЗИВНОГО ИЗНОСА В ПРОЦЕССАХ ПЛАНЕТАРНОЙ ЦЕНТРОБЕЖНОЙ ОБРАБОТКИ

И. Мирзоалиев, А.И. Мирзоалиев, Т.А. Ходжаев, М.А. Иззатуллоев

В данной статье исследованы процессы кавитационного и абразивного изнашивания. Исследования показали, что при кавитационной обработке пузырьки за 0,002 с могут вырасти, до диаметра 6 мм и полностью исчезнуть за 0,001 с. При схлопывании (взрывании) кавитационных пузырьков в микрообъеме массы обрабатываемого материала развиваются большие ударные нагрузки, которые отрывают мельчайшие частицы с поверхности обрабатываемого материала. Под влиянием кавитации также возрастает абразивный износ обрабатываемого материала.

Ключевые слова: кавитация, гидромеханика, центробежно-планетарная обработка, инерция Кориолиса.

RESEARCH OF CAVITATION IN THE PROCESSES OF ABRASIVE MINING, DURING PLANETARY (ROTATION) CENTRIFUGAL OPERATION

I. Mirzoaliev, A.I. Mirzoaliev, T.A. Khodjaev, M.A. Izzatulloev

This is article, the research of cavitation and abrasive wear processes is studied. Research results show that a cavitation bubble can grow to a diameter of 6 mm in 0.002 s and disappear completely in 0.001 s. During the bursting of bubbles in small size, an extremely large shock occurs, which during the processing process, they tear off the particles from the surface to be processed, the material to be processed. Also, under the influence of cavitation, abrasive wear also increases.

Keywords: cavitation, hydromechanics, centrifugal planetary, Coriolis inertia.

Кавитатсия ходисаи пайдоиши холигихо дар чараёни моеъи харакаткунанда, дар шакли хубобчахо, раххо ё халтахои пур аз бухори хаво, ё ин ки газхои дар моеъ халшуда мебошад [1-5]. Ходисаи мазкур хангоми фишурдашавии чараёни моеъ ки бо суръати баланд харакат мекунад, ба вучуд меояд. Фишор дар ин холат метавонад то фишоре, ки дар харорати додашуда ба фишори бухоршавй мувофикат мекунад, паст шавад, ки сабаби дар дохили моеъ ба вучуд омадани холигй мегардад, дар инхолат холигй бо буғ ва газхои аз моеъ озодшуда пур мешавад. Хубобчахои хосилшударо хубобчахои кавитатсионй меноманд. Андозаи хубобчахои буғию газй дахяки миллиметрро ташкил дода, онхо хамрох бо чараёни моеъ харакат мекунанд. Хангоми ба минтақахои фишори баланд дохил шудан, буғ конденсатсия мешавад, газхои дар хубобча буда дар моеъ хал мешаванд ва ин раванд бо суръати нихоят баланд, таркиши хубобчахоро ба амал меорад. Дар натича дар хачми хурди хубобча зарбае пайдо мешавад, ки ба вайрорншавии сатхй масолехи коркардашаванда оварда мерасонад.

Тадқиқотҳо нишон доданд, ки ҳубобчаи кавитатсионй метавонад дар муддати 0,002с то диаметри 6 мм афзоиш ёбад ва дар муддати 0,001 с тамоман нобуд шавад. Ҳолатҳои муайяни кавитатсионй маълум аст ки он дар масоҳати 1 см², зиёда аз 30 миллион ҳубобчаҳои кавитатсиониро дар муддати 1 сония ба вуҷуд оварда, ва аз байн мебарад

Дар амал кавитатсия дар кубурхо, системахои гидравликй ва чараёнхое, ки дар атрофи паррачархи насосхои марказгурез ва паррачархи турбинахои гидравликй, паррачархи киштихои бахрй мушохида мешавад. Пайдоиши кавитатсия боиси ларзиш, садо ва такондихй мегардад, ки ин ба заиф шудани пайвандхо, шикастани муруватхо, хурдашавии рахпечхо, корношоямии фриксионии пайвандхо, вайроншавии зичкунандахо, фарсудашави ва шикастани чузъхо оварда мерасонад, ки сабаби асосии корношоямии чузъхо шуда метавонад.

Кавитатсияро тавассути тархрезии системаи гидромеханикй кам кардан мумкин аст. Барои ин лозим аст, ки дар хама нуктахои моеъ фишор аз фишори бухоршавй паст нашавад, бинобар ин, фишори моеъ бояд муътадил нигох дошта шавад. Ғайр аз ин, хангоми тархрезии системаи чузъхо, истифодаи маводхои ба кавитатсия тобовар метавонад таъсири манфии онро кам гардонад. Устувории кавитатсионии мавод аз таркиб

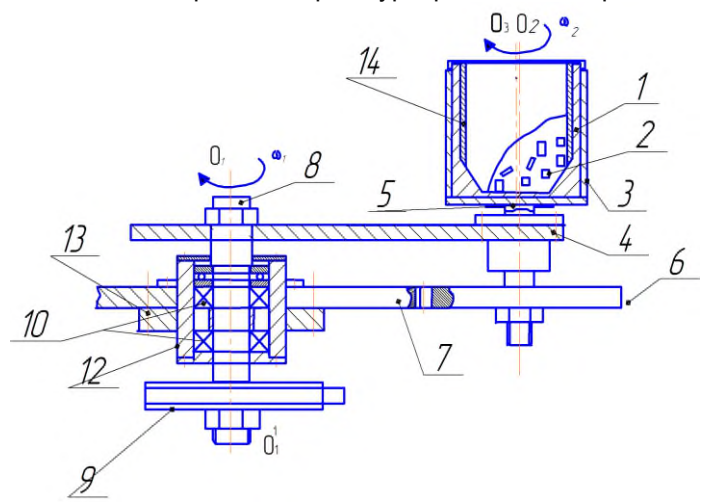
ва сохтори он муайян карда мешавад. Тачрибахо нишон медиханд, ки зиёд намудани таркиби карбон дар пулоди карбондор мустахкамии онро ба маротиб зиёд менамояд.

Аммо, ҳангоми аз 0,8% зиёд намудани карбон дар таркиби ҷузъи аз пулоди карбондор истеҳсолшуда устувории он кам мешавад. Перлитҳои варақагӣ нисбат ба перлитҳои донагӣ тобовартаранд, бинобар ин, истифодаи перлити варақагӣ дар таркиби ҷузъ манфиатовар мебошад.

Ба таркиби пўлод ворид кардани никел ва хром мустахкамии онро тавассути кам кардани микдори феррит ва баланд бардоштани дарачаи парокандагй, зиёд мекунад. Истифодаи графити курашакл, дар ин холат ба мақсад мувофиқ мебошад. Чўянхои ба кавитатсия бештар устувор - ин чўянхои камчавхардодашуда, ки дар таркибашон, 1% Ni, 0,3% Мо доранд, графитхои сфероидй мебошанд. Ғайр аз ин, обутобдихии хароратй, сементатсия, мустахкам намудани сатхи болоии чузъ устувории онро ба кавитатсия зиёд мекунад.

Хангоми коркарди сангхои ранга, хурдашавии кавитатсиониро бо мақсади баланд бардоштани маҳсулнокии коркард истифода намудан мумкин аст.

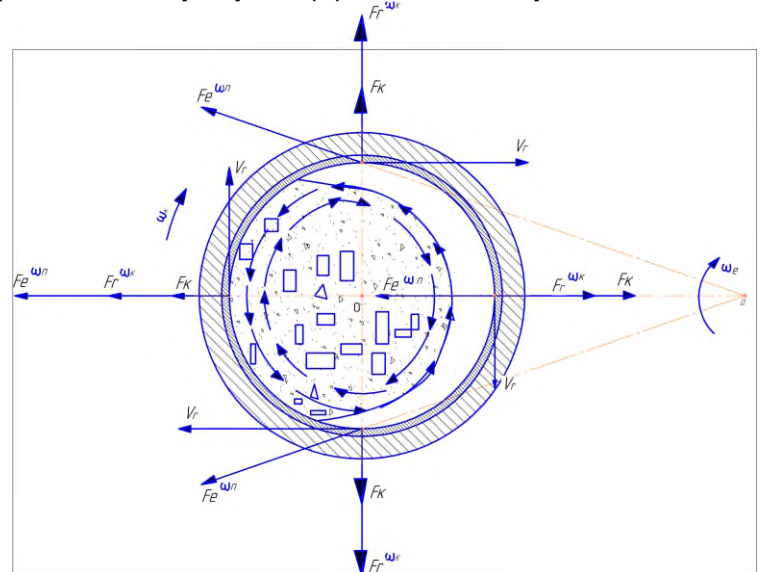
Бо ин мақсад, сохти дастгохи сайёравии марказгурезро дида мебароем.



Расми 1 – Сохти дастгохи марказгурези сайёравй барои коркарди сангхои рангаи табий

Тарзи кори дастгох

Дар расми 2 таъсири қувваҳо (қувваи марказгурез аз даврзании контейнер дар атрофи меҳвари О, қувваи нисбии марказгурез аз даврзании зарф дар атрофи меҳвари О₁ ва таъсири қувваи инерсияи Кориолис) ба нуқтаи материалӣ, дар минтақаҳои гуногуни зарф нишон дода шудааст.



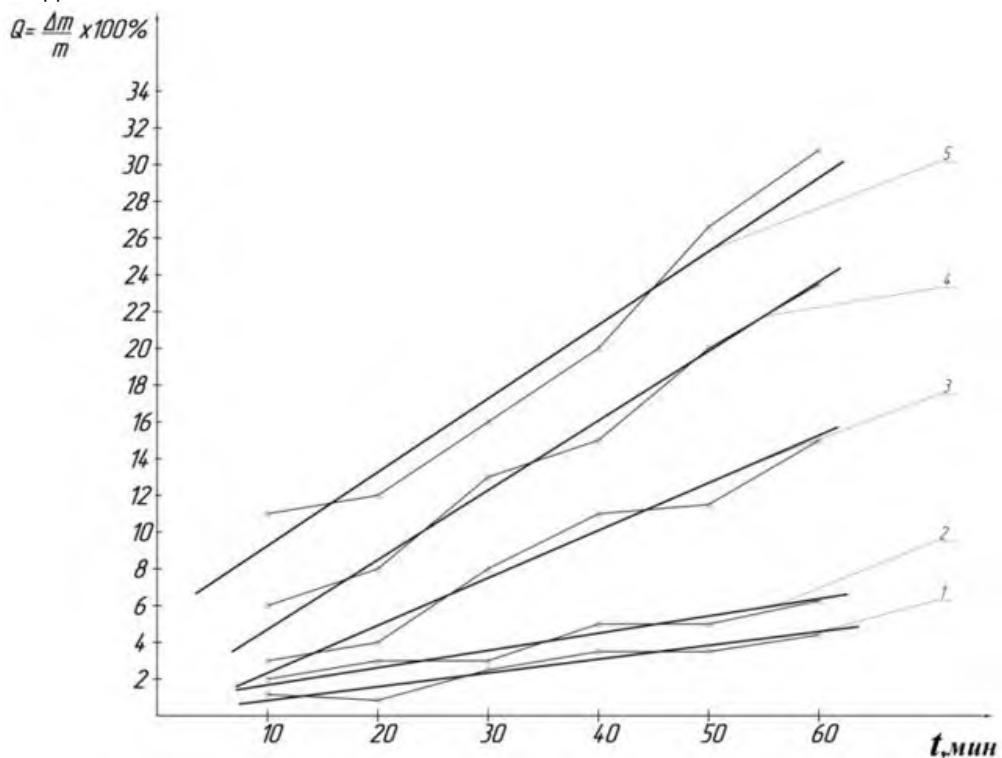
Расми 2 – Нақшаи таъсири қувваҳо, ҳангоми коркарди марказгурези сайёравй

Дар расми 2 раванди гардиши массаи сангҳо ва омехтаи обу масолеҳи сунбодагӣ дар зарф чойгир карда шуда, дар ҳамвории амудӣ бо таъсири қувваҳо, нишон дода шудааст. Даврзанӣ дар зери таъсири қувваҳои мазкур ба беҳтар шудани омехташавии сангҳои ба зарф воридшуда оварда мерасонад, ки ин сифати сатҳҳои коркардшавандаро беҳтар мекунад. Дар зарфи 1 (расми 1) суспензияи масолеҳи сунбодагӣ ва чузъҳои 2-ро чойгир мекунанд. Зарфи 1 чудошаванда буда, дар стакани 3 чойгир карда мешавад, ва тавассути стакан планшайбаи 4, ки дар атрофи меҳвари худ давр мезанад, гузошта мешавад. Дар қисми поёни меҳвари 5, чарҳи дандонадори 6 шинонда шудааст, ки он бо чарҳи дандонадори марказии 7 пайваст мешавад. Планшайбаи 4 дар наварди 8 нишастааст ва ба воситаи он давр мезанад. Даврзанӣ ба наварди 8 аз муҳаррики барҳӣ (дар расми 1 нишон дода нашудааст) ба воситаи таҳвили тасмагӣ ва шкиви 9 интиҳол дода мешавад. Наварди 8 ба воситаи ду адад подшипникҳои радиалии 10 ва подшипники такякунандаи 11, ки ба втулкаи 12 шинонда шудаанд, давр мезанад. Втулкаи 12 ва чарҳи дандонадори 7, дар корпус (бадана) мустаҳкам шинонида шудааст.

Тавассути конструксияи мазкур таносуби басомади гардиши планшайбаи 4 (гардиши интиколшаванда) ва зарфхоро (гардиши нисбй) тағйир додан мумкин аст. Втулкаи бо маводи сунбодагй рўйпушшудаи 14, дар кисми силиндрии зарфи 1 чойгир карда мешавад, ки ба хурдашавии иловагии мавод аз таъсири ба ҳам

соишхурии сатхи намунахо мусоидат намуда, раванди коркардро шадидтар мекунад.

Хангоми давр задани планшайба, зарфхои 1 харакати планетариро (харакати сайёра монандро) ичро мекунанад - яъне даврзанй дар як вакт хам дар атрофи мехвари $0_10_1^1$ ва $0_20_2^1$, ичро мегардад. Мехвари $0_20_2^1$ нисбат ба мехвари симметрияи зарфхо ба таври эксентрикй чойгир аст. Бинобар ин, бо ёрии он ба маводхои кокардшаванда дар самти радиалй харакати ларзишнок дода мешавад. Холигии дохили зарф шакли конусй дорад ва он, ба гардиши маводи корй, дар хамвории амудй мусоидат менамояд. Суръати баланди харакати сунбода ва намунахо дар мухити обдор (зарфи 1), барои ба амал омадани хурдашавии кавитатсионй мусоидат менамояд.



Расми 3 — Графики махсулнокии галтовкакуннонии сайёравии марказшитоб, вобаста аз шароити гуногуни, гузаронидани тачриба.

1 — галтовкаи хушк бе истфодаи сунбода; 2 — галтовкаи хушк, бо иловаи сунбода ба миқдорй 5г/кг; 3 — галтовка дар мухити обдор, бе истифодаи сунбода; 4 — галтовка дар мухити обдор, бо иловаи сунбода ба миқдори 5г/кг; 5 — Галтовка дар мухити обдор бо иловаи сунбода ба миқдори 20г/кг. нишон дода шудааст.

Ғайр аз ин, аз ҳисоби тағйир додани суръати даврзании планшайба ва чархзании худи зарф, раванди хурдашавии кавитатсия пурзур шуда суръати коркард то 2 маротиба меафзояд. Азбаски ҳангоми коркарди сайёравии марказшитоб, коркард дар муҳити сунбодагй ба амал меояд, муайян кардани таъсири сунбода низ ба раванди хурдашавй муҳим аст. Хурдашавии сунбодагии чузъҳо, дар натичаи соиш хурдани онҳо бо маводҳои сунбодагй ба амал меоянд. Маводҳои сунбодагй ба намуди хока, ки аз доначоҳои андозаашон хурд таркиб ёфтаанд иборат мебошанд. Донаҳои сунбодагй метавонанд пайдоиши табий ва сунъй дошта бошанд. Маводҳои сунъй бо таркиби муҳталифи кимиёвй, ки мустаҳкамй ва тобоварии баланд нисбат ба гармй ва

фарсудашавиро доранд, бештар маъмуланд. Донахои сунбодагй метавонанд аз кристаллхои яклухт ё порахои кристаллхо иборат бошанд. Вобаста аз таркиби кимиёвй, онхо ранг, шаклхои геометрй ва хусусиятхои физикию химиявии гуногуни ба худ хосро доранд. Таркиби заррачахои сунбодагй аз карбиди волфрам, карбиди силитсий, ва оксиди алюминий иборат мебошанд. Тачрибахо нишон медиханд, ки хангоми коркарди сайёравии марказшитоб, дар шароитхои гуногуни коркард, махсулнокии коркард ба куллй аз хамдигар фаркият доранд.

Дар расми 3 графики махсулнокии коркард, ҳангоми коркарди сайёравии марказшитоб, ки аз шароити гузаронидани тачриба вобастаги дорад, оварда шудааст.

Чи хеле, ки аз натичахои тачриба бармеояд, хангоми коркард дар мухити обдор ва бе истифодаи сунбода назар ба коркард бо истифодаи сунбодаи хушк, махсулнокй такрибан 3 маротиба зиёдтар мешавад. Хангоми коркард дар мухити обдор бо иловаи сунбода ба микдори 5г/кг махсулнокии коркард зиёда аз 5 маротиба меафзояд. Аз натичаи тачриба, чунин хулоса баровардан мумкин аст, ки ҳангоми коркарди сайёравии марказшитоб, ҳиссаи хурдашавии кавитасионй меафзояд.

Хулоса

Тачриба нишон медихад, ки ба афзудани хурдашавии сатхи коркард, илова намудани сунбода, хангоми коркард дар мухити обдор мусоидат менамояд ва ин аз он сабаб ба амал меояд, ки заррачахои сунбода хамчун маркази пайдоиши хубобчахои кавитатсионй хизмат намуда, раванди хурдашавии кавитатсиониро метезонанд.

Муқарриз: Иброхимов Х.И. — д.и.т., профессор, деқани факултети "Пехнология ва дизайн" -и Донишгохи технологии Почикистон

Адабиёт

- 1. Беляев, З.С. Механическое притирание поверхностей. / З.С. Беляев // «Вестник машиностроения» №8, 1952.-18с.
- 2. Лурье, Г.Б. Основы технологии абразивной доводочно-притирочной обработки. / Г.Б. Лурье В.В. Масловский М., "Высшая школа", 1973.
 - 3. Шкляр В.Н. Планирование эксперимента и обработка результатов. / В.Н. Шкляр М:Машгиз, 2010.
- 4. Мирзоалиев А.И. Исследование процесса обработки самоцветных камней в галтовочном барабане с горизонтальной осью вращения /А.И. Мирзоалиев, Т.А. Ходжаев // Вестник Иркутского государственного технического университета № 11, т.20, 2016. С.53-60
- 5. Мирзоалиев А.И. Исследование центробежно-планетарной галтовки самоцветных камней /А.И, Мирзоалиев, Т.А.Ходжаев // Национальная Академия наук Кыргызской Республики Институт машиноведения Инженерный центр «Шакирт» т.3, 2016. С. 48-53

МАЪЛУМОТ ДАР БОРАИ МУАЛЛИФОН-СВЕДЕНИЯ ОБ ABTOPAX-INFORMATION ABOUT AUTHORS

Admond					
TJ	RU	EN			
Мирзоалиев Исроил	Мирзоалиев Исроил	Mirzoaliev Isroil			
Н.и.т., дотсент	к.т.н. доцент	Ph.D., associate professor			
Донишгохи техникии Точикистон ба номи академик М.С. Осими	Таджикский технический университет имени акажемика М.С. Осими	Tajik technical University by name of academic M.S. Osimy			
	E-mail: tmmsii@mail.ru				
TJ	RU	EN			
Мирзоалиев Азим Исроилович	Мирзоалиев Азим Исроилович	Mirzoaliev Azim Isroilovich			
Н.и.т., дотсент	к.т.н. доцент	Candidate of Technical Sciences., associate professor			
Донишгохи техникии Точикистон ба номи академик М.С. Осими	Таджикский технический университет имени акажемика М.С. Осими	Tajik technical University by name of academic M.S. Osimy			
TJ	RU	EN			
Хочаев Точиддин Авғонович	Ходжаев Тоджиддин Авгонович	Khojaev Tojiddin Avgonovich			
Н.и.т., дотсент	к.т.н. доцент	Candidate of Technical Sciences., associate professor			
Донишгохи техникии Точикистон ба номи академик М.С. Осими	Таджикский технический университет имени акажемика М.С. Осими	Tajik technical University by name of academic M.S. Osimy			
TJ	RU	EN			
Иззатуллоев Мубориз Акрамхонович	Иззатуллоев Мубориз Акрамхонович	Izzatulloev Muboriz Akramkhonovich			
н.и.т.	K.T.H.	Candidate of Technical Sciences			
Донишгохи техникии Точикистон ба номи академик М.С. Осими	Таджикский технический университет имени акажемика М.С. Осими	Tajik technical University by name of academic M.S. Osimy			

ТЕХНОЛОГИЯИ КИМИЁВЙ - ХИМИЧЕСКАЯ ТЕХНОЛОГИЯ - CHEMICAL TECHNOLOGY

УДК: 676.256

ПЕРСПЕКТИВНОСТЬ ПРИМЕНЕНИЯ КАРБОНАТА КАЛЬЦИЯ В КАЧЕСТВЕ ОСНОВНОГО СЫРЬЯ ПРИ ПРОИЗВОДСТВЕ БУМАГИ

Д.Ч. Равшанов¹, Х.А. Бабаханова², О.Д. Хакназарова²

¹Таджикский технический университет имени академика М.С. Осими ²Ташкентский институт текстильной и легкой промышленности

В работе представлена информация об использовании карбоната кальция в качества основного сырья при производстве бумаги. Карбонат кальция обладает высокой степенью дисперсности, развитыми поверхностными свойствами, большей чистотой, белизной и относительно низкой стоимостью. Использование в бумажной промышленности карбоната кальция в качестве основного сырья позволит сократить потребление дефицитной древесной массы и оптических отбеливателей, а также решить экологические проблемы. Ключевые слова: бумага, сырье, производство, карбонат кальция, экологичность.

БАРТАРИХОИ ИСТИФОДАИ КАРБОНАТИ КАЛСИЙ ХАМЧУН АШЁИ ХОМИ АСОСЙ ДАР ИСТЕХСОЛИ КОҒАЗ

Д.Ч. Равшанов, Х. А. Бобохонова, О.Д. Хакназарова

Дар макола оид ба истифодаи карбонати калсиий хамчун ашьёи хоми асосй дар истехсоли коғаз маълумот дода мешавад. Карбонати калсий дорои дарачаи баланди дисперсия, хосиятхои рушзаминй, тозагии бештар, сафедй ва арзиши нисбатан паст аст. Ба сифати ашьёи хоми асосй дар саноати истехсоли коғаз истифода бурдани карбонати калсий сарфи целлюлозаи камёби чубу тахта ва равшанкунандаи оптикиро кам карда, проблемахои экологиро низ хал мекунад.

Калидвожахо: когаз, ашёй хом, истехсолот, карбонати калсий, тозагий экологи.

PROSPECTIVENESS OF APPLICATION OF CALCIUM CARBONATE AS THE MAIN RAW MATERIAL IN PAPER PRODUCTION

D.Ch. Ravshanov, Kh.A. Babakhanova, O.D. Khaknazarova

The work provides information on the use of calcium carbonate as the main raw material in paper production. Calcium carbonate has a high degree of dispersion, developed surface properties, greater purity, whiteness and relatively low cost. The use of calcium carbonate in the paper industry will reduce the consumption of scarce wood pulp and optical brighteners, and will also solve environmental problems.

Keywords: paper, raw materials, production, calcium carbonate, environmental friendliness.

Мировое развитие полиграфической отрасли характеризуется потреблением бумаги и картона, что составляет по данным статистики 500 млн. тонн в год. Использование при традиционной технологии производства бумаги дефицитной древесной целлюлозы (20 деревьев для одной тонны), отбеливающих веществ, 38000 кДж электроэнергии и 73 кубометра воды ставит перед целлюлозно-бумажной отраслью ряд важных проблем. В связи с этим разработка ресурсосберегающей технологии производства бумаги и картона из альтернативного сырья без уничтожения леса и без вреда окружающей среде востребована и актуальна как с экономической, так и с экологической стороны [1].

В качестве альтернативного сырья широко используются вторичные волокнистые материалы из макулатуры, из отходов сельскохозяйственных, хлопкоочистительных, текстильных производств, что позволяет частично заменить и снизить потребление дефицитного первичного сырья [2-5]. Кроме того, при производстве бумаги из вторичного сырья потребляется около 23 000 кДж электроэнергии и загрязняется около 41 кубометра воды.

Для модификации свойств бумаги при производстве помимо основного сырья используются различного рода и состава вспомогательные компоненты. Например, для увеличения оптической яркости в бумажную массу добавляют отбеливающие вещества: синие и фиолетовые красители [6]. По стандарту бумага для печати должна иметь оптическую яркость свыше 72%.

Эффективность добавления наполнителей в композицию бумаги объясняется тем, что повышаются белизна, непрозрачность, гладкость, впитывающая способность, а также уменьшается расход волокнистых полуфабрикатов. Среди натуральных наполнителей — каолин, тальк, мел, гипс и бентонит, а среди искусственных — бранфикс, диоксид титана, химически осажденный мел, сульфид цинка и силикаты [7,8]. Широко используемый каолин имеет средний размер частиц около 2 мкм, белизну 70-90% и показатель преломления 1,56. Новые наполнители из сульфата бария имеют дисперсность 0,4-0,6 мкм, белизну 96% и показатель преломления 1,64 и хорошо удерживаются в бумаге [9].

Увеличение доли минеральных наполнителей в бумажной массе характеризуется сокращением использования более дорогих целлюлозных волокон [10]. С 1970-х годов каолин стали заменять легко диспергируемым природным карбонатом кальция со средним размером частиц 0,6-0,8 мкм, белизной 80-95% и коэффициентом преломления 1,48-1,68.

Карбонат кальция представляет собой твердые белые кристаллы без запаха и вкуса, нерастворимые в воде и этаноле, но легкорастворимые в кислотах с выделением углекислого газа [11]. В природе он встречается в виде белого минерала арагонита или кальцита в известняке, ракушечнике, меле и мраморе [12]. Карбонат кальция отличается от других наполнителей более высокой степенью дисперсности, развитыми поверхностными свойствами, повышенным содержанием основного вещества, большей чистотой и белизной [13].

Использование в качестве наполнителя мрамора, модифицированного катионным крахмалом, объясняется значениями белизны (табл.1).

Таблица 1 – Оптические свойства карбонатных наполнителей [14]

Вид наполнителя	Оптические свойства			
	Белизна	Координаты цвета CIE Lab		
	(яркость), %	L	a	b
Мел	80,05	94,04	1,59	4,59
Модифицированный мел	79,64	93,55	1,69	4,79
Мраморный кальцит	94,56	98,29	0,38	0,74
Модифицированный мраморный кальцит	93,12	96,79	0,55	0,94

На основании проведенных научных исследований выявлено, что добавление определенного количества наполнителя необходимо, так как при повышенном расходе карбоната кальция увеличивается поверхностная впитываемость при одностороннем смачивании по Коббу, т.е. ухудшается гидрофобность бумаги. Автором работы [15] разработаны рекомендации по производству бумаги для печати с достаточными поверхностными и прочностными свойствами.

По результатам научных исследований выявлена перспективность применения меловальных паст при соотношении каолина и мела (40 ± 5) : (60 ± 5) масс.%, так как это увеличивает белизну с 79,6 до 80,2% [16].

Впервые для покрытия бумаги Иоганн Алоис Зенефельдер использовал композицию из известняка, гипса, масла и оксидов металлов, в результате получен патент на изобретение «каменной» бумаги. С 1990-х годах компании Longmeng Technology Corporation (Тайвань), Limex ТВМ (Япония), Magic Whiteboard (Великобритания) и Network Marketing (Австралия) начали использовать карбонат кальция в качестве основного сырья при производстве бумаги [17-18].

Применение экологически чистого карбоната кальция в бумажной отрасли перспективно, так как позволит сократить потребление дефицитной древесной массы и оптических отбеливателей, а также решить экологические проблемы [19].

Преимущество этой технологии заключается в том, что альтернативное сырье доступно и в достаточном количестве, а также энергопотребление снижается в шесть раз. Если при производстве бумаги из древесины расходуется 20,4 Гигаджоуля, то при производстве бумаги из карбоната кальция расходуется 3,1 Гигаджоуля, отсюда следует, что производство бумаги из карбоната кальция является экономично приемлемым.

В Иране налажено производство прочной и долговечной бумаги из 80% карбоната кальция, извлекаемого из мраморных отходов, и 20% полиэтилена высокой плотности. Эта бумага используется для изготовления канцелярских товаров, листовок, плакатов, книг, журналов, пакетов, упаковки, обоев, клея, тарелок и контейнеров. Мощность комбината 3000 т/год [20].

Сырье и компоненты для производства бумаги



Рисунок 1 – Сырье и компоненты для производства бумаги из карбоната кальция

В Республике Узбекистан с 2020 г. узбекско-китайское предприятие Fergana Stone Paper, мощностью 9000 т/год, производит бумагу из карбоната кальция и нетоксичных полимеров (рис.2) [21].

Проведены комплексные исследования физико-механических, оптических, геометрических и печатных свойств бумаги на основе карбоната кальция, полученных по разработанной технологической схеме (рис.2) [22,23].

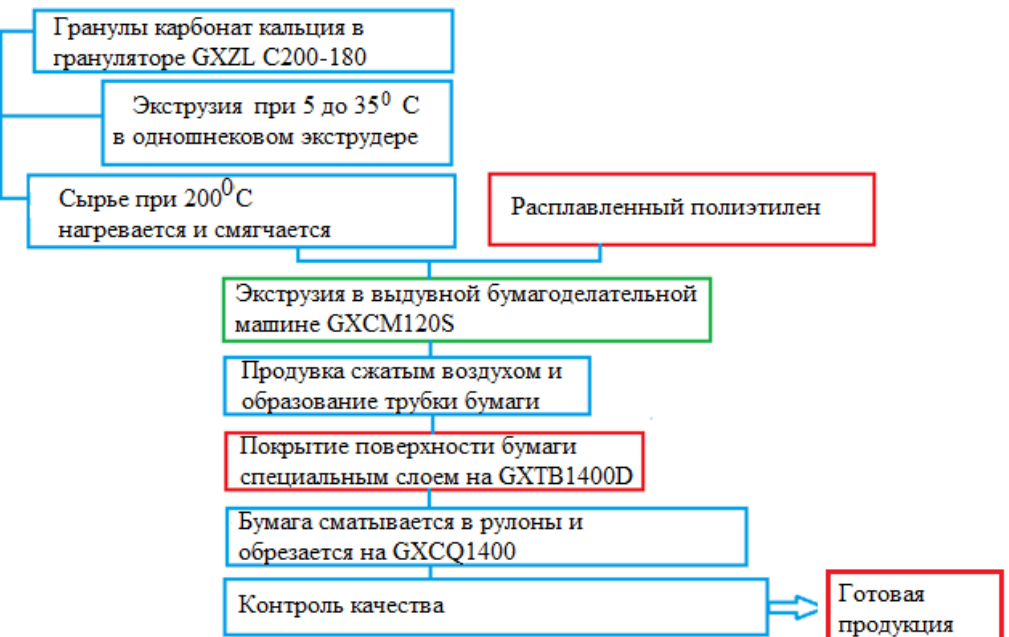


Рисунок 2 – Общая технологическая схема получения бумаги из карбоната кальция

Результаты исследований показали, что бумага обладает низкими прочностными характеристиками, но высокими деформационными свойствами, а также равномерным и однородным просветом, что гарантирует высокую графическую точность воспроизведения при офсетной и флексографской печатей. Кроме того, бумаги влагопрочны, так как впитывающая способность менее 15 г/м² и их можно использовать для широкого спектра способов печати. Поверхностная активность бумаги позволяет закреплять краски с энергией не более 58 мН/м, что является достаточно широким диапазоном. Было установлено, что бумаги из карбоната кальция с белизной 90% обеспечит цветопередачу без искажений при двусторонней печати многоцветных изображений, так как светопропускание составляет более 92% [24].

В работе [25] изучена технология производства бумаги на основе известняка Шаргунского и Байсунского месторождений (Узбекистан). Образцы бумаги оказались устойчивы к влаге, маслу, деформации и не требовали защиты от моли и других вредителей.

Заключение

По данным научных исследований можно заключить, что производство бумаги из карбоната кальция перспективно и актуально, так как полностью исключается использование дефицитных древесных полуфабрикатов, уменьшается расход электроэнергии и не загрязняется вода. К преимуществам этой ресурсосберегающей технологии относится и то, что не используются химикаты для отбеливания. При уничтожении бумаги в атмосферу не выбрасываются токсичные вещества, так как полиэтилен (смола HDPE) разлагается менее чем за год под воздействием солнечного света, а карбонат кальция возвращается в свою первоначальную твердую форму, что естественно для окружающей среды. Производство бумаги из карбоната кальция требует комплексного изучения взаимосвязи между структурой бумаги и качеством современных технологий печати. Эта задача является актуальной для ученых и для производителей Республики Таджикистан.

Рецензент: Бобиев О.Г. — қ.т.н., доцент қафедры технология теқстильных изделий, Шаджиқсқого технологичесқого үниверситета

Литература

- 1. [Электронный ресурс]. URL: http://econet.ru/
- 2. Пузырев С.С. Ресурсосберегающая технология переработки макулатуры // ЛесПромИнформ, 2006. №3 (34). С. 104-109.
- 3. Барбаш В.А., Трембус И.В. Органосольвентный способ получения волокнистых полуфабрикатов из отходов сельского хозяйства // Экотехнологии и ресурсосбережение, Москва. 2002. №6. С. 29-32.
- 4. Кадыров Б.Г., Ташпулатов Ю.Т., Примкулов М.Т. Технология хлопкового линта, целлюлозы и бумаги. Ташкент: Фан, 2005, 289 с.
- 5. Babahanova X.A. Papier mit Faserabfaellen aus der Textilindustrie. Textile problems, Tashkent. 2003. no 4. pp. 34-35.
- 6. Мишурина О.А., Корниенко Н.Д., Жерякова К.В., Муллина Э.Р. Анализ влияния химического состава кроющих суспензий на качество покрытия при производстве мелованных видов бумаг и картона // Международный журнал прикладных и фундаментальных исследований, 2015. № 5, С. 26–28.
- 7. Шахова И.И., Андреева О.В., Косоногова М.А. Исследование оптических и поверхностных свойств печатных бумаг // Известия высших учебных заведений. Проблемы полиграфии и издательского дела. 2012. № 6. С.99–103.
- 8. Пирогов А.В., Юрьев А.В., Шпигун О.А. Определение оптических отбеливателей (белофоров) в составе писчей бумаги методом капиллярного электрофореза // Журнал аналитической химии. 2006. Т. 61. № 2. С. 184–191.
- 9. Новиков А.О., Темрук В.И., Хмызов И.А., Горжанов В.В., Соловьева Т.В. Влияние модификации наполнителя на его распределение в бумаге, содержащей хлопковую целлюлозу // Весці Нацыянальнай акадэміі навук Беларусі. Серыя хімічных навук. 2015. № 3. С. 116–119.
- 10. Пенкин А.А. Применение карбонатных наполнителей, модифицированных катионным крахмалом в технологии бумаги для печати // Труды БГТУ. Химия, технология органических веществ и биотехнология. 2009. Т. 1. № 4. С.290–293.
- 11. Чубис П.А. Применение высокосмоляных гидродисперсий модифицированной канифоли при наполнении бумаги // Успехи в химии и химической технологии. 2007. Т. 21. № 12 (80). С. 112–115.
- 12. Пенкин А.А., Темрук В.И., Снопкова Т.А., Селиверстова Т.С. Использование природных карбонатных наполнителей в производстве печатных видов бумаги // Труды Белорусского государственного технологического университета. Серия 4. Химия и технология органических веществ. 2008. Т. 1. № 4. С. 300—304.
- 13. Комиссаренков А.А., Парамонова Л.Л., Пругло Г.Ф. Синтез и применение цинк-каолинита в композиции бумажной массы // Известия высших учебных заведений. Лесной журнал. 2009. № 6. С. 114–119.
- 14. M. Lex et al. Fullstoffkaoline im wandel der papierherstellung // Wochenblatt fur Papierfabrikation. 2003. Vol. 131, № 5. 233–237.

- 15. П.М. Кейзер Системы фиксации наполнителей в производстве бумаги для печати// Дис. ... канд. техн. наук: 2004. С-Петербург. 120 с.
- 16. Попеня Т.В., Драпеза А.А., Черная Н.В., Жолнерович Н.В. Влияние композиционного состава меловальной пасты на свойства полиграфических видов бумаги // Труды БГТУ. Химия, технология органических веществ и биотехнология. 2011. Т. 1. № 4. С. 152–154.
 - 17. [[Электронный ресурс]. URL: https://www.kommersant.ru/doc/3020213. №112 от 25.06.2016, стр. 7.
- 18. [Электронный ресурс]. URL: https://vc.ru/trade/412725-kamennaya-bumaga-v-rossii-tehnologiya-budushchego.].
- 19. С.С.Пузырев Развитие технологии для производства бумаги и картона https://lesprominform.ru/jarticles.html?id=1526
- 20. [Электронный ресурс]. URL: https://iran.ru/news/economics/105530/V Irane_nachali_vypuskat_kamennuyu_bumagu.
 - 21. [Электронный ресурс]. URL: https://yuz.uz/ru/news/v-uzbekistane-nachali-vpuskat-bumagu-iz-kamnya
- 22. Бабаханова Х.А., Исмаилов И.И., Садриддинов А.А., Саидова Д.Ш. Структурно-механические свойства бесцеллюлозной бумаги // Проблемы полиграфии и полиграфического дела. 2021. №2. С. 4-7.
- 23. Бабаханова Х.А., Исмаилов И.И., Абдуназаров М.М., Бабаханова М.А., Саидова Д.Ш. Сорбционные свойства экологически чистой бумаги с кальцитом кальция и смолой HDPE // Полимерные материалы и технологии. 2021. Т.7. №4. С.59-63. DOI 10.32864/polymmattech.2021-7-4-59-63c.
- 24. Исмаилов И.И. Печатно-технические свойства бумаги из отходов местного сырья: Автореф....докт. философии (PhD) по техническим наукам. Наманган. НТИ. 2023. 52 с.
- 25. Тураев Х.Х., Бозоров Ё.Ш., Эшмуродов Х.Э., Эшкараев С.Ч. Получение каменной бумаги на основе известняка Шаргунского и Байсунского месторождений// Universum: Химия и биология. 2021. №5(83). DOI 10.32743/UniChem.2021.83.5.11620

МАЪЛУМОТ ДАР БОРАИ МУАЛЛИФОН-СВЕДЕНИЯ ОБ ABTOPAX-INFORMATION ABOUT AUTHORS

AOTHORO		
TJ	RU	EN
Равшанов Дилшод Чоршанбиевич	Равшанов Дилшод Чоршанбиевич	Ravshanov Dilshod Chorshanbievich
Н.и.т., дотсент	к.т.н. доцент	Candidate of Technical Sciences., associate professor
Донишгохи техникии Точикистон ба номи академик М.С. Осими	Таджикский технический университет имени акажемика М.С. Осими	Tajik technical University by name of academic M.S. Osimy
E-mail: <u>234-56-57@mail.ru</u>		
TJ	RU	EN
Бабаханова Халима Абишевна	Бабаханова Халима Абишевна	Babakhanova Halima Abishevna
Д.и.т., профессор	д.т.н., профессор	Doctor of Technical Sciences, Professor
Институти бофандагй ва саноати сабуки Тошкент	Ташкентский институт текстильной и легкой промышленности	Tashkent Institute of Textile and Light Industry
E-mail: <u>halima300@inbox.ru</u>		
TJ	RU	EN
Хакназарова Ойдин Дилмуродовна	Хакназарова Ойдин Дилмуродовна	Khaknazarova Oydin Dilmurodovna
PhD дотсент	PhD доцент	PhD Associate Professor
Институти бофандагй ва саноати сабуки Тошкент	Ташкентский институт текстильной и легкой промышленности	Tashkent Institute of Textile and Light Industry
E-mail: halima300@inbox.ru		

УДК 66.01.02.06:661.48.862:621.357.13

ПРОИЗВОДСТВО ОПЫТНОЙ ПАРТИИ ФТОРИСТЫХ СОЛЕЙ ИЗ ПОБОЧНОГО ПРОДУКТА ПРОИЗВОДСТВА ПЛАВИКОВОЙ КИСЛОТЫ С ИСПОЛЬЗОВАНИЕМ ХЛОРИДА НАТРИЯ

С.М. Шокаримов¹, Н.А. Наимов², Р.С. Рафиев¹, Дж.Р. Рузиев¹

Таджикский национальный университет¹ Государственное учреждение «Научно-исследовательский институт металлургии» ОАО «Таджикская алюминиевая компания» ²

В статье представлены результаты опытно-промышленных испытаний технологии получения фторида алюминия и криолита из побочного продукта производства плавиковой кислоты — смеси кремнефтористоводородной (КФВК) и плавиковой кислот с использованием гидроксида алюминия и хлорида натрия. В результате проведения опытно-промышленных исследований получено и подтверждено физико-химическими анализами более 265 кг фторида алюминия, 40 кг криолита и около 8 кг аморфного оксида кремния. Проведенные физико-химические анализы подтверждают технологию получения фторида алюминия и криолита из смеси КФВК и плавиковой кислот с использованием гидроксида алюминия и хлорида натрия. Выпускаемая продукция успешно прошла испытания в алюминиевом производстве ОАО «Таджикская Алюминиевая Компания».

Ключевые слова: кремнефтористоводородная кислота, фторид алюминия, криолит, плавиковая кислота, гидроксид алюминия, фтористые соли, хлорид натрия.

ИСТЕХСОЛИ МИКДОРИ ТАЧРИБАВИИ НАМАКХОИ ФТОРДОР АЗ МАХСУЛОТИ ИЛОВАГИИ ИСТЕХСОЛИ КИСЛОТАИ ФТОРИД БО ИСТИФОДА АЗ ХЛОРИДИ НАТРИЙ

С.М. Шокаримов, Н.А. Наимов, Р.С. Рафиев, Ч.Р. Рузиев

Дар макола натичаи санчиши тачрибавию саноатии технологияи истехсоли фториди алюминий ва криолит аз махсулоти иловагии истехсоли кислотаи фторид — омехтаи кислотаи гидрогенсилитсийфторид (КГСФ) ва кислотаи фторид бо истифода аз гидроксиди алюминий ва хлориди натрий оварда шудааст. Дар натичаи гузаронидани тахкикотхои тачрибавию саноатй ба микдори зиёда аз 265 кг фториди алюминий, 40 кг криолит ва такрибан 8 кг оксиди силитсийи аморфй истехсол карда шуда, бо тахлилхои физикавию химиявй тасдик гардиданд. Тахлилхои физикавию химиявии гузаронидашуда технологияи хосил намудани фториди алюминий ва криолитро аз омехтаи КГСФ ва кислотаи фторид бо истифода аз гидроксиди алюминий ва хлориди натрий тасдик менамояд. Махсулотхои истехсолшуда бо муваффакият дар саноати истехсоли алюминийи корхонаи ЧСК «Ширкати Алюминийи Точик» аз санчиш гузаронида шуданд.

Калимахои калидй: кислотаи гидрогенсилитсийфторид, фториди алюминий, криолит, кислотаи фторид, гидроксиди алюминий, намакхои фтордор, хлориди натрий.

PRODUCTION OF A PILOT BATCH OF FLUORIDE SALTS FROM A BY-PRODUCT OF PLOVIC ACID PRODUCTION USING SODIUM CHLORIDE

S.M. Shokarimov, N.A. Naimov, R.S. Rafiev, J.R. Ruziev

In article presents the results of pilot tests of the technology for the production of aluminium fluoride and cryolite from the by-product of hydrofluoric acid production – a mixture of fluorosilicic (FSA) and hydrofluoric acids using aluminium hydroxide and sodium chloride.as a result of experimental and industrial research, more than 265 kg of aluminium fluoride, 40 kg of cryolite and about 8 kg of amorphous silicon oxide were produced and confirmed by physicochemical analyses. Physical and chemical analyses confirm the technology of aluminium fluoride and cryolite production from the mixture of FSA and hydrofluoric acid using aluminium hydroxide and sodium chloride. The manufactured products have been successfully tested in the aluminium production of JSC «Tajik Aluminium Company».

Keywords: fluorosilicic acid, aluminium fluoride, cryolite, hydrofluoric acid, aluminium hydroxide, fluoride salts, sodium chloride.

Введение

Фтористые соли необходимы для приготовления расплава электролита – среды для растворения глинозёма и электролиза алюминия [1-4]. Основную часть электролита для проведения электролиза составляет криолит (а также фтористый алюминий, фтористый натрий и др.) [5-8].

Природные месторождения криолита в промышленных масштабах существуют только в Гренландии, поэтому для нужд алюминиевой промышленности криолит и фторид алюминия искусственно получают из флюорита (CaF₂) [3-13].

Приоритетным стратегическим направлением и четвертой национальной целью была объявлена индустриализация страны для повышения уровня промышленного производства, улучшения социально-экономического положения населения и создания новых рабочих мест в Республике Таджикистан.

В связи с этим была разработана программа внедрения инновационных и обновления существующих технологий по улучшению социально – экономических и экологических показателей. Переработка вторичного продукта производства плавиковой кислоты – смеси КФВК и плавиковой кислот с получением необходимых

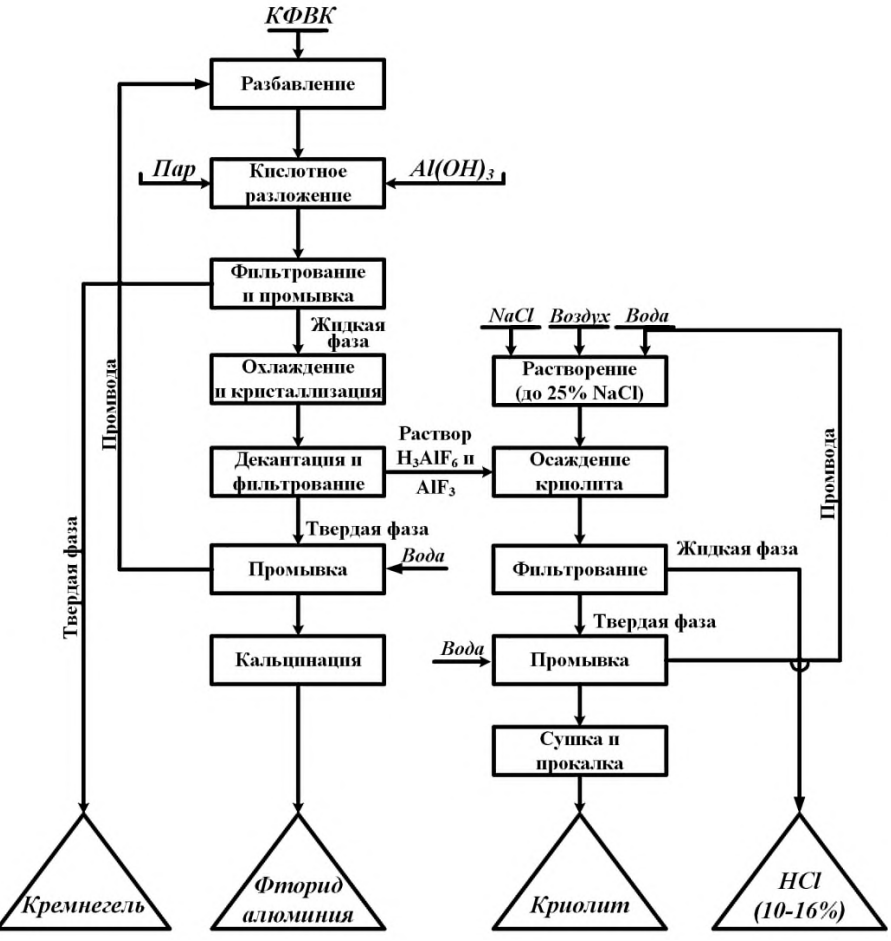
фторсодержащих солей и других неорганических фторидов, несомненно, отвечает поставленным задачам индустриализации страны.

Материалы и методы исследования

Были проведены работы по комплексной переработке смеси КФВК и плавиковой кислот с гидроксидом алюминия и хлоридом натрия для производства опытной партии фтористых солей согласно разработанной технологической схеме (рис. 1).

Стоит отметить, что переработка смеси КФВК и плавиковой кислот проводилась в Совместном Технопарке ГУ «Научно-исследовательского института металлургии» ОАО «ТАЛКО» и ООО «ТАЛКО Кемикал» по разработанной технологической схеме в две стадии (рис. 1).

На первой стадии осуществляют процесс разложения смеси кислот с использованием гидроксида алюминия с целью получения раствора фторида алюминия, фторалюминиевой кислоты и аморфного оксида кремния. После отделения аморфного оксида кремния и кристаллизации фторида алюминия проводят вторую стадию с использованием хлорида натрия или гидроксида натрия для получения криолита.



Pисунок $I-\Pi$ ринципиальная технологическая схема комплексной переработки смеси $K\Phi BK$ и плавиковой кислот

Обсуждение

Фторид алюминия получают в результате взаимодействия КФВК с гидроксидом алюминия по реакции 1:

$$H_2SiF_6 + 2Al(OH)_3 \rightarrow 2AlF_3 + SiO_2 + 4H_2O$$
 (1)

В то же время при добавлении гидроксида алюминия происходит процесс взаимодействия с плавиковой кислотой из состава смеси, концентрация которой составляет около 14%. При этом избыточное количество гидроксида алюминия реагирует с плавиковой кислотой и образует фторалюминиевую кислоту по реакции 2:

$$AI(OH)_3 + 6HF \rightarrow H_3[AIF_6] + 3H_2O$$
 (2)

Для получения криолита после отделения осадка аморфного оксида кремния и кристаллов фторида алюминия оставшийся раствор фторалюминиевой кислоты обрабатывают гидроксидом натрия (реакция 3):

$$H_3[AlF_6] + 3NaOH \rightarrow Na_3AlF_6 + 3H_2O$$
 (3)

В данной работе также рассмотрен вариант получения криолита из фторалюминиевой кислоты с использованием хлорида натрия (реакция 4):

$$H_3[AlF_6] + 3NaCl \rightarrow Na_3AlF_6 + 3HCl$$
 (4)

Как видно из реакции 4, кроме криолита, образуется соляная кислота, концентрация которой составляет примерно 10-15%. Эту кислоту можно использовать для очистки от отложений котельных труб и трубопроводов горячего водоснабжения, или можно нейтрализовать известняком для получения хлорида кальция.

Результаты

Таким образом, согласно технологической схеме (рис. 1.) была проведена опытно-промышленная отработка комплексной переработки (утилизации) смеси кислот с использованием оборудования Совместного Технопарка. Стоит отметить, что смесь кислот состояла из 25% КФВК и 14% плавиковой кислоты. Согласно стехиометрическим расчетам 370 кг смеси кислот разбавили 630 кг воды, что довело концентрацию КФВК до 15%.

К разбавленной кислоте добавили 260 кг гидроксида алюминия. После проведения процесса разложения в течение 30 минут полученный кремнегель отфильтровали и промыли водой. После охлаждения раствора фторида алюминия его кристаллизация происходит непрерывно естественным путем, и он отделяется от раствора фторалюминиевой кислоты фильтрованием. К отделенной фторалюминиевой кислоте добавляют расчетное количество насыщенного раствора хлорида натрия и осаждают криолит. Всего было получено 265 кг (без учета мертвой зоны реактора) опытной партии фторида алюминия, 40 кг криолита и 8 кг аморфного оксида кремния. По результатам опытных испытаний был утвержден акт от 05.03.2019.

После осаждения и фильтрования опытный партии фторида алюминия был проведен химический анализ полученного продукта. Определено, что в составе осадка количество AIF₃составляет более 98%.

Для подтверждения химического анализа был проведен рентгенофазовый анализ (РФА)полученного осадка фторида алюминия на современном приборе «Дрон-2», результат которого представлен на рисунке 2.

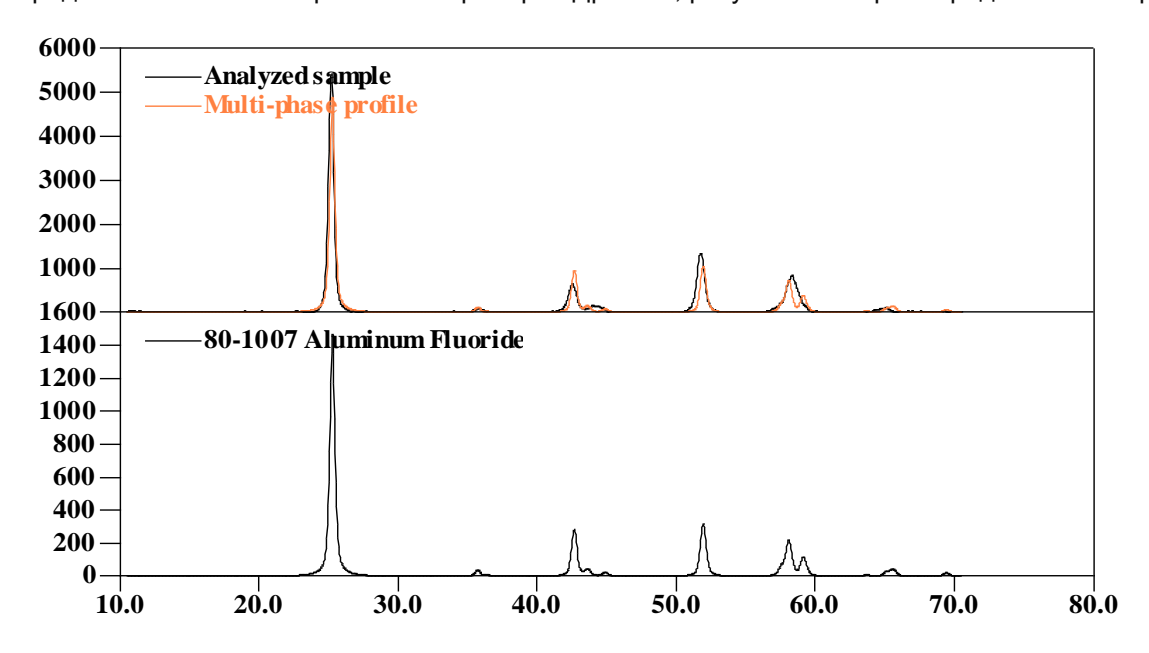


Рисунок 2 – Рентгенограмма прокаленного фторида алюминия, полученного при реакции смеси КФВК и плавиковой кислот с гидроксидом алюминия

На верхнем графике рисунка 2 представлена рентгенограмма испытуемого фторида алюминия, а на нижнем графике – рентгенограмма стандартного образца, полученные пики свидетельствуют о соответствии испытуемого образца фторида алюминия стандартному.

Криолит, полученный с использованием хлорида натрия, был подвергнут химическому анализу и имеет в составе следующие компоненты (масс. %): 32,5 Na, 12,8 Al, 54,3 F.

Кроме того, был проведен РФА полученного криолита, результат которого представлен на рис. 3.

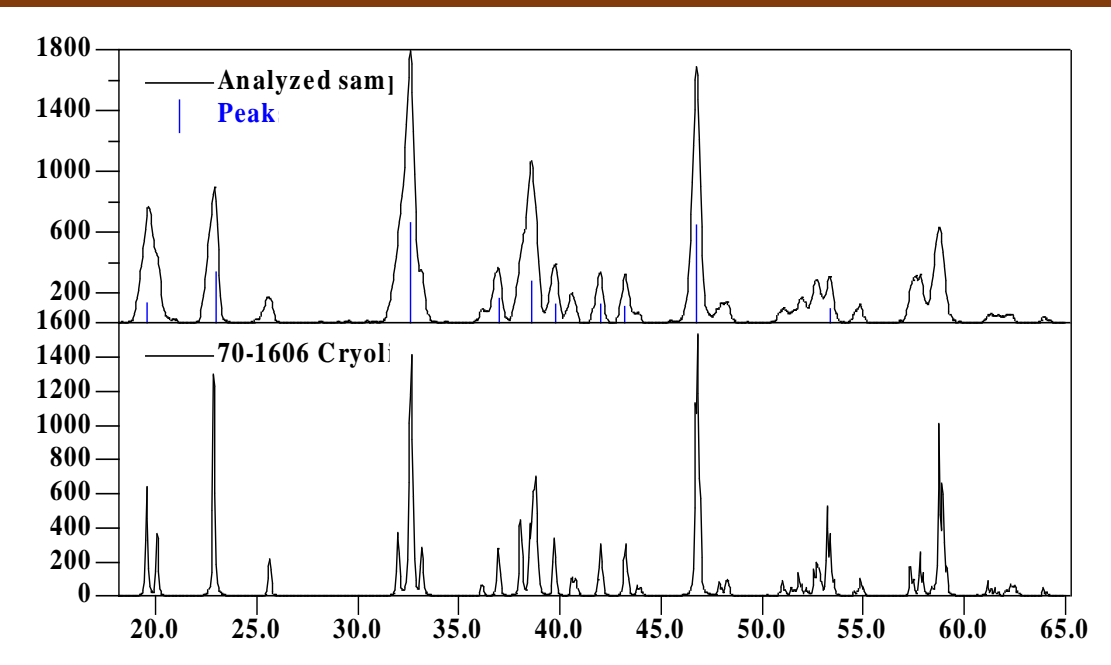


Рисунок 3 – Рентгенограмма криолита, полученного из фторалюминиевой кислоты и хлорида натрия

Как видно из рентгенограммы (рисунок 3), практически все найденные пики соответствуют стандартному минералу криолит.

Проведенные РФА и химический анализы подтверждают технологию получения фторида алюминия и криолита из смеси КФВК и плавиковой кислоты с использованием гидроксида алюминия и хлорида натрия.

Заключение

Таким образом, результаты проведенных анализов подтверждают, что основные физико-химические свойства исследуемых фторида алюминия и криолита аналогичны свойствам импортной продукции, а также продукции, производимой в ООО «ТАЛКО Кемикал», и соответствуют нормативным требованиям (ГОСТ 19181-78 для фторида алюминия и ГОСТ 10561-80 для криолита). Себестоимость произведенной продукции за счет использования побочного продукта (КФВК) и местного сырья (хлорид натрия) ниже себестоимости импортной продукции, произведенной традиционными методами. Опытные количества фторида алюминия и криолита, полученные из смеси КФВК и плавиковой кислот, успешно прошли испытания на электролизном производстве ОАО «ТАЛКО», а аморфный оксид кремния может быть использован как сырьё в фармацевтической промышленности, для производства жидкого стекла, сорбентов и др.

Рецензент: Муродиён А.Ш. — д.т.н., учёный секретарь ТУ НИИ «Металлургия» ОАО «ПГАЛКО».

Литература

- 1. Gunasegaram D.R., Molenaar D.Towards improved energy efficiency in the electrical connections of Hall—Héroult cells through Finite Element Analysis (FEA) modeling. Journal of Cleaner Production, 2015, 93, pp. 174-192. https://doi.org/10.1016/j.jclepro.2015.01.065
- 2. Khramov A.P.,Shurov N.I.Modern views on the composition of anionic oxy-fluoride complexes of aluminium and their rearrangement during the electrolysis of cryolite-alumina melts. Russian Metallurgy (Metally),2014, (8), pp. 581-592. https://doi.org/10.1134/S0036029514080059
- 3. Васюнина И.В. Васюнина И.П. Поляков П.В. Михалев Ю.Г. Растворимость алюминия в криолитоглиноземных электролитах. Известия высших учебных заведений. Цветная металлургия. Том. 52, № 4, с. 360-363, 2011, https://doi.org/10.3103/S1067821211040122
- 4. Позин М.Е. Технология минеральных солей (удобрений, пестицидов, промышленных солей, окислов и кислот). ч. 2, Изд. 4-е. испр. Л. Изд. «Химия», 1974, 768с.
- 5. Bingbing Wan, Wenfang Li, Wanting Sun, Fangfang Liu, Bin Chen, Shiyao Xu, Weiping Chen, Aihua Yi. Synthesis of Cryolite (Na₃AlF₆) from Secondary Aluminum Dross Generated in the Aluminum Recycling Process. Materials, 2020, 13, 3871, pp. 1-19. DOI: https://doi.org/10.3390/ma13173871

- 6. Chen, J.Y.; Lin, C.W.; Lin, P.H.; Li, C.W.; Liang, Y.M.; Liu, J.C.; Chen, S.S. Fluoride recovery from spent fluoride etching solution through crystallization of Na₃AlF₆ (synthetic cryolite). Sep. Purif. Technol, 2014, 137, pp. 53-58.
- 7. Сафиев X., Наимов Н.А., Рузиев Д.Р., Ахмадшоев И.Ш., Джуракулов А.М., Муродиён А., Немчинова Н.В. Физико-химические аспекты технологии получения криолита, используемого для производства алюминия, гидрохимическим способом с использованием поваренной соли.iPolytech Journal, 2022, 26 (2), с. 348-356. https://doi.org/10.21285/1814-3520-2022-2-348-356
- 8. С. Ю. Гузь, Производство криолита, фтористого алюминия и фтористого натрия, М.: Металлургия, 1964, 238 с. 9. Г. Л. Пустильник, Г. И. Вольфсон, А. С. Галков, Производство фтористых солей для алюминиевой промышленности за рубежом, М.: Металлургия, 1976, 186 с.
- 10. В. А. Зайцев, А. А. Новиков, В. И. Родин, Производство фтористых соединений при переработке фосфорного сырья, М. Химия, 1982, 246с.
- 11. Э. Г. Раков, Химия и технология неорганических фторидов, М.: Изд-во МХТИ им. Д.И. Менделеева, 1990, 162 с.
- 12. Проблема переработки кремнефтористоводородной кислоты на базовые фторсодержащие продукты / В.В.Туманов, С.В.Островский, А.Г.Старостин // Вестник Пермского национального исследовательского политехнического университета. Химическая технология и биотехнология. 2017. № 1. С. 138-148.
- 13. Исследование и разработка малоотходных производств минеральных солей [Текст]. Вып. 57 / УНИХИМ; отв. ред. К. В. Ткачев. Свердловск: УНИхим, 1984. 144 с.: ил. 0.90 р.

МАЪЛУМОТ ДАР БОРАИ МУАЛЛИФОН-СВЕДЕНИЯ ОБ ABTOPAX-INFORMATION ABOUT AUTHORS

AUTHORS						
TJ	RU	EN				
Шокаримов Сирочиддин Мирзоеви	Шокаримов Сироджиддин Мирзоевич	Shokarimov Sirojiddin Mirzoevich				
Докторанти PhD-и кафедраи химияи татбиқй	Докторант PhD кафедры прикладной химии	PhD student at the Department of Applied Chemistry				
Донишгохи миллии Точикистон	Таджикский национальный университет	Tajik National University				
	E-mail: sirojshokarimov@mail.ru					
TJ	RU	EN				
Наимов Носир Абдурахмонович	Наимов Носир Абдурахмонович	Naimov Nosir Abdurahmonovich				
номзади илмхои техникй, директор	кандидат технических наук, директор	Candidate of Technical Sciences (PhD), Director				
МД «Пажўхишгохи илмию тахкикотии металлургия»-иЧСК «Ширкати Алюминийи Точик»	ГУ «Научно-исследовательский институт металлургии» ОАО «Таджикская Алюминиевая Компания»	State Institution «Scientific Research Institute of Metallurgy» JSC «TajikAluminum Company»				
	E-mail: nosser2016@outlook.com					
TJ	RU	EN				
Рафиев Рустам Сафаралиевич	Рафиев Рустам Сафаралиевич	Rafiev Rustam Safaralievich				
номзади илмҳои химия, мудири кафедраи химияи татбиқӣ	кандидат химических наук, заведующий кафедрой прикладной хими	Candidate of Chemical Sciences, Head of the Department of Applied Chemistry				
Донишгохи миллии Точикистон	Таджикский национальный университет	Tajik National University				
	E-mail: rustam.rafiev@mail.ru					
TJ	RU	EN				
Рузиев Чура Рахимназарович	Рузиев Джура Рахимназарович	RuzievJuraRahimnazarovich				
д.и.т., проф., профессори кафедраи химияи татбиқй	д.т.н., проф., профессор кафедры прикладной химии	Doctor of Technical Sciences, Professor, Professor of Applied Chemistry Department				
Донишгохи миллии Точикистон	Таджикский национальный университет	Tajik National University				
E-mail: gyra71@mail.ru						

УДК. 678.026.33

RESEARCH ON THE COMPOSITION OF OFFSET PRINTING PAINTS

Kh.A. Babakhanova, D.I. Abdirakhmanova, Z.K. Galimova

Tashkent Institute of Textile and Light Industry

The method of FTIR spectroscopy for objective control and identification of the composition of metallised paints for offset printing is applied. Alluminium and coloured pigments, powders and powders as well as metallised papers are used to give metallic effect. Currently, the cheapest way to give a metallic effect is metallised paints. The main component of the binder of printing inks is rosin from pine oleoresin. In this paper the composition and properties of metallised inks based on rosin from cherry tree resin are investigated in order to reduce the percentage of imported component and expand the range of metallised inks.

Keywords: IR spectroscopy, metallised paper, ink composition, cherry tree resin rosin, optical density.

ТАХКИКИ ТАРКИБИ РАНГ БАРОИ ЧОПИ ОФСЕТЙ

Х.А. Бабаханова, Д.И. Абдирахманова, З.К. Галимова

Барои назорати объективй ва муайян кардани таркиби рангхои металлй барои чопи офсетй усули спектроскопияи IR-Fourier истифода шудааст. Барои додани таъсири металлй пигментхои алюминий ва ранга инчунин коғазхои металлй истифода мешаванд. Имруз рохи арзонтарини ба даст овардани эффекти металлй бо рангхои металлй мебошад. Чузьи асосии пайвастакунандаи рангхои чопй канифали катрони санавбар мебошад. Дар ин кор таркиб ва хосиятхои рангхои металлизатсияшуда дар асоси канифал аз катрони дарахти гелос бо максади кам кардани фоизи чузьхои воридотй ва васеъ кардани навъхои рангхои металлй баррасй карда мешаванд.

Вожахои калиди: спектроскопияи ИС, когази металли, таркиби ранг, канифони дарахти гелос, зичии оптики.

ИССЛЕДОВАНИЯ СОСТАВА КРАСКИ ДЛЯ ОФСЕТНОЙ ПЕЧАТИ

Х.А. Бабаханова, Д.И. Абдирахманова, З.К. Галимова

Применен метод ИК-Фурье спектроскопии для объективного контроля и идентификации состава металлизированной краски для офсетной печати. Для придания металлического эффекта применяют аллюминиевые и цветные пигменты, пудры и порошки, а также металлизированные бумаги. На сегодняшний день наиболее дешевым способом для придания металлического эффекта являются металлизированные краски. Основным компонентом связующего печатных красок является канифоль из сосновой живицы. В работе исследованы состав и свойства металлизированной краски на основе канифоли из смолы черешневого дерева с целью уменьшения процента импортной составляющей и расширения номенклатуры металлизированных красок.

Ключевые слова: ИК-спектроскопия, металлизированная бумага, состав краски, канифоль из смолы черешневого дерева, оптическая плотность.

Introduction

Modern printing methods and corresponding printing materials are used to give special and protective effects to labelling and packaging products. Efficient and cost-effective methods include the production of products using decorative metallised papers printed with gravure inks with aluminium and coloured transparent pigments. Often pure aluminium foil obtained by spraying metallic powder onto the surface is used as the printing material [1]. Three main methods are used to produce metallised paper: vacuum metallisation, lamination and transfer metallisation [2]. Often used "vacuum" metallised papers, obtained as a result of the technological process by deposition of aluminium vapour on the surface of pre-lacquered paper, contribute to the imparting of decorative and protective properties [3]. However, the complexity and multi-stage technological processes are their disadvantages, as they directly affect the labour intensity and cost of production. An alternative and the cheapest way is the production using matte or shiny metallised printing inks that successfully imitate noble metals and do not require special operations and additional settings of the printing machine in preparation for the print run. The metallic effect of the print has always given printed products a special charm and attractiveness [4]. In addition, the use of modern offset metallised vegetable oil inks allow high-quality printing without adding alcohol to the moistening solution. Minimal supply of moisturising solution contributes to faster drying of prints and obtaining the best metallic gloss effect [5-6].

Metallised inks in various shades, from classic gold and silver to more unusual shades such as copper or bronze, are used in the production of labels and packaging products for cosmetics, perfumes, beverages and other food products.

The basis of metallised paints are aluminium powders, powders and pastes that give a beautiful metallic effect and protect them from moisture, heat and light [7, 8]. The vegetable oils used as binders (linseed oil, tung oil, dehydrated castor oil, tall oil, safflower oil, soya oil, etc.) are responsible for the bonding of pigments, which determines the printing properties of the inks (rolling, thin layer application, transfer from surface to surface, fixation on paper) [9]. Modified linseed oil, which belongs to the drying group, is often used for the preparation of sheetfed offset inks [10-11]. Sunflower oil, soya oil, cotton oil are semi-drying and castor oil is non-drying [12-13]. Depending on the properties of vegetable oils, the surface activity of the ink changes, i.e. the nature of interaction with the surfaces to be printed, the behaviour

of the ink in the printing process and its ability to be fixed on the print [14-15]. It follows that in order to ensure stable print quality under specific production conditions, it is necessary to select and use ink correctly, which is quite difficult.



Figure.1 – Printing with metallised inks

The composition of metallised inks based on mixed pentaerythritol esters of rosin-maleic adduct and rosin with addition of bronze powders for printing on coated papers has been developed, thus sufficient speed of drying and fixing, gloss on the surface of prints has been provided [16]. In addition, in the composition of the ink introduced esters of low alcohol and organic acid to increase the percentage of transfer of ink from the form to the prints. For inks based on rosin-maleic resin esterified with pentaerythritol, metal powder is proposed as a colouring pigment added just before printing the circulation. As can be seen, in the different composition of metallised inks, a greater percentage is made up of resins with a high content of rosin.

Experimental results

The NICOLET iS50 FTIR spectrometer used in this work is a compact and versatile instrument for research at a high "research-grade" level. The advantage is the limitless analytical potential up to the integration with other ATR, Raman and NIR methods, e.g. the Nicolet iS50 FT-Raman FTIR spectrometer allows the analysis of polymers and additives in raw form up to the finished product. The integrated diamond crystal device of the versatile and compact infrared spectrometer from Thermo Scientific allows spectra to be recorded in the near, mid and far infrared ranges down to 100 cm-1. The absorption of radiation is described by the Bouguer-Lambert-Bera law, which defines the attenuation of a parallel monochromatic beam of light as it propagates in an absorbing medium. The spectrum is plotted as a function of transmittance (T - transmittance, %) or optical density (D - optical density) as a function of wavelength, frequency or wave number.

The object of the study is metallised paint, which contains cherry tree resin in a mixture of linseed and soybean oil, microcalcite and aluminium powder are used to improve the colour, and a siccative (alkyd varnish) is added for quick drying. Chinese-made ink is taken for comparison.

To test the quality of printing, test impressions (dies) with metallised inks were made on the IGT CB 100-E Zhongshan Nuobang colour equipment. The intensity and stability of the inks were determined from the impressions.

The IR spectra of the samples were analysed and are shown in Figure 2. The IR spectra were corrected using the correction algorithm of the NVPO attachment included in the OMNIC software package. Comparison of IR spectra of metallised paint from cherry tree resin (Fig. 2, a) and finished paint of Chinese production taken for comparison (Fig. 2, b) shows that their chemical composition is similar.

The characteristic absorption bands of the C=O bond of the cyclic anhydride group with a maximum at 1731 (1501) and 2207 (2193) cm-1 are present in the compared spectra. In addition, both spectra have bands at 2853 and 2954 cm-1, which are responsible for the symmetric and asymmetric valence vibrations of the C-H bonds of the methylene and methyl groups of the phenanthrene skeleton of the resin acids of rosin; 1731 cm-1 is the characteristic band of valence vibrations of the C=O group in the carboxylic group of UNOH for unsaturated acids; 1457, 1377, 1363 cm-1 - a group of absorption bands characterising deformation (flat scissor) vibrations of C-H-bonds of methylene and methyl groups of phenanthrene skeleton of resin acids of rosin; 1259 cm-1 - valence vibrations of C-O-bond in carboxylic group. As follows from the analysis of the results of spectra processing by search base, qualitative and partially quantitative composition coincide in both samples. Based on the considered experimental data, which include IR spectra of cherry tree resin paint (Fig.2.a) and Chinese-made paint (Fig.2.b) it can be stated that the composition of the paints is identical.

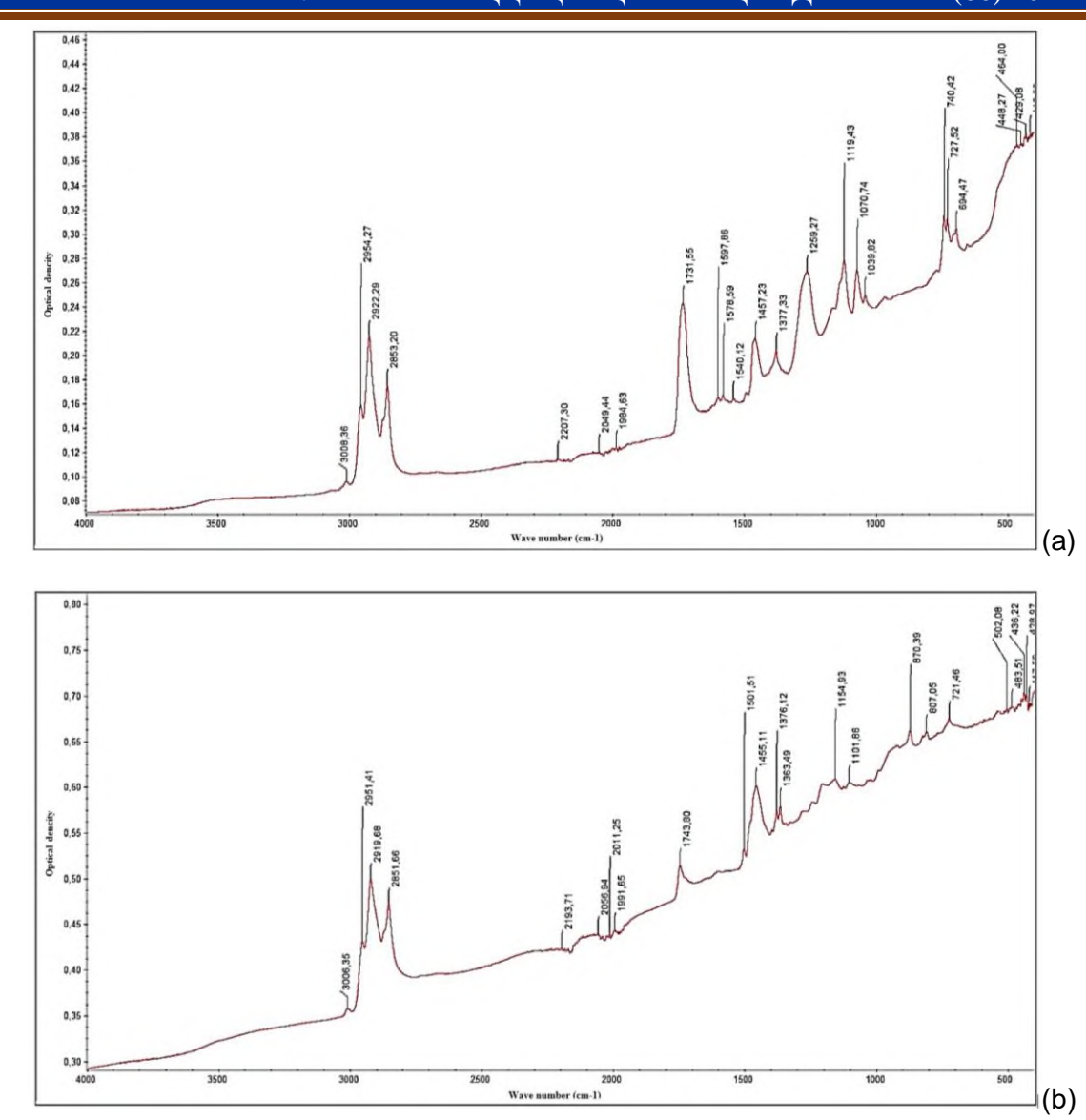


Figure 2 – Infrared spectra of the metallised cherry wood resin paint (a) and the Chinese-made paint taken for comparison (b)

Paint intensity was evaluated by optical density values determined using a portable spectrodensitometer ET 120 HD in reflected light. According to the results of measurements presented in the table, the intensity was found to be identical.

In the printing process, the characteristic of paint stability is the time of its drying on a non-absorbent surface. Stability of metallised paints were evaluated according to the standard method of GOST 6591, based on rolling a metal ball over a thin layer of printing ink, applied to a non-absorbent surface. Table shows that the paint made from alternative raw materials has a shorter drying time, which is one of the necessary conditions for offset printing.

Conclusion

The results obtained with the help of IR spectroscopy method have confirmed the prospectivity of this method in the study of paint composition, allowed to quickly and qualitatively determine the chemical composition. Comparative analysis of infrared spectra of metallised paint made of cherry tree resin and Chinese paints showed their identical

composition. The use of cherry tree resin in the production of printing inks will partially solve the raw material problem and will serve the development of the printing industry.

Reviewer: Ganiev I.N. — Doctor of Chemical Sciences, Professor, Academician of NAST

References

- 1. Lyubavina I.V., Zarubina A.N. et al. (2016) Lacquer compositions in the production of metallised paper // Forestry Bulletin. №6. P.102-106.
- 2. Kolodkin, S.V. Patent RU 2481953. Method of production of metallised label paper / S.V. Kolodkin, A.A. Petrov cl. B31D1/02. Published 20.05.2013.
- 3. Grankin A.Yu., Zarubina A.N., Savitsky A.S., Shevlyakov A.A. Composite materials from waste metallised paper on thermoplastic binder // Forestry Bulletin, 2017. T. 21. № 4. P. 83-88. © Bauman Moscow State Technical University, 2017.
- 4. Nosova N. (2008) Metallised inks for offset printing // Compuart no. 10. [Electronic resource] Mode of access: https://compuart.ru/article/19722.
- 5. Karaseva, G.V.; Karasev, I.V. (2018) Technologies of polygraphy (in Russian) // Electronic textbook. FGBOU VO. P. 126-139.
 - 6. Kasyanova E.L. (2012) Basic types of printing: textbook. Novosibirsk: SGGA. 228p.
- 7. Gopienko V. G. (2012). Metallic powders of aluminium, magnesium, titanium and silicon. Consumer properties and applications / [et al]; ed. by Chl.-Cor. RAS, Prof. A. I. Rudskiy. SPb.: Publishing house of Polytechnic University.
- 8. Powders of non-ferrous metals (1997)// Reference edition; ed. by S. S. Naboychenko. S. Naboychenko. M. : Metallurgy, P.542.
- 9. Naumova V.A., Eldred R. (2005) What a polygraphist should know about inks // Moscow Print Media Centre. P. 188-194.
- 10. Raskin A.N., Romeikov I.V., Biryukova N.D., Muratov Y.A., Efremova A.N. (1989) Technology of printing processes // Moscow "Book". P. 94-96.
- 11. Piskarev, V.V.; Viktorova, E.A. (2014) Modern alkyd paints, their properties, composition, use in design and range of application // Vestnik of Kazan Technological University. P. 89-91.
- 12. Nechiporenko, N.A.; Sheludko, S.A. (2011) Dependence of the offset inks fixation on the technological factors when printing on the metallised substrates (in Russian) // Text of scientific article in the specialty "Other technologies". P. 71-74.
- 13. Yudin, P.E.; Petrov, S.S.; Alexandrov, E.V.; Akulinin, A.A. (2013) Prospects of using the FT-IR spectroscopy for the identification of paint and varnish coatings // Territoria neftegaz. №3
 - 14. Efimova, A.I.; Zaitsev, V.B.; Boldyrev, N.Yu.; Koshkarev, P.K. (2008) Infrared FTIR spectrometry: textbook. M.
- 15. Babakhanova, H.A.; Sadriddinov, A.A.; Abdunazarov, M.M.; Babakhanova, M.A.; Gromyko, I.G. (2022) Application of the infrared spectroscopy methods in the study of the paper gluing compositions (in Russian) // Scientific and Technical Bulletin of information technologies, mechanics and optics. Vol. 22. No. 6. P. 1048-1054
- 16. Schulze-HagenestD., Drager U., Tyagi D. (2006) Preparation of a toner for reproducing a metallic hue and the toner. US Patent No. 7326507 B2.

МАЪЛУМОТ ДАР БОРАИ МУАЛЛИФОН-СВЕДЕНИЯ ОБ ABTOPAX-INFORMATION ABOUT AUTHORS

TJ	RU	EN
Бабаханова Халима Абишевна	Бабаханова Халима Абишевна	Babakhanova Halima Abishevna
Д.и.т., профессор	д.т.н., профессор	Doctor of Technical Sciences, Professor
Институти бофандагй ва саноати	Ташкентский институт	Tashkent Institute of Textile and
сабуки Тошкент	текстильной и легкой	Light Industry
	промышленности	
	E-mail: halima300@inbox.ru	
TJ	RU	EN
Абдирахманова Доно Икрамовна	Абдирахманова Доно Икрамовна	Abdiraxmanova Dono Ikramovna
ассистент	ассистент	applicant
Институти бофандагй ва саноати	Ташкентский институт	Tashkent Institute of Textile and
сабуки Тошкент	текстильной и легкой	Light Industry
	промышленности	
	E-mail: donoabdiraxmanova@mail.ru	
TJ	RU	EN
Галимова Зулфия Камиловна	Галимова Зулфия Камиловна	Galimova Zulfiya
		Kamilovna
н.и.т	К.Т.Н	PhD
Институти бофандагй ва саноати	Ташкентский институт	Tashkent Institute of Textile and
сабуки Тошкент	текстильной и легкой	Light Industry
	промышленности	

УДК 544.431:66.01:661.48:691.277

КИНЕТИКАИ ТАЧЗИЯИ ГИДРОКСИДИ АЛЮМИНИЙ ДАР ОМЕХТАИ КИСЛОТАХОИ ГИДРОГЕНСИЛИТСИЙФТОРИД ВА ФТОРИД

С.М. Шокаримов¹, Н.А. Наимов², Р.С. Рафиев¹, Ч.Р. Рузиев¹

Донишгохи миллии Точикистон ¹

Муассисаи давлатии «Пажухишгохи илмию тахкикотии металлургия»-и ЧСК «Ширкати Алюминийи Точик»² Маълумот оид ба кинетика ва механизми гузариши раванди тачзияи гидроксиди алюминий дар омехтаи кислотаи гидрогенсилитсийфторид (КГСФ) ва кислотаи фторид бо хосилшавии оксиди силитсийи аморфй ва махлули фториди алюминий, инчунин раванди кристаллизатсияи махлули фториди алюминий оварда шудааст. Энергияи фаъолнокии раванди хосилшавии оксиди силитсийи аморфй, ки зимни тачзияи гидроксиди алюминий дар омехтаи КГСФ ва кислотаи фторид хосил мешавад, 50,77 кЧ/мол-ро ташкил медихад. Раванди хосилшавии оксиди силитсийи аморфй дар худуди кинетикй мегузарад. Константаи суръати рексияхо, зариби пеш аз экспоненсиалии муодилаи Аррениус ва энергияхои фаъолнокии чудошавии махлули фториди алюминий ва кристаллизатсияи он муайян карда шуд.

Калидвожахо: кислотаи гидрогенсилитсийфторид, кислотаи фторид, фториди алюминий, оксиди силитсийи аморфй, муодилаи Аррениус, энергияи фаъолнокй.

КИНЕТИКА РАЗЛОЖЕНИЯ ГИДРОКСИДА АЛЮМИНИЯ СМЕСЬЮ КРЕМНЕФТОРИСТОВОДОРОДНОЙ И ПЛАВИКОВОЙ КИСЛОТ

С.М. Шокаримов, Н.А. Наимов, Р.С. Рафиев, Ч.Р. Рузиев

Приведена информация о результатах исследований кинетики и механизма протекания процесса разложения гидроксида алюминия смесью кремнефтористоводородной (КФВК) и плавиковой кислот с получением аморфного оксида кремния и раствора фторида алюминия, а также процесс кристаллизации фторида алюминия. Определена энергия активации получения аморфного оксида кремния, образующегося при разложении гидроксида алюминия смесью КФВК и плавиковой кислот, ее значение составляет 50,77 кДж/моль. Процесс образования аморфного оксида кремния происходит в кинетической области. Определены константа скорости реакции, предэкспоненциальные множители уравнения Аррениуса, энергии активации получения раствора фторида алюминия и его кристаллизации.

Ключевые слова: плавиковая кислота, кремнефтористоводородная кислота, кислотное разложение, фторид алюминия, аморфный кремнезём, энергия активации, уравнение Аррениуса.

KINETICS OF ALUMINIUM HYDROXIDE DECOMPOSITION BY A MIXTURE OF FLUOROSILICIC AND HYDROFLUORIC ACIDS

S.M. Shokarimov, N.A. Naimov, R.S. Rafiev, J.R.Ruziev

In paper presents the results of the study of the kinetics and mechanism of the decomposition of aluminium hydroxide in a mixture of fluorosilicic acid (FSA) and hydrofluoric acid to obtain amorphous silicon oxide and aluminium fluoride solution, as well as the crystallisation process of aluminium fluoride solution. In the course of kinetic calculations, the activation energy of amorphous silicon oxide formed during the decomposition of aluminium hydroxide in a mixture of FSA and hydrofluoric acid was determined, and its value is 50.77 kJ/mol. The results of activation energy calculations indicate that the formation of amorphous silicon oxide occurs in the kinetic region. Also, in the process of acid decomposition of aluminium hydroxide the reaction rate constant, pre-exponential multipliers of the Arrhenius equation, activation energies of obtaining aluminium fluoride solution and its crystallisation were determined.

Keywords: fluorosilicic acid, hydrofluoric acid, acid decomposition, aluminium fluoride, amorphous silica, activation energy, Arrhenius equation.

Муқаддима

Яке аз минералхои асосии фтордор – флюорит ба шумор меравад, гарчанде ки иони фтор такрибан дар таркиби 50 минерал мавчуд бошад [1].

Зимни коркарди флюорит ва консентрати фосфорит бо кислотаи сулфат як микдор кислотаи гидроегнсилитсийфторид (КГСФ) хосил мешавад, ки метавонад мухити атрофро олуда созад [2,3]. Дар ЧДММ «ТАЛКО Кемикал» зимни истехсолоти максималии кислотаи фторид ба сифати махсулоти дуюмдарача омехтаи КГСФ (25%) ва кислотаи фторид (14%) хосил мешавад, ки микдори он дар як сол такрибан 4 хазор тоннаро ташкил медихад ва хамзамон зарурати коркарди он ба миён меояд [4]. Яке аз роххои коркарди омехтаи КГСФ ва кислотаи фторид нейтрализатсияи он бо истифода аз содаи каустикй ё ин ки калсиниронида ба шумор рафта, дар натича омехтаи силитсийфторид ва фториди натрий хосил мешавад [5-7]. Имконияти истехсоли фториди натрий ва оксиди силитсийи аморфй вучуд дорад, ки аз чихати иктисодй ва экологй фоидаи назаррас ба даст меояд [8, 9].

Бинобар ин таҳқиқотҳо оид ба таҳияи технологияи коркарди омехтаи КГСФ ва кислотаи фторид бо гидроксиди алюминий бо мақсади ҳосил намудани оксиди силитфийи аморфӣ ва фториди алюминий гузаронида шуд.

Мавод ва усулхои тахкикот

Раванди коркарди омехтаи КГСФ ва кислотаи фторид бо гидроксиди алюминий дар ду зина мегузарад. Дар зинаи аввал зимни боҳамтаъсиркунии гидроксиди алюминий бо омехтаи кислотаҳо, оксиди силитсийи аморфӣ дар намуди таҳшин ва маҳлули фториди алюминий ҳосил шуда (реаксияиҳои 1 ва 2), пас аз чудо намудани оксиди силитсийи аморфӣ дар зинаи дуюм раванди кристаллизатсияи маҳлули фториди алюминий гузаронида мешавад.

$$H_2SiF_6 + 2Al(OH)_3 = 2AlF_3 + SiO_2 + 4H_2O$$
 (1)

$$3HF + Al(OH)_3 = AlF_3 + 3H_2O$$
 (2)

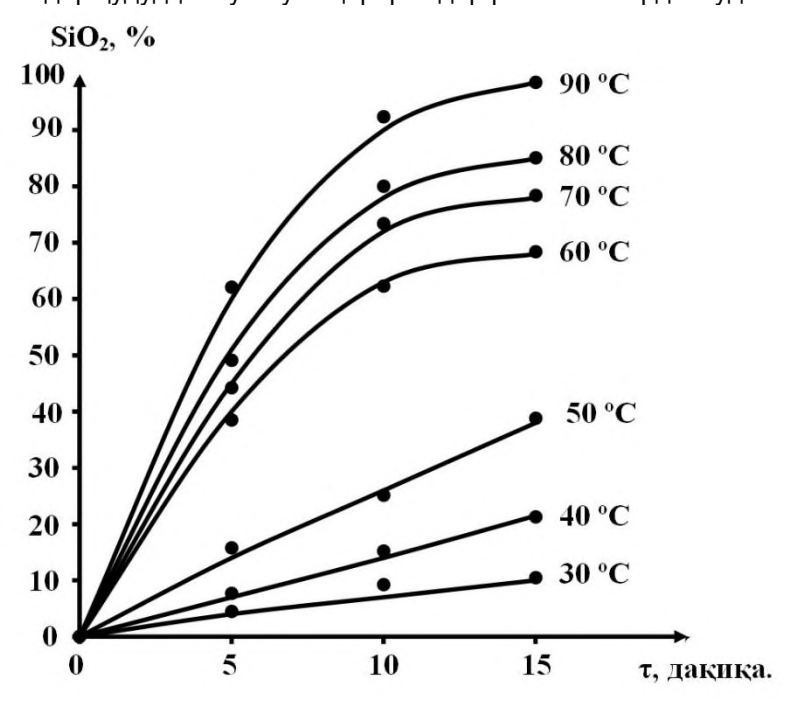
Раванди тачзияи гидроксиди алюминий дар омехтаи КГСФ ва кислотаи фторид бо мақсади ҳосил намудани оксиди силитсийи аморфй ва маҳлули фториди алюминий дар ҳарорати 90 °С, давомнокии раванд 15 дақиқа, консентратсияи КГСФ 15%, кислотаи фторид 8 % ва вояи кислотаҳо аз руйи ҳисоби стехиометрй 120% гузаронида мешавад. Дар чунин шароит дарачаи чудошавии оксиди силитсийи аморфй 98,5% ва маҳлули фториди алюминий 95,5%-ро ташкил медиҳад.

Мухокима

Дар асоси натичахои тахкикоти дар боло овардашуда, кинетикаи тачзияи гидроксиди алюминий дар омехтаи КГСФ ва кислотаи фторид бо максади хосил намудани оксиди силитсийи аморй, махлули фториди алюминий ва кристаллизатсияи махлули фториди алюминий мавриди омузиш карор дода шуд.

Дар навбати аввал, кинетикаи гузариши раванди тачзияи гидроксиди алюминий дар омехтаи КГСФ ва кислотаи фторид бо максади хосил намудани оксиди силитсийи аморфй дар худудхои харорат аз 30 до 90 °С ва давомнокии тачзия аз 5 то 15 дакика омухта шуд.

Натичаи таҳқиқот оид ба омӯзиши дарачаи чудошавии оксиди силитсийи аморфӣ вобаста аз давомнокии раванди таҷзия дар ҳудудҳои гуногуни ҳарорат дар расми 1 оварда шудааст.



Расми 1 – Вобастагии баромади оксиди силитсийи аморфії аз давомнокии раванд дар хароратхои гуногун

Аз расми 1 дида мешавад, ки качхатаҳои кинетикӣ дар интервали аз 30 то 50 °C амалан хусусияти ростхата дошта, дар ҳароратҳои 60-90 °C аввал хусусияти ростхата, баъдан шакли параболиро мегирад. Ин качҳатҳои кинетикӣ аз руӣи муодилаи тартиби якум ҳисоб карда мешаванд:

$$\frac{d\alpha}{d\tau} = k(1 - \alpha), \tag{1}$$

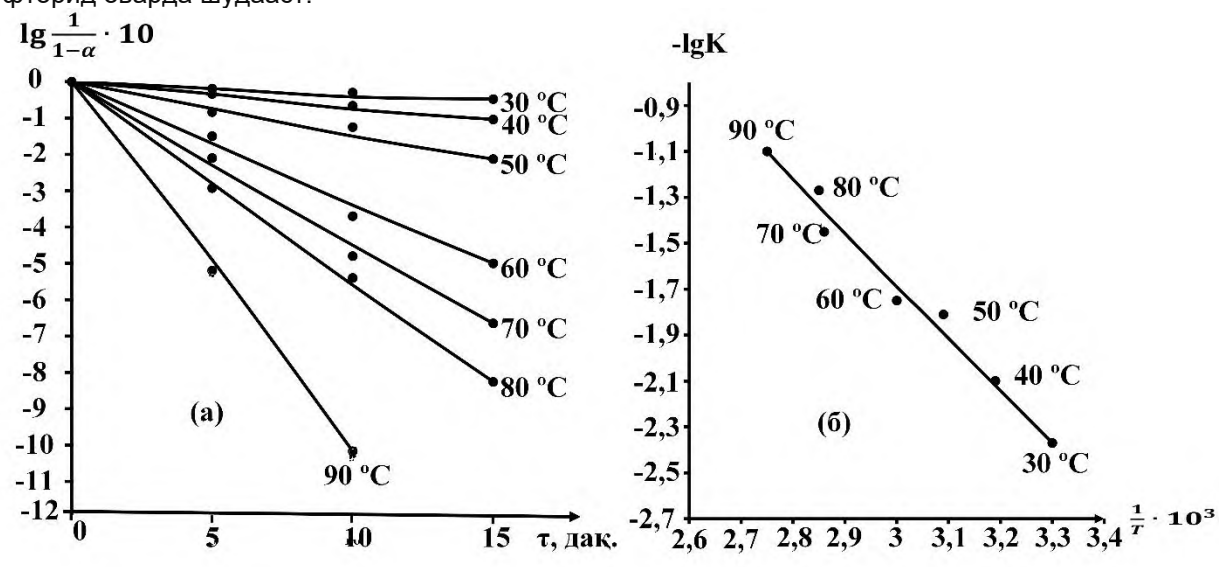
Дар ин чо: α — дарачаи тахшиншавии оксиди силитсийи аморф \bar{n} ; τ — вақт, дақиқа;

k – константаи суръати реаксия, дақиқа⁻¹.

Баъд аз дигаркунии наонқадар мушкили математикй, муодилаи (1)-ро метавонем ба шакли зерин ифода кунем:

$$\lg \frac{1}{(1-\alpha)} = \frac{k\tau}{2,303}$$
 (2)

Дар расми 2 натичаи ҳисобҳои кинетикии раванди таҷзияи гидроксиди алюминий дар омехтаи КГСФ ва кислотаи фторид оварда шудааст.



Расми 2 — Графикуои вобастагии $\lg \frac{1}{(1-\alpha)}$ аз вақт (а) ва $\lg K$ аз ҳарорати мутлақи баръакс (б)

Чуноне ки аз графики вобастагии $\lg rac{1}{(1-lpha)}$ аз вақт (расми 2а) дида мешавад, ки рахҳои ҳосилшуда

қиматҳои манфӣ дошта, зимни таҳлили ин хатҳо, қимати константаи суръати раванди таҷзия дар ҳудуди таҳқиқшавандаи ҳарорат ҳисоб карда шуд.

Вобастагии константаи суръати реаксияро аз ҳарорат бо муодилаи Аррениус ҳисоб шуда, натиҷаи омӯзиш дар ҷадвали 1 оварда шудааст.

Чадвали 1 – Хисоби константаи тахшиншавии оксиди силитсийи аморфи дар хароратхои гуногун

№	303K	313K	323K	333K	343K	353K	363K
К _{ря} , мин ⁻¹	0,0042	0,0081	0,0161	0,0456	0,0591	0,0711	0,1231

Вобастагии константаи суръати реаксия аз харорат бо муодилаи Аррениус хисоб карда мешавад:

$$k=k_o\cdot e^{-\frac{E}{RT}}$$
 ё ин ки:
$$\lg k=\lg k_0-\frac{E}{2.303RT}\,, \tag{3}$$

еинк

дар ин чо: k – константаи суръати раванди тачзия;

 k_0 – зариби пеш аз экспоненсиалй;

Е – энергияи фаъолнокии зохирй, кЧ/мол;

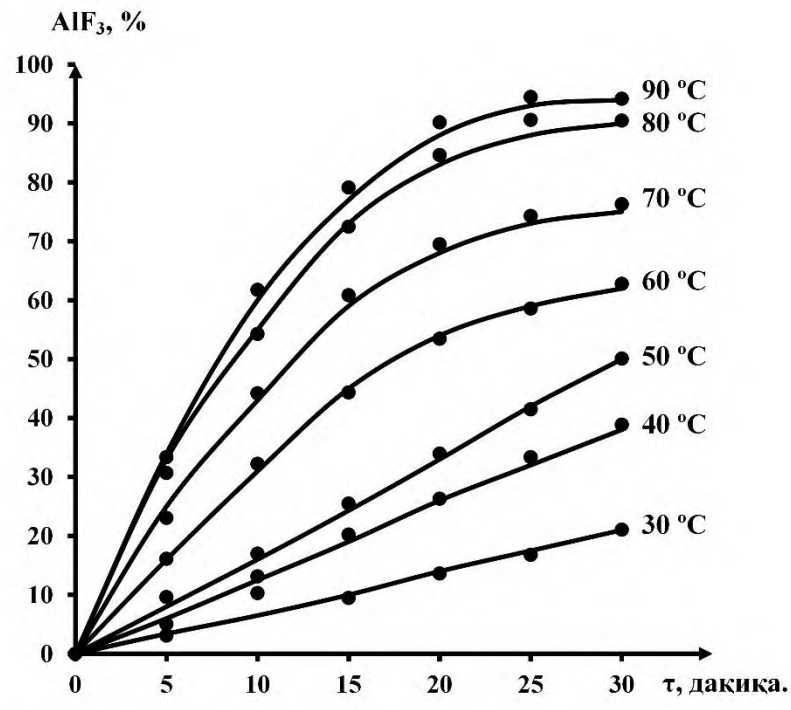
R – доимии универсалии газҳо, Ҷ/мол·град;

T – ҳарорати мутлақ, К.

Дар расми 2б вобастагии $\lg K$ аз ҳарорати мутлақи баръакс (1/T) нишон дода шудааст. Чуноне ки аз расм дида мешавад ҳамаи нуқтаҳои таҷрибавӣ дар як ҳати рост ҷойгир шудаанд.

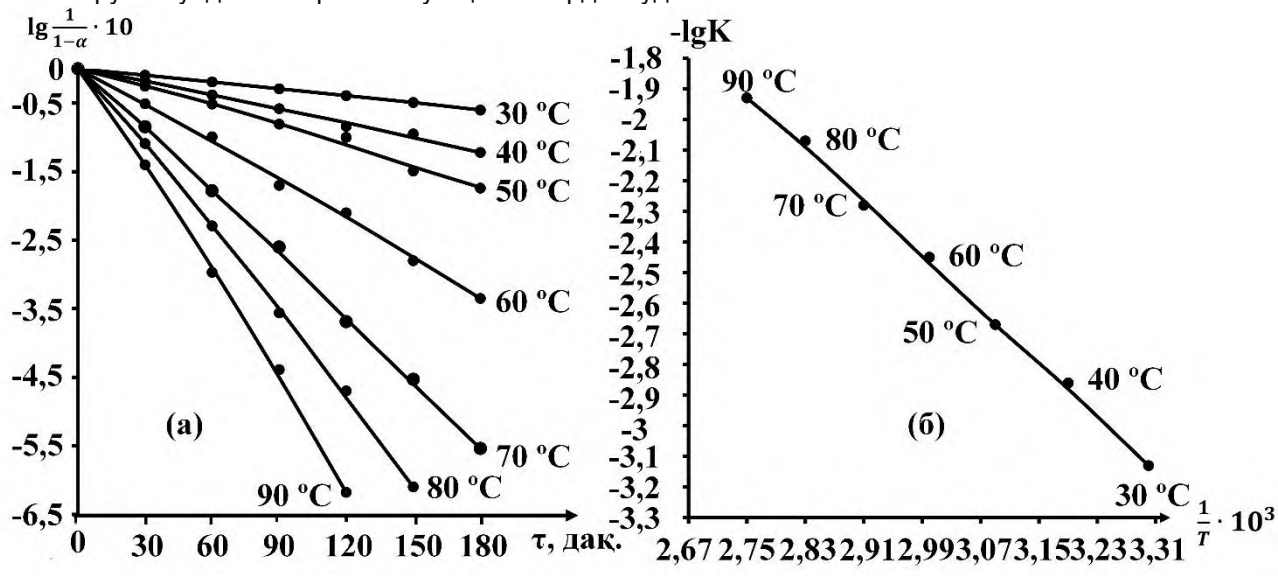
Бо истифодаи муодилаи Аррениус энергияи фаъолнокии раванди хосилшавии оксиди силитсийи аморфй хисоб карда шуд, ки кимати он ба 50,77 к Мол баробар мебошад. Кимати хисобкардашудаи энергияи фаъолнокии хосилшавии оксиди силитсийи аморфй аз он далолат медихад, ки раванд дар худуди кинетикй мегузарад.

Пас аз муайян намудани бузургихои кинетикии хосил намудани оксиди силитсийи аморфй, кинетикаи хосилшавии махлули фториди алюминий дар харорати аз 30 то 90 °C ва давомнокии раванди аз 5 то 15 дақиқа омухта шуда, натичаи он дар расми 3 оварда шудааст.



Расми 3 – Вобастагии дарачаи чудошавии баромади маҳлули фториди алюминий аз давомнокии раванд дар ҳароратҳои гүногүн

Аз расми 3 дида мешавад, ки качхатаҳои кинетикй дар ҳудуди аз 30 то 50 °C амалан хусусияти ростхата дошта, дар ҳароратҳои 60-90 °C аввал хусусияти ростхата, баъдан шакли параболиро мегирад. Ин качҳатҳои кинетикй аз руйи муодилаи тартиби якум ҳисоб карда шудааст.



Pасми 4 — Γ рафикуои вобастагии $\lg \frac{1}{(1-lpha)}$ аз вақт (a) ва вобастагии $\lg K$ аз харорати мутлақи баръакс (б)

Инчунин аз графики вобастагии $\lg \frac{1}{(1-lpha)}$ аз вақт (расми 4а) дида мешавад, ки хатҳои ёфташуда,

қиматҳои манфӣ дошта, зимни таҳлили ин хатҳо, қимати константаи суръати раванди таҷзияи гидроксиди алюминий дар ҳудуди таҳқиқшавандаи ҳарорат ҳисоб карда шуд.

Вобастагии константаи суръати реаксияро аз ҳарорат бо муодилаи Аррениус ҳисоб намудем ва натиҷаи он дар ҷадвали 2 оварда шудааст.

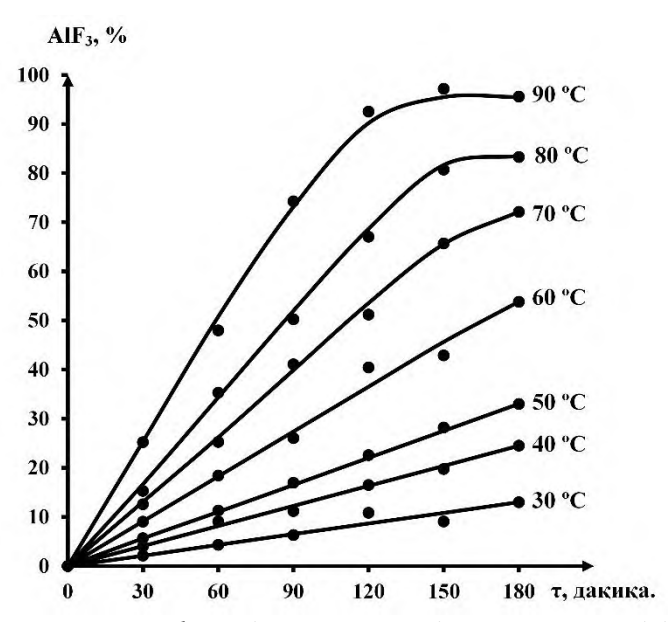
Чадвали 2 – Хисоби константаи суръати реаксияи чудошавии махлули фториди алюминий дар хароратхои гуногун

№	303K	313K	323	333K	343K	353K	363K
К _{ря} , мин ⁻¹	0,0074	0,0149	0,0216	0,0311	0,0493	0,0725	0,9121

Бо истифодаи муодилаи Аррениус энергияи фаъолнокии раванди ҳосилшавии маҳлули фториди алюминий ҳисоб карда шуд, ки қимати он ба 38,71 кҶ/мол баробар мебошад. Қимати ҳисобкардашудаи энергияи фаъолнокии ҳосилшавии маҳлули фториди алюминий шаҳодат аз он медиҳад, ки раванди мазкур дар ҳудуди интиқолй мегузарад.

Чуноне ки қаблан қайд гардида буд, пас аз чудо намудани оксиди силитсийи аморфӣ дар зинаи дуюм раванди кристаллизатсияи маҳлули фториди алюминий гузаронида мешавад. Бинобар ин кинетикаи кристаллизатсияи фториди алюминий дар ҳудуди ҳарорати аз 30 то 90 °C ва давомнокии раванд аз 30 то 180 дақиқа омуҳта шуда, натичаи он дар расми 5 оварда шудааст.

Чуноне ки аз расми 5 дида мешавад, ки качхатахои кинетикй дар худуди харорт аз 30 то 60 °C хосияти ростхатагй дошта, дар хароратхои аз 70 то 90 °C аввал хусусияти ростхата, баъдан шакли параболиро мегирад. Качхатхои кинетикй аз руйи муодилаи тартиби якум хисоб карда шудаанд.



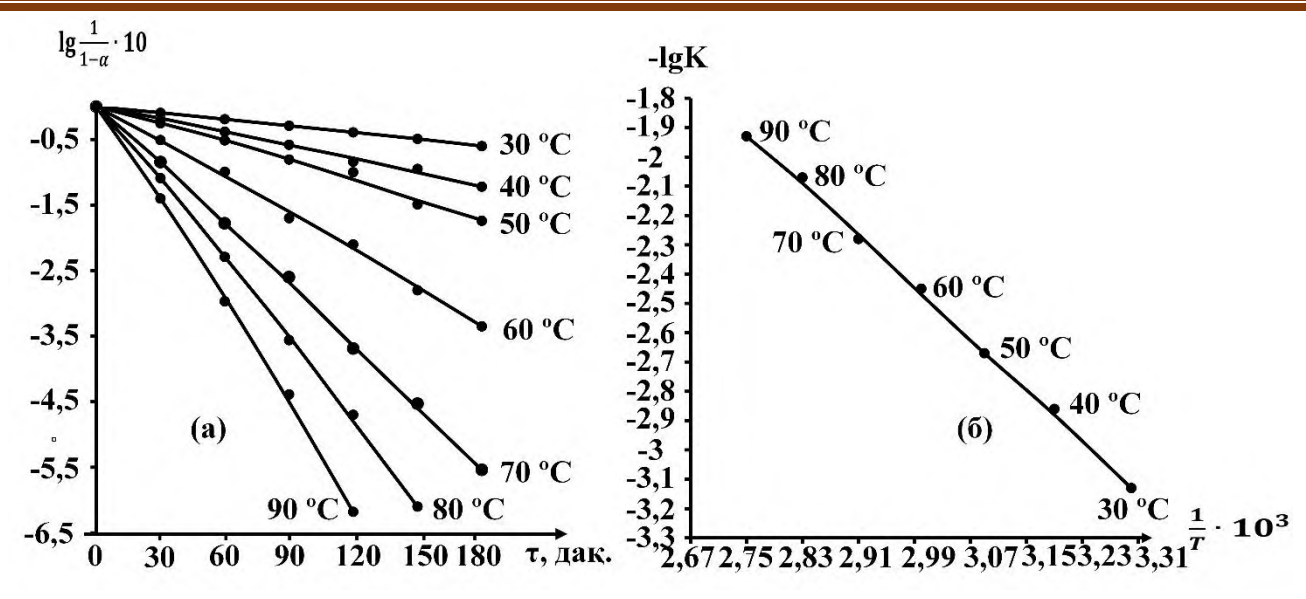
Расми 5 – Дарачаи кристаллизатсияи фториди алюминий аз давомнокии раванд дар хароратхои гуногун

Зимни кристаллизатсияи маҳлули фториди алюминий, ки ҳангоми таҷзияи гидроксиди алюминий бо омехтаи КГСФ ва кислотаи фторид ҳосил шудааст ва ҳисобҳои кинетикии таҳқиқоти мазкур, натиҷаҳои зерин ба даст оварда шудаанд, ки дар расми 6 таҷассум гардидаанд.

Аз графики вобастагии $\lg \frac{1}{(1-lpha)}$ аз вақт (расми 2a) дида мешавад, ки хатҳои зимни кристаллизатсияи

фториди алюминий тасвирёфта, қиматҳои манфӣ дошта, зимни таҳлили ин хатҳо, қимати константаи суръати раванди кристаллизатсия дар ҳудуди таҳқиқшавандаи ҳарорат ҳисоб карда шуд.

Дар ин асос вобастагии константаи суръати реаксияро аз ҳарорат бо муодилаи Аррениус ҳисоб карда шуда, натичаи он дар чадвали 3 нишон дода шудааст.



Расми 6 – Графикуои вобастагии $\lg \frac{1}{(1-lpha)}$ аз вақт (а) ва вобастагии $\lg K$ аз ҳарорати мутлақи баръакс (б)

Чадвали 3 – **Х**исоби константаи кристаллизатсияи фториди алюминий дар хароратхои гуногун

$N_{\underline{0}}$	303K	313K	323	333K	343K	353K	363K
К _{ря} , мин ⁻¹	0,000074	0,001465	0,002111	0,003881	0,005959	0,008527	0,01563

Зимни хисоб намудани энергияи фаъолнокй бо истифода аз муодилаи Аррениус маълум гардид, ки раванди кристаллизатсияи маҳлули фториди алюминий дар ҳудуди интиқолй мегузарад, зеро қимати энергияи фаъолноки 38,71 кҶ/мол-ро ташкил медиҳад. Қиматҳои ёфташудаи энергияи фаъолнокии раванди таҷзияи гидроксиди алюминий дар омехтаи КГСФ ва кислотаи фторид ба адабиёти додашуда мувофиқат мекунад [10].

Хулоса

Хамин тариқ, қиматҳои ҳисобшудаи кинетикӣ, механизми равандро ҳангоми таҷзияи гидроксиди алюминий дар омехтаи КГСФ ва кислотаи фторид бо мақсади ҳосил намудани оксиди силитсийи аморфӣ ва фториди алюминий муайян намуда, имкон медиҳанд, ки шароити оптималӣ барои татбиқи ин технология интихоб карда шавад.

Адабиёт

- 1. Раков Э.Г. Химия и технология неорганических фторидов. М.: Изд-во МХТИ им. Д.И. Менделеева, 1990. 162 с.
- 2. Production of Fluorosilicic Acid from Phosphoric Acid Slurry of a Fertilizer Manufacturing Plant / Se-Won Kim, Woo-Kyun Moon, Hung-Suck Park // Journal of the Korea Academia-Industrial cooperation Society 13(2). February 2012. DOI:10.5762/KAIS.2012.13.2.926.
- 3. Азотнокислотная переработка бедного апатита месторождения Лаокай / Ле Хонг Фук // Диссертация на соискание ученой степени кандидата технических наук. Москва -2021, 143 стр.
- 4. Физико-химические аспекты технологии получения криолита, используемого для производства алюминия, гидрохимическим способом с использованием поваренной соли / Х.Сафиев, Н.А.Наимов, Дж.Р.Рузиев, И.Ш.Ахмадшоев, А.М. Джуракулов, А.Муродиён, Н.В.Немчинова // iPolytechJournal. 2022. Т. 26. № 2. С. 348–356 (InEng.). https://doi.org/10.21285/1814-3520-2022-2-348-356.
- 5. Повышение качества фторсиликата натрия / Т.И. Мызовская, С.Р. Масакбаева // Наука и техника Казахстана, ISSN 1680-9165, № 4, 2020, https://doi.org/10.48081/UGRM6297

- 6. Characterization and Properties of Sodium Hexa-Fluorosilicate and its Potential Application in the Production of Sodium Fluoride / F. Arianpour, A.Ç. Arianpour, B. Aali // Silicon, 2020, https://doi.org/10.1007/s12633-020-00755-0
- 7. The effect of reaction conditions on the precipitation of sodium hexafluorosilicate produced from waste hexafluorosilicic acid / Marwan M. Batiha, Mohammad Al-Harahsheh // Polish Journal of Chemical Technology, 13, 2, 23-28, 2011, 10.2478/v10026-011-0019-4.
- 8. Recovery of a high surface area mesoporous silica from waste hexafluorosilicic acid (H_2SiF_6) from fertilizer industry / Sarawade P.B. et al. // Journal of hazardous materials 173 (2010) pp. 576 580.
- 9. Получение силиката натрия из модифицированного силикагеля, побочного продукта фторида алюминия / Мамченков Е.А., Прокофьев В.Ю. // Изв. вузов. Химия и хим. технология. 2019. Т. 62. Вып. 3. С. 89-93.
- 10. А. Н. Дьяченко. Практикум по гетерогенной химической кинетике Учебно-методическое пособие. Томск: Изд. ТПУ, 2004, 23с.

МАЪЛУМОТ ДАР БОРАИ МУАЛЛИФОН-СВЕДЕНИЯ ОБ ABTOPAX-INFORMATION ABOUT AUTHORS

ADOUT AUTHORS							
TJ	RU	EN					
Шокаримов Сирочиддин Мирзоеви	Шокаримов Сироджиддин Мирзоеви	Shokarimov Sirojiddin Mirzoevich					
Докторанти PhD-и кафедраи химияи татбики	Докторант PhD кафедры прикладной химии	PhD student at the Department of Applied Chemistry					
Донишгохи миллии Точикистон	Таджикский национальный университет	Tajik National University					
	E-mail: sirojshokarimov@mail.ru						
TJ	RU	EN					
Наимов Носир Абдураҳмонович	Наимов Носир Абдурахмонович	Naimov Nosir Abdurahmonovich					
номзади илмхои техникй, муовини директор оид ба корхои илмй	кандидат технических наук, заместитель директора по научной работе	Candidate of Technical Sciences (PhD), Deputy Director for scientific work					
МД «Пажўхишгохи илмию тахкикотии металлургия»-и ЧСК «Ширкати Алюминийи Точик»	ГУ «Научно-исследовательский институт металлургии» ОАО «Таджикская Алюминиевая Компания»	State Institution «Scientific Research Institute of Metallurgy» JSC «Tajik Aluminum Company»					
	E-mail: nosser2016@outlook.com						
TJ	RU	EN					
Рафиев Рустам Сафаралиевич	Рафиев Рустам Сафаралиевич	Rafiev Rustam Safaralievich					
номзади илмҳои химия, мудири кафедраи химияи татбиқӣ	кандидат химических наук, заведующий кафедрой прикладной химии	Candidate of Chemical Sciences, Head of the Department of Applied Chemistry					
Донишгохи миллии Точикистон	Таджикский национальный университет	Tajik National University					
	E-mail: <u>rustam.rafiev@mail.ru</u>						
TJ	RU	EN					
Рузиев Чура Рахимназарович	Рузиев Джура Рахимназарович	Ruziev Jura Rahimnazarovich					
д.и.т., проф., профессори кафедраи химияи татбикй	д.т.н., проф., профессор кафедры прикладной химии	Doctor of Technical Sciences, Professor, Professor of Applied Chemistry Department					
Донишгохи миллии Точикистон	Таджикский национальный университет	Tajik National University					
E-mail: gyra71@mail.ru							

УДК. 662.665.761

ДАР БОРАИ МОДЕЛСОЗИИ РАВАНДИ ПИРОЛИЗИ КОНДЕНСАТХОИ ГАЗЙ ДАР ПЛАЗМАИ ХАРОРАТАШ ПАСТ

М.Т. Идиев, Б.С. Сафаров, У.Н. Файзуллоев

Донишгохи техникии Точикистон ба номи академик М.С. Осимй

Равандхое, ки дар чараёни харорати баланд ба амал меоянд, бо номутавозунии термодинамикй хос буда, системаи мураккабро ифода мекунанд. Хосили махсулоти нихой бештар аз суръати равандхои якхелаи чараёни харорати баланд вобаста мебошад. Барои муайян намудани якчоякунии муносиби омилхои термодинамикй ва кинетикй, ки хосилнокии баланди махсулоти реаксияро таъмин менамоянд, зарурати гузаронидани тачрибахои сершумор талаб карда мешавад. Нишон дода шудааст, ки мушкилоти мазкурро метавон тавассути моделсозии равандхои харорати баланд пешгирй кардан мумкин аст. Бо истифодабарии усули бахисобгирии гурухии асосхо нишон дода шудааст, ки имконияти пайдо кардани шароити муносиб барои баровардани махсулоти реаксионии коркарди харорати баланди конденсатхои газй вучуд дорад.

Калимахои калидй: плазма, пиролиз, газоконденсат, плазмаи пастхарорат, металлургия, технологияи плазмавй, модели математикй.

О МОДЕЛИРОВАНИИ ПИРОЛИЗА ГАЗОВЫХ КОНДЕНСАТОВ В НИЗКОТЕМПЕРАТУРНОЙ ПЛАЗМЕ

М.Т. Идиев, Б.С. Сафаров, У.Н. Файзуллоев

Процессы, протекающие в высокотемпературных потоках, характеризуются термодинамической неравновесностью и представляют сложную систему. Выход конечного продукта во многом зависит от скорости гомогенных процессов высокотемпературного потока. Для нахождения оптимальных сочетаний термодинамических и кинетических факторов, обеспечивающих максимальный выход продуктов реакции, возникает необходимость в проведении многочисленных экспериментов. Показано, что данную проблему можно избежать путем моделирования высокотемпературных процессов. С применением метода группового учета аргументов показана возможность нахождения оптимального условия выхода продуктов реакции высокотемпературной переработки газоконденсатов.

Ключевые слова: плазма, пиролиз, газоконденсат, низкотемпературная плазма, металлургия, плазменная технология, математическая модель.

OF MODELLING OF PYROLYSIS OF GAS CONDENSATES IN LOW TEMPERATURE PLASMA М.Т. Идиев, Б.С. Сафаров, У.Н. Файзуллоев

Processes in high-temperature flows are characterized by the thermodynamic no equilibrium and represent a complex system. The yield of the final product largely depends on the rate of homogeneous processes of high-temperature flow. To find the optimal combinations of thermodynamic and kinetic factors that ensure the maximum yield of the reaction products there is a need to conduct numerous experiments. It shown that this problem can be avoided by modeling the high-temperature processes. Using the method of group account of arguments shows the possibility of finding optimal conditions the yield of the reaction products of high-temperature treatment of the gas condensates.

Keywords: plasma, pyrolysis, gas condensates, low temperature plasma, metallurgy, plasma technology, mathematic modeling.

Муқадима

Дар даҳсолаи охири асри бистум тадқиқоти таҷрибавии плазма васеъ рушд ёфтааст, ки бо бисьёр мушкилотҳои муҳими зерин алоқаманд мебошад: синтези термоядроии идорашаванда, ба вучуд овардани тағйирдиҳандаи энергияи плазмавӣ, муҳаррикҳои плазмавӣ, кор карда баровардани генераторҳои плазмавӣ ва ғайра.

Усули плазмавию химиявии хосил намудани моддахо дар мукоиса бо усули химиявй як катор афзалиятхоро доро мебошад. Махсусан махсулоти аз плазма хосилгардида бо микдори камтари реаксия тозатар мебошад, масохати ками истехсолиро талаб менамояд, инчунин ба вучуд омадани партовхо камтар аст. Бартарии мухими технологияи плазмавй дар экология зохир мегардад, зеро бо усулхои истехсоли плазмавию химиявй мухити атроф хеле кам ифлос мешавад [1-4].

Айни замон рушди химияи плазмавй бо гузаронидани тадқиқот дар самти коркарди равандҳои нави технологй дар химия, металлургия, коркарди масолеҳ ва ғайра муайян карда мешавад, масалан ҳангоми истеҳсоли оксиди кремний (II), баъзе шпинелҳо, нитридҳо, карбидҳо, фторидҳо ва гидридҳои элементҳои гуногун. Пеш аз ҳама, масолеҳи мушкилгудоз, алкил - ва арилсиланҳо аз газҳои кремний ва карбогидрид, пайвастагиҳои металлй ва миҳдори зиёди дигар маҳсулоти ғайриорганикй ва органикй.

Хадафи кор

Хадафи кор ин моделсозии равандхои плазмавию химиявии коркарди конденсатхои газй барои таъмин намудани хосили баланди махсулоти нихоии реаксия мебошад.

Бисёр равандхои физикй — химиявй ва технологй системахои мураккабе мебошанд, ки дар онхо дар баробари мавчуд будани тағйирёбии гуногун дар аксари андозахои физикй табдилдихии химиявии баъзе моддахо ба дигараш ба амал меоянд. Ба ин гуна равандхо, аз он чумла пиролизи плазмавию химиявии ашёи хоми мураккаби карбогидридй дохил мешаванд. Хамаи равандхои химияи плазмавй бештар дар таркиби ғайримувозинатии системахои бисёр реаксияхои химиявй ба амал меоянд. Барои аксари системахои мураккаб бояд таркиби мувозинатии чузъхо арзёбй карда шавад, ки он метавонад барои баъзе муносибкунии равандхо, масалан барои таносуби массаи реагент ва плазма, барои чустучў намудани речахои харорат ва фишорхои оптималй истифода шавад.

Инчунин зарур аст, ки арзёбии кинетикии таркиби мувозинати система, муайян кардани доираи фазой - вақтии ҳосилшавии иҷозатдодашудаи маҳсулоти таъиншуда анҷом дода шавад. Дар ин сурат ба механизми захираи ашёи хоми карбогидрид талабот ба вуҷуд меояд.

Дар бисёр мавридхо арзёбии раванди плазмавию химиявй дар шароити ғайримувозинатй имконнопазир аст, натичахои хисоб кардани мувозинат бошад, аксар вакт ба тачриба мувофикат намекунанд.

Хангоми омузиши технология истифодабарии плазмаи харораташ паст, интихоб намудани варианти муносиб чихати гузаронидани раванд ва алалхусус зиёд кардани пешгуии пурраи асоснок дар бораи хосилнокии махсулоти пастсифат бо афзоиши хачми дастгоххои плазмавию химиявй хеле душвор мебошад. Дар ин маврид сохтани модели математикй зарур мебошад, ки бо он метавон рафтори системаро муайян намуд ва кушиш кардан мумкин аст, ки робитаи мутакобилаи аргументхо (андозахо)-ро, ки аз он таъиноти максадноки раванд вобастагй дорад, ошкор карда шавад. Азбаски сохтани модели физикй барои шарх додани раванди плазмавию химиявй душворихои назаррасро ба амал меорад (муайян кардани механизм ва суръати реаксияи химиявй, таъсири омилхои газию динамикй ва хароратй), пас ташаккули модели математикй аз руи оне ки имконияти гузаронидани муносибгардониданй ва бахо додани натичахо мешавад ин мархилаи зарурии тахлил мегардад

Усулхои муносибгардонй таваччухи махсус дорад, вакте ки модел дар асоси коркарди маълумотхои тачрибавй дар шароити кори муътадили объекти плазмавию химиявй ба даст овардашудааст сохта мешавад.

Сохтани модели математикӣ барои воридоти **X** ва барои баромади **ф** муайян кардани арзёбии оператори функсия мебошад:

$$\varphi = F(\vec{a}\vec{x}) \tag{1}$$

дар ин чо \vec{a} – вектори параметрхои номаълум.

Истифодаи усулҳои ба ҳақиқат наздиктари аз ҳад зиёд, усули тахминии стохастикӣ барои ҳалли чунин масъала танҳо дар сурати сохтори додашудаи модели математикӣ имконпазир мебошад (1).

Дар мавриди объектҳои мураккаб, вақте ки шакли функсия $F(\vec{a}\vec{x})$ номаълум мебошад, ҳалли чунин масъалахо бо усулхои нишон додашуда ба ҳаҷми амалан намоёни ҳисобҳо ё ба наздикшавиҳои хаттӣ, ба тарзи соддакардашудаи шарҳ додани масъала оварда мерасонад, ки на хамеша талаботи амалияро қонеъ мегардонад. Ҳамин тариқ, масъалаи синтез кардани моделҳои математикии объектҳои мураккабро ҳангоми номаълум будани шакли функсия (1) ҳал кардан зарур мебошад, яъне сохтор ва андозаҳои моделро барқарор кардан лозим аст.

Фарз мекунем, ки модели математикии номаълуми системаи мураккаб чамъи баъзе истилоҳҳои полиноми умумии Колмогоров-Габор мебошад:

$$\varphi = a_0 + \sum_{i=1}^n a_i x_i + \sum_{i=1}^n \sum_{j=1}^n a_{ij} x_i x_j + \sum_{i=1}^n \sum_{j=1}^n \sum_{k=j}^n a_{ijk} x_i x_j x_k \dots$$
 (2)

Шумораи умумии аъзоҳои бисёраъзогӣ (2) бо афзоиши шумораи аргументҳо (n) ва дараҷаи он (k) якбора зиёд мешавад ва ба $W=C_{n+k}^k$ - баробар аст. Ҳангоми n ва k –и мувофиқшуда ҳама гуна вобастагии $\phi(x)$ -ро, ки нисбат ба \mathcal{X}_i пайваста мебошад, метавон дақиқ тахмин намуд. Барои n ва k-ҳои бузург, ки ба системаҳои мураккаб мувофиқанд, қонеъ намудани шарти дурустии тартиб додани масъала N>Wдушвор аст, ки дар ин ϕ 0 N - микдори маълумотҳои тафибавӣ мебошад. Илова бар ин, матритсаи коэффитсиенти муодилаҳои муқаррарӣ ҳангоми калон будани W аксар вақт номувофиқ мешавад, ки ин боиси ҳалли ноустувор мегардад. Аз ин рӯ, зарурати таҳия ва истифода бурдани усулҳои ҳалли мушкилоти номатлуб ба миён меояд. Аксарияти чунин усулҳо ба мавҷудияти номгӯи муайяни вариантҳои моделҳои регрессивӣ асос ёфтаанд, ки дар он саҳми ҷудогона ба модели ниҳоии (2) далелҳои инфиродӣ ё тавсифи оддии хусусии онҳо арзёбӣ мешавад. Усули баҳисобгирии гуруҳии аргументҳо усули танзими қарорҳоро истифода мебарад, ки маълумоти мавҷудаи таҷрибавиро ба ду пайдарҳамӣ - омӯзишӣ ва санҷишӣ тақсим менамояд.

Аксарияти алгоритмҳои бисёраъзогии усули баҳисобгирии гуруҳии асосҳо (УБГА) иваз намудани "тавсифоти мукаммал"-и чараёни таҳқиқшавандаро бо якчанд қатор тавсифҳои қисман, дар шакли бисёраъзогиҳои оддӣ ва ё бо як ё ду аргументи умумишуда пешниҳод менамояд.

Доираи татбиқи алгоритми машҳури комбинаторй - барқарорсозии моделҳо ё функсияҳое мебошад, ки на бештар аз се ё чор тағйирёбандаро дар бар мегирад. Он рӯйхати пурраи ҳамаи муодилаҳои имконпазири регрессияро дар бар мегирад, ки арзиши сифрро ба коэффитсиентҳои муайяни бисёраъзогй (2) муқаррар менамояд. Аммо, баробари зиёд шудани n ва k, шумораи вариантҳои муодилаи регрессия

$$V_{n,k} = \sum_{i=1}^{W-1} C_{w-1}^i = \sum_{i=0}^{W-2} 2i = 2^{W-1} - 1$$
 (3)

хеле зуд меафзояд, ки истифодаи чунин алгоритмро хатто бо ёрии компютерхои муосир душвор мегардонад. Барои кам кардани шумораи муодилахои баррасишавандаи регрессия тартиби бисёрқатораи селексионй барои қарори самараноктар истифода мешавад. Ба сифати мачмўи ибтидоии тағйирёбандахои умумй якчанд адад [бо 2F нишон дода шудааст] аз шартхои бисёраъзогиро пурра (2) интихоб карда мешавад. Барои онхо ҳама гуна муодилаҳои регрессивй ташкил карда мешаванд, ки шумораи онҳо ба $V_F = 2^{2F-1} - 1$ баробар аст. Бо ёрии меъёри дуюми интихоб аз муодилаҳои ҳосилшуда F чудо карда мешавад, ки аз ҳама дақиқтарин аст. Ба он қисми (F)-и тағйирёбандаҳои умумй аз (2) илова карда мешавад. Аз сари нав ҳама муодилаҳои имконпазири регрессия барои мачмўаи васеъи (2F) тағйирёбандаҳои умумй ва ғайра муайян карда мешаванд. Чунин давра $K = (\frac{W}{F} - 1)$ маротиба такрор мешавад. Шумораи умумии муодилаҳои регрессионй, ки ҳангоми интихоби

$$V_{n,k}^C = kV_F = (\frac{W}{F} - 1) \cdot (2^{F-1} - 1)$$

заруранд, муайян карда мешаванд.

Истифодаи принсипи интихоб ҳаҷми рӯйхатро ба таври назаррас коҳиш медиҳад, ки аз таносуби зерин дида мешавад:

$$\gamma = \frac{V_{n,k}}{V_{n,k}^C} = \frac{2^{W-1} - 1}{\left(\frac{W}{F} - 1\right) * (2^{2F-1} - 1)}$$

Мисол, барои n=k=3 ва F=2, γ=2¹⁰ ҳосил менамоем. Муодилаи дақиқтарини давраи охирин барои омехта нашудани он санчида шуда, ҳамчун натичаи ҳалли масъала таҳқиқ карда мешавад. Ҳангоми таҳқиқи ҳусусиятҳои динамикии равандҳо ё объектҳо, вақте ки ҳама тағирёбандаҳои идорашаванда аз вақт вобастагй доранд, истифодаи алгоритми тағйирёфтаи УБГА тавсия дода мешавад, ки ду алгоритми мавчудаи УБГА - ро муттаҳид менамояд: алгоритм бо интихоби пайдарпайи тамоюлҳои мураккаби оптималй ва алгоритми бисёраъзогиҳои дарачаи якум ё дуюм. Алгоритми аввал барои ташаккули тағйирёбандаҳои умумй дар шакли бисёраъзогии дарачавй аз як тағйирёбанда (тамоюл), ки дар натича ҳамчун даромад дар алгоритми дуюм истифода мешаванд:

$$y_i = b_o + b_1 x_i + b_1 x_i^2 + \dots + b_j x_i^j + \dots = \sum_{j=0}^i b_j X_i^j$$
(4)

дар ин чо: i=1, n,l=1,k, k — дарачаи балантарини бисёраъзог \bar{n} . Мураккабии муносиби тамоюл (4) дар сурати дарачаи муайян (l) ба даст оварда мешавад, ки бо афзоишёбии он хатои наздикшав \bar{n} дар пайдарпайии санчиш кам намешавад \bar{n} ба таври ночиз тағйир меёбад. Арзёбии натичахои коэффиценти онхо дар нуқтахои пайдарпаии ом \bar{n} 3 усули хурдтарин квадратхо муайян карда мешаванд. Баъдан мувофики алгоритми асосии УБГА дар хар як сатри интихоб моделхои мушаххас тавлид мешаванд, ки намуди умумии онхо дар \bar{n} 3 сатр чойгир аст.

$$\varphi_{ij} = a_0 + a_1 y_i + a_2 y_i + a_2 y_j y_i + a_4 y_i^2 + a_5 y_j^2$$
(5)

Интихоби бехтарини қарорҳо барои қатори навбатии интихоб аз рӯи меъёри арзёбии омехта нашудани коэффитсиентҳо анҷом дода мешавад.

$$n_{CM} = \sum_{i=1}^{g} \frac{a_i^* a_j^{**}}{\sum_{i=1}^{g} a_i^{*2}}$$
 (6)

дар ин чо g – шумораи умумии коэффитсиентхои модели (5).

 $a_i^*a_i^{**}$ - арзёбии коэффитсиентхо, ки аз р $\bar{\text{y}}$ и пайдарпаии худи ом $\bar{\text{y}}$ зиш ва санчиш ба даст оварда шудаанд.

Барои синтези модели математикӣ дар асоси натичаҳои мушоҳидаи пассивии объекти омӯзиш як қатор алгоритмҳои оқилонаи УБГА таҳия карда шудаанд.

Дар алгоритмҳои маъруфи УБГА бо ҳар як сатри интихоб векторҳои тағирёбандаҳои фосилавӣ ба ҳалли дилхоҳ торафт наздиктар мешаванд, зеро онҳо ҳамчун беҳтарин ҳалли мувофиқи як меъёри дақиқ дар пайдарпаии санҷиши алоҳида муайян карда мешаванд. Бинобар ин, оғоз аз сатри муайян аргументи муодилаҳои (4.4) бо ҳамдигар сахт алоҳаманд мешаванд, ки ин боиси хатогии калон ҳангоми аз нав барҳарорсозии коэффитсиентҳо мегардад.

Алгоритмҳои таҳияшуда барои мураккабсозии пайдарпайи модели математикй, тамоми хусусиятҳои хоси УБГА нигоҳ дошта, аз хатогиҳое, ки дар натиҷаи таносуби тавсифи мобайнй ба вуҷуд омадаанд, озод мебошанд аз ҳисоби интихоби беҳтарин тағйирёбандаҳои умумии ортогоналй дар ҳар як сатри интихоб. Дар сатри S-уми интихоб тавсифи мушаххас чунин шакл дорад:

$$y_s = a_0 + a_1 y_{s-1} + a_2 Z_S (7)$$

дар ин чо y_{s-1} - ҳалли ҳаблии сатри (S-1) - и интихоб; Z_s - тағйирёбандаи умумишудаи сатри S-и интихоб; y_s - моделе, ки дар сатри S-и интихоб ба даст оварда шудааст.

Бо истифода аз усули чуфти ортогонализатсия тағйирёбандахо тавсифи махсуси ортогонализатсияро ба даст меорем:

$$y_{si} = y_{s-1} + a_i \widehat{Z_{-}Si} \tag{8}$$

дар ин чо,

$$a_i = \frac{M[\widehat{Z_{Sl},\varphi}]}{M[\widehat{Z_{Sl}^2}]}$$

$$\widehat{Z_{Si}} = Z_{Si} - \frac{M[y_{S-1}, Z_S]}{M[y_{S-1}]} y_{S-1}$$

Усули ортогонализатсия шакли тавсифи мушаххасро содда менамояд ва ҳалли системаи муодилаҳои муқаррарии Гауссро барои ҳисоб кардани арзёбии коэффитсиенти а; аз руи нуқтаҳои намунаи омузишй R₁ – ро кам менамояд. Интихоби тағйирёбандаҳои беҳтарин, ки бо Zs,t (t=1,F) ғанй гардонида шудаанд, мувофиқи меъёри ҳадди ақали пайдарпаии санҷиши R₂ нисбй миёнаквадратй анҷом дода мешавад.

$$\Delta S_1 = \frac{\sum_{j=1}^{R_2} (\varphi_j - y_{Sj})^2}{\sum_{j=1}^{R_2} \varphi_i^2}$$

Барои ҳар як ҳалли F-и сатри s маҷмӯаи ҳалли сатри (S+1) -и интихобҳо муайян карда мешавад. Ҳалли дақиқтарини (тибқи меъёри (8)) сатри (S+1)- ро интихоби ниҳоии тағйирёбандаи умумишудаи Z_{si}-ро, ки ба модели математикӣ дар сатри S-и интихоб ворид карда шудааст, муайян мекунад. Чунин алгоритми синтези моделро алгоритми соддашудаи УБГА меноманд.

Алгоритми соддакардашудаи дигаргуншудаи УБГА интихоби нихоии тағйирёбандаи умумишудаи Z_s-ро дар сатри (S+ 2) –и интихоб пешбинй менамояд ва ба ҷои меъёри дақиқ меъёри дигари эвристикй - арзёбии омехтаи коэффитсиентҳо истифода мешавад:

$$n_{CM} = \left| \frac{c_i^* - c_i^{**}}{c_i^*} \right| \tag{9}$$

дар ин q_0 ; $C_i^* - C_i^{**}$ - мутаносибан коэффитсиентхои (7), ки дар интихоби R_1 ва R_2 аз нав барқарор карда шудаанд.

Дар зери аргументҳои воридшуда маҷмӯаи аргументҳои имконпазир ва функсияҳои онҳо дар назар дошта мешаванд, ба монанди: баръакс ва логарифмй. Пайдарҳамии ташаккули маҷмӯаи тағйирёбандаҳои умумии Γ -ро дар мисоли алгоритми дигаргуншудаи соддаи УБГА баррасй менамоем. Дар сатри якуми интихоб маҷмӯаи $\Gamma_1^{(1)}$ тағйирёбандаҳои воридшударо ташкил медиҳанд. Аз маҷмӯаи мазкур зермаҷмӯаи $R_1^{(1)}$ мувофиқи арзёбии омехтаи коэффитсиентҳо (9) интихоб карда мешавад. Сипас маҷмӯаи нави тағйирёбандаҳои умумй $\Gamma_1^{(2)}$ сохта мешавад, ки унсурҳои онҳо ҳосили элементҳои маҷмӯаи $\Gamma_1^{(1)}$ ва $R_1^{(1)}$ мебошад. Бо ҳамин меъёри $\Gamma_1^{(2)}$ сохта мешавад, ки унсурҳои онҳо ҳосили элементҳои маҷмӯаи $\Gamma_1^{(1)}$ ва $\Gamma_1^{(1)}$ пебошад. Бо ҳамин меъёри $\Gamma_1^{(2)}$ ба даст меорем, ки аз онҳо мувофиқи баҳодиҳии $\Gamma_1^{(2)}$ ба даст меорем, ки аз онҳо мувофиқи баҳодиҳии $\Gamma_1^{(2)}$ тағйирёбандаҳои умумишудаи "ояндадор"-и сатри якуми интихобро ҷудо менамоем. Интихоби ниҳоии тағйирёбандаи беҳтарини сатри якум $\Gamma_1^{(2)}$ бо сатри дуюми интихоб бо ҳадди ақали $\Gamma_2^{(2)}$ муайн карда мешавад, бо ҳамон тарзе, ки маҷмӯи $\Gamma_1^{(1)}$ ташаккул ёфтааст. Ягона фарқият дар $\Gamma_2^{(1)}$ =

 $\Gamma_1 \mho \Gamma_1 \otimes R_1$ аст. Дар сатри S-и интихоб қоидаи эвристикии ташаккули маҷмӯаи аргументҳоро метавон чунин шарҳ дод:

$$\Gamma_S = \Gamma_1 \mathfrak{V} \Gamma_1 \otimes (R_1 \mathfrak{V} R_2 \mathfrak{V} \dots \mathfrak{V} R_{S-1}) \tag{10}$$

Тавре аз (10) дида мешавад $\Gamma_{S-1} \subset \Gamma_S$ хамеша ичро мешавад, ки боиси таназзули босуръати раванди интихоб мегардад.

Хулоса

Дар асоси усули бахисобгирии гурухии асосхо (УБГУ) барои равандхои плазмохимиявии пиролизи ашёи хоми мураккаби карбогидридӣ модели математикӣ коркарда баромада шудааст.

Муқарриз: Рузиев Ч.Р. – Профессори қафедраи "Химияии татбиқй" – и Фонишгохи миллии Шочикистон

Адабиёт

- 1. Идиев, М.Т. Пиролиз газоконденсатов с использованием метода предварительной турбулизации азотной плазмы / М.Т. Идиев, Б.С. Сафаров, У. Файзуллоев // доклады академии наук Республики Таджикистан, 2011, том 54, №9
- 2. Идиев М.Т., Сафаров Б.С., Файзуллоев У.Н., Шерматов Н. Об эффективности метода барботажа и предварительной турбулизации азотной плазмы в пиролизе газаконденсатов // Ж. Физика и химия обработки материалов
- 3. Идиев М.Т., Сафаров Б.С., Файзуллоев У.Н. Об эффективности метода барботирования в плазмохимическом пиролизе газоконденсатов// Макола. АИ ЧТ, Том 54.№2, соли 2011.cax., 136-140
- 4. Идиев М.Т., Файзуллоев У.Н. О плазмохимическом пиролизе газовых конденсатов в азотной плазме // Ж. Физика и химия обработки материалов.

МАЪЛУМОТ ДАР БОРАИ МУАЛЛИФОН-СВЕДЕНИЯ ОБ ABTOPAX-INFORMATION ABOUT AUTHORS

TJ	RU	EN
Идиев Махмадризвон Тешаевич	Идиев Махмадризвон Тешаевич	Idiev Mahmadrizvon Tehsaevich
н.и.т., дотсент	к.т.н., доцент	Candidat of enginering sinces
Донишгохи техникии	Таджикский технический	Tajik Technical University named
Точикистон ба номи академик	университет имени академика М.С. Осими	after acadevician M.S. Osimi
М.С. Осимй	М.С. Осими	
	E-mail: <u>Idiiev 64@mail.ru</u>	
TJ	RU	EN
Сафаров Бахридни Саидович	Сафаров Бахридин Саидович	Safarov Bahriddin Saidovich
н.и.т., и.в.дотсент	к.т.н., и.о. доцента	Candidat of enginering sinces
Донишгохи техникии	Таджикский технический	Tajik Technical University named
Точикистон ба номи академик	университет имени академика	after acadevician M.S. Osimi
М.С. Осимй	М.С. Осими	
TJ	RU	EN
Файзуллоев Убайдилло	Файзуллоев Убайдилло	Fayzulloev Ubaidillo Narzulloevich
Нарзуллоевич	Нарзуллоевич	-
н.и.т.	K.T.H.	Candidat of enginering sinces
Донишгохи техникии	Таджикский технический	Tajik Technical University named
Точикистон ба номи академик	университет имени академика	after acadevician M.S. Osimi
М.С. Осимй	М.С. Осими	

УДК 662.66

ТЕХНОЛОГИЯ ИЗГОТОВЛЕНИЯ АКТИВИРОВАННОГО УГЛЯ ИЗ АНТРАЦИТОВ МЕСТОРОЖДЕНИЯ НАЗАРАЙЛОК РАШТСКОЙ ДОЛИНЫ

А. Муродиён¹, Н.Ю. Пулодов³, Б.С. Джамолзода², Х.О. Одиназода², К. Ботуров³

¹Государственное учреждение Научно-исследовательский институт «Металлургия» ОАО «Таджикская алюминиевая компания»,

²Таджикский технический университет имени академика М.С. Осими,

³Физико-технический институт им. С.У. Умарова НАН Таджикистана

На основе проведенных исследований показано, что антрациты месторождения Назарайлок Раштской долины состоят из группы мацералов, и каждая группа объединяет определенное количество мацералов. Исследованный антрацит относится к группе витринита и включает три мацерала: теленит, каллинит и витродетринит, а также кварц и карбонаты. Активированный уголь из антрацита получается после карбонизации (термообработки) при температуре 900-1000 °C с последующей активации в среде СО₂ или водяного пара или в смеси диоксида углерода с водяным паром. Активация проводилась изотермически при температуре 900 °C с выдержкой от 90 до 120 мин. При активации происходит потеря массы со скоростью 0,325 % в минуту, или общие потери равнялись 28 %. Анализ смеси газов, выделяющихся при карбонизации за счет летучих компонентов, которые содержатся в антраците, показал: СН₄ (7,0%), Н₂ (70,05%), С₂Н₆ (10,0%), СО (2,5%), СО₂ (9,2%), Н₂Ѕ (1,25%). При активации карбонизата СО₂ с выдержкой 120 мин. изотермически (900 °C) получали адсорбент с насыпной плотностью 0,695 г/см³, прочностью 0,725 % и суммарным объемом пор по воде 0,315 см³/г. Очистка модельного раствора, содержащего ионы тяжелых металлов, проведенным активированным углем снижала мутность с 70 мг/л до 4,2 мл/л, т.е. в 17 раз, общая жесткость снижалась в 6,25 раза. Содержание Fе уменьшилось с 0,30 мг/л до 0,0040 мг/л (75 раза), медь с 0,21 мг/л до 0,0024 мг/л (87,5 раза), алюминий с 0,70 мг/л до 0,21 мг/л (3,3 раза), что соответствует ГОСТ-у 2874-82 «Вода питьевая». По совокупности проведенных исследований показаны возможности изготовления активированных углей из антрацитов месторождения Назарайлок, пригодные для очистки вод промышленного назначения, а также очистки химически загрязнённых стоков от ионов тяжелых металлов.

Ключевые слова: антрацит, Назарайлок, карбонизат, активированный уголь, сорбция, активация, парогазификация.

ТЕХНОЛОГИЯИ ИСТЕХСОЛИ АНГИШТИ ФАЪОЛКАРДАШУДА АЗ АНТРАСИТХОЙ КОНИ НАЗАРАЙЛОКИ ВОДИИ РАШТ

А. Муродиён¹, Н.Ю. Пулодов³, Б.С. Чамолзода², Х.О. Одиназода², Қ. Ботуров³

Дар асоси тахкикоти гузаронидашуда нишон дода шуд, ки антраситхои кони Назарайлок дар водии Рашт аз гурўхи матсералхо иборат буда, хар як гурўх микдори муайяни матсералхоро муттахид мекунад. Антрасити тахкикотшуда ба гурўхи витринит тааллук дорад ва се матсералро дар бар мегирад: теленит, каллинит ва витродетринит, инчунин кварс ва карбонатхо. Ангишти фаьолшуда аз антрасит пас аз карбонизатсия дар харорати 900-1000 °C, пас аз фаьолсозй дар мухити СО2 ё буғи об ё дар омехтаи гази карбон ва буғи об ба даст оварда мешавад. Фаьолсозй ба таври изотермй дар харорати 900 °C бо вакти нигохдорй аз 90 то 120 дакика гузаронида шуд. Хангоми фаьолсозй, талафоти масса бо сурьати 0,325% дар як дакика ё талафоти умумии 28% мебошад. Тахлили омехтаи газхое, ки хангоми карбонизатсия аз хисоби кампанентхои бухоршаванда дар антрасит мавчудбуда чудо мешаванд: СН4 (7,0%), Н2 (70,05%), С2Н6 (10,0%), СО (2,5%), СО2 (9,2%), Н2S (1,25%). Хангоми фаьол кардани карбонатизат СО2 бо вакти нигохдорй 120 дакика ба таври изотермй (900 °C) адсорбенти зичиаш 0,695 г/см³, мустахкамиаш 0,725 % ва хачми умумии сурохихои бо об санчидашуда ба 0,315 см³/г ба даст омад. Тоза кардани махлули моделие, ки дорои ионхои металлхои вазниндошта бо ангишти фаьолшуда тирагй аз 70 мг/л то 4,2 мг/л, яъне 17 баробар, дуруштии умумй 6,25 баробар кам шуд. Камшавии микдори Fe аз 0,30 мг/л то 0,0040 мг/л (75 маротиба), мис аз 0,21 мг/л то 0,0024 мг/л (87,5 маротиба), алюминий аз 0,70 мг/л то 0,21 мг/л (3,3 маротиба), ки ба ГОСТ-и 2874-82 «Оби нушокй» мувофик шуд. Дар асоси мачмуи тахкикоти гузаронидашуда имкони хосил намудани ангишти фаьолшуда аз антрасити кони Назарайлок, ки барои тоза кардани обхои саноатй мувофик аст, инчунин аз ионхои металлхои вазнин тоза кардани обхои партовй химиявй олудашуда нишон дода шуд.

Калимахои калиди: anthracite, Nazarailok, carbonizate, activated carbon, sorption, activation, steam gasification.

TECHNOLOGY FOR THE PRODUCTION OF ACTIVATED CARBON FROM ANTHRACITES OF THE NAZARAILOK DEPOSIT OF THE RASHT VALLEY

A. Murodiyon¹, N.Yu. Pulodov³, B.S. Jamolzoda², Kh.O. Odinazoda², K. Boturov³

Based on the conducted research, it was shown that the anthracites of the Nazarailok deposit in the Rasht Valley consist of a group of macerals and each group combines a certain number of macerals. Research anthracite belongs to the vitrinite group and includes three macerals: telenite, callinite and vitrodetrinite, as well as quartz and carbonates. Activated carbon from anthracite is obtained after carbonization (heat treatment) at a temperature of 900-1000 °C, followed by activation in a CO₂ or water vapor environment or in a mixture of carbon dioxide and water vapor. Activation was carried out isothermally at a temperature of 900 °C with a holding time of 90 to 120 minutes. Upon activation, mass loss occurs at a rate of 0,325% per minute or a total loss of 28%. Analysis of the mixture of gases released during carbonization due to volatile components contained in anthracite were: CH₄ (7,0%), H₂ (70.05%), C₂H₆ (10,0%), CO (2,5%), CO₂ (9,2%), H₂S (1,25%). When activating CO₂ carbonate with holding time for 120 min. isothermally (900 °C) an adsorbent with a bulk density of 0,695 g/cm³, a strength of 0,725% and a total pore volume in water of 0,315 cm³/g was obtained. Purification of a model solution containing heavy metal ions with activated carbon reduced the turbidity from 70 mg/l to 4,2 ml/l, i.e. by 17 times, the total hardness decreased by 6,25 times. Fe content decreased from 0,30 mg/l to 0,0040 mg/l (75 times), copper from 0,21 mg/l to 0,0024 mg/l (87.5 times), aluminum from 0,70 mg/l to 0,21 mg/l (3,3 times), which corresponds to GOST 2874-82 "Drinking water". Based on the totality of the studies carried out, the possibility of producing activated carbons from anthracite deposits of the Nazarailok deposit, suitable for the purification of industrial waters, as well as the purification of chemically contaminated wastewater from heavy metal ions, was shown.

Keywords: anthracite, filtrant, grone composition, fraction, distillation, ion exchange, osmosis, electrodialysis.

Антрациты широко используются в химической, металлургической отрасли, а также из него изготавливают различные конструкционные изделия. В химической промышленности из антрацита изготавливают фильтранты для очистки хозяйственно-питьевых, коммунальных и промышленных вод, сорбенты (активированные угли) используют для сорбции паров и газов, ликвидации разливов нефти и нефтепродуктов, сорбенты рассматриваются как наиболее эффективные методы охраны воздушного и водного бассейнов и экологической защиты населения. Сорбенты используются для извлечения ценных компонентов, поглощения токсичных соединений, имеющихся в парогазовой и жидкой среде, а также могут служить носителями катализаторов и химических поглотителей, изготовления молекулярных сит для разделения газов [1-4].

Антрациты в металлургии используются для изготовления футеровочных материалов тепловых агрегатов (печи различного назначения), катодных блоков для капитального ремонта алюминиевых электролизеров, набоечных масс, используются как восстановитель для выплавки металлов из руды и многого другого [5-9].

Республика Таджикистан располагает большими запасами антрацитов высокого качества. Геологическое происхождение, промышленные и прогнозные запасы их приведены в монографии [10]. Антрацит месторождения Назарайлок делится на три участка: "Шикорхона", "Кафтархона" и "Камароб" с общими прогнозными и промышленными запасами около 200 млн. тонн [10].

Благодаря уникальным свойствам угли (антрациты) после переработки приобретают способность поглощать вредные пары, газы, множества вредных элементов из растворов, устранять мутность, обеспечить прозрачность воды с сохранением вкусовых качеств, т.е. сорбционный материал будет иметь различное назначение, и делает его в перспективе в качестве нетопливного использования. Такие показатели как насыпная плотность, гранулометрический состав, зольность и мехпрочность считаются важными физическими характеристиками дробленных сорбентов. Однако одним из наиболее важных показателей любого углеродного сорбента считается пористость (наличие пор в структуре угля). Следует отметить, что углеродные фильтранты (сорбенты) имеют сложную пористую структуру, которая зависит от петрографического состава угля и степени метаморфизма. Поры имеют различные формы и размеры и делятся на: макропоры, микропоры и мезопоры, а также ультра-, микро- и ультрамезопоры. Размеры их колеблятся от 2,0 до 50,0 нм.

Любой антрацит в зависимости от геологического происхождения и геоботаники в своем составе может содержать витринит (V_t), инертенит (I_{st}), семивитринит (S_v), лейптинит (L) [10]. Угли (антрациты) состоят из группы мацералов, и каждая группа объединяет определенное количество мацералов [11]. Например, в группу витринита входят мацералы: теленит (V_t), коллинит (V_t), витродетринит (V_t). В группу инертенита (I_t) входят мацералы: макринит (I_t), склеротинит (I_s). Кроме прочего, в состав группы мацералов входят минеральные включения (I_t) таких мацералов, как глинистые минералы (I_t), сульфиды железа (I_t), карбонаты (I_t), окислы кремния и прочие.

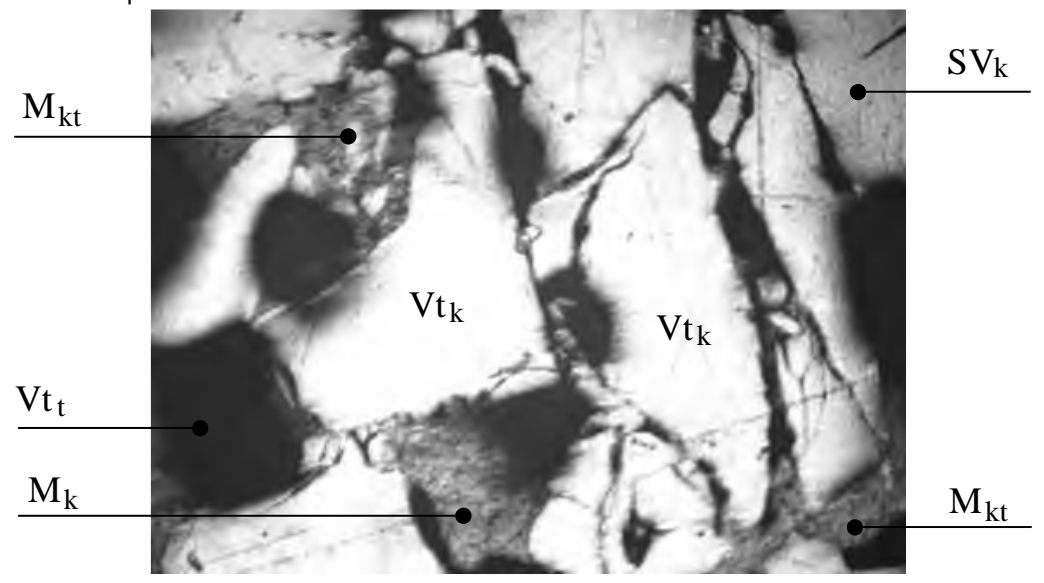


Рисунок 1 — Структура сырого антрацита (500^x) (участок «Шикорхона» мацералы: Vt_t -теленит, SV_k -семиколлонит, Vt_k -коллинит, Mk_t -кварц, M_k -карбонаты (сравнивались с ГОСТ 9414-74(СТ СЭВ 5431-85) Госстандарт СССР угли бурые, каменные и антрациты), г. Москва.

Антрациты месторождения Назарайлок относятся к группе витринита и включают три мацерала: теленит, каллинит и витродетринит. Все эти материалы хорошо видны на рисунке 1. Эти мацералы содержат признаки растительности и минеральные включения. При низкой метаморфизме большая часть мацералов сохраняется в слоях антрацита, и при дроблении легко не измельчается, а, наоборот, сохраняет свою аморфность, что подтверждает РФА. В ИК-спектров при температуре 1400 °С остается О-Н группы. Поэтому при дроблении исходного антрацита месторождения Назарайлок трешинообразование происходит слабо, и естественно сорбционная способность таких антрацитов слабее относительно высокометаморфизованных антрацитов. При дроблении наших антрацитов больше всего образуются макропоры, и сорбция (поглощение) механических примесей протекает на поверхности сорбента, и может образовать адсорбат в виде монослоя, что описывается теорией мономолекулярной адсорбции Лэнгмюра.

Как известно, при дроблении антрацита в кусках, мелочах и частицах мелкого размера образуются поверхностные поры, но не глубокие. Сырой антрацит имеет естественную трещиноватость. Под действием механической нагрузки трещины могут увеличиваться как по длине, ширине, а также по глубине. Например, микротрещиноватость определяется уравнением

$$L_{y\partial} = \sum \frac{L}{S}, MM^{-1}, \tag{1}$$

где $\sum L$ - суммарная длина трещин исследуемого образца (аншлифа), мм; S-поверхность аншлифа, мм 2

Микротрещиноватость наших антрацитов в среднем по трем участкам составляла 0,435 мм⁻¹. Данная величина вычислялась по снятой структуре с аншлиф-брикета оптическим микроскопом при увеличении в 500 раз.

Углеродные сорбенты, кроме макропор, содержат также мезопоры, адсорбция на поверхности которых протекает по механизму полимолекулярной адсорбции. В этом случае суммарная адсорбция может быть представлена как сумма величин адсорбции в микропорах и на поверхности мезопор:

$$a = a_{MH} + a_{ME}, \tag{2}$$

Если построить сравнительный график, т.е. зависимость величины адсорбции на исследуемом образце от величины адсорбции на поверхности непористого углеродного сорбента-сажи, то наклон прямой в области полимолекулярной адсорбции будет пропорционален поверхности мезопор исследуемого образца.

Объем макропор (V_{MA} , см 3 /а) рассчитывали по разности:

$$V_{MA} = V_{\Sigma} - (V_{MII} - V_{ME}), \tag{3}$$

В любых технологических схемах приготовления воды перед основной технологией очистки требуется удалить из воды коллоидные и взвешенные вещества. Для этой цели используются различные системы предварительной обработки воды с последующей фильтрацией. Фильтрование - физико-химический процесс, основанный на адгезии взвешенных и коллоидных примесей воды к зернам фильтрующего материала.

В фильтровальных сооружениях коммунального хозяйства дробленый антрацит применяется только в качестве верхнего слоя 2-х-слойных скорых фильтров, при этом антрацитовый слой, как фильтрующая загрузка, имеет высоту 0,4-0,5 м, а слой находящегося под ним кварцевого песка имеет высоту 0,7-0,8 м при крупности зерна 0,5-1,2 мм. При движении загрязненной воды или других низко концентрированных суспензий через зернистую фильтрующую среду происходит задержание взвешенных частиц, в результате чего вода осветляется. Одновременно в фильтрующей загрузке накапливается осадок и увеличивается гидравлическое сопротивление (ГС) потоку очищаемой воды. Увеличение ГС приводит к росту потери напора в загрузке.

Поэтому целью данного исследования являлось комплексное научно-технологическое обоснование использования антрацитов месторождения Назарайлок в качестве сырья для получения отечественных фильтрантов, способных по качественным показателям и объему производства ликвидировать дефицит этого вида продукции технологического и экологического назначения и вытеснить импортные аналоги.

Активированные угли сильно отличаются от фильтрантов. Дело в том, что активированные сорбенты имеют разветвленные поры, и адсорбция зависит от объемов сорбирующих пор (микро-и мезопор). При этом активированные угли должны иметь достаточно высокую прочность зерна, и это обстоятельство является основной задачей при переработке исходного сырья в углеродные сорбенты.

Можно отметить, что двухстадийная схема получения промышленных дробленых адсорбентов считается классической схемой, сущность которой состоит из дробление сырья (антрацита), далее рассев сушка — карбонизация — активация — охлаждение — рассев (по фракциям) и выход готового продукта. Карбонизация протекает при высокой температуре (900-1000 °C), и содержание углерода за счет удаления летучих компонентов возрастает до 96%. Например, в антрацитах месторождения Назарайлок содержание летучих компонентов в среднем по трем участкам составляет 8,0 % (масс.) Содержание углерода до 92,0 % (масс.).

Существует парогазовая активация, в результате чего в антраците образуются дополнительные поры различного размера - от макро до ультрамезапор. В первой стадии (активации) будут заложены прочностные

свойства будущего сорбента и обеспечат первичную пористую структуру. По второй стадии (активация) при парогазовой обработке получаем прочный, высокореакционный карбонизат, имеющий достаточно прочный адсорбент с развитой системой пор.

Следует отметить, что в промышленности обе стадии переработки - карбонизация и активация осуществляются в отдельных оборудованиях, потому что каждая стадия имеет свою температуру и скорость термообработки. По этой причине совмещать оба процесса в один трудно осуществимо как аппаратурно, так и технологически.

Любой сырой антрацит в зависимости от петрографического состава и степени метаморфизма имеет от 4 до 9% (масс.) летучих компонентов органического происхождения. С целью повышения прочностных свойств и образования первичных пор исследуемый антрацит подвергается карбонизации (термообработки) до определенных температур, например, максимум до 1000 °C.

Следует отметить, что независимо от размера фракций и скорости фильтрации путем корбанизации необходимо удалить из состава антрацита летучие компоненты. Это достигается путем карбонизации при определенных условиях. Комплексное исследование трёх участков антрацитов месторождения Назарайлок показало общность петрографического состава, геологического происхождения, сравнимые прочностные свойства, и в дальнейшем для исследования использовали антрациты участка «Шикорхона».

Усреднённый химический состав антрацита участка «Шикорхона» (пласт N6) был следующий; % (масс.): C-92,00; H-3,45; O-1,55; N-1,06; летучие-8,52; зольность-2,0; объёмная плотность-1400 кг/м³

На рисунке 2 приведены термогравиметрические кривые зависимости потери массы (кривая 1) и скорость потери массы антрацита (кривая 2) от температуры. Как видно из рисунка, кривые имеют сложный характер и при 1000°С, например, скорость потери массы составляет 0.325% в минуту. При этой температуре потеря массы равняется примерно 28%. Потеря массы в основном происходит за счет обгара и выхода летучих компонентов из состава антрацита.

После проведения комплексных исследований с исходными антрацитами приступили к составлению технологических схем получения карбонизированного антрацита, и из него далее получить активированный уголь (адсорбент). Параллельно в процессе карбонизации определялся химический состав газов, выходящих при пиролизе, и сравнивались с химическим составом смеси газов, полученных при пиролизе каменного угля Фон-Ягнобского месторождения (пиролиз в газогенераторе, монтированном в ООО «ТАЛКО кемикал»).

Карбонизация осуществляется с применением лабораторной трубчатой печи сопротивления в атмосфере азота при температуре $900~^{\circ}$ С. Как показывают ранние исследования, при этой температуре из состава антрацитов улетучиваются все органические составляющие. В данном случае карбонизация производится постепенно (плавно), от температуры окружающей среды до 900° С, и далее температура (900° С) поддерживается изотермически в течение 60 мин. с постоянной продувкой азота с целью предотвращения образования обгара на поверхности сорбента. Газообразный чистый азот продувался из расчета 5π /мин. Дробленный антрацит с размерами частиц 1-3 мм помещался в кварцевую трубку. После карбонизации сорбент охлаждался в печи, отключая последний из сети. Далее карбонизат вынимался из кварцевой трубки, и отбирали определенную часть для проведения активации.

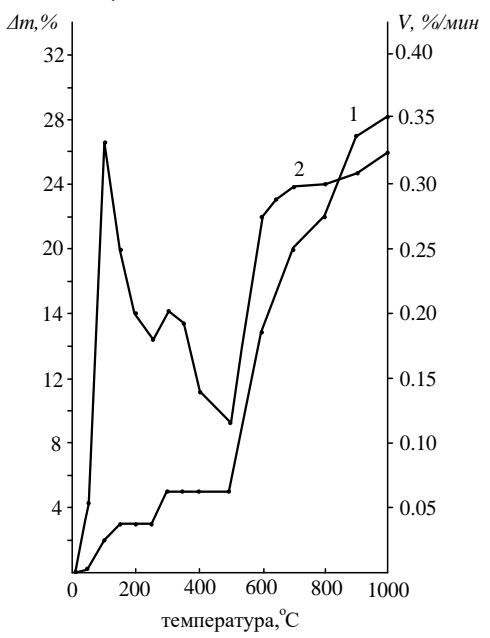


Рисунок 2 - Термогравиметрические кривые потери массы антрацита при термообработке в воздушной среде (фракции 1-3мм): 1 - зависимость потери массы от температуры (Δm); 2 - зависимость скорости потери массы от температуры (V).

При карбонизации (термообработке) выделяющиеся смеси газов поступают в лабораторный газоанализатор, например, типа ЛХМ-80, и определяется процентное содержание каждого газа в смеси, а при необходимости часть излишнего газа можно поглощать водою или другим поглотителем, регулируя вентилем. Температура в печи регулируется и поддерживается терморегулятором. Электропечь подключается к источнику тока напряжением 220 В. Гидрозатвор предотвращает пульсацию пропускаемого газа и пара, а также обеспечивает прохождение потока по всему сечению трубки.

Для получения активированного угля используются другие части карбонизированного антрацита с применением активированных агентов (CO_2 ; водяной пар; модификатор в виде соли металлов). Для этой цели используется такая же схема с той разницей, что вместо баллона азота используется баллон с углекислым газом. При парофикации сначала пар получили в конструированный из нержавеющей стали пилотный парогенератор и далее пар поступал через расходомер на парофикацию. Давление пара контролировалось через манометр. С целью полного улавливания капель воды, уносимых паром, парогенератор был снабжен каплеуловителем. Диоксид углерода подавался из баллона CO_2 .

Следует отметить, что при длительном пропускании углекислого газа через редуктор последний замерзал и далее не пропускал газ через систему. Для предотвращения такого нежелательного явления был использован редуктор е расходомером, снабженным элетронагревательным элементом. Редуктор нагревался до определенной температуры и далее при работе с углекислым газом проблем не создавал. Что касается парогенератора, пар образовался при нагревании воды нагревательным элементом, закрепленным в днище генератора и мощность нагрева регулировалась с помощью лабораторного автотрансформатора (ЛАТР). Расход пара регулировался е помощью расходомера. С помощью терморегулятора подбиралась необходимая температура нагрева антрацит-карбонизата, чтобы получить сорбент. Расход газа к пару поддерживался в соотношении 1:2, а уровень воды в парогенераторе контролировался с помощью уровнемера. Методика получения активированного угля аналогична методу получения карбонизата. Здесь пропускается СО2 и водяной пар.

Состав смеси газов при пиролизе представлен в таблице 1. Каждый компонент в смеси газов определялся на лабораторном газоанализаторе ЛХМ-80.

Таблица 1 – Химический состав смеси газов при пиролизе антрацита

Компоненты	CH ₄	H_2	C_2H_6	СО	CO_2	H_2S
%-ное содержание	7,00	70,05	10,00	2,50	9,20	1,25

Как видно из таблицы 1, в составе смеси газов меньше всего содержится сероводорода. Это очевидно, т.к. в составе антрацита сера присутствует в небольшом количестве и почти соизмерима с содержанием моноокиси углерода (СО). Значительную долю составляет водород. Метан и углекислый газ по количеству почти одинаковые. Всё это свидетельствует о низком метаморфизме, который испытывал исследуемый антрацит.

В таблице 2 приведены режим карбонизации и технические свойства карбонизата, полученного из антрацита участка «Шикорхона».

Таблица 2 - Режим карбонизации и технические свойства карбонизата

	Режим		Показатели качества карбонизата					
№	Конечная температура карбони-зации, $^0\mathrm{C}$	Насыпная плотность $(ho_{ m H})$, г/см 3	Прочность раздавливан ия (П), %	Реакционная способность (V), 10 ⁻⁵ , г/г·с	Сум-марный объём пор $(V_{\Sigma}), { m cm}^{3/\Gamma}$	Объём макропор, $(V_{\mathcal{M}a})$, $_{\text{см}^3/\Gamma}$	Сумма микро- и мезо- пор, (W_S) , cm^3/Γ	
1	-	0,750	88,88	0,650	0,0785	0,078	0,005	
2	700	0,720	88,10	0,600	0,0810	0,075	0,006	
3	800	0,725	90,25	0,623	0,0820	0,073	0,009	
4	900	0,795	91,06	0,721	0,0830	0,071	0,012	
5	1000	0,800	91,15	0,755	0,0850	0,071	0,014	

Примечание: №1- соответствует исходному антрациту, и в опыте использовали фракции (1,5-3,0) мм. Скорость подъема температуры составляла $12.0~^{0}$ С/мин.

Как видно из таблицы 2, условие карбонизации практически не влияет на качество получаемого углеродного материала. С повышением температуры незначительно увеличивается насыпная плотность и прочность. Реакционная способность и суммарный объем пор карбонизата увеличиваются, а объемы макропор практически не изменяются. С увеличением температуры несколько увеличивается суммарный объём микрои мезопор. Следует отметить, что объём макропор вследствие повышения температур уменьшается. Повидимому, это связано с увеличением усадочных процессов, происходящих в антраците.

В целом термообработка благоприятно сказывается на улучшении физико-технических свойств карбонизата, что можно объяснить протекающими процессами уплотнения угля с раскрытием внутренних пор и выхода сорбированных газов из состава антрацита.

Важно отметить, что полученный карбонизат с такими качественными показателями не может быть применен как адсорбент (активированные угли) в процессах сорбции. Возникает необходимость в активации карбонизата. В дальнейших опытах использован карбонизат, полученный при температуре 900°С, с насыпным весом 0, 795 г/см³ и суммарным объемом пор 0,083 см³/г.

В таблице 3. приведены результаты работ при обработке карбонизата инертными газами (CO₂, N₂), паром, а также смесью пара и углекислого газа при температуре 900 °C.

Таблица 3 – Режим активации и технические характеристики полученных сорбентов

No		τ	0			Обт	Объёмы пор, см ³ /г		
опы.	Способ активации	τ _{акт.}	$ ho_{\mathcal{H}},$ г/см 3	α^{**} , %	П, %	V_{Σ}	$V_{{\scriptscriptstyle \mathcal{M}}a}$	$W_{\scriptscriptstyle S}$	
1	Сырой антрацит	-	0,750	-	88,890	0,0785	0,078	0,0050	
2	Карбонизат*	90	0,795	15,02	91,060	0,083	0,071	0,0120	
3	Карбонизат+СО2	60	0,783	16,00	0,812	0,285	0,266	0,0183	
4	Карбонизат+ СО2	90	0,724	17,25	0,790	0,310	0,294	0,0162	
5	Карбонизат+ СО2	120	0,695	17,62	0,725	0,315	0,292	0,0225	
6	Карбонизат+ Пар	90	0,710	15,10	0,752	0,210	0,172	0,0380	
7	Карбонизат+ СО2+пар	90	0,700	16,1	0,731	0,321	0,297	0,0236	
8	Карбонизат $+$ N_2 +пар	90	0,722	17,20	0,780	0,220	0,208	0,0122	
9	Карбонизат+ ${ m CO_2}$ + ${ m MO}$ +дификатор + ${ m N_2}$	90	0,803	15,31	93,44	0,216	0,151	0,0650	

^{*-} карбонизат получен из сырого антрацита при 900°С продувкой азота в течение 60 минут.

На основе полученных данных можно предполагать, что карбонизат, обработанный углекислым газом, имеет практически одинаковый суммарный объем пор по сравнению с обработкой смеси углекислым газом и паром. С экономической точки зрения принимать 5-й вариант целесообразно, т.к. не требуется парофикации, и предложенный вариант более является энергосберегающим, и для промышленной реализации данный сорбент более технологичен и экологичен.

Полученные адсорбенты были испытаны для очистки химически загрязненных стоков (изготовлен модельный раствор) в лаборатории, и пропускали воду через адсорбционные колонки, высота слоя 50 см, диаметр колонки 12 мм, размер фракции 1,5-3,0 мм при линейной скорости пропускания раствора 5,0-5,5 м/час или объёмная скорость равнялась 0,06 м³/час.

Показатели качества модельного раствора определялись физико-химическими методами в центральной лаборатории по контролю производства питьевой воды ГУП Душанбеводоканал» (КВД Обу корези Душанбе). Результаты анализа приведены в таблице 4.

Как видно из таблицы 4, на снижение мутности и повышение прозрачности изготовленные сорбенты по трем вариантам влияют одинаково: прозрачность увеличивается в 5 раз, а мутность снижается с 70 мг/л до 4,2 мг/л, т.е. почти в 17 раз. Общая жесткость снижается в 6,25 раза. Модифицированный карбонизат заслуживает особого внимания почти на одинаковом уровне с точки зрения очистки загрязнителей промышленных стоков. Все полученные сорбенты хорошо поглощают сульфаты и снижаются более чем в 2 раза, т.е. уменьшают концентрацию сульфатов с 39,0 мг/л, до 18,0 мг/л. Полученные сорбенты хорошо адсорбируют ионы тяжелых металлов, и как видно из таблицы, карбонизат, обработанный паром и CO₂, уменьшает содержание железа с 0,3 мг/л до 0,0040 мг/л, т.е. уменьшает почти в 75 раз. Также сильно поглощает ионы меди из раствора и увеличивает обезмеднение раствора в 87,5 раза, а модифицированный карбонизат относительно хуже поглощает ионы Fe и Cu из раствора. Данный карбонизат относительно лучше сорбирует ионы алюминия из стоков.

^{**-} обгар - степень потери корбанизата при активации.

 W_{ς} – сумма микро- и мезопор в сорбенте.

Таблица 4 – Результаты физико-химических показателей модельного раствора

No	Наименование	 Результаты физико	Результаты анализа вариантов			
	показателей	«Вода питьевая»	0	1	2	3
1	2	3	4	5	6	7
	Прозрачность (см ³)	не менее 30	6	30	30	30
	Мутность (мг/л)	не более 2,0	73	4.2	4.2	4.2
	Температура, ⁰ С	не более 20	18	18	18	18
	Запах, (баллы)	не более 2	1	1	1	1
	Привкус, (баллы)	не более 2	1	1	1	1
	Водородный показатель (pH)	6,0-9,0	7,14	7,5	7,6	7,7
	Жесткость (мг. экв/л)	не более 7.0	25	4,0	4,0	4,2
	Кальций (мг. экв/л)		13	3,5	3,5	3,7
	Магний (мг. экв/л)		12	0,5	0,5	0,6
	Сумма К+Nа (мг.		2,07	1,64	1,64	1,63
	экв/л)					
	Сульфаты (мг/л)	не более 500,0	39,0	18,7	18,5	18,0
	Сухой остаток (мг/л)	не более 1000,0	250	195	195	193
	Аммиак, (мг/л)	2,0	н/об	н/об	н/об	н/об
	Нитриты (мг/л)	3,0	н/об	н/об	н/об	н/об
	Нитраты (мг/л)	не более 45	16,8	10,3	10,3	10,5
	Щелочность (мг. экв/л)		1,3	1,3	1,3	1,3
	Хлориды (мг/л)	не более 350	46	45	45	46
	Железо (мг/л)	не более 0,3	0,32	0,030	0,0040	0,022
	Медь (мг/л)	не более 1,0	0,21	0,018	0,0024	0,015
	Окисляемость (мг/л)	не более 5,0	1,12	1,04	1,04	1,04
	Алюминий (мг/л)	не более 0,5	0,70	0,25	0,21	0,20

Примечание, вариант 0 - исходный модельный раствор; вариант 1 - карбонизат обработан с помощью CO₂; вариант 2 - карбонизат обработан с помощью пара и CO₂; вариант 3 - карбонизат модифицирован и обработан паром и CO₂.

Таким образом, обработанный карбонизат с помощью CO_2 или с помощью смеси CO_2 +пар лучше всего поглощают из растворов ионов тяжелых металлов и можно рекомендовать их для очистки химически загрязненных промышленных стоков. Кроме того, эти сорбенты вполне можно использовать для очистки вод хозпитьевого назначения.

По совокупности проведенных исследований показаны возможности изготовления активированных углей из антрацитов месторождения Назарайлок Раштской долины, пригодные для механической очистки вод хозяйственно-питьевого, промышленного назначения, а также очистки химически загрязненных стоков от ионов тяжелых металлов в горно-обогатительных, химических и металлургических предприятиях.

Авторы выражают свою признательность начальнику ЦЛКП питьевой воды ГУП «Душанбеводоканал» Кароматуллоевой Н.С. за оказанную помощь в проведении физико-химических анализов представленных сорбентов.

Рецензент: Ганиев И.Н. – д.х.н., профессор, академик НАНТТ

Литература

- 1. Самофалов В.С. Переработка антрацита в сорбционные материалы различного назначения. Дисс. на соиск. ученой степени канд. тех. наук, М.: 2004. 153с.
- 2. Передерий М.А. Ископаемые угли как сырьё для получения углеродных сорбентов и носителей катализаторов различного назначения. Дисс. докт. техн. наук. М.: 1997, 281 с.
- 3. Кураков Ю.И. Сырьевая база антрацитов Российского Донбасса для производства углеродных материалов. Дисс. на соиск. уч. ст. докт. техн. наук. –М.: 2005, 260 с.
- 4. Самофалов В.С., Передерий М.А., Кураков Ю.И. Антрацитовые фильтранты // Изв. ВУЗ-ов Сев. Кавк. Региона. Естеств. Науки-2004, №1. С. 92-102.

- 5. Пулодов Н.Ю. Джамолзода Б.С., Муродиён А., А.Г. Сафаров, Сафиев Х. Филтрант для очистки вод. Политехнический вестник. Серия Инженерные исследования. Таджикский технический университет имени академика М.С. Осими. Душанбе. 2021. №3 (55). С. 42-46
- 6. Вохидов М.М., Муродиён А., Азизов Б.С., Муродиён П. Известия АН Республики Таджикистан, отделение физико-математических, химических, геологических и технических наук, 3(152), 70-77 (2013).
- 7. Джамолзода Б.С., Муродиён А., Сафаров А.Г., Сафиев X., Доклады АН Республики Таджикистан, 58. №4. 2015. С. 326 330
- 8. Пулодов Н.Ю., Джамолзода Б.С., Муродиён А., Сафаров А.Г., Сафиев Х. Антрацит сырьё для производства фильтрующего материала. Вестник филиала МГУ им. М.В. Ломоносова в г. Душанбе, серия естественных наук, Т.1, №1 (21) 2022. С. 71-75.
- 9. Муродиён А., Пулодов Н.Ю., Джамолзода Б.С., Одиназода Х.О. Комплексное исследование качества антрацитов месторождения Назарайлок как сырья для получения сорбционных материалов. Вестник Казанского технологического университета, Т. 26, №6, 2023. С. 40-45.
- 10. Еров З.Е., Кабиров Ш.О., Муродиён А., Сироджев Н.М. Минерально-сырьевая база химико-металлургической промышленности Таджикистана, г. Душанбе, Изд-во «Мега-Басым,» Стамбул, Турция, 2012. 413 с.

СВЕДЕНИЯ ОБ АВТОРАХ – MAЪЛУМОТ ДАР БОРАИ МУАЛЛИФОН – INFORMATION ABOUT AUTHORS

AUTHORS							
TJ	RU	EN					
Асрори Муродиён	Асрори Муродиён	Asrori Murodiyon					
д.и.т	д.т.н	Doctor of Technical Sciences					
Муассисаи давлатии пажухишгохи илмй-тахкикотии «Металлургия»-и ЧСК «Ширкати алюминийи точик»	Государственное учреждение Научно-исследовательский институт «Металлургия» ОАО «Таджикская алюминиевая компания»	State Institution Scientific Research Institute "Metallurgy" OJSC "Tajik Aluminum Company"					
TJ	RU	EN					
Пулодов Нуриддин Юлдошхочаевич	Пулодов Нуриддин Юлдошходжаевич	Pulodov Nuriddin Yuldoshhojaevich					
Институти физикаю техникаи ба номи С.У.Умарови АМИ Точикистон	Физико – технический институт им. С.У. Умарова НАН Таджикистана	Physico-Technical Institute named after S.U. Umarov National Academy of Sciences of Tajikistan					
	e. mail: <u>Nuriddin 95@mail.ru</u>						
TJ	RU	EN					
Чамолзода Бехрузи Саъдонхуча	Джамолзода Бехрузи Саъдонхуджа	Jamolzoda Behruzi Sadonkhuja					
н.и.т	к.т.н	Ph.D.					
Донишгохи техникии Точикистон ба номи академик М.С. Осимй	Таджикский технический университет имени академика М.С. Осими	Tajik Technical University named after academic M.S.Osimi					
	e. mail: Jamolzoda_behruz@mail.ru	<u>.</u>					
TJ	RU	EN					
Одиназода Хайдар Одина	Одиназода Хайдар Одина	Odinazoda Haydar Odina					
д.и.т., профессор, аъзо- крреспонденти АМИ Таджикистон	д.т.н., профессор, члкорр. НАН Таджикистана	Doctor of Technical Sciences, Professor, Corresponding Member National Academy of Sciences of Tajikistan					
Донишгохи техникии Точикистон ба номи академ ик М.С.Осимй	Таджикский технический университет имени академ ика М.С.Осими Таджикистана	Tajik Technical University named after Academician M.S. Osimi					
TJ	RU	EN					
Ботуров Кодир	Ботуров Кодир	Boturov Kodir					
н.и.фик.мат.	к.физмат.н.	PhD in Physics and Mathematics					
Институти физикаю техникаи ба номи С.У. Умарови АМИ Точикистон	Физико – технический институт им. С.У. Умарова НАН Таджикистана	Physico-Technical Institute named after S.U. Umarov National Academy of Sciences of Tajikistan					

УДК 661.746.54 + 544.354 + 543.554.4

ОПРЕДЕЛЕНИЕ КОНСТАНТ ИОНИЗАЦИИ ЛИМОННОЙ КИСЛОТЫ МЕТОДОМ ПОТЕНЦИОМЕТРИИ

Ф. Мираминзода¹, М. Рахимова², Дж.А. Давлатшоева², К.Дж. Суяриён², Г.Б. Эшова¹

¹Научно-исследовательский институт Таджикского национального университета ²Таджикский национальный университет

Методом потенциометрии изучено кислотно-основное свойство лимонной кислоты при 298 К. Установлено, что результаты потенциометрического титрования зависят от способа титрования, концентрации веществ и времени установления равновесного значения рН титруемого раствора. С возрастанием концентрации лимонной кислоты значения объема, добавленного в систему щелочи, уменьшаются. При возрастании температуры системы значения констант ионизации лимонной кислоты возрастают. Показано количество доступных функциональных групп (-СООН) лимонной кислоты, которые могут быть определены потенциометрическим методом. Значения константы диссоциации лимонной кислоты составляют 2,65 - H₂L⁻; 4,25 - HL²⁻ и 5,52 - L³⁻.

Ключевые слова: потенциометрия, лимонная кислота, концентрация, константы ионизации, рН.

МУАЙЯН КАРДАНИ ИОНИЗАТСИЯИ КИСЛОТАИ ЛИМУ БО УСУЛИ ПОТЕНСИОМЕТРЙ Ф. Мираминзода, М. Рахимова, Ҷ.А. Давлатшоева, Қ.Ҷ. Суяриён, Г.Б. Эшова

Бо усули потенсиометрй хосияти кислотагй-асосии кислотаи лиму дар 298 К омухта шудааст. Муайян карда шудааст, ки натичахои титронии потенсиометрй аз усули титркунй, консентратсияи моддахо ва вакти мукаррар кардани киматхои мувозинатии рН-и махлули титршаванда вобаста аст. Бо зиёд шудани консентратсияи кислотаи лимуи киматхои хачми ба система иловашудаи ишкор кам мешавад. Бо баланд шудани харорати система, киматхои константаи ионизатсияи кислотаи лиму меафзояд. Шумораи гуруххои функсионалии (-СООН) кислотаи лиму, ки бо усули потенсиометрй муайян карда мешаванд, нишон дода шудааст. Киматхои ионизатсияи кислотаи лиму ба 2,65 - H₂L⁻; 4,25 - HL²⁻ и 5,52 - L³⁻ баробар аст.

Калидвожахо: потенсиометрия, кислотаи лиму, консентратсия, константаи ионизатсия, рН.

DETERMINATION OF CITRIC ACID IONIZATION CONSTANTS BY POTENSIOMETRY METHOD F. Miraminzoda, M. Rakhimova, J.A. Davlatshoeva, K.J. Suyarien, G.B. Eshova

The acid-base property of citric acid at 298 K. has been studied by potentiometry. It was found that the results of potentiometric titration depend on the titration method, the concentration of substances and the time to establish the equilibrium pH value of the titrated solution. With increasing concentration of citric acid, the volume of alkali added to the system decreases. As the temperature of the system increases, the values of the ionization constants of citric acid increase. The number of available functional groups (-COOH) of citric acid, which can be determined by the potentiometric method, is shown. The dissociation constants of citric acid are 2,65 - H₂L⁻; 4,25 - HL²⁻ u 5,52 - L³⁻.

Keywords: potentiometry, citric acid, concentration, ionization constants, pH.

Введение

Гидроксикарбоновые кислоты - представители бифункциональных соединений, в состав молекул которых входят гидроксильные и карбоксильные группы, известны уже давно, так как многие из них имеют природное происхождение. Поэтому они имеют большое биологическое значение и находят разнообразное практическое применение [1, 2].

К наиболее изученной и широко используемой на практике лиганда относится лимонная кислота. Она является представителем сложных α-оксикарбоновых кислот, содержит в своём составе 4 функциональные группы: три карбокси-группы и одну оксигруппу. Присутствие в молекуле наряду с карбоксильными ОН–групп усиливает ее кислотные свойства по сравнению с аналогичными карбоновыми кислотами [1].

К числу важнейших характеристик карбоновых кислот относятся константы ионизации, используемые для оценки реакционной способности веществ, расчёта кислотно-основных равновесий в многокомпонентных системах в фармакологии и фармацевтической химии, токсикологии, экологии. Значение констант ионизации весьма существенно в научном плане — они пополняют эмпирическую базу для развития теоретических аспектов физикохимии растворов [3].

Равновесия карбоновых кислот, именно гидроксикарбоновых, в водных растворах изучены недостаточно. Задача изучения равновесий в водных растворах этих кислот часто необходима не только в аналитической и физической химии, но и в ряде сопряжённых научных дисциплин: биохимии, физиологии, геологии, почвоведении и т.п. Для оценки термодинамических равновесий карбоновых кислот, которые диссоциируются на ионы водорода и кислотного остатка, использовались методы потенциометрии и кондуктометрии. Эти методы хорошо описаны в литературе [4]. Согласно физико-химическим свойствам гидроксикарбоновых кислот в литературе обычно приводятся три значения констант ионизации лимонной кислоты: pKa_1 , pKa_2 и pKa_3 . Данные констант диссоциации этой кислоты приведены в работах [5, 6]: $pKa_1 = 3,13$,

 $pKa_2 = 4,71$, $pKa_3 = 6,21$ методом спектрофотомерии, $pKa_1 = 3,02$, $pKa_2 = 4,68$ и $pKa_3 = 6,18$ методом потенциометрии при t = 30 °C [5] и $pKa_1 = 2,9$, $pKa_2 = 4,4$, $pKa_3 = 6,2$ методом Бьеррума [6].

Целью нашей работы является исследование кислотно-основных свойств лимонной кислоты методом потенциометрии при 298 К. Данная информация о константах ионизации используется в дальнейшем при исследовании процессов комплексообразования в системе Fe(II)-Fe(III)-H₃Cit-H₂O и расчетов ионного равновесия данной системы по программе Excel при данных условиях.

Экспериментальная часть

Кристаллы лимонной кислоты марки «х.ч.» применялись без дополнительной очистки. Использовали раствор гидроксида калия, приготовленного из фиксонала. Концентрация раствора NaNO₃, предварительно очищенная перекристаллизацией, определялась весовым методом [7]. Необходимая ионная сила раствора достигалась добавлением рассчитанной массы нитрата натрия (NaNO₃, моль/л). Все расчеты ионного равновесия выполнены на компьютере по программе Excel [8].

Потенциометрические измерения проводили с помощью pH-метра марки pH-150, иономера «Эконикс-Эксперт–001». Калибровку прибора проводили по буферным растворам с известным pH при температуре 298 К в термостатированной ячейке. Температура во всех случаях была постоянной.

Результаты рН-метрического титрования при 298 К и ионной силе раствора I=0,1 приведены в таблице 1. Экспериментальные величины рКа₁, рКа₂ и рКа₃ были определены титрованием раствором КОН.

Таблица 1 – Результаты титрования раствора лимонной кислоты С_{Сіт}=0,01моль/л раствором КОН при 298 K, I=0,1 моль/л

V, мл	рН	Скон	C _{Cit}	V, мл	pН	C_{KOH}	C_{Cit}
,	1	Kon	Cit	,	1	Roll	Cit
0	2,443	0	0,01	5,2	4,790	0,0052	0,009058
0,3	2,527	0,0003	0,0099404	5,4	4,887	0,0054	0,0090253
0,7	2,665	0,0007	0,0098619	5,6	5,000	0,0056	0,0089928
1,2	2,854	0,0012	0,0097656	5,8	5,101	0,0058	0,0089606
1,4	2,946	0,0014	0,0097276	6,0	5,202	0,0060	0,0089286
1,6	3,024	0,0016	0,0096899	6,2	5,308	0,0062	0,0088968
1,8	3,106	0,0018	0,0096525	6,4	5,410	0,0064	0,0088652
2	3,208	0,0020	0,0096154	6,6	5,515	0,0066	0,0088339
2,2	3,303	0,0022	0,0095785	6,8	5,621	0,0068	0,0088028
2,4	3,401	0,0024	0,0095420	7,0	5,730	0,0070	0,0087719
2,6	3,506	0,0026	0,0095057	7,2	5,845	0,0072	0,0087413
2,8	3,600	0,0028	0,0094697	7,4	5,970	0,0074	0,0087108
3	3,711	0,0030	0,0094340	7,6	6,114	0,0076	0,0086806
3,2	3,819	0,0032	0,0093985	7,8	6,285	0,0078	0,0086505
3,4	3,904	0,0034	0,0093633	8,0	6,517	0,0080	0,0086207
3,6	4,010	0,0036	0,0093284	8,2	6,894	0,0082	0,0085911
3,8	4,109	0,0038	0,0092937	8,4	9,250	0,0084	0,0085616
4	4,205	0,0040	0,0092593	8,6	10,582	0,0086	0,0085324
4,2	4,303	0,0042	0,0092251	8,8	10,900	0,0088	0,0085034
4,4	4,400	0,0044	0,0091912	9,0	11,084	0,0090	0,0084746
4,6	4,500	0,0046	0,0091575	9,2	11,227	0,0092	0,0084459
5	4,685	0,0050	0,0090909	9,4	11,320	0,0094	0,0084175

Результаты и их обсуждения

Лимонная кислота - это полипротонная кислота (может выделять три H+), которая относится к слабым кислотам (т.е. имеет тенденцию не полностью ионизироваться). Если раствору лимонной кислоты добавить сильное основание, она последовательно теряет свои три протона следующим образом:

Кривая титрования раствора лимонной кислоты раствором гидроксида калия представлена на рисунке

1.

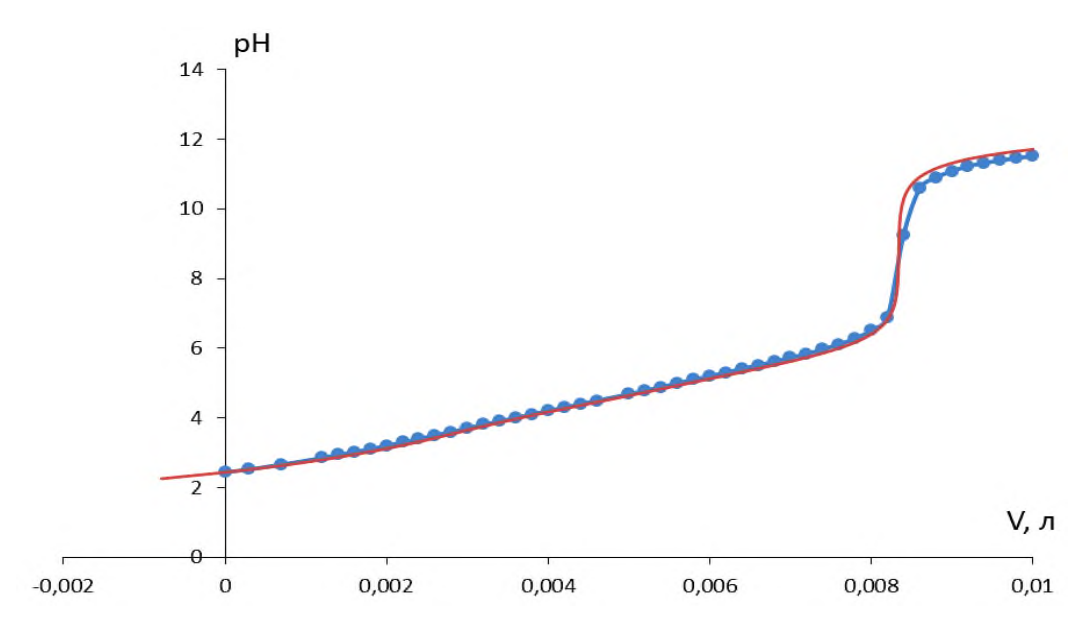


Рисунок 1 — Кривая титрования раствора лимонной кислоты C_{Cit} =0,01 моль/л раствором КОН концентрации 0,2 М при 298 K, I=0,1 моль/л.

У лимонной кислоты значения последовательных констант ионизации вполне сходны, поэтому на кривой титрования отдельные ступени не заметны [9]. Экспериментально и на основе анализа литературных данных показано, что лимонная кислота, хотя и является по современным представлениям трехосновной, но в чисто водных растворах и в присутствии сильных электролитов плавно титруется без скачков в одну ступень [10].

Ионизацию лимонной кислоты в водном растворе при различных значениях pH можно описать следующим образом:

$$H_3CitOH \leftrightarrow H_2CitOH^- + H^+, K_{a1}$$

 $H_2CitOH^- \leftrightarrow HCitOH^{2-} + H^+, K_{a2}$
 $HCitOH^{2-} \leftrightarrow CitOH^{3-} + H^+, K_{a3}$

В зависимости от определения окончательного варианта мольных долей (рис. 2, табл. 2) составляем формы распределения лимонной кислоты:

$$\alpha_0 = [H^+]^3 / [H^+]^3 + [H^+]^2 K_{a,1} + [H^+] K_{a,1,2} + K_{a,1,2,3}$$

$$\alpha_1 = [H^+]^2 K_{a,1} / [H^+]^3 + [H^+]^2 K_{a,1} + [H^+] K_{a,1,2} + K_{a,1,2,3}$$

$$\alpha_2 = [H^+] K_{a,1,2} / [H^+]^3 + [H^+]^2 K_{a,1} + [H^+] K_{a,1,2} + K_{a,1,2,3}$$

$$\alpha_3 = [H^+] K_{a,1,2,3} / [H^+]^3 + [H^+]^2 K_{a,1} + [H^+] K_{a,1,2} + K_{a,1,2,3}$$

Таблица 2 – Значения процентной доли молекулярных и ионных форм лимонной кислоты

				1
pН	α_0	α_1	α_2	α_3
1,0	9,78E-01	0,0218965	1,23E-05	3,71856E-10
1,2	9,66E-01	0,0342642	3,05E-05	1,46164E-09
1,4	9,47E-01	0,0532357	7,52E-05	5,70431E-09
1,6	9,18E-01	0,0818161	0,000183	2,20211E-08
1,8	8,76E-01	0,1237153	0,000439	8,36417E-08
2,0	8,16E-01	0,1827317	0,001028	3,10323E-07
2,2	7,36E-01	0,261279	0,002329	1,11456E-06
2,4	6,37E-01	0,3581107	0,005058	3,83722E-06
2,6	5,23E-01	0,4663215	0,01044	1,25512E-05
2,8	4,06E-01	0,5735585	0,020351	3,87773E-05
3,0	2,97E-01	0,6652954	0,037412	0,000112983
3,2	2,06E-01	0,7291858	0,064989	0,000311055
3,4	1,35E-01	0,7574869	0,106998	0,000811661
3,6	8,38E-02	0,7469563	0,167223	0,002010457
3,8	4,94E-02	0,698144	0,247711	0,004720027
4,0	2,75E-02	0,6157665	0,346271	0,010457204
4,2	1,44E-02	0,50966	0,454235	0,021741026
4,4	7,01E-03	0,3940931	0,556671	0,042227788
4,6	3,19E-03	0,2841641	0,636164	0,07648367
4,8	1,35E-03	0,1911573	0,678251	0,129238054
5,0	5,36E-04	0,120104	0,675394	0,203965592
5,2	1,99E-04	0,0705163	0,628477	0,300807864
5,4	6,88E-05	0,0386962	0,546598	0,414636849
5,6	2,23E-05	0,0198793	0,445041	0,535057074
5,8	6,80E-06	0,009607	0,340871	0,649515419
6,0	1,97E-06	0,0044041	0,247663	0,747930635
6,2	5,45E-07	0,0019353	0,172488	0,825576612
6,4	1,47E-07	0,0008239	0,116376	0,882800181
6,6	3,85E-08	0,0003429	0,076763	0,922894047

			0	кончание таблицы 2
6,8	9,95E-09	0,0001405	0,049857	0,950002601
7,0	2,55E-09	5,699E-05	0,03205	0,967893035
7,2	6,47E-10	2,296E-05	0,020465	0,979512117
7,4	1,64E-10	9,211E-06	0,013011	0,986979853
7,6	4,13E-11	3,685E-06	0,008249	0,991747316
7,8	1,04E-11	1,471E-06	0,005221	0,994777857
8,0	2,62E-12	5,869E-07	0,0033	0,996699031
8,2	6,59E-13	2,339E-07	0,002085	0,997914825
8,4	1,66E-13	9,32E-08	0,001317	0,998683385
8,6	4,17E-14	3,712E-08	0,000831	0,99916889
8,8	1,05E-14	1,478E-08	0,000525	0,999475453
9,0	2,63E-15	5,886E-09	0,000331	0,999668972
9,2	6,61E-16	2,344E-09	0,000209	0,999791112
9,4	1,66E-16	9,331E-10	0,000132	0,999868191
9,6	4,17E-17	3,715E-10	8,32E-05	0,99991683

По константам ионизации лимонной кислоты по трем ступеням рассчитаны мольные доли всех анионных форм в зависимости от pH. Из полученных расчетных данных и диаграммы распределения видно, что в области pH (1,0-5,6) образуется анионная форма H_2Cit^- с константой диссоциации $2,65\pm0,06$ и составляет 76 %, затем формируется $HCit^{2-}$ при pH (2,8-7,2) с константой диссоциации $4,25\pm0,05$, процентное содержание данной формы -67,8 %. Лимонная кислота находится в виде Cit^{3-} при pH 4,0-9,0 с константой диссоциации $5,52\pm0,08$ и имеет максимальное содержание (табл. 3).

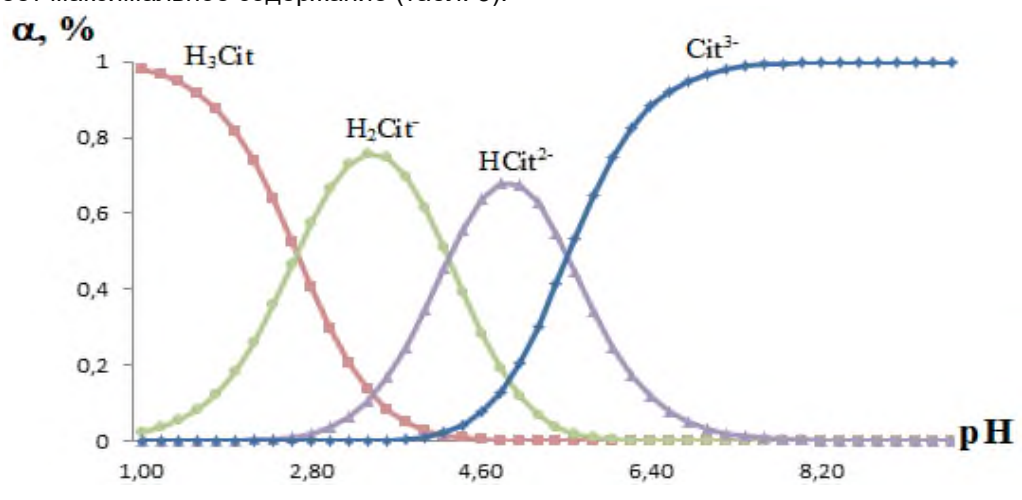


Рисунок 2 – Зависимость содержания форм лимонной кислоты от pH раствора

Таблица 3 — Численные значения логарифма константы ионизации и максимальной степени накопления лимонной кислоты от рН

3.0	Область рН	Ионная	pН	Значение lg	Макс. степень накоп.,
№		форма		константы	α, %
				ионизации	
1	1,0-4,4	H ₃ Cit		-	-
2	1,0-5,6	H ₂ Cit⁻	3,4	2,65	76,0
3	2,8-7,2	HCit ²⁻	5,0	4,25	67,8
4	4,0-9,0	Cit ³⁻	6,8	5,52	100

На кривой дифференциального титрования состояние точки эквивалентности соответствует максимуму кривой и поэтому определяется с высокой точностью. Кривая дифференциального титрования построена в координатах dpH/dV-VT (рис. 3). Состояние точки эквивалентности и максимума кривой соответствует константе ионизации с наибольшим значением.

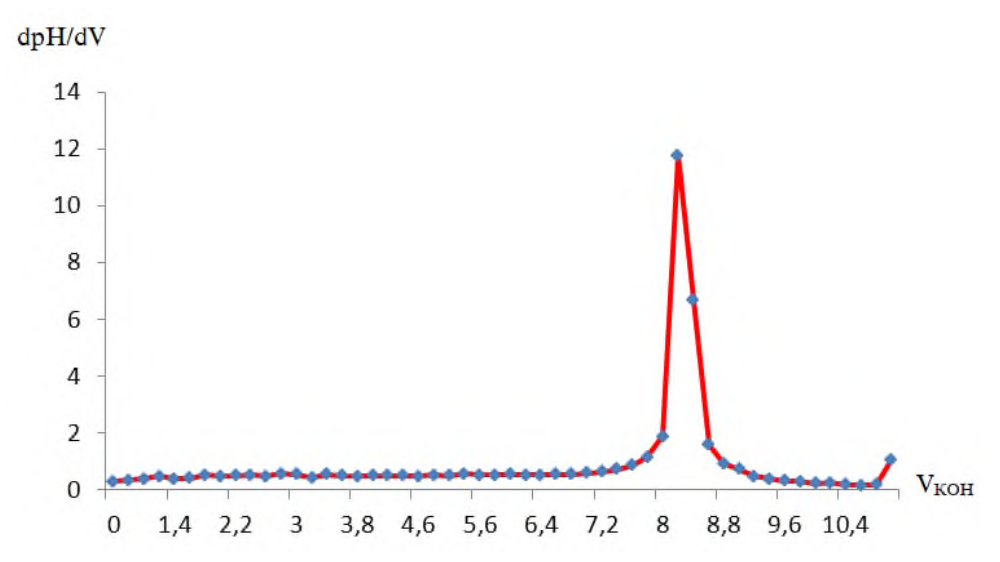


Рисунок 3 – Кривая дифференциального титрования лимонной кислоты в водном растворе при температуре 298 К.

Выводы

c.

Методом рН-метрии исследованы кислотно-основные свойства лимонной кислоты. Установлено, что результаты потенциометрического титрования зависят от способа титрования, концентрации веществ и времени установления равновесного значения рН титруемого раствора. Показано количество доступных функциональных групп (-COOH) лимонной кислоты, которые могут быть определены потенциометрическим методом. Значения константы диссоциации лимонной кислоты составляют 2,65 - H₂L⁻; 4,25 - HL²⁻ и 5,52 - L³⁻.

Рецензент: Ганиев И.Н. – д.х.н., профессор, ақадемиқ НАНПТ

Литература

- 1. Артеменко, А.И. Органическая химия: учеб. / А.И. Артеменко. М.: Высш. шк., 2002. 559 с.
- 2. Allen F.H. The Cambridge Structural Database: a quarter of a million crystal structures and rising / F.H. Allen // Acta Crystallogr. B. -2002. -V. 58B, N 3. -P. 380-388.
- 3. Крестов Г.А. Современные проблемы химии растворов. / Г.А. Крестов, В.И. Виноградов, Кесспер Ю.М. [и др.] //– М.: Наука, 1986. 262 с.
- 4. Ляхненко И.В. Потенциометрическое титрование ацетилсалициловой кислоты / Ляхненко И.В. Шелудько О.Н., Стрижов Н.К. // Известия вузов. Пищевая технология, 2011. № 4. C.19–21.
- 5. Elbagermi, M.A. Raman spectroscopic and potentiometric studies of acidity level and dissociation of citric acid in aqueous solution / M.A. Elbagermi, A.I. Alajtal, H.G.M. Edwards, G.H. Azimi, K. D. Verma and I. J. Scowen // Journal of Applied Chemical Science International. -2015, 2(1). pp. 1-11.
- 6. Begum Nadira Ferdousi. Exploring pKa of Peroxycitric Acid Coexisting with Citric Acid in Aqueous Solution with Voltmmetric, Potentiometic and Chromatographic Approaches / Begum Nadira Ferdousi, Md. Mominul Islam, Takeyoshi Okajima and Takeo Ohsaka // International Journal Electrochem. Sci., 11 (2016) 6215 6228, doi: 10.20964/2016.07.30
- 7. Сусленникова В.М. Руководство по приготовлению титрованных растворов / В.М. Сусленникова, Е.К. Киселева // Л.: Химия, 1968, 144 с.
 - 8. Уокенбах Д. Формулы в Excel 2013. / Д. Уокенбах // М.: Диалектика, 2019. 720 с.
 - 9. Альберт, А. Константы ионизации кислот и оснований / А. Альберт, Е. Сержент. М.: Л.: Химия, 1964. 262

10. Шелудько О.Н. Математическая модель равновесия лимонной кислоты в растворах и ее экспериментальная проверка / О.Н. Шелудько, Н.К. Стрихков, Т.В. Гузик, А.И. Сухачёва // Известия ВУЗов. Пищевая технология, 2015, № 1. - С. 22-25.

СВЕДЕНИЯ ОБ АВТОРАХ – МАЪЛУМОТ ДАР БОРАИ МУАЛЛИФОН – INFORMATION ABOUT AUTHORS

AUTHORS								
TJ	RU	EN						
Мираминзода Фарида	Мираминзода Фарида	Miraminzoda Farida						
Корманди илмй	Научный сотрудник	researcher						
Институти илмию тахкикотии	Научно-исследовательский	Research Institute of the Tajik National						
Донишгохи миллии Точикистон	институт Таджикского	University						
	национального университета							
	e-mail: miraminzoda@mail.ru							
TJ	RU	EN						
Рахимова Мубаширхон	Рахимова Мубаширхон	Rakhimova Mubashirkhan						
д.х.н., профессор	д.х.н, профессор	Doctor of Chemical Sciences,						
		Professor						
Донишгохи миллии Точикистон	Таджикский национальный	Tajik National University						
	университет							
	e. mail: <u>mubashira09@mail.ru</u>							
TJ	RU	EN						
Давлатшоева Цахонгул	Давлатшоева Джахонгул	Davlatshoeva Jahonul Asankhonovna						
Асанхоновна	Асанхоновна							
к.х.н., дотсент	к.х.н., доцент Candidate of Chemical Sci							
		docent						
Донишгохи миллии Точикистон	Таджикский национальный	Tajik National University						
	университет							
	e. mail: kfk1964@mail.ru							
TJ	RU	EN						
Суяриён Қурбон Цура	Суяриён Курбон Джура	Suyariyon Kurbon Djura						
к.х.н., дотсент	к.х.н., доцент	Candidate of Chemical Sciences,						
		docent						
Донишгохи миллии Точикистон	Таджикский национальный	Tajik National University						
	университет							
e-mail: <u>kurbon.suyarov.1958@mail.ru</u>								
TJ	RU	EN						
Эшова Гулрухсор Бобоназаровна	Эшова Гулрухсор Бобоназаровна	Eshova Gulrukhsor Bobonazarovna						
н.и.х., ходими калони илмй	к.х.н., старший научный	Candidate of Chemical Sciences,						
	сотрудник	Senior Researcher						
Институти илмию тахкикотии	Научно-исследовательский	Research Institute of the Tajik National						
Донишгохи миллии Точикистон	институт Таджикского	University						
	национального университета							
e-mail: <u>eshova81@mail.ru</u>								

УДК 546.492

КОМПЛЕКСООБРАЗОВАНИЕ РТУТИ (II) С N – АЦЕТИЛТИОМОЧЕВИНОЙ ПРИ ИОННОЙ СИЛЕ 0,1 МОЛЬ/Л NaClO₄ И ТЕМПЕРАТУРЕ 318К

Р.С. Халимова, Ф.Ш. Курбонова, С.И. Сафаров

Проведены потенциометрические исследования процесса комплексообразования ртути (II) с N- ацетилтиомочевиной при ионной силе 0,1 моль/л NaClO4 и температуре 318К. Выявлено, что в данной системе ртуть (II) с N – ацетилтиомочевиной образует четыре комплексные формы при 318К. Рассчитаны диаграммы распределения комплексных частиц, с учетом которых можно определить оптимальные условия синтеза координационных соединений ртути (II) с N – ацетилтиомочевиной.

Ключевые слова: ртуть (II), N – ацетилтиомочевина, комплексообразование, константа устойчивости.

КОМПЛЕКСХОСИЛШАВИИ СИМОБ (II) БО

N – АТСЕТИЛТИОМОЧЕВИНА ДАР ҚУВВАИ ИОНИИ 0,1 МОЛ/Л NaClO₄ ВА ХАРОРАТИ 318К

Р.С. Халимова, Ф.Ш. Қурбонова, С.И. Сафаров

Тахқиқотҳои потенсиометрии раванди комплексҳосилшавии симоб (II) бо N- атсетилтиомочевина дар кувваи ионии 0,1 мол/л $NaClO_4$ ва ҳарорати 318К гузаронида шуд. Маълум карда шуд, ки дар системаи мазкур симоб (II) бо N — атсетилтиомочевина чор шаклҳои комплексиро дар ҳарорати 318К ҳосил мекунад. Диаграммаҳои тақсимшавии шаклҳои комплексй ҳисобида шудаанд, ки бо дарназардошти онҳо метавон усулҳои оптималии пайвастҳои комплексии симоб(II) бо N — атсетилтиомочевина муайян кард.

Калимахои калиди: симоб (II), N – атсетилтиомочевина, комплексхосилшави, собитаи устувори.

COMPLEXATION MERCURY (II) C N – ACETYLTHIOUREA AT IONIC STRENGTH 0.1 MOL/L NaCIO4 AND TEMPERATURE 318K

R.S. Khalimova, F. Sh. Kurbonova, S.I. Safarov

Potentiometric studies of the process of complexation of mercury (II) with N-acetylthiourea at an ionic strength of 0.1 mol/l NaClO₄ and a temperature of 318 K were carried out. It was revealed that in this system, mercury (II) with N – acetylthiourea forms four complex forms at 318 K. Distribution diagrams of complex forms have been calculated, taking into account which it is possible to develop optimal methods for the synthesis of complexes of mercury (II) with N-acylthiourea.

Keywords: mercury (II), N – acetylthiourea, complexation, stability constant.

Ртуть, соединения ртути и её сплавы нашли своё широкое применение во многих областях: медицине и химической технологии, при производстве красителей и сельском хозяйстве. Ртуть – высокотоксичный металл и его использование приводит к загрязнению окружающей среды. В процессе комплексообразования степень токсичности ионов тяжелых металлов (Hg, Pb) как правило, снижается. Исследование процесса комплексообразования Hg(II) с различными органическими лигандами является актуальной задачей для дальнейшего их практического применения [1]. В литературе имеются определенные сведения о процессах комплексообразования ртути с серосодержащими органическими лигандами. Процесс комплексообразования ртути (II) с 1-фенил-2,3-диметипиразолин-5-тионом в среде 0,1 моль/л HNO₃ в интервале температур 273-338К изучен авторами работы [2]. Определен ступенчатый характер комплексообразования и определены константы устойчивости комплексов. Авторами данной работы выявлена закономерность в изменении значений ступенчатых констант устойчивости при повышении температуры и увеличении количества присоединённых молекул 1-фенил-2,3-диметилпиразолин-5-тиона во внутренней координационной сфере комплекса. Изучению координационных соединений ртути (II) с яблочной кислотой спектрофотометрическим и pH – потенциометрическим методами на перхлоратном фоне (NaClO₄, μ =0,1; t=20 0 C) посвящена работа [3]. Выявлены области рН формирования и существования комплексов при данных концентрациях ртути (II) и лиганда, их мольный и протонный состав. Показана существенная зависимость выхода комплексных частиц от концентрации яблочной кислоты. Определены соответствующие константы устойчивости образующихся комплексов. В работе [4] нами изучен процесс комплексообразования ртути (II) с N – ацетилтиомочевиной при температуре 278К. Определены константы их устойчивости с использованием онлайн программы KEV. Установлено, что ртуть (II) с N – ацетилтиомочевиной последовательно образует четыре комплексные частицы. спектрофотометрически работы определены константы равновесия роданогалогенидных комплексов ртути (II) из соответствующих диацидокомплексов в водном растворе. На основе проведенных исследований были получены следующие значения констант образования комплексов: lgK=1,00+0,06 (HgSCNCI) и $0.81\pm0,07$ (HgSCNBr) при температуре $20\pm1^{\circ}$ С и ионной силе 0,01 моль/л (HClO₄). Измеренные величины были сопоставлены с аналогичными литературными данными с целью выявления количественной взаимосвязи образования смешанных и однородных комплексов в растворе. Авторами работы [6] изучены закономерности образования комплексных соединений ртути в воде и неводных растворителях и

установлена связь устойчивости комплексов и сольватов ртути со свойствами растворителей. На основании концепции ионных активностей построены шкалы pHg^{2+} устойчивости ртутных комплексов и показана возможность прогнозирования активности комплексных частиц, констант диспропорционирования и величин произведений растворимости малорастворимых солей ртути в неводных средах. Обсуждены корреляционные зависимости в ряду комплексов и сольватокомплексов ртути и перспективы использования количественных характеристик сольватации в химии комплексных соединений ртути.

В литературе имеются сведения о кислотно-основных свойствах различных азот- и серусодержащих органических соединений в воде и других растворителях обладающих, как кислотными, так и основными свойствами. Так, в работе [7] приведены результаты исследований по определению кислотных и основных свойств различных органических соединений в водных растворах. В соответствии с этими данными константа ионизации выражает соотношение ионов, на которые распадаются соединения и недиссоциирующие молекулы при любой выбранной величине рН. Среди множества методов по определению констант ионизации соединений перспективным является метод потенциометрического титрования.

В литературе отсутствуют сведения о процессах комплексообразования ртути (II) с N – ацетилтиомочевиной. В связи с этим цель настоящей работы заключалась в исследовании процесса комплексообразования ртути (II) с N – ацетилтиомочевиной при ионной силе 0,1 моль/л $NaClO_4$ при температуре 318K.

Экспериментальная часть

Кислотно – основные свойства лиганда N – ацетилтиомочевины определяли методом pH-метрического титрования [7] на pH метре марки pH – 150MИ. Исследование процесса комплексообразования ртути (II) с N – ацетилтиомочевиной проводили с использованием гальванического элемента, где индикаторным электродом служил ртуть-селективный электрод, а электродом сравнения – хлоридсеребряный. Ионную силу системы поддерживали добавлением 0,1моль/л раствора NaClO4. Начальные концентрации раствора соли ртути Hg(NO3)2 брали 1·10-4 моль/л; N – ацетилтиомочевины - 1·10-2 моль/л. Равновесный потенциал ртуть-селективного электрода устанавливали в течение 5-10 минут. Температуру ячейки поддерживали при помощи водяного термостата (±0,10C). Равновесные концентрации ртути (II), N – ацетилтиомочевины, образующиеся комплексные частицы, а также константы устойчивости образующихся частиц определены онлайн программой KEV.

В молекуле N – ацетилтиомочевины имеются несколько донорных атомов (азот и сера), способных присоединять протоны. Этот процесс можно представить следующим образом:

$$HL^+ \leftrightarrow H^+ + L \leftrightarrow L^- + H^+$$

Для определения кислотности N- ацетилтиомочевины мы проводили pH-метрическое титрование раствора лиганда 0,1моль/л раствором HCI. По полученным результатам потенциометрического титрования численное значение pK_a , измеренное при температуре 298К равно $3,40\pm0,04$. Полученные данные о кислотно-основных свойствах N- ацетилтиомочевины были использованы для дальнейшего исследования процесса комплексообразования Hg(II) с N-ацетилтиомочевиной.

Результаты и их обсуждение

Данные по изменению потенциала системы при титровании системы Hg/Hg²⁺ исходного раствора Hg(NO₃)₂ с N – ацетилтиомочевиной приведены в таблице 1.

Таблица 1– Потенциометрические данные по изменению потенциала системы Hg/Hg^{2+} , определению равновесной концентрации ионов ртути (II) и N – ацетилтиомочевины при 318К $C_{Hg}^{2+} = 1 \cdot 10^{-4}$ моль/л; $C_L = 1 \cdot 10^{-2}$ моль/л

		$C_{Hg2+} \cdot 10^5$,		
ΔЕ, мВ	$C_L \cdot 10^5$, моль/л	моль/л	[L]·10 ⁶ , моль/л	$[Hg^{2+}] \cdot 10^8$, моль/л
19	4,99	9,98	2,26	4763,97
26	9,96	9,96	36,20	3620,60
34	14,91	9,94	76,17	2646,61
43	19,84	9,92	117,81	1860,79
62	24,75	9,90	157,38	886,48
72	29,64	9,88	203,62	599,49
84	34,52	9,87	250,30	375,04
98	39,37	9,84	297,45	217,06
~	~	~	~	~
347	549,92	7,80	0,005421,22	0,01

Согласно данным таблицы 1 при титровании раствора нитрата ртути (II) раствором N – ацетилтиомочевины, по возрастании концентрации органического лиганда происходит уменьшение значения равновесного потенциала ртуть-селективного электрода в целом на 328мВ, что свидетельствует о глубоком протекании процесса комплексообразования Hg(II) с N – ацетилтиомочевиной.

Для определения количества частиц, которые образуются в системе Hg(II) – N- ацетилтиомочевина, а также величин констант устойчивости мы использовали онлайн программу KEV.

На основе экспериментальных данных с использованием онлайн программы KEV установлено, что в системе Hg(II) - N – ацетилтиомочевина при 318К образуются четыре комплексные формы.

В таблице 2 приведены значения общих констант устойчивости для комплексных соединений ртути (II) с N – ацетилтиомочевиной при 318К.

Таблица 2-Значения общих констант устойчивости комплексов ртути (II) с N – ацетилтиомочевиной при 318К

T, K	$lg\beta_1$	$lg\beta_2$	$lg\beta_3$	$lg\beta_4$
318	7.10±0.02	10,87±0,03	17.48±0.04	21.91±0.01

По данным таблицы 2 видно, что значения общих констант устойчивости с увеличением молекулы органического лиганда во внутренней сфере комплексов возрастают. При переходе от общих констант устойчивости к ступенчатым наблюдается уменьшение значений констант образований при увеличении количества координированного органического лиганда, что вероятнее всего связано со стерическими факторами при вхождении последующей объемной молекулы органического лиганда во внутреннюю сферу комплексного соединения.

Показано, что природа органического лиганда влияет на характер процесса комплексообразования ртути (II). Так, в работе [8] авторами установлено, что ртуть (II) с тиопирином в среде 0,1 моль/л HNO₃ при температуре 318К последовательно образует четыре комплексные формы со следующими значениями pK_i: pK_1 =6,36±0,09; pK_2 =4,55±0,09; pK_3 =3,25±0,01; pK_1 =2,07±0,14. Также выявлено влияние природы металла – комплексообразователя на процесс комплексообразования. Так, например, в работе [9] нами проведены исследования по изучению процесса комплексообразования рения (V) с N- ацетилтиомочевиной в среде 6 моль/л HCI при 318К. Показано, что в указанной системе образуются четыре комплексные формы со следующими значениями констант устойчивости: pK_1 =3,45; pK_2 =2,71; pK_3 =2,36; pK_1 =2,23. При сравнении полученных значений констант образований комплексных соединений рения (V) N-ацетилтиомочевиной с аналогичными величинами комплексов Hg(II) выявлено, что значения ступенчатых констант Hg(II) с N-ацетилтиомочевиной больше, чем комплексов с рением (V). Сравнение констант устойчивости комплексных соединений Hg(II) с N-ацетилтиомочевиной при 318К с подобными величинами при 288К [10] показывает, что при повышении температуры на 30°С в целом происходит увеличение значений общих констант устойчивости.

Для определения области доминирования всех комплексных форм, которые образуются в системе

ртуть (II) – N – ацетилтиомочевина, нами построены диаграммы их распределения при 318 К.

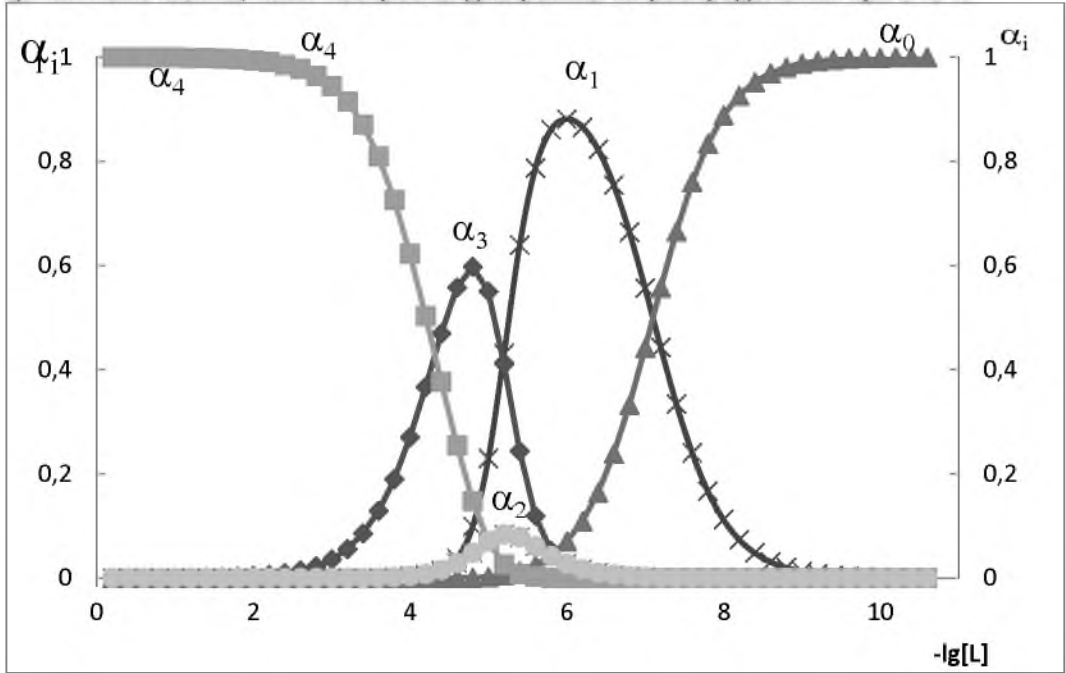


Рисунок — Кривые распределения N — ацетилтиомочевинных комплексов ртути (II) при 318К, где α_1 — $[HgL_2]^{2+}$; α_2 — $[HgL_3]^{2+}$; α_3 — $[HgL_3]^{2+}$; α_4 — $[HgL_4]^{2+}$

Заключение

Полученные результаты по изучению диаграмм распределения комплексных форм дают возможность разработать оптимальные методики синтеза координационных соединений ртути (II) с N – ацетилтиомочевиной в изучаемой среде.

На основе проведенных исследований по изучению процесса комплексообразования ртути (II) с N – ацетилтиомочевиной при ионной силе 0,1 моль/л NaClO₄ и температуре 318К выявлено, что в изучаемой системе образуются четыре комплексные формы.

Рецензент: Жумаев М.П. — қ.х.н., доцент қафедры «Общая и неорганичесқая химия» ПГПУ им. С. Айни

Литература

- 1. Нечаева Е.М. Физико-химические закономерности экстракции комплексных соединений ртути (II) производными пиразолона. Автореферат диссертации на соискание ученой степени кандидата химических наук. Пермь 2009. -19c.
- 2. Бекназарова, Н.С. Комплексообразование ртути (II) с 1-фенил-2,3-диметил-пиразолин-5-тионом в среде 0,1 моль/л HNO₃ в интервале температур 273-338К. / Н.С. Бекназарова, Дж.О. Шоалифов, А.А. Аминджанов, С.М. Сафармамадов // Журнал физической химии. 2016. Том. 90. №12. С.1-6.
- 3. Корнев, В.И. Комплексы ртути (II) с яблочной кислотой в водных растворах. / В.И. Корнев, А.А. Кардапольцев // Вестник Удмуртского университета. Физика. Химия. Вып.2. 2008. С. 58-64.
- 4. Халимова, Р.С. Изучение процесса комплексообразования ртути (II) с N ацетилтиомочевиной при температуре 278К. / Р.С. Халимова, Ф.Ш. Курбонова // Материалы республиканской научно-практической конференции на тему: «Современное состояние и перспективы физико-химического анализа». Душанбе. 2023. С. 224-227.
- 5. Белеванцев, В.И. Роданогалогенидные комплексы ртути (II) в водном растворе. / В.И. Белеванцев, А.В. Шуваев // Журнал неорганической химии. Том. 23. № 4. 1978. С. 924-928.
- 6. Балятинская, Л. Н. Сольватация и комплексообразование ионов ртути в воде и неводных растворителях. / Л.Н. Балятинская // Успехи химии. 1979. 48 (4). С. 772–791.
- 7. Альберт А. Константы ионизации кислот и оснований. / А. Альберт, Е. Сержент // Перевод с английского Е.Ю. Беляева, В.И. Зайонца, И.Я. Квитко и Б.В. Пассета. М.: Химия. 1964. Ленинград. -180c.
- 8. Шоалифов Дж.О. Комплексные соединения ртути (II) и рения (V) с 1-фенил-2,3-диметилпиразолин-5-тионом и 6 бензоилтиохинолином. Автореф.дисс. канд. хим. наук. Душанбе 2018. -24С.
- 9. Аминджанов, А.А. Исследование процесса комплексообразования рения (V) с N ацетилтиомочевиной в среде 6 моль/л HCl при 318К. / А.А.Аминджанов, С.М. Сафармамадов, Ф.Ш. Курбонова // Вестник Пермского университета. Химия. Вып. 1(21). 2016. C.29-34.
- 10. Халимова Р.С., Курбонова Ф.Ш. Сафармамадзода С.М. / Материалы республиканской конференции с международным участием «Комплексные соединения и аспекты их применения», посвященной 70-летию памяти чл.-корр. АН РТ д.х.н., профессора Аминджанова А.А. Душанбе. 2021. С.59-62.

СВЕДЕНИЯ ОБ АВТОРАХ – МАЪЛУМОТ ДАР БОРАИ МУАЛЛИФОН – INFORMATION ABOUT AUTHORS

TJ	RU	EN						
Халимова Рухшона Султоновна	Халимова Рухшона Султановна	Halimova Rukhshona Sultonovna						
Унвончу	Соискатель	Applicant						
Донишгохи миллии Точикистон	Таджикский национальный	Tajik National University						
	университет							
TJ	RU	EN						
Курбонова Фируза Шамсуллоевна	Курбонова Фируза Шамсуллоевна	Qurbonova Firuza Shamsulloevna						
н.и.х., дотсент	к.х.н., доцент	Candidate of Chemical Sciences, docent						
Донишгохи миллии Точикистон	Таджикский национальный университет	Tajik National University						
	e. mail: <u>kurbonova@internetl.ru</u>							
TJ	RU	EN						
Сафаров Саймухамад Исломович	Сафаров Саймухамад Исломович	Safarov Saimuhamad Islomovich						
н.и.х., дотсент	к.х.н., доцент	Candidate of Chemical Sciences, docent						
Донишгохи миллии Точикистон	Таджикский национальный университет	Tajik National University						
e. mail: saimuhamad@mail.ru								
TJ	RU	EN						

УДК 546.722+546.723+544.354

ПРОЦЕССЫ КОМПЛЕКСООБРАЗОВАНИЯ В СИСТЕМЕ Fe(II)-Fe(III)-H₄Cit-H₂O

Ф. Мираминзода¹, М. Рахимова², Дж.А. Давлатшоева², К.Дж. Суяриён², Г.Б. Эшова¹

¹Научно-исследовательский институт Таджикского национального университета ²Таджикский национальный университет

Исследована окс-ред система железа(II)-железа(III)-цитрат-ион-вода. Использован классический метод оксредметрии. Эксперименты проведены при $T=298,15\,$ K, $I=1,0\,$ моль/л (Na(H)NO₃). Состав формирующихся комплексных частиц определялся анализом экспериментальных зависимостей ЭДС системы от pH, pC_L, pC_{red} и pC_{ox}. Эти параметры относятся к показателям концентраций: катиона водорода, лимонной кислоты (HL), восстановленной формы металла и окисленной формы металла. Как показал общий анализ наклонов всех экспериментальных кривых, формирование координационных соединений идет последовательно и ступенчато. В среде pH $0.7\div7.5$ образующиеся комплексы являются моноядерными $[Fe^{III}(H_2CitOH)(H_2O)_5]^{2+}$; $[Fe^{III}(H_2CitOH)_2(H_2O)_4]^+$; $[Fe^{III}(HCitOH)(H_2O)_4]^0$ а также гетеровалентными: $[Fe^{III}Fe^{II}(CitOH)(H_2O)_9]^{2+}$; $[Fe^{III}Fe^{II}(CitOH)_2(H_2O)_6]^-$. Химические модели процессов формирования комплексов составлены с учетом количества их базисных частиц и областей их превалирования. Обсуждены схемы (механизмы) возможных реакций.

Ключевые слова: окислительный потенциал, Fe(III), Fe(II), лимонная кислота, модель, комплексные частицы, электродвижущая сила (ЭДС), превалирование.

РАВАНДХОИ КОМПЛЕКСХОСИЛШАВЙ ДАР СИСТЕМАИ Fe(II)—Fe(III)—H₄Cit-H₂O Ф. Мираминзода, М. Рахимова, Ч.А. Давлатшоева, Қ.Ч. Суяриён, Г.Б. Эшова

Системаи окс-ред охан(II)-охан(III)-ситрат-ион-об тахкик карда шуд. Усули классикии оксредметрия истифода шудааст. Озмоишхо дар T=298,15~K, $I=1,0~Mолл/л~(Na(H)NO_3)$ гузаронида шудаанд. Таркиби заррахои комплексии хосилшуда бо тахлили вобастагии тачрибавии $K\ni X$ -и система аз pH pC_L , pC_{red} , pC_{ox} муайян карда шудааст. Ин параметрхо ба нишондихандахои консентратсионй: катиони гидроген, кислотаи лимуи (HL), шакли баркароршудаи металл ва шакли оксидшудаи металл вобаста мебошанд. Тахлили умумии китъахои хамаи качхаттахои тачрибавй нишон дод, ки хосилшавии пайвастхои координатсионй пай дар пай ва зина ба зина мегузарад. Дар мухити $pH~0,7\div7,5~$ комплексхои хосилшуда моноядрой: $[Fe^{III}(H_2CitOH)(H_2O)_4]^+;~ [Fe^{III}(HCitOH)(H_2O)_4]^0~$ ва инчунин гетеровалентй: $[Fe^{III}Fe^{II}(CitOH)(H_2O)_9]^{2+};~ [Fe^{III}Fe^{II}(CitOH)_2(H_2O)_6]^-.$ мебошанд. Моделхои химиявии равандхои хосишавии комплексхо бо назардошти шумораи заррахои базисии онхо ва худухои афзалияти онхо тартиб дода шудаанд. Схемахои (механизмхои) реаксияхои имконпазир мухокима карда шуданд.

Калидвожахо: потенсиали оксидонй, Fe(III), Fe(II), кислотаи лиму, модел, заррахои комплексй, ҚЭХ, афзалият.

THE PROCESSES OF COMPLEXATION IN THE SYSTEM Fe(II)–Fe(III)–H₄Cit-H₂O F. Miraminzoda, M. Rakhimova, J.A. Davlatshoeva, K.J. Suyarien, G.B. Eshova

The oxalic system of iron(II)-citrate-ion-water has been studied. The classical oxredmetry method was used. The experiments were carried out at T=298,15 K, I=1,0 mol/l (Na(H)NO₃). The composition of the forming complex particles was determined by analyzing the experimental dependence of the EMF of the system on the pH of pC_L, pC_{red}, pC_{ox}. These parameters relate to the concentrations of: hydrogen cation, citric acid (HL), reduced metal forms and oxidized metal forms. As shown by the general analysis of the slopes of all experimental curves, the formation of coordination compounds proceeds sequentially and stepwise. In a pH of $0.7 \div 7.5$, the resulting complexes are mononuclear $[Fe^{III}(H_2CitOH)(H_2O)_3]^{2+}$; $[Fe^{III}(H_2CitOH)_2(H_2O)_4]^{+}$; $[Fe^{III}(HCitOH)(H_2O)_4]^{+}$; $[Fe^{III}(HCitOH)(H_2O)_4]^{0}$; and heterovalent: $[Fe^{III}Fe^{II}(CitOH)(H_2O)_9]^{2+}$; $[Fe^{III}(EitOH)_2(H_2O)_6]^{-}$. Chemical models of the processes of formation of complexes are compiled taking into account the number of their basic particles and the areas of their prevalence. Schemes (mechanisms) of possible reactions are discussed.

Keywords: oxidative potential, Fe(III), Fe(II), citric acid, model, complex particles, EMF, prevalence.

Введение

Исследование процессов образования координационных соединений металлов переменной валентности с различными многоосновными, многофункциональными органическими лигандами продолжает вызывать большой научно-теоретический интерес исследователей, так как комплексные соединения широко используются более чем в 500 областях техники и науки, фармакологии и косметологии. Все d — элементы, в том числе и Fe относятся к жизненно важным металлам. Обычно во всех живых системах они накапливаются в пространстве вне клеток. Переходные элементы быстро и без трудностей изменяют степень своего окисления. Поэтому эти элементы являются активными участниками многих окс-ред и биохимических, а также физиологических процессов [1, 2].

Кроме того, координационные соединения переходных металлов являются высокоэффективными катализаторами различных технических и биологических систем. Они являются практически точной моделью природных ферментов и биологических переносчиков кислорода: цитохромов, ферредоксинов, гемоглобина [3].

Лимонная кислота (H_4 Cit) является представителем сложных α -оксикарбоновых кислот, содержит в своём составе 4 функциональные группы. В одной молекуле она имеет три карбоксильные и одну оксигруппу, которые могут взаимодействовать с образованием как хелатов, так и мостиковых связей. В метаболическом цикле трикарбоновых кислот цитрат ион является главным промежуточным продуктом. Поэтому во многих биохимических реакциях клеточного дыхания большого количества организмов цитрат ион является

важнейшим компонентом. Он находит применение в фармацевтике как основное средство, улучшающее энергетические процессы, а также в производстве лекарственных препаратов на основе комплексов с металлами. В организме человека очень много металлов-комплексообразователей и лигандов. Они постоянно формируют различные комплексные соединения, которым свойственны уникальные биологические, физиологические свойства [4-6].

Последние годы практические и теоретические аспекты координационной химии достигли больших успехов. Это состояние взаимосвязано с передовыми технологиями, в том числе компьютерными, с достижениями всех естественных наук, использованием современнейших приборов, оборудования, методов исследования, а также моделирования процессов.

В этом направлении выделяется моделирование окс-ред реакций, протекающих в комплексообразующих системах, для изучения которых широко применяется метод оксредметрии [7-10]. Указанный метод обладает преимуществом перед другими физико-химическими методами исследований. Вопервых, оксредметрия является самым простым и высокочувствительным методом. Кроме того, этот метод недорогой и очень удобный в плане осуществления измерения окислительного потенциала или ЭДС при исследовании ступенчатого комплексообразования в окс-ред системах [11, 12].

Формирование комплексов в системах Fe(II), Fe(III), Cu(II), Zn(II)-анионы уксусной, салициловой, ацетилсалициловой, аминоуксусной кислот при различных концентрационных условиях и применение Pt, Fe, Cu, Zn – ых электродов исследовано нами также методом оксредметрии [13-16].

Цель работы: Методом оксредметрии исследовать формирование комплексных частиц Fe(II) в водно-цитратной среде при T=298,15 и I=1,0 моль/л (Na(H)NO₃). Установить составы комплексов, найти их базисные и модельные параметры, а также области превалирования. Учитывая материальный баланс компонентов системы, составить уравнения ионных равновесий и установить механизм реакций.

Экспериментальная часть

В определенных экспериментальных условиях: концентрация C_{H+} , C_{ox} , C_{red} и C_L , получены зависимости ЭДС от одного из показателей. В работе применены в качестве исходных соединений сульфаты Fe(II) и Fe(III). В соответствии с методиками [17, 18] найдены концентрации Fe(II) и Fe(III). Перемешивание компонентов системы и предотвращение окисления Fe(II) осуществлялось потоком газообразного азота (аргона). Водный раствор биологически активной лимонной кислоты («х.ч.») готовился непосредственно перед экспериментом без дополнительной очистки. Из фиксонала готовились растворы NaOH, а концентрация нитрата натрия (очищенного перекристаллизацией) была найдена весовым методом [19]. Постоянное значение ионной силы раствора реализовывалось добавлением необходимого количества (Na(H)NO₃).

В экспериментах ЭДС определялась потенциометрическим методом. Исследуемую систему составляли: герметичная электролитическая ячейка, платиновый, хлорсеребряный и стеклянный электроды, трубки для газа. Были составлены два гальванических элемента:

ЭДС системы измерялась I гальваническим элементом, а вторым – измерялись величины рН раствора в ячейке [20]. Величины ЭДС измерены рН-метром марки 150 МИ. Необходимо помнить, что рабочий раствор должен постоянно насыщаться инертным газом.

Для экспериментов готовились два рабочих раствора, которые содержали смесь сульфатов железа $(1\cdot10^{-3}\div1\cdot10^{-4})$, лимонную кислоту $(1\cdot10^{-1}\div1\cdot10^{-2})$ моль/л. В первом рабочем растворе (ячейка) ионная сила поддерживалась постоянной с помощью азотной кислоты, а во втором рабочем растворе — нитратом натрия (титрант). В электролитическую ячейку наливали первый рабочий раствор и 20 мин пропускали через него инертный газ, затем изменяли значения гальванических элементов I и II. Вторым раствором титруем первый, рН которого шаг за шагом увеличивается и смещается в щелочную область. Если в системе формируются моно-, полиядерные и гетеровалентные комплексные частицы, то при исследовании системы используют следующее общее уравнение:

$$E = E^{0} + \nu \lg \frac{C_{ox}}{C_{red}} + \nu \lg \left\{ \sum_{1}^{q} \sum_{0}^{s} \sum_{1}^{x} \sum_{0}^{y} q \beta^{\frac{1}{q}} G^{\left(q - \frac{1}{q}\right)} L^{\frac{x}{q}} h^{\frac{x - y}{q}} \right\} / \left\{ \sum_{1}^{p} \sum_{0}^{s} \sum_{1}^{l} \sum_{0}^{\nu} p \beta^{1/p} P^{(p - 1/p)} L^{1/p} h^{(l - \nu/p)} \right\}$$
(1)

где: E^0 и E — соответственно, стандартное и измеренное значение ЭДС; концентрации базисных частиц, C_{ox} , C_{red} , C_L ; q, p — число атомов Fe^{3+} , Fe^{2+} ; y — гидроксильных групп во внутренней сфере частиц Fe(II); v — количество OH^- во внутренней сфере частиц Fe(II); v = RT/nF.

Согласно уравнению Нернста изменение свободной $C_{Fe(III)}$ или $C_{Fe(III)}$ ЭДС системы изменяется, то есть изменение ЭДС свидетельствует о наличии образования комплексов.

Рассмотрение первых производных уравнения (1) от одного из переменных (остальные постоянные) позволяет найти состав и области превалирования комплексных частиц в растворе.

Обсуждение результатов

По описанной выше методике получены кривые зависимости ЭДС от рН (рис. 1) [7-12]. По этой зависимости находится возможное число формирующихся комплексов и интервал их превалирования (доминирования) по шкале рН.

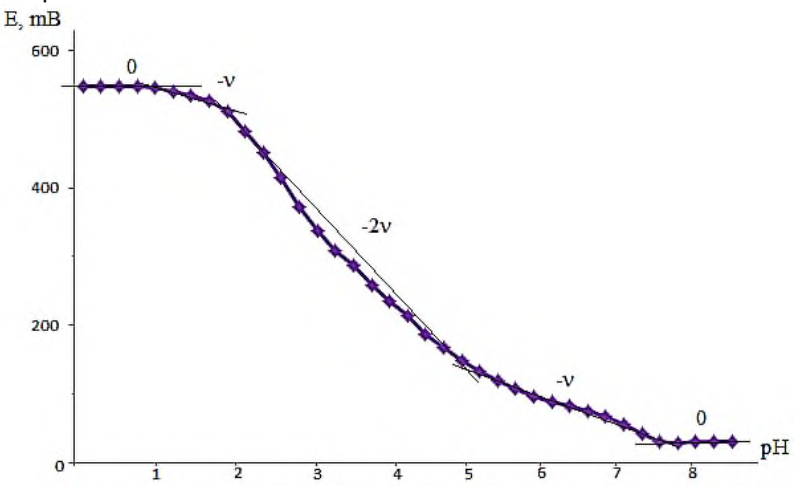


Рисунок 1 — Графическая зависимость ЭДС (E, mB) от pH для системы Fe(III)-Fe(II)- H_4 Cit- H_2 O при T=298,15 K; C_{Fe} $^{2+}_{/Fe}$ $^{3+}$ = $1 \cdot 10^{-3}$; C_{H_4Cit} = $1 \cdot 10^{-2}$ и I=1,0 моль/л.

Из рисунка видно, что при pH больше 0.7 ЭДС снижается. При этом формируются промолинейные участки с наклонами 0, -v, -2v, -v и 0, что согласно теории метода говорит о формировании комплексных частиц железа 3. Этот процесс продолжается до pH 7.0. Анализ наклонов кривой, приведенных выше, говорит о том, что выше pH 4.0 Fe(II) вступает в комплексообразование, ЭДС увеличивается. При повышении pH за пределы 7.5 появляется темно-коричневый осадок, что свидетельствует о начале гидролиза Fe(III).

Далее необходимо определить число атомов Fe(III) и Fe(II) во внутренней координационной сфере. Это можно сделать анализом первой производной зависимости ЭДС от C_{ox} и C_{red} (рис. 2 и 3).

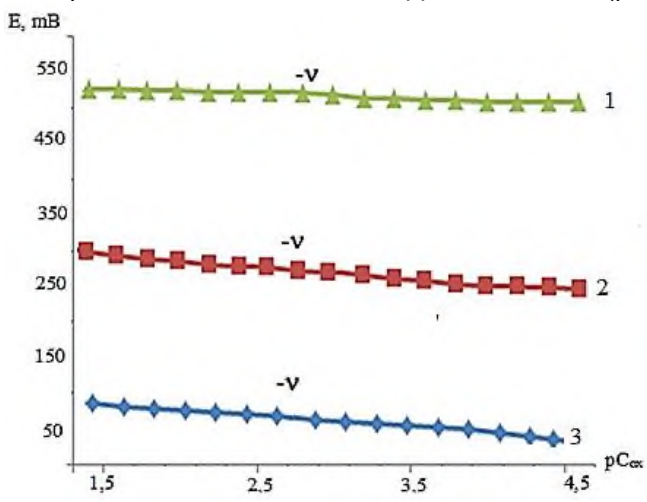


Рисунок 2 — Графическая зависимость ЭДС (E, mB) от pC_{ox} для системы Fe(II)-Fe(III)- H_4 Cit- H_2 O при T=298,15 K и I=1,0 моль/л. Кривые относятся к pH: I – I,0; I – I,0; I – I

Как видно из рисунка 2, экспериментальные кривые имеют наклон -v. По теории метода образуются моноядерные частицы Fe(III), то есть в комплексообразовании принимает участие один атом трехвалентного железа.

При установлении числа атомов Fe(II) в образующихся комплексных частицах необходим анализ наклонов кривых зависимости E от pC_{red} (рис. 3).

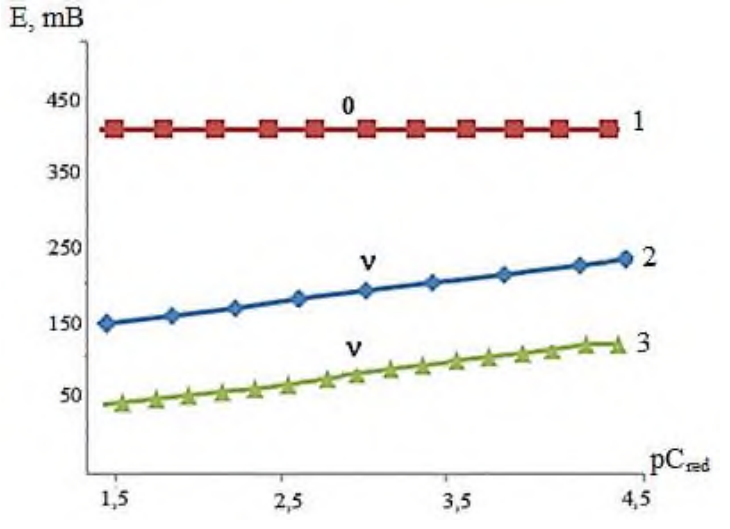


Рисунок 3 — Графическая зависимость ЭДС (E, mB) от pC_{red} для системы Fe(II)-Fe(III)- H_4 Cit - H_2 O при T=298,15 K и I=1,0 моль/л. Кривые относятся K E1 – 2,5; 2 – 3,5; 3 – 6,5.

Кривые указанной зависимости имеют один прямолинейный участок с наклоном v. Следовательно, в условиях эксперимента образуются моноядерные комплексы Fe(II).

Количество цитрат-ионов во внутренней сфере определялось анализом наклона кривых зависимостей Е от pC_L (рис. 4).

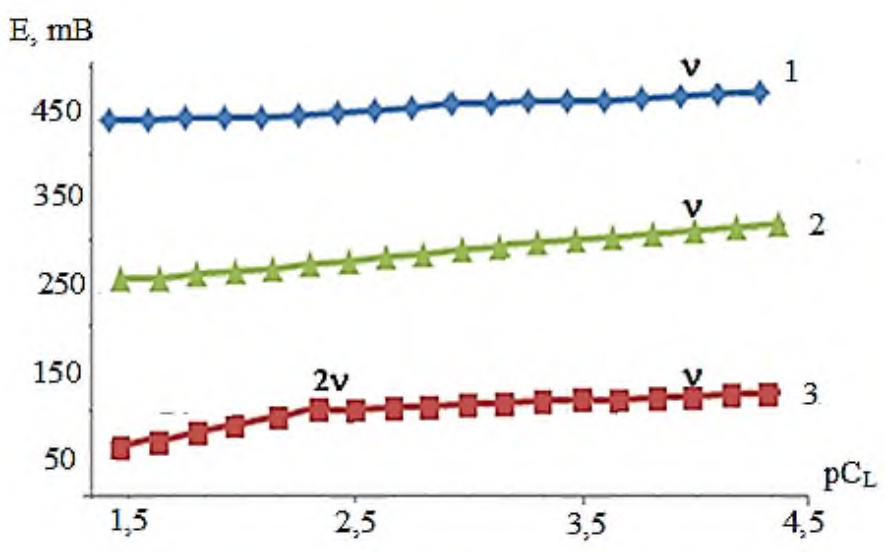


Рисунок 4 — Графическая зависимость ЭДС (E, mB) от pC_L для системы Fe(II)-Fe(III)- H_4 Cit- H_2 O при T=298,15 K и I=1,0 моль/л. Кривые относятся к pH: I – I,0; I –

Как видно из рисунка 4, на этих кривых имеем наклон ν и 2ν , т.е. к центральному иону присоединяется один и два лиганда.

Используя численные значения наклонов кривых зависимости ЭДС от изученных концентрационных параметров, составлена основа математической модели (стехиометрической матрицы) всех ионных равновесий системы (табл. 1, 2).

Таблица 1 — Стехиометрическая матрица равновесий системы Fe(III)-Fe(II)- H_4Cit - H_2O для комплексов Fe(III) при T=298,15 K; I=1,0; C_{Fe} $2+_{/Fe}$ $^3+=1\cdot 10^{-3}$; $C_{H4Cit}=1\cdot 10^{-2}$ моль/л

№ <u>,</u> п/п	Область формир. линейн. участ. по шкале рН			мости ЭД ных парам	Состав комплексов	
	1010	рН	pC _{ox}	pC_{red}	pC_L	
1	1,2-1,8	-ν	-v	-	ν	$[Fe^{III}(H_2CitOH)(H_2O)_5]^{2+}$
2	1,8-3,2	-2v	-ν	-	ν	$[Fe^{III}(H_2CitOH)_2(H_2O)_4]^+$
3	3,2-4,2	-ν	-ν	ν	ν, 2ν	[Fe ^{III} (HCitOH)(H ₂ O) ₄] ⁺
4	5,5-7,5	0	-ν	ν	ν, 2ν	$[Fe^{III}Fe^{II}(CitOH)(H_2O)_9]^{2+}$
5	5,5-7,5	0	-ν	ν	ν, 2ν	[Fe ^{III} Fe ^{II} (CitOH) ₂ (H ₂ O) ₆] ⁻

Таблица 2 — Стехиометрическая матрица равновесий системы Fe(III)-Fe(II)- H_4Cit - H_2O для комплексов Fe(II) при температуре 298,15 K; I=1,0; C_{Fe} $^{2+}_{/Fe}$ $^{3+}=1\cdot 10^{-3}$; C_{H4Cit} = $1\cdot 10^{-2}$ моль/л

№ , п/п	Область формир. линейн. участ. по шкале рН			имости ЭД ных парам		Состав комплексов
		рН	pC_{ox}	pC_{red}	pC_L	
1	4,0-5,4	-ν	-ν	ν	ν, 2ν	[Fe ^{II} (HCitOH)(H ₂ O) ₄] ⁰
2	5,5-7,5	0	-ν	ν	ν, 2ν	[Fe ^{II} Fe ^{III} (CitOH)(H ₂ O) ₉] ²⁺
3	5,5-7,5	0	-ν	ν	ν, 2ν	[Fe ^{II} Fe ^{III} (CitOH) ₂ (H ₂ O) ₆]

Анализ представленных в таблице 1 и 2 показывает, что железо(III) образует комплексные соединения состава: $[Fe^{III}(H_2CitOH)(H_2O)_5]^{2+}$; $[Fe^{III}(H_2CitOH)_2(H_2O)_4]^+$; $[Fe^{III}(HCitOH)(H_2O)_4]^+$; $[Fe^{III}(HCitOH)(H_2O)_4]^-$; $[Fe^{III}(Fe^{III}(CitOH)_2(H_2O)_6]^-$, а железо(II) - $[Fe^{III}(HCitOH)(H_2O)_4]^-$; $[Fe^{III}(Fe^{III}(CitOH)_2(H_2O)_6]^-$. Из таблиц следует, что железо(III) формирует 5 координационных соединений, 3 из которых являются чисто цитратными моноядерными, а 2 последних являются гетеровалентными. В отличие от железа(III) Fe(II) участвует в образовании только трех координационных соединений, одно из которых является моноядерным чисто цитраным, а два гетеровалентными.

Для повышения скорости статистической обработки и расчетов создана химическая модель ионных равновесий образования комплексов (табл. 3). Вводятся буквенные обозначения всех компонетов системы (базисных частиц), которые сосуществуют в полном взаимодействии: g — число Fe(III) в координационной сфере, p — число Fe(III) в координационной сфере, p — количество p в лиганде; p — число молекул p — число образования сфере комплекса.

Таблица 3 — Химическая модель ионных равновесий образования комплексов в системе Fe(III)-Fe(II)-H₄Cit-H₂O при $T=298.15~K:~I=1.0: C_{Fe}^{2+}_{Fe}^{3+}=1\cdot10^{-3}: C_{H4Gi}=1\cdot10^{-2}$ моль/л

		1 270,13	CH4CIL 1 10 MOSIB/SI			
	Mo	дельные ча	стицы	Состав		
№ , п/п	Fe(III)	Fe(II)	H ⁺	Cit ⁴⁻	OH-	комплексов
	g	p	S	1	k	
1	1	0	3	1	0	$[Fe^{III}(H_2CitOH)(H_2O)_5]^{2+}$
2	1	0	4	2	0	[Fe ^{III} (H ₂ Cit OH) ₂ (H ₂ O) ₄] ⁺
3	1	0	1	1	0	[Fe ^{III} (HCitOH)(H ₂ O) ₄] ⁺
4	0	1	2	1	0	[Fe ^{II} (HCitOH)(H ₂ O) ₄] ⁰
5	1	1	0	1	0	$[Fe^{III}Fe^{II}(CitOH)(H_2O)_9]^{2+}$
6	1	1	0	2	0	$[Fe^{III}Fe^{II}(CitOH)_2(H_2O)_6]^{-1}$
7	1	1	0	1	0	$[Fe^{II}Fe^{III}(CitOH)(H_2O)_9]^{2+}$
8	1	1	0	2	0	$[Fe^{II}Fe^{III}(CitOH)_2(H_2O)_6]^{-1}$

Далее составленные химические модели используются для разработки компьютерных программ, расчета ионных равновесий, по которым формируются координационные соединения различного состава и сложности структур.

С учётом материального баланса системы составлены реакции образования указанных выше комплексов (табл. 4).

Таблица 4 – Реакции образования цитратных комплексов железа в системе Fe(III)-Fe(II)- H_4Cit - H_2O при T=298,15~ K; $I=1,0;~~C_{Fe}^{2+}_{/Fe}^{3+}=1\cdot 10^{-3};~~C_{H4Cit}=1\cdot 10^{-2}$ моль/л

Nº,	Реакции формирования комплексов
1	$[Fe(H_2O)_6]^{3+} + H_3CitOH \leftrightarrow [Fe^{III}(H_2CitOH)(H_2O)_5]^{2+} + H_3O_+$
2	$[Fe(H_2O)_6]^{3+} + 2H_3CitOH \leftrightarrow [Fe^{III}(H_2CitOH)_2(H_2O)_4]^+ + 2H_3O^+$
3	[Fe(H ₂ O) ₆] ³⁺ + H ₃ CitOH ↔ [FeIII(HCitOH)(H ₂ O) ₄] ⁺ + 2H ₃ O ⁺ или
4	$[Fe(H_2O)_6]^{2+} + H_3CitOH \leftrightarrow [Fe^{II}(HCitOH)(H_2O)_4]0 + 2H_3O^+$
5	[Fe(H ₂ O) ₆] ³⁺ + [Fe(H ₂ O) ₆] ²⁺ + H ₃ CitOH \leftrightarrow [Fe Fe (CitOH)(H ₂ O) ₉] ²⁺ + 3H ₃ O или [Fe(H ₂ O) ₆] ³⁺ + [Fe (HCitOH)(H ₂ O) ₄] ⁰ \leftrightarrow [Fe Fe (CitOH)(H ² O)9] ²⁺ + H ³ O ⁺
6	$ [Fe(H_2O)_6]^{3+} + [Fe(H_2O)_6]^{2+} + 2H_3CitOH \leftrightarrow [Fe^{ }Fe^{ }(CitOH)_2(H_2O)_6]^{-} + 6H_3O^{+} \text{ или } \\ [Fe^{ }Fe^{ }(CitOH)(H_2O)_9]^{2+} + H_3CitOH \leftrightarrow [Fe^{ }Fe^{ }(CitOH)_2(H_2O)_6]^{-} + 3H_3O^{+} \text{ или } \\ [Fe^{ }(HCitOH)(H_2O)_4]^{+} + [Fe^{ }(HCitOH)(H_2O)_4]^{0} \leftrightarrow [Fe^{ }Fe^{ }(CitOH)_2(H_2O)_6]^{-} + 2H_3O^{+} \text{ или } \\ [Fe(H_2O)_6]^{2+} + [Fe^{ }(H_2CitOH)_2(H_2O)_4]^{+} \leftrightarrow [Fe^{ }Fe^{ }(CitOH)_2(H_2O)_6]^{-} + 4H_3O^{+} $
7	$[Fe(H_2O)_6]^{2+} + [Fe(H_2O)_6]^{3+} + 2H_3CitOH \leftrightarrow [Fe^{\parallel}Fe^{\parallel}(CitOH)(H_2O)_9]^{2+} + 6H3O^+$ или $[Fe(H_2O)_6]^{2+} + [Fe^{\parallel}(HCitOH)(H_2O)_4]^+ \leftrightarrow [Fe^{\parallel}Fe^{\parallel}(CitOH)(H_2O)_9]^{2+} + H3O^+$
8	$\begin{split} & [\text{Fe}(\text{H}_2\text{O})_6]^{2+} \ + \ [\text{Fe}(\text{H}_2\text{O})_6]^{3+} \ + \ 2\text{H}_3\text{CitOH} \ \leftrightarrow \ [\text{Fe}^{\text{II}}\text{Fe}^{\text{III}}\text{(CitOH)}_2(\text{H}_2\text{O})_6]^{-} \ + \ 6\text{H}_3\text{O}^{+} \ \text{или} \\ & [\text{Fe}^{\text{II}}\text{Fe}^{\text{III}}\text{(CitOH)}(\text{H}_2\text{O})_6]^{-} \ + \ 3\text{H}_3\text{O}^{+} \ \text{или} \\ & [\text{Fe}^{\text{II}}\text{(HCitOH)}(\text{H}_2\text{O})_4]^{0} \ + \ [\text{Fe}^{\text{III}}\text{(HCitOH)}(\text{H}_2\text{O})_4]^{+} \ \leftrightarrow \ [\text{Fe}^{\text{III}}\text{Fe}^{\text{III}}\text{(CitOH)}_2(\text{H}_2\text{O})_6]^{-} \ + \ 2\text{H}_3\text{O}^{+} \ \text{или} \\ & [\text{Fe}(\text{H}_2\text{O})_6]^{2+} \ + \ [\text{Fe}^{\text{III}}\text{(H}_2\text{CitOH)}_2(\text{H}_2\text{O})_4]^{+} \ \leftrightarrow \ [\text{Fe}^{\text{III}}\text{Fe}^{\text{III}}\text{(CitOH)}_2(\text{H}_2\text{O})_6]^{-} \ + \ 4\text{H}_3\text{O}^{+} \end{split}$

Таким образом, в результате исследования процессов комплексообразования ионов железа(III) и железа(II) в водных растворах лимонной кислоты при T=298,15 K; I=1,0 моль/л; (созданной нитратом натрия, азотной кислотой) и обработки экспериментальных полученных данных установлено:

- **1.** Формирование цитратных комплексов железа происходит ступенчато в интервале pH от 0,7 до 7,5, далее идет гидролиз Fe(III) и система становится необратимой.
- 2. Выявлено, что в изученной системе железо(III) формирует три моноядерных и два гетеровалентных чисто цитратных комплекса. Fe(II) образует одно моноядерное и два гетеровалентных комплекса. Перечисленные комплексные частицы обладают своим существованием и доминированием.
- 3. Для изученной системы составлены математическая (стехиометрическая матрица) и химическая модели ионных равновесий, на основе которых можно осуществлять термодинамические расчеты, а также определить возможные механизмы реакций образования комплексов.

Рецензент: Мингбоев Ш.А. — қ.х.н., старший научный сотрудник лаборатории «Органичесқий синтез» Института химии им. В.И. Никитина НАНП

Литература

- 1. Литвинова Т.Н. Биогенные элементы. Комплексные соединения: учеб.-метод. пособ. / под ред. проф. Т.Н. Литвиновой. Ростов н/Д.: Феникс, 2009. 283 с.
 - 2. Киселев Ю.М. Химия координационных соединений / Ю.М. Киселев, Н.А. Добрынина // М.: Академия, 2007.
- 3. Нурматов, Т.М. Эффективность микроэлементсодержащих соединений / Т.М. Нурматов, Х.М. Якубов, М.М. Рахимова, З.Н. Юсупов // Журнал Агропромышленный комплекс Таджикистана. 1988. № 9. С. 55-57.
 - 4. Машковский, М.Д. Лекарства XX века. М.: Новая волна, 1998. 108 с.
- 5. Сейфуллина, И.И. Растворяющие и комплексообразующие функции органических кислот в направленном синтезе координационных соединений: дис. . . . доктора хим. наук: 02.00.01 / Сейфуллина Инна Иосифовна. Одесса, 1990.
- 6. Кучеренко, М. Є. Біохімія / М. Є. Кучеренко, Ю. Д. Бабенюк, О. М. Васильєв. Київ: ВГЦ "Київський університет", 2002. 480 с.
 - 7. Якубов, Х.М. Применение оксредметрии в комплексообразовании / Х.М. Якубов. Душанбе: Дониш, 1966. -1
 - 8. Захарьевский, М.С. Оксредметрия / М.С. Захарьевский. Л.: Химия, 1968. 327 с.
- 9. Юсупов, З.Н. Применение оксредметрии к изучению гетеровалентного и гетероядерного комплексообразования / З.Н. Юсупов // Сб. науч. тр. «Координационные соединения и аспекты их применения». Душанбе: Сино. 1996. С.5-14.

- 10. Эшова, Г.Б. Оксредметрическое определение состава и устойчивости координационных соединений в гомогенных системах / Г.Б. Эшова, М. Рахимова, Дж.А. Давлатшоева, М.Б. Жоробекова. Методическое пособие 67 с.
- 11. Рахимова, М. Теоретические основы метода окислительного потенциала Кларка-Никольского / М. Рахимова, Э.Ф. Файзуллоев, Дж.А. Давлатшоева, А.С. Маметова // Учебник по физической химии. Таджикский национальный университет и Ошский государственный университет Душанбе: Эр-граф, 2020. 312 с.
- 12. Никольский, Б.П. Оксредметрия / Б.П. Никольский, В.В. Пальчевский, А.А. Пендин, Х. М. Якубов. Л.: Химия, 1975. 304 с.
- 13. Rakhimova M. Formation of glycinate complexes of iron(II) in solutions of different ionic strengths / M. Rakhimova, G.B. Eshova, Dzh.A. Davlatshoeva, L. V. Kvyatkovskaya, F. Miraminzoda // Russian Journal of Physical Chemistry, 2020, Vol. 94(8):1560-1564. DOI:10.1134/S0036024420080233.
- 14. Davlatshoeva, J.A. Processes of Formation of Glycinate Complexes of Iron (II) and Iron (III) Under Various Ional Forces of Solution / J.A. Davlatshoeva, G. B. Eshova, M.M. Rahimova, M.O. Guriev, L.V. Kvyatkovskaya // American Journal of Chemistry, 2017; 7(2). 58 65 p.
- 15. Zhorobekova M. Study of heteronuclear complexation in Fe(II)-Fe(III)-Mn(II)-CH₃COOH-H₂O system / M. Zhorobekova, A. Mametova, F.Miraminzoda // E3S Web of Conferences 401, 04064 (2023), CONMECHYDRO–2023 https://doi.org/10.1051/e3sconf/202340104064.
- 16. Davlatshoeva J.A. Processes of Complex Formation in an Fe(II)-Fe(III)-H₂Sal-C₂H₅OH-H₂O System / J.A. Davlatshoeva, M. Rakhimova, G.B. Eshova, F. Miraminzoda // Russian Journal of Physical Chemistry, 2023, Vol. 97, N. 3.
- 17. Пршибил, Р. Комплексоны в химическом анализе / Р. Пршибил пер. с чешского под ред. Ю.Ю. Лурье. М.: ИЛ, 1960. С. 383 386.
- 18. Заворотный В.Л., Калачева Н.А. Методическое руководство к лабораторным работам по аналитической химии. Титриметрический анализ. М.: РГУ нефти и газа им. И.М. Губкина, 2007. 44 с.
- 19. Сусленникова В.М. Руководство по приготовлению титрованных растворов / В.М. Сусленникова, Е.К. Киселева // Л.: Химия, $1968.\ 144\ c.$
 - 20. Бейтис Р. Определение рН. Теория и практика. М.: Химия, 1972. 397 с.

СВЕДЕНИЯ ОБ АВТОРАХ – МАЪЛУМОТ ДАР БОРАИ МУАЛЛИФОН – INFORMATION ABOUT AUTHORS

	AUTHORD	
TJ	RU	EN
Мираминзода Фарида	Мираминзода Фарида	Miraminzoda Farida
Корманди илмй	Научный сотрудник	researcher
Институти илмию тахкикотии	Научно-исследовательский	Research Institute of the Tajik National
Донишгохи миллии Точикистон	институт Таджикского	University
	национального университета	
	e-mail: <u>miraminzoda@mail.ru</u>	
TJ	RU	EN
Рахимова Мубаширхон	Рахимова Мубаширхон	Rakhimova Mubashirkhan
д.х.н., профессор	д.х.н, профессор	Doctor of Chemical Sciences,
		Professor
Донишгохи миллии Точикистон	Таджикский национальный	Tajik National University
	университет	
TJ	RU	EN
Давлатшоева Чахонгул	Давлатшоева Джахонгул	Davlatshoeva Jahonul Asankhonovna
Асанхоновна	Асанхоновна	
к.х.н., дотсент	к.х.н., доцент	Candidate of Chemical Sciences, docent
Донишгохи миллии Точикистон	Таджикский национальный университет	Tajik National University
TJ	RU	EN
Суяриён Қурбон Цура	Суяриён Курбон Джура	Suyariyon Kurbon Djura
к.х.н., дотсент	к.х.н., доцент	Candidate of Chemical Sciences,
• · ·		docent
Донишгохи миллии Точикистон	Таджикский национальный	Tajik National University
	университет	
TJ	RU	EN
Эшова Гулрухсор Бобоназаровна	Эшова Гулрухсор Бобоназаровна	Eshova Gulrukhsor Bobonazarovna
н.и.х., ходими калони илмӣ	к.х.н., старший научный	Candidate of Chemical Sciences,
	сотрудник	Senior Researcher
Институти илмию тахкикотии	Научно-исследовательский	Research Institute of the Tajik National
Донишгохи миллии Точикистон	институт Таджикского	University
	национального университета	

НАКЛИЁТ - TPAHCПОРТ - TRANSPORT

УДК: 625.096

ВЛИЯНИЕ СОСТОЯНИЯ УЛИЧНО-ДОРОЖНОЙ СЕТИ НА ЭФФЕКТИВНОСТЬ ОРГАНИЗАЦИИ ДОРОЖНОГО ДВИЖЕНИЯ В Г. ДУШАНБЕ

А.М. Умирзоков, Ф.М. Махмудова, Б. Нуралиев

Таджикский технический университет имени академик М.С. Осими

Статья посвящена оценке влияния состояния автомобильной дороги на эффективность организации дорожного движения (ОДД) в г. Душанбе. Разработана классификационная схема факторов, влияющих на формирование эффективности ОДД на улично-дорожной сети (УДС) в г. Душанбе. Целью исследования является моделирование параметров транспортного потока и дорожных факторов эффективности ОДД, а также изыскание путей ее повышения в условиях крупных городов. Исследования проводились на УДС г. Душанбе, результаты которых имеют важное теоретическое и практическое значение и могут быть применены для других городов.

Ключевые слова: автомобиль, улично-дорожная сеть, эффективность, интенсивность движения, состав потока, мастерство водителя, среда.

ТАЪСИРИ ХОЛАТИ ШАБАКАИ РОХУ КУЧА БА САМАРАНОКИИ ТАШКИЛИ ХАРАКАТ ДАР РОХХОИ Ш. ДУШАНБЕ

А.М. Умирзоков, Ф.М. Махмудова, Б. Нуралиев

Мақолаи мазкур ба масъалаи баходихии таъсири холати шабакаи роху куча (ШРК) ба самаранокии ташкили ҳаракат дар рох (ТХР) дар ш. Душанбе бахшида шудааст. Дар мақола схемаи синфбандии омилҳо, ки ба ташаккулёбии самаранокии ТХР дар (ШКР) дар ш. Душанбе таъсир мерасонанд, коркард шудааст. Мақсади тадқиқот аз моделсозии параметрҳои сели нақлиёт ва омилҳои роҳ, инчунин дарёфт намудани роҳҳои баланд бардоштани он дар шароити шаҳрҳои бузург иборат мебошад. Тадқиқот дар ШКР-ҳои ш. Душанбе гузаронида шудааст, ки натичаҳои он аҳамияти муҳими назариявӣ ва амалиро доро буда, маетавонад барои дигар шаҳрҳои бузург низ истифода шавад.

Калимахои калидй: автомобил, шабакаи роху куча, самаранокй, шиддатнокии харакат, таркиби села, махорати ронанда, мухит.

THE INFLUENCE OF THE STATE OF THE ROAD NETWORK ON THE EFFICIENCY OF TRAFFIC MANAGEMENT IN DUSHANBE

A.M. Umirzoqov, F.M. Mahmudova, B. Nuraliev

The article is devoted to the assessment of the impact of the state of the highway on the effectiveness of traffic management in Dushanbe. A classification scheme of the factors influencing the formation of the efficiency of the ODD at the Dushanbe UDS has been developed. The purpose of the study is to model the parameters of traffic flow and road factors of efficiency of the EDD, as well as to find ways to improve it in large cities. The research was conducted at the Dushanbe UDS, the results of which have important theoretical and practical significance and can be applied to other cities.

Keywords: car, highway, efficiency, traffic intensity, traffic composition, driver's skill, environment.

Введение

Душанбе – столица Республики Таджикистан (РТ), быстро растущий и развивающийся город с населением около 1,3 миллиона человек, площадь которого составляет 203,2 км². Город расположен в Гиссарской долине на высоте от 650 до 950 м н.у.м., при высоте центра города, равной 706 м н.у.м. [3]

В городе зарегистрированы около 145 тыс. транспортных средств (ТС). С учетом транзитных и челночных ТС, стабильно въезжающих в столицу из различных регионов республики, этот показатель доходит до 200 тыс. и более ТС. Реальное число ТС на улицах города варьирует в довольно широких пределах, в разы уменьшаясь в выходные, праздничные и предпраздничные дни. Это обусловлено большим числом автовладельцев, проживающих за пределами города, но работающих в г. Душанбе. Наблюдается снижение интенсивности движения ТС в городе за счет уменьшения курсирующего по городу числа общественного транспорта, обусловленного резким сокращением пассажиропотока из-за выезда большого числа студентов из города.

В городе проложено около 8 тыс. км автомобильных дорог. Ближайшие 3 года в г. Душанбе запланировано строительство 40 км дороги и 7 эстакад, а к 2030 году будет сдано в эксплуатацию еще 20 эстакад. В городе Душанбе автомобильные дороги находятся в состоянии, отвечающим требованиям СНиП, за исключением дорог на окраинах города, состояние которых можно характеризовать как удовлетворительное и препятствующее повышению эффективности ОДД [5,6].

Материалы и методы исследования

В формировании эффективности важная роль отводится мастерству водителя, техническому состоянию ТС и интенсивности движения, составу транспортного потока, дорожным условиям и среде. При этом наиболее затратным и трудоемким фактором в формировании эффективности ОДД является УДС, строительство и обслуживание которой связаны с большими материальными, денежными, временными и трудовыми ресурсами. Надлежащее состояние УДС, обуславливающих повышение

эффективности ОДД, зависит от большого числа факторов, классификационная схема которых представлена на рис.1.

Важным фактором в формировании эффективности ОДД можно считать соотношение между реально участвующим и не участвующим в движении числом автомобилей. При этом число автомобилей, реально участвующих в движении $N_{\partial s}$, можно определить из выражения

$$N_{\partial\theta} = \Sigma N_{TC} - N_{cm} - N_{32} + N_{\theta z} - N_{H\partial} - N_{TOuP}, \tag{1}$$

где ΣN_{TC} – суммарное число TC, зарегистрированных в г. Душанбе по официальным данным УГАИ РТ, шт.; N_{cm} – число автомобилей, припаркованных на первой, а иногда на второй полосе движения УДС, шт.;

 N_{se} – число автомобилей, зарегистрированных в г. Душанбе, но выезжавших за город, шт.;

 N_{ee} – число автомобилей, незарегистрированных в г.Душанбе, но въезжавших в город, шт.;

*N*_{н∂} – число автомобилей, находящихся вне УДС (на автостоянках, во дворах домов, предприятий, учреждений, учебных заведений, а также на автомобильных рынках и т.д.), шт.;

 N_{ee} – число автомобилей, находящихся в пунктах ТО и Р, станциях Гостехосмотра АТС и т.д., шт.

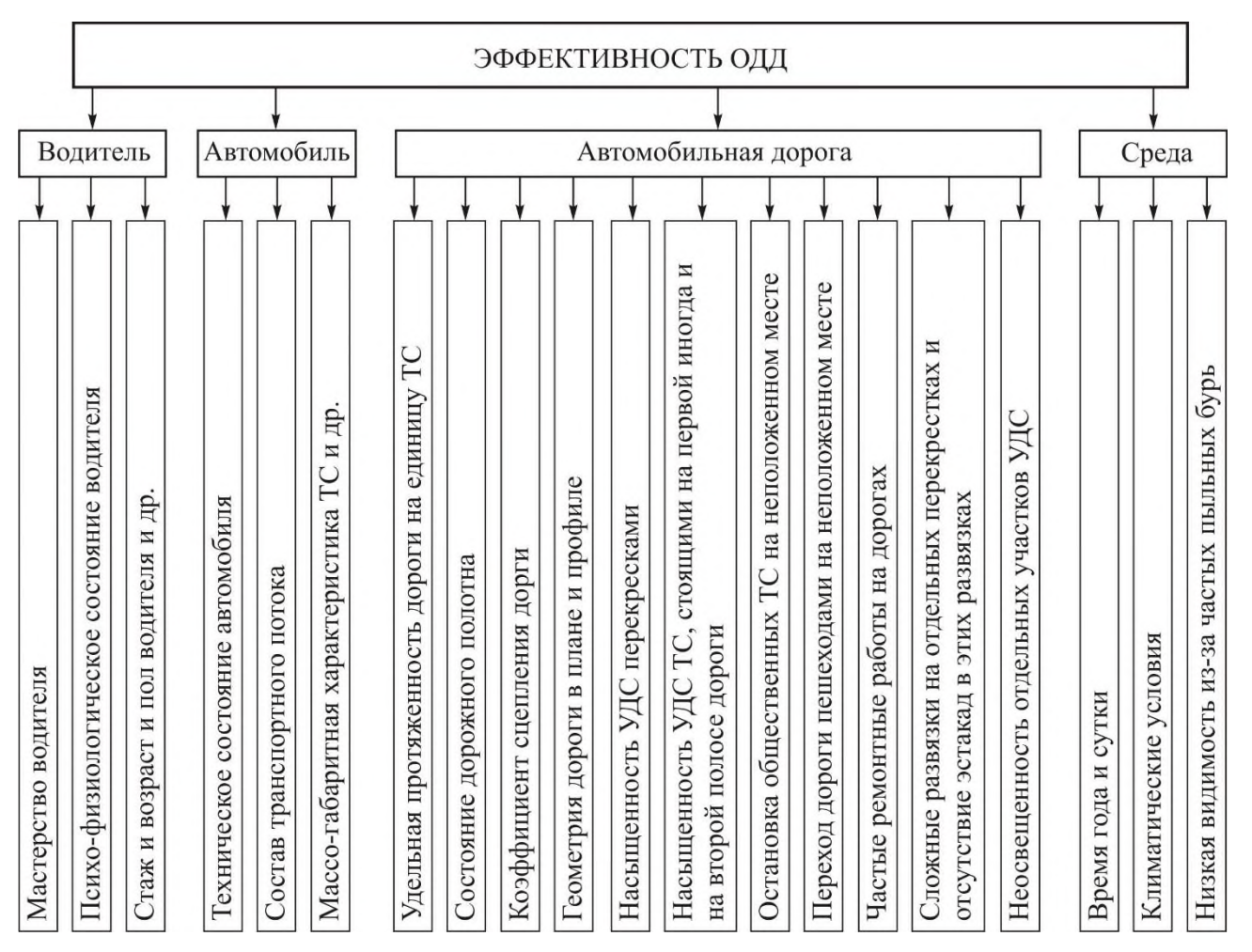


Рисунок 1 – Классификационная характеристика факторов, влияющих на эффективность ОДД

Результаты исследования

Число автомобилей, припаркованных длительное время на первой, а иногда на второй полосе движения в отдельных участках УДС в два и более раза сужают ширину проезжей части и резко сокращают пропускную способность дороги. Такое состояние характерно для проспекта академиков Раджабовых и участка проспекта Рудаки от железнодорожного вокзала до торгового центра «Садбарг» (рис.2). Это число для условий г. Душанбе в зависимости от участка дороги, времени суток и дня недели может варьировать в пределах от 1,5 до 12,0 %. Минимальное значение параметра относится к времени суток 11 часов ночи до 5 часов утра, а также к выходным, праздничным и предпраздничным дням. Огромное скопление припаркованных автомобилей наблюдается утром и вечером недалеко от развлекательных центров и учреждений для проведения различных мероприятий.

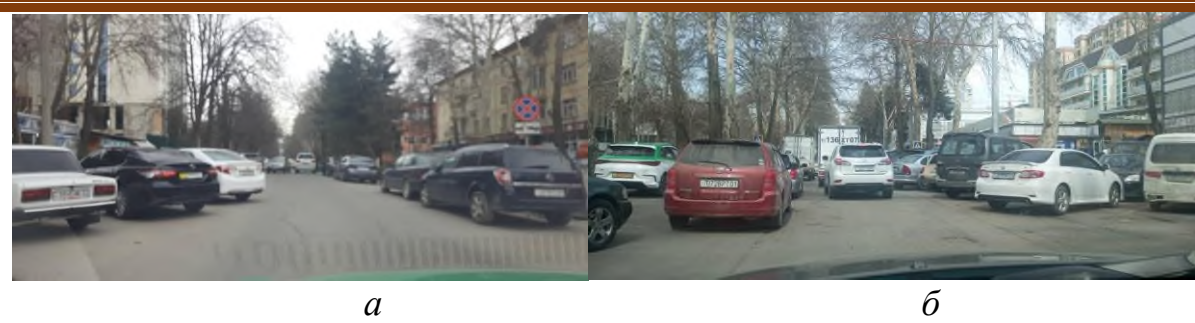


Рисунок 2 — Автомобили длительное время, припаркованные на проезжей части дороги: а — проспект академиков Раджабовых и б —участок проспекта Рудаки от железнодорожного вокзала до торгового центра «Садбарг»

Число автомобилей, регистрированных в г. Душанбе, но находящихся за пределами города, может варьировать в пределах от 13 до 12 %, наибольшее значение которого приходится на время летних отпусков, праздничных и предпраздничных дней.

В формировании интенсивности движения и эффективности ОДД весомая часть приходится к числу автомобилей, не регистрированных в г. Душанбе, но въезжавших в город, к которым относятся транзитные и челночные ТС. Их доля по разным причинам может составлять от 20 до 50 %. К основным причинам этого явления можно отнести число автовладельцев, живущих за пределами города, но работающих в г. Душанбе, а также число ТС, занятых пассажирскими и грузовыми перевозками.

Несмотря на очень широкий предел варьирования (от 5 до 90%), число автомобилей, находящихся вне УДС (на автостоянках, во дворах домов, предприятий, учреждений, учебных заведений, а также на автомобильных рынках и т.д.) оказывает незначительное влияние на формирование эффективности ОДД. Максимальное значение показателя относится к ночному времени суток, а также к праздничным и предпраздничным дням.

В условиях г. Душанбе формирование доли автомобилей, находящихся в пунктах ТО и Р, имеет свои особенности, что обусловлено в основном сроком службы ТС, эксплуатируемых в городе и недостаточным уровнем материально-технической и кадровой обеспеченности пунктов ТО и Р. Все это приводит к низкой надежности ТС после ремонтно-обслуживающих работ. Следует отметить, что число ТС, эксплуатируемых в г. Душанбе, по годам выпуска (срокам службы) постоянно меняется, примерное распределение которого представлено на рис.3.

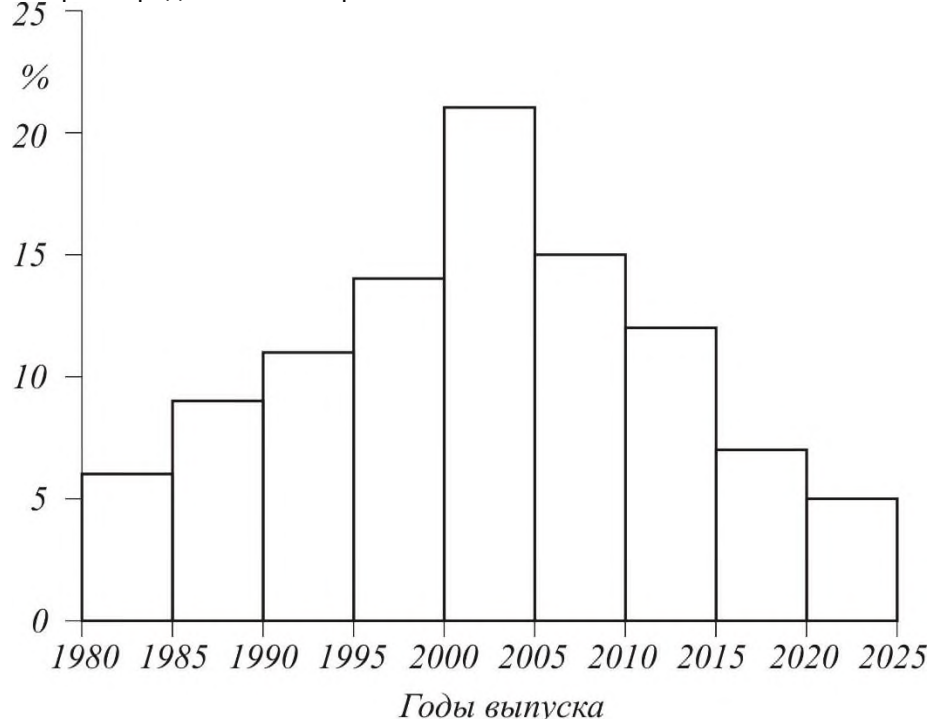


Рисунок 3 – Распределение ТС, эксплуатируемых в г. Душанбе, по годам выпуска

Как следует из приведенного графика, в г. Душанбе доля автомобилей, срок службы которых превышает 20 лет, составляют около 60%, что в значительной степени влияет на долю автомобилей, требующих ТО и Р, тем самым снижая эффективность ОДД.

Наиболее значимыми факторами, определяющими эффективность ОДД, являются ширина проезжей части, состав транспортного потока и интенсивность движения [1,2,4.7]. При уменьшении

ширины проезжей части в два раза средняя скорость движения потока автомобилей снижается до 2,5 раза, что очевидно для ул. Абдулахада Каххорова г. Душанбе (рис.4). Увеличение же интенсивности движения в 2 раза приводит к снижению пропускной способности дороги или скорости движения потока автомобилей до 50% в зависимости от состава транспортного потока и дорожно-климатических условий.





Рисунок 4 — Фрагменты ул. Абдулахада Каххорова г. Душанбе: уменьшение ширины проезжей части дороги из-за ремонтных работ

Обсуждения

Подробно рассмотрены пути повышения эффективности ОДД, связанные с дорожными условиями в г. Душанбе. Методику расчета соотношения между реально участвующими и не участвующими в движении числами автомобилей, разработанную для условий города можно использовать для подобных крупных городов (11), т.к. отмеченные проблемы имеют место и в других городах. Установлено, что значимое влияние на формирование эффективности ОДД в крупных городах имеют интенсивность движения, насыщенность ТС, припаркованных вдоль проезжей части автомобильных дорог, а также доля ТС, непосредственно находящихся в движении.

Выводы

- 1. Разработанная классификационная схема факторов, влияющих на эффективность ОДД в условиях г. Душанбе, способствует систематизации изыскания рациональных путей эффективности транспортных процессов.
- 2. Предложенная математическая модель способствует выполнению расчетов для определения соотношения между реально участвующими и не участвующими в движении числом автомобилей на УДС г. Душанбе.
- 3. В г. Душанбе необходимо принять меры по ограничению парковки автомобилей на проезжей части дорог, способствующих снижению эффективности г. Душанбе. Для этой цели рекомендуется строительство гаражей для стоянки ТС без-и с проведением ТО и Р. Прогрессивной тенденцией в решении проблемы длительной парковки ТС является сооружения наземных, подземных одно- и многоярусных (многоэтажных) парковочных пунктов.
- 4. Установлено, что в г. Душанбе доля ТС, срок службы которых превышает 20 лет, составляет около 60%, что приводит к значительному снижению эффективности ОДД.

Рецензент: Амиров Н.Р. — қ.т.н., доцент қафедры «Пехничесқий сервис и ремонт машин» ПГАУ им. Ш. Шотемур

Литература

- 1. Бурлуцкий, А.А. К анализу методов повышения скоростей движения транспортных потоков на улицах крупного города/ А.А. Бурлуцкий, Н.Н. Сидоренко, Г.В. Пушкарева// Вестник ТГАСУ. 2015. № 5. С. 219-224.
- 2. Государственная целевая программа развития транспортного комплекса Республики Таджикистан до 2025 года (Утверждена постановлением Правительства Республики Таджикистан от 1 апреля 2011 года №165). г. Душанбе, 2011. 40 с.
- 3. Пиров, Ж.Т. Анализ организации дорожного движения в городе Душанбе / Ж.Т. Пиров, А.М. Умирзоков, А.А. Соибов, Х.Б. Хусейнов // Вестник ИрГТУ. -2017. № 6. С. 142-148.
- 4. Серова, Е.Ю. Возможные пути повышения пропускной способности улично-дорожной сети/ Е.Ю. Серова// Инженерный вестник Дона. 2017. №1. С. 61-73.
- 5. Умирзоков, А.М. Оценка сети автомобильных дорог Республики Таджикистан / А.М. Умирзоков, Н.Р. Гоибов, С.С. Сайдуллозода, А.Л. Бердиев // Труды НГТУ им. Р.Е. Алексеева. 2021. № 3. С. 117-124. DOI: $10.46960/1816-210X_2021_3_117$.

- 6. Умирзоков, А.М. Структура среды эксплуатации системы ВАДС / А.М. Умирзоков, А.А. Саибов, К.Т. Мамбеталин, А.А. Гафаров, С.С. Сайдуллозода, А.А. Соибов, А.Х. Абаев, Ф.А. Гафаров / Вестник технологического университета Таджикистана Серия: Технология и химия. 2018. № 3 (34). С. 47-53.
- 7. Шевцова А. Г. Боровской А. Е. Метод оценки пропускной способности регулируемых пересечений // Проблемы качества и эксплуатации автотранспортных средств. Материалы VIII международной научнотехнической конференции. 21-23 мая 2014 г. Пенза. / Пенза: ПГУАС, 2014. С. 253–260.

СВЕДЕНИЯ ОБ АВТОРАХ – МАЪЛУМОТ ДАР БОРАИ МУАЛЛИФОН – INFORMATION ABOUT AUTHORS

TJ	RU	EN				
Умирзоков Ахмад Маллабоевич	Умирзоков Ахмад Маллабоевич	Umirzokov Ahmad Mallaboevich				
Н.и.т., дотсент	К.т.н., доцент	Candidate of Technical Sciences				
Донишгохи техникии Точикистон ба номи акад. М.С. Осимй	Таджикский технический университет им. акад. М.С. Осими	Tajik Technical University named after acad. M.S. Osimi				
од поми икад. т.е. осими	E-mail: ahmad.umirzokov@mail.ru	urtor dedd. W.S. Oshin				
TJ	RU	EN				
Махмудова Фароғат Мирзонасриевна	Махмудова Фарогат Мирзонасриевна	Makhmudova Farogat Mirzonasrievna				
Н.и.т., дотсент	К.т.н., доцент	Candidate of Technical Sciences				
Донишкадаи политехникии Донишгохи техникии Точикистон ба номи акад. М.С. Осимй дар шахри Хучанд	Политехнический институт Таджикского технического университета им. акад. М.С. Осими в г. Худжанде	Polytechnic Institute Tajik Technical University named after. acad. M.S. Osimi in Khujand				
	E-mail: mfm-61@mail.ru					
TJ	RU	EN				
Нуралиев Бовабек	Нуралиев Бовабек	Nuraliev Bovabek				
Муаллими калон	Ст. преподаватель	Senior teacher				
Донишгохи техникии Точикистон ба номи акад. М.С. Осимй	Таджикский технический университет им. акад. М.С. Осими	Tajik Technical University named after acad. M.S. Osimi				
E-mail: Bovabeg200552@mail.ru.						

УДК 625.76

НЕКОТОРЫЕ МЕТОДЫ И ПУТИ ПОВЫШЕНИЯ СОДЕРЖАНИЯ ДОРОЖНЫХ ОДЕЖД И ПОКРЫТИЙ

С.Б. Мирзозода, Ф.С. Мирзоев

Таджикский технический университет имени академика М.С. Осими

В данной статье приведены некоторые методы содержания дорожных одежд и покрытий; описаны факторы, влияющие на выбор методов содержания; предложен выбор методов технологии содержания, которые имеют непосредственное отношение к трем видам работ по содержанию дорожных одежд (предупредительное, корректирующее и срочное), а также вкратце затрагиваются некоторые вопросы по реабилитационным работам дорожного покрытия.

Ключевые слова: содержание, дорожная одежда, дорожное покрытие, предупредительное, корректирующее, срочное, виды, факторы, методы, технологии, срок службы.

БАЪЗЕ АЗ УСУЛХО ВА БЕХБУД НАМУДАНИ НИГОХДОРИИ ЧОДА ВА ФАРШИ РОХХО С.Б. Мирзозода, Ф.С. Мирзоев

Дар мақолаи мазкур усулҳои гуногуни нигоҳдории фарш ва сатҳи роҳҳо оварда шудааст; омилҳое, ки ба интихоби усулҳо ба нигоҳдории чода ва фарши роҳҳо таъсир мерасонанд, тавсиф карда шудаанд; интихоби усулҳои технологияи нигоҳдорӣ пешниҳод карда шудааст, ки бевосита ба се намуди нигоҳдории фарши роҳ (эҳтиётӣ, ислоҳӣ ва таъхирнопазир) алоҳаманданд ва инчунин ба баъзе масъалаҳои корҳои барҳарорсозии сатҳи фарши роҳҳо муҳтасар даҳл дорад.

Калидвожахо: нигохдорй, чодаи рох, фарши рох, пешгирй кардан, ислохй, таъхирнопазир, намудхо, омилхо, усулхо, технологияхо, мўхлати хидматрасонй.

SOME METHODS AND WAYS TO INCREASE MAINTENANCE OF ROAD PAVEMENTS AND COVERINGS

S.B. Mirzozoda, F.S. Mirzoev

This article describes different methods for maintaining road pavements and surfaces; factors influencing the choice of maintenance methods are described; a selection of maintenance technology methods is proposed that are directly related to three types of road maintenance work (precautionary, corrective and urgent), and also briefly touches on some issues regarding road surface rehabilitation work.

Keywords: Maintenance, road pavement, road surface, preventive, corrective, urgent, types, factors, methods, technologies, service life.

Введение

Основной задачей содержания дорожных одежд является систематический уход, поддержание и повышение транспортно-эксплуатационных качеств покрытия и содержание его в чистоте и порядке. Характер и объём работ по содержанию зависят от периода года, типа покрытия и конструкции дорожной одежды.

К наиболее сложным работам по содержанию дорожных одежд с асфальтобетонными покрытиями относятся: санация трещин, ямочный ремонт, ликвидация колей и др. [1].

Сегодня постоянный рост бюджета требует, чтобы государственные и местные средства больше представляли те работы, которые повлекут за собой наименьшие затраты. Исторически всегда главное внимание уделялось строительству новых дорог, но в настоящее время больший акцент падает на содержание и предупредительные работы по дорожной одежде и покрытию.

Основные виды содержания дорожных одежд

Далее, рассмотрим три вида работ по содержанию дорожных одежд, а также вкратце затронем некоторые вопросы по реабилитационным работам дорожного покрытия.

- Предупредительное содержание (периодическое и текущее): Заключается в улучшении или продлении функционального срока службы дорожной одежды. Стратегия обработки дорожного покрытия и операции направлены на задержку появления повреждений и уменьшение потребности в текущем содержании и деятельности по обслуживанию [2].
- **Корректирующее содержание**: Выполняется после появления каких-либо дорожных дефектов, таких как уменьшение сцепления, умеренное появление колей, целых участков разрушенных дорожных одежд или экстенсивное образование трещин. Это также может относиться и к «срочному» содержанию.
- Срочное содержание: Выполняется в случае крайней необходимости, например, глубокие ямы, нуждающиеся в срочном ремонте. Кроме этого: временная поверхностная обработка, предназначенная для поддержания в хорошем состоянии дорожного покрытия до тех пор, пока не выполнится полный капитальный ремонт, или до решения вопроса о реабилитации или реконструкции.

Все виды содержания нуждаются в осуществлении полной намеченной программы содержания дорожной одежды и покрытия. Однако особое внимание следует сосредоточить на предупредительных работах, чтобы исключить необходимость корректирующего содержания.

Многие виды содержания дорожной одежды и покрытия могут быть использованы для предупредительного, корректирующего и срочного содержания, а также для реабилитации

автомобильных дорог. **Рис.1** указывает на различия трех видов содержания. Согласно рисунку главное отличие состоит в состоянии покрытия на момент необходимости его ремонта. Нет четких границ в определении типа содержания: предупредительное или корректирующее, корректирующее или срочное.

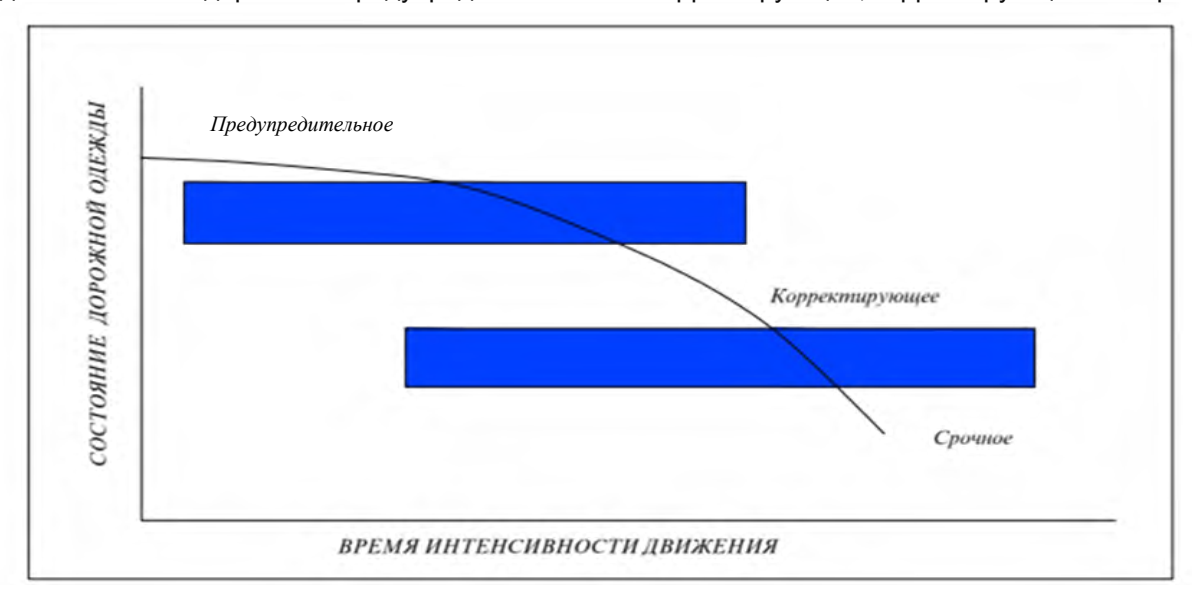


Рисунок 1 - Виды содержания

Программа сохранения дорожной одежды и покрытия

Программа предупредительного содержания представляет систематическое достижение в использовании ряда операций по предупредительному содержанию. Одна обработка улучшит качество покрытия и продлит срок службы дорожной одежды, но настоящую пользу от содержания дорожной одежды можно получить путем согласованного графика выполнения предупредительных работ.

Программа эффективного предохранения дорожной одежды объединяет множество стратегий предупредительного содержания и незначительной реабилитационной работы. Задача такой программы заключается в продлении срока службы дорожной одежды и покрытия, развитии широкой системы эксплуатационных качеств, эффективных по затратам и продуктивных по методам. На опыте доказано, что предупредительное содержание в 6 из 10 случаев выгоднее с точки зрения затрат, чем стратегия «ничего не делающего» содержания.

Польза предохранения дорожной одежды также заключается в уменьшении затрат путем лучшего обслуживания заказчиком и продления срока службы; предупредительное содержание наиболее выгодно, если применяется в начале службы дорожной одежды. В дополнение за счет продления срока службы участка дорожной одежды до момента его полной реабилитации предупредительное содержание позволяет предприятиям сбалансировать свой бюджет по содержанию, что в ином случае может привести к расхождениям.

Необходимые элементы программы по успешному содержанию дорожной одежды и покрытия:

- Выбор дороги;
- Установление причин проблемы;
- Определение и назначение надлежащего содержания;
- Установление соответствующего времени выполнения работ;
- Наблюдение за выполнением работ.

Предупредительное содержание - может включать традиционные методы содержания, такие как заливка трещин, поверхностная обработка, обновление поверхностной обработки, заделка колей и др. Кроме того, они могут включать новые технологии, например, выполнение ультратонкого защитного слоя, очень тонкого верхнего слоя. Отдельно от санации трещин, все перечисленные методы содержания способствуют образованию на дорожной одежде нового поверхностного слоя. Обновление поверхностной обработки обеспечивает новую защитную поверхность, хотя при этом, обычно, сцепные качества ниже, чем при первоначальном покрытии.

Ожидание появления повреждений неэффективно и не относится к предупредительному содержанию. Эффективность предупредительного содержания напрямую зависит от состояния дорожной одежды. Выполнение предупредительного содержания достаточно крепкой дорожной одежды намного эффективнее и способствует продлению её срока службы. Нерациональное проведение ремонтных работ (выбор метода или времени) приводит к увеличению роста повреждений.

Предупредительное содержание, как правило, запланировано и циклично по природе. Его цель – ремонт в начальной стадии повреждения, задержка появления повреждений дорожных одежд, и уменьшение необходимости в корректирующем содержании и деятельности по обслуживанию. Хотя данный вид содержания не предназначен для улучшения несущей способности дорожной одежды, он повышает срок её службы и уровень обслуживания.

Рис.2 показывает взаимосвязь между состоянием дорожной одежды и временем интенсивности движения.

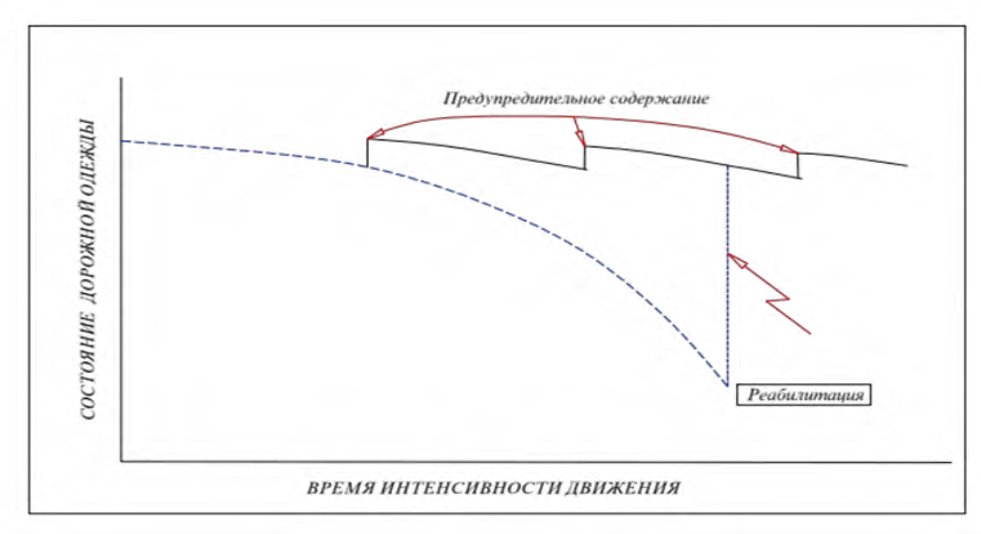


Рисунок 2 - Выполнение предупредительного содержания

Часто методы предупредительного содержания запланированы для ремонта повреждений, причиной которых служит влияние окружающей среды (окисление битума, температурные трещины и др.). Периодическое обновление покрытия имеет свои преимущества, включая поверхностную обработку (что защищает структуру покрытия от проникновения воды), контроль за окислением, отслоением и растрескиванием покрытия. Условия окружающей среды остаются постоянными в определенном интервале времени так, что максимальный период предупредительного содержания должен основываться в первую очередь на времени, нежели чем на дорожном движении отдельного участка.

Для помощи в выборе правильного времени начала обработки могут быть использованы результаты обследования и неразрушающие испытания. Это обеспечивает более рациональный подход к установлению того, какое покрытие нуждается в каком виде содержания и когда оно должно осуществляться. Используя результаты обследований состояния дорожной одежды и покрытий, пороговые пределы должны быть развиты для установления времени выполнения соответствующего вида содержания.

Предупредительное содержание существует уже давно, однако отсутствие его широкого применения имеет следующие объяснения:

- Многие из доступных методов предупредительного содержания считались неподходящими для дорог с повышенной интенсивностью движения;
- Недостаток финансирования дорожных организаций, задействованных на содержании автомобильных дорог, способствует ухудшению дорожной одежды и покрытий, что потребует подготовки к реабилитации;
 - Неполное представление о состоянии и преимуществах предупредительного содержания.

Некоторые специалисты дорожной отросли с неохотой принимают программу по содержанию хороших участков дорожных одежд, по причине наличия большого количества участков со слабыми дорожными одеждами. Вполне обычно, что предупредительное содержание забывается в условиях, когда выбоины и другие эксплуатационные проблемы, требующие немедленного внимания, расходуют большую часть ограниченного бюджета на содержание. Люди скорее замечают такие проблемы, как выбоины, что способствует игнорированию предупредительного содержания.

Другая причина ограниченного финансирования предупредительного содержания заключается в том, что источник финансирования содержания дорожной одежды и зимнего содержания (удаление снега и льда) один и тот же. Это напрямую влияет на безопасность дорожного движения и водителей, часто

приоритеты отдаются зимнему содержанию, а тот остаток, что появляется к концу зимы, используется для содержания дорожной одежды.

Ключи к успешной реализации программы

- Образование: Для эффективного осуществления программы по сохранению дорожной одежды и покрытия выбранные специалисты, руководители и технический персонал должны быть достаточно обучены техническому содержанию автомобильных дорог, особенно предупредительному, его важности и преимуществам [3]. Данное обучение должно подчеркивать экономичность поддержания хорошего состояния дорожной одежды и покрытия вместо его замены в момент полного разрушения.
- Идеология: Развитие программы предупредительного содержания требует изменения мышления специалистов от реабилитации и реконструкции до предупредительных работ.
- Время проведения: Реализация программы должна быть своевременной для сохранения структуры дорожной одежды и покрытия. Сильно поврежденная дорожная одежда не подходит для предупредительного содержания.
- Финансирование: Программа эффективного предупредительного содержания требует соответствующего финансирования. Должны быть установлены свои критерии для выбора дорожной одежды, требующей предупредительного содержания, и данная политика должна быть приведена в исполнение.

Корректирующее содержание включает структурные верхние слои, фрезерование верхних слоев, ямочный ремонт, заплаточный ремонт и санацию трещин. Оно отличается от предупредительного содержания, в основном, затратами и потраченным временем. Предупредительное содержание выполняется, когда дорожная одежда находится ещё в хорошем состоянии, а корректирующее содержание выполняется, когда дорожная одежда требует ремонта, и отсюда больше затрат.

При задержках в содержании число дорожных дефектов и повреждений растет так, что в момент корректировки затраты увеличиваются. Поэтому затраты в жизненном цикле дорожной одежды будут постоянно расти.

Срочное содержание. Эта эксплуатационная деятельность может выполняться в случае чрезвычайной ситуации, например, когда глубокие выбоины нуждаются в неотложном ремонте, в основном, в целях безопасности или для возможности использования проезжей части для движения. Срочное содержание также описывает те методы ремонтов, которые поддерживают покрытие до завершения её полной и тщательной реабилитации или реконструкции.

В случае появления необходимости в срочном содержании, некоторые типичные размышления относительно выбора методов, не имеют значения. Затраты могут занимать последнее место в размышлениях, после принятия решений относительно безопасности и необходимого времени. Материалы, которые могут быть недоступны для использования в работах по предупредительному и корректирующему содержанию, из-за затрат или долгого срока выполнения, могут быть приемлемы для использования в чрезвычайных ситуациях.

Улучшение эксплуатационных качеств может быть изменено разными путями, включая комфорт, удобства, безопасность или затраты на срок службы. Если никаких улучшений не наблюдается, то нет смысла в проведении содержания. Если одну или несколько сфер можно исправить, то нужно задать второй вопрос.

Окупается ли содержание? Изменение пользы содержания включает оценку эксплуатационных качеств дорожной одежды и необязательно выполнение самого содержания. Например, если использовать поверхностную обработку, устраиваемую на дорожной одежде, анализ окупаемости затрат должен сопоставлять срок службы дорожной одежды (после укладки слоя) с той дорожной одеждой, которая обработана слоем. Действие поверхностной обработки может продлиться только на 5 лет, но оно может продлиться за счет следующей обработки дорожной одежды ещё на 10 лет. Также, если заливка трещин покрытия продлевает срок его службы ещё на несколько лет, отсюда, при установлении эффективности затрат должен учитываться период, на который продлевается срок службы дорожной одежды.

Факторы, влияющие на выбор методов содержания

Путем изменения обычных мнений, политики содержания и других субъективных факторов система управления дорожной одежды даёт право пользователям на определение наиболее

эффективных по затратам методов содержания. Выбор, в основном, основывается на факторах, учитывающих:

- существующий тип покрытия;
- типы и размеры повреждений;
- факторы климата и окружающей среды;
- затраты на обработку;
- наличие квалифицированного персонала и подрядчиков;
 - время укладки;

- состояние трешин:
- проезжую часть и уровень дорожного движения;
 - нагрузка от дорожного движения;
 - предполагаемый срок службы;
 - наличие качественного материала;
 - время простоя;
 - сцепление покрытия .

Один из факторов, приведенных выше - состояние трещин - обеспечен хорошим примером для понимания работы по выбору метода содержания. Правильный тип содержания для поврежденного покрытия часто зависит от плотности и общего состояния трещин.

При частых трещинах, но небольшой степени поврежденности, они могут быть хорошо заделаны путем поверхностной обработки. Если их количество умеренной частоты, но степень поврежденности прогрессирует, то понадобится использование специальной программы устранения трещин. Если наблюдается умеренная частота трещин и незначительная степень или малые повреждения, то они могут быть эффективно обработаны путем заливки или заделки [3,4,5].

В общей сложности многие трещины больших повреждений указывают на то, что дорожная одежда находится на начальной стадии разрушения. В данной ситуации заливка и заделка трещин не экономичны и технически непригодны, так как лишь на малый срок задерживают необходимость тщательных корректирующих действий. Политика, определяющая типы и время работ по содержанию покрытия с трещинами, намного эффективнее. Она часто основывается на оценке полного состояния дорожной одежды или специфических характеристиках трещин [6,7].

Трещины могут содержать и другие дефекты, такие как поперечные разрывы и сдвиги, и могут иметь вертикальные смещения под нагрузкой от движения. Такие дефекты могут присоединиться к общей ровности дорожной одежды и часто ухудшаются со временем. Обычно, заплаточный ремонт или фрезерование верхних слоев являются подходящими для исправления данных повреждений. Однако, если вертикальные смещения и повреждения не так высоки, временная поддержка за счет ремонта трещин будет подходящей.

Выбор методов технологии содержания дорожной одежды и покрытия

Выбор методов содержит перечень типов эксплуатационных технологий, а также, приведена средняя продолжительность срока службы и затраты (на примере международного опыта). Каждая эксплуатационная организация может составить подобную таблицу, которая поможет в выборе определенных видов работ [3,7].

Таблица 1 - Методы технологии содержания дорожной одежды и покрытия

Дефекты и уровень повреждения							•	
		()	1e	ле	Уровен	Уровень повреждения трещин		
Технология	Сцепление		Образование колей	Образование ям	Низкий	Средний	Высокий	срок службы (лет)
	Санация трещин							
Очистка, заделка, разделка и заливка					X	X		3
Раскрытие и заливка								7-10
Ремонт трещин на полную глубину							X	5
		П	оверхно	остная	обработка			
Обновление поверхностной обработки		X						1-2
Защитный слой	X	X						3-6
Двойная поверхностная обработка	X	X						7-10

					Окончани	е таблицы 1
Ямочный или заплаточный ремонт						
Ямочный или заплаточный ремонт из холодного а/б		X				1-3
Ямочный или заплаточный ремонт из горячего а/б		X			X	3-6

Далее, в таблице 2 представлены рекомендации по методам обработки различных видов трещин и уровни их повреждений, примененные для повреждений покрытия и выбоин.

Таблица 2 - Методы обработки трещин и уровни их повреждений

1 аолица 2 - M	стоды оор	аоотки т	рещин и	~ 1				
	Методы обработки							
	Ремонт трешин на полную глубину		Санация цин зали		ИН	й	ая и ой	Мелкозернистый верхний слой из горячей смеси
	щи 76и	ipei		ыкон	ше	HIBI I	ZTH NJ	ист ой иес
Виды Трещин и Уровни их	рег	ая	a a	аи	тр	НО.	нос гка ый	phi CII
повреждений	T T yro	Очистка и заливка	скрытиє заливка	Разделка и заливка	Заделка трещин	Заплаточный ремонт	Поверхностная обработка или защитный слой	Мелкозернистый верхний слой из горячей смеси
	10H	чис	кр	зде алп	дел	вап	obec Opec	жи рхн
	Рем	Ŏ "	Раскрытие и заливка	Pa 3	3a	(1)	П о за	Me Be
		Сетка	грещин					
Низкий							X	
Средний						X		
Высокий						X		
	По		е трещи		1			
Низкий		X		X			X	
Средний		X		X	X		X	
Высокий	X				X	X	X	
	Пр		іе трещі					
Низкий		X		X	X			
Средний	X	X		X	X			
Высокий	X				X	X		
	Темп		ые треп					
Низкий		X		X			X	
Средний							X	X
Высокий					X	X		X
	Отр		іе трещі					
Низкий		X		X				
Средний		X		X	X			
Высокий		X			X	X		X

Заключение

Основной задачей содержания дорожных одежд являются систематический уход и поддержание чистоты в целях повышения транспортно-эксплуатационных качеств покрытия.

Ключами к успешной реализации программы являются: уровень образования и мышления специалистов, время проведения ремонтных работ и размер финансирования.

Также следует учитывать факторы, влияющие на выбор методов содержания дорожных одежд и покрытий. Особое внимание следует обращать на уровень повреждения и обработки трещин.

Рецензент: Сайрахмонов Р.Х. — қ.т.н., доцент, заведующий қафедрой «Строительство дорог сооружений и транспортных қоммуниқации» ПППУ им. ақад. М.С. Осими

Литература

- 1. Мирзозода С.Б. Причины разрушений и появления дефектов на асфальтобетонных покрытиях автомобильных дорог «Журнал Содружества Независимых Государств», 2023г, № 04/2023 (107), МСД. Москва: с. 90-93
- 2. Мирзоев С.Б., Каримов Б.Б., Махсум В. Задачи по улучшению состояния сети автомобильных дорог «Журнал Содружества Независимых Государств», 2023г, № 03/ 2023 (106), МСД. Москва: с. 53-58
 - 3. ТП-4294 Укрепление реализации системы финансирования содержания дорог, Том 4, Душанбе, 2007г.

- 4. Кутузов В.В., Курочкин Н.В. Диагностика автомобильных дорог «Белорусско-Российский Университет», Могилев, 2020, с. 36
- 5. Булдаков С.И., Силуков Ю.Д., Малиновских М.Д. Содержание и ремонт автомобильных дорог. Екатеринбург, 2017, с.198
- 6. Кравченко С.Е., Реут Ж.В., Соболевская С.Н. Содержание и ремонт автомобильных дорог, БНТУ, Минск, 2013, с. 238
- 7. Руденский А.В., Штроберг А.А., Коргезян Э.А. Экспертный метод оценки состояния асфальтобетонных покрытий, труды РосдорНИИ, вып.1. М, 1989, с.114-122

СВЕДЕНИЯ ОБ АВТОРАХ – МАЪЛУМОТ ДАР БОРАИ МУАЛЛИФОН – INFORMATION ABOUT AUTHORS

INFORMATION ADOUT ACTIONS								
TJ	RU	EN						
Мирзозода Сухроб Бегмат	Мирзозода Сухроб Бегмат	Mirzozoda Sukhrob Begmat						
номзади илмхои техникй, дотсент	кандидат технических наук, доцент	candidate of technical sciences, professor						
Донишгохи Техникии Точикистон		Tajik Technical University						
ба номи академик М.С. Осимй.	университет имени академика	named afteracademician						
	М.С. Осими	M.S. Osimi.						
	e. mail: sukhrob63@mail.ru							
TJ	RU	EN						
Мирзоев Фариддун	Мирзоев Фариддун	Mirzoev Fariddun						
Сухробович	Сухробович	Suhrobovich						
Корхонаи вохиди давлатии	ГУП "Институт проектирования	State Unitary Enterprise						
«Пажӯҳишгоҳи лоиҳакашии	транспортных сооружений"	"Institute of Transport Facilities						
иншооти наклиётй»		Design"						

УДК 624

ТАХЛИЛИ ТАМОЮЛ ВА ҚОНУНИЯТХОИ РУШДИ СИСТЕМАИ МУСОФИРБАРЙ Ф.М. Юнусов, А.А. Рачабов, Ш.Ф. Самиев

Донишгохи техникии Точикистон ба номи академик М.С. Осимй

Дар мақолаи мазкур ҳамкории нақлиёти мусофирбар дар системаҳои гуногун – нисбатан локалӣ (маҳаллӣ)-и байни ҳам алоқаманд, ба ҳамдигар вобаста ва амалашон на ҳама вақт ба идоракунии марказонида қобили қабулбуда таҳлил гардидааст. Инчунин роҳҳои асосии рушди системаи мусофирбарии Ҷумҳурии Тоҷикистон мувофики роҳҳои қонеъгардонии талаботи аҳолӣ инчунин ба шумора ва зичии ҷойгиршавии аҳолӣ дар минтақаҳои гуногуни кишвар, сатҳи иқтисодию иҷтимой, шабакаи роҳҳо ва ҳолати нигоҳдории роҳҳои автомобилгард нишон дода шудааст.

Калимахои калиди: нақлиёт, мусофир, система, идоракуни, мусофирбари, талабот, ахоли.

АНАЛИЗ ТЕНДЕНЦИЙ И ЗАКОНОМЕРНОСТИ РАЗВИТИЯ СИСТЕМЫ ПАССАЖИРОПЕРЕВОЗОК

Ф.М. Юнусов, А.А. Раджабов, Ш.Ф. Самиев

В данной статье анализируется взаимодействие пассажирского транспорта в различных системах - относительно локальных, взаимосвязанных, взаимозависимых и действия которых не всегда приемлемы для централизованного управления. Также рассмотрены основные пути развития пассажирского хозяйства Республики Таджикистан по способам удовлетворения потребностей населения, а также численности и плотности населения в различных регионах страны, экономического и социального уровня. Показаны дорожная сеть и состояние содержания дорог.

Ключевые слова: транспорт, пассажир, система, управление, пассажирские перевозки, спрос, население.

ANALYSIS OF TRENDS AND REGULARITIES OF TRANSPORT SYSTEM DEVELOPMENT F.M. Yunusov, A.A. Radzhabov, Sh.F. Samiev

This article analyzes the interaction of passenger transport in various systems - relatively local (local), interconnected, interdependent and whose actions are not always acceptable for centralized control. The main ways of development of the passenger economy of the Republic of Tajikistan are also considered in terms of ways to meet the needs of the population, as well as the number and density of the population in various regions of the country, economic and social level. The road network and the state of road maintenance are shown.

Keywords: transport, passenger, system, management, passenger transportation, demand, population.

Муқаддима

Кори наклиёти мусофирбар хангоми хамкории системахои гуногун — нисбатан локалй (махаллй), байни хам алокаманд, ба хамдигар вобаста ва амалашон на хама вакт ба идоракунии марказонида кобили кабулбуда амалй мегардад.

Ба мафхуми вуруди система тарзхои муқарраргардидаи амалишавии унсурхои система, масалан, мавчудият ва намуди таркиби ҳаракаткунандаи нақлиёти мусофирбар дар хатсайрҳои алоҳида, интервали ҳаракати онҳо, дастурҳои муайянкунандаи тартиб, қоида ва шартҳои маҳдудкунандаи ҳаракат дар хатсайр (шиносномаи хатсайр), фармоиш оид ба кушодан, пушидан ё қисман тағйирдиҳии нақшаи ҳаракати хатсайр ва ғайраҳо низ тааллуқ доранд [8].

Мачмуй тамоми шароитхой муайянкунандай истифодабарии самараноки наклиёти мусофирбар холат ва конуниятхой рушди системай кашонишро тавсиф менамояд. Ба конуниятхой асосии системай кашониш талаботи рузафзуни ахолии худуд (ё минтака), шуморай афзояндай ахолии минтака, сарборий роххой автомобилгард, интенсивнокий харакати наклиёт ва афзудани шуморай наклиёт дар шабакай наклиётй (хатсайрхо)-и минтака, таркиби харакаткунандай наклиёти мусофирбари замонавй ва истифодабарандай энергияй сабз — электромобилхо ва электробусхо, системай муассисахой ба мусофирон хизматрасонанда (автовокзалхо ва автостансияхо) ва ба автомобилхо хизматрасонанда (базахой моддию техникий профилактика ва таъмир)-и муосирро бо тамоми технологияхой навтарин дохил кардан зарур аст.

Дар баробари ин тамоми қонуниятҳои рушди имрӯзаи нақлиёти мусофирбар харочоти заруриро металабад ва он низ мувофиқи замона аст.

Хамкории элементхои дарчгардидаи системаи кашониш тариқи қонуниятҳо, ки дар хусусияти муносибатҳои ба ҳар яки онҳо дар алоҳидагӣ ва ҳам дар маҷмӯъ хос муайян мешавад, татбиқ мегардад (ҷадвали 1).

Чадвали 1 – Тавсифи элементхои системаи кашониш дар робита бо конуниятхои рушд

	Энамантуан	Намуди муносибат						
№	Элементхои системаи	Микдорй	Сифатй	Фазой	Вақтй			
	кашониш	Таносуб	Муносиб	Пайдархамй ва параллелй	Сарфаи вақт			
1	XVIIVII I I		Махсусияти истехсолот	Цойгиронии куввахои истехсолй	Речаи амалисозии онхо			
2	Аҳолӣ	Микдорй	Сохторй	Зичии чойгиршавй	Демография			

	7		Намуди м	іуносибат	
№	Элементхои	системаи Кашониш Таносуб Муносиб		Фазой	Вақтй
115				Пайдархам й ва параллелй	Сарфаи вақт
3	Шабакаи нақлиётӣ	Таносуби микдорй	Пуррагии намуди нақлиёт	Ч ойгиронии фазой	Мутобиқгар- донии кори онхо
4	Таркиби ҳаракаткунанда	Таносуби микдорй	Аз р <u>ў</u> йи намуди робита	Цойгиронии таркиби ҳаракаткунанда	Сохтори синнусолии онхо
5	Автовокзал (АВ)/автостан-сия (АС)-ҳои мусофирбар	Консентратсияи хизматхо	Махсусияти АВ/АС	Худуди чойгиронии онхо	Қобилияти гузарониш
6	Муассисахои хизматрасони автомобилхо	Консентратсияи гузаронидани ХТ ва Т	Махсусияти гузаронидани XT ва T	Чойгиронии муассисахои гузаронидани ХТ ва Т	Тавоноии муассисахои гузаронидани ХТ ва Т

Аз чадвали 1 бармеояд, ки худуди аҳолинишин, афзудани аҳолй ва муносиби он афзудани талабот ба воситаи нақлиёт раванди серталабгардии истеҳсолот ва маҳсулоти истифодашавандаро низ метезонад. Зичии чойгиршавии аҳолй яке аз омилҳои муҳими дигари афзудани талабот ба воситаи нақлиёти мусофирбар аст. Дар ин робита дар шабакаҳои нақлиётй таносуби миқдорй мушоҳида гардида, бо чойгиронии фазоии онҳо мутобиқсозии кори нақлиёт муҳим мешавад. Ҳолати техникии воситаи нақлиёт ва соли истеҳсоли он бо зиёдшавии шумораи воситаҳои нақлиёт маҳдуд мегардад, яъне нақлиёти синну соли охиртар, барориши солҳои охир мувофиқи талабот ба роҳ монда шуда, маҳсусан дар шаҳрҳо истифодаи нақлиёти куҳнатар маҳдуд гардида истодааст.

Ба ин қонуният автовокзал, автостансияхо, муассиса ва ширкатхои хурду калони нақлиётй, новобаста аз шакли моликияташон мусоидат карда, нақлиёти навтарин ва алалхусус электромобилхоро мавриди истифода қарор медиханд. Ин самти ба рох мондани фаъолият ба муассисахои хизматрасони автомобилхо — нуқтахои нигохубину таъмир, нуқтахои фуруши қисмхои эхтиётй низ таъсир расонида, ба инкишоф ва такомулёбй мачбур менамояд. Таъмиргарон бо сохти автомобилхои навтарин шинос гардида, ба такмили дониши худ мекушанд. Хатто қайд кардан чоиз аст, ки қобилияти гузарониши инфрасохтори нақлиёту рох баландтар мегардад.

Вобаста ба тахлили чадвали 1 тавсифоти элементхои системаи кашонишро дар робита бо конуниятхои ршди система истифода бурда, холат ва дурнамои рушди онро тахлил менамоем.

Худуди Чумхурии Точикистон 141,4 ҳаз.км² буда, аҳолии чумхурӣ 10078,4 ҳазор нафарро ташкил менамояд [5]. Дар 1 км² 71,3 ҳазор нафар истиқоматкунанда рост меояд. Ҳиссаи хоси аҳолии шаҳр 50,77% (5117,3 ҳазор нафар) аст. Дар давоми 10 соли охир дар чумҳурӣ тамоюли афзоиши аҳолии муҳими деҳот зиёдтар аст, вале ин нишондиҳанда дар соли 2022 баръакс мушоҳида гардида, аҳолии шаҳр аз 5016,8 ҳазор нафар дар соли 2021 ба 5117,3 ҳазор нафар дар соли 2022 расидааст. Аҳолии деҳот бошад, аз 4870,0 ҳазор нафар дар соли 2021 ба 4961,1 ҳазор нафар дар соли 2022 афзоиш ёфтааст, ки афзоиши аҳолии шаҳр каме зиёдтар мушоҳида мегардад. Ин дар баробари афзоиши табиии шаҳр аз урбанизатсияи аҳолӣ шаҳодат дода, дар соли 2022 ба шаҳр кучидани аҳолиро тасдиқ менамояд.

Консентратсияи худудй ва махсусияти истехсолот ба хусусияти селаи мусофирон, қонуният ва ташаккулёбии онҳо таъсири назаррас дорад. Маҷмӯи маҳсулоти саноатии ҷумҳуриро асосан маҳсулоти саноати сабук ва хӯрокворй ташкил медиҳад. Соҳаҳои комплекси агросаноатй, саноати консервакунонй, обҳои маъданй ва афшураҳо, коркарди маҳсулоти ширу гӯшт, нассоҷй ва кимиёвй босуръат рушд ёфта истодааст. Қадамҳои устувори саноати мошинсозй ва таҷҳизот низ солҳои охир гузошта шуда истодааст, ки ба ҳадафи чоруми миллй — саноатикунонии босуръати кишвар мусоидат менамояд.

Хангоми афзоиши мачмуи махсулоти дохилии чумхурй дар 10 соли охир (давоми солхои 2013-2022) аз 40525,5 млн. сомонии соли 2013 ба 115739,4 млн. сомонии соли 2022 мачмуи махсулоти саноати дар ин давра кариб беш аз 3 маротиба афзуда, мачмуи махсулоти кишоварзй, шикор ва хочагии чангал, мохидорй ва мохипарварй такрибан ба андозаи бештар аз 3,4 маротиба меафзояд.

Фондхои асосии истехсолии хама сохахои хочагии халқ дар ин давра 80% афзуда, хачми сармоягузорй 60%-ро ташкил дод. Ба истифода додани фондхои асосй такрибан 50% боло рафт. Дар баробари ин шумораи кормандон ва хизматчиён 53% зиёд гардид.

Муқоисаи суръати афзоиши маҷмӯи маҳсулот, фондҳои асосии истеҳсолӣ ва шумораи кормандону хизматчиён нишон медиҳад, ки дар ҷумҳурӣ соҳаҳои меҳнатталаби истеҳсолӣ рушд ёфта истодааст. Ин

холат зарурати чалби қисми ахолии дехотро ба саноати чумхурй пеш мегузорад ва он асосан дар шахрхо ва нохияхое чойгир аст, ки рушди интенсивии истехсолот ба назар мерасад.

Чадвали 2 — Ба кор даровардани фондхои асосй дар сохахои иктисодиёти чумхурй [5]

Финер даровардани фондур		ллй, млн. сомонй	Фоизи
Фондхои асосй	соли 2015	соли 2022	тағйирёбӣ
Хамагй дар сохахои иқтисодиёти ҷумҳурй, аз ҷумла дар соҳаҳои:	4129,5	5803,4	140,5
-саноат;	825	729,9	88,5
-кишоварзӣ;	34,3	25,8	75,2
-нақлиёт;	244,6	247,0	100,98
-савдо ва хуроки умуми;	284,7	796,6	279,8
-сохтмони манзил;	1655,0	2786,9	168,4
-хочагии коммуналй;	141,9	349,0	245,95
-маориф ва илм;	286,5	826,0	288,3
-тандурустй.	223,1	42,2	18,9
Аз хисоби маблағгузории давлатй	1463,0	1450,2	99,1
Аз хисоби ахолй	571,7	658,8	115,2
Аз хисоби ташкилоти дигар	2094,8	3694,4	176,4
Ба кор андохтани фондхои асосū дар сатхи минтақахо, аз цумла:	4129,5	5803,4	140,5
ВМКБ	144,2	96,9	67,2
Вилояти Суғд	1247,3	1343,1	107,7
Вилояти Хатлон	990,7	1712,2	172,8
Шахри Душанбе	1255,1	2246,9	179,0
НТЧ	492,2	404,3	82,1

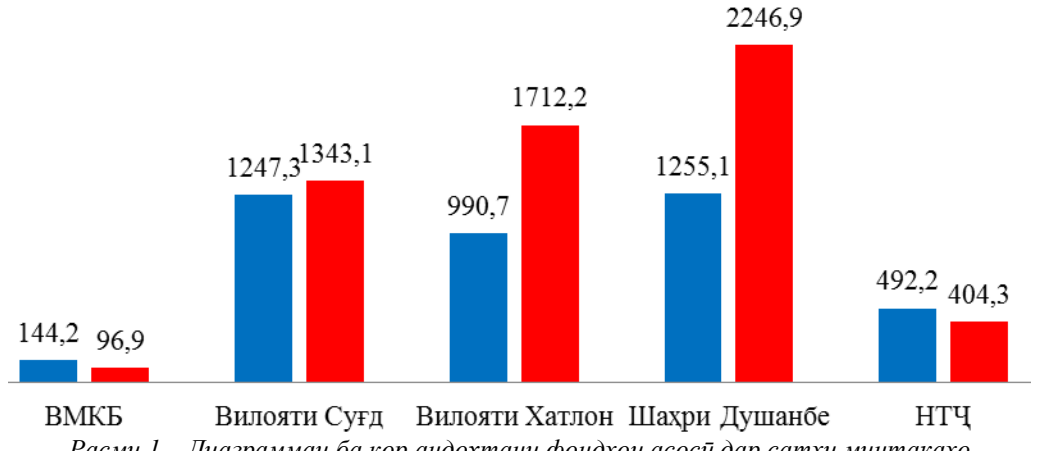
Чй тавре ки аз чадвали 2 бармеояд, суръати рушди бештари фондхои асосии истехсолй ба сохахои савдо ва хўроки умумй, хочагии коммуналй, маориф ва илми чумхурй мушохида мегардад. Суръати рушди фондхои асосии истехсолии наклиёт ва сохтмони манзили чумхурй низ афзоиши хуб доранд. Дар давраи баррасишаванда сохахои кишоварзй ва саноат дошта, нишондихандаи пасттарин дар сохаи тандурустй ба назар мерасад (18,9%), аз ин сабаб хиссаи он дар сохтори умумии фондхои асосии хочагии халқи чумхурй дар давраи мазкур паст фаромадааст.

Ба кор андохтани фондхои асосй аз хисоби маблағгузории давлати 99.1%, аз хисоби ахоли 115.2% ва аз хисоби ташкилоти дигар 176,4% ичро гардидааст. Мувофики чадвали 2 ин фоизнокй аз соли 2022 нисбат ба соли 2015 гирифта шудааст.

Инчунин ба кор андохтани фондхои асосй дар сатхи минтакахо нишон медихад, ки дар ВМКБ 67,2%, вилояти Суғд 107,7%, вилояти Хатлон 172,8%, шахри Душанбе 179,0% ва НТЧ 82,1% аст. Нишондихандаи бехтарин дар сатхи шахри Душанбе, вилоятхои Хатлону Суғд мушохида гардида, барои ВМКБ ва НТЧ пасттар аст (расми 1).

■ Бо нархҳои амалӣ, млн. сомонӣ соли 2015

■ Бо нарххои амалй, млн. сомонй соли 2022



Pасми $I - Диаграммаи ба кор андохтани фондхои асос<math>\bar{u}$ дар сатхи минтакахо

Хамин тариқ, хангоми таносуби гузошташуда дар рушди сохахои хочагии халқ ва нақлиёт халли масъалахои мусофирбарй мумкин аст танхо дар асоси интенсификатсияи мачмуавии кори наклиёти

мусофирбар, махсусан нақлиёти автомобилй имкон дорад, ки он нисбатан ба шароитҳои ҳудудӣ, табиию иқлимии ҷумҳурии мо мутобиқ гардонида шудааст.

Дар Чумхурии Точикистон 18 шахр, 66 шахрак ва 47 нохия мавчуд аст. Илова бар ин, чойгиршавии онхо аз рўйи таксимоти маъмурию худудй нобаробар буда, аз 18 шахр 8 ададаш дар вилояти Суғд, 4 ададаш дар нохияхои тобеи марказ, 4 ададаш дар вилояти Хатлон ва 1 ададаш дар Вилояти Мухтори Кўхистони Бадахшон чойгир аст. Аз худуди умумии чумхурй (141,4 ҳаз. км²) 62,9 ҳаз. км²-ро ВМКБ, 28,4 ҳаз. км²-ро ноҳияҳои тобеи марказ, 25,2 ҳаз. км²-ро вилояти Суғд ва 24,7 ҳаз. км²-ро вилояти Хатлон ташкил медиҳад.

Зичии ахолй аз рўйи минтакахои чумхурй дар чадвали 3 оварда шудааст.

Чадвали 3 – Зичии аҳолӣ аз рӯйи минтаҳаҳои ҷумҳурӣ [5]

Минтақаҳо	Аҳолӣ, ҳазор	Таносуби ах дехо	1.0	Худуд, ҳаз. км²	Зичии аҳолӣ, нафар/км²
	нафар	шахр	дехот		1 1
Хамагй дар чумхурй	10078,4	28,8	71,2	141,4	71,3
Вилояти Мухтори Куҳистони Бадахшон	232,0	17,2	82,8	62,9	3,7
Вилояти Суғд	2870,0	23,9	76,1	25,2	113,9
Вилояти Хатлон	3611,2	17,7	82,3	24,7	146,2
HTM	2144,1	14,8	85,2	28,4	75,5
Шахри Душанбе	1221,1	100,0	0,0	0,2	6009,4

Хусусиятҳои ҷойгиршавии ҳудудии аҳолй, рушди соҳаҳои иқтисодиёти ҷумҳурй хусусиятҳои ҳаракатнокии ҳам аҳолии деҳот ва ҳам шаҳрро муайян менамояд. Ҳамаи ин бештар хусусиятҳои ташкили мусофирбариро дар маҳалли деҳот ва шаҳрҳои Ҷумҳурии Тоҷикистон муайян мегардонад.

Тахлили чойгиршавии ахолии шахр, дурнамой рушди онхо имкон медихад, ки алоқаи байни онхо барқарор гардад ва схемаи селаи мусофирон бо як қатор шароитҳои ба ташкили интиқол таъсиррасонанда ва барои Ҷумҳурии Тоҷикистон хос муайян карда шавад:

-нобаробарии чойгиршавии ахолй ва зичии баланд аз хисоби хиссаи ками махалли хамвор дар вилоятхои чумхурй;

-нобаробарии чойгиршавии ахолии шахр ва шабакаи нокифоя (дар хазор км²-и худуд 0,13 шахр, дар махалли хамвор – 1,8 шахр рост меояд);

-азхуднамоии ҳаҷми истеҳсолоти инкишофёбанда дар шаҳрҳо ба пуррагардии захираҳои меҳнатӣ аз маҳалли деҳот вобаста аст, ки дар он норасогии захираҳои меҳнатӣ мушоҳида мегардад ва озодшавии нисбии онҳо бо баландшавии ояндаи сатҳи теҳникии хоҷагии деҳот ва истеҳсолоти он вобаста аст (ҳиссаи хоси аҳолии деҳот 71,2%, ҳиссаи хоси сатҳи истеҳсолот дар шаҳрҳо 85%-и ҳаҷми умумии истеҳсолоти тамоми иқтисодиёти ҷумҳуриро ташкил медиҳад);

-мавчудияти имкониятхои потенсиалии рушди селаи мусофирони амалкунанда ва аз нав пайдошаванда аз хисоби вазъи иктисодй-чуғрофии чумхурй, захирахои бойи ашёи хом, азхуднамоии интенсивии маъданхои куҳй, рушди гидроэнергетика чун асоси ташаккули комплексҳои худудию истеҳсолй, нишондиҳандаҳои муфиди рушди аҳолй ва барномаи васеи рушди хочагии шаҳри чумҳурй. Зарурати азхуднамоии ҳачми мусофирбарии афзоянда ва баландшавии сатҳи ташкили он рушди ояндаи шабакаи нақлиётиро ба таври қатъй талаб менамояд. Чойгиронии муносиби шабакаи нақлиётй дар ҳудуди чумҳурй имрузҳо ба таври қатъй аҳамияти муҳими иқтисодиро касб мекунад. Ба сатҳи ташкили мусофирбарй баробарии чойгиронии шабакаи нақлиётй, дарозии умумии он, мувофиқати шиддатнокии анбуҳи нақлиётй ва селаи мусофирон, эътимоднокии рушди ин ё он шабакаи роҳҳои робита таъсир мерасонанд.

Нишондихандахои асосии шабакаи роххои чумхурй дар чадвали 4 оварда шудааст.

Точикистон [3] Шабакаи роххои Аз руйи вилоят ва минтакахо Хамагй. автомобилгарди истифодаи нтч км. ВМКБ Бохтар Кулоб Суғд Рашт умум 1910,9 2712,0 938,0 Хамагй роххо 14141 2740,5 2389,4 3442,0 Роххои чумхуриявй 5423 697,4 748,9 728,4 1095,9 1680,8 471,6 Аз чумла роххои 3335,6 287,3 427,7 292,3 732,0 1297,3 279,0 байналмилали Дигар роххои чумхуриявй 2087,5 410,1 321,2 383,5 172,6 436,0 363,9 (фаръй) Роххои махаллй 8717 1213.4 21991.6 1670.0 2345.3 1031,2 466,4

Барои нақлиёти автомобилй роҳҳо аҳамияти иқтисодй ва ҷуғрофии муҳим дошта, ба ҷойгиршавии истеҳсолот, рушди иқтисодй ва иҷтимоии мамлакат таъсири асосй доранд. Аз таҳлили шабакаи роҳҳо ва мутобиқгардонии намудҳои нақлиёт ба истеҳсолоти минтақаҳои алоҳида муайян кардан мумкин аст, ки нақлиёти автомобилй ҳамчун намуди нақлиёти пешбар фаъолият менамояд.

Тибқи маълумоти оморй ба ҳолати 01.01.2017 шабакаи роҳҳои автомобилгарди Тоҷикистон 26366 километр, шабакаи роҳҳои оҳан 666 километрро ташкил медиҳад. Ҳама роҳҳо дар Тоҷикистон роҳҳои давлатй мебошанд. Шабакаи роҳҳои автомобилгарди истифодаи умуми назди Вазорати нақлиёти Ҷумҳурии Тоҷикистон аз 14141 км иборат аст, ки ин 56,3%-и тамоми шабакаи роҳҳои ҷумҳуриро ташкил медиҳад. Роҳҳои идориро 12563 км, яъне 47,7%-и тамоми шабакаи роҳҳо ташкил менамояд.

Хулоса

Рушди системаи мусофирбарии Чумхурии Точикистон мувофики роххои конеъгардонии талаботи ахолй инчунин ба шумора ва зичии чойгиршавии ахолй дар минтакахои гуногуни кишвар, сатхи иктисодию ичтимой, шабакаи роххо ва холати нигохдории роххои автомобилгард вобаста аст. Ташкил ва идора кардани раванди мусофирбарй муассисахои наклиётиро водор менамояд, ки бо назардошти омилхои зикргардида теъдоди наклиётро интихоб ва барои хизматрасонй пешниход гардонанд.

Муқарриз: Юнусов М.Ю. – н.и.т., дотсени қафедраи «Истифодабарии нақлиёти автомобилй» -и ДППТ ба номи ақадемиқ М.С. Осимй

Адабиёт

- 1. Абалкин Л.И. Перевод экономики на интенсивный путь развития. Вопросы экономики, 1982, N2, с. 3-13.
- 2. Аррак А.О. Развитие и эффективность пассажирских перевозок. Таллин, 1984. 224 с.
- 3. Бобоев К.О. Ташкили фаъолияти истехсолии инфрасохтори руйизаминии наклиёти автомобилии Чумхурии Точикистон. Дисс. барои дарёфти дарачаи илмии доктори илмхои иктисодй аз руйи ихтисоси 08.00.06.04 — Ташкил ва идоракунии корхонахо, низомхо ва комплексхо. Душанбе — 2023.
 - 4. Бронштейн Я.Т. Перспективы развития транспорта Таджикской ССР. Душанбе, Ирфон, 1973. 210 с.
- 5. Омори солонаи Чумхурии Точикистон Нашрияи расмии Агентии омори назди Президенти Чумхурии Точикистон, соли 2023.
- 6. Раджабов Р.К., Аликариев С.А. Рациональное размещение предприятий пассажирского автобусного транспорта в Таджикистане. Обзор инф. Душанбе, 1986. 35 с.
- 7. Ризой Н.М., Юнусов Ф.М. Тахлили усул ва моделхои баходихии талабот ба хизматрасонии наклиёти мусофирбар//Паёми политехникй. Бахши Тахкикоти мухандисй. №4 (56), 2021. Душанбе: ДТТ ба номи академик М.С. Осимй, 2021. С. 97-106. ISSN 2520-2227, 0,63/0,32 ч.ч.
- 8. Юнусов Ф.М. Муносибати системавй дар омўзиш ва баланд бардоштани самаранокии кори наклиёти автомобилии мусофирбар//Паёми политехникй. Бахши Таҳқиқоти муҳандисй. №1 (61), 2023. Душанбе: ДТТ ба номи академик М.С. Осимй, 2023. С. 162-167. ISSN 2520-2227, 0,375 ч.ч.

СВЕДЕНИЯ ОБ АВТОРАХ – МАЪЛУМОТ ДАР БОРАИ МУАЛЛИФОН – INFORMATION ABOUT AUTHORS

TJ	RU	EN
Юнусов Фаридун Маъруфович	Юнусов Фаридун Маъруфович	Yunusov Faridun Marufovich
Номзади илмхои иктисодй	Кандидат экономических наук	Candidate of Economical Sciences
Донишгохи техникии Точикистон	Таджикский технический	Tajik Technical University named
ба номи академик М.С. Осимй	университет имени академика	after acadevician M.S. Osimi
	М.С. Осими	
e	mail: faridun.yunusov1978@gmail.com	<u>n</u>
TJ	RU	EN
Рачабов Абдухалим	Раджабов Абдухалим	Radzhabov Abdukhalim
Абдурахимович	Абдурахимович	Abdurakhimovich
Номзади илмхои иктисодй	Кандидат экономических наук	Candidate of Economical Sciences
Донишгохи техникии Точикистон	Таджикский технический	Tajik Technical University named
ба номи академик М.С. Осимй	университет имени академика	after acadevician M.S. Osimi
	М.С. Осими	
TJ	RU	EN
Самиев Шамсиддин	Самиев Шамсиддин Файзуллоевич	Samiev Shamsiddin Faizulloevich
Файзуллоевич		
Номзади илмхои иктисодй	Кандидат экономических наук	Candidate of Economical Sciences
Донишгохи техникии Точикистон	Таджикский технический	Tajik Technical University named
ба номи академик М.С. Осимй	университет имени академика	after acadevician M.S. Osimi
	М.С. Осими	

COXTMOH BA МЕЪМОРЙ - СТРОИТЕЛЬСТВО И APXИTEКТУРА - CONSTRUCTION AND ARCHITECTURE

УДК 699.841

ИССЛЕДОВАНИЕ ФИЗИКО-МЕХАНИЧЕСКИХ СВОЙСТВ ГЛИНОМАТЕРИАЛОВ НА ТЕРРИТОРИИ РЕСПУБЛИКИ ТАДЖИКИСТАН

И.К. Каландарбеков, И.И. Каландарбеков, А.Ш. Шарифзода

Таджикский технический университет имени академика М.С. Осими

Настоящее исследование концентируется на анализе последствий землетрясений на территории Республики Таджикистан. В ходе исследования отмечается значительное количество разрушений и повреждений глинобитных домов. Подчеркивается, что проблема использования местных строительных материалов, особенно при возведении зданий, остаётся актуальной, поскольку строительство таких домов продолжается, и они по-прежнему преобладают в сельской и горной местности Республики Таджикистан. В статье приводятся результаты экспериментальных исследований, направленных на определение физико-механических характеристик глиноматериалов для кирпича-сырца стандартного размера $250 \times 120 \times 65$ мм.

Ключевые слова: землетрясения, сейсмобезопасность, повреждения домов, глинобитные здания, глиноматериал, грунт, физико-механические характеристики, предел прочности, изгиб, сжатие.

ТАХКИКОТИ ХУСУСИЯТХОИ ФИЗИКАЮ МЕХАНИКИИ МАВОДХОИ ХОКЙ ДАР КАЛАМРАВИ ЧУМХУРИИ ТОЧИКИСТОН

И.Қ. Қаландарбеков, И.И. Қаландарбеков, А.Ш. Шарифзода

Тахқиқоти дида баромадашуда ба таҳлили оқибати заминчунбй дар қаламрави Чумхурии Точикистон, ки шаҳодати вайроншавй ва шикасти хонаҳои хокй мебошад, равона карда шудааст. Нишон дода шудааст, ки мушкилоти истифодабарии маводҳои таҳчойи ҳангоми сохтмони хонаҳо ба таъҳир монда намешавад, чаро, ки сохтмони чунин намуд биноҳо идома меёбад ва бартарии онҳо дар деҳот ва шароити куҳсори Чумҳурии Точикистон бараъло маълум аст. Натичаи таҳқиқоти таҷрибавй бо мақсади муайян намудани ҳарактеристикаҳои физикаю меҳаникии маводҳои ҳокй барои ҳишти ҳом андозаи 250х120х65 мм. оварда шудааст.

Калимахои калиді: заминчунбії, бехатарии сейсмикії, харобшавии хонахо, хонахои хокії, маводхои хокії, хок, характеристикахои физикаю механики, мустахкамии худудії, қатшави, фишуриш.

RESEARCH OF PHYSICAL AND MECHANICAL PROPERTIES OF CLAY MATERIALS IN THE TERRITORY OF THE REPUBLIC OF TAJIKISTAN

I.Q. Qalandarbekov, I.I. Qalandarbekov, A.Sh. Sharifzoda

The article analyses the consequences of earthquakes in the Republic of Tajikistan, which have resulted in massive destruction and damage to adobe houses. It is demonstrated that the use of local building materials in construction will remain a significant issue, as the construction of such houses persists and they are prevalent in rural and mountainous areas of the Republic of Tajikistan. This paper presents the findings of experimental studies on determining the physical and mechanical characteristics of clay materials for bricks of standard size $250 \times 120 \times 65$ mm.

Keywords: earthquakes, earthquake safety, house damage, earthen buildings, earthen material, soil, physical and mechanical characteristics, ultimate strength, bending, compression.

Введение

Географическое расположение Республики Таджикистан среди других государств Центральной Азии характеризуется высокой сейсмической активностью, что создаёт потенциальные условия для возникновения землетрясений с магнитудой до 9 баллов по шкале МСК-64. Согласно данным карты общего сейсмического районирования Таджикистана зона с потенциалом 9-балльных землетрясений охватывает 56,5% территории, 8-балльная зона — 27,3%, а 7-балльная зона — 16,2% [2].

Безопасность населения в сельской местности преимущественно зависит от качества местных строительных материалов и их сейсмостойкости [3,5]. Следует отметить, что в древности в различных регионах Таджикистана использовались каркасные системы при строительстве низких зданий. Наши предки интуитивно учитывали сейсмическую активность при возведении домов, применяя разнообразные конструкции каркасов и глину в качестве заполнителя. К сожалению, этот традиционный опыт практически не используется в настоящее время.

Характер повреждений домов с глиняными стенами свидетельствует о том, что одной из причин является использование недостаточно прочных материалов при изготовлении сырцового кирпича, а также отсутствие принятых мер по сейсмической защите. Важно отметить, что часто строительство домов ведется неопытными строителями с низким уровнем квалификации, что делает такие постройки недостаточно устойчивыми к землетрясениям.

Известно, что снижение ущерба от последствий землетрясений непосредственно зависит от точности оценки сейсмостойкости зданий. Следовательно, усовершенствование методов обеспечения сейсмической безопасности зданий в регионах с высокой сейсмической активностью является важной задачей, решение которой имеет как научное, так и практическое значение [7].

Анализ последствий землетрясений на территории Республики Таджикистан показывает обширные разрушения и повреждения малоэтажных зданий, построенных из местных строительных материалов [1-3]. Результаты исследований пострадавших районов после сильных землетрясений свидетельствуют о том, что большинство значительных повреждений и разрушений пришлось на жилые дома, возведенные с использованием глиноматериалов [4]. Поэтому оценка сейсмической безопасности малоэтажных зданий из глиноматериалов в таких регионах остается актуальной проблемой.

Метод исследования

Для проведения данного исследования применяется экспериментальный метод. Без анализа фактического характера разрушений, отсутствия информации о свойствах материалов, используемых в конструкции, а также без данных о расчетных схемах общая оценка поведения зданий при сейсмическом воздействии невозможна [4-6].

Результаты исследования и обсуждения

Согласно классификации по прочностным характеристикам грунта первая группа включает образцы из следующих кишлаков: Сумечаки Кухна, Сари Санг, Масджиди Сурх и Раззод. Для образцов из кишлаков первой группы расчётное сопротивление сжатию глинистых материалов колеблется от 1,02 до 1,52 МПа для числителя (территория кишлака) и от 0,55 до 1,61 МПа для знаменателя (данные из карьера). Во вторую группу входят образцы из кишлаков Джавгал, Унджи Поён и Кургонча, для которых расчётное сопротивление сжатию составляет от 0,75 до 0,90 МПа для числителя и от 0,75 до 1,05 МПа для знаменателя. Третья группа включает образцы из кишлаков Джаббор Расулов, Якуми Май, Масджиди Савр, Тути Калон, Сари Баланди, Содирхони Хофиз, Сартугаи, Октеппа, Дехаи Поён и Кори Р. Курбонов, у которых расчётное сопротивление сжатию глинистых материалов варьируется от 0,55 до 0,65 МПа для числителя и от 0,55 до 1,10 МПа для знаменателя. Образцы из кишлака Учбог составляют четвёртую группу, где расчётное сопротивление сжатию равно 0,30 МПа для кишлака и 0,45 МПа для карьера.

Приведём из первой группы - кишлак **Сумечаки Кухна**. Сейсмичность населённого пункта - кишлак Сумечаки Кухна - 8 баллов по шкале MSK - 64. В таблице 1 приведены образцы грунта и глиноматериалов для данного кишлака.

Давайте рассмотрим первую группу, которая включает в себя кишлак Сумечаки Кухна. Значение сейсмичности этого населенного пункта составляет 8 баллов по шкале МСК-64. В таблице 1 представлены образцы грунта и глинистых материалов для данного кишлака.

Таблица 1 – Прочностные показатели глиноматериалов из первой группы- кишлак Сумечаки Кухна

No	Объемный	Сопротивление	Сопротивление	Объемный	Расчетное	Расчетное
образ	вес образца	на изгиб	на сжатие	вес грунтома-	сопротивление	сопротивление
-ца	(г/см ³)	(кг/см ²)	(кг/см ²)	териала	на изгиб	на сжатие
ца	(17CM)	(KI/OM)	(RI/OM)	(г/см ³)	(кг/см ²)	(кг/см ²)
1	1.96/1.92	7.18/11.78	16.31/18.10			
2	1.82/1.77	5.30/13.90	13.54/15.78	1.87/1.89	8.82/15.5	15.17/16.14
3	1.84/1.99	13.97/19.76	15.67/14.54			

Из таблицы 1 очевидно, что грунт как с территории кишлака Сумечаки Кухна, так и из карьера обладает почти идентичными высокими прочностными характеристиками, что делает его предпочтительным для использования. В таблице 2 представлены результаты испытаний образцов для первой группы из кишлака Сари Санг, где сейсмичность также составляет 8 баллов по шкале MSK-64.

Таблица 2 – Прочностные показатели глиноматериалов из первой группы- кишлак Сари Санг

No	Объемный	Сопротивление	Сопротивление	Объемный	Расчетное	Расчетное
образ	вес образца	на изгиб	на сжатие	вес грунтома-	сопротивление	сопротивление
-ца	(г/см ³)	(кг/см ²)	(кг/см ²)	териала	на изгиб	на сжатие
ца	(I/CWI)	(KI/CW)	(KI/OM)	(Γ/cm^3)	(кг/см ²)	(кг/см ²)
1	1.82/1.73	8.41/2.24	13.19/5.01			
2	1.74/1.76	7.57/2.38	10.72/5.66	1.79/1.78	8.13/2.41	11.24/5.4
3	1.82/1.86	8.41/2.60	9.81/5.53			

В соответствии с результатом испытаний образцов для данного населённого пункта грунт с территории кишлака Сари Санг имеет более высокие прочностные характеристики при сжатии нежели с карьеры и предпочтительнее для применения. В таблице 3 представлены результаты испытаний образцов для 1-ой группы - кишлак Масджиди Сурх. Сейсмичность населённого пункта — Масджиди Сурх - 8 баллов по шкале MSK-64.

Согласно результатам испытаний, образцов из данного населённого пункта грунт с территории кишлака Сари Санг обладает более высокими прочностными характеристиками при сжатии по сравнению с грунтом из карьера и представляет собой более предпочтительный вариант для использования. В таблице 3 приведены результаты испытаний образцов для первой группы из кишлака Масджиди Сурх, где сейсмичность также составляет 8 баллов по шкале MSK-64.

Таблица 3 – Прочностные показатели глиноматериалов из первой группы-кишлак Масджиди Сурх

№ образ -ца	Объемный вес образца (г/см ³)	Сопротивление на изгиб (кг/см²)	Сопротивление на сжатие (кг/см²)	Объемный вес грунтома- териала (г/см³)	Расчетное сопротивление на изгиб (кг/см²)	Расчетное сопротивлени е на сжатие (кг/см²)
1	1.85/2.02	5.18/8.88	13.36/14.08	(1/CWL)	(RI/CW)	(RI/CWI)
2	1.85/1.90	4.66/8.14	12.00/15.89	1.86/1.94	5.82/8.85	12.67/13.42
3	1.87/1.90	7.63/9.53	12.66/10.28			

Как показывает таблица 3, в кишлаке Масджиди Сурх как грунт с территории населенного пункта, так и из карьера обладают почти идентичными высокими прочностными свойствами при сжатии и являются предпочтительными для использования. В таблице 4 представлены результаты испытаний образцов для первой группы из кишлака Раззод, где сейсмичность также составляет 8 баллов по шкале MSK-64.

Согласно экспериментальным данным, представленным в таблице 4, в кишлаке Раззод как грунт с территории населенного пункта, так и из карьера обладают одинаковыми высокими прочностными свойствами при сжатии и являются предпочтительными для применения.

Таблица 4 – Прочностные показатели глиноматериалов из первой группы - кишлак Раззод

№ образ -ца	Объемный вес образца (г/см ³)	Сопротивление на изгиб (кг/см²)	Сопротивление на сжатие (кг/см²)	Объемный вес грунтома- териала (г/см³)	Расчетное сопротивление на изгиб (кг/см²)	Расчетное сопротивлени е на сжатие (кг/см²)
1	2	3	4	5	6	7
1	1.79/1.88	7.40/6.71	10.27/11.49			
2	1.80/1.87	6.08/6.66	9.45/11.05	1.84/1.86	6.81/6.31	10.31/10.61
3	1.94/1.84	6.94/5.56	11.21/9.30			

В таблице 5 приведены результаты испытаний образцов для второй группы из кишлака Джавгал, где сейсмичность также составляет 8 баллов по шкале MSK-64.

Таблица 5 – Прочностные показатели глиноматериалов из второй группы – кишлак Джавгал

		т иолици э	ripo moermbie noku	saresiii isiiiiiomarep	mariob no bropon	TPyllibi Killistak	джиргил
	№	Объемный	Сопротивление	Сопротивление	Объемный	Расчетное	Расчетное
	opas	вес образца	на изгиб	*	вес грунтома-	сопротивление	сопротивление
	1	бес образца (г/см ³)	на изгио (кг/см ²)	на сжатие (кг/см ²)	териала	на изгиб	на сжатие
_	-ца	(17CM)	(KI/CM)	(KI7CM)	(Γ/cm^3)	$(\kappa\Gamma/cm^2)$	(кг/см ²)
	1	1.83/1.84	6.94/5.31	8.31/7.73			
	2	1.80/1.90	9.76/7.95	9.54/6.74	1.81/1.81	7/7.5	8.5/7.5
	3	1.80/1.71	6.50/7.69	8.68/8.83			

Согласно данным, представленным в таблице 5, в кишлаке Джавгал как грунт с территории населенного пункта, так и из карьера, почти одинаковы по средним прочностным свойствам при сжатии и являются предпочтительными для применения. В таблице 6 приведены результаты испытаний образцов для второй группы из кишлака Унджи Поён, где сейсмичность также составляет 8 баллов по шкале MSK-64.

В результате испытаний выяснилось, что в данном населённом пункте как грунт с территории кишлака Унджи Поён, так и из карьера почти не различаются по прочностным свойствам при сжатии и представляются более предпочтительными для применения. В таблице 7 приведены результаты испытаний образцов для второй группы из кишлака Кургонча, где сейсмичность также составляет 8 баллов по шкале MSK-64.

Таблица 6 – Прочностные показатели глиноматериалов из второй группы – кишлак Унджи Поён

No	Объемный	Сопротивление	Сопротивление	Объемный	Расчетное	Расчетное
образ	вес образца	на изгиб	на сжатие	вес грунтома-	сопротивление	сопротивлени
-µа	бес образца (г/см ³)	на изгио (кг/см ²)	на сжатис (кг/см ²)	териала	на изгиб	е на сжатие
-ца	(1/CM)	(KI/CM)	(KI/CM)	(Γ/cm^3)	$(\kappa\Gamma/cm^2)$	$(\kappa \Gamma/c M^2)$
1	1.79/1.76	5.30/5.84	9.72/10.46			
2	1.79/1.77	5.30/3.97	8.84/11.05	1.79/1.76	5.3/5.73	9.17/10.60
3	1.79/1.75	5.30/7.38	8.94/10.25			

Таблица 7 – Прочностные показатели глиноматериалов из второй группы- кишлак Кургонча

№ обр аз-	Объемный вес образца (г/см³)	Сопротивле-ние на изгиб (кг/см²)	Сопротивление на сжатие (кг/см²)	Объемный вес грунтома- териала (г/см³)	Расчетное сопротивление на изгиб (кг/см²)	Расчетное сопротивлени е на сжатие (кг/см²)
ца 1	1.69/1.67	4.13/4.96	5.82/7.77		,	,
3	1.72/1.69 1.72/1.74	3.70/5.69 4.88/4.13	7.55/6.00 9.13/8.49	1.71/1.70	4.24/4.93	7.5/7.42

Из данных, приведённых в таблице 7, становится ясно, что в кишлаке Кургонча как грунт с территории населённого пункта, так и из карьера почти идентичны по средним прочностным свойствам при сжатии и являются предпочтительными для применения. В таблице 8 представлены результаты испытаний образцов для третьей группы из кишлака Джаббор Расулов, где сейсмичность также составляет 8 баллов по шкале MSK-64.

Таблица 8 – Прочностные показатели глиноматериалов из третьей группы – кишлак Джаббор Расулов

№	Объемный	Сопротивление	Сопротивление	Объемный	Расчетное	Расчетное
обр	вес образца	на изгиб	на сжатие	вес грунтома-	сопротивление	сопротивлени
аз-	(г/см ³)	(кг/см ²)	(кг/см ²)	териала	на изгиб	е на сжатие
ца	(17CM)	(KI/CM)	(KI/CM)	(Γ/cm^3)	(кг/см ²)	(кг/см ²)
1	1.77/1.73	1.48/2.24	5.21/5.01			
2	1.86/1.77	1.44/2.38	6.44/5.66	1.78/1.79	1.4/2.4	5.7/5.4
3	1.72/1.86	1.53/2.60	5.46/5.53			

Как следует из таблицы 8, в данном населённом пункте как грунт с территории, так и из карьера кишлака Джаббор Расулов обладают средними прочностными свойствами и представляются предпочтительными для применения. Аналогичные показатели наблюдаются и для кишлаков Якуми Май, Масджиди Савр, Сари Баланди, Содирхони Хофиз и Дехаи Поён.

Выводы

- 1. Полученные физико-механические характеристики показывают, что предел прочности при сжатии образцов из глиноматериала примерно на порядок меньше, чем в образцах из жжёного кирпича.
- 2. Полученные экспериментальным путём прочностные характеристики глиноматериалов предусмотрены для кладки стен из кирпича-сырца стандартного размера.
- 3. Результаты экспериментальных исследований показывают, что предел прочности при сжатии получается приблизительно в 2 раза больше предела прочности при изгибе.

Рецензент: Сангинов А.М. — қ.т.н., ведущий научный сотрудниқ Лаборатории сейсмостойқого строительства зданий и сооружений Института геологии, сейсмостойқого строительства и сейсмологии НАНПІ

Литература

- 1. Джабаров М. Снижение сейсмической уязвимости зданий, возведённых из местных строительных материалов / М. Джабаров, П.А. Ясунов, Ш.А. Джалолов //Труды научно-практической конференции агентства «ТОЧИККОИНОТ» «Уменьшение рисков стихийных бедствий и управление этими рисками» Таджикистана», Душанбе, 2006. С. 150 –158.
- 2. Джабаров М. Последствия Раштского и Кумсангирского землетрясения и повышение сейсмостойкости зданий возводимых из местных строительных материалов / М.Джабаров, Ф.Х. Хакимов Д.С. Вахидов, Ш.А.Джалолов //Труды Республиканской научной конференции «100 лет со дня Каратагского землетрясения (21 октября 1907 года) и современные проблемы сейсмостойкого строительства и сейсмологии». Душанбе, Азия-Принт, 2007. С.123 –129.
- 3. Джабаров М. Восстановление несущей способности и повреждённой кирпичной кладки / М. Джабаров, С В. Кожаринов, Е.А. Аверьянова, А.А. Лунев // В сб.: Динамика и сейсмостойкость зданий и сооружений. Душанбе: Дониш, 1976. С. 103-114.
- 4. Каландарбеков И.К. Исследование конструктивных свойств кладок зданий из грунтоматериалов / И.К. Каландарбеков, А.М. Сангинов // Научный журнал. Душанбе «Политехнический Вестник». Серия «Инженерные исследования». №1(45) 2019. С. 271–274.
- 5. Каландарбеков И.К. Оценка уязвимости зданий на основе метода спектральных смешений /И.К. Каландарбеков, А.М. Сангинов, Ч.Ё. Музофиров // Научный журнал. Душанбе «Политехнический Вестник» Серия «Инженерные исследования». №2 (46) 2019. С. 143 149.

- 6. Каландарбеков И.К. Исследование физико-механических свойств материалов старинных кирпичных кладок на территории Республики Таджикистан /И.К. Каландарбеков, А.М. Сангинов, А.К. Рафиев // Научный журнал. Душанбе «Политехнический Вестник» Серия «Инженерные исследования». №4(44) 2018. -С.180-182.
- 7. Каландарбеков И.К. Проблема сейсмической безопасности глинобитных домов на территории Республики Таджикистан / И.К.Каландарбеков, И.И. Каландарбеков, А.Ш. Шарифзода // Научный журнал. Душанбе «Политехнический Вестник» Серия «Инженерные исследования», №2 (62) 2023. С. 214 219.

СВЕДЕНИЯ ОБ АВТОРАХ – МАЪЛУМОТ ДАР БОРАИ МУАЛЛИФОН – INFORMATION ABOUT AUTHORS

TJ	RU	EN				
Қаландарбеков Имомёрбек Қаландарбекович	Каландарбеков Имомёрбек Каландарбекович	Qalandarbekov Imomyorbek Qalandarbekovich				
Қаландарбекович	Каландарбекович					
Д.и.т., профессор	Д.т.н., профессор	D.t.s., Professor				
Донишгохи техникии Точикистон	Таджикский технический	Tajik Technical University named after Academician M.S. Osimi				
ба номи академ ик М.С.Осимй	университет имени академика М.С.Осими Таджикистана	Academician M.S. Osimi				
	М.С.Осими Таджикистана					
	e. mail: kalandarbekov-55@mail.ru					
TJ	RU	EN				
Қаландарбеков Ифтихор Имомёрбекович	Каландарбеков Ифтихор	Qalandarbekov Iftikhor Imomyorbekovich				
Имомёрбекович	Каландарбеков Ифтихор Имомёрбекович	Iftikhor Imomyorbekovich				
Номзади илмхои техникй	Кандидат технических наук	Candidate of technical sciences				
Донишгохи техникии Точикистон ба номи академ ик М.С.Осимй	Таджикский технический	Tajik Technical University named after Academician M.S. Osimi				
ба номи академ ик М.С.Осимй	университет имени академика М.С.Осими Таджикистана	Academician M.S. Osimi				
	М.С.Осими Таджикистана					
	e. mail: <u>iftikhor791@mail.ru</u>					
TJ	RU	EN				
Шарифзода А.Ш.	Шарифзода А.Ш.	Sharifzoda A.Sh.				
Унвончу	Соискатель	applicant				
Донишгохи техникий Точикистон ба номи академ ик М.С.Осимй	Таджикский технический	Tajik Technical University named after Academician M.S. Osimi				
ба номи академ ик М.С.Осимй	университет имени академ ика	Academician M.S. Osimi				
	университет имени академ ика М.С.Осими Таджикистана					
e. mail: sh_azamjon@mail.ru						

УДК 691.962

МАГНЕЗИАЛЬНО-КАРНАЛЛИТОВОЕ ВЯЖУЩЕЕ

O.Б. Косимов¹, A.A. Акрамов², К.О. Косимов²

¹Джизакский политехнический институт

²Таджикский технический университет имени академика М.С. Осими

В статье приведено применение добавок из шлама карналлитовых хлораторов и каустического магнезита в состав магнезиальных вяжущих и материалов на их основе. Введенная добавка дает возможность получить смесь, обладающую высокой прочностью, водостойкостью, морозостойкостью, пластичностью и термостойкостью.

Ключевые слова: карналлитовый шлам, каустический магнезит, смесь, прочность, цеолит, трепел, доломит.

ПАЙВАНДКУНАНДАХОИ МАГНЕЗИАЛЙ-КАРНОЛЛИТЙ

О.Б. Қосимов, А.А. Акрамов, Қ.О. Қосимов

Дар макола истифодаи иловахо аз шлами хлораторхои карналлитй ва магнезити каустикй дар таркиби пайвастагихои магний ва маводи дар асоси онхо асосёфта тасвир шудааст. Иловаи воридшуда имкон медихад, ки омехтаи дорои мустахкамии баланд, обнагузаронй тобовар, ба хунукй тобовар, пластикй ва ба гармй тобовар ба даст оварда шавад.

Калидвожахо: шлами карналлит, магнезити каустикй, омехта, қувват, цеолит, триполи, доломит

MAGNESIAN-CARNALLITE BINDER

O.B. Kosimov, A.A. Akramov, K.O. Kosimov

The article describes the use of additives from carnallite chlorinator sludge and caustic magnesite in the composition of magnesium binders and materials based on them. The introduced additive makes it possible to obtain a mixture with high strength, water resistance, frost resistance, plasticity and heat resistance.

Keywords: carnallite slurry, caustic magnesite, mixture, strength, zeolite, tripoli, dolomite.

Введение

Разновидность минерального ресурса природы Республики Таджикистан подсказывает о наличии огромного ассортимента строительного материала. В настоящее время стало популярным применение строительных материалов на основе цементных и гипсовых вяжущих. Магнезиальные изделия, основой которых являются эти вяжущие, отличаются и характеризуются своими высокими адгезионными свойствами, позволяющими свободно укладывать на любую поверхность растворы и бетоны, и работать с органическими и неорганическими наполнителями.

Сдерживающими широкое применение хлор-магнезиальных вяжущих в промышленности строительных материалов факторами являются их высокая гигроскопичность и применение специальных растворов для затворения. Распространенным способом регулирования свойств магнезиальных вяжущих и материалов на их основе является использование добавок, позволяющих целенаправленно формировать структуру магнезиального камня с низкими гигроскопичностью и усадкой при обеспечении высоких показателей по прочности, водостойкости и морозостойкости. Одним из перспективных на сегодняшний день компонентом, позволяющим использовать его в качестве основы для вяжущих, является невостребованный отход производства галита - шлам карналлитовых хлораторов [1]. Карналлитовый шлам обладает невысокой по сравнению с магнезиальным вяжущим прочностью на сжатие (табл. 2), но благодаря своему составу может позволить частично заменить дорогостоящий магнезит (табл. 1).

Таблица 1 – Химический состав шлама карналлитовых хлораторов, масс. %

				T	r - 1 - 1 - 1		
$MgCl_2$	MgO	CaO	RCl	NaCl	Нера	створимый оса	ідок
26-32	30-62	1,5-2,0	12,5-18,0	2,5-3,0		2,7	
					FeO	Fl ₂ O ₃	SiO ₂
					13	до 30	до 57

Талица 2 – Сравнительный анализ цементов

	Прочность на сжатие, Мпа			
Состав	Без песка		С песком	
	7 сут	28 сут	7 сут	28 сут
Карналлитовый шлам	5	11	2	5
Магнезиально-карналлитовое вяжущее (75 % шлам)	17	30	4	9
Магнезиальные вяжущие	42	67	9	12

Использование смешанного магнезиально-карналлитового вяжущего предполагает получить смесь, обладающую основными положительными эксплуатационными свойствами исходных компонентов: высокой прочностью, пластичностью и термостойкостью (рис.1).

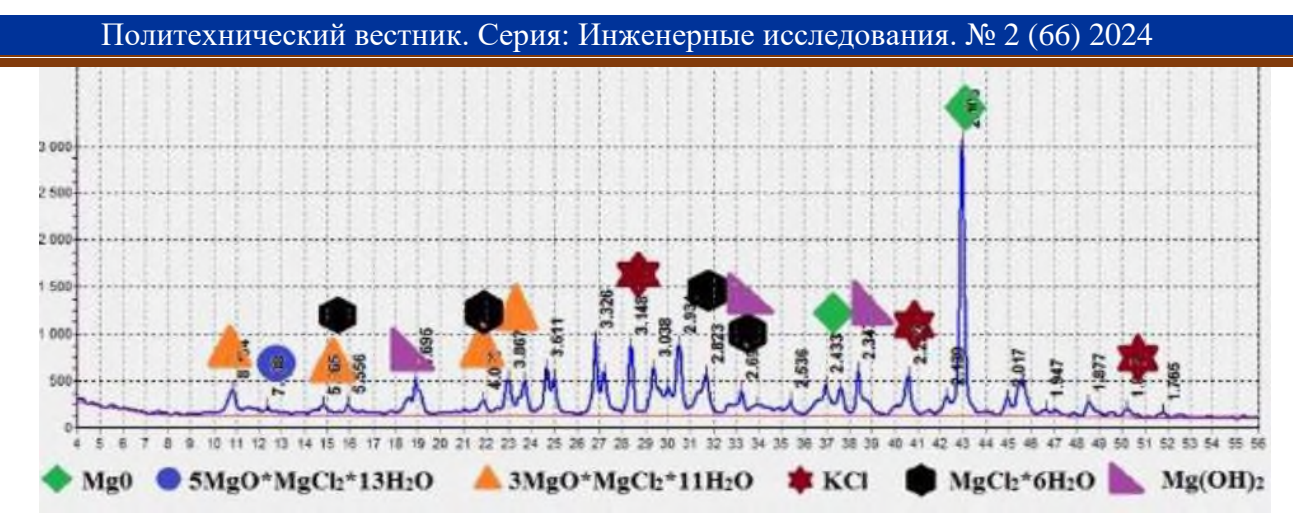


Рисунок 1 – Минерально-карналлитовое вяжущее

Материалы и методы исследования

Сырьевыми материалами, использованными при выполнении работы, являлись шлам карналлитовых хлораторов и каустический магнезит. Для исследования эффекта в качестве контрольных вяжущих (КВ) применялись 2 состава:

- Шлам карналлитовых хлораторов (ШКХ) 80 % и 20% каустического магнезита из «старой» партии;
- Шлам карналлитовых хлораторов (ШКХ) 75 % и 25% каустического магнезита из «новой» партии.
- В качестве активного микронаполнителя и отощителя, а также как средство понижающее температуру, протекающих при затворении реакций, использовались добавки:

шлак, мел, необожженный и обожженный серпентин, колчеданные огарки, доломит, трепел, магнезия, цеолит, железный купорос, ортофосфорная кислота, 2-й суперфосфат, комплексная добавка: (мел +2-й суперфосфат +колчеданные огарки +необожженый серпентин).

Выбор добавки был обусловлен экономическим фактором, а количественное соотношение компонентов подобрано с учетом патентных данных и анализа литературы [2-4]. Вещественный состав смешанного вяжущего на "старом" каустическом магнезите приведен в табл. 3, на "новом" - в табл. 4.

Таблица 3 – Состав смесей на "старом" каустическом магнезите

№ состава	Состав смеси	Сокращенное обозначение
1	80% карналлитовый шлам + 20% старый магнезит	1KB
2	85% 1КВ + 15% Мел	Мел1
3	95% 1KB+ 5% FeSO ₄ ·7H ₂ O	FeSO ₄ ·7H ₂ O
4	1KB + 3-4 капли H ₃ PO ₄	H_3PO_4
5	99% 1КВ+ 1% обожженный серпентин (ОС)	1% OC
6	95% 1КВ + 5% обожженный серпентин	5% OC
7	99% 1КВ + 1% необожженный серпентин (НС)	1% HC
8	95%1КВ + 5% необожженный серпентин	5% HC

Таблица 4 – Состав смесей на "новом" каустическом магнезите

№ состава	Состав смеси	Сокращенное обозначение
9	75% карналлитовый шлам + 25% новый магнезит, соотношение с песком 1:2	2KB 1:2
10	75% карналлитовый шлам + 25% новый магнезит, соотношение с песком 1:3	2KB
11	Шлам карналлитовых хлораторов	ШКХ
12	95% 2КВ + 2% огарок + 2% 2-ого суперфосфата + 1% НС	Огарки
13	87% 2КВ + 10% мела + 2% 2-ого суперфосфата + 1% НС	Мел2
14	87% 2КВ + 10% шлака + 2% 2-ого суперфосфата + 1% НС	Шлак
15	85% 2КВ + 10% мела + 2% 2-ого суперфосфата + 2% огарок + 1% НС	Комплекс

Обсуждение

При затворении магнезиально-карналлитовых смесей с песком при В/Т=0,25 в возрасте 28 суток хорошо себя проявили добавки: серпентин, железный купорос, мел и шлак. Введение ортофосфорной кислоты, огарок и комплексной добавки привело к заметному снижению прочности (рис.2).

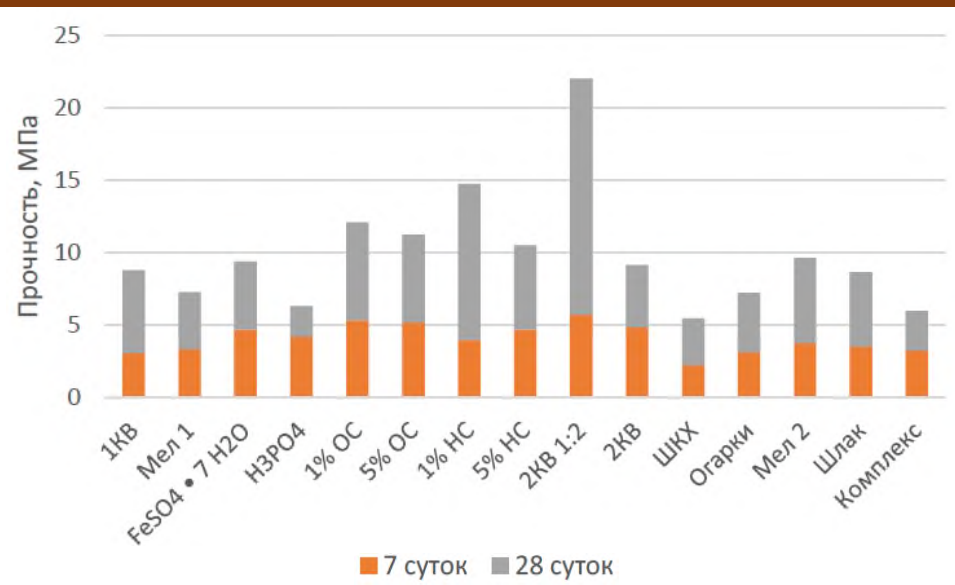


Рисунок 2 – Сравнение прочностей цементов на магнезиально-карналлитовом вяжущем с песком, 28 суток

Положительную роль на раннюю прочность в возрасте 7 суток при твердении опытных составов без песка, затворенных обычной водой при В/Т=0,3, оказали добавки, имеющие в своем составе остатки фосфорной кислоты, которая обеспечивает появление на поверхности гидратирующего магнезита малорастворимых пленок, а также цеолит и карбонатные породы (рис.3) [5].

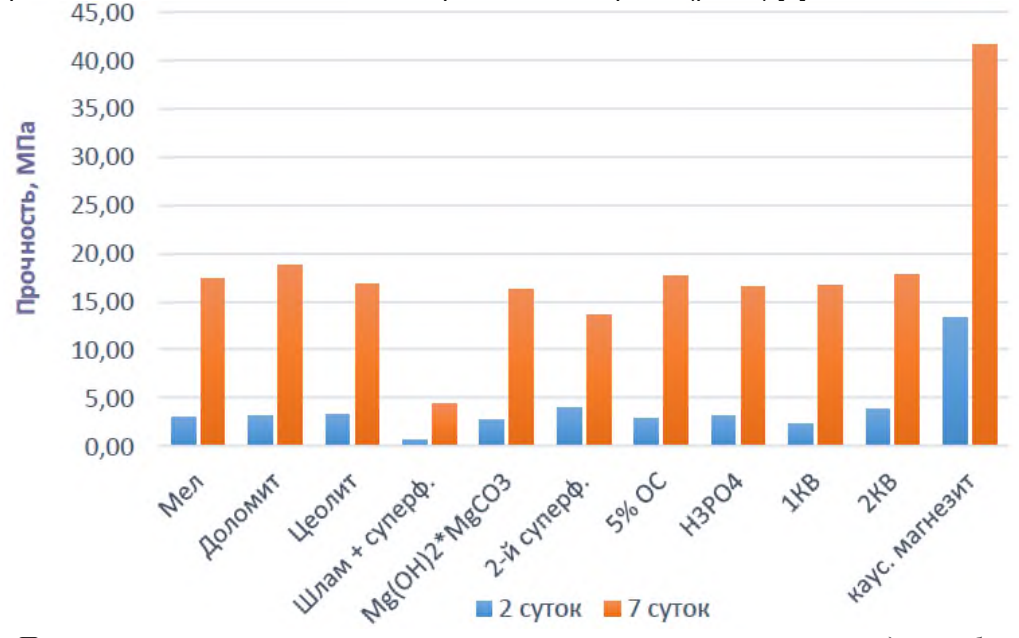


Рисунок 3 – Прочность магнезиально-карналлитового вяжущего на ранних сроках твердения образцов без песка Согласно РФА магнезиально-карналлитовый камень в основном представлен периклазом, 3- и 5- оксигидрохлоридами магния, бишофитом, хлоридом калия и бруситом (рис. 4 и 5).

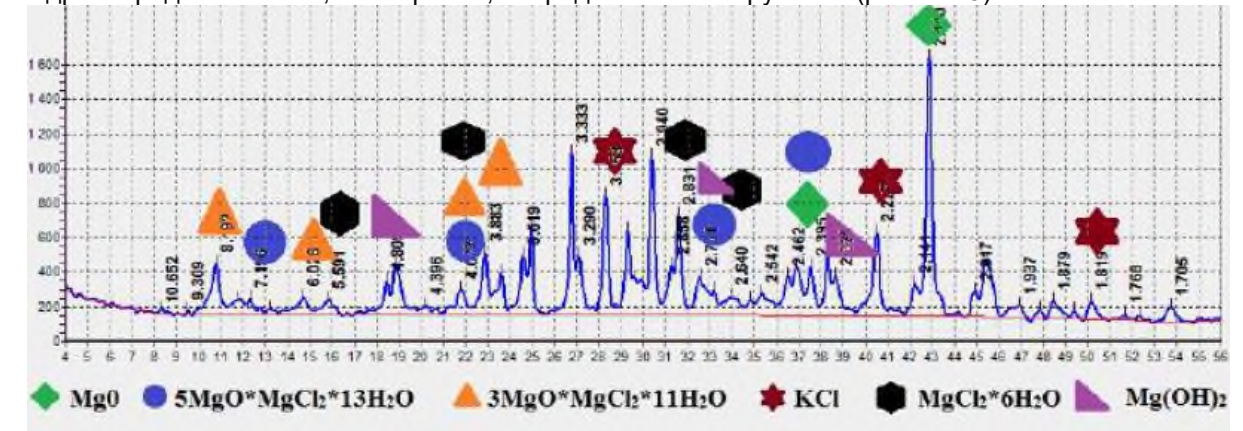


Рисунок 4 – Магнезиально-карналлитовое вяжущее + 1% необожженного серпентина (1КВ+1%НС)

Политехнический вестник. Серия: Инженерные исследования. № 2 (66) 2024 2 500 2 500-2 000 2 000-1 500 1 500-1 000 1 000-500 500-8 9 10 11 12 13 14 15 16 17 18 19 20 21 22 MgCl2*6H2O Mg(OH)2 5MgO*MgCl2*13H2O 3MgO*MgCl2*11H2O Рисунок 5 – 1КВ+10% доломита 1КВ+10% магнезии

Выводы

По полученным данным, экономия каустического магнезита при использовании магнезиально-карналлитового вяжущего вместо магнезиального составляет порядка 80%. Наиболее эффективными добавками по результатам исследования смесей с заполнителем стали необожженный и обожженный серпентин, железный купорос, мел и шлак.

При изучении ранних сроков твердения в смесях без заполнителя прочностные характеристики повысили цеолит, трепел и доломит, вводимые в состав вяжущего в количестве 10%.

Данные РФА показывают, что введение исследуемых добавок не привело к образованию новых кристаллогидратов, и различие продуктов гидратации смесей заключается лишь в количественном соотношении 3- и 5-оксигидрохлоридов магния, что в свою очередь влияет на прочностные показатели. Механизм образования новых кристаллогидратов в твердеющем магнезиально-карналлитовом камне пока не выявлен.

Рецензент: Умарзода У.Х. — қ.т.н., доцент, первый заместитель Председателья Комитета по архитектуре и строительству при правительстве РПГ

Литература

- 1. Белов В.Н. Добыча и переработка калийных солей. / Белов В.Н., Соколов А.В. // Изд-во «Химия», Л., 1971. 320 с.
- 2. Бутт, Ю.М. Химическая технология вяжущих веществ: учеб. пособие для вузов / Ю.М. Бутт, М.М. Сычев, В.В. Тимашев; под ред. В.В. Тимашева. М. // Высшая школа, 1980. 472 с.
- 3. Ведь, И.А. Способ получения водостойкого магнезиального цемента / И.А. Ведь, Н.И. Пивень, Т.А. Сидорова, В.А. Юрин // (Харьков, политехн, ин-т им. В.И. Ленина) Авт. св. СССР, кл. С 04 В9/04 № 577185, заявл. 2.02.76, №2319509, опубл. 18.11.77.
- 4. Акрамов А.А. Влияние добавок на магнезиально-карналлитовую смесь. / Акрамов А.А. // Политехнический вестник, Серия: Инженерные исследования 4(64), Душанбе, 2023. С. 116-120
- 5. К. Pauel. Водостойкая масса на основе магнезиального оксихлоридного цемента / К. Pauel. // Wasserfeste Magnesiumoxychloridzementmasse. Заявка ФРГ, кл. С04В9/14, №2644686, заявл 2.10.76, опубл.6.04.78.

СВЕДЕНИЯ ОБ АВТОРАХ – МАЪЛУМОТ ДАР БОРАИ МУАЛЛИФОН – INFORMATION ABOUT AUTHORS

ADDET HETHORS						
TJ	RU	EN				
Қосимов Одилчон Баракаевич	Косимов Одилжон Баракаевич	Kosimov Odiljon Barakaevich				
Номзади илмхои техникй, дотсент	Кандидат технических наук, доцент	Candidate of technical sciences, assistant professor				
Донишкадаи политехникии Циззах	Джизакский политехнический институт	Jizzakh Polytechnic Institute				
	odil.kasimov@list.ru					
TJ	RU	EN				
Акрамов Авазчон Абдуллоевич	Акрамов Авазжон Абдуллоевич	Akramov Avazjon Abdulloevich				
Номзади илмхои техникй, дотсент	Кандидат технических наук, доцент	Candidate of technical sciences, assistant professor				
Донишгохи техниикии Точикистон баноми акдемик М.С.Осимй	Таджикский технический университет им. акад. М.С.Осими	Tajik Technical University named after Acadtmician M.S. Osimi				
TJ	RU	EN				
Қосимов Қобилчон Одил ўғлй	Косимов Кобилжон Одил углы	Kosimov Kobilzhon Odil son				
унвончуй	соискатель	Applicant				
Донишкадаи политехникии Чиззах	Джизакский политехнический институт	Jizzakh Polytechnic Institute				

УДК 624.131

ИССЛЕДОВАНИЕ НАПРЯЖЕННО – ДЕФОРМИРОВАННОГО СОСТОЯНИЯ КОНТУРОВ ПОДЗЕМНЫХ СООРУЖЕНИЙ МЕТОДОМ ГРАНИЧНЫХ УРАВНЕНИЙ

С.С. Зарифов, Р.Р. Саидов, И.С. Муминов

Таджикский технический университет имени академика М.С. Осими

В статье исследуется напряжённо-деформированное состояние контуров подземных сооружений с крепью от различных воздействий на основе метода граничных уравнений. Разработан алгоритм и предлагается математическая модель решения задач взаимодействия подкрепленного подземного сооружения с упругим пространством в условиях плоской деформации.

Ключевые слова: математическое моделирование, граничные интегральные уравнения, пространство, плоскость, плоская деформация, креп-массив.

ОМЎЗИШИ ХОЛАТИ ШИДДАТНОКЙ-ДЕФОРМАТСИОНИИ САТХХОИ ИНШООТХОИ ЗЕРИЗАМИНЙ БО МЕТОДИ МУОДИЛАХОИ КАНОРЙ

С.С. Зарифов, Р.Р. Саидов, И.С. Муминов

Дар макола таҳқиқи ҳолати шиддатнокию деформатсияшавии сатҳҳои иншооти зеризаминй бо креп аз таъсиротҳои гуногун дар асоси методи муодилаҳои канорй баррасй карда мешавад. Алгоритм ва модели математикии ҳалли масъалаҳои таъсири байниҳамдигарии иншооти зеризаминии маҳкамкардашуда бо нимфазои чандир дар шароитҳои деформатсияи ҳамвор аз таъсиротҳои гуногун коркард шудаанд.

Калимахои калидй: моделсозии математикй, муодилахои интегралии канорй, фазо, ҳамворй, деформатсияи ҳамвор, креп-массив.

STUDY OF STRESS-STRAIN STATE OF UNDERGROUND STRUCTURES CONTOURS USING THE METHOD OF BOUNDARY EQUATIONS

S.S. Zarifov, R.R. Saidov, I.S. Muminov

The article examines the stress-strain state of the contours of underground structures with support from various influences based on the method of boundary integral equations. An algorithm has been developed and a mathematical model is proposed for solving problems of interaction of a reinforced underground structure with elastic space under plane deformation conditions.

Keywords: mathematical modeling, boundary integral equations, space, plane, plane strain, solid mass

Введение

Практический интерес представляют задачи, связанные с исследованием напряженно—деформированного состояния контуров подземных сооружений без крепи и с крепью произвольного очертания, расположенных на достаточно большой глубине. Несущая способность таких сооружений обычно представляется напряженным состоянием и условиями прочности в местах концентрации напряжений. Для оценки их прочности и жесткости нужно определить напряжения и деформации в зонах концентрации напряжений.

В статье исследуется контактная задача, взаимодействие крепи тоннеля с грунтом на основе метода граничных уравнений [1], [2], [3]

$$\tau_{xy}^{\infty} = \tau_{xy}^{o}, \quad \sigma_{x}^{\infty} = \sigma_{x}^{o}, \quad \sigma_{y}^{\infty} = \sigma_{y}^{o}.$$
 (1)

Напряжения на контактной линии до создания выработки записываются в виде

$$P_x^0 = \sigma_x^0 \cos \alpha_1 + \tau_{xy}^0 \sin \alpha_1; \qquad P_y^0 = \sigma_y^0 \sin \alpha_1 + \tau_{xy}^0 \cos \alpha_1. \tag{2}$$

Если не учитывать внешние нагрузки на контуре неподкрепленной выработки, то на основе (2) можно записать

$$\bar{P}_x = -P_x^0, \quad \bar{P}_y = -P_y^0.$$
 (3)

Компоненты поверхностных напряжений на линии контакта крепи и грунта записываются в виде

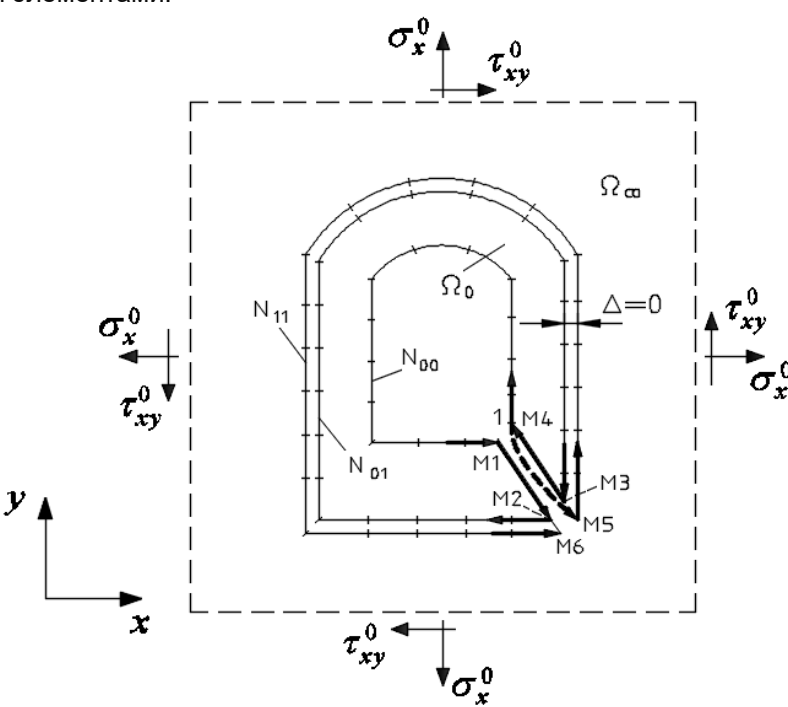
$$P_{x} = P_{x}^{0} + \overline{P}_{x}, \quad P_{y} = P_{y}^{0} + \overline{P}_{y},$$
 (4)

где \bar{P}_x , \bar{P}_y – искомые напряжения, соответствующие дополнительному состоянию; P_x^0 , P_y^0 – заданные напряжения; α_1 – угол между осью $\mathcal X$ и нормалью \hbar .

Моделирование

Порядок построения математической модели рассмотрим на примере крепи произвольного очертания (рисунок 1). Предполагается, что крепь с внутренней областью Ω_0 и контуром $S_0 = S_{00} + S_{01}$ контактируется по внешнему контуру в теле деформируемого массива.

Введены обозначения: М3 — число элементов внутреннем и внешнем контуре крепи S_0 , с учетом два фиктивных элемента: $M3=M2+N_{01}$, M2=M1+1, $M1=N_{00}+1$; M4=M3+1; M6—число элементов на трех контуров, включая четыре фиктивных элемента: $M6=M5+N_{11}$, M5=M4+1; N_{00} —число элементов на внутренней поверхности S_{00} ; N_{01} —число элементов на внешней поверхности S_{01} ; $N_{11}=N_{01}$ —число элементов на поверхности выработки S_{11} . В пределах точек $M1\pm M6$ производится дискретизация контуров граничными элементами.



Pисунок 1 - Pазбивка контуров исследуемого объекта на граничные элементы и схема их обхода

Граничные интегральные уравнения после дискретизации контуров сооружения представляются в виде (рисунок 1):

а) для контуров крепи

$$\sum_{j=1}^{M3} a_{ij}^* \overline{u}_{xj} + \sum_{j=1}^{M3} b_{ij} \overline{u}_{yj} - \sum_{j=M1}^{M3} e_{ij} \overline{P}_{xj} - \sum_{j=M1}^{M3} f_{ij} \overline{P}_{yj} = -\sum_{j=1}^{M3} e_{ij} P_{xj}^0 - \sum_{j=1}^{M3} f_{ij} P_{yj}^0,$$

$$\sum_{j=1}^{M3} c_{ij} \overline{u}_{xj} + \sum_{j=1}^{M3} d_{ij}^* \overline{u}_{yj} - \sum_{j=M1}^{M3} g_{ij} \overline{P}_{xj} - \sum_{j=M1}^{M3} h_{ij} \overline{P}_{yj} = -\sum_{j=1}^{M3} g_{ij} P_{xj}^0 - \sum_{j=1}^{M3} h_{ij} P_{yj}^0,$$

$$(i = 1, 2, ..., M3),$$
(5)

б) для контура выработки

$$\sum_{j=M6}^{M4} a_{ij}^* \overline{u}_{xj} + \sum_{j=M6}^{M4} b_{ij} \overline{u}_{yj} + \sum_{j=M6}^{M4} e_{ij} \overline{P}_{xj} + \sum_{j=M6}^{M4} f_{ij} \overline{P}_{yj} = -\sum_{j=M6}^{M4} e_{ij} P_{xj}^0 - \sum_{j=M6}^{M4} f_{ij} P_{yj}^0,$$

$$\sum_{j=M6}^{M4} c_{ij} \overline{u}_{xj} + \sum_{j=M6}^{M4} d_{ij}^* \overline{u}_{yj} + \sum_{j=M6}^{M4} g_{ij} \overline{P}_{xj} + \sum_{j=M6}^{M4} h_{ij} \overline{P}_{yj} = -\sum_{j=M6}^{M4} g_{ij} P_{xj}^0 - \sum_{j=M6}^{M4} h_{ij} P_{yj}^0,$$

$$a_{ij}^* = a_{ij} + 0.5 \delta_{ij}, \quad d_{ij}^* = d_{ij} + 0.5 \delta_{ij}, \quad (i = 1, 2, ..., M4),$$
(6)

где i — номер фиксированного элемента, j — номер элемента, в котором производится интегрирование; М — число узлов на контурах сооружения; u_{xj} , u_{yj} — компоненты искомых перемещений, α_{1j} — угол между осью x и внутренней нормалью n в j — ом элементе; δ_{ij} — символ Кронекера.

Уравнения (5) и (6) можно записать в матричной форме [1], [3]

$$\begin{bmatrix} A_{00} & B_{00} & A_{01} & B_{01} & -E_{01} & -G_{01} \\ C_{00} & D_{00} & C_{01} & D_{01} & -F_{01} & -H_{01} \\ 0 & 0 & \tilde{A}_{01} & \tilde{B}_{01} & \tilde{E}_{01} & \tilde{G}_{01} \\ 0 & 0 & \tilde{C}_{01} & \tilde{D}_{01} & \tilde{F}_{01} & \tilde{H}_{01} \end{bmatrix} \cdot \begin{bmatrix} V_{00} \\ V_{00} \\ V_{00} \\ V_{01} \\ P_{x01} \\ P_{y01} \end{bmatrix} = - \begin{bmatrix} E_{00} & G_{00} & E_{01} & G_{01} \\ F_{00} & H_{00} & F_{01} & H_{01} \\ 0 & 0 & \tilde{E}_{01} & \tilde{G}_{01} \\ 0 & 0 & \tilde{F}_{01} & \tilde{H}_{01} \end{bmatrix} \cdot \begin{bmatrix} P_{x00}^{0} \\ P_{y00}^{0} \\ P_{x01}^{0} \\ P_{y01}^{0} \end{bmatrix}$$
(7)

Векторы напряжений на контурах крепи в правой части уравнения (7) определяются по формулам (2). Коэффициенты левой части уравнения (7) имеют порядок

$$M=2N_{00}+2N_{01}+2N_{11}=2(N_{00}+N_{01}+N_{11})=2N_{00}+4N_{01}.$$

Из решения системы уравнений (7) получаем векторы перемещений и контактных напряжений, соответствующие дополнительному состоянию [4], [5]. Затем определим нормальные и тангенциальные перемещения и напряжения на контурах $S_{00},\ S_{01}$ и S_{11} соответствующие окончательному состоянию. По найденным значениям тангенциальных напряжений можно определить внутренние усилия в сечениях крепи.

Пример. В качестве примера рассматривается трансформаторное помещение Рогунской ГЭС (рисунок 2) при следующих геометрических данных:

$$a_2 = 20\text{M}$$
; $a_1 = a_2 - 2\Delta_S = 18\text{M}$; $\Delta_S = 1\text{M}$; $\Delta_P = 1\text{M}$; $h_2 = 32\text{M}$; $f_2 = 5\text{M}$; $f_1 = 4.341\text{M}$; $h_1 = h_2 - \Delta_{12} - \Delta_P = 30.66\text{M}$; $\Delta_{12} = 0.341\text{M}$; $R_1 = 11.5\text{M}$; $R_2 = 12.5\text{M}$.

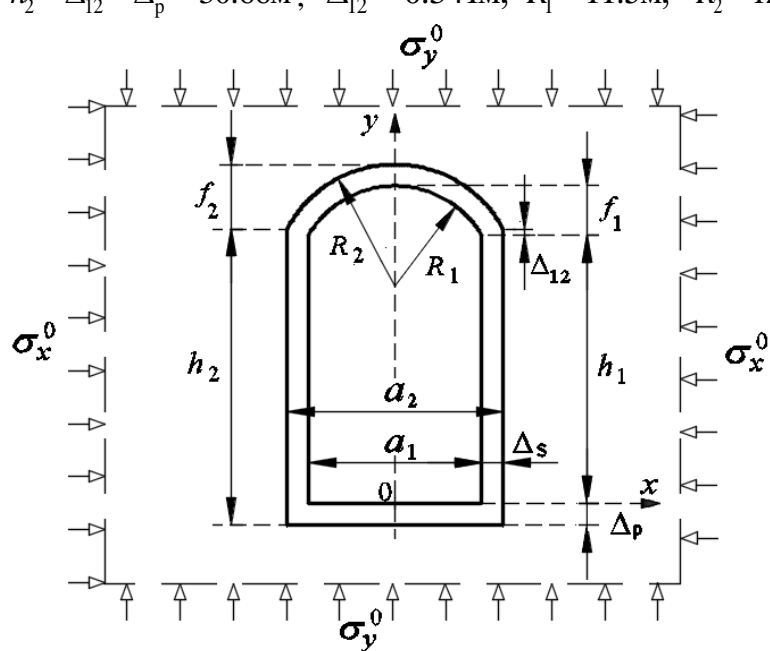


Рисунок 2 – Конструкция крепи подземного сооружения

Породный массив испытывает сжимающие напряжения [1]: $\sigma_x^o = -35 {\rm M\Pi a}$, $\sigma_y^o = -26 {\rm M\Pi a}$. Модуль деформации и коэффициент Пуассона породного массива $E_1 = 0.6 \cdot 10^4 {\rm M\Pi a}$, $v_1 = 0.3$, модуль упругости и коэффициент Пуассона крепи $E_0 = 2.5 \cdot 10^4 {\rm M\Pi a}$; $v_0 = 0.2$.

На основе вышеизложенного алгоритма получены результаты тестовой задачи. Результаты получены при разбивке каждого контура на 48 элементов (рисунок 3, a, b, b): арка разбивается на $15 \times 15 \times 15$, подошва на $9 \times 9 \times 9$, стены на $12 \times 12 \times 12$ элементов.

На рисунке 4 показаны эпюры тангенциальных и нормальных перемещений на контурах крепи от действия сжимающих напряжений (рисунок 2). Из представленных эпюр следует, что максимальные тангенциальные перемещения возникают в области опорной части арки и в узлах середины подошвы, а максимальные нормальные перемещения возникают в области середины стенки.

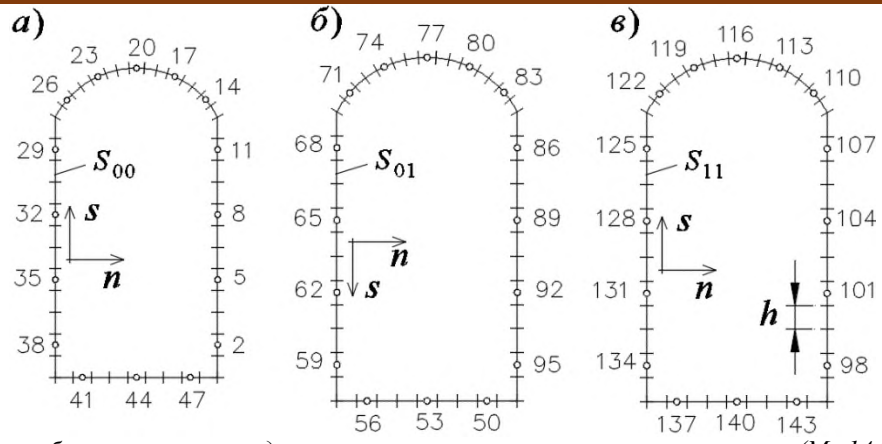


Рисунок 3 — Схема разбивки контуров подземного сооружения на граничные элементы (M=144): a — внутренний контур крепи, b — контур выработки

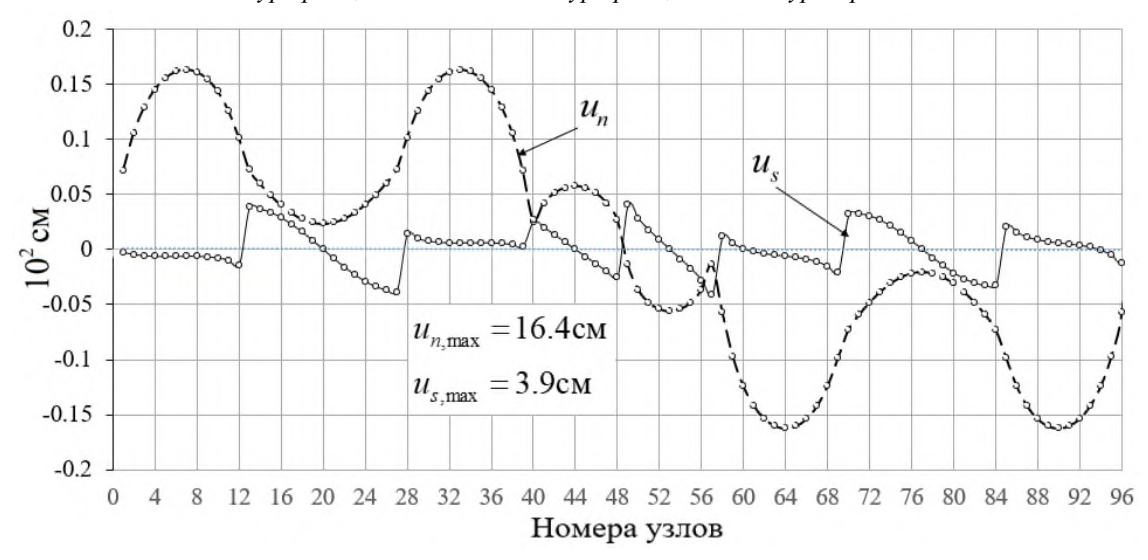


Рисунок 4 — Эпюры— нормальных (\mathcal{U}_n) и тангенциальные (\mathcal{U}_s) перемещений

Из эпюр σ_n , σ_s и τ_{ns} представленных на рисунке 5, следует, что максимальные сжимающие тангенциальные напряжения появляются в узлах 20-77, 44-53 (элементы свода и элементы середины подошвы крепи) и соответственно равняются 238.87; 212.59МПа и 115.10; 136.70МПа. Концентрация напряжений наблюдается в нижних углах крепи, где тангенциальные напряжения стремятся к бесконечности.

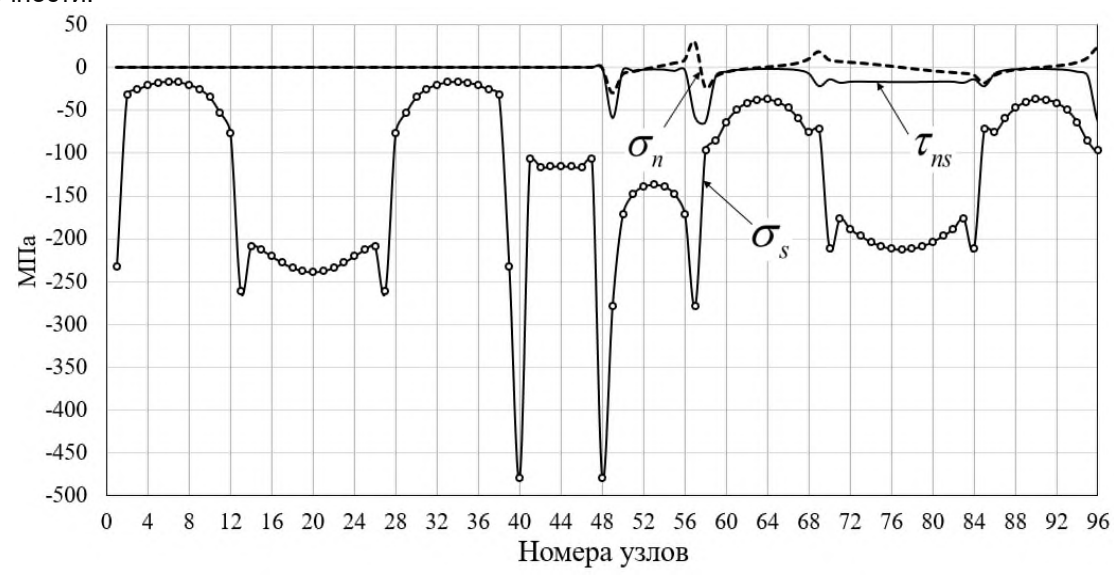


Рисунок 5 — Эпюры напряжений: σ_n — нормальные напряжения; σ_s — тангенциальные напряжения ; τ_{ns} — касательные напряжения

Внутренние силы в сечениях крепи

Внутренние силы – изгибающий момент M и продольная сила N , можно определить по формулам.

$$M = \frac{bt^2}{12} \left(\sigma_s^{\text{BH.}} - \sigma_s^{\text{Hap.}} \right); \qquad N = \frac{bt}{2} \left(\sigma_s^{\text{BH.}} - \sigma_s^{\text{Hap.}} \right), \tag{8}$$

где e=1м-длина рассматриваемого сечения крепи; $t=\Delta_{S}-$ толщина крепи

Результаты вычислений по формулам (8) приведены в таблице 1 и на рисунке $6, \delta$ для рассматриваемых сечений (рисунок 6, a)

Tr ~	1 D					
Таолина	I – Внутренние	силы в г	рассматрива	емых с	сечениях	крепи

Сечение	Соответствующие узлы, внутренние и	$\sigma_{_{s,j}}^{^{\scriptscriptstyle{ ext{ iny GH.}}}},$	$\sigma_{_{s,j}}^{\scriptscriptstyle{hap.}},$	M_j ,	N_j ,
	наружные	МПа	МПа	МН∙м	MH
1	1 - 95	-232.87	-63.40	14.11	-148.14
2	5 - 92	-17.19	-40.87	1.97	-29.03
3	8 - 89	-19.54	-39.72	1.68	-29.63
4	12 - 87	-75.83	-59.13	1.93	-67.48
5	14 - 83	-209.22	-188.30	-1.74	-198.76
6	17 - 80	-227.92	-203.48	-2.04	-215.76
7	20 - 77	-238.87	-212.59	-2.19	-225.73
8	48 - 49	-479.34	-278.56	-16.72	-378.80
9	46 - 51	-116.17	-147.54	2.61	-131.86
10	44 - 53	-115.10	-136.70	1.80	-125.90

Из рисунка 6 следует, что опасными являются сечения крепи, находящиеся в нижних углах подошвы, так как в этих сечениях имеет место максимальный изгибающий момент M и максимальная продольная сила N. Минимальные значения внутренних сил наблюдаются в области середины стенки крепи.

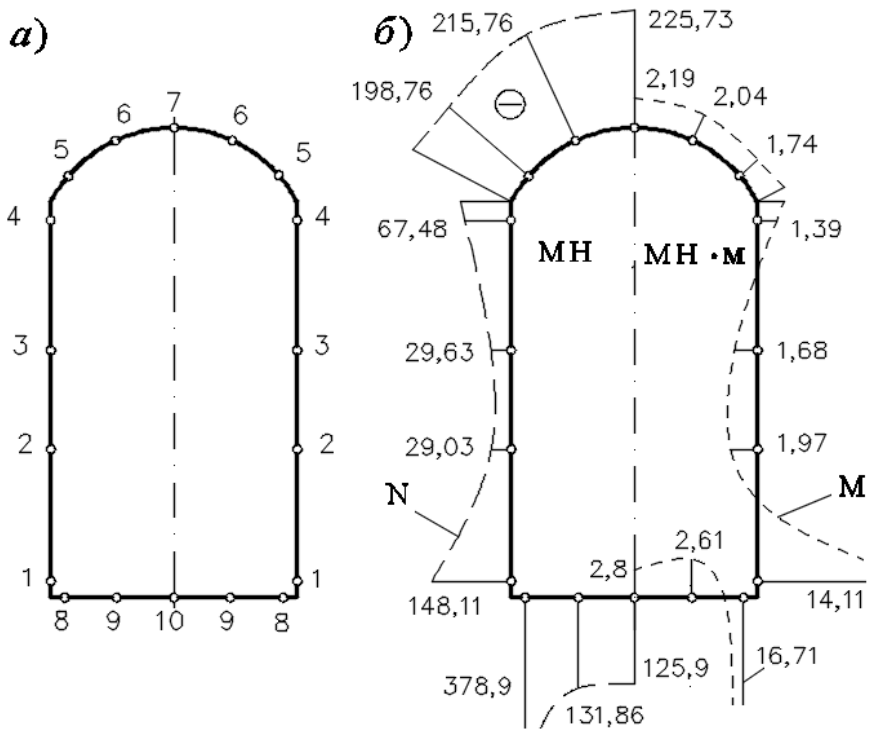


Рисунок 6 – Внутренние силы в сечениях крепи: а) рассматриваемые сечения, б) эпюра изгибающих моментов и нормальных сил

Вывод

На основе МГУ разработаны математическая модель, алгоритм расчета и компьютерная программа взаимодействия сооружения с упругим пространством в условиях плоской деформации.

Предлагаемая методика может быть использована для расчета подземных сооружений разных очертаний, взаимодействующих с грунтом при различных воздействиях.

Рецензент: Икромов И.И. — қ.т.н., доцент, заведующий қафедрой строительной механики и гидротехнические сооружения ПТАУ имени Ш. Шотемур

Литература

- 1. Низомов Д.Н. Метод граничных уравнений в решении статических и динамических задач строительной механики. М.: Изд-во Ассоциации строительных вузов (АСВ), 2000, 282 с.
- 2. Низомов Д.Н., Ходжибоев А.А., Ходжибоев О.А. Метод граничных уравнений в решении двумерных задач теории упругости. Душанбе: Дониш, 2019, 435 с.
- 3. Зарифов С.С. Численное исследование концентрации напряжений на контурах подземных сооружений методом граничных уравнений: Автореф. дисс. канд. техн. наук. Душанбе 20019, 23 с.
- 4. Низомов Д.Н., Ходжибоев А.А., Зарифов С.С. Концентрация напряжений на контуре незамкнутой крепи // Изв. АН РТ.-2012. -№2.- Вып. 147.- С. 58-63.
- 5. Низомов Д.Н., Зарифов С.С. Математическое моделирование подземных сооружений, расположенных в однородной упругой среде. Доклады НАНТ, 2022, т.65, №1-2, с. 81-87.

СВЕДЕНИЯ ОБ АВТОРАХ – МАЪЛУМОТ ДАР БОРАИ МУАЛЛИФОН – INFORMATION ABOUT AUTHORS

	ABOUT AUTHORS	
TJ	RU	EN
Зарифов Сирочиддин Садриддинович	Зарифов Сироджиддин Садриддинович	Zarifov Sirojiddin Sadriddinovich
Номзади илмхои техникй	Кандидат технических наук, старший преподаватель Таджикский технический	Candidate of technical, seniors the teacher
Донишгохи техникии Точикистон ба номи академик М.С.Осимй	Таджикский технический университет им. академика М.С.Осими	Tajik Technical University named after Academician M.S. Osimi
	zarifovsirojidin@gmail.com	
TJ	RU	EN
Саидов Римоххидин Рачабович	Саидов Римоххидин Раджабович	Saidov Rimohhidin Radzhabovich
Номзади илмхои техникй	Кандидат технических наук, старший преподаватель	Candidate of technical, seniors the teacher
Донишгохи техникии Точикистон ба номи академик М.С.Осимй	Таджикский технический университет им. академика М.С.Осими	Tajik Technical University named after Academician M.S. Osimi
	rimokhiddin@mail.ru	
TJ	RU	EN
Муминов Ихтиер Субхонкулович.	Муминов Ихтиер Субхонкулович	Muminov Ikhtiyor Subhonkulovich.
-	-	-
Донишгохи техникии Точикистон ба номи академик М.С.Осимй	Таджикский технический университет им. академика М.С.Осими	Tajik Technical University named after Academician M.S. Osimi
	imuminov86@gmail.com	

УДК 624

АНАЛИЗ ТИПОВ КРЕПИ ПОРОДЫ НА УЧАСТКЕ РАЗВЕТВЛЕНИЯ СТ-4 С МЕТОДОМ КОНЕЧНО-ЭЛЕМЕНТНОГО МОДЕЛИРОВАНИЯ

М.Х. Саидов, Н.М. Хасанов, Д.К. Давронов

Таджикский технический университет имени академика М.С.Осими

В статье приведены крепи породы, предложенные в результате применения эмпирических методов проектирования, расчетов стабильности для подземных клиньев и К-Э расчетов разветвления СТ-4 и формы. Для толщины бетонной обделки и размера сечений в этой части тоннеля в пикетах от 12+37 м до 13+57 м, который включает участок от начала зоны разветвления вплоть до нижней камеры затворов, было рекомендовано 8 типов крепи породы. Свойства материалов для крепи породы, которые использованы в К-Э моделях включают торкрет-бетон, армоцементные анкеры и сварную арматурную сетку. Свойства материалов двух типов железобетонной обделки включают монолитный бетон марки С25/30 и стальные арки IPE 240 мм или IPE 350 мм.

Ключевые слова: разветвления, тоннель, арматура, оборудование, механизмы, армирование, методы, земляные работы, крепь

ТАХЛИЛИ СИСТЕМАИ МУСТАХКАМКУНИИ ЧИНСХОИ КЎХЙ ДАР МИНТАҚАИ ШОХАБАНДИИ СТ-4 БО УСУЛИ АЗ МОДЕЛСОЗИИ ЭЛЕМЕНТАРИИ НИХОЙ

М.Х. Саидов, Н.М. Хасанов, Д.К. Давронов

Дар макола устуворкунии чинсхои куҳй, ки дар натичаи истифодаи усулҳои тарҳрезии эмпирикй, ҳисобҳои устувории качиҳои зеризаминй ва ҳисобҳои М-Э барои шоҳаҳои СТ-4 ва шакл пешниҳод шудаанд, оварда шудаант. Ғафсии қабати бетонй ва андозаи буришҳо дар ин кисмати накб дар пикетҳо аз 12+37 м то 13+57 м, ки қисматро аз ибтидои минтақаи шоҳадор то камераи поёнии клапанҳо дарбар мегирад, 8 намуди устуворкунии чинсҳои куҳй тавсия дода шуд. Хусусиятҳои мавод барои мустаҳкамкунии чинсҳои куҳй, ки дар моделҳои М-Э истифода мешаванд, аз чумла торкрет- бетонй, лангарҳои арматураи сементй ва торҳои арматураи кафшершуда. Хусусиятҳои ду намуди масолеҳи оҳану бетонй, аз чумла бетони монолитии дарачаи С25/30 ва камонҳои пулоди IPE 240 мм ё IPE 350 мм.

Калидвожахо: шохахо, нақб, арматура, та*ч*ұизот, механизмҳо, арматуракунонї, усулҳо, корҳои заминканӣ, мустаҳкамкунӣ

ANALYSIS OF ROCK SUPPORT TYPES AT THE ST-4 BRANCHING SECTION WITH FINITE ELEMENT MODELING METHOD

M.H. Saidov, N.M. Hasanov, D.Q. Davronov

The paper presents rock supports proposed as a result of empirical design methods, stability calculations for underground wedges and K-E calculations of ST-4 branching and form. The thickness of concrete lining and section size in this part of the tunnel in the pickets from 12+37 m to 13+57 m, which includes the section from the beginning of the branching zone up to the lower gate chamber, 8 types of rock supports were recommended.

Keywords: branching, tunnel, reinforcement, equipment, mechanisms, reinforcement, methods, excavation works, bracing

Введение

Для проектирования крепи породы для участка разветвления (от пикета 12+37 м до 13+57 м вдоль тоннеля СТ-4) было выполнено математическое моделирование нескольких сечений данных подземных проходок с целью анализа напряжений сразу же после проходки и также после монтажа системы крепи.

С целью математического анализа использовалась программа на основе конечно-элементного метода RS2 ver. 9.0, разработанная RocScience Co., Торонто, Канада. Данная программа способна решать широкий спектр задач в области горного дела и проектирования сооружений. Известно, что достоверность результатов расчетов для каждой программы зависит от метода моделирования и, в частности, от точности исходных данных. Чем точнее геологические и геомеханические параметры, тем надежнее результаты расчетов. Тем не менее, поскольку точное моделирование условий грунта обычно обеспечить очень сложно или даже невозможно, то неизбежно приходится использовать некоторые упрощенные допущения.

Для математических расчетов СТ-4 были приняты следующие общие допущения и критерии: -горные массивы являются сплошными средами и являются упруго- пластичными;

- -для 2-х-мерных расчетов принято плоское деформированное состояние;
- -к горным массивам применяется критерий разрушения Хоек и Браун;
- -внешние границы моделей находятся на расстоянии, равном пяти диаметрам.

Материалы и методы исследования

Что касается геологических и геометрических условий вдоль тоннеля СТ-4 и различных типов временных систем крепи, то для анализа напряжений было использовано шесть К-Э моделей:

-сечение 1 моделируется для тоннеля в начале разветвления СТ-4 между пикетами 12+41 м и 12+43 м с временной системой крепи тип VIII. Система включает торкрет-бетон (толщиной 5 см), стальные арки IPE 240 мм с шагом @1.00 м и монолитный бетон C25/30 толщиной 35 см (C25/30:

цилиндрический/кубический образец бетона в МПа). В этой К-Э модели монолитный бетон вдоль стальной арки моделируется как бетонная обделка;

-сечение 2 моделируется для промежуточной части разветвления СТ-4 между пикетами 12+43 м и 12+49 м с временной системой крепи тип IX. Система включает торкрет-бетон (толщиной 5 см), стальные арки IPE 300 мм с шагом @1.00 м и монолитный бетон C25/30 толщиной 40 см с армоцементными анкерами длиной L= 5.85 м, $2x\emptyset32$ мм, @ 1.0x1.5 м. В этой K-Э модели монолитный бетон вдоль стальной арки моделируется как бетонная обделка;

-сечение 3 моделируется для средней части разветвления СТ-4 между пикетами 12+49 м и 12+56 м с временной системой крепи тип X. Система включает торкрет-бетон (толщиной 5 см), стальные арки IPE 300 мм с шагом @1.00 м и монолитный бетон C25/30 толщиной 40 см с армоцементными анкерами длиной L= 5.85 м, 2х⊘32 мм, шагом (@) 1.0х1.5 м. В этой К-Э модели монолитный бетон вдоль стальной арки моделируется как бетонная обделка;

-сечение 4 моделируется для разветвления СТ-4 с наибольшим пролетом между пикетами 12+56 м и 12+66 м с временной системой крепи тип XI. Система включает торкрет-бетон (толщиной 5 см), стальные арки IPE 300 мм с шагом @1.00 м и монолитный бетон C25/30 толщиной 45 см с армоцементными анкерами длиной L= 5.85 м, $2x\emptyset32$ мм, @ 1.0x1.5 м. В этой K-Э модели монолитный бетон вдоль стальной арки моделируется как бетонная обделка;

-сечение 5 моделируется для двойных тоннелей сразу же после разветвления СТ-4 с наибольшим пролетом между пикетами 12+66 м и 12+87 м с временной системой крепи тип XII. Система включает торкрет-бетон (толщиной 5 см), стальные арки IPE 240 мм с шагом @1.00 м и монолитный бетон С25/30 толщиной 35 см. В этой К-Э модели монолитный бетон вдоль стальной арки моделируется как бетонная обделка;

-сечение 6 моделируется для двойных тоннелей внизу разветвления СТ-4 между пикетами 12+87 м и 13+23 м с временной системой крепи тип XIII. Система включает торкрет-бетон (толщиной 5 см), стальные арки IPE 240 мм с шагом @1.00 м и монолитный бетон C25/30 толщиной 35 см. В этой К-Э модели монолитный бетон вдоль стальной арки моделируется как бетонная обделка;

-сечение 7 моделируется для двойных тоннелей перед камерой затворов СТ-4 между пикетами 13+23 м и 13+57 м с временной системой крепи тип XIV. Система включает торкрет-бетон (толщиной 5 см), стальные арки IPE 240 мм с шагом @1.00 м и монолитный бетон C25/30 толщиной 35 см. В этой К-Э модели монолитный бетон вдоль стальной арки моделируется как бетонная обделка.

Свойства материалов для крепи пород, которые использованы в К-Э моделях включают торкретбетон, армоцементные анкеры и сварную арматурную сетку. Свойства материалов двух типов железобетонной обделки включают монолитный бетон марки C25/30 и стальные арки IPE 240 мм или IPE 300 мм, представленные на рисунке 1.

Анализы чувствительности для напряжений по месту залегания пород (K = 1.3 и K = 0.75) были выполнены для всех сечений, а результаты для сечений 1 и 4 представлены как примерные расчетные случаи. Для упрощения создания K-Э моделей торкрет-бетон и монолитный бетон моделировались как единый элемент, т.е. бетонная обделка.

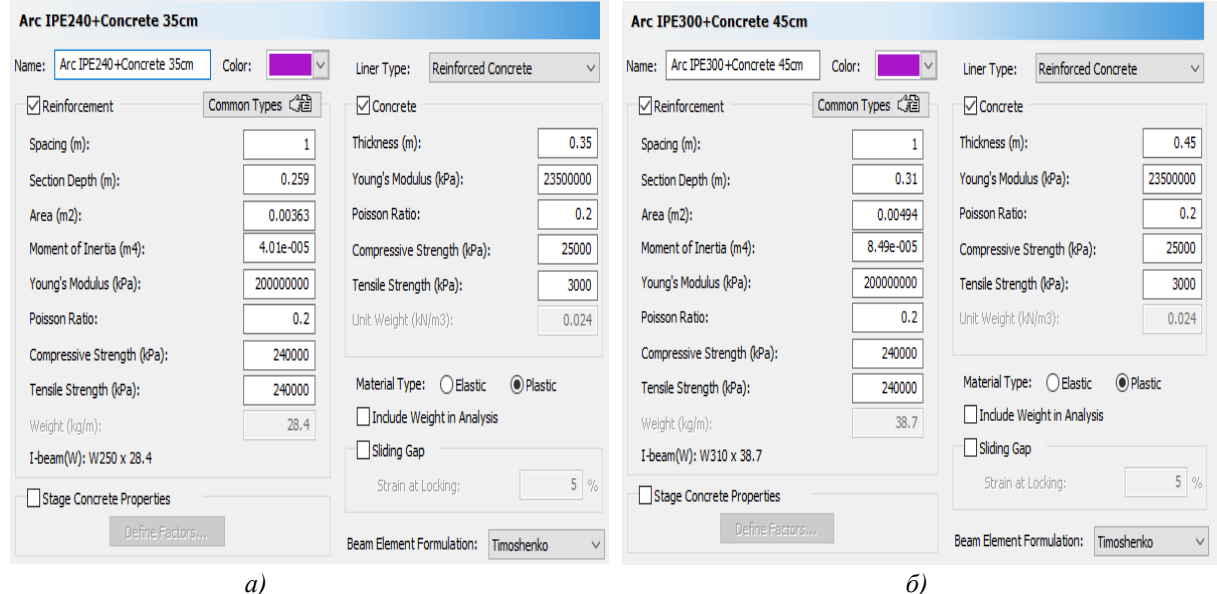


Рисунок 1 – Свойства материалов для временной крепи, включая a) стальную арку IPE 240 мм и монолитный бетон C25/30 толщиной 35 см; б) стальную арку IPE 300 мм и монолитный бетон C25/30 толщиной 45 см

Результаты и обсуждения. К-Э расчеты сечения 1 в пикетах от 12+37 м до 12+43 м К-Э расчет сечения 1-K=1.3 и $\alpha=0^\circ$

Модель была разработана для D-образной формы сечения тоннеля CT-4 в начале разветвления (сечение 1), от пикета 12+37 м до пикета 12+43 м, где будет установлена система крепи тип VIII, включающая торкрет-бетон толщиной 5 см, монолитный бетон толщиной 35 см марки C25/30 со стальными арками IPE240 мм с шагом @1.0 м. Габариты тоннеля CT-4 в этой модели после проходки составляют 19.65м в высоту и 20.80м в ширину, в этом месте вокруг тоннеля залегают породы нижнеобигармской свиты (K1ob1) вблизи контакта с верхнеобигармской свитой (K1ob2), которая преимущественно сложена чередованием песчаников и иловатых песчаников.

В данном К-Э расчете горный массив K1ob1 вокруг тоннеля моделировался как упругопластический материал, где в режиме пластичности прочностные параметры ухудшаются. Механические параметры горного массива K1ob1 представлены в таблице 1.

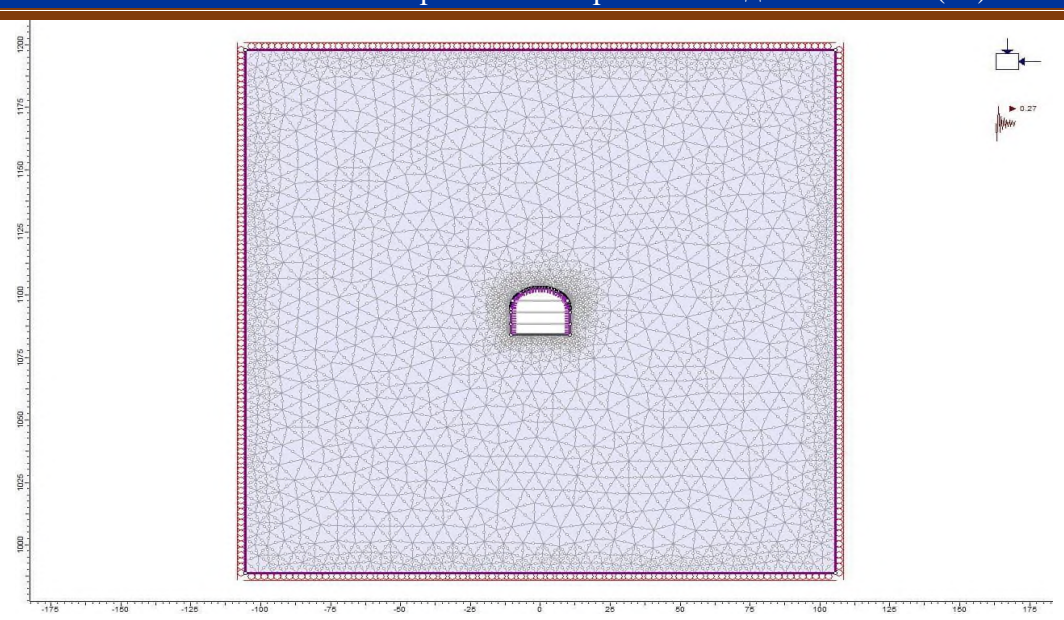
Таблица 1 — Моделирование СТ-4 в сечении 1 от пикета 12+37 м до пикета 12+43 м (крепь породы тип VIII) в 11 этапов, Π У Γ =0.27g

	31anos, 1131 –		эяжений при	последовател	іьных этапах
		_	_	установки крег	
Этапы	Описание	Передовой забой	уступ 1	уступ 2	уступ 3
Этап 1	Состояние напряжения по месту, предполагая указанные выше напряжения до начала работ (с учетом толщины вскрышных пород 170 м), удельный вес 26 кН/м3, условия плоской деформации	-	ı	-	-
Этап 2	Проходка свода	50%	-	-	-
Этап 3	Монтаж временной системы крепи на своде: торкрет-бетон толщиной 5 см, монолитный бетон толщиной 35 см марка C25/30 и стальные арки IPE240 мм с шагом @1.0 м	60%	-	-	-
Этап 4	Проходка уступа 1	70%	60%	-	-
Этап 5	Монтаж временной системы крепи на боковых стенках уступа 1: торкрет-бетон толщиной 5 см, монолитный бетон толщиной 35 см марка C25/30 и стальные арки IPE240 мм с шагом @1.0 м	80%	70%	-	-
Этап 6	Проходка уступа 2	90%	80%	70%	-
Этап 7	Монтаж временной системы крепи на боковых стенках уступа 2: торкрет-бетон толщиной 5 см, монолитный бетон толщиной 35 см марка C25/30 и стальные арки IPE240 мм с шагом @1.0 м	100%	90%	80%	-
Этап 8	Проходка уступа 3	100%	100%	90%	80%
Этап 9	Монтаж временной системы крепи на боковых стенках уступа 3: торкрет-бетон толщиной 5 см, монолитный бетон толщиной 35 см марка C25/30 и стальные арки IPE240 мм с шагом @ 1.0 м	100%	100%	100%	95%
Этап 10	Завершение проходки и монтажа крепи	100%	100%	100%	100%
Этап 11	Активация сейсмической нагрузки, эквивалентной ПЗ (ПУГ=0.27g)	100%	100%	100%	100%

Рисунок 1 показывает общий вид K-Э модели CT-4 в сечении 1 в период активизации сейсмической нагрузки, которая активизируется на этапе 10 (ПУГ=0.27g). Увеличенный фрагмент K-Э модели этого сечения на этапе 11 показан на рисунке 2.

На рисунке 3 показаны сигма 1 и деформированные элементы вокруг разветвления СТ-4 в сечении 1 на этапе 11. Сигма 3 и осевые усилия в обделке (стальные арки и монолитный бетон) на этапе 11 показаны на рисунке 4. Далее на рисунке 5 показаны коэффициент запаса прочности и изгибающий момент в обделке, а на рисунке 6 представлены общее смещение и усилия сдвига в обделке. Несущая способность стальных арок и монолитного бетона показана на рисунке 7.

Анализ напряжений показал, что меры по укреплению породы, предусмотренные для данного сечения, будут функциональными на различных этапах. Отмечается, что даже при применении сейсмической нагрузки, эквивалентной землетрясению, которое может произойти при проходке СТ-4 (ПЗ = 0.27g), стабильность тоннеля СТ-4 в сечении 1 будет обеспечена, и туннель сохранит свою функциональность после такой нагрузки.



Pисунок 1-Oбщий вид K-Э модели разветвления CT-4 в сечении 1

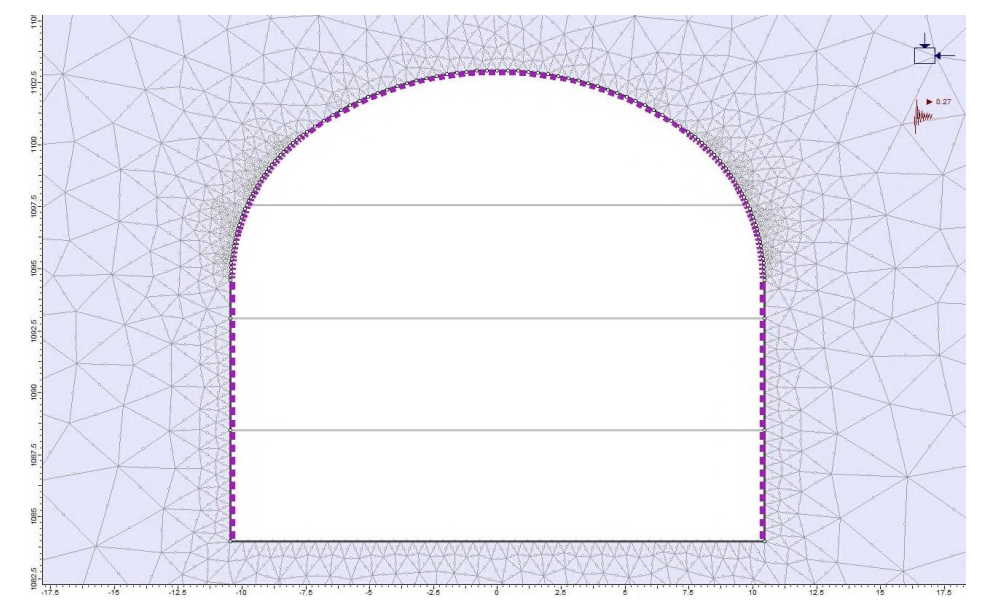


Рисунок 2 – Увеличенный фрагмент К-Э модели разветвления СТ-4 в сечении 1

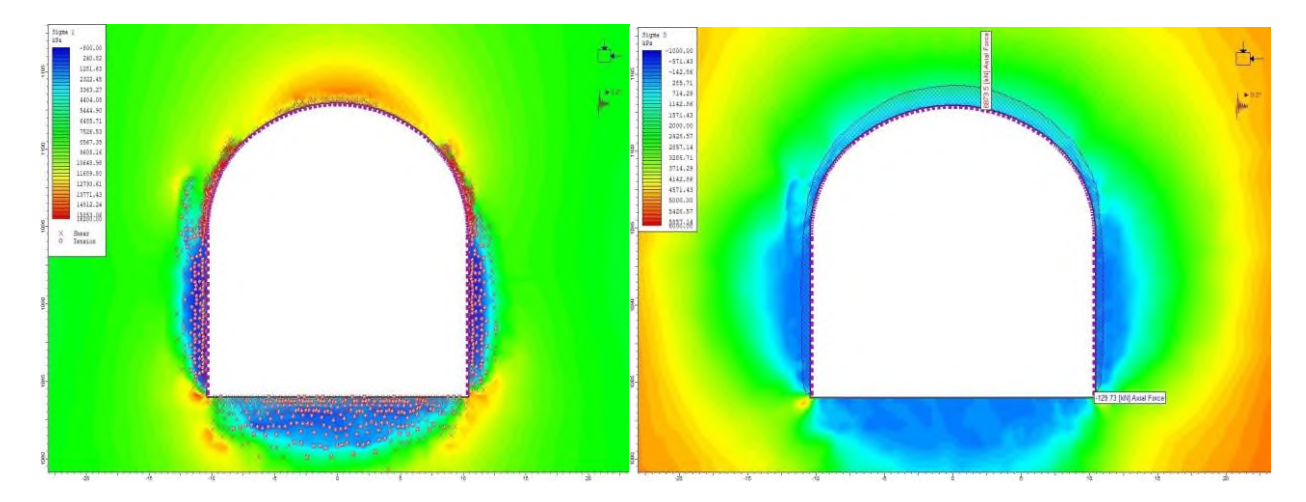


Рисунок 3 — Сигма 1 и деформированные элементы вокруг разветвления CT-4

Рисунок 4 — Сигма 3 и осевые усилия в облицовке разветвления CT-4

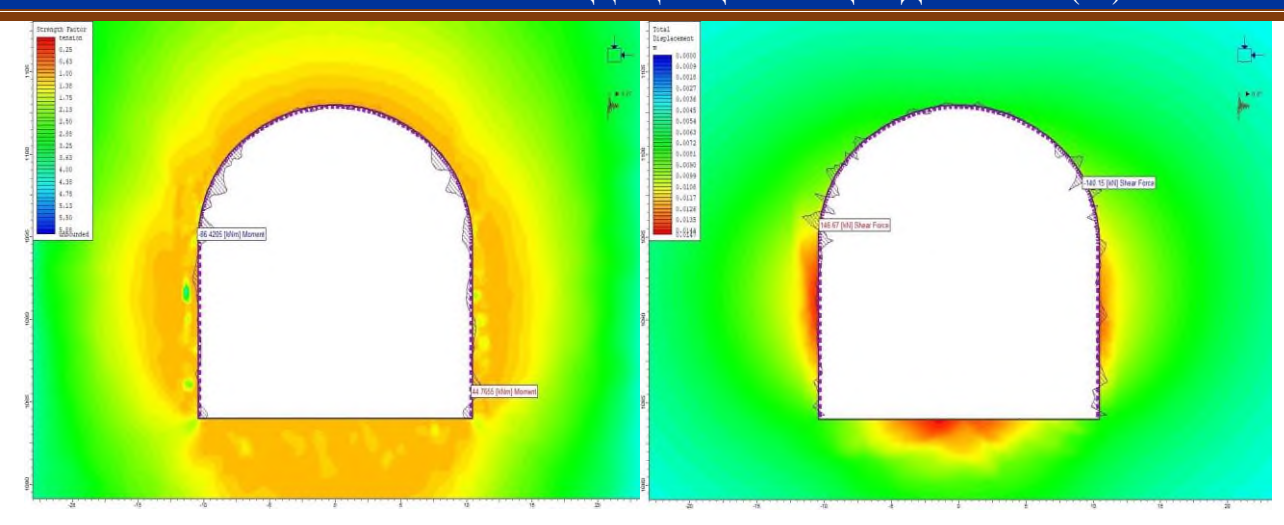


Рисунок 5 — Сигма 1 и деформированные элементы вокруг разветвления CT-4

Рисунок 6 – Сигма 3 и осевые усилия в облицовке разветвления CT-4

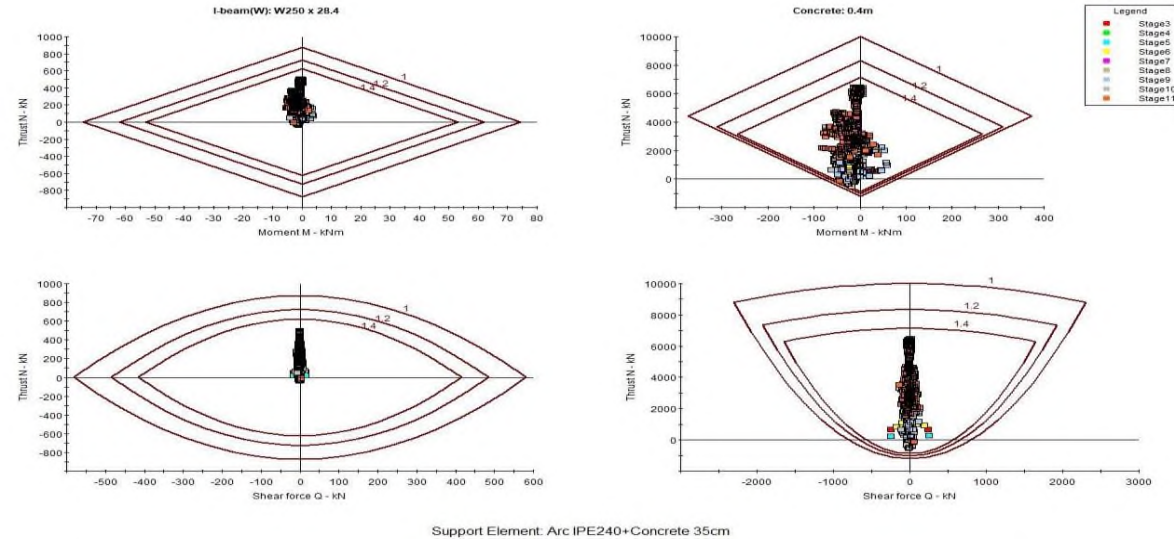


Рисунок 7 – Несущая способность стальных арок и монолитного бетона в сечении 1 разветвления СТ-4

Выводы

Модель была разработана для D-образной формы сечения тоннеля СТ-4 в промежуточной части разветвления аналогично К-Э расчетов в сечениях 2-7.

Анализы напряжений показали, что меры по укреплению породы, предусмотренные для всего сечения, будут функциональными на различных этапах. Отмечается, что даже при применении сейсмической нагрузки, эквивалентной землетрясению, которое может произойти при проходке СТ-4 (ПЗ = 0.27g), стабильность тоннеля СТ-4 во всех сечениях будет обеспечена, и тоннель будет функциональным даже после такой нагрузки.

Таблица 2 – Классы крепи породы, рекомендуемые для участка разветвления СТ-4

T	таолица 2 теле	1 1 1		м для у пастка ра		
Тип		Значения	Торкрет-	Армоцементные	Монолит-	Стальная арка
крепи	Пикеты (м)	Q и GSI	бетон	анкеры	ный бетон	
					C20/25	
III-a (1)	12+37 ~ 12+41	1.88 < Q < 5.19	толщина 5	-	толщина 40	IPE 300 мм,
		50 < GSI < 55	СМ		СМ	с шагом 1 м
					C25/30 ⁽²⁾	
VIII	12+41 ~	1.88 < Q < 5.19	толщина 5	=	толщина 35	IPE 240 мм,
	12+43	50 < GSI < 55	СМ		СМ	с шагом 1 м
				2 xØ32mm, L =	C25/30	
IX & X	12+43 ~ 12+49	1.88 < Q < 5.19	толщина 5	5.85 м @ 1.0×1.5	толщина 40	IPE 300 мм,
(3)	12+49 ~ 12+56	50 < GSI < 55	СМ	м на своде	СМ	с шагом 1 м

Окончание таблицы 2 $2 \times Ø32mm, L =$ C25/30 XI (4) 12+56 ~ 12+66 0.63 < Q < 1.735.85 м @ 1.0×1.5 толщина 5 толщина 45 IPE 300 MM, 50 < GSI < 55 см м на своде см с шагом 1 м C25/30 12+66 ~ 12+87 XII. XIII 12+87 ~ 13+23 0.63 < O < 3.89IPE 240 mm. толшина 5 толшина 35 $13+23 \sim 13+57$ 50 < GSI < 55 и XIV см см с шагом 1 м

Рецензент: Эмомов К,Ф. — қ.т.н., Зам. директор Института водных проблем, гидроэнергетики и экологии

Литература

- 1. Hydroproject Institute Moscow HPI: various geological maps and vertical section of Lot 3 and Lot 4; 2014 and 2015.// ГПИ, Москва: различные геологические карты и вертикальный разрез по Лоту 3 и Лоту 4, 2014 и 2015 гг.
- 2. Main Dept. of Geology, Govt. of Rep. of Tajikistan, Unitary Enterprise "South Tajik; Prospecting": Geological Map, right bank of the Rogun hydroelectric; 2012.// Главное управление геологии при Правительстве Республики Таджикистан, Унитарное предприятие «Южно-Таджикская геологоразведочная экспедиция»: геологическая карта, правый берег проекта Рогунской ГЭС, 2012 г.
- 3. TEAS Techno-Economic Assessment Study for Rogun Hydroelectric Construction Project Phase II: Project Definition Options Volume 2: Basic Data Chapter 2: Geology, Part B Geological Investigation in the Right Bank, incl. Annexures; Report No. P.002378 RP 29 rev. E; March 2014. // Технико-экономическое обоснование проекта строительства Рогунской ГЭС Этап II: Варианты определения проекта
- 4. Том 2: Основные данные Глава 2: Геология, часть В Геологические изыскания по правому берегу, вкл. Приложения, отчет № P.002378 RP 29 ред. E; март 2014
- 5. TEAS Techno-Economic Assessment Study for Rogun Hydroelectric Construction Project Phase II: Project Definition Options Volume 2: Basic Data Chapter 4: Seismicity; Report No. P.002378 RP 33 rev. F; March 2014.// Технико-экономическое обоснование проекта строительства Рогунской ГЭС Этап II: Варианты определения проекта –Том 2: Основные данные Глава 4: Сейсмичность, отчет № P.002378 RP 33 ред. F; март 2014
- 6. TEAS Techno-Economic Assessment Study for Rogun Hydroelectric Construction Project Phase II: Project Definition Options Volume 2: Basic Data Chapter 2: Geology, Part A Assessment of Geological Conditions; Report No. P.002378 RP 34 rev. B; March 2014. // Технико-экономическое обоснование проекта строительства.
- 7. AFRY-Samanian: Rogun HPP Level 1 Design Right Bank 3D Model, May 2019// Проект Уровня 1 Правый берег 3-х мерная модель, май 2019 г.
- 8. Хасанов Н.М., Саидов М.Х., Хасанов М.Н. Применение КИА для измерений гидравлических параметров в тоннеле СТ-4 Рогунской ГЭС // Теоретический и научно-практический журнал. Кишоварз. ТАУ.2024.№1.-С.115-121
- 9. Хасанов Н.М., Саидов М.Х., Хасанов М.Н. Геотехнической мониторинг контрольной измерительной аппаратурой для СТ-4 Рогунской ГЭС // Политехнический Вестник №4. ТТУ, 2023. -C.120-128

МАЪЛУМОТ ОИД БА МУАЛЛИФОН-СВЕДЕНИЯ ОБ ABTOPAX- AUTHORS BACKGROUND

RU	ТЈ	EN
Саидов Мансур Хамрокулович	Саидов Мансур Хамрокулович	Saidov Mansur Khamrokulovich
кандидат технических наук, доцент кафедры «Теоретическая механика и сопротивление материалов»	номзади илмхои техникй, дотсенти кафедраи «Механикаи назарявй ва муковимати мавод»	Candidate of Technical Sciences, Associate Professor of the Department of Theoretical Mechanics and Resistance of Materials
Таджикский технический университет имени академика М.С.Осими	Донишгохи техникии Точикистон ба номи академик М.С. Осимй	Tajik Technical University named after Academician M.S. Osimi
RU	TJ	EN
Хасанов Нурали Мамедович	Хасанов Нуралй Мамедович	Khasanov Nurali Mamedovich
Доктор технических наук, и.о. проф. кафедры «Основания, фундаменты и подземные сооружения»	Доктори илмхои техникй и.в. проф, кафедраи «Асосхо, тахкурсихо ва иншоотхои зеризаминй»	Doctor of Technical Sciences, Associate Professor, Department of Foundations, Foundations and Underground Structures
Таджикский технический университет имени академика М.С.Осими	Донишгохи техникии Точикистон ба номи академик М.С. Осимй	Tajik Technical University named after Academician M.S. Osimi
	Khasanov.nurali@mail.ru	
RU	TJ	EN
Давронов Диловар Курбоназарович	Давронов Диловар Курбоназарович	Davronov Dilovar Kurbonazarovich
Соискатель кафедры «Основания, фундаменты и подземные сооружения»	Унвончў кафедраи «Асосхо, тахкурсихо ва иншоотхои зеризаминй»	Applicant of the Chair "Foundations, Foundations and Underground Structures"
Таджикский технический университет имени академика М.С .Осими	Донишгохи техникии Точикистон ба номи академик М.С. Осимй	Tajik Technical University named after Academician M.S. Osimi

УДК 624.04

ТАДҚИҚОТИ ДИАФРАГМАИ МАЗБУТЙ БО МЕТОДИ ДЕФОРМАТСИЯХОИ МУТАМАРКАЗШУДА

Р.Р. Саидов, И.С. Муминов, С.С. Зарифов, И.Ш. Ашуров

Таджикский технический университет имени академика М.С. Осими

Дар макола натичахои масъалаи моделсозии ададии диафрагмаи мазбутй бо суролхй ва бе сурохй дар асоси чандир бо се зариби болин бо методи деформатсияхои мутамарказшуда (МДМ) оварда шудааст. Тахкикоти чамшавии шиддат дар хамвории бо сурохихо суст кардашуда аз таъсироти гуногун яке аз масъалахои муракаб мебошад. Натичахои хисоби бадастомадаи диафрагмаи мазбутй бо сурохихо бо методи МДМ ба натичахои бадастомадаи методи элементхои охирнок (МЭО) мукоиса карда шудаст.

Вожахои калидй: диафрагмаи мазбутй, моделсозии ададй, методи деформатсияхои мутамарказшуда, асоси чандир, шиддати нормалй, консентратсияи шиддатхо.

ИССЛЕДОВАНИЕ ДИАФРАГМЫ ЖЕСТКОСТИ МЕТОДОМ СОСРЕДОТОЧЕННЫХ ДЕФОРМАЦИЙ

Р.Р. Саидов, И.С. Муминов, С.С. Зарифов, И.Ш. Ашуров

В статье рассмотрены результаты численного моделирования задачи диафрагмы жесткости с отверстиями и без отверстий на упругом основании с тремя коэффициентами постели методом сосредоточенных деформаций (МСД). Сложную проблему представляет также исследование концентрации напряжений в плоскости, ослабленной отверстиями при различных воздействиях. Полученные результаты расчета диафрагмы жесткости с отверстиями по МСД сопоставлены с данными, полученными по методу конечных элементов (МКЭ).

Ключевые слова: диафрагма жесткости, численное моделирование, метод сосредоточенных деформаций, упругое основание, нормальные напряжения, концентрация напряжений.

RESEARCH OF THE RIGIDITY DIAPHRAGM USING THE CONCENTRATE DEFORMATION METHOD

R.R. Saidov, I.S. Muminov, S.S. Zarifov, I.Sh. Ashurov

The article presents the results of numerical simulation of the stiffness diaphragm problem on an elastic base with three bed coefficients using the method of concentrated deformations (MCD). The obtained results of calculating the stiffness diaphragm with holes according to the MCD are compared with data obtained by the finite element method (FEM).

Keywords: A rigidity diaphragm, numerical modelling, a method of the concentrated deformations, the elastic basis, normal pressure, concentration of pressure.

Муқаддима

Диафрагмаи мазбутй яке аз элементхои асосии борбардори бинохои истикоматй ва чамъиятй буда, кори бехатарии онхоро таъмин мекунад. Вазифаи асосии диафрагмаи мазбутй (бо сурохй ё бе сурохй) аз он иборат аст, ки куввахои сейсмикии уфукй тавассути дискхои болопуш ба онхо интикол дода шаванд. Диафрагмахои мазбут барои бинохои баландошёна одатан дар тахкурсии плитахои монолитй насб карда мешаванд, ки дар навбати худ ба тахкурсии чандир такя мекунанд. Онхо як кисми амудй ва кисми асосии уфукии борхои ба бино таъсиркунандаро кабул намуда, ба тахкурсй интикол медиханд. Аз ин ру, масъалаи омузиши консентратсияи шиддатхои диафрагмахои мазбут дар тахкурсии чандир аз таъсири бори уфукй актуалй мебошад. Дар кори [3] барои хисоб кардани диафрагмахои мазбут бо методи деформатсияхои мутамарказшуда, бо назардошти дарзхои вокей бидуни мувофикати нармии асос ба даст оварда шуданд.

Дар амалияи тадқиқоти илмй ва ҳисобҳои муҳандисй дар соҳаи мустаҳкамй бештар ба истифода бурдани методҳои тахминии ададии ҳалли масъалаҳои механикаи ҷисмҳои сахти деформатсияшаванда машғул мешаванд. Дар ин мақола ҳалли ададии масъалаи статикй оид ба ҳисоб кардани диафрагмаи мазбутй бо сўрохиҳо дар шартҳои гуногуни канорй мувофиқ ба нармии асос бо МДМ дида баромада мешавад [1,2,4,5,6]. Хусусияти фарқкунандаи методи деформатсияҳои мутамарказшуда дар он аст, ки он имкон медиҳад, нармии дарзҳои воҳеии конструксияи биноҳо ва иншоот дар масъалаҳои расишй (контактй) ба назар гирифта шавад.

Гузориш ва ҳалли масъала

Системаи муодилахои алгебрави бо методи деформатсияхои мутамарказшуда дар намуди зерин навишта шудааст

$$RU = P. (1)$$

дар ин чо $R = ACA^{\mathrm{T}}$ - матритсаи мазбутии берунй, A — матритсаи росткунчаи зарибхои андозаи $n \times m$, A^{T} — матритсаи транспонишудаи зарибхои A, C — матритсаи мазбутии дохилй, U — матритсаи

чойивазкунихои чусташаванда, P- матритсаи қуввахои берунй. Бояд гуфт, ки МДМ имкон медихад, ки хангоми ташаккули матритсаи мазбутии дохилй $\,C\,$ деформатсияи дарзхои вокей ба назар гирифта шавад [5]. Аз халли (1) чойивазкунихо муайян карда шуда, баъд деформатсияхо ва куввахои дохилй хисоб карда мешаванд:

$$D = -A^{\mathsf{T}}U, \quad S = KD. \tag{2}$$

 $D = -A^{\mathrm{T}}U\,, \quad S = KD\,.$ (2) Алгоритми ҳисобкунӣ бо МДМ чунин аст. Системаҳои муодилаҳои мувозинат барои унсурҳои охирноки МДМ тартиб дода, матритсаи $\,A\,$ ташкил карда мешавад, ва пас аз транспоникунй мо матритсаи A^{T} – ро ба даст меорем. Тахмин меравад, ки хар як элементи диафрагма се дарачаи озодй дорад. Фарз мекунем, ки хар як элемент ба унсурхои атроф бо истифода аз дарзхои комплесй, ки дар онхо деформатсияи элемент ва дарз мутамарказ пайваст карда мешавад, матритсаи мазбутии дохилй $\,C\,$ ба вучуд меояд. Сипас матритсаи мазбутии берунй $K = ACA^{\mathrm{T}}$ ташаккул меёбад. Дар асоси боргузории додашуда ва вазни хоси конструксияхо вектори аъзохои озод $\,P\,$ ташкил карда мешавад. Аз халли системаи муодилахо (1) бо усули итератсияи Зайдел вектори чойивазкунихои чусташаванда $\,U\,$ муайян карда мешавад. Бо истифода аз формулахои (2) векторхои деформатсияхои $\,D\,$ ва қуввахои дохилй ${f S}\,$ хисоб карда мешаванд. Элементхои вектори куввахои дохилй, кувваи нормалй (тулй), моменти хамкунанда ва кувваи арзй дар руяхои элементхои канории МДМ мебошанд.

Дар асоси модели риёзии тахияшудаи МДМ барномаи компютерй тартиб дода шуда, натичахои хисобкунии диафрагмаи сахтй ба схемахои гуногуни конструкторй мувофиканд, ба даст оварда шуданд.

Методи халли масъала

Ба сифати мисол хисоб кардани диафрагмаи росткунчаи мазбутро бо панч сўрохии росткунча зери таъсири боргузории баробар тақсимшуда дар руяи амуди тадқиқот гузаронида мешавад (расми 1). Элементхои канории методи деформатсияхои мутамарказшуда дар расми 2 нишон дода шудааст. Натичахои диафрагмаи мазбутии модели хисобй бо додашудахои зерин ба даст оварда шуданд:

$$q = 1 \text{ TC/M}; \ L_x = 5.5 \text{ M}; \ L_y = 15.5 \text{ M}; \ \delta = 0.2 \text{ M};$$

 $E = 2 \cdot 10^6 \text{ M}\Pi\text{ a}; \ \mu = 0.3; \ a = 1.5 \text{ M}; \ b = 2 \text{ M},$

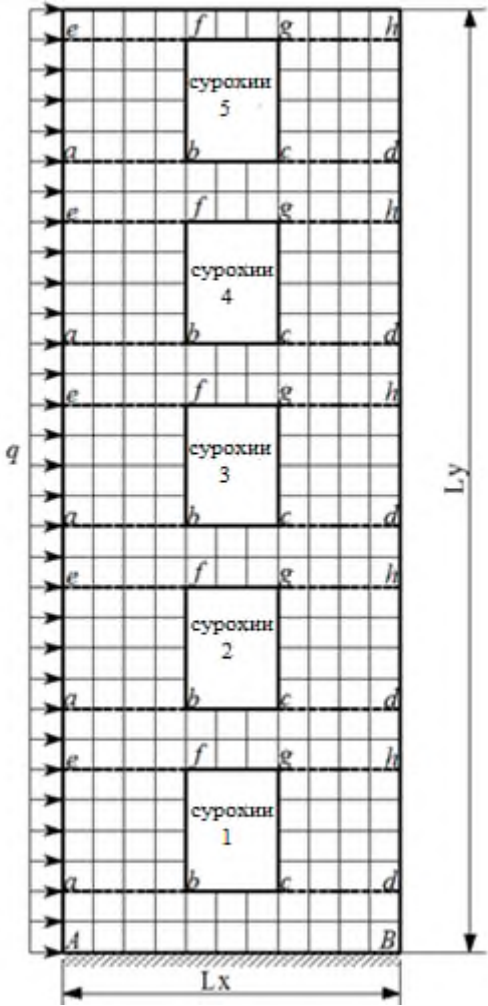
дар инчо δ – ғавсии диафрагма, a,b — андозахои сурохихо, μ — зариби Пуассон. Барои муқоисаи натичахо, ин масъала низ бо истифода аз МЭО бо ёрии барномаи комплексй ЛИРА САПР 2013 хисоб карда шудааст. Дар чадвал 1 натичахои шиддатхои нормалй ва расанда дар минтакахои кунчии кисми такягохии диафрагмаи мазбутй бе сўрохй ва бо сўрохихо хангоми бо асос мазбут пайваст будани он нишон дода шудааст. Натичахои аз МДМ дар тури 11х31 гирифташуда бо натичахои МЭО мукоиса карда мешаванд. Аз мукоиса маълум мешавад, ки фаркияти калонтарин дар натичахои шиддатхои расанда мушохида мешавад, ки фарқияти аз 37 то 60% фоизро ташкил медихад. Яъне, ин бо он шарх дода мешавад, ки дар МДМ шиддатхо дар дохили элементи канорй мувофики конуни хаттй тағйир меёбанд ва дар МЭО онхо характери тағйирёбии қисман-доимй доранд.

TT 4 3 /		_	1 ~ -	~
Чалвали I - Mv	коисаи натичахои шиллатхои но	рмали ва расанла лар) диафрагмаи мазоути даг	тахкурсии мазоут
цадрали I - 1VI у	консан патичахон шиддатхон по	рмали ва расанда дар	, диафрагман мазоути даг	I Layr A Denn Maso A I

адвали і т	Туконсан на	τιι ταπτοιι π		•	расанда д	ар диафрагман мазоути дар тадкурсин мазоу			
			Бе сӯј	охи			Бо сӯ	рохи	
Тур	Метод	$\sigma_{\scriptscriptstyle y\!A}$	$\sigma_{_{yB}}$	$ au_{xyA}$	$ au_{xyB}$	$\sigma_{\scriptscriptstyle y\!A}$	$\sigma_{_{yB}}$	$ au_{xyA}$	$ au_{xyB}$
11×31	МДМ	22,13	-21,72	-2,42	-1,79	29,53	-27,72	-3,025	-1,16
	МЭО	23,50	-23,10	-3,85	-3,24	29,60	-28,50	-3,74	-2,94
Фарқи	ıят, %	5,8	5,9	37,1	44,7	0,23	2,73	19,1	60,5

Дар чадвали 2 шиддатхои нормалй, ки ба гиреххои хатхои уфукии ad ва eh -и диафрагмаи такягохи мазбут дошта бо сўрохихо мувофиканд, мукоиса карда шудааст (расми 1). Мумкин аст, ки фарқияти калонтарини натичахо дар гиреххои наздикии минтақахои кунчии сўрохихо мушохида карда мешавад, ки дар он сатхи консентратсияи шиддатхо зиёд мешавад. Инчунин бояд қайд кард, ки шакли

тақсимоти шиддатҳои нормалӣ, ҳам аз рӯи баландӣ ва ҳам аз рӯи паҳнои диафрагмаи мазбутӣ, ки бо ду метод ба даст оварда шудаанд, амалан мувофиқат мекунанд.



Расми 1 – Модели дискретии диафрагмаи мазбутии бинои 5-ошёна

Чадвали 2 – Шиддатхои нормалй бо сўрохихо дар асоси мазбут

	1		Шиддатҳои нормалӣ								
№ сурохихо	Метод	$\sigma_{y,(a)}$	$\sigma_{\scriptscriptstyle y,(b)}$	$\sigma_{_{y,(c)}}$	$\sigma_{\mathrm{y},(d)}$	$\sigma_{y,(e)}$	$\sigma_{y,(f)}$	$\sigma_{_{\mathrm{y},(g)}}$	$\sigma_{\scriptscriptstyle y,(h)}$		
1	МДМ	23,67	-6,91	8,81	-24,42	13,06	6,67	-6,74	-13,12		
1	ОЄМ	23,30	-3,86	3,67	-23,30	13,80	6,06	-6.06	-13,80		
2	МДМ	11,63	-2,94	2,58	-11,36	5,10	9,15	-9,45	-4,88		
2	МЭО	12,60	-1,27	1.35	-12,70	6,48	5,74	-5.86	-6,33		
3	МДМ	4,83	-0,92	0,65	-4,65	0,86	1,78	-8,01	-0,71		
3	МЭО	6,27	-1,01	0.911	-6,23	2,12	4,04	-4,19	-1,92		
4	МДМ	1,10	-0,216	0,038	-0,98	0,83	5,10	-5,26	-0,91		
4	МЭО	2,17	-0,76	0,634	-2,12	0,102	2,27	-2,39	-0,257		
5	МДМ	0,196	-0,67	0,59	-0,189	0,263	1,72	-1,46	0,640		
3	МЭО	0,228	-0,857	0.88	-0,333	0,074	0,399	-0.299	-0,125		

Нармии чандирии хоки асоси таҳкурсӣ бо параметрҳои зерин тавсиф карда мешавад: фишори статикии чоиз ${m G}_s$; зариби чандирӣ ҳангоми фишуриши якхелаи амудӣ ${m C}_y$; зариби тобхурии асос ${m C}_{\phi}$; зариби чандирии ҳангоми ғеҷиши мунтазам ${m C}_x$. Дар ин маврид зарибҳои мазбутии такягоҳҳо, ки ба фишуриш, тобхурӣ ва ғеҷиш мувофиканд, ба таври зерин муайян карда мешаванд:

$$k_{y} = c_{y}F_{y}; \quad k_{\varphi} = c_{\varphi}J_{y}; \quad k_{x} = c_{x}F_{x};$$

дар ин чо $F_y = F_x = \delta \cdot d_x$; $J_y = \delta \cdot d_x^3/12$ - масохат ва моменти инерцияи рўяи элементи канорй, ки бо асос часпиш дорад. Нармии чандирии хоки асоси тахкурсй бо зарибхои фишуриши якхела, гардиш ва ғечиш тавсиф карда мешавад ва ба қиматхои зерин баробар гирифта мешавад:

$$c_v = 4 \cdot 10^3 \text{ Tc/m}^3$$
, $c_{\varphi} = 8 \cdot 10^3 \text{ Tc/m}^3$, $c_x = 2 \cdot 10^3 \text{ Tc/m}^3$.

Натичахои хисоби диафрагмахои мазбутй бо назардошти нармии асоси чандир ба даст оварда шуданд. Дар чадвали 3 шиддатхои нормалй ва расанда, ки аз МДМ барои намудхои гуногуни моделхои хисобкунии диафрагмахои мазбутй гирифта шудаанд, нишон дода шудааст. Натичахое, ки барои диафрагмаи мазбутй дар асоси мазбут ва асоси нарм, инчунин бе сўрохи ва бо сўрохихо гирифта шудаанд, муқоиса карда мешаванд. Ин натичахои холати шиддатнокй бо истифода аз муодилахои (2) дар минтақахои кунчй дар қисми такягохии диафрагма мувофиканд.

Чадвали 3 - Мукоисаи натичахои шиддат дар минтакахои кунчй

\ \ \ \ \ \ \ \ \ \ \ \ \ \ \ \ \ \ \			Бе сур	охй		Бо сурохй			
Метод (тур)	Шартҳои канорӣ	$\sigma_{\scriptscriptstyle y\!A}$	$\sigma_{_{yB}}$	$ au_{xyA}$	$ au_{xyB}$	$\sigma_{\scriptscriptstyle y\!A}$	$\sigma_{_{yB}}$	$ au_{xyA}$	$ au_{xyB}$
МДМ	Асоси чандир	10,30	-10,29	-2,09	-1,63	11,40	-11,35	-2,23	-1,41
(11x31)	Асоси мазбут	22,13	-21,72	-2,42	-1,79	29,53	-27,72	-3,025	-1,16

Аз муқоисаи натичахои хисоб дида мешавад, ки шиддатхои нормалӣ дар минтақахои кунчии модели сурохӣ дошта назар ба модели бе сурохӣ тақрибан 10% зиёданд. Қайд кардан мумкин аст, ки шиддатҳои нормалӣ дар асоси мазбут назар ба асоси чандир тақрибан ду маротиба зиёдтаранд. Тавре ки аз чадвали 2 дида мешавад, дар хати такягоҳии диафрагмаи сурохидор, сатҳи консентратсияи шиддати нормалӣ нисбат ба диафрагмаи бе сурохӣ каме зиёд мешавад.

Чадвали 4 – Шиддатхои нормалй дар наздикии сурохихо

26.26		Шиддатҳои нормалй									
№№ сурохӣ	$\sigma_{y,(a)}$	$\sigma_{y,(b)}$	$\sigma_{y,(c)}$	$\sigma_{y,(d)}$	$\sigma_{\scriptscriptstyle y,(e)}$	$\sigma_{\mathrm{y},(f)}$	$\sigma_{y,(g)}$	$\sigma_{y,(h)}$			
1	14,01	-17,96	4,53	-15,65	7,14	7,99	-8,26	-7,10			
2	6,80	-13,59	7,23	-6,27	2,41	7,63	-8.03	-2,08			
3	2,46	-2,14	1,12	-2,22	1,44	5,74	-5.98	-1,72			
4	0,302	-0.078	2,07	-1,75	0,75	3,46	-3.62	-0.83			
5	0,257	-0.037	0,30	-0,25	0,22	1,17	-0.91	-0.15			

Дар чадвали 4 киматҳои шиддатҳои нормалӣ, ки ба нуқтаҳои кунчии модели диафрагмаи мазбути сурохидоштадар асоси чандир бо МДМ ба даст омада нишон дода шудаанд. Аз муқоисаи натичаҳое, ки дар чадвалҳои 4 ва 2 оварда шуда дида мешавад, ки ҳолати шиддатнокӣ дар бӯрришҳои диафрагма дар асоси чандиру нарм нисбат ба диафрагмаи дар асоси мазбут тақрибан ду маротиба камтар аст.

Хулоса

Алгоритм ва барномаи компютерии коркардшуда имкон медихад, ки холати шиддатнокдеформатсияшавии диафрагмахои мазбутии бинохои бисёрошёна омухта шавад. Тахлили натичахои моделсозии ададии холати шидатнокии хамвори диафрагмаи мазбутй бо сурохихо, ки бо истифода аз МДМ ба даст оварда шудааст, нишон медихад, ки бо назардошти нармии хок боиси камшавии консентратсияи шиддат мегардад. Усули пешниходшудаи хисобкунии диафрагмахои мазбутй метавонад дар лоихакашии бинохо ва иншоот истифода шавад.

Муқарриз: Иқромов И.И. — н.и.т., дотсент, мудири қафедраи сохтмон ва иншооти гидротехникии ДАПІ ба номи Ш. Шотемур

Адабиёт

- 1. Низомов Д.Н, Каландарбеков И. Метод сосредоточенных деформаций. Душанбе, "Дониш", 2015. 436 с.
- 2. Каландарбеков И. Развитие метода сосредоточенных деформаций применительно к расчетам конструкций с учетом податливости соединений. Автореферат Москва 2009.- 37с.

- 3. Г. Дж. Адыракаева. Расчет диафрагм жесткости методом сосредоточенных деформаций с учетом реальных швов. Вестник КРСУ. 2008. Том 8. № 9, 146-152с.
- 4. Низомов Д.Н, Саидов Р.Р. Расчет диафрагм жесткости на упругом основании методом сосредоточенных деформаций. Известия АНРТ ISSN 0002-3485. №2 (179) 2020г ст. 89-96
- 5. Саидов Р.Р. Численное решение статических задач теории упругости методом сосредоточенных деформаций. Политехнический вестник. Серия Инженерные исследования. №4 (40) 2018, с. 186-193.
- 6. Саидов Р.Р., Фаттоев Б.Дж. Расчет балки-стенки на упругом основании методом сосредоточенных деформаций. Политехнический вестник. Серия Инженерные исследования. №1 (49) 2020 с. 172-174
- 7. Зулпуев А.М., Темикеев К., Ганыев А.М., Асанова С.А., Турсунов И.Р. Метод сосредоточенных деформаций для расчета плосконапряженных железобетонных конструкций. Синергия. 2017. № 4 с. 88-96.

СВЕДЕНИЯ ОБ АВТОРАХ – МАЪЛУМОТ ДАР БОРАИ МУАЛЛИФОН – INFORMATION ABOUT AUTHORS

	11200110110	
TJ	RU	EN
Саидов Римоххидин Рачабович	Саидов Римоххидин Раджабович	Saidov Rimohhidin Radzhabovich
Номзади илмхои техникй	Кандидат технических наук, старший преподаватель	Candidate of technical, seniors the teacher
Донишгохи техникии Точикистон ба номи академик М.С.Осимй	Таджикский технический университет им. академика М.С.Осими	Tajik Technical University named after Academician M.S. Osimi
	<u>rimokhiddin@mail.ru</u>	
TJ	RU	EN
Муминов Ихтиер Субхонкулович.	Муминов Ихтиер Субхонкулович	Muminov Ikhtiyor Subhonkulovich.
Донишгохи техникии Точикистон ба номи академик М.С.Осимй	Таджикский технический университет им. академика М.С.Осими	Tajik Technical University named after Academician M.S. Osimi
TJ	RU	EN
Зарифов Сирочиддин Садриддинович	Зарифов Сироджиддин Садриддинович	Zarifov Sirojiddin Sadriddinovich
Номзади илмхои техникй	Кандидат технических наук, старший преподаватель	Candidate of technical, seniors the teacher
Донишгохи техникии Точикистон ба номи академик М.С.Осимй	Таджикский технический университет им. академика М.С.Осими	Tajik Technical University named after Academician M.S. Osimi
TJ	RU	EN
Ашуров Идрис Шарифхонович	Ашуров Идрис Шарифхонович	Ashurov Idris Sharifkhonovich
муаллими калон	старший преподаватель	senior lecturer
Донишгохи техникии Точикистон ба номи академик М.С.Осимй	Таджикский технический университет им. академика М.С. Осими	Tajik Technical University named after Academician M.S. Osimi

УДК 699.86

МЕТОДЫ ОБЕСПЕЧЕНИЯ КОМФОРТНОЙ СРЕДЫ В ЖИЛЫХ ПОМЕЩЕНИЯХ В УСЛОВИЯХ СУХОГО ЖАРКОГО КЛИМАТА

И.И. Нигматов, Ш.З. Усмонов

Таджикский технический университет имени академик М.С. Осими

Худжандский политехнический институт Таджикского технического университета имени академика М.С. Осими

Данная статья посвящена рассмотрению и анализу различных подходов к обеспечению комфортного микроклимата в жилых помещениях, расположенных в аридных зонах с характерными сухими и жаркими климатическими условиями. Особое внимание уделяется комплексным методам, включающим в себя как традиционные, так и современные технологические решения.

Ключевые слова: микроклимат, жилые помещения, аридные зоны, технологические решения, сухой климат, жаркий климат, энергоэффективность, пассивное охлаждение, устойчивое строительство, теплоизоляция, архитектурные стратегии, комфортная среда.

УСУЛХОИ ТАЪМИНИ ФАЗОИ БАРОХАТ ДАР БИНОХОИ ИСТИКОМАТЙ ДАР ШАРОИТИ ИКЛИМИ ХУШК ВА ГАРМ

И.И. Нигматов, Ш.З. Усмонов

Ин макола ба тахлили равишхои гуногуни таъмини микроиклими барохат дар бинохои истикоматй, ки дар минтакахои хушк бо шароити хоси иклимии хушк ва гарм чойгир шудаанд, бахшида шудааст. Ба усулхои комплексй, аз он чумла хам халли анъанавй ва хам муосири технологи диккати махсус дода мешавад.

Калимахои калидй: микроиқлим, бинохои истиқоматй, минтақахои хушк, ҳалли технологй, иқлими хушк, иқлими гарм, самаранокии энергетикй, хунуккунии ғайрифаъол, сохтмони устувор, гармидиҳй, стратегияҳои меъморй, муҳити бароҳат.

METHODS FOR ENSURING A COMFORTABLE MICROCLIMATE IN RESIDENTIAL SPACES IN DRY AND HOT CLIMATE CONDITIONS

I.I. Nigmatov, Sh.Z. Usmonov

This article is dedicated to the examination and analysis of various approaches to ensuring a comfortable microclimate in residential spaces located in arid zones characterized by dry and hot climatic conditions. Special attention is given to comprehensive methods that include both traditional and modern technological solutions.

Keywords: microclimate, residential spaces, arid zones, technological solutions, dry climate, hot climate, energy efficiency, passive cooling, sustainable construction, insulation, architectural strategies, comfortable environment.

Введение

Жаркий и сухой климат, характерный для определенных географических зон, предъявляет уникальные требования к жилым помещениям, целящимся в обеспечении в них комфорта и энергоэффективности зданий. Адаптация архитектурных стратегий к местным условиям позволяет снизить энергопотребление в первую очередь за счет пассивного охлаждения и комфортного микроклимата.

Методы

Оптимизация микроклимата достигается через ряд архитектурных приемов, ориентированных на минимизацию внешнего теплового воздействия и максимизацию внутреннего комфорта без усиленного использования искусственных систем охлаждения. К примеру, при ориентации здания необходимо принимать в рассмотрение направление ветров и максимальное солнечное излучение, при этом здание позиционируется для естественного охлаждения.

При селекции материалов используются материалы с высокой тепловой массой, таких как камень или полистирол, для регуляции дневной температуры.

При высоких потолках и вентиляционных окнах обеспечивается естественный конвективный поток воздуха, способствующего естественному охлаждению.

При применении козырьков, навесов и других элементов снижается прямое солнечное воздействие.

При озеленении крыш и стен используется живая растительность как природный изоляционный барьер.

А применение специальных покрытий и стеклопакетов минимизирует солнечный нагрев.

Для обеспечения естественного охлаждения в жилых помещениях могут быть использованы следующие архитектурные приемы:

- 1. Элементы активного затенения: складирующие панели, раздвижные решетки или различные типы жалюзи могут активно управлять количеством поступающего солнечного света и тепла.
- 2. Тепловые противотоки системы, в которой холодный воздух входит в помещение внизу, а теплый воздух удаляется через высоко расположенные выходы.

- 3.Подвесные зеленые элементы в интерьере могут помогать в охлаждении воздуха и улучшении условий микроклимата.
- 4.Регулируемые внутренние перегородки позволяют изменить конфигурации пространств и регулировать воздушные потоки внутри здания.
- 5. Туман или пар, распыляемый внутри или около здания, могут снизить температуру за счет испарительного охлаждения.
- 6. Создание в здании мест с различными условиями микроклимата, где жильцы могут почувствовать себя комфортно при различных внешних температурах.
- 7. Посадка деревьев и кустарников вокруг здания, создание зеленых зон, которые защищают от прямых солнечных лучей и улучшают местный микроклимат.
- 8. Кулеры испарения (природные или механические устройства), используют принцип испарения для охлаждения воздуха без применения традиционных кондиционеров.

Эти архитектурные приемы можно адаптировать к местным климатическим особенностям и интегрировать в проекты зданий для постоянного повышения уровня комфорта при минимальной энергетической нагрузке.

При выборе материалов для обеспечения комфортного микроклимата в жилых помещениях следует использовать:

-материалы с высокой тепловой массой, которые аккумулируют тепло и отдают его в более прохладное время, что полезно для стабилизации температурных колебаний;

-коэффициент теплопроводности определяет, насколько эффективно материал будет проводить тепло, влияющее на изоляционные свойства материала.

А способность материала пропускать пар позволяет регулировать влажность внутри помещения и предотвратить возникновение плесени и грибка.

Материалы должны быть безвредными для здоровья и предпочтительно иметь низкий уровень выбросов в процессе производства и эксплуатации.

Важна способность материалов выдерживать экстремальные температуры, влажность, ультрафиолетовое излучение без потери своих изолирующих свойств.

Материалы должны обладать достаточной прочностью и износостойкостью для обеспечения долгосрочной службы конструкции.

Предпочтение следует отдавать материалам, которые могут быть получены из устойчивых источников или подлежат вторичной переработке.

Учет этих факторов позволит создать жилые помещения с оптимальными тепловыми, влажностными и акустическими характеристиками для обеспечения комфорта и благоприятной внутренней среды.

Наряду с этим для активного охлаждения жилых помещений можно использовать:

- электрически управляемые жалюзи; позволяющие регулировать интенсивность солнечного света и тепла, поступающие в помещение, с помощью дистанционного управления;
 - фотохромные (умные) окна: меняющие свою тонировку от интенсивности солнечного излучения;
- внешние затеняющие панели: двигающиеся и изменяющие своё положение в ответ на движение солнца;
- складные арматурные ставни: изготавливаемые из металла или дерева, позволяющие произвольно управлять уровнем света и воздуха, проникающего в помещение;
- ретрактабельные (откатные, выдвигающиеся козырьки), создающие тень, когда это необходимо;
 - системы внешних занавесок и тканевых экранов, защищающих от солнца;
- солнцезащитные экраны с фотовольтаическими элементами, генерирующие электроэнергию, используя солнечный свет.

Эти элементы активного затенения дают возможность контролировать микроклимат внутри здания, уменьшать потребление энергии на охлаждение и обеспечивать комфорт для жителей, сохраняя архитектурные особенности и эстетическую привлекательность.

Результаты и обсуждение

В рамках нашего исследования были рассмотрены и оценены различные методы и стратегии обеспечения комфортного микроклимата в жилых пространствах, расположенных в сложных условиях сухих и жарких климатов. Комплексный подход, учитывающий ориентацию здания, выбор материалов с учетом тепловой массы и потребностей вентиляции, позволяет значительно увеличить эффективность пассивного охлаждения. Инновационные элементы затенения, такие как электрически регулируемые жалюзи и фотохромные окна, а также архитектурные нововведения в виде ветровых башен и складывающихся козырьков, демонстрируют значительное снижение потребления энергии на охлаждение помещений, одновременно повышая комфорт жильцов.

Важность избирательности материалов с различными характеристиками теплопроводности и влагопроницаемости подтверждается их способностью влиять на температурный режим и влажностный баланс внутри помещений. Экологически безвредные материалы с хорошими изоляционными и звукоизоляционными свойствами стали предпочтительны для обеспечения здоровой жизненной среды.

Использование направленных ландшафтных решений и технологий парообразного охлаждения также способствовало комфортным условиям проживания.

Заключение

Сокращение зависимости от активных систем кондиционирования в жарком и сухом климате возможно благодаря применению целого ряда инновационных архитектурных и инженерных подходов. Индивидуально подобранное сочетание методов пассивного охлаждения, включая правильное использование солнца, ветра, воды и растительности, может обеспечить комфортные условия в жилых помещениях без значительных затрат на электроэнергию.

Адекватное применение архитектурных методов, а также качественный выбор теплоизоляционных материалов, в условиях сухого и жаркого климата, образуют фундамент для эффективного пассивного охлаждения, создавая устойчивые и энергоэффективные решения в жилищном строительстве.

Статья может быть примером комплекса рекомендаций по проектированию качественного жилищного пространства в аридных регионах, включая Таджикистан.

Рецензент: Аминов Ф.А. — қ.т.н., заведующий қафедрой «Строительство» ХТИППТУ им. ақад. М.С. Осими

Литература

- 1. Albatayneh, A., Alterman, D., Page, A., & Moghtaderi, B. (2018). Indoor Thermal Comfort Analysis: A Case Study of Modern and Traditional Households in Hot Arid Climate. Sustainability, 5(3),
- 2. Al-Sallal, K. A. (2019). Energy efficiency and thermal comfort of buildings in arid climates A critical assessment. Energy, 192, 116647.
- 3. Ballinger, J. A., & Haryott, R. (2023). Assessment of indoor thermal comfort temperature and ventilation in arid climates. Journal of Thermal Biology, 10287772.
- 4. Hegde, G., & Ananthakrishna, N. (2018). Thermal Comfort Studies on Houses in Hot Arid Climates. IOP Conference Series: Materials Science and Engineering, 401(1), 012028.
- 5. Yang, L., Fu, R., He, W., He, Q., Liu, Y. Energy and Buildings, 2020. "Adaptive thermal comfort and climate responsive building design strategies in dry—hot and dry—cold areas: Case study in Turpan, China."

СВЕДЕНИЯ ОБ АВТОРАХ – МАЪЛУМОТ ДАР БОРАИ МУАЛЛИФОН – INFORMATION ABOUT AUTHORS

ADOCTACTIONS			
TJ	RU	EN	
Нигматов Икромчон	Нигматов Икромджон	Nigmatov Ikromdzhon	
Исматчонович	Исматджонович	Ismatdzhonovich	
Номзади илмхои техникй,	Кандидат технических наук, профессор	Candidate of Technical	
профессор		Sciences	
Донишгохи техникии	Таджикский технический	Tajik Technical University	
Точикистон	университет имени академика	named after	
ба номи академик М.С. Осимй	М.С. Осими	academic M.S.Osimi	
e-mail: <u>nigmatov40@bk.ru</u>			
TJ	RU	EN	
Усмонов Шухрат Заурович	Усмонов Шухрат Заурович	Usmonov Shuhrat Zaurovich	
Номзади илмхои техникй	Кандидат технических наук	Candidate of Technical	
	-	Sciences	
Донишкадаи политехникии	Худжандский политехнический	Khujand Polytechnic	
Донишгохи техникии	институт Таджикского технического	institute of Tajik Technical	
Точикистон	университета имени академика	University named after	
ба номи академик М.С. Осимй	М.С. Осими	academic M.S.Osimi	
дар ш. Хучанд			
e-mail: <u>usmonov.shuhrat@gmail.com</u>			

УДК 624.04

ЧИСЛЕННОЕ РЕШЕНИЕ ЗАДАЧИ ИЗГИБА ПЛАСТИН С ЗАЩЕМЛЕННЫМИ КРАЯМИ МЕТОДОМ СОСРЕДОТОЧЕННЫХ ДЕФОРМАЦИЙ

Д.Дж. Исвалиев

Таджикский технический университет имени академика М.С. Осими

В статье приводится решение задачи изгиба пластин с защемленными краями от действия равномерно распределенной нагрузки методом сосредоточенных деформаций. Изложен алгоритм составления матрицы жесткости изгибаемых пластин с учетом граничных условий. На основе предлагаемого алгоритма разработана компьютерная программа на языке Фортран и получены результаты численного решения статической задачи плиты.

Ключевые слова: изгиб пластины, конечный элемент, матрица внутренней жесткости, матрица внешней жёсткости, квадратичная аппроксимация.

ХАЛЛИ АДАДИИ МАСЪАЛАХОИ ҚАТШАВИИ ТАХТАСАНГИ БО ХАМАИ ТАРАФХОЯШ МАХКАМШУДА Д.Ч. Исвалиев

Дар мақола ҳалли масъалаҳои қатшавии тахтасанги бо ҳамаи тарафҳояш маҳкамшуда аз таъсири борҳои баробар такисмшуда бо методи мутамарказкунонии деформатсия оварда шудааст. Алгоритми тартибдиҳии матритсаҳои сахтии қатшавии тахтасанг бо баҳисобгирии шартҳои канорӣ дида баромада шудааст. Дар асоси алгоритми пешниҳодшуда, барномаи компютерӣ бо забони Фортран коркард шуда ва натичаҳои гирифташудаи ҳалли ададии масъалаҳои статикии тахтасанг ба даст оварда шудааст.

Калимахои калиди: қатшавии тахтасанг, унсури охирнок, матритсаи дохилии сахтй, матритсаи берунаи сахтй, аппраксиматсияи квадратй.

NUMERICAL SOLUTION OF THE PROBLEM OF BENDING PLATES WITH RESTRAINTED EDGES USING THE CONCENTRATE STRAIN METHOD

D.J. Isvaliev

The article provides a solution to the problem of bending plates with pinched edges under the action of a uniformly distributed load using the concentrated deformation method. An algorithm for compiling a stiffness matrix for bending plates is presented, taking into account boundary conditions. Based on the proposed algorithm, a computer program in Fortran was developed and the results of a numerical solution of the static slab problem were obtained.

Keywords: plate bending, finite element, internal stiffness matrix, external stiffness matrix, quadratic approximation.

Введение

В настоящее время разработано множество приближенных методов расчета: метод конечных элементов, метод конечных разностей и другие.

Требования к методам расчета состоят в снижении трудоемкости расчетов при сохранении достаточной точности получаемых результатов.

Как известно, задача исследования и расчета железобетонных конструкций прежде всего начинается с формирования расчетной модели, и от того насколько правильно выбрана расчетная модель зависят результаты расчета. Поэтому совершенствование методов расчета, которые учитывают конструктивные особенности исследуемого объекта, является актуальной задачей.

В данной работе развит метод сосредоточенных деформаций (МСД) применительно к расчету изгибаемых плит. Идея метода сосредоточенных деформаций была изложена в работах [2,3]. Дальнейшее развитие этого метода изложено в работах [4]. Главная особенность метода сосредоточенных деформаций заключается в том, что он позволяет учитывать податливость реальных связей в дискретной модели исследуемого объекта.

Сущность МСД сводится к преобразованию дифференциальных уравнений, описывающих поведение искомой функции внутри и на границе области, в систему алгебраических уравнений. Идея метода состоит в сосредоточении деформаций конечных элементов на их гранях и вычислении внутренних усилий по контурам и внутри области. Метод сосредоточенных деформаций, который реализован на примере расчета пластины, позволяет учитывать её конструктивные особенности.

Метод исследования

В данной работе в качестве метода исследования используется численный метод – метод сосредоточенных деформаций. Рассматриваемая прямоугольная пластина разбивается на конечные элементы размерами $a_k imes b_k$, $k=1,2,\ldots,n$, где при равномерной разбивке $a_k=a/n_x$, $b_k=b/n_y$,

 n_x , n_y — число элементов по направлениям осей n_x и n_y соответственно, n_x — n_y — общее число конечных элементов. Рассматриваемые конечные элементы считаются абсолютно жесткими, а их собственные деформации при изгибе, кручении и сдвиге сосредотачиваются по границам между ними введением фиктивных связей соответствующего типа. Узлы, в которых сосредоточены деформации изгиба, кручения и сдвига, располагаются посередине граней элементов. Следующую группу узлов составляют узлы, расположенные в центре элементов, в которых накладываются по три связи,

препятствующие их линейным перемещениям по оси \mathcal{Z} и поворотам вокруг осей \mathcal{X} и y . В эти же узлы будут приложены внешние сосредоточенные силы и моменты.

Вектор внешних сил для каждого элемента состоит из трех составляющих:

$$\mathbf{P}_{k} = \left(\mathbf{M}_{xk} \, \mathbf{M}_{yk} \, \mathbf{P}_{zk} \right)^{T},$$

где $M_{_{xk}}, M_{_{yk}}, P_{_{k}}$ - заданные сосредоточенные изгибающие моменты и вертикальная сила.

Уравнения равновесия k-го элемента, которые выражают равенство нулю суммарного момента всех сил вокруг осей x, y, проходящих по центру элемента и сумму проекций всех сил на ось z, можно представить в матричной форме

$$\mathbf{A}_{k}\mathbf{S}_{k}+\mathbf{P}_{k}=0,\tag{1}$$

где матрица коэффициентов \mathbf{A}_k , вектор внутренних усилий \mathbf{S}_k , вектор внешних сил \mathbf{P}_k записываются в виде

$$\mathbf{A}_k = \begin{bmatrix} 0 & -1 & 0 & 1 & 0 & -b_k/2 & -1 & 0 & -b_k/2 & 0 & 1 & 0 \\ 1 & 0 & a_k/2 & 0 & -1 & 0 & 0 & 1 & 0 & -1 & 0 & a_k/2 \\ 0 & 0 & -1 & 0 & 0 & 1 & 0 & 0 & -1 & 0 & 0 & 1 \end{bmatrix},$$

$$\mathbf{S}_{k} = \left(M_{k,k-1} H_{k,k-1} Q_{k,k-1} \middle| M_{k,k+m} H_{k,k+m} Q_{k,k+m} \middle| \right. \\ \left. \middle| M_{k,k-m} H_{k,k-m} Q_{k,k-m} \middle| M_{k,k+1} H_{k,k+1} Q_{k,k+1} \right)^{\mathrm{T}},$$

$$\mathbf{P}_{k} = \left(-M_{x,k}M_{y,k}P_{z}\right)^{\mathrm{T}}.$$

Записав уравнения равновесия k -го элемента типа для всех конечных элементов, получим систему из 3n уравнений с 3m неизвестными внутренними усилиями, где $m=2n+n_x+n_y$, m>n, то есть мы имеем статически неопределимую систему. Это система уравнений, которая выражает связь между внутренними и внешними силами, представляется в матричной форме

$$\mathbf{AS} + \mathbf{P} = 0 \tag{1,a}$$

где $_{\mathbf{A}}$ прямоугольная матрица коэффициентов размера $3n \times 3m$;

 \mathbf{P} -вектор внешних размеров 3n;

 \mathbf{S} – вектор внутренних сил размера 3m .

Система уравнений, которая выражает связь между перемещениями пластины и деформациями ее элементов, записывается в виде матричного уравнения [3]

$$\mathbf{A}^{\mathrm{T}}\mathbf{W} + \lambda = \mathbf{0} \,, \tag{2}$$

где ${\bf A}^{\rm T}$ – матрица размера $3m \times 3n$, взаимно транспонированная с матрицей ${\bf A}$. Векторы перемещений и деформаций состоят из 3n элементов

$$\mathbf{W} = (\varphi_{x1}\varphi_{x1}w_1|\varphi_{x2}\varphi_{x2}w_2|\cdots|\varphi_{xn}\varphi_{xn}w_n)^T,$$

$$\boldsymbol{\lambda} = (\lambda_{x1}\lambda_{y1}\Delta_1|\lambda_{x2}\lambda_{y2}\Delta_2|\cdots|\lambda_{xn}\lambda_{yn}\Delta_n)^T.$$

Зависимость вектора внутренних сил от вектора деформаций выражается формулой [3]

$$S=C\lambda$$
. (3)

Из (1,a) с учетом (3) и (2) получаем зависимость между вектором внешних сил и 3n - мерным вектором перемещений

$$\mathbf{P} = \mathbf{A} \mathbf{C} \mathbf{A}^{\mathsf{T}} \mathbf{W} = \mathbf{K} \mathbf{W}, \tag{4}$$

где $\mathbf{K} = \mathbf{A} \mathbf{C} \mathbf{A}^{\mathrm{T}}$ – квадратная матрица внешней жесткости 3n - го порядка.

Моделирование задачи сводится к решению системы алгебраических уравнений (4), которая представляется в виде

$$\mathbf{KW} = \mathbf{P}.\tag{5}$$

Из решения уравнения (5) определяется вектор перемещений, а затем из (2) и (3) последовательно вычисляются векторы деформаций и внутренних усилий.

С целью вычисления перемещений и усилий в контрольных точках пластины используется экстраполяция. Для этого применяется квадратичная аппроксимация. На рисунке 1 показана разбивка пластины на конечные элементы МСД и указаны соответствующие сечения для определения перемещения и внутренних усилий в её центре.

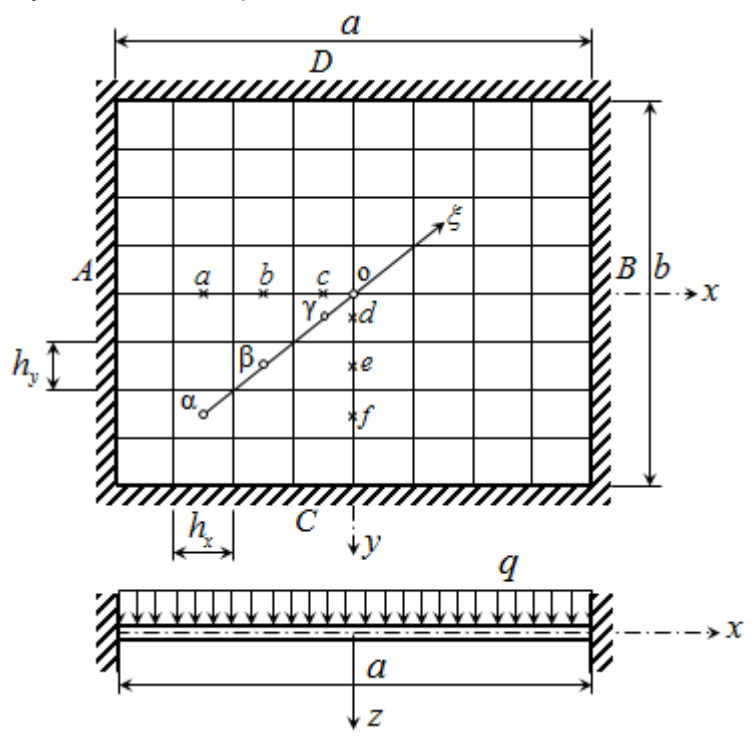


Рисунок 1 - Определение перемещений и внутренних усилий в конечных элементах

Проведя вдоль оси ξ через точки α, β, γ (рисунок 1) квадратную параболу [5]

$$w(\xi) = a_0 + a_1 \xi + a_2 \xi^2, \tag{6}$$

получим: $\xi = 0$, $w = w_m$, $a_0 = w_m$,

$$\xi = \Delta \xi, \quad w = w_{\beta}, \quad w_{\beta} = w_{\alpha} + a_{1} \Delta \xi + a_{2} \Delta \xi^{2}, \tag{7}$$

$$\xi = 2\Delta \xi, \quad w = w_{\gamma}, \quad w_{\gamma} = w_{\alpha} + 2a_{1}\Delta \xi + 4a_{2}\Delta \xi^{2}. \tag{8}$$

Из совместного решения (6,7) и (8) находим

$$a_1 = (-3w_\alpha + 4w_\beta - w_\gamma)/2\Delta\xi, \quad a_2 = (w_\alpha - 2w_\beta + w_\gamma)/2\Delta\xi^2.$$

С учетом найденных значений коэффициентов \mathcal{Q}_0 , \mathcal{Q}_1 и \mathcal{Q}_2 вектор перемещений (6) представляется в виде

$$w(\xi) = w_{\alpha} + \frac{-3w_{\alpha} + 4w_{\beta} - w_{\gamma}}{2\Delta \xi} \xi + \frac{w_{\alpha} + 2w_{\beta} - w_{\gamma}}{2\Delta \xi^{2}} \xi^{2}, \tag{9}$$

откуда при $\xi = 2,5\Delta \xi$ получаем

$$w_o = w_\alpha + \frac{-3w_\alpha + 4w_\beta - w_\gamma}{2\Delta\xi} \frac{5}{2} \Delta\xi + \frac{w_\alpha + 2w_\beta - w_\gamma}{2\Delta\xi^2} \frac{25}{4} \xi^2 =$$

$$= (15w_\gamma - 10w_\beta + 3w_\alpha)/8.$$

По формуле (9) определяются прогибы и в других точках, обозначенных крестиком, а также в точках контура пластины.

Результаты исследования и обсуждения

Алгоритм расчета реализован на примере квадратной пластинки с защемленными краями. В таблице прогиб в центре пластины, полученный при различных разбиениях, сравнивается с точным решением. Из таблицы следует, что с уменьшением шага сетки решение приближается к точному решению. При этом наблюдается сходимость результатов, что подтверждает их достоверность.

Таблица - Сопоставление результатов численного решения с точным решением

Two thigh concerns perjustates mentantel personal to his personal					
Прогиб	Численное решение по МСД при чётных разбиениях пластинки			Точное решение	
	20 x 20	22 x 22	24 x 24	26 x 26	
$w_0 D/q_0 a^4$	0,001342	0,001338	0,001321	0,001302	0.00126
Погрешность %	6,11	5,83	4,62	3,22	0,00126

С целью наглядности на рисунке 2 приведены графики изменения прогиба. Прогибы соответствуют точкам в центре элементов.

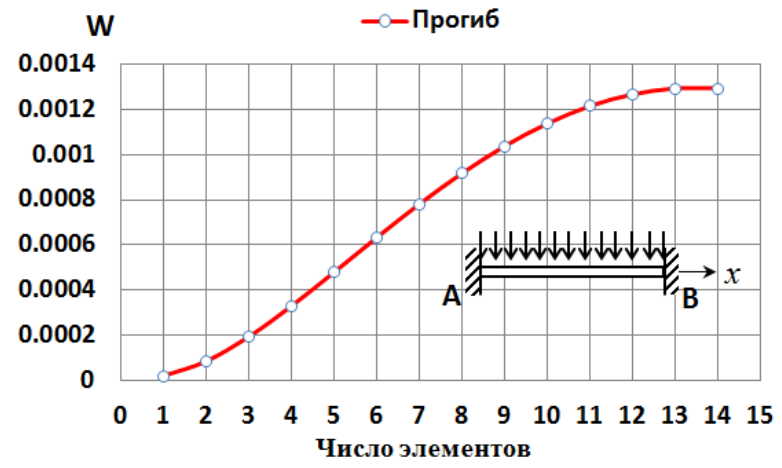


Рисунок 2 - Графики изменения прогиба по линии АВ

Вывод

Разработанные алгоритм и компьютерные программы на основе метода сосредоточенных деформаций дают возможность проводить исследования напряженно—деформированного состояния плит от воздействия различных нагрузок.

Рецензент: Сангинов А.М. — қ.т.н., ведущий научный сотрудниқ Лаборатории сейсмостойқого строительства зданий и сооружений Института геологии, сейсмостойқого строительства и сейсмологии НАНП

Литература

- 1. Каландарбеков И. Развитие метода сосредоточенных деформаций применительно к расчетам конструкций с учетом податливости соединений. дис. ... док. тех. наук: строительная механика Москва, 2009, 435 с.
- 2. Ржаницын А.Р. Расчет сплошных конструкций методом упругих сосредоточенных деформаций. Строительная механика и расчёт сооружений, 1980, №5, с. 15-20.
 - 3. Ржаницын А.Р. Строительная механика. М.: Высшая школа, 1991, 439 с.
- 4. Додонов М.И. Расчет изгибаемых пластин методом сосредоточенных деформаций. Строительная механика и расчёт сооружений, 1986, №2, с. 22-25.
 - 5. Низомов Д.Н., Каландарбеков И. Метод сосредоточенных деформаций. Душанбе: «Дониш», 2015, 436 с. СВЕДЕНИЯ ОБ АВТОРЕ МАЪЛУМОТ ДАР БОРАИ МУАЛЛИФ INFORMATION ABOUT AUTHOR

TJ	RU	EN
Исвалиев Далерчон Чурахонович	Исвалиев Далерджон	Isvaliev Dalerjon
	Джурахонович	Djurakhonovich
Донишгохи техникии Точикистон ба	Таджикский технический	Tajik Technical University
номи академик М.С.Осимй	университет имени академика	named after Academician
	М.С.Осими	M.S.Osimi
	disvaliev@mail.ru	

УДК 624

ОПРЕДЕЛЕНИЕ ТОЛЩИНЫ БЕТОНА МОДЕЛЕЙ НЕРАЗРЕЗНЫХ ПОЛОГИХ ОБОЛОЧЕК

О.Р. Нуманов, Т.С. Сафаров, У.Р.Тешаев

Таджикский технический университет имени академика М.С. Осими

Применяемые типовые плоскостные железобетонные покрытия тормозят строительство зданий и сооружений с крупной сеткой колонн вследствие того, что с увеличением пролётов их масса и соответственно расход бетона и стали, а также их стоимость возрастают. Если вместо плоскостных применять пространственные конструкции, например, тонкостенные пологие оболочки, то расход материалов уменьшается в пределах 15-20%, это влияет на лёгкость конструкции, что играет немаловажное значение для строительства в сейсмических районах. Кроме этого, в плоскостных покрытиях материал работает в основном на изгиб, являясь нагрузкой для нижележащего, а в пространственных конструкциях благодаря их кривизне материал используется эффективнее, и они работают как на сжатие, так и на растяжение, и поэтому нагрузка воспринимается всей конструкцией, а не отдельными её элементами. Все это создаёт дополнительные резервы в строительстве и обеспечивает экономию трудовых затрат и капитальных вложений и отвечает основным направлениям развития современной строительной индустрии. Изложенное относится не только к промышленным, транспортным и сельскохозяйственным зданиям и сооружениям, но и к общественным: спортивным, зрелищным, торговым и другим, где пространственные конструкции, особенно пологие оболочки, позволяют без больших затрат перекрывать большие пролёты, а также своими видами дают сооружению архитектурную выразительность. Основной принцип при выборе типа покрытия — это сочетание технической и экономической целесообразности. Будущие здания и сооружения должны не только отвечать предъявляемым к ним техническим, технологическим и архитектурным требованиям, но и быть экономичными. При рассмотрении геометрии тонкостенной оболочки будем иметь в виду геометрию её срединной поверхности, т.е. поверхности проходящей через середину её толщины. В статье приведены результаты геодезической исполнительной съёмки моделей неразрезных пологих оболочек положительной гауссовой кривизны. В качестве прибора использован тахеометр SOKKIA. Произведено сравнение толщины оболочек с помощью тахеометра и сверление поле оболочек.

МУАЙЯН КАРДАНИ ҒАФСИИ БЕТОНИ МОДЕЛХОИ БУРИДАНАШУДАИ ЧИЛДХОИ МОИЛ О. Р. Нуманов, Т. С. Сафаров, У. Р. Тешаев

Ключевые слова: толщина бетона, неразрезность, пологая оболочка, исполнительная съёмка, опалубка.

Истифодабарии конструксияхои болопуши якхелаи хамвори оханубетони сохтмони бинохо ва иншоотро бо сеткаи калони сутунхо бозмедорад, зеро бо афзоиши сохти равокхо вазни онхо ва мувофикан истифодаи бетон ва пулод, инчунин арзиши онхо меафзояд. Агар ба чои сохтхои хамвор сохторхои фазой, масалан, чилдхои тунук истифода шаванд, пас сарфаи маводхо дар доираи 15-20% кохиш меебад, ин ба сабукии сохт таъсир мерасонад, ки барои сохтмон дар минтакахои сейсмикй ахамияти калон дорад. Ғайр аз ин, дар болопушҳои ҳамвор мавод асосан дар фишуриш кор мекунад, ки борро ба зер медиҳад, дар сохтҳои фазой бошад бо сабаби качшавй доштаи онхо мавод самараноктар истифода мешавад ва онхо хам ба фишор ва хам ба дарозкунй кор мекунанд ва аз ин ру бори онхоро тамоми сохт ва унсурхои алохидаи он қабул мекунад. Хамаи ин дар сохтмон захирахои иловаги эчод мекунад ва сарфаи харочоти мехнатй ва сармоягузории асосиро таъмин мекунад ва ба самтхои асосии рушди саноати муосири сохтмон чавобгу аст. Инхо на танхо ба бинохо ва иншооти саноати, наклиети ва кишоварзи, балки ба бинохои чамъияти низ дахл доранд: ба монанди варзишй, тамошобоб, тичоратй ва ғайра, ки дар он сохтхои фазой махсусан чилдхои тунук имкон медиханд, ки бе харочоти зиёд равокхои калонро пушонанд ва инчунин бо намуди худ ба иншоот намуди хуби меъморй медиханд. Принсипи асосй хангоми интихоби намуди болопуш мачмуи максаднокии техники ва иктисоди мебошад. Ояндаи бино ва иншоот бояд на танхо ба талаботи техникй, технологи ва меъмории ба он пешниходшуда чавобгу бошад, балки аз чихати иктисоди камхарч бошад. Хангоми баррасии геометрияи қабати чилдхои тунук, мо геометрияи сатхи миенаи онро, яъне сатхи ғафсии миёнаи гузаштаи онро дар назар дорем. Дар макола натичахои хисобкунии ичроияи геодезии моделхои буриданашудаи чилхои моили гауссии мусбат оварда шудаанд. Тахеометри SOKKIA хамчун асбоб истифода шудааст. Мукоисаи ғафсии чилдхои тунук бо ёрии тахеометр ва пармакунии майдони чилдхо анчом дода шудааст.

Калидвожахо: гафсии бетон, буриданашуда, чилди моил, наворбардории ичроия, қолаб.

DEFINITION OF CONTINUOUS CONCRETE MODELS ONLY THE CANOPY OF SHELLS R. Numanov, T.S. Safarov, U.R.Teshaev

The standard planar reinforced concrete coatings used slow down the construction of buildings and structures with a large grid of columns due to the fact that with increasing spans their mass and, accordingly, the consumption of concrete and steel, as well as their cost, increase. If spatial structures are used instead of planar ones, for example thin-walled flat shells, then material consumption decreases within 15-20%, this affects the lightness of the structure, which plays an important role for construction in seismic areas. In addition, in planar coatings, the material works mainly for bending, being a load for the underlying, and in spatial structures, due to their curvatures, the material is used more efficiently, and they work both for compression and tension, and therefore the load is perceived by the entire structure, and not by its individual elements. All this creates additional reserves in construction and provides savings in labor costs and capital investments and meets the main directions of development of the modern construction industry. The above applies not only to industrial, transport and agricultural buildings and structures, but also to public ones: sports, entertainment, shopping and others, where spatial structures, especially flat shells, make it possible to cover large spans without great expense, and also give the structure architectural expressiveness with their views. The main principle when choosing the type of coating is a combination of technical and economic feasibility. The future of a building and structure must not only meet the technical, technological and architectural requirements imposed on it, but also be economical. When considering the geometry of a thin-walled shell, we will keep in mind the geometry of its median surface, i.e. the surface passing through the middle of its thickness. The article presents the results of geodetic executive survey of models of continuous flat shells of positive Gaussian curvature. The SOKKIA total station is used as a device. The thickness of the shells was compared using a total station and the field of the shells was drilled.

Keywords: concrete thickness, incision, flat shell, executive survey, formwork.

Введение

Железобетонные пологие оболочки положительной гауссовой кривизны широко применяются в качестве покрытия как в гражданском, так и в промышленном строительстве. Конструктивные особенности и область применения неразрезных пологих оболочек приведены в работе [1].

Для проведения статических и динамических испытаний и определения их параметров необходимо изготовить модели неразрезных пологих оболочек. Толщина моделей неразрезных оболочек играет важную роль при определении динамических параметров пространственной конструкции [2].

Ведущими специалистами стран СНГ выпущено очень много технической литературы по дисциплинам «Геодезия», «Инженерная геодезия», а также специальные литературы, как современная геодезическая техника и ее применение и др., которые необходимы для инженеров-строителей [3-11].



Рисунок 1 – Момент съёмки с помощью тахеометра SOKKIA

Для изготовления трёх моделей неразрезных пологих оболочек были изготовлены три деревянные опалубки. Размеры каждой модели оболочки 2,4х2,4 м в плане (рисунок 1).

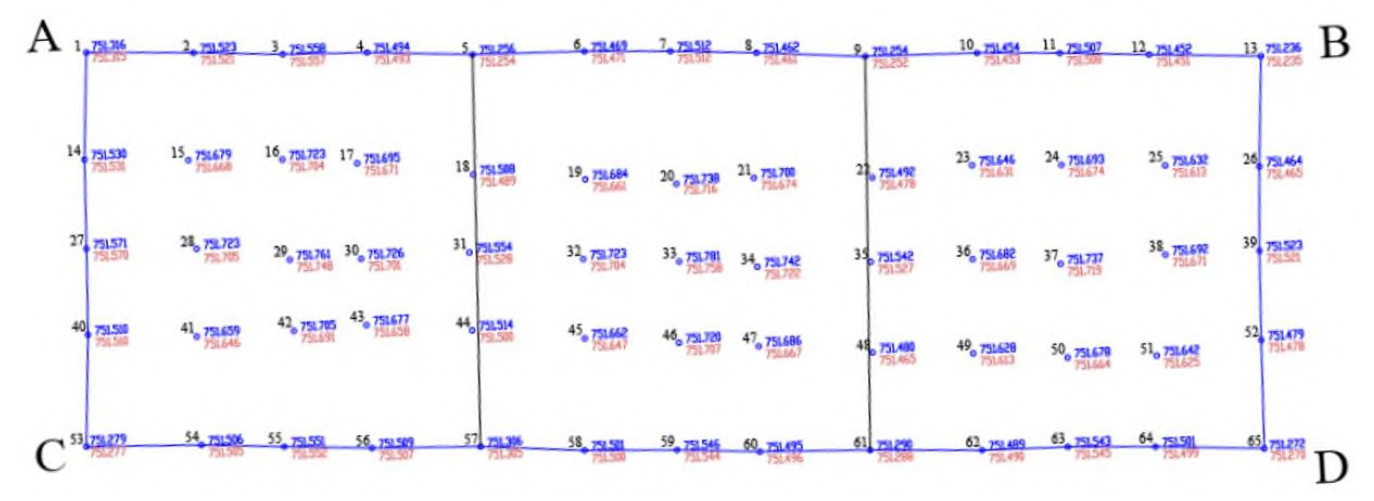


Рисунок 2 – Первоначальные и исполнительные съёмки поля оболочек

Используя результаты первоначальных и исполнительных съёмок поля оболочек, определяем среднюю толщину оболочек:

- -52,11:3=17,37 мм средняя толщина бетона поля оболочки;
- -20,3 мм средняя толщина бетона приконтурной полосы оболочки;
- -27,8 мм средняя толщина бетона углов оболочки.

Отметки обреза фундаментов и высота головки колонн. Высота колонны A равна 1230 мм, а B равна 1243 мм. Высота колонны C равна 1224 мм, а D равна 1258 мм.

Стрела подъёма фермы-диафрагмы в первой оболочке 318 мм, в средней 310 мм, а в третьей составляет 317 мм.

Стрела подъёма фермы-диафрагмы в первой оболочке 320 мм, в средней 310 мм, а в третьей составляет 324 мм.

Максимальные точки середины каждой модели оболочки находятся в пределах 751.761-для первой модели, 751.781—для средней модели и 751.737-для третьей модели оболочки, толщина оболочек составляет 13, 18 и 23 мм. После завершения экспериментальных испытаний произвели разгрузку

физической модели неразрезных оболочек. Для определения толщины бетона с помощью электродрели просверлили (диаметр сверло 5 мм) 3 оболочки в 51 месте.

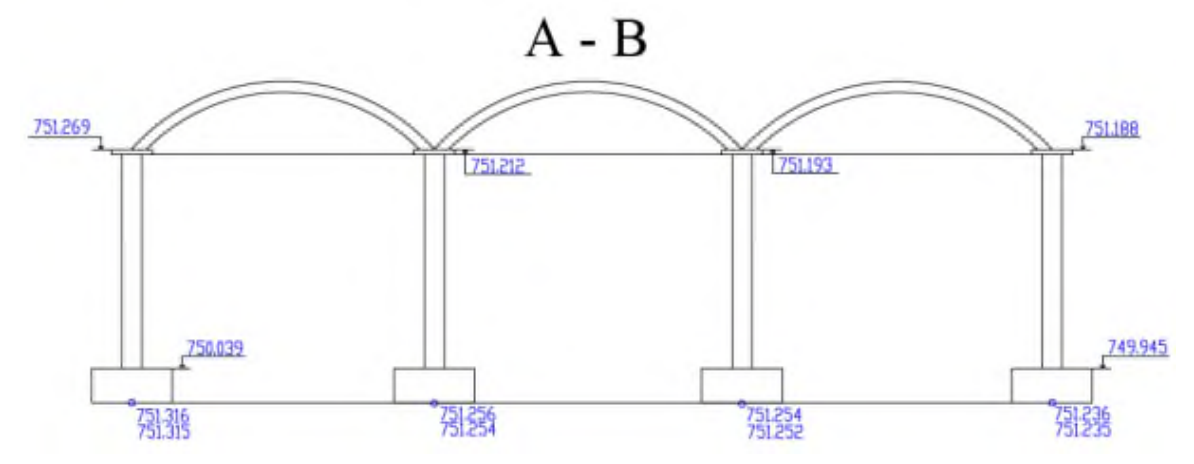


Рисунок 3 – Отметки у обреза фундаментов и верха колонны по направлению А-В

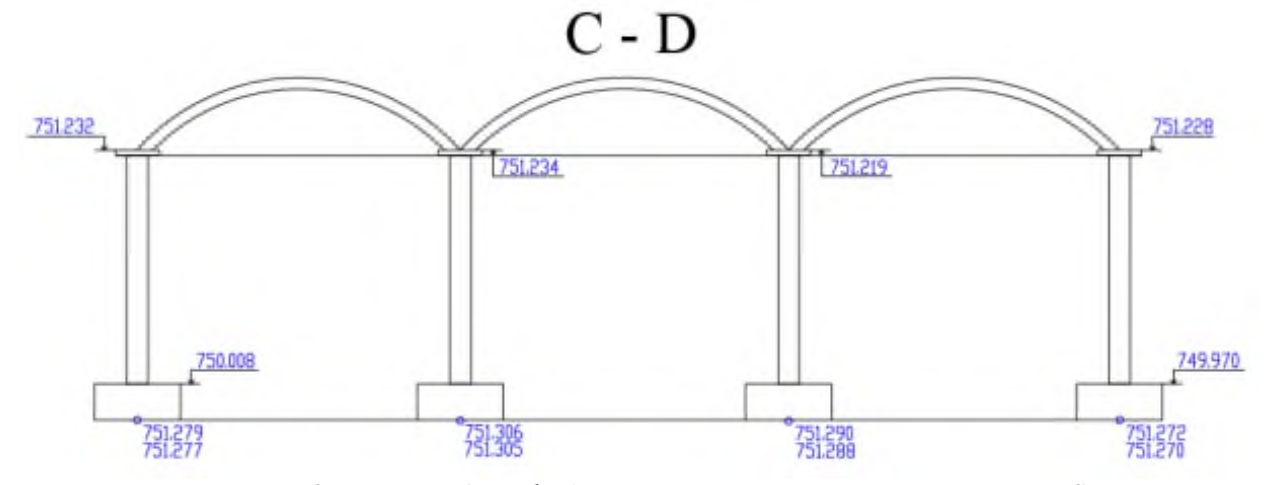


Рисунок 4 – Отметки у обреза фундаментов и верха колонны по направлению С-Д

Если сравнить толщину середины каждого поля оболочки в 9 точках с помощью тахеометра SOKKIA и просверленных отверстий, то получим следующие средние толщины оболочек. Для оболочки 1, 2 и 3 соответственно 16,87, 18,89 и 17,33 мм по тахеометру SOKKIA, а по отверстиям соответственно 22,22, 17,67 и 16,89 мм, а среднее значение соответственно 17,67 и 18,93 мм, то есть разница составляет всего 9,3%.

Учитывая вышеуказанное в дальнейшем, можно приступить непосредственно к проведению экспериментальных исследований физической модели неразрезных оболочек.

Вывод

- 1. Толщина оболочек по данным тахеометра находятся в пределах:
- -17,37 мм средняя толщина бетона поля оболочки;
- -20,3 мм средняя толщина бетона приконтурной полосы оболочки;
- -27,8 мм средняя толщина бетона углов оболочки.
- 2. Толщина середины поля для оболочки 1, 2 и 3 соответственно 16,78, 18,89 и 17,33 мм по тахеометру SOKKIA, а по отверстиям соответственно 22,22, 17,67 и 16,89 мм, а среднее значение соответственно 17,67 и 18,93 мм, то есть разница составляет всего 9,3%.
- 3. Стрела подъёма фермы-диафрагмы в первой оболочке 318 мм, в средней 310 мм, а в третьей составляет 317 мм, а стрела подъёма фермы-диафрагмы в первой оболочке 320 мм, в средней 310 мм, а в третьей составляет 324 мм.

Рецензент: Абдуллоев И. — қ.т.н., доцент, ведущий специалист Государственное унитарное предприятие Научноисследовательски институт «Строительство и архитектура»

Литература

1. О.Р. Нуманов. Конструктивные особенности и область применения неразрезных пологих оболочек. /Политехнический вестник. Серия Инженерные исследования. ТТУ №4 (56) – 2021.- с. 147-151.

- 2. Р.А. Шакирзянов, Ф.Р. Шакирзянов. Динамика и устойчивость сооружений. Учебное пособие. Казанский государственный архитектурно-строительный университет. Казань 2015 г.-120 стр.
- 3. Инженерная геодезия: Учебник для вузов / Е.Б. Клюшин, М.И. Киселев, Д.Ш. Михелев, В.Д. Фельдман; Под ред. Д.Ш. Михелева. 4-е изд., испр. М.: Изд. центр «Академия», 2004. 480 с.
 - 4. Инженерная геодезия: Учебник / Г.А. Федотов. 2-е изд., исправл. М.: Высшая шк., 2004. 463 с.: ил.
- 5. Перфилов В.Ф. Геодезия: Учеб. для вузов/ В.Ф. Перфилов, Р.Н. Скогорева, Н.В. Усова. -3-е изд., перераб. И доп. М.: Высш. шк., 2008. -350 с. : ил.
- 6. Поклад Γ . Γ . Геодезия: учебное пособие для вузов / Γ . Γ . Поклад, Γ . Γ . Гриднев. 2-е изд. М.: Академический проект, 2008. 592 с.
- 7. Дементьев В.Е. Современная геодезическая техника и ее применение: Учебное пособие для вузов Изд. 2-е. М.: Академический проект, 2008. 591 с.
- 8. Куштин И.Ф., Куштин В.И. Инженерная геодезия. Учебник. Ростов-на-Дону: Издательство ФЕНИКС, 2002. 416 с.
- 9. Инженерная геодезия. Геодезические задачи и полевые работы: Учеб. пособие / Н.Н. Загрядская, Е.Б. Михаленко, Н.Д. Беляев и др. СПб.: Изд-во Политехн. ун-та, 2008. 192 с.
- 10. Инженерная геодезия. Геодезические разбивочные работы /Учеб. пособие/ Е.Б. Михаленко, Н.Д. Беляев, В.В. Вилькевич, Н.Н. Загрядская, А.А. Смирнов. СПб.: Изд-во СПбГПУ, 2004. 50 с.
- 11. Инженерная геодезия. Решение инженерных задач на планах и картах: Учеб. пособие / Н.Д. Беляев, Ф.Н. Духовской, Н.Н. Загрядская, Е.Б. Михаленко. СПб.: Изд-во Политехн. ун-та, 2004. 66 с.

СВЕДЕНИЯ ОБ АВТОРАХ – МАЪЛУМОТ ДАР БОРАИ МУАЛЛИФОН – INFORMATION ABOUT AUTHORS

ABOUT AUTHORS			
TJ	RU	EN	
Нуманов Олим Рахимович	Нуманов Олим Рахимович	Numanov Olim Rahimovich	
Н.и.техникй, дотсент	К.т.н., доцент	Candidate of Technical Sciencts, Associate Professor	
Донишгохи техникии	Таджикский технический	Tajik Technical University named	
Точикистон	университет имени академика	after	
ба номи академик М.С. Осимй	М.С. Осими	academic M.S. Osimi	
	e-mail: <u>nor5@mail.ru</u>		
TJ	RU	EN	
Сафаров Тағоймурод	Сафаров Тагоймурод	Safarov Tagoymurod	
Сангимуродович	Сангимуродович	Sangimurodovich	
муаллими калон	старший преподаватель	senior teacher	
Донишгохи техникии	Таджикский технический	Tajik Technical University named	
Точикистон	университет имени академика	after	
ба номи академик М.С. Осимй	М.С. Осими	academic M.S. Osimi	
e-mail: tagay84@mail.ru			
TJ	RU	EN	
Тешаев Умарчон Риёзидинович	Тешаев Умарджон Риёзидинович	Teshaev Umardzhon	
		Riyozidinovich	
Н.и.техникй	К.т.н.	Candidate of Technical	
		Sciencts	
Донишгохи техникии	Таджикский технический	Tajik Technical University named	
Точикистон	университет имени академика	after	
ба номи академик М.С. Осимй	М.С. Осими	academic M.S. Osimi	
umar.teshaey@mail.ru			

УДК 72.036 (575.3)

НАҚШИ АНЪАНАХОИ МЕЪМОРИИ ХАЛҚЙ ДАР РУШДИ ШАХРАКХОИ БОСТОНЙ

Р.Ш. Зокиров

Донишкадаи политехникии Донишгохи техникии Точикистон ба номи академик М.С.Осимй

Ба назар гирифтани хусусиятҳои ичтимоию демографии аҳолии шаҳрҳои хурд вобаста ба омилҳои сохтории оила, тарҳиб, тарзи зиндагӣ ва тамоюли таӻҳироти минбаъдаи онҳо бояд талаботи асосӣ ҳангоми ташкили манзили мувофиқ ва мусоид барои ин оилаҳо бошад. Омӯзиши омилҳои ичтимоию демографии аҳолии шаҳракҳои бостонӣ, алалҳусус вижагиҳои зисту зиндагӣ ва фаъолияти оилаҳои серфарзанд, оилаҳои муракҡаби 2-3 насл ва ташаккули оилаҳои муракҡаб дар шароити Точикистон яке аз роҳҳои муайян намудани мачмуаи хусусиятҳои хоси ташаккули манзилидорои хоси дугонаи деҳот ва шаҳр ва ба ҳалли меъморию тарҳрезии манзил мувофиқ будани ин оилаҳо дар маҳола мавриди баррасӣ қарор гирифтааст.

Калидвожахо: меъмории халқ*й*, манзили истиқомат*й*, демография, оилахои мураккаб, шахрхои хурд, фарҳанги бостон*й*. анъана

РОЛЬ НАРОДНЫХ АРХИТЕКТУРНЫХ ТРАДИЦИЙ В РАЗВИТИИ ДРЕВНИХ ГОРОДКОВ Р. Ш. Зокиров

Учет социальных и демографических особенностей населения малых городов в зависимости от особенностей семейной структуры, состава, образа жизни и тенденции их дальнейших изменений должен быть основным требованием при создании подходящего и благоприятного жилья для этих семей. Изучение социальных и демографических факторов населения древних поселений, в частности, особенностей жизни и деятельности многодетных семей, сложных семей 2-3 поколений и формирования сложных семей в Таджикистане является одним из способов определения В статье рассматривается совокупность особенностей формирования жилья с двойственными характеристиками сельской и городской местности и решения архитектуры и дизайна жилья.

Ключевые слова: народная архитектура, жилище, демография, сложные семьи, малые города, древняя культура, традиция.

THE ROLE OF FOLK ARCHITECTURAL TRADITIONS IN THE DEVELOPMENT OF THE ANCIENT TOWNS

R. Sh. Zokirov

Taking into account the social and demographic characteristics of the population of small towns, depending on the characteristics of the family structure, composition, lifestyle and the tendency of their further changes, should be the main requirement when creating suitable and favorable housing for these families. The study of social and demographic factors of the population of ancient settlements, in particular, the features of life and activities of large families, complex families of 2-3 generations and the formation of complex families in Tajikistan is one of the ways to determine the set of characteristics of the formation of housing with the dual characteristics of rural and urban areas and the solution of architecture and design of housing, existence of these families is discussed in the article.

Keywords: folk architecture, dwelling, demography, complex families, small towns, ancient culture, tradition.

Мукаддима

Таҳияи тарҳ ва бунёди манзилхои инфиродии истиқоматй дар ҳама давру замон аз масъалаҳои вижаи илми меъморй маҳсуб меёбад. Он хусусияти минтақавиро ба он ҷиҳат ба худ касб намудааст, ки омилҳои табиию иқлимй бо анъанаҳои фарҳангии ҳар миллат мебояд ҳамоҳанг бошанд. Таҳқиқи манзилҳам аз лиҳози сотсиологй ва ҳам иқтисодй ба сатҳи рушди чомеа ва инкишофи технологияҳои муосир алоқаманд мебошад. Лекин омӯзиш ва ҳифзи мероси фарҳангии моддй, махсусан манзили истиқоматии инфиродй аз масоили мубрами илми таърих ва назарияи меъморист. Ҳадафи таҳқиқот баррасии анъанаҳои асили таърихй дар самти лоиҳакашй ва бунёди манзилҳои халҳй дар мисоли шаҳракҳои бостонии Шимоли Тоҷикистон, мисли Хуҷанд, Гулистон, Исфара, Конибодом, Ғончй, Шайдон ва амсоли онҳо маҳсуб меёбад, ки ҳар минтаҳа вижагиҳои хоси худро дар зовияи таърих ҳифз намудааст.

Маводхо ва методхо

Муаллиф дар асоси тахлили холати имрўзаи иншооти мардумии минтакахои таърихии шахракхо, сухбат бо ашхоси солхўрда, хофизаи таърихй ва шохиди бевоситаи бунёди манзилхои анъанавй буданд ва омўзиши сарчашмахои илмии мухаккикони Экспедитсияи бостоншиносии Русия дар солхои 20-уми асри гузашта усули тахкикотро муайян намудааст.

Масолехи асосии сохтмони манзии истикоматй то ибтидои асри XX дар манотики Хучанд ва атрофи он чубхои дарахтони сафедор, гилхок, гач ва санг ба хисоб мерафт. Молики манзил ба устои иморатсозхаррот, муйсафедон, хамсояхо маслихат намуда, чои иморатро интихоб ва мувофика менамуданд. Харрот бо гунё ростию качии минтакаи иморатро муайян менамуд ва бо речаресмон кунчхои катории кутри биноро дакик мувозй менамуд. Сипас бо максади ташаккули хамвории нисбй чойхои баландро тарошида, ба мавзеи китъахои паст шибба карда, худуди иморати бунёдшавандаро омода (хамвор) менамуданд.

Бо кўбакчўби сахти вазнин мавзей асос ва тахкурсиро хамвор намуда, он дар натичай сангчинй, истифодай чўбхой арча бо усулхой хоси мустахкамкунй, ки *тарокбанда* ном дошт, бунёд мегашт. Омилхой ба зилзила тобовар гаштани биноро тагсинч, бурё, гўша, чахоргўша, равок, болосинч ва сутунхо таъмин менамуданд.

Тавассути *ҳашар*, ки дар он хешу пайвандон, ҳаққу ҳамсояҳо, ҳамммаҳалла ва ҳамгузарҳо иштирок намуда, кулӯҳдеворҳо бардошта, онҳоро бо *коҳаили* дағал *хомлой* мекарданд. Лойи хом якҷоя бо *кулуҳдеворҳо, синҷҳо, равоқҳо* ва сутунҳо мустаҳкамии иморатро таъмин менамуданд.

Пас аз он маъракаи муҳимми болорбардорй барпо мегашт. Мувофикан ба сатҳу фазо ва ҳаҷми ҳуҷра шумораи болорҳо муҳаррар ва мавриди истифода ҳарор мегирифт. Одатан болори ҳуҷраҳо мувофиҳ бо шумораи тоҳ, мисли ҳафт, нуҳ, ёздаҳ, сенздаҳ ададй гузошта мешуд. Баъдан ҳаррот бо шогирдонаш ҷузъҳои саҳф: араҳа, ҳабза, фурӯмон, ҳошия вассаҳоро бо тартиби муайян чида ҷобаҷо менамуданд. Пас аз он ҷузъҳоро ба рӯи болорҳо бароварда, васлу насб менамуданд.

Пайвасти сақф бо болорҳо, сутунҳо, синҷҳо бидуни истифода мех амалӣ мегардид ва ин ҷараёни бағоят муҳими корро харротҳо «қулфу калиди иморат» меномиданд. Равоқи байни болорҳо одатан яклухт ва ё қисман бо вассаҳо пушида мешуд. Ҳолати яклухти ҷузъҳоро вассаҷуфт ва омехтаи вассаю бурёро вассабурё меномиданд.

Ашхоси сарватманд сақфи иморати худро бо ҳавсалаи том *кандакорū, наққошū, оинакорū, гачкорū* ва ҳавзак зебу зиннат медоданд. Пас аз ҷобаҷо намудани сақфи хона бардоштани кулӯхдеворро ба итмом мерасониданд ва ин ҷузъи иморат *сардеворū* ном дошт.

Пас болои вассачуфт ва ё вассабурё навъи махсуси бурё (ё худ най) ва аз болои он пахол(кох) пахн мекарданд. Ба руйи пахол лойи ба хок омехтаро бо номи *гурагил* мепартофтанд ва алохида аз руйи он хок мекашиданд. Тамоми руйи бомро рохи обхои борону барф, тарновхоро ба назар гирифта, болои омехтаи кохгил бо хавсалаи том меловиданд.

Бо шинонидани дару тиреза тобадон-панчараи кандакоришудаи болои даромадгох, ки аз он рушной ба хона медаромад, *дарпарда*-табақи тахтагини руйи тирезахо, дарича ва равзанахо эътибори калон медоданд.

Сипас деворхои даруни манзилро бо лойи омехтаи кохи махин пардоз медоданд. Мардуми доро барои пардоз *еачхок*ро истифода мебурданд. Дар деворхои дохили хона *тахмон*, тахмончахо ва *нимаравзанахои мехробū* чузъхои мухимми манзили истикоматй махсуб меёфтанд.

Тахмон дар миёначои девор, *пешеохи манзил* барои гузоштани сандукхо ва дар болои он гузоштани чихози рузгор чузъхои мухим ба хисоб мерафтанд. дар тахмончахо, ки одатан дар ду тарафи тахмон чой доштанд, воситахои маишию хочагй нигох дошта мешуд.

Ток, ки буриши қисми поёнии деворро ишғол менамуд, барои гузоштани чиҳози ҳаҷман хурди таиноти рузмарраи рузгор истифода бурда мешуд.

Дар токчахо зарфхои сафолй, чинй, мисин ва биринчиро чида мемонанд. Инчунин аз руи анъана китобхои мукаддасро боло аз хама ашё чой медоданд.

Дар хавлихои берун одамони мутаассиб хонахои махсуси *«мехробдор»* бунёд менамуданд. Мехроб дар девори самти ғарбии хучра бо усули кандакории руйи гач кашида мешуд. Токчахои ин гуна манзилхо болопушдор буда, ба сифати ороиш ва аз макрухшави эмин нигох доштани зарфхо хизмат мекарданд.

Ба фарши хона вобаста ба ҳолу вазъи оила бурё, ё худ пахол, аз болои онҳо *палос, гилем ё намад* паҳн менамуданд. Воситаи муҳимми гаркунии манзилҳо дар фасли зимистон сандалӣ маҳсуб меёфт.

Хучраи даромадгохи хавлиро бошад, дахлез меномиданд. Дахлез хатман оташдон, мурй ва ташновро дарбар мегирифт. Дар деворхои дахлез низ *ток ва токча* месохтанд. *Нондон*-сандуки нон, хумхо ва кузахои об, сатили болопушида, зарфхои гуногуни рузгор дар дахлез чой мегирифтанд.

Хучрахои камоина ва аз тахта кунгурабандй кардашударо айвони тахтабанд ва сароинадорро айвони равон (дорои дарпарда) меномиданд. Дар меъмории халқии Шимоли Точикистон хазинаи ҳавлиро қазноқ мегуфтанд. Ин яке аз усулҳои муайяннамуда барои минтақа маъмул буд.

Масъалагузорихо

Имруз диди чомеа ба манзил комилан дигаргун гардидааст. Афзоиши ҳаҷм ва суръати сохтмони биноҳои истиқоматй дар Тоҷикистони Шимолй, махсусан дар шаҳрҳои хурд ба интихоби биноҳои муосир таваҷҷӯҳи ҷиддй медиҳад. Намудҳои биноҳои истиқоматй бо назардошти фароҳам овардани шароити мусоиди зист барои аҳолй ва мутобиқат ба талаботи замонавии санитарию гигиенй, экологй, меъморй ва бадей мунтазам такмил дода мешавад [1].

Пас масоили таъмини манзил дар сохтмони манзили Точикистон хануз хам масоили мухимтарин бошад, дар давраи миёнамўхлат бояд дигаргунихои сифатй ва сохторй ба амал оянд. Аз ин рў, суоле ба миён меояд: сохтмони нави манзил дар шахрхои хурди таърихии Точикистон чй гуна чойгир хохад шуд, оё навъхои бинохои истикоматй ба тамоми мачмааи хусусиятхои иклимии ин минтака, таркиби демографии ахолй мувофикат мекунанд? Халли меъморй ва банакшагирии манзилхо, бинохои истикоматй дар кадом конструксияхо ва аз кадом масолехи бинокорй сохта мешаванд, микдори ошёнахо, тачхизоти мухандисй, дарачаи обёрй ва ободонй ва ташаккули хонахое, ки дар солхои наздик пешбинй карда шудаанд, навъхои бинохои истикоматии дорои дурнамо, чй гунаанд? Ба назар гирифтани хусусиятхои зисту зиндагй ва анъанахои миллй ва хусусиятхои иклимй хело мухим мебошад.

Натичахо

Банақшагирии пояи моддию техникии сохтмони манзил, иқтисодиёт, тараққй додани индустрияи намунавии лоиҳакашии бинокорй ва умуман дараҷаи умумии рушди бемайлони хоҷагии манзил бештар ба ҳалли ин масъалаҳо вобаста аст.

Рушди сохтмони манзил дар худуди нохияхои чуғрофии Точикистони Шимолй ахамияти калон дорад, зеро шароити иқлимй ва чуғрофии минтақа ба тарҳи меъморй, банақшагирй ва конструктивии бинои истиқоматй таъсири назаррас мерасонад.

Хачми калони сохтмони манзил имрузхо дар шахракхои Fончӣ, Мехробод, Шайдон ва Навкат аз хисоби тараққиёти марказхои иқтисодӣ ва азхудкунии сарватҳои зеризаминии куҳсор ба амал меояд.

Дар солхои наздик дар раванди лоихакашй ва сохтмон ба намуд ва сохти бинохои истикоматй ва манзилхо дигаргунихои калони сифатй, технологияи муосири соха (Расми 1) таъсир расонида истодааст. Лоихахои нави намунавии бинохои истикоматии дар холи хозир амалкунанда ва дар сохтмон кабулшуда барои шароити сохтмони махаллй тархрезй шудаанд, ки ба имкониятхои муосири рушдёфта, вазъи кунунии заминаи сохтмонй ва меъёрхои мавчудаи чойгиршавии фонди манзил нигаронида шудаанд, кадами аввалин ба навоварй дар сохтмони манзили муосир махсуб меёбад [2].



Расми 1 – Тачдиди манзили анъанавй тавассути барнома (муаллиф)

Суръати баланди инкишофи пояи моддию техникии сохтмони манзил, ба вучуд овардани масолехи нави самарабахши деворию пардоздихй ва навъхои навоваронаи тачхизот, васеъ намудани имкониятхои ичтимоию иктисодии Точикистони Шимолй мунтазам бехтар намудани шароити манзилй ва зиёд кардани дарачаи истикомати фонди манзил — хамаи ин бо максади дар ояндаи дурнамо татбик намудани тарххои нави банакшагирй ва лоихакашии хонахо ва манзилхо заруратро ба миён меорад.

Кӯчонидани оилаҳои серфарзанд дар биноҳои истикоматии серошёна низ масоили мубрами шаҳрҳои хурди муосир мебошад.

Хиссаи муайяни масохати қисмати азнавсозии шахракҳо (нисбатан 35-55%), аз қабили шахракҳои Бӯстон, Гулистон, Истиклол ва Навкат барои биноҳои камошёна ҷудо шудааст. Пас дар давоми даҳ соли оянда ин маҳаллаҳо мувофики талабҳои иктисодиёти шаҳрсозӣ метавонанд ба ҳудуди ғайриокилона истифодашаванда ва пурарзиш барои азнавсозии минбаъдаи шаҳри ҳурд табдил ёбанд.

Холо дар шахрхои хурди Точикистони Шимолй қисми зиёди сохтмони манзилхо аз руи лоихахои инфиродии бинохои камошёнаи истикоматй аз тарафи устохои халкй ба чо оварда мешавад.

Муҳокима

Таҳқиқоти муаллиф нишон дод, ки ҳалли меъморию нақшакашии манзилҳои миёна ва баландошёна шароити табиию иқлимии маҳалро пурра инъикос намекунанд, ғайр аз ин, вижагии онҳо ба фоизи оилаҳои маҳаллаю мавзеъҳои аҳолинишин дар оянда ба онҳо мувофиқ нест, ки дар оянда метавонад боиси фарсудашавии маънавии фонди манзил гардад. Иқлим ва анъанаҳои бостонии мо ба ҳавлиҳои сарсабзу манзили камошёна (Расми 2) эҳтиёҷи бевосита дорад.

Хусусияти сохтори демографии ахолии шахрхои хурди минтақа афзоиши хиссаи оилахои серфарзанди 3-4 насл мебошад, ки барохатии хонагй дар шароити иклими гарм мавчудияти хавлй ё фазои калонро такозо мекунад, ки мувофик бо манзилхои истикоматй алоқаманд аст. Хонахои истикоматии барои оилахои мушаххасро, ки табиист, пурра дар манзилхои бинохои истикоматии 3—4-ошёна таъмин кардан мумкин нест ва онхо аз руи лоихахои намунавии серияхои 134 ва 142 солхои 60-уми асри XX сохта шудаанд[3].



Расми 2 – Азнавсозии манзили анъанавй. Исфара, 2023с. (акси муаллиф)

Халли меъморй ва банақшагирии манзилхои истиқоматй барои оилахои серфарзанд дар лоихахои тачрибавии бинохои истиқоматии 4 ва 5-ошёна, ки аз чониби ЧММ «Шахрофар» барои сохтмони оянда дар шахри Гулистон тахия шудаанд, таваччухи хоса доранд. Аммо, мутобиқат ба равшанй ва аэратсияи хонахои бисёрхучрагй бо бинохои кунчй, умқи калони умумии тобистон ва чойхои зист дар онхо мувофиқи мақсад нест.

Бинохои истикоматии 5-ошёнаи панелй (хангоми ба тарафи шимолии уфук нигаронидашуда боиси нокифоя таъмини равшанй шудани онхо мегардад) шаходат медихад, ки мушкилот дар халли меъморй ва накшакашии манзилхо як чизи мукаррарй шуда мондаанд. Бинобар ин пеш аз тартиб додани лоихахои намунавии бинохои миёнаошёнаи истикоматй барои сохтмони минбаъда, аз нуктаи назари мо, чўстучўи шакли бинохои камошёнаро васеътар вусъат додан лозим аст, ки ба мувофик будани зиндагии ахолй дар шароити табиию иклимии шахрхои хурди Точикистони Шимолй мувофик бошад.

Халли меъморию тархрезй барои лоихахои бинохои истикоматии типй, бисёрошёна, ки барои бунёд дар шароити иклими гарму хушки минтака кобили кабул аст, ба рох монда шавад. Бо ин максад камаш 50 фоиз зиёд кардани фоизи манзилхои бисёрхучрадорро тагйир додан лозим аст (ба истиснои ашхоси яккаю танхое, ки бояд дар хонахои типи мехмонхона чойгир карда шаванд) чойгир намудани ахолй ба назар гирифта шавад.

Халли меъморй, банақшагирй ва созандаи бинохои истиқоматии замонавй, ки муаллиф тавсия кардааст, ба шароити табиию иқлимии маҳаллй ва анъанаҳои мусбати зиндагии аҳолии шаҳракҳои Истиқлолу Бустон ва истифодаи оқилонаи ҳудуди фонди пурарзиши истиқоматй дар як шаҳраки ҳурд мувофиқат мекунад.

Масоилҳои меъморию бадеии сохтмони манзил дар шаҳрҳои хурди Тоҷикистони Шимолй, махсусан, таърихӣ ба монанди Шайдон, Ғончӣ, Исфара ва Конибодом аз масоили ҳалнашудаи шаҳрсозӣ дар марҳалаи ҳозира мебошанд. Меъмории халҳии (биноҳои истиҳоматии инфиродии) шаҳрҳои хурди таърихӣ ҳариб дар ҳама ноҳияҳои Тоҷикистони Шимолӣ бо вижагиҳои хоси худ, маҳорати бадей ва завҳи худ дар интихоби маҳалли аҳолинишин, тарҳиби ҳаҷмию фазой, пластикӣ ва ороиши биноҳо фарҳ менамояд. Ҳоло бисёр шаҳраҡҳо бо роҳи ободонию кабудизоркунӣ, асфалтпуш кардани ҡу҇чаю роҳравҳо, вайрон кардани биноҳои фарсуда, айвонҳо ва деворҳои ҳавлиҳо симои худро натанҳо нигоҳ медоранд, балҳи беҳтар меҳунанд. Хусусиятҳои муосири тамаддуни ҷаҳонӣ тадричан ба меъмории худи манзилҳо ворид мешаванд, ки онҳоро таҳияҳунандагони алоҳида аз руи анъанаҳои таърихии ҳазорсола ва алоҳаманд бо биноҳои мавчуда бунёд намудаанд.

Атрофи хона низ тағйир меёбад: ҳаҷми қитъаҳои шахсй кам мешавад, саройхонаҳо аз байн мераванд, оғилхонаҳо барои чорво ва нигоҳдошти маҳсулоти кишварзй танзим мешаванд, дар баробари ин мошинсаройҳо барои нақлиёти шахсй торафт бештар пайдо мешаванд. Алоқамандй ба ранг дар коркарди тобишҳои контрастй ва гуногунҷанбаи намои манзилҳо, асосан дар ду ранг (сабз ва кабуд) зоҳир мешавад, ороиши мунаққаш ва дигар ҷузъҳои ороиширо ташаккул медиҳад.

Дар бинохои алохидаи махаллахо ва шахракхо рангубори якранг ва ду-рангаи деворхоро бо хусусиятхои миллии худ дидан мумкин аст, ки тахминан дар як самт ичро карда мешавад [3].

Иддае аз таррохон ва бунёдгарон дар шахрхои хурди Точикистони Шимолй манзилхоро хишт сохтанд, ки деворхои онхо бештар бо накшу нигори ороишй аз хишти пухта ва гилу охак кашида шудаанд. Хамин тарик, хусусиятхои нав тадричан ба тасвирхои барчастаи манзили оммавй дохил мешаванд. Вазифаи меъмор аз он иборат аст, ки хусусиятхои зиндагй дар манзили ахолй, татбики дастовардхои пешкадамро ба дарачаи махорати касбии меъморй инкишоф дода, барои амалия дар мухити зисти шахри хурд дастрас гардонанд. Дар хакикат, ба масъалахои симои бадеии мухити зисти шахракхои минтака муддати зиёд эътибор дода намешуд.

Хангоми тархрезии нав ё азнавсозии махаллахо ва махаллахои таърихй, чун қоида, чузъхои ташаккули симои меъмории шахри хурд (интихоби чойгиршавй, таркиби ҳачмй-фазоии он, навъхои манзилхо, анъанахои миллй, кабудизоркунй, шаклхои хурд ва ғ.) ҳалли мақсаднок ва ба ҳамдигар мувофиқ кардашуда ба инобат нагирифтанд.

Аз чихати таркиб ривочу равнак шахрхои хурди Бустон, Гулистон ва Гафуров бо хонахои сексиявии 4—5-ошёна аз дигар шахракхо бехтар буд. Хонахои сексиявй, ки аз балконхо махрум буданд, дар байни бинохои пастошёнаи як шахраки хурдакак танхо ба мухити зист мувофикат намекарданд. Вакте, ки бо хонахои сексиавии 4—5-ошёна (дар шахрхои Гончй, Шайдон ва Мехробод) сохта шуданд, деха хусусияти дехотии худро гум карданд; онхо ба як махаллаи оддии шахрй табдил ёфта, бо намуди худ бинохои хурди маркази чамъиятии дехотро, ки дар наздикии он вокеъ гардидаанд, фаро гирифт.

Бешубҳа, биноҳои пастошёна дар шаҳри хурдакак зебоманзар ба назар мерасанд. Таносуби биноҳои пастошёна бо майдонҳои сабз, биноҳои ҷамъиятӣ ва гирду атрофи табиӣ онҳоро аз ҷиҳати меъморӣ барои посёлкаҳои хурди шаҳрӣ, ки 20-30 ҳазор аҳолӣ доранд, хеле мувофиқ мегардонад. Инро таҷрибаи истифодаи биноҳои камошёна дар ноҳияҳои гуногуни иқлимии Ҷумҳурии Тоҷикистон шаҳодат медиҳад. Дар биноҳои камошёна ба назар гирифтани шароити этникӣ, иқлимии минтақавӣ ва дигар шароит осонтар аст.

Хамин тавр, ба хонаҳои баландкӯҳи Кӯҳистони Мастчоҳ ва Айнй умқй ва зич будани хонаи сангин, ки бо хохиши кам кардани талафи гармй, мавҷуд будани шабакаи зеризамини аэратсияшаванда, боми ҳамвор, равзанаҳои нисбатан хурди тиреза, гузаргоҳҳои байни биноҳои истиқоматй ва хавлиҳои айвондор дар нишебиҳои мураккаб ба роҳ монда шудааст.

Хусусияти хонасозии водии Фарғонаи Точикистон (ноҳияҳои агломератсияи Хучанд) вобаста ба намуди хона бо сохтани лодчияхо, айвонҳо, (расми 3) воситаҳои аз офтоб муҳофизаткунанда, галлерея, айвонҳо ва равонҳо ба вучуд оварда мешавад.



Расми 3 – Айвон ва хавз қисми ногусастаи хавлии анъанавй. ш. Конибодом, 2023. (акси муаллиф)

Тавре муаллиф бар ин назар аст, «ҳангоми ба нақша гирифтан ва обод кардани шаҳрҳо дар шароити Ҷумҳурии Тоҷикистон ба назар гирифта мешавад, ки одам дар ин ҷо метавонад қисми зиёди вақти солро (8-9 моҳ) дар ҳавои кушод, берун аз он хона (дар берун, дар ҳавлии кабудизоршуда, дар боғҳо) гузаронад» [4].

Мушкилтарин монеа дар тархи намунавй халли масъалахои меъмории миллй гардид. Дар ин чо айвонхо ё қитъахои боғча мавчуданд. Агар дар вақти сохтани бинохои камошёна хануз хам анъанахоро риоя кардан мумкин аст.

Меъмории даврахои таърихй ва меъмории халқии нохияхои гарму хушк, баъд бинохои серошёна воситахои нави бадей ва усулхои бинокорй, масолехи нав ва усулхои нави нақшакаширо талаб мекунанд. Ғайр аз ин, майдони иловагии истиқоматиро ёфтан лозим аст, ки вай ҳавлии кабудизоршуда, ферма ё боғро иваз кунад.

Чумхурии Точикистон дар аксарияти (93%) худуди кўхистон бартарй дошта, сейсмикии баланд ва иклими гарму хушкро такозо мекунад. Муаллиф хусусиятхои характернок ва роххои ташаккули манзилро дар шахрхои хурди шимоли кишварамон тахкик кардааст. Вилояти Суғд ин минтакаро фаро гирифта, ки 18 вохиди шахру нохияхои маъмуриро дар бар мегирад. Аз ин шумора баъзе шахракхои хурд дорои хусусиятхои таърихии асрхои 6-7 мебошанд. Манзили шахракхои хурди таърихй ба мо анъанахои кадимаи мардумии сохтмони манзилро ба ёд меорад.

Афзоиши босуръати рушди масолехи бинокории муосир, таъсири тамаддуни чахонй ва инноватсия анъанахои куҳнаро ба тафаккур, тасвир ва услубҳои нав табдил медиҳанд.

Талаботи махсуси тархрезй ва намунахои таркиби муосири бинохои истикоматй дар иклими гарму хушк зохир мегардад. Тачрибаи муосири сохтмони шахрвандй дар минтакахои дорои иклими гарму хушк аз рушди эволютсионии хачми пушида балки-таркиби фазой бинохо шаходат медихад.

Хангоми тархрезии онҳо, маҷмӯи чунин талаботҳои муҳими махсус бояд риоя карда шаванд: маҳдуд кардани миҳдори гармӣ дар вақти гармии рӯз дар натиҷаи таъсири баланди беруна, ҳарорат ва радиатсияи офтобӣ (бевосита, паҳншаванда ва инъикосшаванда); аз шамолҳои гарм ва чанги рузона муҳофизат карданро таъмин мекунад.

Хангоми таъмини вентилятсия бо максадхои гигиенй (режими пушидаи кори бино); дар вақтҳои хунуки руз (пас аз ғуруби офтоб ва шабона) фароҳам овардани шароити мусоид барои вентилятсияи табий -ҳадди аксар кушодани фазои дохилии биноҳо ба муҳити берунии сардтар (речаи кушод); самаранок истифода бурдани тағиребии якбораи ҳарорати беруна, ки хоси минтақаҳои гарм-хушк чи дар давоми руз ва чи дар давоми сол; ҳифзи фазои дохилй аз радиатсияи ҳароратии ҳучраҳои дар давоми руз гармшавандаи хона ва ашёву сатҳи атрофи бино (биноҳои ҳамшафат, деворҳо, замини холй, асфалту бетонй ва ғайра) ифода меёбад.

Аз биноҳои камошёнаи шаҳрчаҳои хурди Тоҷикистони Шимолӣ хонаҳои атриумӣ бо ҳавли-боғҳо, ки ҳамаи хонаҳои асосӣ дар онҳо кушодаанд, васеъ паҳн шуда, ба онҳо садҳои баландиашон гуногун дохил мешаванд, ки баъзан бо ҳавлиҳои кушод ё ҳитъаҳои шахсӣ иваз мешаванд.

Бинобар азхуд карда шудани силсилаи чумхуриявии лоихахои типи бинохои истикоматй хамчун навъи иктисодй, мувофик ва хеле барохат бинохои истикоматии шахракхо симои навро ба худ гирифта истодаанд. Дар инкишофи меъмории миллй дар шароити вилояти Суғд тартиб додани лоихахои бинохои

истиқоматй барои посёлкаҳои таҷрибавии ҷумҳуриявй мисли Истиқлол, Бустон ва Гулистон хусусияти хосро ба худ гирифтааст.

Дар сохтмони муосири миёнаи шахракҳои хурд, ҳамон намуди хонаҳо, ки дар иқлими маҳал мутобиқ истифода мешаванд: сексия, маноравии баландошёна, галереявӣ ва долондор ба назар мерасад [5].

Барои таъмини шароити вентилятсияи табий дар зери таъсири фишори гармй бисёр бинохо бо вентилятсияи дохилй мучаххаз карда мешаванд ё барои ин як агрегати алоқаи амудиро якчоя бо бинохои хидматрасонии он (залхои фарш, вестибюл, зинапоя, лифт ва ғайра) истифода мебаранд. Чунин дастгоххо асосан дар бинохои истиқоматии долонхо ва намудхои сексиявй насб карда мешаванд.

Аз навъхои сексиявии хонахои истикоматии серошёна дар шахрхои Точикистони Шимолй хонахои сексияхои думанзилдор ва хонахои сексия-галереяи бисьёрманзилдор (Гафуров, Гулистон ва Бустон) васеъ пахн шудаанд.

Бинохои истиқоматии сексия-галерея ба шароити иқлими гарму хушк хуб чавоб медиханд. Ба шарофати рушди ҳадди аксар дар умқи манзилҳое, ки ба галереяҳои кутоҳ ру ба ру мешаванд, пеши деворҳои амудии беруна ба таври назаррас коҳиш ёфта, "таъсири ҳаҷмӣ"-и бино дар маҷмуъ зиёд мешавад. Ғайр аз ин, чунин сохтори банақшагирй майдони истиқоматиро ба ҳар 1 метри галлерея зиёд карда, бо ҳамин ҳароҷотро арзиши бештари манзил ва 1 м2 майдони истиқоматиро кам мекунад.

Дар асоси ин, дар ду хонаи ҳамшафат, беҳтар ҷудо кардани ошхонаҳо аз ҷойҳои истиқоматй тавассути ҷойгир кардани онҳо дар дохили ҳуҷраҳои истиқоматй ба даст оварда мешавад. Дар ин ҷо ошхонаю нуқтаҳои санитарй, қисмҳои ду манзил ба галлерея пайваст карда шудаанд.

Дар баъзе шахракҳои хурд, аз қабили Исфара, Конибодом, Ғончй ва Шайдон тамоюли ба назар намоён ворид намудани нақшҳои миллй дар ороиши деворҳо, пояҳо, сутунҳо, пардаҳо, айвонҳо ва болопушҳои нижвон (карниз) мебошад. Чунин равишҳоро дар дигар шаҳрҳои хурд низ дидан мумкин аст. Танҳо дар лоиҳаи намунавии ташкилотҳои давлатии лоиҳакашй масоилҳои меъмории миллй ҳануз қариб фаромуш карда шудаанд.

Қарори Ҳукумати Ҷумҳурии Тоҷикистон №1232, ки соли 2022 «Дар бораи тадбирҳои рушди минбаъдаи шаҳракҳои хурд» қабул шудааст, меъморонро вазифадор кардааст, ки ин масъаларо ба миён гузоранд. Дар як муддати кутоҳ маҳаллаи анъанавй бозсозии ҷиддиро аз сар мегузаронад. Ҳолати куҳнаи онҳо аз нав сохта шуда, посёлкаю маҳаллаҳои нави дорои маркази ҷамъиятй ва кучаҳои хуб, бо хонаҳои ободу зебои замонавй пайдо мешаванд Дар баробари ин, зарур аст, ки онҳо симои меъмории миллиро, ки дар тули асрҳо инкишоф ёфта, ба худ хосанд, аз даст надиханд то имруз боқй мондааст.

Бинохои истикоматии аз хиштчини дорои дарачаи пасти бадей, ки асосхои меъмории халкиро нафахмида сохтаанд, ба меъмории точик бегонаанд, гарчанде ки онхо аз боло то поён бо кандакорихои чубин, расму лавхахои ганч пушонда шудаанд. Агар аз ин мафхум пластикии деворхои сангин, тағйирёбанда, дар минтакахои гуногун ба куллй фарккунанда ва унсурхои ороиши ороишй, ки дар тули садсолахо борхо тағйир ёфта, рохи истифодаи шаклхои меъмории муосирро пеш гирифтаанд, хорич кунем, чй гуна анъанахои меъмории мардуми точик хастанд?

Ба таври умум эътироф шудааст, ки меъмории точик дар халли масъалахои шахрсозй бо тамоюли тектоникй, пластикии шакл, ҳаҷм, силуэт ва ансамбл хос аст. Аммо ин хусусиятҳо аз ҷиҳати ҷуғрофй на дар ҳама ҷо ва на дар ҳамаи давраҳои таърихи меъмории тоҷик мушоҳида карда мешаванд: масалан, ҳолати тектоникй ва пластикии шаклҳои манзили шимоли Фарғона қисман ба биноҳои Хуҷанд хос буда, дар солҳои охир аз байн рафтааст.

Анъанахои бостонию миллии точикон, мафхуми васеъро фаро мегирад. Онхо дар халли масоилхои шахрсозй, дар муносибатхои хоси сохтмони манзил ва бинохои маркази чамъиятии посёлкамахалла, ташкили алока бо фазои атроф ва аз хама мухимаш дар муайян намудани он мохияти амики идеявие, ки дар давоми садсолахо инкишофи меъмории халкиро дар саъю кушиши худ ба худшиносии милли ва муттахид намудани сарзамин муайян мекард.

Дар ин чо мо хамон меъмориро мебинем бино бо ободу ғанӣ гардондани болои бино имрўз хам хамон тамоюлҳо дар сохтмони худфаъолонаи шаҳрвандон дар шакли айвоне, ки дар намои асосии хона бо ороиши бой фаро гирифта шудаанд, идома дорад.

Имрўз мушкилоти тасвир ва ифодаи хона шахрхои хурд мазмуни нав пайдо мекунанд, ки бо дигаргунихои амики ичтимоии меъмории миллй, гузаштан ба усулхои хозиразамони сохтмони инфиродй ва саноатй алокаманданд.

Дар халли ин масоил бинохои истикоматй аз масолехи махаллии бинокорй, аз кабили сангу чубу тахта, хишт ва сементи истехсоли ватанй роли калон мебозанд. Деталхои ороишии замонавии даромадгох (айвон, бинохои тобистона, сояафканхои хона ва саройхо, пушонидани девор бо рангхои дурахшон ва тархи хачмй-пластикии бино дар мачмуъ шартхои зарурии эчоди симои муосири миллии манзили муосир мебошанд. Мулохизахои дар боло зикршуда умуман метавонанд дар тамоми худуди баррасишавандаи Чумхурии Точикистон татбик карда мешавад.

Аммо дар шахрхои хурди таърихии Точикистони Шимолй, аз қабили Бустон, Гулистон ва Мехробод, характери гуногуни мехнати аграрию саноатй ба хусусиятхои типологии манзил ба таври назаррас таъсир мерасонад. Хамин тарик, ба навъхои хонахои дар боло зикршуда хонахои долонй ва долон-сексиавй, мачмаахои истикоматй, хонахои истикоматии шахракхои мавсимй ва муваккатии коргарон илова карда мешаванд. Дар Шайдон низ баъзе дигаргунихо ба амал меоянд, ки дар он хонахои типи галерея, хонахои типи блоки сохтмони пай дар пай ва айвондор ва ғайра ба вучуд меоянд. Дар баробари номенклатураи навъхои хонахо, таркиб ва масохати манзилхо чи дар чануб ва хам дар шимол ба андозае тағйир дода мешавад.

Хулоса

Чунон ки бармеояд «манзил бояд талаботи тамоми оила, инчунин эҳтиёҷоти намояндагони табақаҳои гуногуни синну солро қонеъ гардонад. Омӯзиши талабот оид ба ташкили муҳити созгори истиқоматӣ шарти зарурии таҳияи принсипҳои ташкили банақшагирии функсионалии манзил дар шароити Чумҳурии Точикистон мебошад».

Манзили шахраки хурд аксаран дар алоқамандӣ бо муҳити сарсабзу олами табиат чойгир аст, аз чиҳати функсионалӣ низ бо табиати иҳоташуда пайваст аст. Аз ин рӯ, шароити иҳлим, ки дар ташаккули навъҳои манзил фаъолона иштирок мекунанд, дар шароити деҳот назар ба шароити манзилӣ таъсири беназир ва қавӣ доранд. Ҳифзи анъанаҳои таърихи меъмории халҳӣ бошад, махсусан дар шаҳракҳои аҳамияти таърихидошта барои ҳар соҳибватан хело муҳим аст.

Муқарриз: Шерматов М.У. — номзади меъморй, дотсенти қафедраи "Меъморй ва шахрсози"-и ДПП ба номи ақадемиқ М.С. Осимй

Адабиёт

- 1. Зокиров, Р.Ш. Принципы функционально-планровочного зонирования жилищ малых городов Таджикистана/ Р.Ш. Зокиров, Б.В. Нормуротов // Интерактивная наука №1 (47) 2020, с 34-35. DOI 10 .21661/г 519499.
- 2. Зокиров, Р.Ш., Влияние климатических факторов на формирование населенных мест / Р.Ш. Зокиров, А.А. Каюмов // Интерактивная наука №1 (47) 2020, с 36-37. DOI 10.21661/r-529547.
- 3. Иконников А.В. Архитектура города (Эстетические проблемы композиции). М.: Издательство: Стройиздат, 1972, 215 с.
- 4. Марков, Б.М. Малые города в системах расселения. / Б.М. Марков // Проблемы малых городов. -М.: Стройиздат, 1980. -196с.
- 5. Тобилев, Б. П. Основные направления формирования архитектурного облика жилой среды малых городов. / Б.П. Тобилев //Жилая среда малого города. -М., 1972. -174 с.

СВЕДЕНИЯ ОБ ABTOPE – МАЪЛУМОТ ДАР БОРАИ МУАЛЛИФ – INFORMATION ABOUT AUTHOR

TJ	RU	EN	
Зокиров Рахимчон Шарифович	Зокиров Рахимджон Шарифович	Zokirov Rahimjon Sharifovich	
омӯзгори калон	старший преподаватель	senior Lecturer	
ДПХДТТ ба номи академик М.С.Осимй	ХПИТТУ имени академика М.С. Осими.	Polytechnic Institute TTU named after academician M.S.Osimi	
E-mail: zokirov_1974_rahimjon@mail.ru			

УДК 624.074

МОДЕЛИРОВАНИЕ НЕРАЗРЕЗНОЙ ПОЛОГОЙ ОБОЛОЧКИ Д.Н. Низомов¹, О.Р. Нуманов²

¹Институт геологии, сейсмостойкого строительства и сейсмологии НАНТ ²Таджикский технический университет имени академика М.С. Осими

В статье излагаются основные особенности задач, связанных с моделированием большепролётных строительных конструкций в виде неразрезных пологих оболочек. Были проведены статические и динамические испытания модели, состоящей из трёх пологих оболочек положительной гауссовой кривизны, образующуюся многоволновую систему. Результаты экспериментальных исследований сопоставлены с данными аналитического решения.

Ключевые слова: оболочка, моделирование, теория подобия, статическая нагрузка, динамическая нагрузка, неразрезность, граничные условия, частота колебаний, период колебаний.

МОДЕЛКУНОНИИ ҚИШРИ КАМФАРОЗИ ҚАТЪНАЁФТА Ч.Н. Низомов, О.Р. Нуманов

Дар макола хусусиятхои хоси масъалахое, ки бо моделкунонии конструксияхои сохтмонии калонравок дар шакли кишрхои камфарози катънаёфта алокаманданд, максади мухокима карор гирифтаанд. Озмоиши статикй ва динамикии модели мазкур, ки аз се кишри камфарози качшавии мусбати гауссй дошта иборат мебошад, хамчун дар системаи яклухт гузаронида шуд. Натичахои тадкикоти тачрибавй бо маълумоти халли аналитикй мукоиса карда шуданд.

Калимахои калидй: қишр, моделкунонй, назарияи монандй, бори статикй, бори динамикй, қатънаёфта, шартхои канорй, зудии лаппиш, даври лаппиш

MODELING OF A CONTINUOUS FLAT SHELL J.N. Nizomov, O.R. Numanov

The article presents the main features of the problems associated with modeling large-span building structures in the form of continuous shallow shells. Static and dynamic tests of the model were carried out, consisting of three shallow shells of positive Gaussian curvature, forming a multi-wave system. The results of experimental studies are compared with the data of the analytical solution.

Keywords: shell, modeling, similarity theory, static load, dynamic load, continuity, boundary conditions, oscillation frequency, oscillation period.

Введение

Пологие оболочки широко применяются в практике строительства зданий и сооружений. В развитии теории пологих оболочек следует отметить работы В.З. Власова, А. С. Вольмира, А.Л. Гольденвейзера, А.И. Лурье, Х.М. Муштари, В.В.Новожилова, С.П. Тимошенко, В. Флюге и др. Развитие конструктивных решений пологих оболочек и плит в значительной степени определялось состоянием методов их расчёта, основы которых заложили в трудах В.С. Бартенева, Н.Н. Леонтьева, П.А. И.Е. Милейковского, А.А.Назарова, П.Л. Пастернака, В.Д. Райзера, А.Р. Ржаницына, и др.

Многоволновые системы из пологих оболочек двоякой кривизны широко применяются в покрытиях зданий различного назначения. Особенность этих конструкций состоит в необходимости учёта реальных жёсткостей контурных элементов, воспринимающих нагрузку от смежных оболочек. Экспериментальным и теоретическим исследованиям многоволновых оболочек посвящены работы В.С. Бартенева [3], Б.В. Горенштейна [7], Б.С. Жармагамбетова [8], Я.Ш. Исхакова [9, 10], Л.А. Коробова [12, 13], Б.К. Михайлова [14], О.Р. Нуманова [10, 17], Ю.В. Чиненкова [12, 13,19] и др.

Методы решения динамических задач оболочек в основном развиваются в двух направлениях — аналитическом и численном. Аналитические методы определения частот и форм собственных колебаний пологих оболочек были развиты в работах Б.Н. Бастатского [4], В.С. Гонткевича [6], О.Д.Ониашвили [18] и др. Методам численного моделирования динамических задач пологих оболочек положительной гауссовой кривизны посвящены работы Д.Н. Низомова [15, 16].

Моделирование

Отметим, что здесь под термином «моделирование» понимается метод экспериментальнотеоретического исследования объекта. Моделирование базируется на теории подобия, позволяющей от процессов, изучаемых на модели, перейти к исследуемым явлениям в натуре. Различают три вида моделирования: математическое, механическое и физическое.

Механическое моделирование, которое основано на использование основных законов механического подобия процессов, развивается в следующих направлениях: 1) испытания моделей с целью проверки достоверности методов расчёта; 2) исследование системы, которая не имеет методики расчета; 3) исследование процессов с целью переноса результатов испытания на натурную конструкцию.

В основу физического моделирования лежит использование известных аналогий. Классическим примером физического моделирования является аналогия между законом Гука в теории упругости и законом Ома в физике. Следовательно, электрические модели могут быть использованы для исследования механических систем.

Суть математического моделирования заключается в том, что процессы, протекающие в натурной конструкции, описываются математическими уравнениями, которые могут быть решены аналитическими

или численными методами. Достоверность результатов математического моделирования проверяются либо механическим моделированием, либо проведением численных экспериментов.

Теория подобия

Физическое подобие, как основа механического моделирования, подразумевает воспроизведение физических процессов, протекающих в натурном объекте. Механическое моделирование включает в себя такие операции как построение модели, изучение этой модели от внешнего воздействия и перенос полученных данных на исследуемый объект в натуре.

Теория подобия, лежащая в основе механического моделирования, рассматривает соотношений геометрических и механических параметров натуры и ее модели. Критерии подобия дают правила переноса результата эксперимента с модели на натуру. Для определения безразмерных коэффициентов подобия применяются: 1) метод анализа дифференциальных уравнений, описывающих исследуемый процесс (метод нормализации); 2) метод анализа размерностей параметров поставленной задачи. Метод анализа размерностей для определения коэффициентов подобия основан на второй теореме подобия и применяется в случае, когда исследуемый процесс не имеет строгого математического описания (М.В. Кирпичев [11], П.М. Алабужев [1], В.А. Веников [5], Г.И. Баренблатт [2])

Реализация теории подобия осуществляется в следующей последовательности.

- 1. Создание математической модели исследуемого объекта, которая включает в себя дифференциальные уравнения, а также начальные и граничные условия задачи.
- 2. Преобразование дифференциальных уравнений и приведение их к безразмерному виду с целью формирования критериев подобия.
- 3. Проведение эксперимента на модели исследуемого объекта и определение величин, входящих в критерии подобия (амплитуда, период и логарифмический декремент свободных колебаний модели).
- 4. Обработка результатов эксперимента с целью получения зависимости между определяемым и определяющими критериями.

Моделирование большепролётных железобетонных конструкций

В экспериментально-теоретических исследованиях железобетонных большепролетных пространственных конструкций, которые широко применяются в строительной практике, моделирование имеет особое значение. Это связано с тем, что только экспериментальным путём в этих конструкциях можно выявить все возможные схемы разрушения и деформации, что необходимы для создания методики расчёта их несущей способности и оценки надёжности. Запроектированные большепролетные железобетонные пространственные конструкции, особенно пологие оболочки, с применением программных комплексов, также требует проведения испытания их на моделях с целью проверки трещинообразования. Для получения надёжных экспериментальных данных модель должна проектироваться таким образом, чтобы были учтены основные конструктивные особенности натурной конструкции. Особенно это касается монолитной железобетонной пологой оболочки, где в качестве контурных элементов используется металлические фермы, и их связь с поля оболочки играют особую роль.

На полигоне факультета строительства и архитектуры Таджикского технического университета имени академика М.С.Осими, с целью проведения статических и динамических экспериментальных исследований, была запроектирована, а затем построена модель неразрезной оболочки 1 (рис.1). Данная модель состоит из трех оболочек размерами $2,4\times2,4$ м, соединённых между собой одним контурным элементом в виде металлической фермы.

Материалы для моделирования

Модель многоволновой системы размерами в плане $2,4^{\times}7,2$ м состоит из трех пологих оболочек $2,4^{\times}2,4$ со стрелами подъёма f=0,48м (рисунок 1). Модель изготовлена из мелкозернистого бетона класса B15 и сетки $20\times20_{\rm MM}$ из проволочной арматуры диаметром 0,8мм специального назначения. Толщина поля оболочек 10 мм, в приконтурных зонах - 17 мм, а в угловых зонах - 25 мм.

¹ Модель изготовлена под руководством О.Р.Нуманова при участии инженерно-технических сотрудников кафедры ПГС ТТУ



Рисунок I – Модель системы из трёх оболочек

Испытания модели проводились в нескольких этапах с учётом статического пригруза. Динамические воздействия осуществлялись с использованием ударной нагрузки в горизонтальном и вертикальном направлениях.

На рис. 2 приведены записи² колебаний модели от горизонтальной ударной нагрузки в поперечном направлении. Кривая 1 на рис. 2 соответствует горизонтальным колебаниям системы в поперечном направлении, а кривая 2 – в продольном направлении. Кривая 3 – запись вертикальных колебаний точки примерно в центре крайней оболочки.

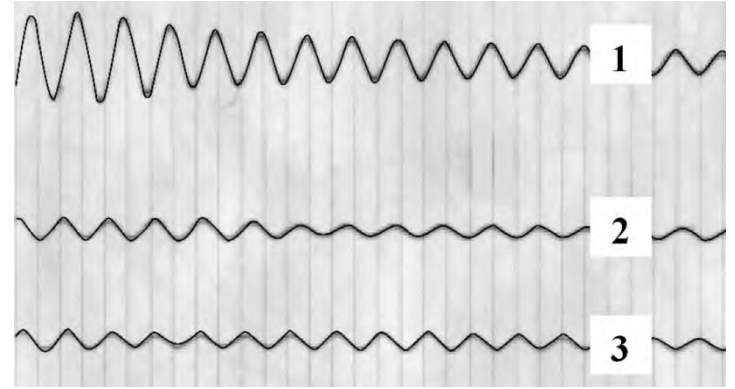


Рисунок 2 – Результаты динамических испытаний модели

Из приведённых записей следует, что периоды горизонтальных колебаний модели как система с одной степенью свободы имеет периоды $T_1=0.2\,\mathrm{c},\ T_2=0.195\,\mathrm{c},\ T_3=0.2\,\mathrm{c}$. Рассматривая движения модели в горизонтальном направлении как систему с одной степени своды, где частота свободных колебаний

$$\omega = \sqrt{\frac{k}{m}} = \sqrt{\frac{1}{\delta_{11}m}} = \sqrt{\frac{24EI}{h^3m}} = 36,4 \text{ c}^{-1}, \quad T = \frac{2\pi}{\omega} = 0,173 \text{ c}.$$

Основная частота свободных колебаний одной пологой оболочки модели (Ониашвили, 1978)

$$\omega_{11}^2 = \frac{g}{\gamma \delta} \left[D \left(\lambda_n^2 + \mu_m^2 \right)^2 + \frac{E \delta}{R^2} \right] = 746.8 \,\mathrm{c}^{-2}, \quad \omega = 27.3 \,\mathrm{c}^{-1}, \quad T_{11} = \frac{2\pi}{\omega_{11}} = 0.23 \,\mathrm{c}.$$

Видно, что результаты аналитического расчета отличаются от данных эксперимента в пределах 11-13%.

Вывод

_

- 1. Пологие оболочки положительной гауссовой кривизны имеют преимущество перед плоскостными покрытиями. При применении пологих оболочек экономия расхода стали составляет 10-15 %, расход бетона 15-20%.
- 2. Для создания неразрезности моделей пологих оболочек, в местах примыкания оболочек установлен одна ферма-диафрагма, которая обеспечивает неразрывности деформаций. При этом экономия стали для ферм–диафрагм составляет 15-20 %.

² В проведении записи динамических испытаний принимали участие сотрудники лаборатории Института геологии, сейсмостойкого строительства и сейсмологии НАНТ.

3. Погрешность между экспериментальными и теоретическими расчётах данными по периодам свободных колебаний моделей составляет от 10 до 13 %.

Рецензент: Абдуллоев И. — қ.т.н., доцент, ведущий специалист Государственное унитарное предприятие Научноисследовательски институт «Строительство и архитектура»

Литература

- 1. Алабужев, П. М. Теория подобия и размерностей. Моделирование / П.М.Алабужев, В.В.Геронимус, Л.М.Минкевич, Б.А.Шеховцов. М.: Высшая школа, 1968. 206 с
 - 2. Баренблатт, Г.И. Анализ размерностей /Г.И. Баренблатт. М.: МФТИ, 1987.-168 с
- 3. Бартенев В.С. и др. Экспериментально-теоретические исследования пологих оболочек с арочными диафрагмами. В сб.: Пространственные конструкции в Красноярском крае, Красноярск, 1968, с
- 4. Бастатский Б.Н. Об определении частоты собственных колебаний пологих оболочек методом Бубнова-Галеркина. – Труды IV научной сессии ИАСС, Алма-Ата, 1973, с
- 5. Веников, В. А. Теория подобия и моделирования (применительно к задачам электроэнергетики) / В.А.Веников. М.: Высшая школа, 1976. 479с
 - 6. Гонткевич В.С. Собственные колебания пластинок и оболочек. Киев, «Наукова думка», 1964. 238 с.
- 7. Горенштейн Б.В. К расчету многоволновых сводов. «Строительная механика и расчет сооружений», 1974, №2, с
- 8. Жармагамбетов Б.С., Акбедин Т.Ж. Влияние бортовых элементов на динамические характеристики пологой оболочки. Тр. IV научной сессии ИАСС, Алма-Ата, 1973, с
- 9. Исхаков Я.Ш. Кудусов А., Шарипов Л.Ш. Методика испытания и экспериментальные исследования сейсмостойкости оболочек на моделях. Сб. «Пространственные конструкции зданий и сооружений», 1977, вып.3, с
- 10. Исхаков, Я.Ш. Монолитные железобетонные неразрезные оболочки с улучшенными техникоэкономическими показателями для сейсмических районов / Я.Ш. Исхаков, О.Р. Нуманов /Журнал Архитектура и строительство Узбекистана.- Ташкент, 1983, №12.- С. 30-31.
- 11. Кирпичев, М.В. Математические основы теории подобия / М.В.Кирпичев, П.К.Конаков М.: Изд-во АН СССР, 1949.-103 с.
- 12. Коробов Л.А., Чиненков Ю.В. Исследование диафрагм многоволновых оболочек. «Прикладная механика», т.1X, вып.3, Киев, 1973, с
- 13. Коробов Л.А., Чиненков Ю.В. К расчету многоволновых пологих оболочек по безмоментной теории.-«Строительная механика и расчет сооружений», 1966, №5, с
- 14. Михайлов Б.К. Многоволновые покрытия из пологих оболочек. «Исследования по строительным конструкциям и испытанию сооружений», Сб. трудов ЛИСИ, №51, 1968, с
- 15. Низомов Д.Н. Численное решение динамических задач по расчету балок, плит и пологих оболочек. Автореферат диссертации к.т.н. М.: МИСИ, 1982. 18 с.
- 16. Низомов Д.Н. Численное решение динамических задач по расчету пологих оболочек. Известия АН Тадж. ССР. 1987, № 1 (103)- с. 74-79
- 17. Нуманов О.Р. Динамические параметры неразрезных пологих оболочек. Автореферат диссертации к.т.н. М.: ВЗИИЖТ, 1993. –23 с
 - 18. Ониашвили О.Д. Избранные труды. Тбилиси, изд. Мецниереба,1978. 297 с.
- 19. Чиненков Ю.В., Коробов Л.А. Влияние жесткости диафрагм на работу многоволновых оболочек положительной гауссовой кривизны. В сб. Тонкостенные и железобетонные пространственные конструкции. М. : Стройиздат, 1970

СВЕДЕНИЯ ОБ ABTOPAX – МАЪЛУМОТ ДАР БОРАИ МУАЛЛИФОН – INFORMATION ABOUT AUTHORS

TJ	RU	EN		
Низомов Цахонгир Низомович	Низомов Джахонгир Низомович	Nizomov Jahongir Nizomovich		
Доктори илмхои техникй,	Доктор ттехнических наук,	Doctor of Technical Sciences,		
профессор, узви вобастаи АМИТ	профессор, члкорр. НАНТ	Professor, Corresponding		
		Member of the National Academy		
		of Sciences of Tajikistan		
Институти геология, сохтмони ба	Институт геологии,	Institute of Geology, Earthquake		
заминчунбй тобовар ва	сейсмостойкого строительства и	Engineering and Seismology of		
сейсмологияи АМИТ.	сейсмологии НАНТ.	the National Academy of		
		Sciences of Tajikistan		
	e-mail: <u>tiees@mail.ru</u>			
TJ	RU	EN		
Нуманов Олим Рахимович	Нуманов Олим Рахимович	Numanov Olim Rahimovich		
Н.и.техникй, дотсент	К.т.н., доцент	Candidate of Technical Sciencts		
Донишгохи техникии	Таджикский технический	Tajik Technical University named		
Точикистон ба номи академик	университет имени академика М.С.	after acadevician M.S. Osimi		
М.С. Осимй	Осими			
	e-mail: <u>nor5@mail.ru</u>			

К СВЕДЕНИЮ АВТОРОВ

Приложение 1 к Положению о научном журнале "Политехнический вестник"

ТРЕБОВАНИЯ И УСЛОВИЯ ПРЕДОСТАВЛЕНИЯ статей в журнал "Политехнический вестник"

- 1. В журнале публикуются статьи научно-практического и проблемного характера, представляющие собой результаты завершенных исследований, обладающие научной новизной и представляющие интерес для широкого круга читателей журнала.
 - 2. Основные требования к статьям, представляемым для публикации в журнале:
 - статья (за исключением обзоров) должна содержать новые научные результаты;
 - статья должна соответствовать тематике и научному уровню журнала;
 - статья должна быть оформлена в полном соответствии с требованиями к оформлению статей (см. пункт 5).
- 3. Статья представляется в редакцию по электронной почте и в одном экземпляре на бумаге, к которому необходимо приложить электронный носитель текста, идентичного напечатанному, а также две рецензии на статью и справку о результате проверки на оригинальность.
 - 4. Структура статьи

Текст статьи должен быть представлен в формате IMRAD³ на таджикском, английском или русском языке:

ВВЕДЕНИЕ (Introduction)	Почему проведено исследование? Что было исследовано, или цель исследования, какие гипотезы проверены? Включает: актуальность		
	темы исследования, обзор литературы по теме исследования,		
	постановку проблемы исследования, формулирование цели и задач		
	исследования.		
МАТЕРИАЛЫ И МЕТОДЫ	Когда, где и как были проведены исследования? Какие материалы		
ИССЛЕДОВАНИЯ	были использованы или кто был включен в выборку? Детально		
(MATERIALS AND	описывают методы и схему экспериментов/наблюдений,		
METHODS)	позволяющие воспроизвести их результаты, пользуясь только текстом		
	статьи. Описывают материалы, приборы, оборудование и другие		
	условия проведения экспериментов/наблюдений.		
РЕЗУЛЬТАТЫ (RESULTS)	Какой ответ был найден. Верно ли была протестирована гипотеза?		
	Представляют фактические результаты исследования (текст, таблицы,		
	графики, диаграммы, уравнения, фотографии, рисунки).		
ОБСУЖДЕНИЕ	Что подразумевает ответ и почему это имеет значение? Как это		
(DISCUSSION)	вписывается в то, что нашли другие исследователи? Каковы		
(DISCUSSION)	*		
(DISCUSSION)	вписывается в то, что нашли другие исследователи? Каковы		
(DISCUSSION)	вписывается в то, что нашли другие исследователи? Каковы перспективы для будущих исследований? Содержит интерпретацию полученных результатов исследования, включая: соответствие полученных результатов гипотезе исследования; ограничения		
(DISCUSSION)	вписывается в то, что нашли другие исследователи? Каковы перспективы для будущих исследований? Содержит интерпретацию полученных результатов исследования, включая: соответствие		
(DISCUSSION)	вписывается в то, что нашли другие исследователи? Каковы перспективы для будущих исследований? Содержит интерпретацию полученных результатов исследования, включая: соответствие полученных результатов гипотезе исследования; ограничения		
(DISCUSSION)	вписывается в то, что нашли другие исследователи? Каковы перспективы для будущих исследований? Содержит интерпретацию полученных результатов исследования, включая: соответствие полученных результатов гипотезе исследования; ограничения исследования и обобщения его результатов; предложения по		
(DISCUSSION) ЗАКЛЮЧЕНИЕ	вписывается в то, что нашли другие исследователи? Каковы перспективы для будущих исследований? Содержит интерпретацию полученных результатов исследования, включая: соответствие полученных результатов гипотезе исследования; ограничения исследования и обобщения его результатов; предложения по практическому применению; предложения по направлению будущих		
ЗАКЛЮЧЕНИЕ (CONCLUSION)	вписывается в то, что нашли другие исследователи? Каковы перспективы для будущих исследований? Содержит интерпретацию полученных результатов исследования, включая: соответствие полученных результатов гипотезе исследования; ограничения исследования и обобщения его результатов; предложения по практическому применению; предложения по направлению будущих исследований.		
ЗАКЛЮЧЕНИЕ	вписывается в то, что нашли другие исследователи? Каковы перспективы для будущих исследований? Содержит интерпретацию полученных результатов исследования, включая: соответствие полученных результатов гипотезе исследования; ограничения исследования и обобщения его результатов; предложения по практическому применению; предложения по направлению будущих исследований. Содержит краткие итоги разделов статьи без повторения		
ЗАКЛЮЧЕНИЕ (CONCLUSION)	вписывается в то, что нашли другие исследователи? Каковы перспективы для будущих исследований? Содержит интерпретацию полученных результатов исследования, включая: соответствие полученных результатов гипотезе исследования; ограничения исследования и обобщения его результатов; предложения по практическому применению; предложения по направлению будущих исследований. Содержит краткие итоги разделов статьи без повторения формулировок, приведенных в них.		
ЗАКЛЮЧЕНИЕ (CONCLUSION) БИБЛИОГРАФИЧЕСКИЙ	вписывается в то, что нашли другие исследователи? Каковы перспективы для будущих исследований? Содержит интерпретацию полученных результатов исследования, включая: соответствие полученных результатов гипотезе исследования; ограничения исследования и обобщения его результатов; предложения по практическому применению; предложения по направлению будущих исследований. Содержит краткие итоги разделов статьи без повторения формулировок, приведенных в них.		

³ Данный термин составлен из первых букв английских слов: Introduction (Введение), Materials and Methods (Материалы и методы), Results (Результаты) Acknowledgements and Discussion (Обсуждение). Это самый распространенный стиль оформления научных статей, в том числе для журналов Scopus и Web of Science.

	TJ	RU	EN
Ному насаб, ФИО, Name			
Дарача ва унвони илмй, Степень и должность,			
Title ⁴			
Ташкилот, Организация, Organization			
e-mail			
ORCID ⁵ Id			
Телефон			
KOHO JUKT HITEPECOR Kondulut hute	macon pro	TION IS OTHOUSEUMS AT	u chant uuranacan

КОНФЛИКТ ИНТЕРЕСОВ	Конфликт интересов — это любые отношения или сферы интересов,	
(CONFLICT OF INTEREST)	которые могли бы прямо или косвенно повлиять на вашу работу или	
	сделать её предвзятой.	
	Пример:	
	1. Конфликт интересов: Автор Х.Х.Х. Владеет акциями	
	Компании Y, которая упомянута в статье. Автор Y.Y.Y. – член	
	комитета ХХХХ.	
	2. Если конфликта интересов нет, авторы должны заявить:	
	Авторы заявляют, что у них нет конфликта интересов.	
	Все авторы прочитали и одобрили окончательный вариант рукописи	
ЗАЯВЛЕННЫЙ ВКЛАД	Публикуется для определения вклада каждого автора в исследование.	
ABTOPOB (AUTHOR	Описание, как именно каждый автор участвовал в работе	
CONTRIBUTIONS).	(предпочтительно), или сообщение о вкладах авторов в процентах или	
continue from sy.	долях (менее желательно).	
	Пример данного раздела:	
	1. Авторы А1, А2 и А3 придумали и разработали эксперимент,	
	авторы А4 и А5 провели теоретические исследование. Авторы	
	А1 и А6 участвовали в обработке данных. Авторы А1, А2 и А5	
	участвовали в написании текста статьи. Все авторы	
	участвовали в обсуждении результатов.	
	2. Все авторы сделали эквивалентный вклад в подготовку	
	публикации	
	ІОПОЛНИТЕЛЬНО (по желанию автора)	
БЛАГОДАРНОСТИ	Если авторы в конце статьи выражают благодарность или указывают	
(опционально) -	источник финансовой поддержки при выполнении научной работы, то	
ACKNOWLEDGEMENT	необходимо эту информацию продублировать на английском языке.	
(optional)		
ФИНАНСИРОВАНИЕ	Информация о грантах и любой другой финансовой поддержке исследований.	
РАБОТЫ (FUNDING)	Просим не использовать в этом разделе сокращенные названия институтов и	
TABOTBI (FUNDING)	спонсирующих организаций.	
ДОПОЛНИТЕЛЬНАЯ	В этом разделе могут быть помещены:	
ИНФОРМАЦИЯ	Нестандартные ссылки. Например, материалы, которые по каким-то	
(ADDITIONAL	причинам не могут быть опубликованы, но могут быть предоставлены	
INFORMATION)	авторами по запросу. Дополнительные ссылки на профили авторов	
	(например, ORCID). Названия торговых марок на иностранных языках,	
	которые необходимы для понимания статьи или ссылки на них.	
	Особые сообщения об источнике оригинала статьи (если статья публикуется	
	Особые сообщения об источнике оригинала статьи (если статья публикуется в переводе).	
	Особые сообщения об источнике оригинала статьи (если статья публикуется	

5. Требования к оформлению статей

⁴ Title can be chosen from: master student, Phd candidate, assistant professor, senior lecture, associate professor, full professor

⁵ ORCID или Open Researcher and Contributor ID (Открытый идентификатор исследователя и участника) — незапатентованный буквенно-цифровой код, который однозначно идентифицирует научных авторов. www.orcid.org.

Рекомендуемый объем оригинальной статьи – до 10 страниц, обзора – до 15 страниц, включая рисунки, таблицы, библиографический список. В рубрику «Краткие сообщения» принимаются статьи объемом не более 3 страниц, включая 1 таблицу и 2 рисунка.

Рекомендации по набору и оформлению текста

	то наоору и оформлению текста	П
Наименование	Требования	Примечания
Формат страницы	A4	
Параметры	отступы сверху и снизу - 2.5 см; слева и	ориентация - книжная
страницы и абзаца	справа - 2 см; табуляция - 2 см;	
Редактор текста	Microsoft Office Word	
Шрифт	Times New Roman, 12 пунктов	
межстрочный интервал	Одинарный, выравнивание по ширине	Не использовать более одного пробела между словами, пробелы для выравнивания, автоматический запрет переносов, подчеркивания.
Единица измерения	Международная система единиц СИ	
Сокращения терминов и названий	В соответствии с ГОСТ 7.12-93.	должны быть сведены к минимуму
Формулы	Математические формулы следует набирать в формульном редакторе МаthТурез Equation или MS Equation, греческие и русские буквы в формулах набирать прямым шрифтом (опция текст), латинские курсивом. Формулы и уравнения печатаются с новой строки и центрируются.	Обозначения величин и простые формулы в тексте и таблицах набирать как элементы текста (а не как объекты формульного редактора). Нумеровать следует только те формулы, на которые есть ссылки в последующем изложении. Нумерация формул сквозная. Повторение одних и тех же данных в тексте, таблицах и рисунках недопустимо
Таблицы	При создании таблиц рекомендуется использовать возможности MS Word (Таблица – Добавить таблицу) или MS Excel. Таблицы должны иметь порядковые номера, название и ссылку в тексте. Таблицу следует располагать в тексте после первого упоминания о ней. Интервал между строчками в таблице можно уменьшать до одинарного, размер шрифта – до 9 пунктов.	Внутри таблицы заголовки пишутся с заглавной буквы, подзаголовки — со строчной, если они составляют одно предложение с заголовком. Заголовки центрируются. Боковые — по центру или слева. Диагональное деление ячеек не рекомендуется. В пустой ячейке обязателен прочерк (тире —). Количество знаков после запятой (точность измерения) должно быть одинаковым.
Рисунки	Должны иметь сквозную нумерацию,	Заголовки таблиц и подрисуночные подписи
(иллюстрации,	название и ссылку в тексте, которую	должны быть по возможности лаконичными, а
графики,	следует располагать в тексте после	также точно отражающими смысл содержания
диаграммы, схемы)	первого упоминания о рисунке.	таблиц и рисунков. Все буквенные обозначения
	Рисунки должны иметь расширение,	на рисунках необходимо пояснить в основном
	совместимое с MS Word (*JPEG, *ВІF,	или подрисуночном текстах.
	*TIFF (толщина линий не менее 3 пкс)	Все надписи на рисунках (наименования осей,
	Фотографии должны быть предельно	цифры на осях, значки точек и комментарии к
	четкими, с разрешением 300 dpi.	ним и проч.) должны быть выполнены
	Максимальный размер рисунка: ширина	достаточно крупно, одинаковым шрифтом,
	150 мм, высота 245 мм.	чтобы они легко читались при воспроизведении
	Каждый рисунок должен иметь подрисуночную подпись, в которой	на печати. Наименования осей, единицы измерения физических величин и прочие
	дается объяснение всех его элементов.	измерения физических величин и прочие надписи должны быть выполнены на русском
	Кривые на рисунках нумеруются	языке. Не допускается наличие рамок вокруг и
	арабскими цифрами и комментируются	внутри графиков и диаграмм
	в подписях к рисункам.	Каждый график, диаграмма или схема вставляется в текст как объект MS Excel.

Рукопись должна быть построена следующим образом:

Паёми политехникй. БАХШИ ТАХКИКОТХОИ МУХАНДИСЙ. № 2 (66) 2024		
Раздел	Содержание (пример)	Расположение
Индекс УДК ⁶	УДК 62.214.4; 621.791.05	в верхнем левом углу
		полужирными буквами
Заголовок	НАЗВАНИЕ СТАТЬИ	В центре
	(должен быть информативным и, по возможности,	полужирными буквами
	кратким)	
	(на языке оригинала статьи)	
Авторы	Инициалы и фамилии авторов	В центре
	(на языке оригинала статьи)	полужирными буквами
Организация	Таджикский технический университет имени	В центре
	академика М.С.Осими	полужирными буквами
Реферат	Должен быть информативным и на языке оригинала	Выровнять по ширине
(аннотация)	статьи (таджикском, русском и английском),	
	содержать 800-1200 печатных знаков (120-200 слов).	
	Структура реферата: Введение. Материалы и методы	
	исследования. Результаты исследования. Заключение.	
Ключевые слова	5-6, разделены между собой «, ».	Выровнять по ширине
	(на языке оригинала статьи)	
	Пример: энергосбережение, производство корунда,	
	глинозем, энергопотребление, оптимизация	
На двух других	перевод названия статьи, авторов ⁷ , организации ⁸ ,	
языках	заголовки и реферат ⁹ и ключевые слова ¹⁰ на двух	
приводится:	других языках	
Заголовок		
Авторы Организация		
Реферат		
(аннотация)		
Статья согласно	Согласно требованиям пункта 4 требования и условия	Выровнять по ширине
структуры	предоставления статей в журнал "Политехнический	
	вестник"	

К статье прилагается (см. http://vp-es.ttu.tj/):

- 1. Сопроводительное письмо (приложение 1А).
- 2. Авторское заявление (приложение 1Б).
- 3. Лицензионный договор (приложение 1В).
- 4. Экспертное заключение о возможности опубликования статьи в открытой печати (приложение 1Γ).
- 5. Рецензия (приложение 1Д).

_

⁶ Универса́льная десяти́чная классифика́ция (УДК) — система классификации информации, широко используется во всём мире для систематизации произведений науки, литературы и искусства, периодической печати, различных видов документов и организации картотек. Межгосударственный стандарт ГОСТ 7.90—2007. Пример: https://www.teacode.com/online/udc/
⁷ В английском переводе фамилии авторов статей представляются согласно системе транслитерации BSI (British Standard Institute). Стандарт ВСІ общим применення в представляются согласно системе транслитерации в представляются согласно системе транслитерации в представляются согласно системе транслитерации в представляющей и представляющей в представляющей

⁷ В английском переводе фамилии авторов статей представляются согласно системе транслитерации BSI (British Standard Institute). Стандарт BSI обычно применяется в случае, когда требуется корректная транслитерация букв, слов и предложений из кириллического алфавита в латинский в случае оформления библиографических списков с официальным статусом. Им пользуются для того, чтобы попасть в зарубежные базы данных.

⁸ Название организации в английском переводе должно соответствовать официальному, указанному на сайте организации. Непереводимые на английский язык наименования организаций даются в транслитерированном варианте.

⁹ Необходимо использовать правила написания организаций на английском языке: все значимые слова (кроме артиклей и предлогов) должны начинаться с прописной буквы. Совершенно не допускается написание одних смысловых слов с прописной буквы, других – со строчной.

¹⁰ В английском переводе ключевых слов не должно быть никаких транслитераций с русского языка, кроме непереводимых названий собственных имен, приборов и др. объектов, имеющих собственные названия; также не должен использоваться непереводимый сленг, известный только ограниченному кругу специалистов.

Мухаррири матни русй:	М.М. Якубова
Мухаррири матни точикй:	Муаллифон
Мухаррири матни англисй:	Муаллифон
Ороиши компютерй ва таррохй:	М.А. Иззатуллоев

Редактор русского текста:	М.М. Якубова
Редактор таджикского текста:	Авторская редакция
Редактор английского текста:	Авторская редакция
Компьютерный дизайн и верстка:	М.А. Иззатуллоев

Нишонй: ш. Душанбе, хиёбони акад. Рачабовхо, 10^A Адрес: г. Душанбе, проспект акад. Раджабовых, 10^A

Ба чоп 25.06.2024 имзо шуд. Ба матбаа 28.06.2024 супорида шуд. Чопи офсетй. Коғази офсет. Андозаи 60х84 1/8 **Адади нашр 50 нусха.**

Матбааи Донишгохи техникии Точикистон ба номи академик М.С. Осим \bar{u} ш. Душанбе, к \bar{y} чаи акад. Рачабовхо, 10 $^{\rm A}$